

MATERIAŁY STAROŻYTNE
I
WCZESNOŚREDNIOWIECZNE

TOM XII

MATERIAŁY STAROŻYTNE I Wczesnośredniowieczne
TOM XII

**Unikatowe wczesnośredniowieczne
cmentarzysko kurhanowe
w Lipsku-Polesiu, gm. Zamość**



**Pod redakcją
Wojciech Borkowskiego i Wojciecha Brzezińskiego**

**Państwowe Muzeum Archeologiczne w Warszawie
Instytut Archeologii i Etnologii Polskiej Akademii Nauk**

Warszawa 2021

Materiały Starożytne i Wczesnośredniowieczne Tom XII

Redaktor naczelny wydawnictw PMA/Editor in chief: Wojciech Brzeziński

Redaktorzy tomu/Editors: Wojciech Borkowski, Wojciech Brzeziński

Recenzenci/Reviewers: prof. dr hab. Joanna Kalaga, prof. dr hab. Zbigniew Kobyliński

Korekta/Proofreading: Aleksandra Żórawska, Urszula Szewczuk, Wojciech Borkowski

Tłumaczenie na jęz. Angielski/English translation: Andrzej Leligdowicz

Projekt okładki/Cover design: Malwina Piorun

Redakcja techniczna i skład/Technical editors and Layout: Bożena Szydlik, Wojciech Borkowski

© Copyright Autorzy, Państwowe Muzeum Archeologiczne, Instytut Archeologii i Etnologii Polskiej Akademii Nauk, Warszawa 2021

© Copyright by Authors, State Archaeological Museum, Institute of Archaeology and Ethnology of the Polish Academy of Sciences, Warsaw 2021



Mazowsze.
serce Polski



Państwowe Muzeum Archeologiczne jest instytucją finansowaną ze środków Samorządu Województwa Mazowieckiego
The State Archaeological Museum is an institution founded by the Mazovia Voivodeship Self-government

DOI 10.23858/Waw/k/001

Dofinansowano ze środków Ministra Kultury i Dziedzictwa Narodowego pochodzących z Funduszu Promocji Kultury w ramach Programu Ochrona zabytków archeologicznych na podstawie umowy nr 4194/20/FPK/NID
Wydanie publikacji dofinansowano ze środków Samorządu Województwa Mazowieckiego, nr umowy W/UMWM-UU/UM/KP/3339/2020 w ramach projektu pn. Unikatowe wczesnośredniowieczne cmentarzysko kurhanowe w Lipsku-Polesiu, gm. Zamość. Opracowanie i monografia.

**Ministerstwo
Kultury
i Dziedzictwa
Narodowego.**



NARODOWY INSTYTUT
DZIEDZICTWA
NATIONAL HERITAGE BOARD OF POLAND

Mazowsze.
serce Polski

Wydanie publikacji zrealizowano w ramach zadania pn. Unikatowe wczesnośredniowieczne cmentarzysko kurhanowe w Lipsku-Polesiu, gm. Zamość. Opracowanie i monografia, dofinansowanego ze środków przyznanych przez Ministra Kultury i Dziedzictwa Narodowego na podstawie umowy nr 4194/20/FPK/NID.

Publikacja zawiera na płycie CD cyfrową wersję książki i katalog zabytków wydzielonych.

Spis treści

Przedmowa.....	7
<i>Wojciech Borkowski, Wojciech Brzeziński</i>	
Historia i stan badań archeologicznych na wczesnośredniowiecznym ciałopalnym cmentarzysku kurhanowym w Lipsku-Polesiu.....	9
History and state of the archaeological research on the early medieval barrow cemetery in Lipsko-Polesie.....	25
<i>Urszula Szewczuk</i>	
Wczesnośredniowieczne cmentarzysko kurhanowe w Lipsku-Polesiu: położenie geograficzne oraz tło osadnicze.....	27
Early medieval barrow cemetery in Lipsko-Polesie: the geographical position and the settlement background.....	40
<i>Eukasz Miechowicz</i>	
Wczesnośredniowieczny kompleks osadniczy w Lipsku-Polesiu w świetle obrazowania Lotniczego Skaningu Laserowego LiDAR.....	41
Early medieval settlement complex in Lipsko-Polesie in the light of LiDAR aerial laser scanning imaging.....	47
<i>Eukasz Miechowicz</i>	
Lipsko-Polesie, Katalog kurhanów/Catalogue of barrows.....	49
<i>Eukasz Miechowicz</i>	
Wczesnośredniowieczna ceramika naczyniowa z badań cmentarzyska kurhanowego w Lipsku-Polesiu.....	119
Early medieval vessel pottery from research on the barrow cemetery in Lipsko-Polesie.....	191
<i>Eukasz Miechowicz, Agnieszka Chlebicka</i>	
Przedmioty z kości i z kamienia z badań cmentarzyska kurhanowego w Lipsku-Polesiu.....	193
Artefacts made of bone and stone from the research on the barrow cemetery in Lipsko-Polesie.....	195
<i>Eukasz Miechowicz</i>	
Średniowieczne i nowożytny zabytki metalowe z badań cmentarzyska kurhanowego w Lipsku-Polesiu.....	197
Medieval and modern metal artefacts from the research on the barrow cemetery in Lipsko-Polesie.....	208
<i>Eukasz Miechowicz</i>	
Paciorki szklane z cmentarzyska kurhanowego w Lipsku-Polesiu.....	209
Glass beads from the barrow cemetery in Lipsko-Polesie.....	215
<i>Sylvia Wajda, Paweł Gan</i>	
Analiza antropologiczna materiału kostnego z cmentarzyska kurhanowego w Lipsku-Polesiu.....	217
Anthropological analysis of bone material from the barrow cemetery in Lipsko-Polesie.....	247
<i>Eukasz Maurycy Stanaszek</i>	
Zwierzęce szczątki kostne z wczesnośredniowiecznych kurhanów na cmentarzysku w Lipsku-Polesiu.....	249
Animal bone remains from early medieval barrows at the cemetery in Lipsko-Polesie.....	257
<i>Joanna Piątkowska-Matecka</i>	
Wyniki oznaczeń taksonomicznych szczątków drewna z cmentarzyska kurhanowego w Lipsku-Polesiu.....	259
The results of taxonomic determinations of wood remains from the Lipsko-Polesie site.....	264
<i>Grzegorz Skrzyński</i>	
Uwagi na temat wczesnośredniowiecznego obrządku pogrzebowego na cmentarzysku kurhanowym w Lipsku-Polesiu....	265
Remarks on the early medieval funeral rite on the barrow cemetery in Lipsko-Polesie.....	273
<i>Eukasz Miechowicz</i>	
Zabytki z epoki brązu i okresu lateńskiego ze stanowiska 1 w Lipsku-Polesiu.....	275
The Bronze Age and La Tène artefacts from Lipsko-Polesie site 1.....	290
<i>Jerzy Trzebiński</i>	

Przedmowa

Wojciech Borkowski, Wojciech Brzeziński

Monografia cmentarzyska kurhanowego w Lipsku-Polesiu, pow. zamojski jest opracowaniem zbiorowym. Stanowisko to badane w latach 1922–1923 oraz 1952–1955, bardzo długo czekało na kompleksowe opracowanie. Jest to materiał dziś już archiwalny, trudny do analizy m.in. z powodu zniszczenia kurhanów przez użytkowanie rolnicze, braków w dokumentacji itp. Pragniemy w tym miejscu wyrazić w imieniu redaktorów i wydawców uznanie dla Autorów publikacji za podjęcie tego zadania. Prezentowana monografia jest wynikiem współpracy naukowej między Państwowym Muzeum Archeologicznym w Warszawie a Instytutem Archeologii i Etnologii PAN.

Publikację otwiera artykuł Urszuli Szewczuk, archeolożki z Państwowego Muzeum Archeologicznego, poświęcony historii badań tego cmentarzyska, zachowanej dokumentacji, a także postaci jego odkrywcy i badacza Michała Drewki.

Analizy przedmiotów metalowych oraz zabytków z kości i kamienia są dziełem Łukasza Miechowicza, pracownika naukowego Instytutu Archeologii i Etnologii PAN. Ten sam Autor opracował tło osadnicze cmentarzyska oraz wyniki lotniczego skaningu obrazowego całego wczesnośredniowiecznego kompleksu osadniczego. Łukasz Miechowicz przedstawił również obrządek pogrzebowy panujący na wspomnianym cmentarzysku. Jest on również Autorem zbiorczego katalogu kurhanów z Lipska-Polesia. Natomiast wspólnie z Panią Agnieszką Chlebicką z Wydziału Archeologii Uniwersytetu Warszawskiego opracowali wczesnośredniowieczną ceramikę naczyniową.

Paciorki szklane z Lipska, zbadali Sylwia Wajda (Uniwersytet Warszawski, Wydział Archeologii) i Paweł Gan (Instytut Archeologii i Etnologii PAN).

Łukasz Maurycy Stanaszek, antropolog z Państwowego Muzeum Archeologicznego, dokonał analizy antropologicznej materiału kostnego z cmentarzyska kurhanowego.

Prezentowaną monografię dopełniają opracowania zwierzęcych szczątków kostnych autorstwa Joanny Piątkowskiej-Małeckiej (Uniwersytet Warszawski, Wydział Archeologii), wyniki oznaczeń taksonomicznych szczątków drewna opracował Grzegorz Skrzyński (Muzeum Ziemi Polskiej Akademii Nauk), zabytki z epoki brązu i okresu lateńskiego przeanalizował Jerzy Trzebiński (Zamek Królewski na Wawelu).

Państwowe Grono Konserwatorów Zabytków Przedhistorycznych, w ramach którego w dniu 1 października 1920 r. Michał Drewko objął stanowisko pierwszego konserwatora zabytków archeologicznych na województwo lubelskie (i Wołyń), było pierwszą próbą stworzenia w odradzającej się II Rzeczypospolitej systematycznej ochrony dziedzictwa archeologicznego. Praktyczna działalność grona rozpoczęła się w 1921 r., przy czym do zakończenia wojny polsko-bolszewickiej wschodnie tereny Rzeczypospolitej były wyjęte spod opieki PGKZP. Już w 1921 r. podczas objazdu terenowego swojego okręgu M. Drewko odwiedził stanowisko w Lipsku-Polesiu. Badania rozpoczął w roku kolejnym i prowadził je także w 1923 r. Były to zatem jedne z pierwszych prac terenowych prowadzonych przez konserwatorów z PGKZP.

Do chwili rozwiązania w 1928 r. PGKZP przeprowadziło szereg kampanii wykopaliskowych, w wyniku których pozyskano bezcenne materiały źródłowe z różnych epok historycznych. W planach zbiory te miały stać się podstawą do powołania tzw. Centralnego Muzeum Archeologicznego, które z kolei miało

być zapleczem naukowo-badawczym dla planowanego Państwowego Instytutu Archeologicznego. PIA miał stać się naczelnym instytutem badawczym dla archeologii z szerokimi kompetencjami decyzyjnymi w zakresie archeologii Polski.

Plany te nie doczekały się w pełni realizacji. Wprawdzie w 1923 r. Ministerstwo Wyznań Religijnych i Oświecenia Publicznego wydało Reskrypt Organizacyjny tworząc Państwowe Muzeum Prehistoryczne, zwane także centralnym muzeum archeologicznym, ale braki lokalowe ograniczały możliwości faktycznego działania tej instytucji. Na czele muzeum stanął Włodzimierz Antoniewicz, który był jednocześnie wiceprezesem prezydium PGKZP. Po licznych perturbacjach i zmianach personalnych w najważniejszych instytucjach archeologicznych ostatecznie kierownictwo PGKZP oraz PMP (CMA) przejął Roman Jakimowicz. Nie doszło jednak do scalenia zbiorów archeologicznych pochodzących z badań PGKZP, których część, po śmierci Erazma Majewskiego pozostała w zasobach

Uniwersytetu Warszawskiego pod opieką Włodzimierza Antoniewicza.

Przełom nastąpił w 1928 r., w którym weszła w życie nowa ustawa o opiece nad zabytkami oraz powołano Państwowe Muzeum Archeologiczne na mocy Rozporządzenia Prezydenta RP jako naczelną instytucję naukowo-badawczą do spraw archeologicznych, zastępując rozwiązane PGKZP. Niestety w gronie pracowników nowej instytucji nie znalazł się konserwator Michał Drewko¹.

Bezpośrednio po II wojnie światowej większość zbiorów PGKZP została włączona do zasobów PMA. Na tej instytucji spoczywa zatem misja udostępniania źródeł pozyskanych dzięki działalności Grona. Prezentowana obecnie monografia stanowiska w Lipsku-Polesiu stanowi element tego działania. Godnym podkreślenia wydaje się fakt współudziału w tym zadaniu Instytutu Archeologii i Etnologii Polskiej Akademii Nauk, spadkobiercy ideowego Państwowego Instytutu Archeologicznego z okresu początków II RP.

¹ Stało się to dopiero 22 stycznia 1945 r., kiedy pod nowym kierownictwem PMA objął stanowisko kierownika Wydziału Konserwatorskiego i organizował od nowa sieć konserwatorów terenowych.

W ramach pracy na tym stanowisku dokończył w latach 1952–1955 prace badawcze na stanowisku w Lipsku-Polesiu.

Historia i stan badań archeologicznych na wczesnośredniowiecznym ciałopalnym cmentarzysku kurhanowym w Lipsku-Polesiu

Urszula Szewczuk

Badania wykopaliskowe na stanowisku w Lipsku-Polesiu, pow. zamojski, woj. lubelskie (stan. 1), przeprowadzone były w latach 20. i 50. XX w. przez Michała Drewkę¹ (1887–1964) (Ryc. 1). W latach 1920–1928 pełnił on funkcję konserwatora zabytków na okręg lubelski z ramienia Państwowego Grona Konserwatorów Zabytków Przedhistorycznych (PGKZP). Po rozwiązaniu PGKZP, w 1945 r. został zatrudniony w Państwowym Muzeum Archeologicznym w Warszawie. Pracę w tej instytucji kontynuował do 1. połowy lat 60. XX w. Jego działalność koncentrowała się w dużej mierze na prowadzeniu badań terenowych. *Badania wykopaliskowe prowadził nie tylko w ramach pracy w instytucjach archeologicznych, ale i podczas prawie wszystkich [...] wakacji i letnich urlopów. Działalność jego w ogromnej mierze związana była z archeologią Lubelskiego. W czasie [...] ośmioletniej pracy konserwatorskiej, mimo bardzo szczupłych funduszy przeznaczonych na badania ratownicze, zarejestro-*



Ryc. 1. Michał Drewko; zbiory Pracowni Dokumentacji Naukowej PMA, Warszawa.

Fig. 1. Michał Drewko; Archive of the State Archaeological Museum in Warsaw.

wał i zinwentaryzował dużą ilość nieznanych przed tym stanowisk, zwłaszcza [...] grodzisk i kurhanów (m.in. Ślipcze, pow. hrubieszowski) oraz przeprowadził szereg badań powierzchniowych, zwiadowczych i ratowniczych, które przekształciły się z czasem w większe badania problemowe. Z prac badawczych w Lubelskiem wymienić należy poszukiwania na wydmach, głównie w pow. lubelskim (Krężnica Jara),

¹ M. Drewko urodził się 22 października 1887 r. w Sokalu nad Bugiem. Do gimnazjum uczęszczał w Rzeszowie. Studiował na Uniwersytecie Jagiellońskim historię, geografę oraz prahistorię u prof. W. Demetrykiewicza. Po ukończeniu studiów [...] pracował jako nauczyciel gimnazjalny. [...] 1 października 1920 r. objął z ramienia Państwowego Grona Konserwatorów Przedhistorycznych stanowisko pierwszego konserwatora zabytków archeologicznych na województwo lubelskie (i Wołyń), które sprawował do 1928 roku. Następnie znowu uczy w gimnazjach i liceach, m.in. [...] w Liceum im. S. Staszica w Lublinie. Po Powstaniu Warszawskim działał od października 1944 r. do stycznia 1945 r. jako członek Komisji Ochrony

Mienia kulturalnego w m. Warszawie. Po wyzwoleniu, już 22 stycznia 1945 r. rozpoczyna pracę w Państwowym Muzeum Archeologicznym w Warszawie jako kierownik Wydziału Konserwatorskiego i organizuje od nowa sieć konserwatorów terenowych. Wydziałem tym kieruje również po przejęciu zadań konserwatorskich przez Naczelną Dyрекcję Muzeów i Ochrony Zabytków Ministerstwa Kultury i Sztuki w latach 1949–1951. W 1951 roku uraca do Państwowego Muzeum Archeologicznego, gdzie do [...] śmierci pracuje na stanowisku kustosa działu epoki żelaza. W uznaniu pracy zawodowej odznaczony został Złotym Krzyżem Zasługi i Medalem Dziesięciolecia (J. Gurba 1967, s. 277, 278).

puławskim (Gołęb), opolskim (Głodno) i kraśnickim (Irena i Zaklików). Do najważniejszych jego wykopalisk należy rozpoczęcie badań w Strzyżowie, pow. hrubieszowski, rozkopanie rozległego cmentarzyska kultury tużyckiej, liczącego ponad 400 grobów ciałopalnych, w Kosinie pow. kraśnicki i badania wczesnośredniowiecznych kurhanów z warstwą ciałopalenia w Łopienniku Lackim, pow. krasnostawski, i Lipsku-Polesiu, pow. zamojski. Prace w tej ostatniej miejscowości kontynuował w latach powojennych początkowo z ramienia Państwowego Muzeum Archeologicznego, później w ramach [...] badań nad Grodami Czerwińskimi.

Do jego najważniejszych prac prowadzonych poza obszarem województwa lubelskiego wymienić należy badania w Sokolnikach, pow. tarnobrzeski (cmentarzysko kultury tużyckiej), prace konserwatorskie na terenie neolitycznej kopalni krzemienia w Krzemionkach Opatowskich, badania w Osiecku i Niecieplinie, pow. garwoliński (cmentarzysko kultury wenedzkiej) oraz prowadzone w ramach komisji badań nad początkami państwa polskiego prace na osadach z okresu wpływów rzymskich w Kaliszu.

Wszystkie jego prace terenowe, nawet i najdawniejsze, cechowała prawie idealna dokumentacja opisowa i rysunkowa (J. Gurba 1967, s. 277, 278).

Na początku lat 60. XX w., zarzucił badania terenowe i skoncentrował się na opracowaniu materiałów pozyskanych podczas prac wykopaliskowych w Lipsku-Polesiu. Plany te nie zostały realizowane z powodu śmierci badacza².

Materiały pozyskane w trakcie badań archeologicznych na cmentarzysku ciałopalnym kurhanowym w Lipsku-Polesiu przechowywane są w zbiorach Państwowego Muzeum Archeologicznego w Warszawie (PMA), w Dziale Średniowiecza i Archeologii Czasów Nowożytnych, pod numerem inwentarza PMA/V/7029.

Wczesnośredniowieczne cmentarzysko kurhanowe w Lipsku-Polesiu jest jedną z lepiej przebadanych nekropoli ciałopalnych w Polsce. Pomimo iż jego ba-



Ryc. 2. Lipsko-Polesie, gm. Zamość. Lokalizacja stanowiska na tle mapy Polski.

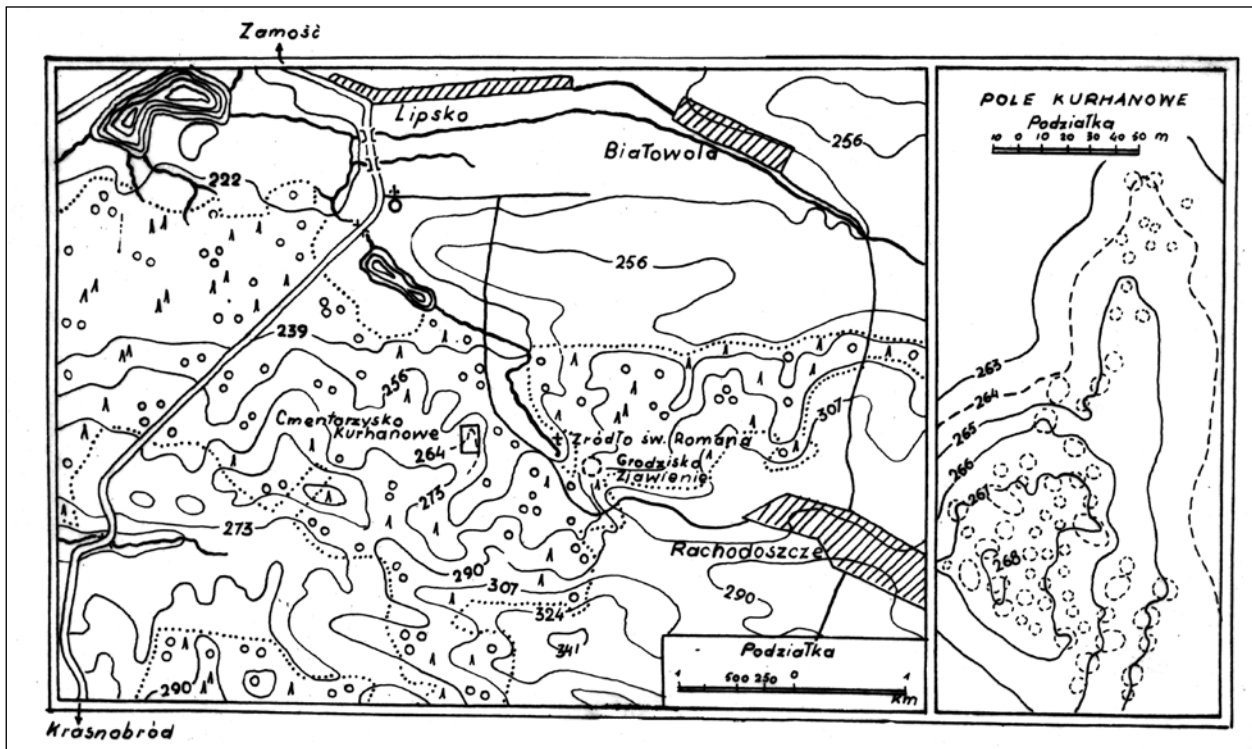
Fig. 2. Lipsko-Polesie, commune Zamość. Location of the site on the background of the map of Poland.

danie rozpoczęto ok. 100 lat temu, ich wyniki znane są jedynie fragmentarycznie. Poza sprawozdaniami z badań, które M. Drewko przedstawiał po każdym zakończonym sezonie badawczym, doczekało się wzmianek w opracowaniu Józefa Kostrzewskiego (1960, s. 31), dotyczącym obrządku ciałopalnego u plemion polskich i Słowian Północno-Zachodnich, w monumentalnym dziele Heleny Zoll-Adamikowej (1975, s. 156–160; 1979), stanowiącym opracowanie wczesnośredniowiecznych cmentarzysk ciałopalnych na terenie Polski, w Słowniku Starożytności Słowiańskich (M. Kara 1996, s. 395, 396), a także w wielu opracowaniach poruszających tematykę stanu i potrzeby badań nad wczesnośredniowiecznym ciałopalnym obrzędkiem pogrzebowym na terenie Lubelszczyzny (S. Nosek 1957, s. 348; J. Gurba 1968, s. 45–58; P. N. Kotowicz 2005, s. 56–172).

W niniejszej prezentacji aktualnego stanu i historii badań na wczesnośredniowiecznym cmentarzysku kurhanowym w Lipsku-Polesiu wykorzystana została dokumentacja naukowa z prac wykopaliskowych oraz notatki M. Drewki przechowywane w Pracowni Dokumentacji Naukowej Państwowego Muzeum Archeologicznego w Warszawie.

Wieś Lipsko-Polesie położona jest w obrębie Padołu Zamojskiego, stanowiącego południowo-wschodnią część Wyżyny Lubelskiej (Ryc. 2, 3).

² Dnia 9 kwietnia 1964 r. liczne grono archeologów warszawskich wraz z przedstawicielami innych ośrodków archeologicznych odprowadzało na miejsce ostatniego spoczynku doc. Michała Drewkę, wieloletniego pracownika Państwowego Muzeum Archeologicznego w Warszawie, zmarłego 4 kwietnia 1964 r. W imieniu kolegów słowa pożegnania i krótkie wspomnienie o zmarłym wygłosił nad grobem dr J. Kowalczyk (J. Gurba 1967, s. 277).



Ryc. 3. Lipsko-Polesie, gm. Zamość. Lokalizacja wczesnośredniowiecznego cmentarzyska kurhanowego oraz domniemanego grodziska, według M. Drewki; zbiory Pracowni Dokumentacji Naukowej PMA, Warszawa.

Fig. 3. Lipsko-Polesie, commune Zamość. Location of an early-medieval barrow cemetery and an alleged stronghold, according to M. Drewko; Archive of the State Archaeological Museum in Warsaw.

Znajduje się ok. 7 km na południowy zachód od Zamościa, między wsią Lipsko a Rachodoszczą³.

Na terenie dzisiejszej wsi Lipsko-Polesie we wczesnym średniowieczu rozwijało się intensywne osadnictwo. Z tego okresu pochodzi zlokalizowane tu ciałopalne cmentarzysko kurhanowe, stanowiące część kompleksu osadniczego, w skład którego wchodziły także osady otwarte i grodzisko⁴ (Ryc. 4, 5).

Nekropola położona jest na kulminacji wzgórza o wysokości 268 m n.p.m., ciągnącego się zgodnie z naturalnym ukształtowaniem terenu na osi południowy wschód – północny zachód. Usytuowana jest w pobliżu zabudowań wsi, na polu ornym i ugo-

rze wchodzącym w skład prywatnych działek gruntowych, ok. 300 m w linii prostej na zachód od jednego ze źródeł rzeki Topornicy i kaplicy św. Romana. Największą koncentrację obiektów zaobserwowano w południowej części stanowiska, a mniejsze zgrupowanie w jej części północnej (H. Zoll-Adamikowa 1975, s. 156–160) (Ryc. 6.).

Nekropola w Lipsku-Polesiu należy do najrozleglejszych wczesnośredniowiecznych ciałopalnych cmentarzysk kurhanowych w Polsce. W trakcie badań prowadzonych w latach 20. i 50. XX w., przebadano 38 z odkrytych 73 kurhanów. Jak wzmiankuje Ewa Prusicka-Kolcon⁵, obecnie na terenie stanowiska zachowało się 24–25 kopców. Obszar ten, o powierzchni 12570 m² został objęty ochroną konserwatorską i wyłączony jest z upraw rolnych. Ślady prowadzonej wcześniej gospodarki rolnej i głęboka orka spowodowały zniszczenie nasypów wielu obiektów, widocznych na planie warstwicznym wykonanym podczas badań M. Drewki. W większości

³ Wieś Lipsko-Polesie została założona tuż przed wybuchem II wojny światowej na miejscu wyciętych lasów, na gruntach wsi Lipsko. Nie jest oznaczona na szczegółowej mapie topograficznej Wojskowego Instytutu Geograficznego z 1935 r. (W. Bondyra 1993, s. 139). Jako w pełni ukształtowana wieś wymieniana była dopiero w 1948r., pod nazwą Kolonia Lipsko-Polesie (*Spis kościołów...*, s. 184; W. Bondyra, E. Lorenz, E. Prusicka-Kolcon, M. Korzeniowski 2010, s. 62).

⁴ Grodzisko zostało odkryte w 1922 r. przez M. Drewkę. Wyniki badań sondazowych na grodzisku z 1955 r. nie zostały nigdy opublikowane. W zbiorach Pracowni Dokumentacji Naukowej PMA zachowały się jedynie dwa rysunki.

⁵ <https://zabytek.pl/pl/obiekty/lipsko-polesie-cmentarzysko-kurhanowe-w-lipsku-polesiu-st-1>, (dostęp z dn. 20.11.2020 r.).



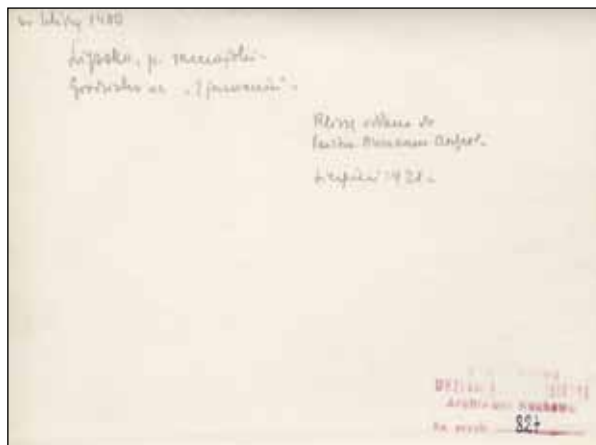
Ryc. 4. Lipsko-Polesie, gm. Zamość. Grodzisko, widok z 1923 r. (fot. M. Drewko? / fot. R. Jakimowicz?); zbiory Pracowni Dokumentacji Naukowej PMA, Warszawa.

Fig. 4. Lipsko-Polesie, commune Zamość. The stronghold, view from 1923 (photo: M. Drewko?/photo: R. Jakimowicz?); Archive of the State Archaeological Museum in Warsaw.



Ryc. 5. Lipsko-Polesie, gm. Zamość. Widok na grodzisko na „Zjawieniu” (fot. M. Drewko, sierpień 1921 r.); zbiory Pracowni Dokumentacji Naukowej PMA, Warszawa.

Fig. 5. Lipsko-Polesie, commune Zamość. View of the stronghold on the „Zjawienie” hill (photo by M. Drewko, August 1921); Archive of the State Archaeological Museum in Warsaw.



przypadków nasypy zostały w dużej mierze zniwelowane. Ich średnia wysokość wynosi obecnie 20–50 cm, a średnice u podstawy od 3 do 9 m. Kilka z nich zaznacza swoją obecność jedynie w postaci lekkiego wyniesienia terenowego, o wysokości 10–30 cm⁶.

W 1968 r. do rejestru zabytków wpisano zachowaną część cmentarzyska o powierzchni 29475 m², liczącą 28 kurhanów o różnym stopniu zachowania⁷.

Historia odkryć archeologicznych w okolicy Lipska-Polesia sięga 1. połowy XIX w. Pierwsze wzmianki o cmentarzysku kurhanowym w Lipsku-

Polesiu znalazły się w rękopisie Mikołaja Stworzyńskiego, archiwisty i historyka Ordynacji Zamojskiej, który dokonał rejestracji odkrytych kopców (J. Gurba, R. Orłowski 1956, s. 69, 70; P. N. Kotowicz 2005, s. 156–172) (Ryc. 7).

Sprzyjające warunki do podjęcia badań archeologicznych zaistniały dopiero po zakończeniu I wojny światowej i odzyskaniu przez Polskę niepodległości. W 1920 r. w celu ochrony zabytków archeologicznych utworzono Państwowe Grono Konserwatorów Zabytków Przedhistorycznych, którego urzędy konserwatorskie zaczęły funkcjonować z dniem 22 lutego 1920 r. (*Sprawozdanie z działalności...*, s. 222–227; M. Karczewski 2015, s. 186). Powołano tymczasowych konserwatorów okręgowych, a funk-

⁶ <https://zabytek.pl/pl/obiekty/lipisko-polesie-cmentarzysko-kurhanowe-w-lipsku-polesiu-st-1>, (dostęp z dn. 20.11.2020 r.).

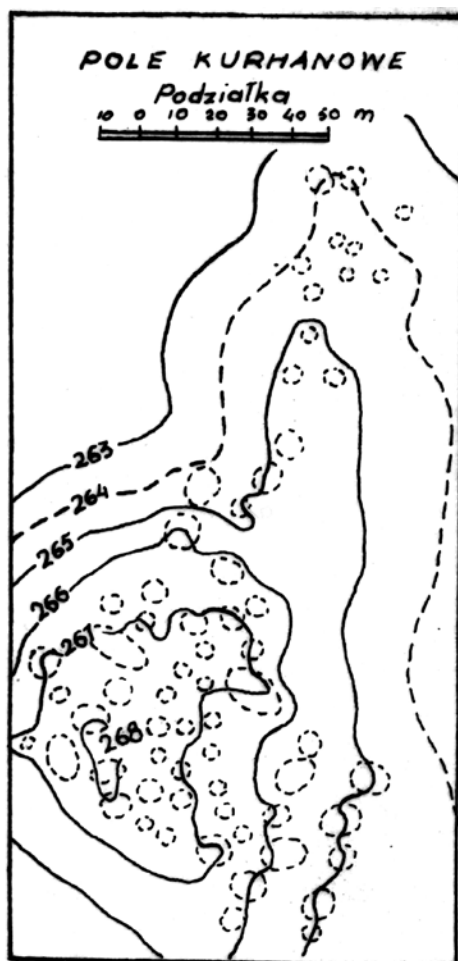
⁷ <https://zabytek.pl/pl/obiekty/lipisko-polesie-cmentarzysko-kurhanowe-w-lipsku-polesiu-st-1>, (dostęp z dn. 20.11.2020 r.).

cję konserwatora na okręg lubelski powierzono Michałowi Drewce (*Tymczasowy skład...*, s. 82).

M. Drewko rozpoczął rejestrowanie stanowisk archeologicznych na obszarze województwa lubelskiego już w 1921 r. Przyczynkiem do tych działań była m.in. możliwość zwiedzania majątków parcelowanych przez Główny Urząd Ziemiański. Działania miały na celu wyłączenie na rzecz państwa nieruchomości zabytków archeologicznych oraz ich inwentaryzację. W czasie tych prac konserwator zbadał większość parcelowanych obszarów w sześciu powiatach województwa. Objazdy miały zwykle charakter informacyjny, a z powodu braku funduszy badania nie były planowane i przeprowadzane.

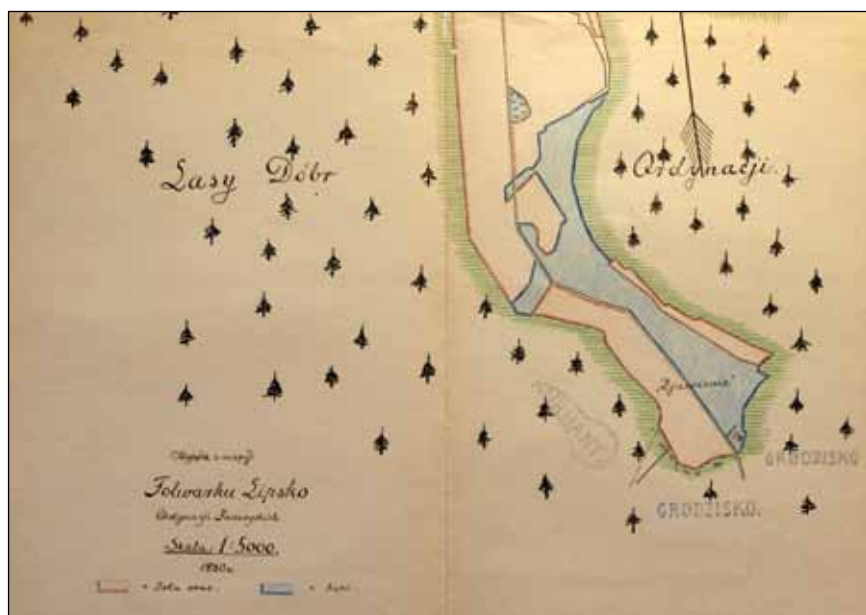
Podczas objazdów terenowych w 1921 r. M. Drewko zwiedził w powiecie zamojskim grupę kurhanów w Lipsku-Polesiu, o których informację otrzymał od konserwatora Józefa Żurowskiego. Wówczas zweryfikował pogląd, iż kurhany nie leżą, jak dotąd sądzono, na gruntach parcelowanych, lecz w lesie Ordynacji Zamojskich, w pobliżu punktu zwanego „Zjawieniem św. Romana” (Ryc. 8.1, 8.2, 8.3). W dużej mierze kurhany ukryte były przez gęste zadrzewienie młodego lasu. Jak zaobserwował M. Drewko, kurhany tworzyły grupę około 70, przeważnie niskich kopców. Ich nasypy, o wysokości zazwyczaj ok. 1 m – czasem 2 m, położone były bardzo blisko siebie, a niekiedy stykały się ze sobą.

Drewko stwierdził zniszczenie dwóch największych kurhanów. Wnętrze ich nasypów zostało zniszczone, przez *kryjówki grasujących w okolicy ban-*



Ryc. 6. Lipsko-Polesie, gm. Zamość. Plan sytuacyjny północnego i południowego zgrupowania kurhanów; zbiory Pracowni Dokumentacji Naukowej PMA, Warszawa.

Fig. 6. Lipsko-Polesie, commune Zamość. Situation plan of the northern and southern barrows; Archive of the State Archaeological Museum in Warsaw.



Ryc. 7. Lipsko-Polesie, gm. Zamość. Szkic folwarku Lipsko z 1880 r. z mapy Ordynacji Zamojskich; zbiory Pracowni Dokumentacji Naukowej PMA, Warszawa.

Fig. 7. Lipsko-Polesie, commune Zamość. A sketch plan of the Lipsko farmstead from 1880 from a map of the Zamoyski Estate; Archive of the State Archaeological Museum in Warsaw.

Ryc. 8.1.



Ryc. 8.2.



Ryc. 8.3.



Ryc. 8.1., Ryc. 8.2., Ryc. 8.3. Lipsko-Polesie, gm. Zamość. Plany sytuacyjne, szkice z mapy Ordynacji Zamojskich według M. Drewki; zbiory Pracowni Dokumentacji Naukowej PMA, Warszawa.

Fig. 8.1., Fig. 8.2., Fig. 8.3. Lipsko-Polesie, commune Zamość. Location plans, sketches from the map of the Zamoyski Estate according to M. Drewko; Archive of the State Archaeological Museum in Warsaw.



Ryc. 9. Lipsko-Polesie, gm. Zamość. Rów i wał grodziska (fot. R. Jakimowicz, lata 20. XX w.); zbiory Pracowni Dokumentacji Naukowej PMA, Warszawa.

Fig. 9. Lipsko-Polesie, commune Zamość. The ditch and the rampart of the stronghold (photo by R. Jakimowicz, 1920s); Archive of the State Archaeological Museum in Warsaw.



Ryc. 10. Lipsko-Polesie, gm. Zamość. Rów grodziska (fot. R. Jakimowicz, lata 20. XX w.); zbiory Pracowni Dokumentacji Naukowej PMA, Warszawa.

Fig. 10. Lipsko-Polesie, commune Zamość. The ditch of the stronghold (photo by R. Jakimowicz, 1920s); Archive of the State Archaeological Museum in Warsaw.

dytów (M. Drewko 1921, s. 183). W odsłoniętym przekroju zaobserwował warstwę ziemi przemieszaną z okruskami węgla drzewnego i drobnymi fragmentami kruchych, trudnych do zidentyfikowania naczyń glinianych. Na obszarze weryfikowanego terenu nie znaleziono zabytków. Niedaleko kurhanów odkrył ciągnący się na wzgórzu, dobrze zachowany wał ziemny z rowem, mierzący ok. 3 m wysokości. (M. Drewko 1921, s. 183) (Ryc. 9, 10).

W 1922 r., M. Drewko w ramach prac konserwatorskich dotyczących ukończenia inwentarza zabytków przedhistorycznych ziemi lubelskiej, rozpoczął badania wykopaliskowe odkrytych kurhanów na cmentarzy-

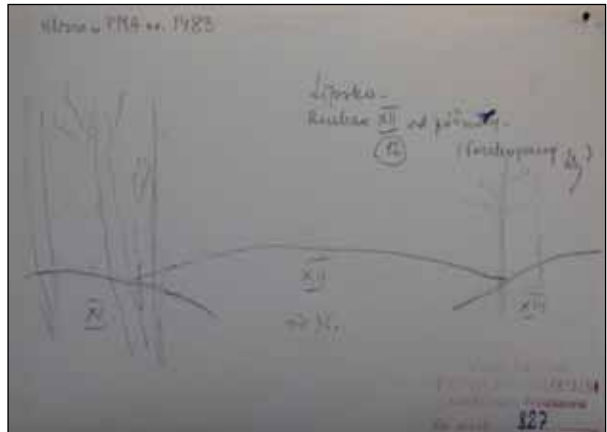
sku w Lipsku-Polesiu (M. Drewko 1923, s. 100–102). Drewko wykonał wówczas dokumentację fotograficzną stanowiska (Ryc. 11–16), którą wykorzystał w późniejszych badaniach, w latach 50. XX w., do rekonstrukcji jego pierwotnego układu (M. Drewko 1953, s. 36–41). Badania kontynuowane były w 1923 r. (M. Drewko 1924, s. 354). W latach 1922–1923 przebadał 7 kurhanów (M. Drewko 1953, s. 36–41).

W 1922 r., w chwili rozpoczęcia prac wykopaliskowych, stan zachowania kopców był bardzo dobry. Połowa kurhanów przed zaoraniem miała wysokość od 0,5 do 1 m, przy średnicy liczącej najczęściej 8–9 m. Ponad ¼ cmentarzyska stanowiły kurhany niskie, o wysokości



Ryc. 11. Lipsko-Polesie, gm. Zamość. Dokumentacja fotograficzna, kurhan nr 12, widok od północy (fot. M. Drewko, lata 20. XX w.); zbiory Pracowni Dokumentacji Naukowej PMA, Warszawa.

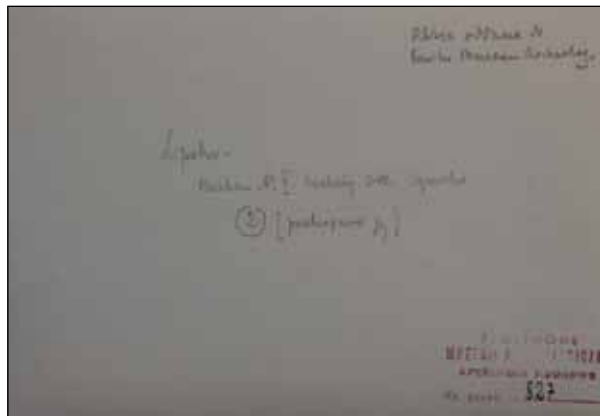
Fig. 11. Lipsko-Polesie, commune Zamość. Photographic documentation, burial mound No. 12, view from the north (photo by M. Drewko, 1920s); Archive of the State Archaeological Museum in Warsaw.





Ryc. 12. Lipsko-Polesie, gm. Zamość. Dokumentacja fotograficzna, kurhan nr 2, przekrój 0-W (fot. M. Drewko, lata 20. XX w.); zbiory Pracowni Dokumentacji Naukowej PMA, Warszawa.

Fig. 12. Lipsko-Polesie, commune Zamość. Photographic documentation, cross-section 0-W of the burial mound No. 2 (photo by M. Drewko, 1920s); Archive of the State Archaeological Museum in Warsaw.



Ryc. 13. Lipsko-Polesie, gm. Zamość. Przykład dokumentacji fotograficznej położenia kurhanów (fot. M. Drewko, lata 20. XX w.); zbiory Pracowni Dokumentacji Naukowej PMA, Warszawa.

Fig. 13. Lipsko-Polesie, commune Zamość. An example of photographic documentation of the location of burial mounds. (photo by M. Drewko, 1920s); Archive of the State Archaeological Museum in Warsaw.



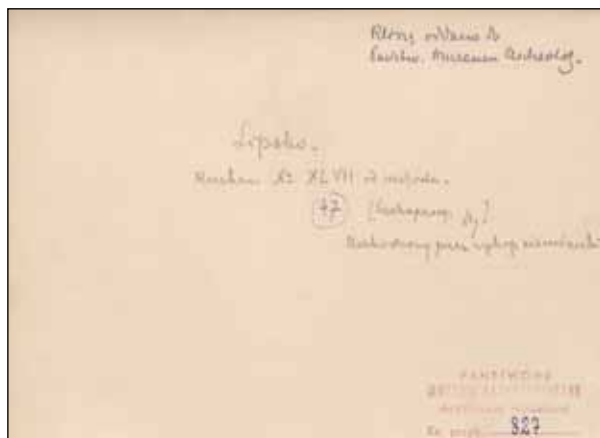
Ryc. 14. Lipsko-Polesie, gm. Zamość. Przykład dokumentacji fotograficznej położenia kurhanów (fot. M. Drewko, lata 20. XX w.); zbiory Pracowni Dokumentacji Naukowej PMA, Warszawa.

Fig. 14. Lipsko-Polesie, commune Zamość. An example of photographic documentation of the location of barrows. (photo by M. Drewko, 1920s); Archive of the State Archaeological Museum in Warsaw.



Ryc. 15. Lipsko-Polesie, gm. Zamość. Dokumentacja fotograficzna, kurhan nr 47, widok od zachodu (fot. M. Drewko, lata 20. XX w.); zbiory Pracowni Dokumentacji Naukowej PMA, Warszawa.

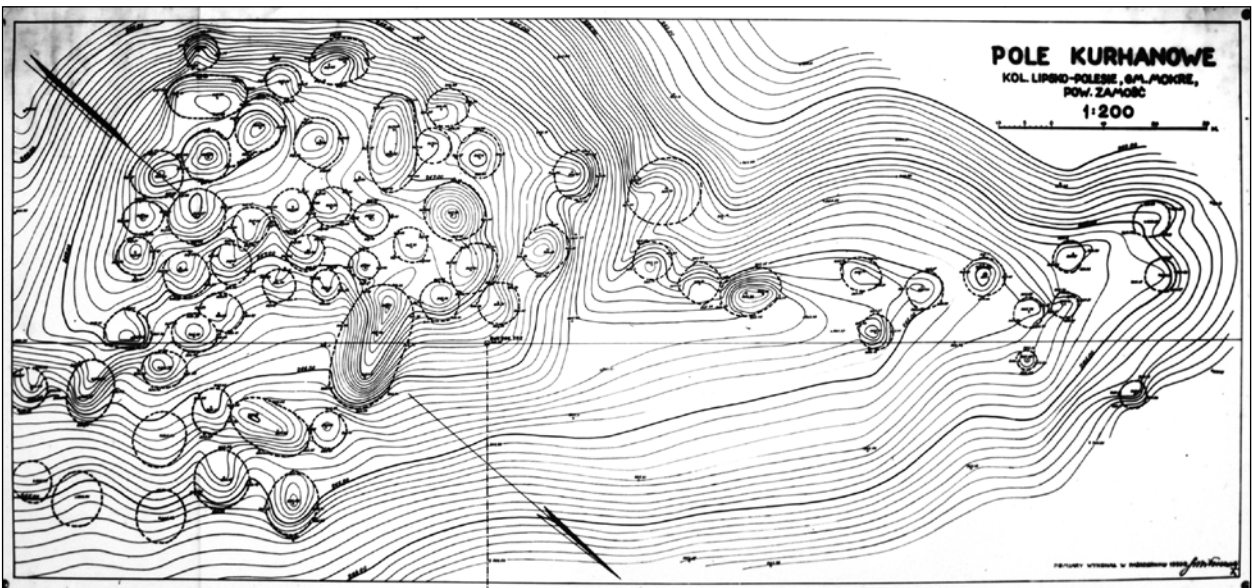
Fig. 15. Lipsko-Polesie, commune Zamość. Photographic documentation, burial mound No. 47, view from the west (photo by M. Drewko, 1920s); Archive of the State Archaeological Museum in Warsaw.





Ryc. 16. Lipsko-Polesie, gm. Zamość. Dokumentacja fotograficzna, kurhan nr 44, widok od zachodu (fot. M. Drewko, lata 20. XX w.); zbiory Pracowni Dokumentacji Naukowej PMA, Warszawa.

Fig. 16. Lipsko-Polesie, commune Zamość. Photographic documentation, burial mound No. 44, view from the west (photo by M. Drewko, 1920s); Archive of the State Archaeological Museum in Warsaw.



Ryc. 17. Lipsko-Polesie, gm. Zamość. Plan warstwiczny pola kurhanowego (rys. S. Miłoszewski, 1950 r.); zbiory Pracowni Dokumentacji Naukowej PMA, Warszawa.

Fig. 17. Lipsko-Polesie, commune Zamość. Outline plan of the barrow field (drawing by S. Miłoszewski, 1950); Archive of the State Archaeological Museum in Warsaw.

0,25–0,5 m i średnicy 4–7 m. Nieco mniej niż $\frac{1}{4}$ cmentarzyska stanowiły kopce wysokie, mierzące ponad 1 m wysokości. Największy owalny kurhan miał 2 m wysokości i podstawę o wymiarach 12×22 m. Zwykle nasypy miały formę okrągłych kopców, w kilku przypadkach stwierdzono ich owalny kształt (M. Drewko 1953, s. 36–41).

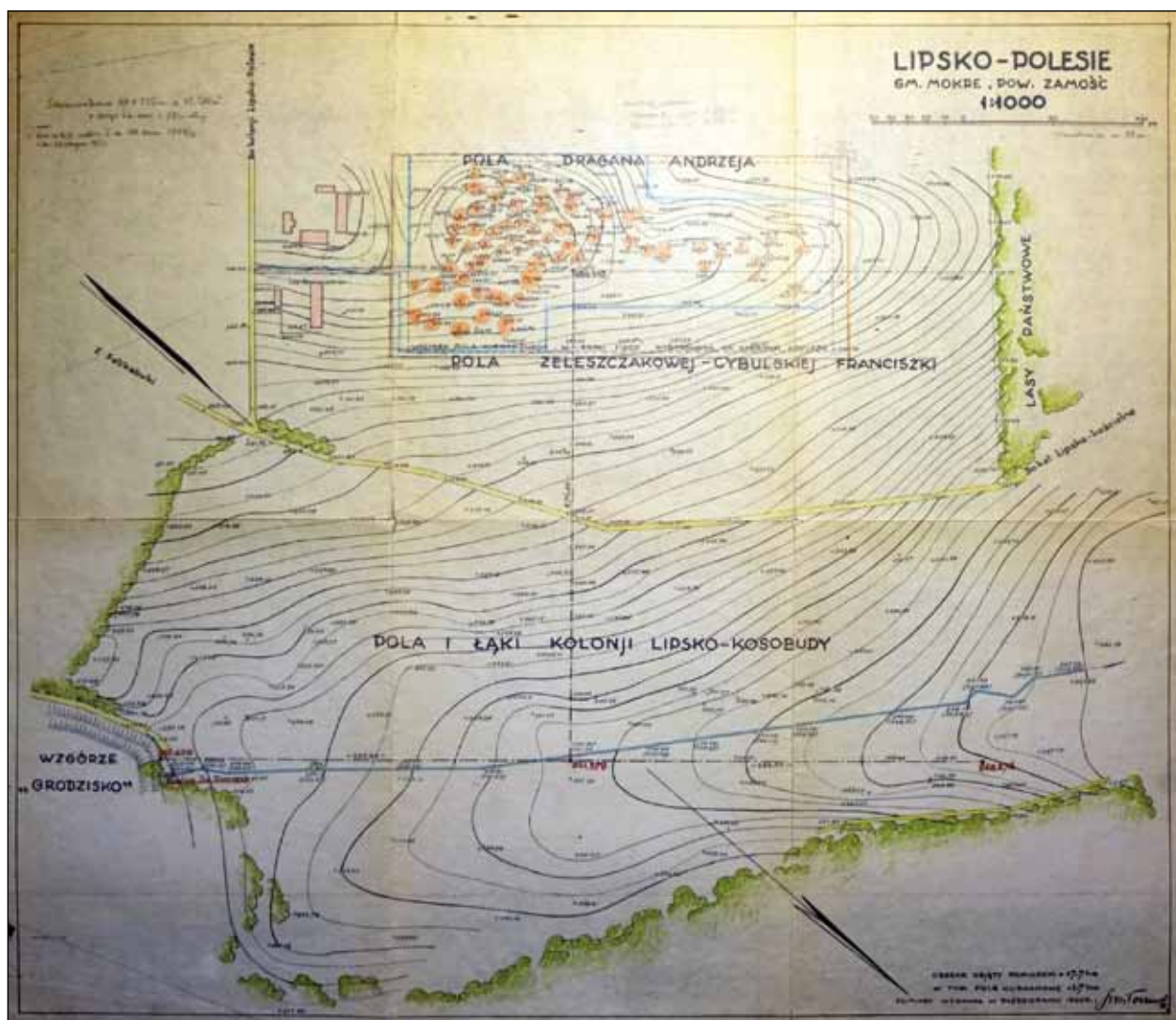
Jeszcze przed wybuchem II wojny światowej młody las, w którym znajdowały się kurhany, został wykarczowany, a obszar wykorzystywano rolniczo. Teren cmentarzyska objęto intensywną orką do tego

stopnia, że z pierwotnej konstrukcji kurhanów pozostały relikty.

Po II wojnie światowej cmentarzysko zostało objęte opieką władz konserwatorskich i przekształcone w rezerwat archeologiczny⁸.

Prace badawcze na cmentarzysku kurhanowym w Lipsku-Polesiu kontynuowane były w latach 50. XX w. przez tego samego badacza – Michała Drewkę.

⁸ Informacja ta pochodzi z notatek M. Drewki z 1952 r. (zbiory Pracowni Dokumentacji Naukowej PMA).



Ryc. 18. Lipsko-Polesie, gm. Zamość. Plan terenu objętego pomiarem z 1950 r. (rys. S. Miłoszewski); zbiory Pracowni Dokumentacji Naukowej PMA, Warszawa.

Fig. 18. Lipsko-Polesie, commune Zamość. Plan of the area covered by the measurement in 1950 (drawing by S. Miłoszewski), Archive of the State Archaeological Museum in Warsaw.

W październiku 1950 r., na podstawie informacji zebranych podczas prac prowadzonych na stanowisku w latach 20. XX w., zostały przeprowadzone pomiary kurhanów oraz sporządzony dla całego zespołu plan warstwowy w skali 1:200, wykonany przez Stanisława Miłoszewskiego (Ryc. 17, 18).

W 1952 r. badania wykopaliskowe w Lipsku-Polesiu, prowadzone z ramienia Państwowego Muzeum Archeologicznego w Warszawie przez M. Drewkę, weszły do programu badań Grodów Czerwieńskich (A. Gieysztor 1953, s. 315). We wrześniu i październiku 1952 r. z ramienia Zarządu Ochrony i Konserwacji Zabytków oraz przy współudziale Państwowego Muzeum Archeologicznego ponownie rozpoczęto prace

wykopaliskowe (Ryc. 19–22). Ich zadaniem było zbadanie najbardziej zniszczonych kurhanów i przywrócenie im dawnego wyglądu na podstawie zdjęć i pomiarów z 1922 r. Planowano przeprowadzenie prac badawczych oraz rekonstrukcję całości cmentarzyska. Badaniami objęto najbardziej zniszczony północno-zachodni kraniec cmentarzyska. W tym miejscu rozorane kurhany miały zaledwie 0,1–0,2 m wysokości lub były całkowicie zniszczone. Przebadano wówczas 6 kurhanów. Według M. Drewki (1953, s. 36–41) konstrukcja i zawartość rozkopanych kurhanów była identyczna z tymi rozkopanymi w latach 1922–1923.

W kolejnym sezonie prac wykopaliskowych, w lipcu 1953 r., został przebadany tylko jeden kur-



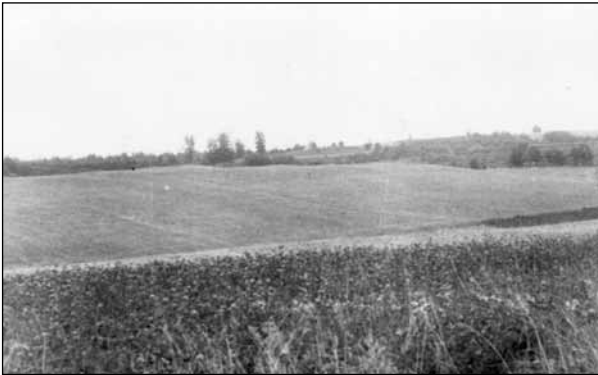
Ryc. 19. Lipsko-Polesie, gm. Zamość. Widok pola kurhanowego od strony E (fot. J. Gruba 21.VIII.1952); zbiory Pracowni Dokumentacji Naukowej PMA, Warszawa.

Fig. 19. Lipsko-Polesie, commune Zamość. View of the barrow field from the E side (photo by J. Gurba on August 21, 1952); Archive of the State Archaeological Museum in Warsaw.



Ryc. 20. Lipsko-Polesie, gm. Zamość. Widok pola kurhanowego od strony N (fot. J. Gruba 21.VIII.1952 r.); zbiory Pracowni Dokumentacji Naukowej PMA, Warszawa.

Fig. 20. Lipsko-Polesie, commune Zamość. View of the barrow field from the N side (photo by J. Gurba on August 21, 1952); Archive of the State Archaeological Museum in Warsaw.



Ryc. 21. Lipsko-Polesie, gm. Zamość. Widok pola kurhanowego od strony NW (fot. J. Gruba 21.VIII.1952 r.); zbiory Pracowni Dokumentacji Naukowej PMA, Warszawa.

Fig. 21. Lipsko-Polesie, commune Zamość. View of the barrow field from the NW side (photo by J. Gurba on August 21, 1952); Archive of the State Archaeological Museum in Warsaw.



Ryc. 22. Lipsko-Polesie, gm. Zamość. Widok pola kurhanowego od strony W (fot. J. Gruba 21.VIII.1952 r.); zbiory Pracowni Dokumentacji Naukowej PMA, Warszawa.

Fig. 22. Lipsko-Polesie, commune Zamość. View of the barrow field from the W side (photo by J. Gurba on August 21, 1952); Archive of the State Archaeological Museum in Warsaw.

han nr 35, położony na skraju kopców grupy południowej (Ryc. 23). Był on największym kurhanem zarejestrowanym na cmentarzysku, a jego nasyp miał kształt owalny. Według obliczeń, pierwotnie mógł mieć 22,7 m długości i ok. 10 m szerokości, a jego wysokość mogła sięgać nawet 2 m. Według pomiarów przeprowadzonych w latach 50. ubiegłego wieku jego długość wynosiła 24,5 m (oś E-W), a szerokość 12,6 m, zaś wysokość 1,80 m. Posiadał rów przykurhanowy (M. Drewko 1954, s. 307-308). W porównaniu z innymi przebadanymi kopcami, w kurhanie tym odkryto niezwykle bogate wyposażenie. Była to żelazna ostroga z końcami haczykowatymi zagiętymi do środka (Ryc. 24),

4 klamry do pasa, grot strzały z zadziarami i tulejką (Ryc. 25) oraz żelazny kabłąk i paciorek szklany. Odkryto ponadto fragment noża żelaznego, a także fragmenty ceramiki, znajdowane głównie w wypełniku rowu przykurhanowego. Z większych fragmentów zrekonstruowano całe naczynie (Ryc. 26). Rozmiary oraz bogate wyposażenie i nietypowa konstrukcja we wnętrzu kurhanu przemawiają za tym, że kopiec ten mógł należeć do osobnika lub rodu o eksponowanej pozycji społecznej. M. Drewko (1957, s. 165) nazwał to założenie grobowe „wodzowskim”.

W 1954 r. (Ryc. 27–29) pracami wykopaliskowymi objęto teren między południowym i południowo-



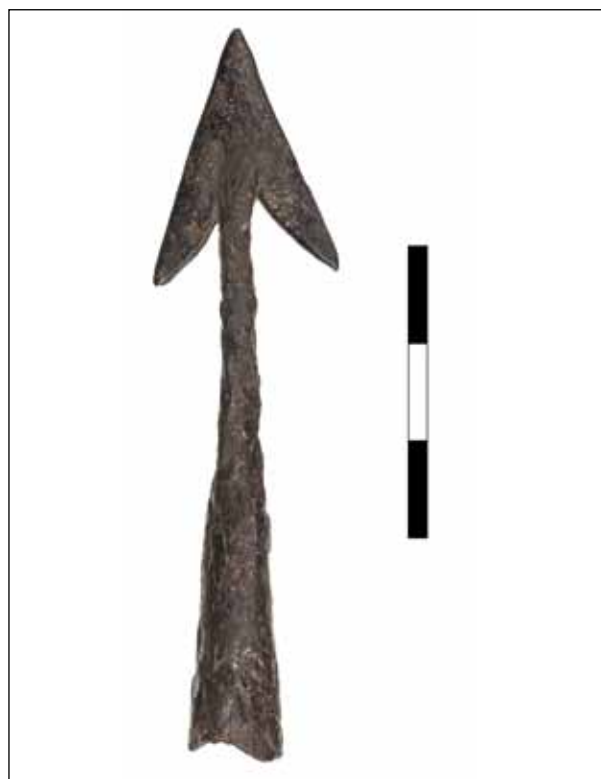
Ryc. 23. Lipsko-Polesie, gm. Zamość. Podczas badań wykopaliskowych na kurhanie nr 35 w 1953 r. Na zdjęciu od lewej: dr J. Kowalczyk, gość, doc. M. Drewko, A. Komala (fot. R. Splewiński, Zamość); zbiory Pracowni Dokumentacji Naukowej PMA, Warszawa.

Fig. 23. Lipsko-Polesie, commune Zamość. During the excavation works on the burial mound No. 35 in 1953. Pictured from left to right: Dr. J. Kowalczyk, Guest, docent. M. Drewko, A. Komala (photo: R. Splewiński, Zamość); Archive of the State Archaeological Museum in Warsaw.



Ryc. 24. Lipsko-Polesie, gm. Zamość. Kurhan nr 35. Ostroga z końcami haczykowatymi zagiętymi do środka, żelazo, fot. B. Solarewicz; zbiory Działu Średniowiecza i Archeologii Czasów Nowożytnych PMA, Warszawa.

Fig. 24. Lipsko-Polesie, commune Zamość. Burial mound No. 35. A hooked spur with ends bent inwards, iron, photo B. Solarewicz; collection of the Department of Medieval and Modern Period Archaeology, State Archaeological Museum in Warsaw.



Ryc. 25. Lipsko-Polesie, gm. Zamość. Kurhan nr 35. Grot strzały z zadziornymi i tulejką, żelazo, fot. B. Solarewicz; zbiory Działu Średniowiecza i Archeologii Czasów Nowożytnych PMA, Warszawa.

Fig. 25. Lipsko-Polesie, commune Zamość. Burial mound No. 35. Barbed arrowhead with socket, iron, photo: B. Solarewicz; collection of the Department of Medieval and Modern Period Archaeology, State Archaeological Museum, Warsaw.



Ryc. 26. Lipsko-Polesie, gm. Zamość. Kurhan nr 35. Naczynie, glina; fot. Ł. Miechowicz; zbiory Działu Średniowiecza i Archeologii Czasów Nowożytnych PMA, Warszawa.

Fig. 26. Lipsko-Polesie, commune Zamość. Burial mound No. 35. A clay vessel; photo: Ł. Miechowicz; collection of the Department of Medieval and Modern Period Archaeology in State Archaeological Museum, Warsaw.



Ryc. 27. Budynek ekspedycji podczas badań w 1954 r.; zbiory Pracowni Dokumentacji Naukowej PMA, Warszawa.

Fig. 27. The expedition building during the research in 1954; Archive of the State Archaeological Museum in Warsaw.



Ryc. 28. Pracownia kreślarska ekspedycji podczas badań w 1954 r., Andrzej Grocholski przy pracy; zbiory Pracowni Dokumentacji Naukowej PMA, Warszawa.

Fig. 28. Expedition's drawing office during research in 1954, Andrzej Grocholski at work; Archive of the State Archaeological Museum in Warsaw.



Ryc. 29. Pracownia kreślarska ekspedycji podczas badań w 1954 r.; zbiory Pracowni Dokumentacji Naukowej PMA, Warszawa.

Fig. 29. Expedition's drawing room during research in 1954; Archive of the State Archaeological Museum in Warsaw.



Ryc. 30. Lipsko-Polesie, gm. Zamość. Widok stanowiska podczas badań w 1955 r. (fot. W. Antoniewicz); zbiory Pracowni Dokumentacji Naukowej PMA, Warszawa.

Fig. 30. Lipsko-Polesie, commune Zamość. View of the site during the research in 1955 (photo by W. Antoniewicz); Archive of the State Archaeological Museum in Warsaw.



Ryc. 31. Lipsko-Polesie, gm. Zamość. Widok stanowiska podczas badań w 1955 r. (fot. W. Antoniewicz); zbiory Pracowni Dokumentacji Naukowej PMA, Warszawa.

Fig. 31. Lipsko-Polesie, commune Zamość. View of the site during the research in 1955 (photo by W. Antoniewicz); Archive of the State Archaeological Museum in Warsaw.



Ryc. 32. Lipsko-Polesie, gm. Zamość. Widok stanowiska podczas badań w 1955 r. (fot. W. Antoniewicz); zbiory Pracowni Dokumentacji Naukowej PMA, Warszawa.

Fig. 32. Lipsko-Polesie, commune Zamość. View of the site during the archaeological excavations in 1955 (photo by W. Antoniewicz); Archive of the State Archaeological Museum in Warsaw.

wschodnim krańcem cmentarzyska a kurhanem nr 35. Ogółem w tym sezonie badawczym zbadano 9 kurhanów (52, 58, 59, 60, 63, 64, 65, 67, 68), dwa obiekty mylnie oznaczone na zdjęciu terenowym z 1950 r. jako kurhany, które M. Drewko w dokumentacji nazwał pseudokurhanami, oraz ok. 3 ary przestrzeni międzykurhanowej (M. Drewko 1956, s. 82–84). Podobnie jak w latach poprzednich, znaleziono prawie wyłącznie ceramikę, zachowaną przeważnie w drobnych fragmentach. Autor badań, porównując je z fragmentami naczyń wydobytymi z kurhanu nr 35, stwierdził, że są to formy młodsze, o pionowo ściętym brzegu, z lekko zarysowującą się szyjką, przechodzącą łagodnie w brzusiec naczynia (M. Drewko 1956, s. 82–84). Przekopana przestrzeń międzykurhanowa nie dostarczyła liczniejszych zabytków. W pobliżu kurhanu nr 35 znaleziono w ciemnej, prawie czarnej glinie, całe naczynie kultury trzcinieckiej (M. Drewko 1956, s. 82–84).

W odległości kilkuset metrów na północ od cmentarzyska odkryto ślady osady wczesnośredniowiecznej. Na wcięciu drogi polnej Drewko odkrył profil dwóch obiektów. Pierwszym z nich była półziemianka mieszkalna o długości 4,85 m i głębokości 0,5–0,55 m od współczesnej powierzchni pola. Zawierała ona skupisko kamieni znajdujące się w rogu obiektu. Drugim okazała się jama, znajdująca się w odległości 60 cm od półziemianki, o średnicy 2,5 m i głębokości 0,8 m, wypełniona warstwą czarnej ziemi, fragmentami ceramiki oraz kośćmi zwierzęcymi. Na podstawie znalezionych fragmentów naczyń glinianych autor badań datował odsłonięte obiekty na X w.

⁹ Przeprowadzona przez E. Prusicką-Kolcon w 2007 r. kwerenda w Państwowym Muzeum Archeologicznym w Warszawie oraz w Powiatowym Ośrodku Dokumentacji Geodezyjnej i Kartograficznej w Zamościu przy Starostwie Zamojskim (skąd otrzymała wypisy z rejestru gruntów właścicieli działek w latach 50., wymienionych na rysunkach z badań M. Drewki w 1955 r.) pozwoliła ustalić właściwą i dokładną lokalizację grodziska (W. Bondyra, E. Lorenz, E. Prusicka-Kolcon, M. Korzeniowski 2010, s. 62–64). *Mianowicie jest ono położone w granicach wsi Feliksówka, gm. Adamów, w jej północno-zachodniej części, tuż przy granicy z wsią Lipsko-Polesie, gm. Zamość. Grodzisko leży niemal na kulminacji wzniesienia „Zjawienie” (300 m n.p.m.), około 500 m w linii prostej na wschód od cmentarzyska kurhanowego w Lipsku-Polesiu i około 250 m od kaplicy św. Romana. Znajduje się na gruntach ornych, należących w 1955 r. (gdy sporządzany był szkic lokalizacji grodziska i wykonane badania sondażowe) do Władysława Zająca i Edwarda Niemczuka, a obecnie do Marka Szpyry i Stanisława Zająca. W chwili podjęcia badań sondażowych w 1955 r., na grodzisku czytelne były na powierzchni podwójne (?) wały układające się pierścieniowo, a zachowany w zbiorach Wojewódzkiego Konserwatora Zabytków w Lublinie Delegatura w Zamościu rysunek*

W tym samym roku przeprowadzono badania powierzchniowe na grodzisku, przez autora badań nazywanym „domniemanym”⁹, odkrytym w 1922 r. Wyniki badań sondażowych nie dostarczyły pozytywnych rezultatów (M. Drewko 1956, s. 82–84).

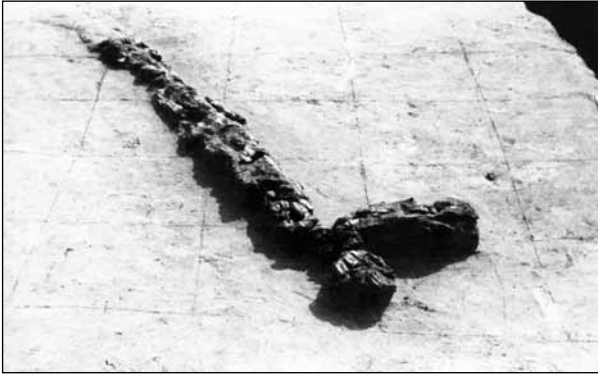
W 1955 r. kontynuowano prace wykopaliskowe w miejscu głównej koncentracji kurhanów, w południowo-zachodniej części wzniesienia (Ryc. 30–32). Przekopano w sumie 17 kurhanów oraz pewne partie przestrzeni międzykurhanowej. W obrębie dwóch kurhanów, nr 27 i 45, na poziomie warstwy ciałopalenia, odkryto czworoboczne zrębowe konstrukcje drewniane (M. Drewko 1957, s. 165–168; H. Zoll-Adamikowa 1975, s. 158) (Ryc. 33.1, 33.2).

Przeprowadzono również badania sondażowe poza cmentarzyskiem, na wzniesieniu zwanym „Zjawienie”. Na otaczających szczyt wzniesienia wałach założono wykopy sondażowe, które nie wykazały obecności konstrukcji drewnianych, a wewnątrz ich pierścienia nie odkryto żadnych śladów warstwy kulturowej. W jednym tylko miejscu znaleziono nieliczne fragmenty naczyń kultury trzcinieckiej (M. Drewko 1957, s. 165–168).

Badania przeprowadzone w latach 1922–1923 i 1952–1955 przez Michała Drewkę dały podstawy do odtworzenia pierwotnego wyglądu cmentarzyska, zgodnie z założeniami autora.

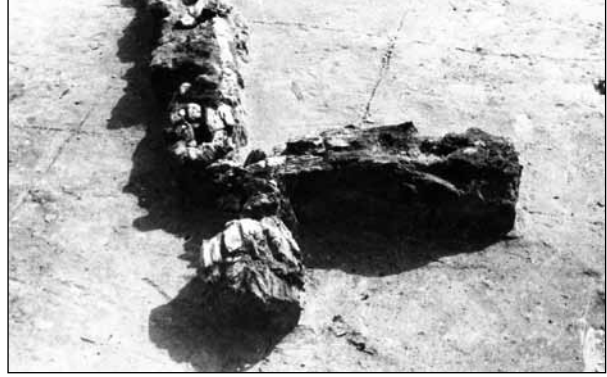
Opracowano materiał zabytkowy z 4 kurhanów, co stanowiło ok. 10% przekopanych dotąd kurhanów. Wykonano 103 rysunki zabytków z 7 kurhanów

przekroju rowu i fosi wskazuje, że wał w tym czasie posiadał wysokość od podstawy do 3 m, szerokość u podstawy 9 m, a fosa miała szerokość 3 m. Do chwili obecnej grodzisko zachowało się w formie szczątkowej, bowiem zostało niemal całkowicie zniszczone na skutek intensywnej uprawy roli. Jedyne w jego części północno-zachodniej, w pobliżu granicy pola z lasem „Zjawienie”, na polu pana Stanisława Zająca, zachował się niewielki, liczący ok. 15–20 m odcinek wału o szer. 3–5 m, widoczny bardzo słabo na powierzchni, bowiem jego wysokość sięga ok. 20–30 cm. Również od strony wschodniej, na tym samym polu uprawnym, widoczne jest wyraźne obniżenie (fosa) pomiędzy dwoma wałami: wewnętrznym – zachowanym słabiej do wysokości ok. 30 cm na odcinku ok. 10–15 m i zewnętrznym – zachowanym lepiej do wys. 50 cm na odcinku ok. 30 m. Na sąsiednim polu, należącym obecnie do pana Marka Szpyry, wały są nieczytelne, całkowicie zniwelowane. Jak wykazały badania sondażowe oraz prospekcja terenowa w 2008 r., grodzisko można datować wstępnie na podstawie pozyskanych zabytków w postaci nikłej ilości fragmentów ceramiki na około VIII–IX w. Grodzisko, jak wynika z badań sondażowych, funkcjonowało na terenie starszego osadnictwa związanego z kulturą trzciniecką (osada?) (W. Bondyra, E. Lorenz, E. Prusicka-Kolcon, M. Korzeniowski 2010, s. 62–64).



Ryc. 33.1. Lipsko-Polesie, gm. Zamość. Dokumentacja fotograficzna kurhanu 27, część północno-wschodnia, wnętrze ze zrębem drewnianym; zbiory Pracowni Dokumentacji Naukowej PMA, Warszawa.

Fig. 33.1. Lipsko-Polesie, commune Zamość. Photographic documentation of the barrow No. 27, north-eastern part, interior with a wooden framework; Archive of the State Archaeological Museum in Warsaw.



Ryc. 33.2. Lipsko-Polesie, gm. Zamość. Dokumentacja fotograficzna kurhanu 27, część północno-wschodnia, wnętrze ze zrębem drewnianym; zbiory Pracowni Dokumentacji Naukowej PMA, Warszawa

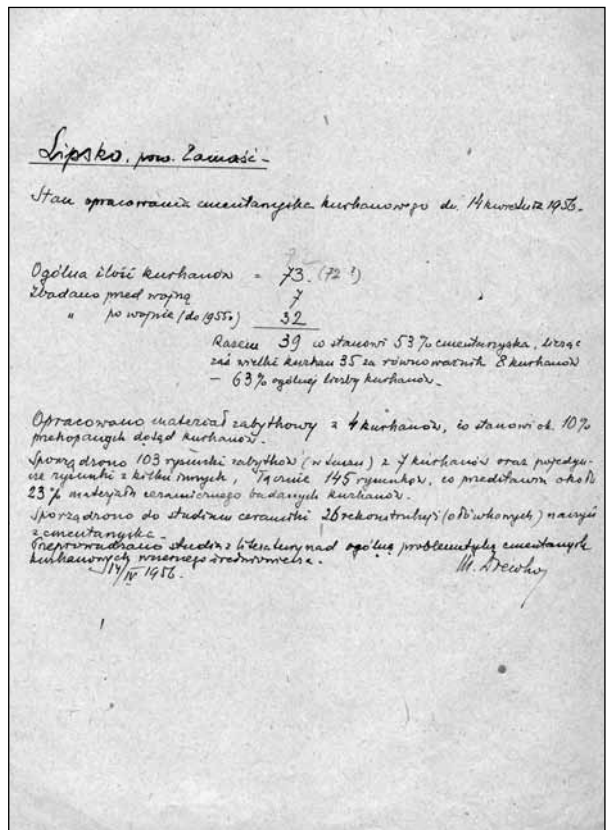
Fig. 33.2. Lipsko-Polesie, commune Zamość. Photographic documentation of the burial mound No. 27, north-eastern part, interior with a wooden framework; Archive of the State Archaeological Museum in Warsaw.

oraz pojedyncze rysunki z kilku innych⁹. Łącznie wykonano 145 rysunków, co przedstawiało około 23% materiału ceramicznego z badanych kurhanów. Przygotowano do opracowania ceramiki 26 rysunkowych rekonstrukcji naczyń z cmentarzyska¹⁰ (Ryc. 34).

W świetle badań archeologicznych cmentarzysko ciałopalne kurhanowe w Lipsku-Polesiu zostało założone we wczesnym średniowieczu. Wyniki dotychczas przeprowadzonych, systematycznych badań archeologicznych dowodzą, że kurhany z grupy południowej powstały w VII–VIII w., a kurhany z grupy północnej w X w. Nekropola ta stanowi część kompleksu osadniczego, w skład którego wchodziły, oprócz cmentarzyska, osady otwarte i grodzisko, całkowicie zniszczone w okresie po II wojnie światowej.

Na stanowisku stwierdzono zabytki z różnych faz zasiedlenia. Ujawniono ślady osadnictwa z okresu halsztackiego i kultury trzcinieckiej, oraz pięć grobów jamowych późnolateńskich, z których jeden – poza fragmentami naczyń – zawierał miecz, grot oszczepu i fibulę żelazną. Obok cmentarzyska zarejestrowano ślady osadnictwa wczesnośredniowiecznego.

W latach 90. XX w. na terenie kompleksu osadniczego w Lipsku-Polesiu przeprowadzone zostały badania powierzchniowe przez pracowników



Ryc. 34. Lipsko-Polesie, gm. Zamość. Notatka M. Drevki dotycząca stanu opracowania cmentarzyska na dzień 14 kwietnia 1956 r.; zbiory Pracowni Dokumentacji Naukowej PMA, Warszawa.

Fig. 34. Lipsko-Polesie, commune Zamość. M. Drevko's note on the state of development of the cemetery as of April 14, 1956; Archive of the State Archaeological Museum in Warsaw.

¹⁰ Uwagi te są zgodne ze stanem opracowania cmentarzyska na dzień 14 kwietnia 1956 r. (Zbiory Pracowni Dokumentacji Naukowej PMA).

Muzeum Okręgowego w Zamościu¹¹. W 1990 r. badania powierzchniowe przeprowadził Andrzej Urbański¹², a w 1997 r. badania w ramach Archeologicznego Zdjęcia Polski – Jerzy Kuśnierz¹³.

Michał Drewko niemal całe swoje życie zawodowe poświęcił badaniom archeologicznym na obszarze Lubelszczyzny i terenów z nią sąsiadujących. Na podkreślenie zasługuje jego wkład w odkrycie i badania wykopaliskowe prowadzone na cmentarzysku kurhanowym ciałopalnym w Lipsku-Polesiu. Oprócz niego w badaniach w 1955 r. brali udział późniejsi profesorowie: Maria Dekówna, Marek Gedl, Jan Machnik, Wojciech Szymański oraz doktor Jerzy Pyrgała (W. Szymański 2004, s. 301). W sumie podczas prac terenowych odkryto 73 kurhany (1–73)¹⁴ i 4 obiekty przypominające kurhany, z których przebadano 38¹⁵ oraz 2 tzw. pseudokurhany¹⁶.

Niewątpliwie najlepszym okresem badań w Lipsku-Polesiu były lata 50. XX w., gdy prace prowadzono w ramach programu badań Grodów Czerwieńskich. To przedsięwzięcie badawcze zmieniło zasadniczo archeologiczny obraz regionu Lubelszczyzny oraz w dużej mierze ukształtowało wiedzę i wyobrażenia na temat obrzędowości pogrzebowej wczesnośredniowiecznych mieszkańców południowo-wschodniej Polski.

Bibliografia

Bondyra W.

1993 *Słownik historyczny miejscowości województwa zamojskiego*, Lublin-Zamość.

Bondyra W., Lorenz E., Prusicka-Kolcon E., Korzeniowski M.

2010 *Dzieje miejscowości gminy Zamość*, Zamość.

Drewko M.

1921 *Sprawozdanie z działalności Państwowego Urzędu Konserwatorskiego na okręg lubelski*, „Wiadomości Archeologiczne” VI, s. 183.

1923 *Sprawozdanie z działalności państwowego konserwatora zabytków przedhistorycznych na okręg lubelski za r. 1922*, „Wiadomości Archeologiczne” VIII, z. 1, s. 100–102.

¹¹ Obecnie Muzeum Zamojskie.

¹² Obecnie dyrektor Muzeum Zamojskiego.

¹³ Obecnie kierownik Działu Archeologii tegoż Muzeum.

¹⁴ W tym przed wojną zbadano 7, natomiast po wojnie do roku 1955: 32 (31?), co stanowi 53% cmentarzyska.

¹⁵ Są to kurhany nr 1, 6–10, 12, 20, 24, 25, 27, 29, 31, 32, 34, 35, 37, 38, 40–43, 45–47, 52, 56, 58–68, 76, 77.

¹⁶ Zostały oznaczone numerami 76, 77.

1924 *Sprawozdania państwowego konserwatora zabytków przedhistorycznych okręgu lubelskiego za rok 1923*, „Wiadomości Archeologiczne” IX, z. 3–4, s. 354.

1953 *Wczesnośredniowieczne kurhany ciałopalne we wsi Lipsko, pow. Zamość*, „Sprawozdania Państwowego Muzeum Archeologicznego” 5, z. 3–4, s. 36–41.

1954 *Wielki kurhan wczesnośredniowiecznego cmentarzyska we wsi Lipsko, pow. Zamość*, „Wiadomości Archeologiczne” XX, s. 307–309.

1956 *Prace wykopaliskowe na wczesnośredniowiecznym cmentarzysku kurhanowym we wsi Lipsko, pow. Zamość*, „Sprawozdania Państwowego Muzeum Archeologicznego” 2, s. 82–84.

1957 *Sprawozdanie z badań przeprowadzonych w 1955 r. na wczesnośredniowiecznym cmentarzysku kurhanowym we wsi Lipsko, pow. zamojski*, „Sprawozdania Archeologiczne” 3, s. 165–168.

Gieysztor A

1953 *Prace badawcze na obszarze grodów czerwieńskich*, „Kwartalnik Historyczny” LX, nr 1, s. 302–316.

Gurba J.

1967 *Doc. Michał Drewko (22 X 1987 – 4 IV 1964)*, „Rocznik Lubelski” 6 (za 1963), s. 277, 278.

1968 *Z problematyki osadnictwa wczesnośredniowiecznego na Wyżynie Lubelskiej*, „Annales UMCS” 20 (za 1965), s. 45–58.

Gurba J., Orłowski R.

1956 *Mikołaj Stworzyński, nieznanymi inwentaryzator grodzisk południowej Lubelszczyzny z początków XIX w.*, „Wiadomości Archeologiczne” XXIII, z. 1, s. 66–71.

Kara M.

1996 *Lipsko*, [w:] *Słownik Starożytności Słowiańskich*, t. 8, cz. 2, s. 395, 396.

Karczewski M.

2015 *Państwowe Grono Konserwatorów Zabytków Archeologicznych i Państwowe Muzeum Archeologiczne: ich rola w ochronie zabytków archeologicznych*, „Seminare. Poszukiwania naukowe” 36, nr 4, s. 183–197.

Kotowicz P. N.

2005 *Stan i potrzeby badań na wczesnośredniowiecznym ciałopalnym obrzędkiem pogrzebowym na terenie województwa lubelskiego*, „Archeologia Polski Środkowowschodniej” 7, s. 156–172.

Kostrzewski J.

1960 *Obrządek ciałopalny u plemion polskich i Słowian północno-zachodnich*, Warszawa.

Nosek S.

1957 *Materiały do badań nad historią starożytną i wczesnośredniowieczną międzyrzecza Wisły i Bugu*, „Annales UMCS” VI, sec. F, (1951), s. 7–502.

Spis kościołów...

1948 *Spis kościołów i duchowieństwa diecezji lubelskiej*, Lublin.

Sprawozdanie z działalności...

1920 *Sprawozdanie z działalności prezydium Państwowego Grona Konserwatorów Zabytków Przedhistorycznych*

w r. 1920, „Wiadomości Archeologiczne” V, z. 3-4, s. 222-227.

Szymański W.

2004 *Dom żywych – dom umarłych w kulturze Słowian wczesnego średniowiecza*, [w:] J. Libera, A. Zakościelna (red.), *Przez pradzieje i wczesne średniowiecze*, Lublin, s. 301-307.

Tymczasowy skład...

1920 *Tymczasowy skład Państwowego Grona Konserwatorów*

Zabytków Przedhistorycznych, „Wiadomości Archeologiczne” V, z. 1-2, s. 82.

Zoll-Adamikowa H.

1975 *Wczesnośredniowieczne cmentarzyska ciałopalne Słowian na terenie Polski, Cz. I, Źródła*, Wrocław-Warszawa-Kraków-Gdańsk.

1979 *Wczesnośredniowieczne cmentarzyska ciałopalne Słowian na terenie Polski, Cz. II, Analiza. Wnioski*, Wrocław-Warszawa-Kraków-Gdańsk.

HISTORY AND STATE OF THE ARCHAEOLOGICAL RESEARCH ON THE EARLY MEDIEVAL BARROW CEMETERY IN LIPSKO-POLESIE

Excavation research at the site in Lipsko-Polesie, Zamość district, voivodeship Lublin (site 1), were conducted in the 1920s and 1950s by Michał Drewko (1887-1964) (Fig. 1).

In this presentation of the current state of history and of research state in Lipsko-Polesie, scientific documentation from the excavations and M. Drewko's notes kept in the Scientific Documentation Studio of the State Archaeological Museum in Warsaw were used.

The necropolis in Lipsko-Polesie is located at the hilltop, following the natural topography on the south-east-north – west axis, located within the Zamojski Padół, which is the southern-eastern part of the Lublin Upland.

The history of archaeological discoveries in the vicinity of Lipsko-Polesie goes back to the first half of the nineteenth century. The first mentions of the barrow cemetery in Lipsko-Polesie were found in the manuscript of Mikołaj Stworzyński, an archivist and historian of the Zamość Estate, who registered the discovered mounds (J. Gurba, R. Orłowski 1956, pp. 69, 70; P. N. Kotowicz 2005, pp. 156-172) (Fig. 7).

The history of archaeological research begins with excavations started in 1921 by Michał Drewko (M. Drewko 1921). During the research carried out in the

1920s, M. Drewko examined 7 barrows. The cemetery area waited about 30 years for the next archaeological works. In 1952, M. Drewko began excavation research on behalf of the State Archaeological Museum in Warsaw, which was included in the research program of the Cherven Grods (A. Gieysztor 1953, p. 315). Research fieldworks M. Drewko conducted over the next seasons until 1955.

During the research carried out in the 1920s and 1950s, M. Drewko registered 73 burial mounds, of which he examined 38. In the light of archaeological research, the cremation barrow cemetery in Lipsko-Polesie was established in the early Middle Ages. The results of the systematic archaeological research carried out so far show that the burial mounds from the southern group were heaped in the 7th-8th centuries AD, and the barrows from the northern group in the 10th century AD. This necropolis is part of a settlement complex which included, apart from the cemetery, open settlements and a stronghold.

The materials obtained during archaeological research at the cremation barrow cemetery in Lipsko-Polesie are kept in the collection of the State Archaeological Museum in Warsaw, in the Department of Medieval and Modern Era Archaeology, under the inventory number PMA/V/7029.

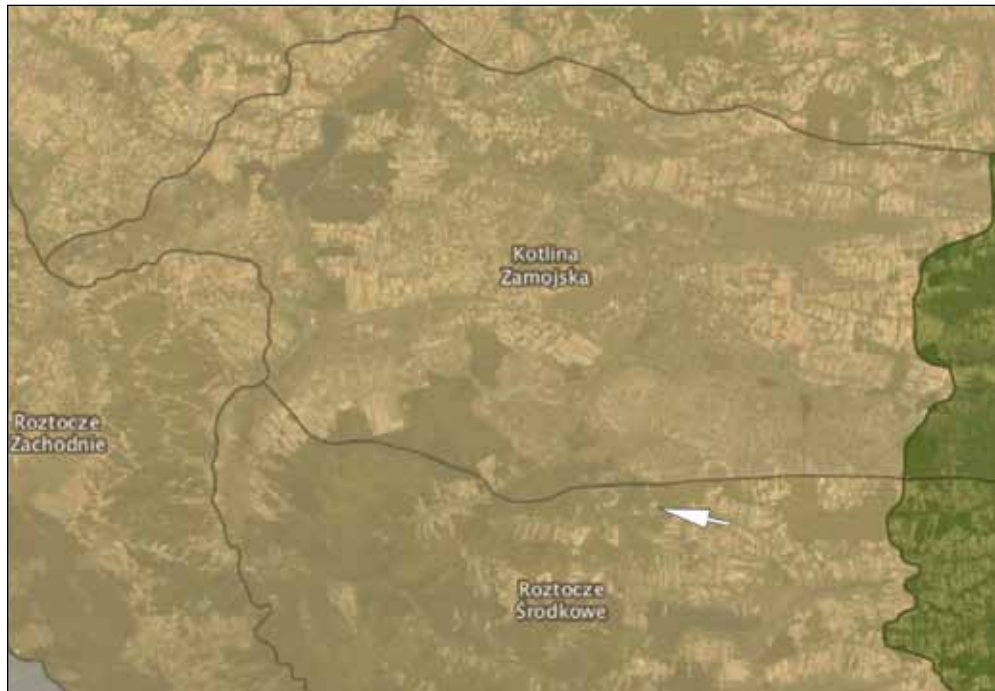
Wczesnośredniowieczne cmentarzysko kurhanowe w Lipsku-Polesiu: położenie geograficzne oraz tło osadnicze

Łukasz Miechowicz

Położenie geograficzne regionu

Omawiane stanowisko archeologiczne położone jest na obszarze Roztocza, na granicy dwóch mezoregionów geograficznych: Kotliny Zamojskiej oraz Roztocza Środkowego (Ryc. 1)¹. Geograficznie, na podstawie nowego aktualnego podziału na obszary geofizyczne (J. Solon i in. 2018), przypisane zostało do drugiego obszaru. Pod względem

ukształtowania terenu jest to obszar mocno pofałdowany i pagórkowaty. Region ten jest wyżyną zbudowaną z piaskowców miocenkich i wapieni litotamniowych, zwykle bez pokrywy lessowej. Osiąga wysokości do 387 m n.p.m. Roztocze Środkowe przecinają podłużne doliny górnych odcinków Wieprza i Tanwi. Jest to także obszar silnie zalesiony (T. Brzezińska-Wójcik, E. Skowronek, A. Świeca 2016, s. 133–168).



Ryc. 1. Położenie stanowiska względem mezoregionów geograficznych (oprac. Ł. Miechowicz).

Fig. 1. Location of the site in relation to the geographical mesoregions (prepared by Ł. Miechowicz).

¹ Szczegółowe omówienie środowiska geograficznego regionu zawiera opracowanie J. Redera (2009, s. 5–22).

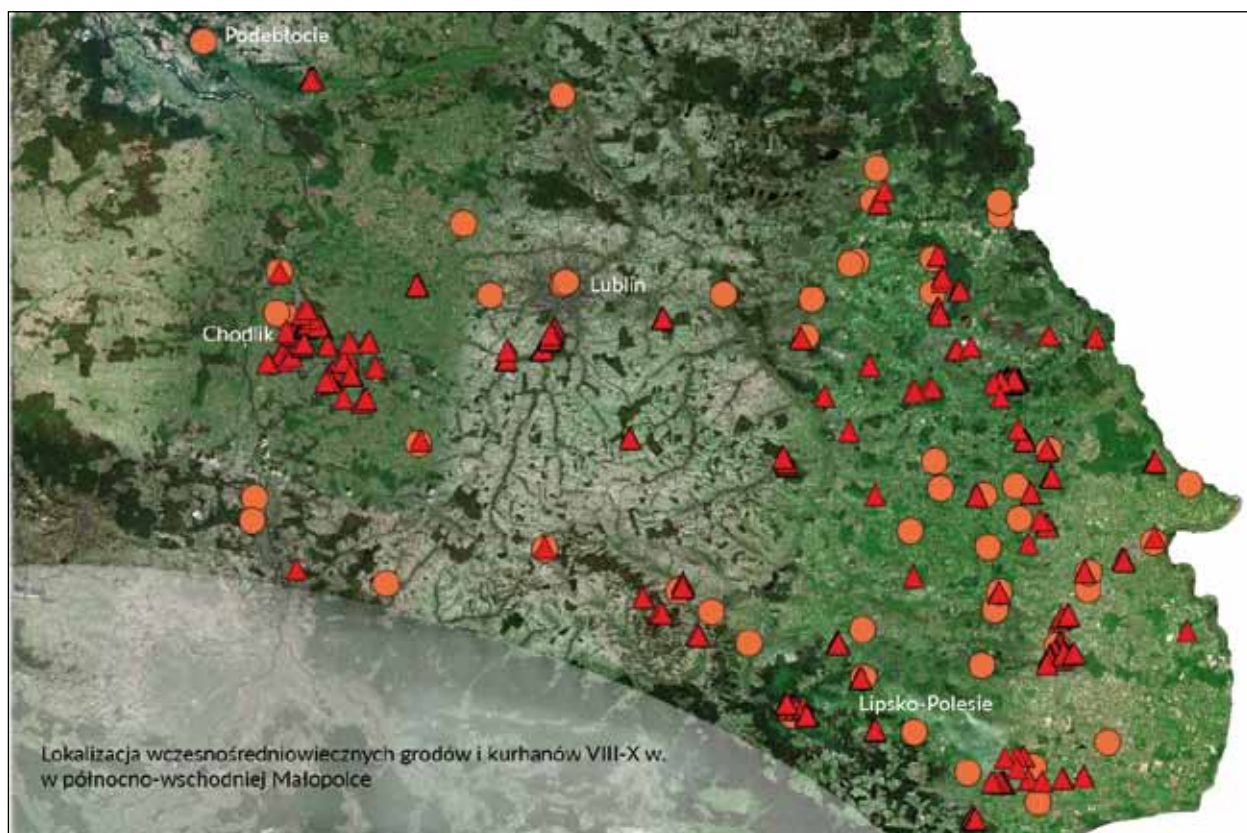
Położenie stanowiska na tle osadniczym

Zagadnienie osadnictwa w okresie wcześniejszego średniowiecza na obszarze Roztocza było wielokrotnie poruszane w literaturze przedmiotu, z tego powodu w tym miejscu przybliżymy jedynie zarys stanu badań na ten temat (patrz: T. Dzieńkowski 2014, s. 151–169, tam dalsza literatura). Region ten przez większość badaczy zgodnie włączany jest do historycznego obszaru północno-wschodniej Małopolski, której wschodnia granica sięgała dorzecza Wieprza (por. T. Wąsowicz 1961, s. 203–254; S. Hoczyk-Siwkova 1999, s. 12, 13; J. Poleski 2013, s. 291, ryc. 3). Zdaniem J. Poleskiego (2013, s. 394, ryc. 106) obszar dzisiejszej Lubelszczyzny pomiędzy VI a X w. wchodził w skład większej, południowej „provincji kulturowej”, wyróżniającej się m.in. ciałopalnym typem obrządku pogrzebowego z przewagą pochówków nakurhanowych, powstawaniem dużych grodów o powierzchni powyżej 5 ha oraz wy-

stępowaniem płacidel w postaci żelaznych grzywnien siekiero- oraz grotopodobnych (Ryc. 2).

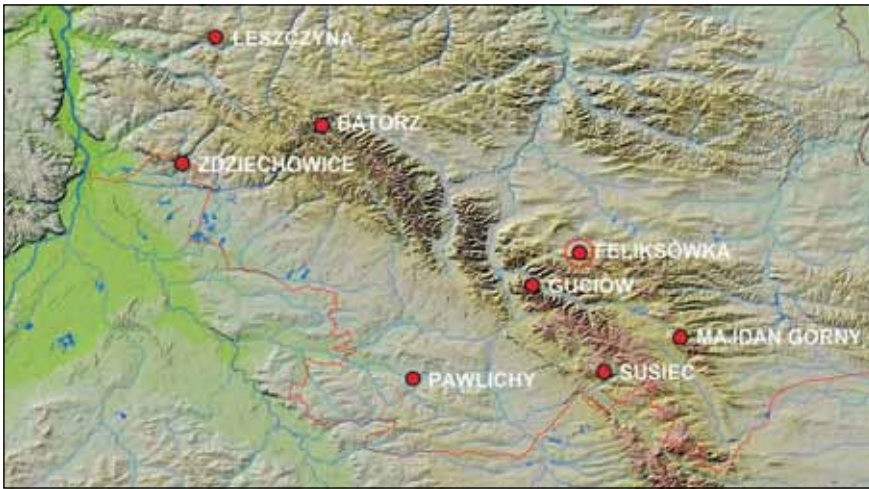
W X w. cechą charakterystyczną wczesnośredniowiecznego osadnictwa Roztocza jest położenie na styku dwóch stref kulturowych – zachodnio- i wschodniosłowiańskiej. Różnice te widoczne są zwłaszcza u schyłku okresu plemiennego, kiedy był to obszar ekspansji kształtującego się Państwa Piastów oraz Rusi Kijowskiej. Dopiero powstała na tym terenie w XI w. granica państwowości polskiej i ruskiej doprowadziła do podziału jednolitego kulturowo w okresie plemiennym obszaru (M. Wołoszyn 2013, s. 85–116).

Możemy wyróżnić 3 podokresy charakteryzujące rozwój społeczno-kulturowy plemiennej Małopolski: faza I (VI–VII w.), faza II (VIII – 1. połowa IX w.), faza III (2. połowa IX–X w.) (M. Parczewski 1986, s. 97; S. Hoczyk-Siwkova 1999, s. 19–21; J. Poleski 2013, s. 155–207). W przypadku nekropolii w Lipsku-Polesiu okres jej funkcjonowania przypada na fazę II i częściowo III. Jest to czas znaczących zmian spo-



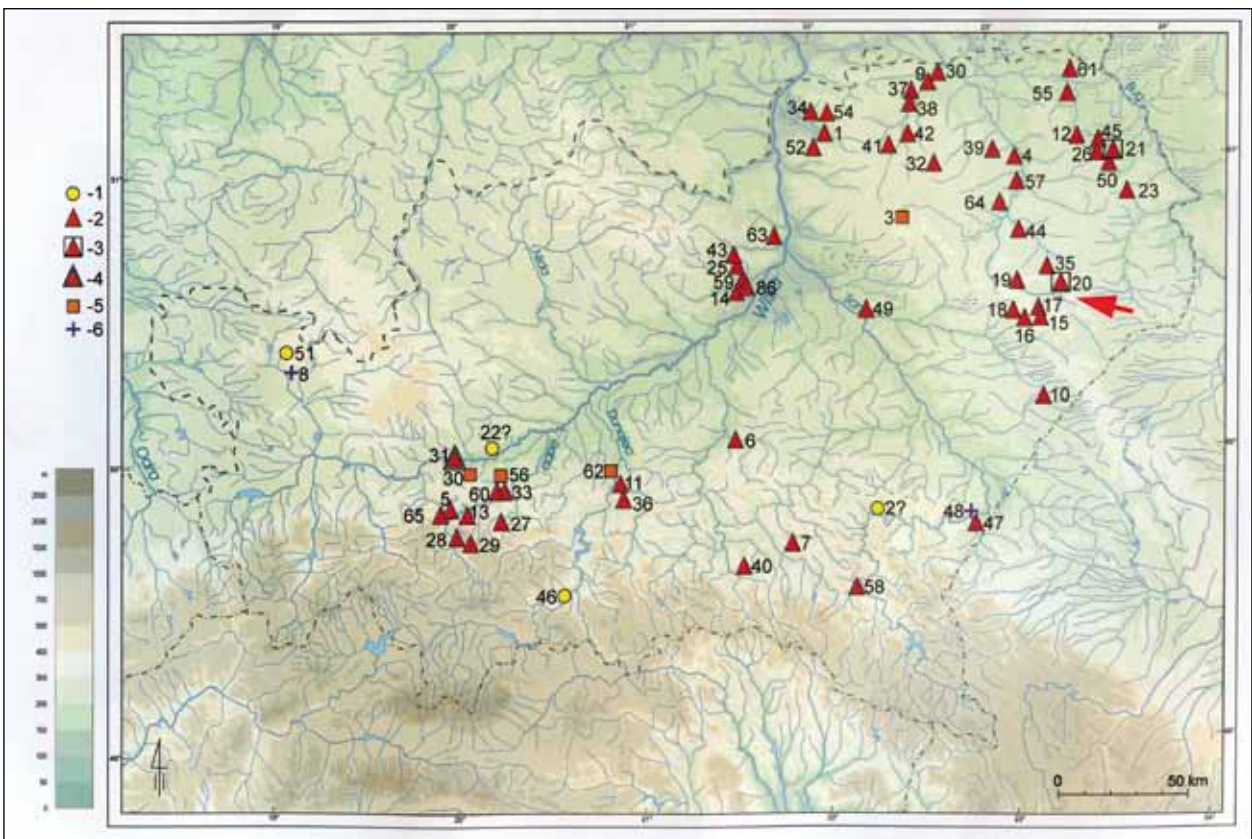
Ryc. 2. Kompleks osadniczy w Lipsku-Polesiu na tle wczesnośredniowiecznych grodów i kurhanów z okresu plemiennego na obszarze północno-wschodniej Małopolski (oprac. E. Miechowicz).

Fig. 2. The settlement complex in Lipsko-Polesie against the background of early medieval strongholds and burial mounds from the tribal period in the north-eastern Lesser Poland (prepared by E. Miechowicz).



Ryc. 3. Grody z okresu plemiennego VIII-X w. na obszarze Roztocza z oznaczeniem lokalizacji grodziska w Feliksówce (dawniej Lipsku) (za M. Florek 2018, s. 72, ryc. 1).

Fig. 3. Strongholds from the tribal period dated to 8th-10th century AD in the Roztocze area (after M. Florek 2018, 2018, p. 72, fig. 1).



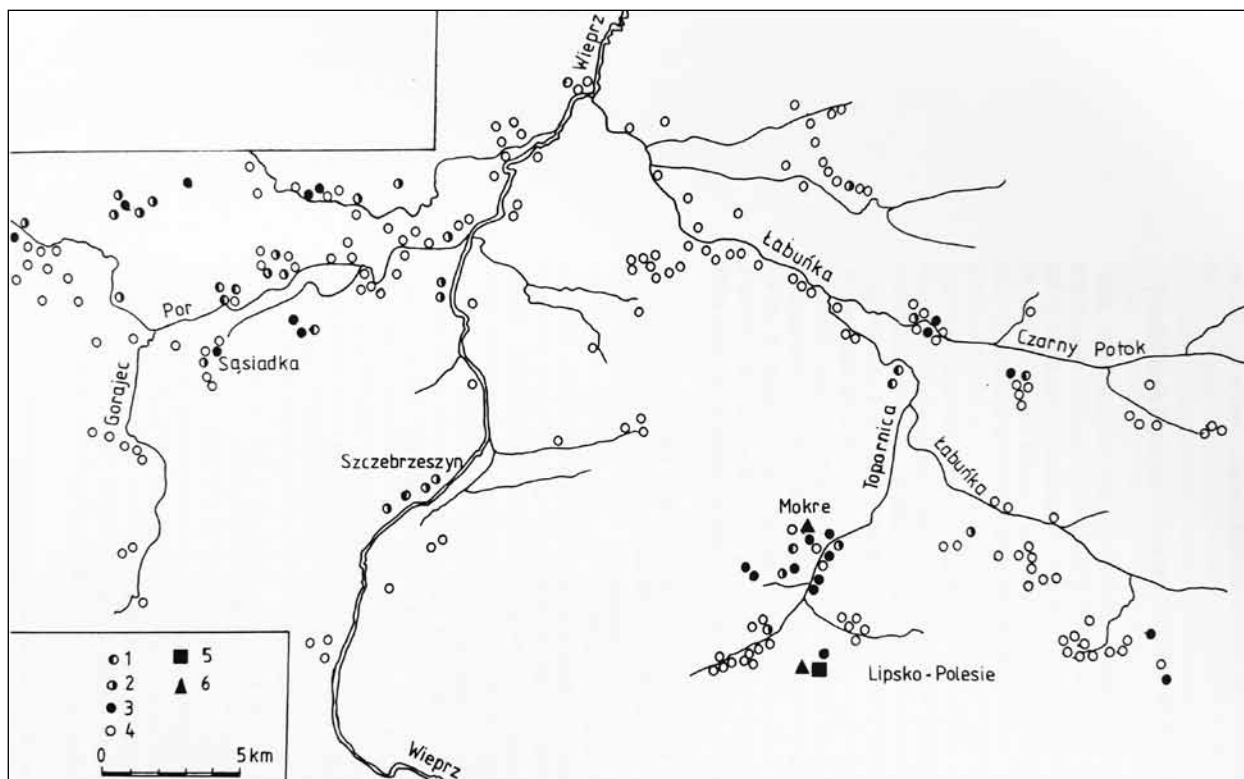
Ryc. 4. Lokalizacja cmentarzyska kurhanowego w Lipsku-Polesiu na tle mapy kurhanów wczesnośredniowiecznych Małopolski (za J. Poleski 2013, s. 395, ryc. 107).

Fig. 4. Location of the barrow cemetery in Lipsko-Polesie plotted on the map of early medieval barrows of Lesser Poland (after J. Poleski 2013, p. 395, fig. 107).

lecznych na obszarze Słowiańszczyzny Zachodniej, których odbiciem jest m.in. powstanie pierwszych założeń grodowych oraz rozpowszechnienie się kurhanowej formy obrządku pogrzebowego. Zmiany te czytelne są także w kulturze materialnej, m.in. garncarstwie oraz uzbrojeniu (por. S. Hoczyk-Siwkowska 199, s. 20; J. Poleski 2013, s. 161–170). W znalezi-

skach z VIII w. pojawiają się m.in. ostrogi z zaczepami haczykowatymi, z których jeden egzemplarz odkryto na omawianym cmentarzysku.

W literaturze podejmowano próby przypisania istniejącym tu strukturom osadniczym przynależności plemienną, zaliczając zazwyczaj Roztocze do obszarów zasiedlenia Dulębów lub Łędzian, których północny



Ryc. 5. Mapa osadnictwa okresu plemiennego w dorzeczu górnego Wieprza – tzw. region szczeczeszyński (za S. Hoczyk-Siwkova 1999, s. 95, ryc. 20).

Fig. 5. Map of tribal settlements in the upper Wieprz river basin (after S. Hoczyk-Siwkova 1999, p. 95, fig. 20).



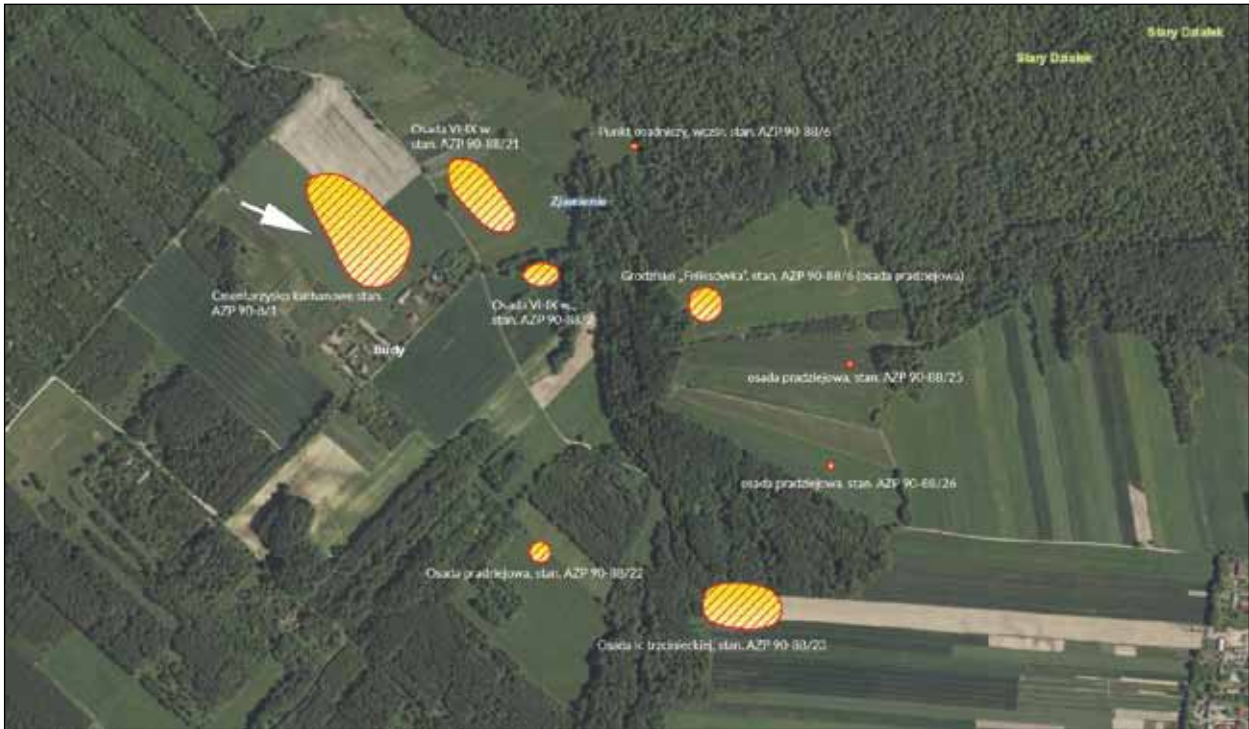
Ryc. 6. Mapa Meyera von Heldensfelda z lat 1803–1804 z naniesioną lokalizacją cmentarzyska kurhanowego oraz grodziska (oprac. Ł. Miechowicz; za: <https://maps.arcanum.com/en/map/europe-18century-firstsurvey/?layers=here-aerial%2C163%2C165&bbox=2582724.777084988%2C6555229.991108164%2C2591816.0061366563%2C6558621.8842383195>).

Fig. 6. Map of Meyer von Heldensfeld from 1803-1804 with plotted location of the barrow cemetery and the stronghold (prepared by Ł. Miechowicz; after: <https://maps.arcanum.com/en/map/europe-18century-firstsurvey/?layers=here-aerial%2C163%2C165&bbox=2582724.777084988%2C6555229.991108164%2C2591816.0061366563%2C6558621.8842383195>).

odłam w X w. mógł być zwany także Bużanami lub Wołynianami (J. Parczewski 2007; M. Florek 2009, s. 33; 2018a). Na przełomie X i XI w. z obszarem tym wiąże się zagadnienie funkcjonowania tzw. Grodów Czerwieńskich (M. Florek, M. Wołoszyn 2016).

S. Hoczyk-Siwkova (1999, s. 93–96), na podstawie analizy wczesnośredniowiecznych skupisk osadniczych zaliczyła obszar, na którym położone jest cmentarzysko w Lipsku-Polesiu, do tzw. „Regionu szczeczeszyńskiego” (Ryc. 5). Początek osadnictwa (VIII w.) wyznaczają tu cmentarzyska kurhanowe w Lipsku-Polesiu, Mokrem oraz Guciwie (Ryc. 3, 4).

Analizując mapę osadnictwa okresu plemiennego możemy przypuszczać, że kompleks osadniczy w Lipsku-Polesiu wraz z zespołem osad rozlokowanych wzdłuż rzeki Topornicy oraz cmentarzyskiem kurhanowym w Mokrem tworzyły zapewne jeden mikroregion osadniczy (S. Hoczyk-Siwkova



Ryc. 7. Położenie cmentarzyska względem innych stanowisk archeologicznych w Lipsku-Polesiu (oprac. Ł. Miechowicz, QGIS wersja 3.18.1).
 Fig. 7. The location of the cemetery in relation to other archaeological sites in Lipsko-Polesie (prepared by Ł. Miechowicz, QGIS version 3.18.1).

wa 1999, s. 95, ryc. 20)². W ostatnim czasie dzięki analizie NMT LiDAR, na obszarze tym zidentyfikowano jeszcze dwa blisko usytuowane cmentarzyska kurhanowe w Wielących-Lesie, gm. Szczepieszyn oraz Wieprzcu-Wychodach, gm. Zamość, odległe odpowiednio o 15 oraz 6 km od nekropolii w Lipsku (G. Mączka (red.) 2020, s. 225, 226). Do najważniejszych ośrodków osadniczych na obszarze Roztocza należał w okresie plemiennym odległy o ok. 15 km zespół osadniczy w Guciowie (H. Zoll-Adamikowa 1974, s. 115–171; M. Florek 2018b, s. 86–94, tam dalsza literatura). Kurhany w Guciowie wykazują bardzo duże podobieństwo do grobów z Lipska-Polesia, zarówno pod względem konstrukcji, jak i obrządku pogrzebowego (H. Zoll-Adamikowa 1975, s. 80–91).

Cmentarzysko położone jest na niewysokiej kulminacji (268 m n.p.m.), wznoszącej się nad doliną bezimiennego strumienia, obecnie zmeliorowanego i wyschniętego. Zasila go wybijające u podstawy tzw. Łysej Góry źródło św. Romana, miejsce lokalnego kultu religijnego (D. Kawalko 2008). Na wzgórzu

znajdują się pozostałości wczesnośredniowiecznego grodziska z okresu plemiennego, najprawdopodobniej współczesnego cmentarzysku, tzw. „Feliksówka” (M. Florek 2018b, s. 81–86) (Ryc. 8, 9). Ok. 100 m na wschód od cmentarzyska zidentyfikowano ślady dwóch wczesnośredniowiecznych osad datowanych na VIII–X w. (Ryc. 7, 8)³.

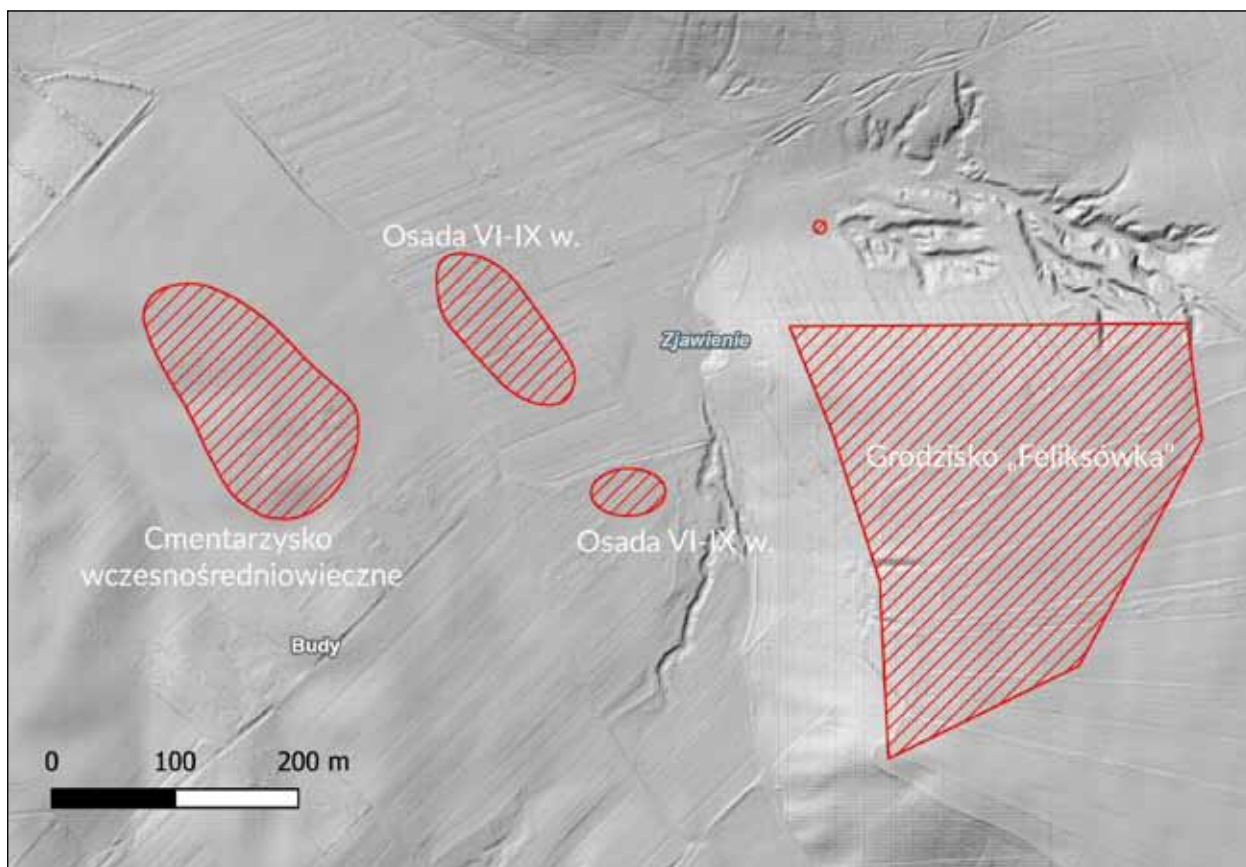
Na mapach archiwalnych z XIX w. pola wokół grodziska oraz cmentarzyska występują pod nazwą „Stary Lipsk” lub „Miasteczko” (Ryc. 6).

Około 400 m na północ, u wylotu doliny znajduje się kompleks osad datowanych od pradziejów po wczesne średniowiecze (Ryc. 10). Na południe od nekropolii położone jest zgrupowanie osad datowanych na okres epoki brązu. Zarówno na obszarze cmentarzyska, pobliskich osad wczesnośredniowiecznych oraz grodziska „Feliksówka” odkryto również materiał zabytkowy datowany od epoki brązu po wczesną epokę żelaza.

Jedna z osad położona „kilkaset metrów na północ od cmentarzyska” była w 1954 r. badana wyko-

² Ok. 40 km na wschód od Lipska-Polesia ulokowany jest kompleks osadniczy w Czerminie, wiązany z latopisowym Czerwieniem, jednakże obecny stan badań wskazuje jego początki dopiero na X w.

³ Badania powierzchniowe prowadzono na danym obszarze w ramach programu Archeologiczne Zdjęcie Polski w 1997 r. (W. Koman, A. Urbański 1997).



Ryc. 8. Wczesnośredniowieczny kompleks osadniczy w Lipsku-Polesiu na tle NMT LiDAR (oprac. Ł. Miechowicz, QGIS wersja 3.18.1).

Fig. 8. Early medieval settlement complex in Lipsko-Polesie against the backdrop of NMT LiDAR (prepared by Ł. Miechowicz, QGIS version 3.18.1).

paliskowo przez M. DREWĘ. Odkryto półziemiankę z piecem oraz bliżej nieokreśloną jamę. Jej chronologię na podstawie fragmentów naczyń glinianych określono na X w. (M. DREWKO 1956, s. 83–84).

Osady wczesnośredniowieczne położone u podstawy wzgórza zajętego przez cmentarzysko były badane powierzchniowo w ramach programu Archeologiczne Zdjęcie Polski w 1997 r., ich chronologię określono wstępnie na VI–X w. (W. Koman, A. Urbański 1997).

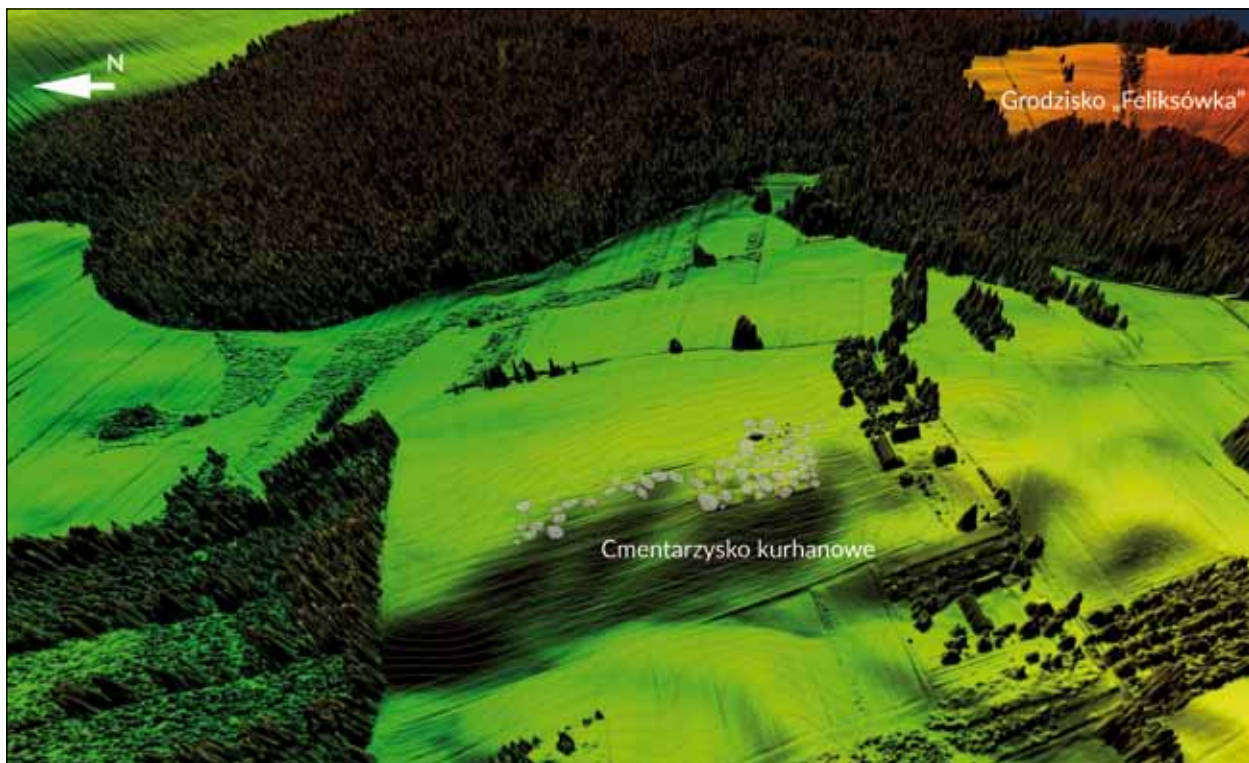
Grodzisko „Feliksówka”

Grodzisko wczesnośredniowieczne ulokowane jest ok. 400 m na południe od omawianej nekropolii, na gruntach wsi Feliksówka, gm. Adamów. Obiekt zajmuje kulminację tzw. Wzgórze „Zjawienie” lub „Zjawienie św. Romana”. W starszej literaturze figuruje ono jako grodzisko w Lipsku (por. S. Nosek 1957; J. Gurba 1976 s. 24). W ostatnim czasie obiekt ten został dokładnie omówio-

ny przez M. Florka (2018b, s. 81–86) (Ryc. 3). Analiza NMT LiDAR pozwala określić wielkość powierzchni obiektu na ok. 7–8 ha. W terenie widoczne są trzy łukowate linie wałów: wał I (wewnętrzny) o długości ok. 200 m, wał II (środkowy) o długości ok. 450 m oraz wał III (zewnętrzny) o długości ok. 410–420 m. Dziś wysokość rozoranych nasypów sięga 20 cm.

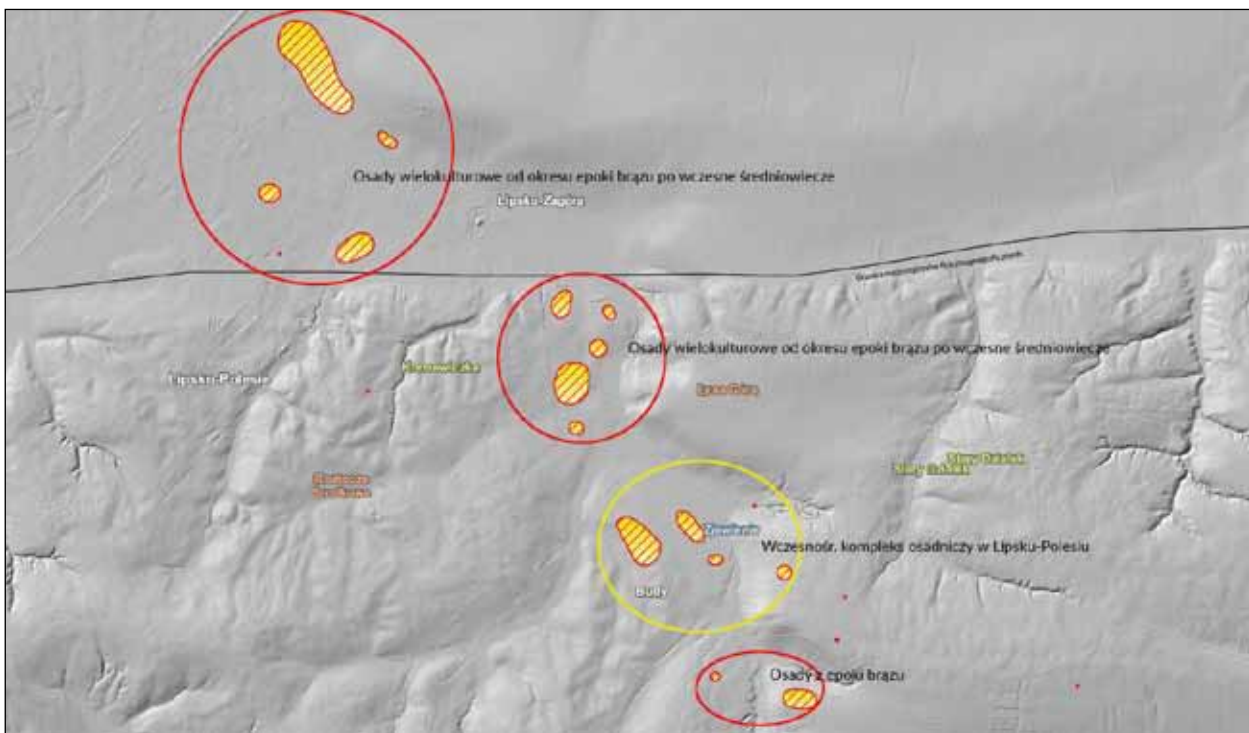
Grodzisko zostało zlokalizowane przez Michała DREWĘ w 1922 r., przy okazji pierwszych badań cmentarzyska kurhanowego. Opisał je jako duże, „o doskonale dochowanych wałach i rowach” (M. DREWKO 1923, s. 100). Zachowała się dokumentacja fotograficzna pokazująca jeden z wałów i fosę (Ryc. 14). W tym czasie, podobnie jak dziś, zachodnia część obiektu porośnięta była lasem, majdan i wały zajęte były przez pola orne.

Badania wykopaliskowe mające na celu rozpoznanie nawarstwień obiektu zostały podjęte przez M. DREWĘ w 1955 r. Grodzisko było już wówczas mocno rozorane. Wykonano dwa sondáže badawcze



Ryc. 9. Położenie relikwów wczesnośredniowiecznego grodziska na tzw. Wzgórzu Św. Romana względem nekropolii w Lipsku-Polesiu na Numerycznym Modelu Pokrycia Terenu LiDAR (oprac. Ł. Miechowicz).

Fig. 9. The location of the relics of an early medieval stronghold on the so-called St. Roman Hill in relation to the necropolis in Lipsko-Polesie on the Digital Model of Terrain Coverage LiDAR (prepared by Ł. Miechowicz).



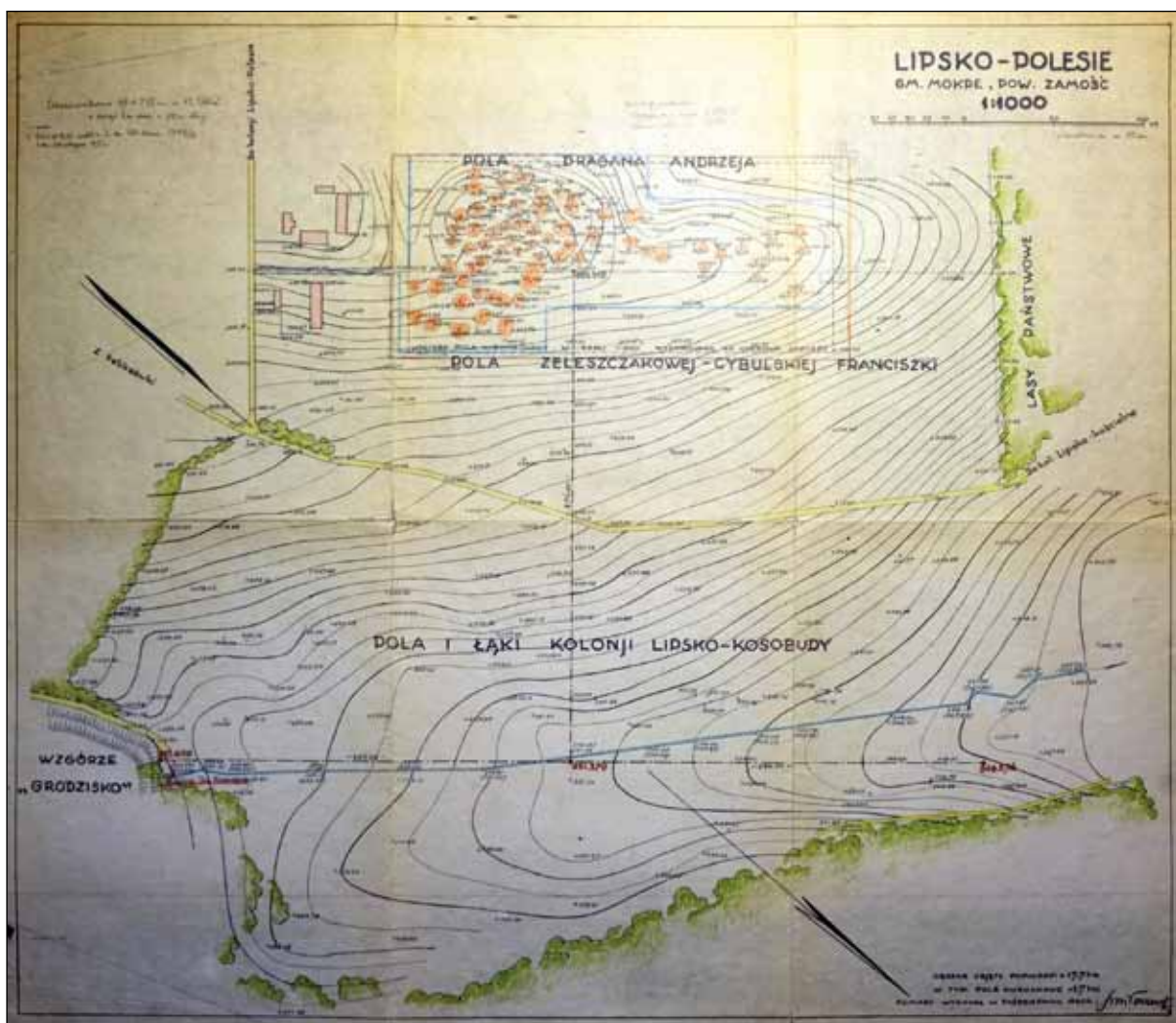
Ryc. 10. Położenie wczesnośredniowiecznego kompleksu osadniczego w Lipsku-Polesiu względem pobliskich stanowisk archeologicznych – kompleks osad na północ od nekropolii (oprac. Ł. Miechowicz, QGIS wersja 3.18.1).

Fig. 10. Location of the early medieval settlement complex in Lipsko-Polesie in relation to the nearby archaeological sites – settlement complex north of the necropolis (prepared by Ł. Miechowicz, QGIS version 3.18.1).



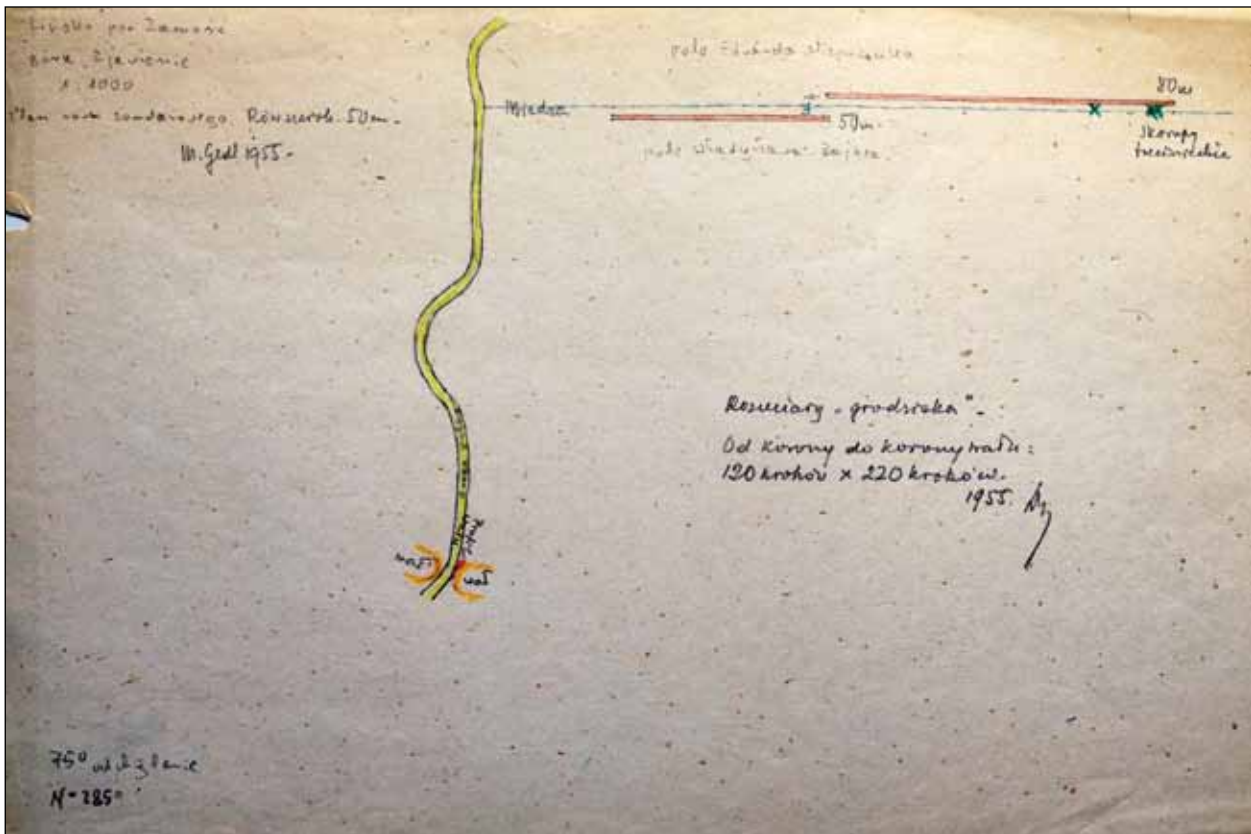
Ryc. 11. Lokalizacja cmentarzyska oraz grodziska naniesiona na Wyjętek z Mapy Folwarku Lipsko Ordynacji Zamojskich. Dokumentacja z badań M. Drewki. Archiwum PMA w Warszawie (oprac. Ł. Miechowicz).

Fig. 11. The location of the cemetery and the stronghold plotted on the *Wyjętek z Mapy Folwarku Lipsko Ordynacji Zamojskich* (Exception from the Map of the Lipsko Farmstead of the Zamojski Estate). Documentation from research by M. Drewko Archive of the State Archaeological Museum in Warsaw (prepared by Ł. Miechowicz).



Ryc. 12. Plan geodezyjny obszaru cmentarzyska z naniesioną lokalizacją grodziska wczesnośredniowiecznego wykonany w 1950 r. Archiwum PMA w Warszawie.

Fig. 12. Geodetic plan of the cemetery area with the location of an early medieval stronghold, made in 1950; Archive of the State Archaeological Museum in Warsaw.



Ryc. 13. Plan odręczny z lokalizacją sondażu oraz miejsca zadokumentowania fragmentu wału środkowego przeciętego przez drogę. Archiwum PMA w Warszawie.

Fig. 13. Freehand plan with the location of test excavations and place of documentation the fragment of the middle embankment cut by the road; Archive of the State Archaeological Museum in Warsaw.

o szerokości 0,5 m i długości 50 oraz 80 m. Zadokumentowano również profil wału środkowego, przeciętego drogą (Ryc. 15). Określono go jako nasyp ziemny o wysokości ok. 60 cm i szerokości podstawy sięgającej ok. 8 m. W wykopach odkryto jedynie trzy fragmenty naczyń kultury trzcinieckiej (M. Drewko 1957, s. 167). W dokumentacji z badań cmentarzyska zachowała się teczka z planami oraz mapami z naniesioną lokalizacją obiektu oraz rysunkiem przekroju fragmentu wału II (Ryc. 11–13). Zadokumentowano tworzące wał nawarstwienia oraz warstwę spływową (Ryc. 16).

Postępujące w dalszych latach prace rolne doprowadziły praktycznie do całkowitego rozorania wałów grodziska. W trakcie badań powierzchniowych prowadzonych w latach 60. ubiegłego wieku przez A. Hunicza nie stwierdzono istnienia pozostałości grodziska. Nie zostało ono zlokalizowane także w trakcie badań powierzchniowych prowadzonych w 1997 r. w ramach programu Archeologiczne Zdjęcie Polski (M. Florek 2018b, s. 83).

Ze względu na znikomy stan badań niewiele możemy powiedzieć na temat funkcji i chronologii obiektu. Wydaje się prawdopodobne, że jest on współczesny położonym u jego stóp osadom i cmentarzysku kurhanowemu.

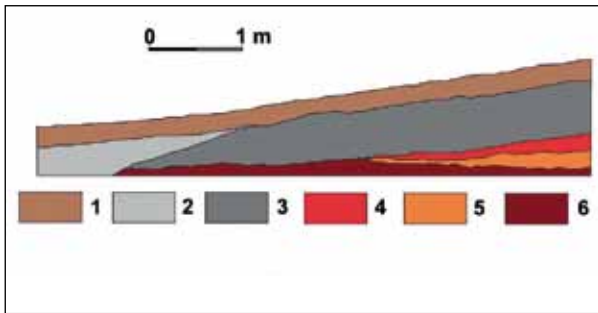
Osada wczesnośredniowieczna „przy cegielni parafialnej”

W sierpniu 1954 r. M. Drewko przeprowadził badania wykopaliskowe na wczesnośredniowiecznej osadzie położonej kilkaset metrów na północ od nekropolii, pomiędzy cegielnią parafialną, stawem i nowożytnymi kopcami granicznymi. W dokumentacji z badań cmentarzyska zachował się odręczny rysunek z lokalizacją wykopu (Ryc. 17). Uchwyciono półziemiankę o wymiarach ok. 5×5 m, z paleniskiem z łupanego wapienia w narożniku (Ryc. 17a). W nawarstwieniach budynku odkryto liczne fragmenty kości zwierzęcych oraz ułamki wczesnośredniowiecznych naczyń glinianych. Na ich



Ryc. 14. Fotografie przedstawiające wał grodziska na Górze św. Romana (Zjawienie) w Lipsku-Polesiu (obecnie grunty wsi Feliksówka), lata 20. XX w. (Fot. R. Jakimowicz).

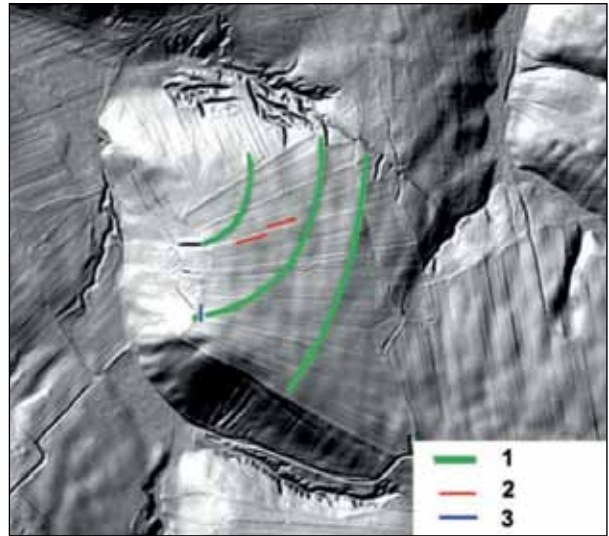
Fig. 14. Photographs showing the rampart of the stronghold on St. Romana Hill in Lipsko-Polesie (now the land of the village of Feliksówka), 1920s (Photo by R. Jakimowicz).



Ryc. 15. Profil wału II (środkowego) w miejscu przecięcia go przez drogę, według rysunku W. Szymańskiego w opracowaniu M. Floraka (2018b, s. 84, ryc. 8).

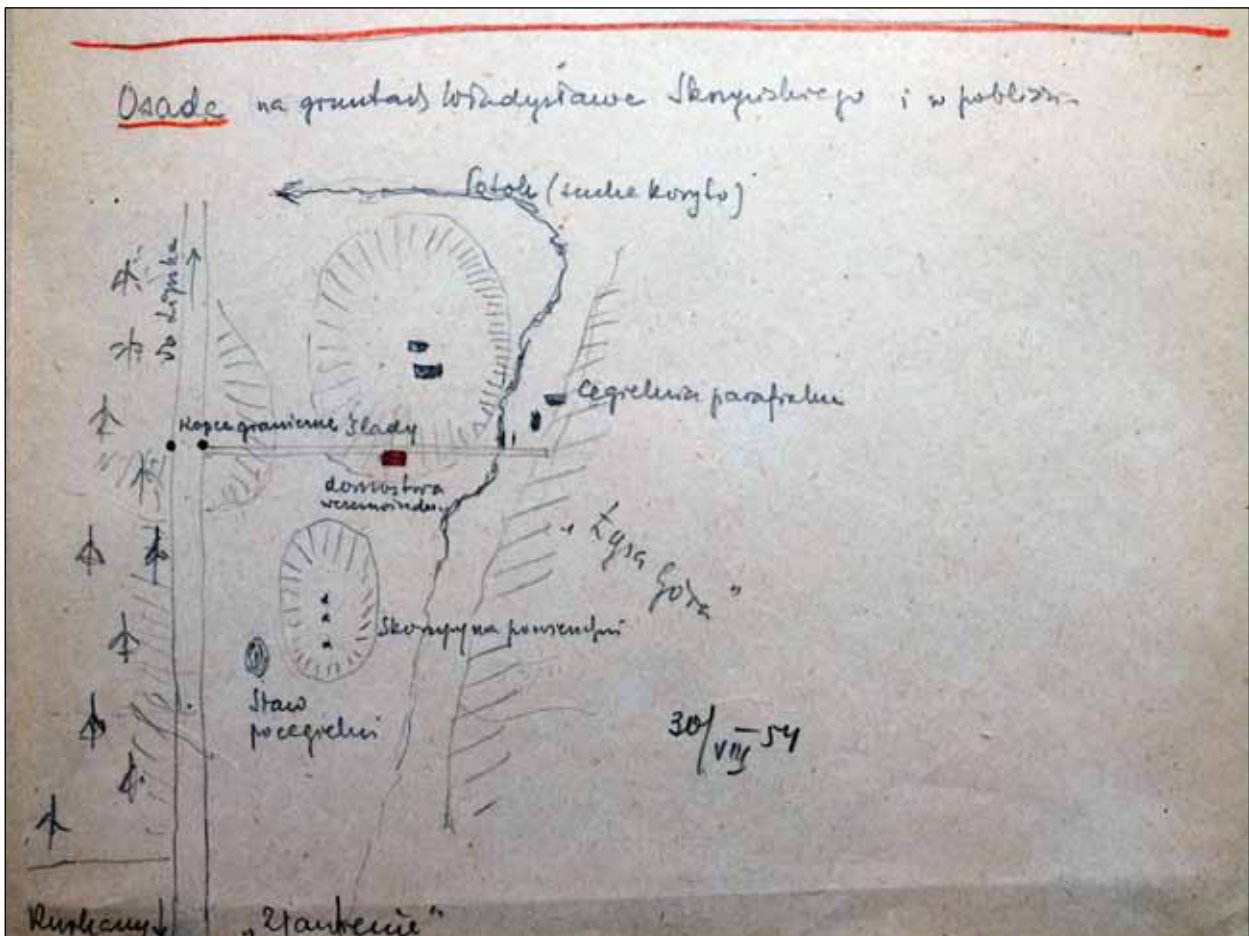
1. humus leśny; 2. spływ z wału; 3. nasyp ze zbielicowanej gliny;
4. „ziemia denna” z domieszką „nasypowej”; 5. ziemia „nasykowa” z domieszką „dennej”; 6. ziemia ciemna błotnista.

Fig. 15. Profile of embankment II (the middle one) at the intersection with the road, according to a drawing by W. Szymański processed by M. Florek (2018b, p. 84, fig. 8). 1. forest humus; 2. Flow-down from the embankment; 3. embankment constructed on podsolized clay; 4. „bottom” earth with an admixture of the „embankment” one; 5. „embankment” earth with an admixture of the „bottom” one; 6. dark muddy earth.



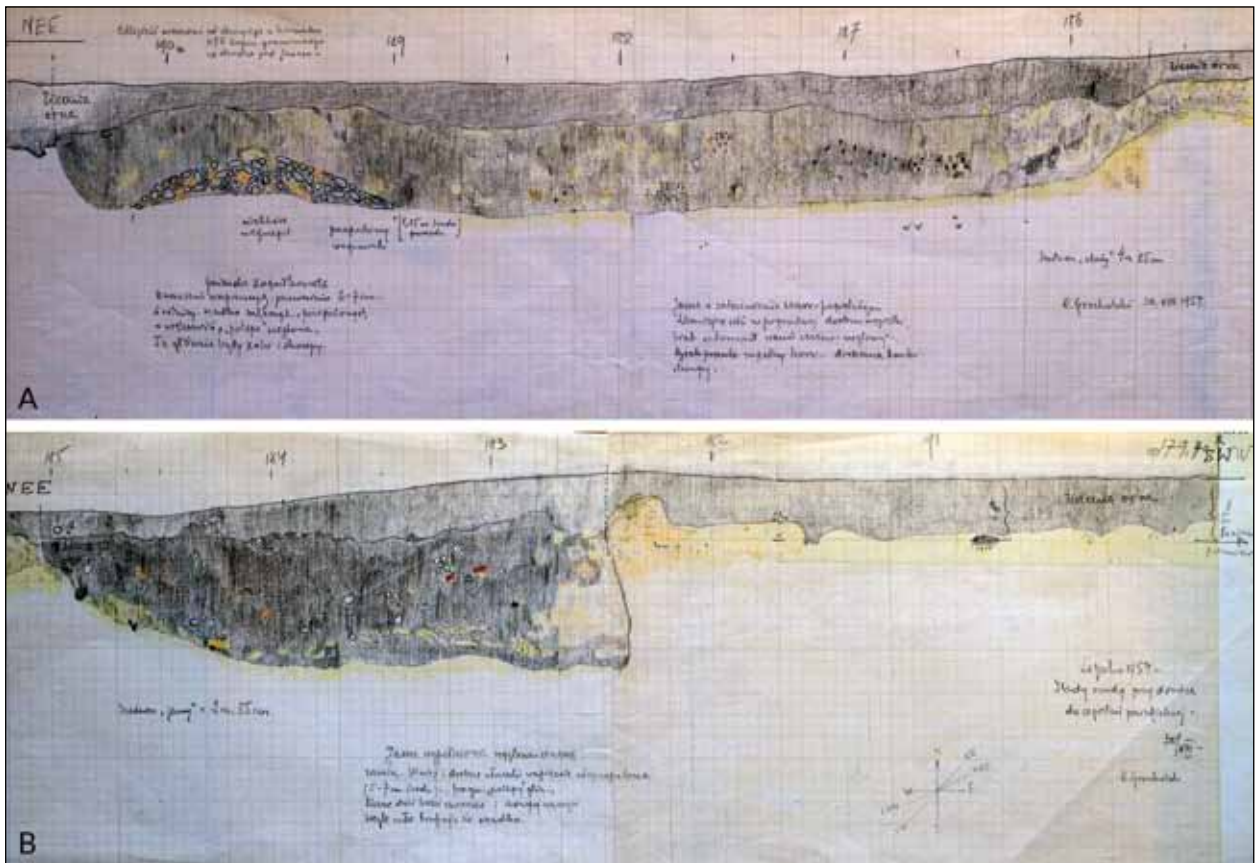
Ryc. 16. NMT LiDAR grodziska o oznaczeniu przebiegu wałów (1), wykopów M. DREWKI w 1955 r. (2) oraz miejsca przecięcia wału przez drogę (3). Źródło: mapy.zabytek.gov.pl; opr. M. Florek (2018b, s. 83, ryc. 7).

Fig. 16. NMT LiDAR of a stronghold with the embankment route mark (1), M. DREWKO excavations in 1955 (2) and the place where the road intersects the embankment (3). Source: mapy.zabytek.gov.pl; comp. M. Florek (2018b, p. 83, fig. 7).

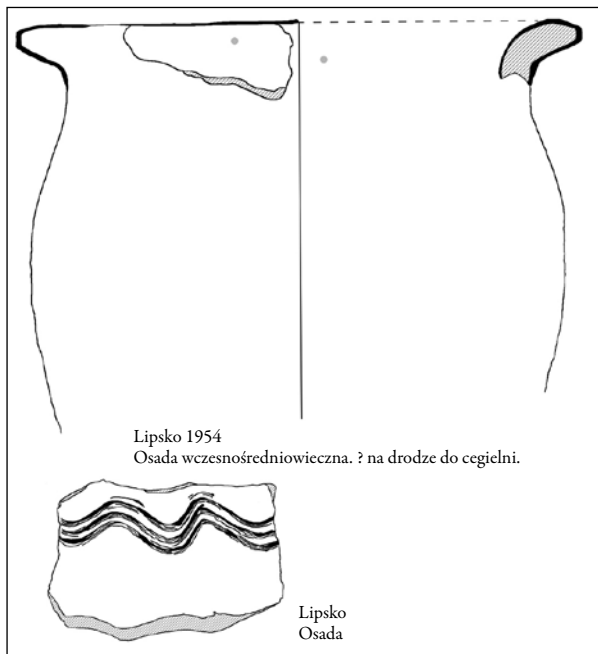


Ryc. 17. Odręczny szkic w dokumentacji archiwalnej w PMA w Warszawie z lokalizacją miejsca badań wykopaliskowych na osadzie wczesnośredniowiecznej.

Fig. 17. A freehand sketch in the archival documentation at the State Archaeological Museum in Warsaw with localised place of the archaeological excavations on the early medieval settlement.



Ryc. 18. A. Przekrój przez półziemiankę z widocznym paleniskiem. Rysunek na papierze mm w skali 1:20; B. Przekrój przez jamę wczesnośredniowieczną. Rysunek W. Szymańskiego na papierze mm w skali 1:20. Dokumentacja rysunkowa w archiwum PMA w Warszawie.
 Fig. 18. A. A cross-section of a half-dugout with a visible hearth. Drawing on the millimeter paper, scale 1:20; B. Cross-section through an early medieval pit. Drawing by W. Szymański on millimeter paper, scale 1:20. Drawing documentation in the Archive of the State Archaeological Museum in Warsaw.



Ryc. 19. Fragmenty naczyń glinianych odkrytych w wypełniku półziemianki (rys. W. Szymański, oprac. Ł. Miechowicz).
 Fig. 19. Fragments of clay vessels discovered in the fill of a half-dugout (drawing by W. Szymański, prepared by Ł. Miechowicz).

podstawie określono chronologię budynku na X w. W pobliżu półziemianki odsłonięto jamę o średnicy ok. 2 m i głębokości sięgającej 1 m (Ryc. 17b). W jej wypełniku znaleziono liczne węgle drzewne, kości zwierzęce oraz fragmenty wczesnośredniowiecznych naczyń glinianych (Ryc. 19).

Bibliografia

Brzezińska-Wójcik T., Skowronek E., Świeca A.

2016 *Roztocze – od krainy fizjograficznej do regionu turystycznego*, [w:] T. Brzezińska-Wójcik, E. Skowronek, A. Świeca (red.), *Od regionu geograficznego do regionu turystycznego. Lubelszczyzna – implikacje historyczne, naukowo-badawcze, edukacyjne*, Lublin, s. 133–168.

Dziękowski T.

2014 *Stan, potrzeby i perspektywy badań archeologicznych nad wczesnym średniowieczem zachodniej części ziemi chełmskiej*, „Materiały i Sprawozdania Rzeszowskiego Ośrodka Archeologicznego” XXXV, s. 151–169.

Drewko M.

1923 *Sprawozdanie z działalności Państw. Konserwatora Zabytków Przedhistorycznych na Okręg Lubelski za r. 1922*, „Wiadomości Archeologiczne” VIII, z. 1, s. 100.

1956 *Prace wykopaliskowe na wczesnośredniowiecznym cmentarzystku kurhanowym we wsi Lipsko, pow. Zamość*, „Sprawozdania Archeologiczne” 2, s. 82–84.

1957 *Sprawozdanie z badań przeprowadzonych w 1955 r. na wczesnośredniowiecznym cmentarzystku kurhanowym we wsi Lipsko, pow. Zamość*, „Sprawozdania Archeologiczne” 3, s. 165–168.

Fłorek M.

2009 *Topografia plemienna międzyrzecza Wieprza i Bugu na przełomie I i II tysiąclecia i zagadnienie „Grodów Czerwieńskich” w świetle źródeł pisanych i archeologicznych*, [w:] E. Banasiewicz-Szykuła (red.), *Pogranicze polsko-ruskie we wczesnym średniowieczu na Lubelszczyźnie*, Lublin, s. 23–34.

2018a *Topografia plemienna Lubelszczyzny*, [w:] E. Banasiewicz-Szykuła (red.), *Grody z okresu plemiennego na Lubelszczyźnie*, Lublin, s. 11–24.

2018b *Grody plemienne południowej Lubelszczyzny*, [w:] E. Banasiewicz-Szykuła (red.), *Grody z okresu plemiennego na Lubelszczyźnie*, Lublin, s. 71–123.

Fłorek M., Wołoszyn M.

2010 *Wczesnośredniowieczny zespół osadniczy w Czerminie w świetle wyników badań dawnych (do 2010)*, Kraków-Leipzig-Rzeszów-Warszawa.

Gurba J.

1976 *Grodziska Lubelszczyzny*, Lublin.

Hoczyk-Siwkowska S.

1999 *Małopolska północno-wschodnia w VI–X wieku. Struktury osadnicze*, Lublin.

Kawałko D.

2008 *Kaplica św. Romana w Lipsku*, „Zamojski Kwartalnik Kulturalny” 3, s. 21, 22.

Koman W., Urbański A.

1997 *Dokumentacja z badań AZP na obszarze 90-88*, msp. w archiwum LWKZ – Delegatura w Zamościu, Zamość.

Mączka G. (red.)

2020 *Kurhany na Wyżynie Lubelskiej*, Lublin.

Nosek S.

1957 *Materiały do badań nad historią starożytną i wczesnośredniowieczną międzyrzecza Wisły i Bugu*, „Annales UMCS” sec. F, 6, s. 7–502.

Poleski J.

2013 *Małopolska w VI–X wieku. Studium archeologiczne*, Kraków.

Parczewski M.

1986 *Pogórze Dynowskie u zarania dziejów*, Brzozów.

2007 *Problem Lędzian a kształtowanie się polsko-ruskiej rubieży etnicznej* [w:] M. Dębiec, M. Wołoszyn (red.), *U źródeł Europy środkowo-wschodniej: pogranicze polsko-ukraińskie w perspektywie badań archeologicznych*, Rzeszów, s. 161–176.

Reder J.

2009 *Środowisko geograficzne*, [w:] E. Banasiewicz-Szykuła (red.), *Pogranicze polsko-ruskie we wczesnym średniowieczu na Lubelszczyźnie*, Lublin, s. 5–22.

Solon J., Borzyszkowski J., Bidłasik M., Richling A., Badora K., Balon J., Brzezińska-Wójcik T., Chabudziński Ł., Dobrowolski R., Grzegorzczak I., Jodłowski M., Kistowski M., Kot R., Krąż P., Lechnio J., Macias A., Majchrowska A., Malinowska E., Migoń P., Myga-Piątek U., Nita J., Papińska E., Rodzik J., Strzyż M., Terpiłowski S., Ziaja W.

2018 *Physico-geographical mesoregions of Poland: verification and adjustment of boundaries on the basis of contemporary spatial data*, „Geographia Polonica” 91/2, s. 143–170.

Wąsowicz T.

1961 *Uwagi w sprawie osadnictwa wczesnośredniowiecznego na Lubelszczyźnie*, „Archeologia Polski” 6, s. 203–254.

Wołoszyn M.

2013 *Grody Czerwieńskie i problem wschodniej granicy monarchii pierwszych Piastów. Stan i perspektywy badań*, „Studia nad dawną Polską” s. 85–116.

Zoll-Adamikowa H.

1974 *Wyniki wstępnych badań wczesnośredniowiecznego zespołu osadniczego w Guciowie pow. Zamość*, „Sprawozdania Archeologiczne” 26, s. 115–171.

1975 *Wczesnośredniowieczne cmentarzyska ciałopalne na terenie Polski. Cz. I. Źródła*, Wrocław-Warszawa-Kraków-Gdańsk.

EARLY MEDIEVAL BARROW CEMETERY IN LIPSKO-POLESIE: THE GEOGRAPHICAL POSITION AND THE SETTLEMENT BACKGROUND

The early medieval barrow cemetery in Lipsko-Polesie is located in the Roztocze area, on the border of two geographical mesoregions: the Zamość Basin and the Central Roztocze region. This area in the earlier Middle Ages (tribal period) was part of the larger one, the so-called southern „cultural province”, under the influence of the Danube area, distinguished, among others, by a cremation type of funeral rite with a predominance of the on top of the mound burials, the formation of large stronghold with an area of more than 5 ha and the presence of iron bars (*grzywnas*) in form of axes and arrowheads. S. Hoczyk-Siwkowa, on the basis of the analysis of early medieval settlement clusters, counted the area where the cemetery in Lipsko-Polesie lies, to the so-called „Szczepreszyn region”. The beginnings of settlement there, fall on the 8th century AD, they are marked by the barrow cemeteries in Lipsko-Polesie, Mokre and Guciów.

The cemetery is located on the top of a low high ground (268 m above sea level), rising above the valley of the nameless stream, now drained and dried up. It is powered by the spring of St. Roman, breaking out at the base of the lofty hill, the so-called „Łysa Góra”, a place of local religious worship. The hill is occupied by the remains of an early medieval stronghold from the tribal period, most probably contemporary to the cemetery. About 100 meters east of the cemetery, traces of two early medieval settlements dating back to the 8th-10th centuries AD have been identified.

About 400 m north of the site, at the mouth of the valley, there is a complex of settlements dating

back from prehistory to the Early Middle Ages. South of the necropolis there is a group of settlements dating back to the Bronze Age. Both in the area of the cemetery and in the nearby early medieval settlements and the stronghold historical material dated from the Bronze Age to the Early Iron Age was discovered as well.

The early medieval stronghold is located on the land of the village of Feliksówka, commune Adamów. The feature encompass the top of the so-called „Łysa Góra”, of the hill Apparition („Zjawienie”) or „Apparition of St. Roman”. It was localised in 1922 by Michał Drewko on the occasion of the first exploration of the barrow cemetery. Excavation research aimed at identifying the layers of the feature was undertaken in 1955. Two sounding excavations were carried out, 0.5 m wide and 50 and 80 m long. The profile of the middle embankment, cut by the road, was also documented. It was defined as an earthen embankment with a height of about 60 cm and a base width approx. 8 m. Only three vessel fragments of the Trzciniec culture were discovered in the excavations. In August 1954, excavations were carried out on an early medieval settlement located several hundred meters north of the necropolis in question. A 5×5 m half-dugout was discovered with a hearth from split limestone in the corner. Numerous fragments of animal bones and fragments of early medieval earthenware were found in the fill of the building. On their basis, the chronology of the building on the 10th century AD was determined.

Wczesnośredniowieczny kompleks osadniczy w Lipsku-Polesiu w świetle obrazowania Lotniczego Skaningu Laserowego LiDAR

Łukasz Miechowicz

Począwszy od dekady technologia Lotniczego Skaningu Laserowego LiDAR stanowi prawdziwą rewolucję w badaniach i dokumentacji stanowisk archeologicznych. Sama metoda była wielokrotnie opisywana w literaturze przedmiotu (S. Crutchley, P. Crow 2010; Ł. Sławik, R. Zapłata 2011; R. Zapłata 2013, s. 187–236; J. Budziszewski, J. Wysocki 2012, s. 117–126; Ł. Banaszek 2014, s. 207–251, tam dalsza literatura). W ostatnich latach tylko na obszarze dzisiejszej Lubelszczyzny wykorzystano ją z powodzeniem w rozpoznaniu i określeniu stanu zachowania cmentarzysk kurhanowych w Chodliku (Ł. Miechowicz 2020, s. 18–23) czy Guciowie (M. Iwański 2018, s. 37–50).

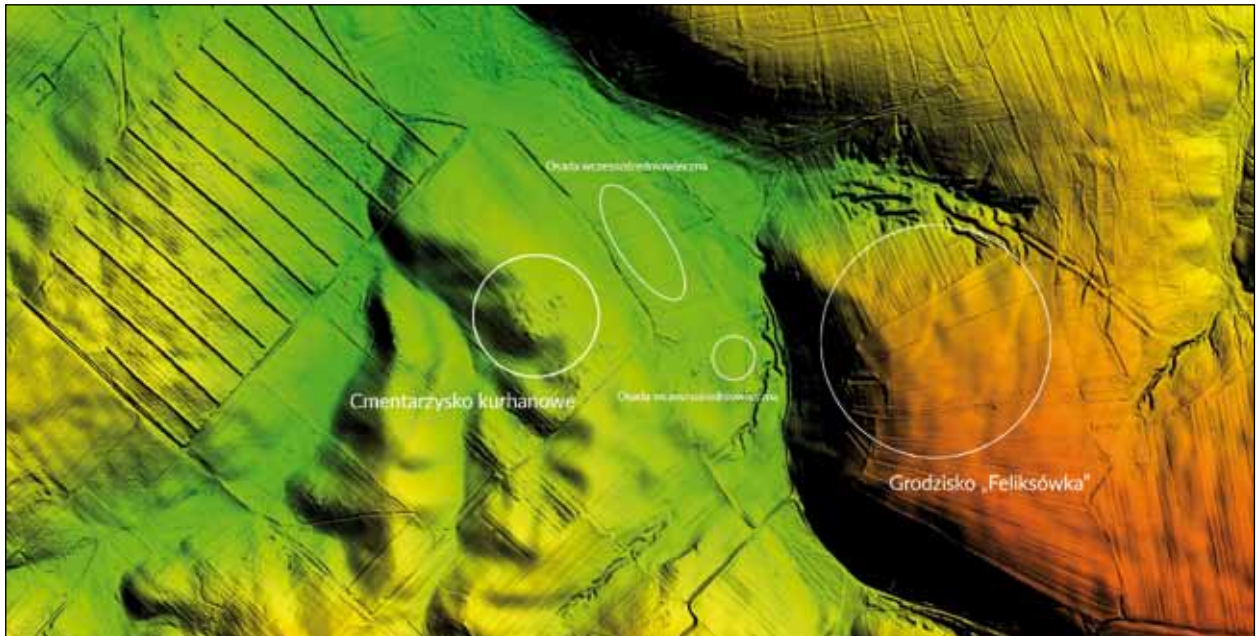
Na obszarze kraju głównym dostawcą danych z lotniczego skaningu laserowego jest Centralny Ośrodek Danych i Dokumentacji Zabytków, który realizuje projekt „Informatyczny system osłony kraju przed nadzwyczajnymi zagrożeniami” (J. Budziszewski, J. Wysocki 2012, s. 123; Ł. Banaszek 2014, s. 242, 243). Obszar Lipska-Polesia, analogicznie do większości terenu kraju, został zeskanowany w ramach projektu ISOK w tzw. Standardzie I, gdzie gęstość pomiaru wynosi do 4 pkt/m². Analiza i wizualizacja pozyskanych danych została wykonana w oprogramowaniu Global Mapper w wersji 20 oraz QGIS w wersji 3.18.1. Analizom poddano obszar wczesnośredniowiecznego cmentarzyska kurhanowego, grodziska „Feliksówka” oraz osad wczesnośredniowiecznych znanych z badań prowadzonych w ramach projektu Archeologiczne Zdjęcie Polski (Ryc. 1).

Numeryczny Model Terenu LiDAR ukazał znaczny stan zniszczenia cmentarzyska. Na obszarze nekropolii widoczne są dziś zarysy 29 kopców, w znacznym stopniu rozoranych, wznoszących się ponad powierzchnię do wysokości 15–30 cm (Ryc. 2, 3). Cmentarzysko zachowało się jedynie w południowej części, zajętej obecnie przez łąki. Od strony południowo-wschodniej przylega do zabudowań mieszkalnych oraz sadów. Od strony wschodniej oraz północnej obszar stanowiska pokrywają pola orne. Na północnym krańcu wyniesienia, które zajmuje cmentarzysko, w ostatnich latach wzniesiono wieżę widokową.

W przypadku grodziska „Feliksówka” na powierzchni gruntu widoczne są pozostałości trzech wałów zachowanych do 20 cm wysokości (Ryc. 4). W przypadku dwóch osad wczesnośredniowiecznych, znajdujących się pomiędzy cmentarzyskiem oraz grodziskiem, zauważalne jest ich położenie na niewielkich wyniosłościach terenu.

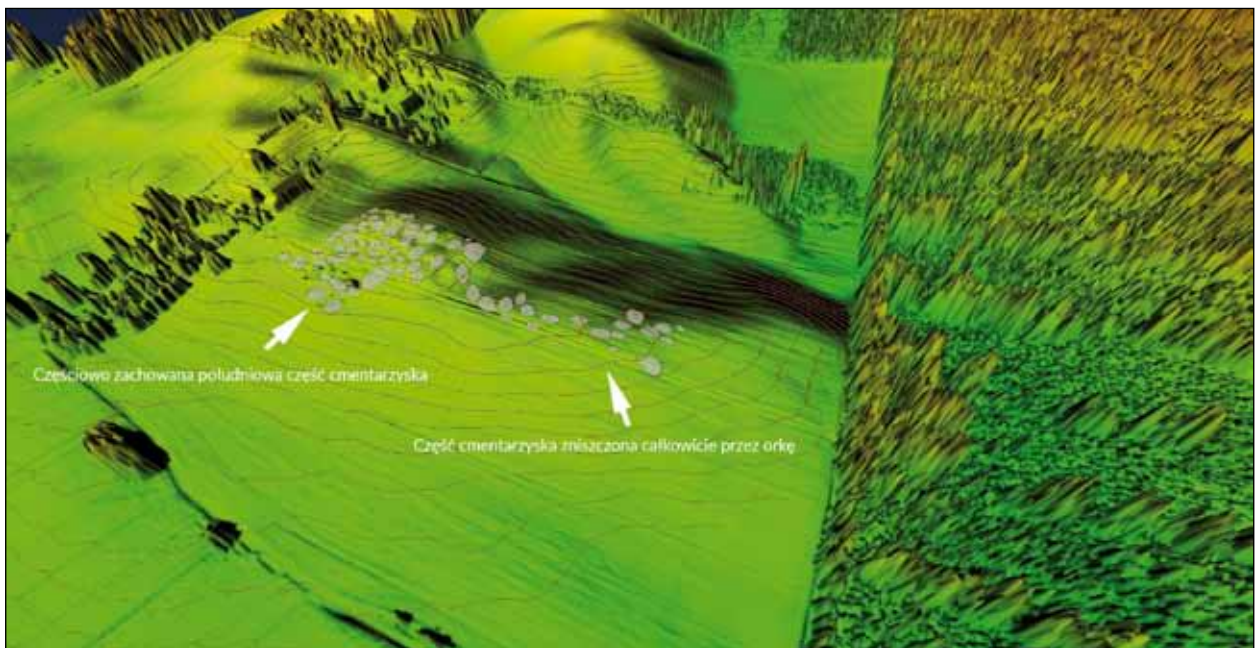
Jesienią 2020 r. wykonano nalot na cmentarzysko za pomocą bezzałogowego statku powietrznego. Za pomocą metody fotogrametrii wykonano model terenu cmentarzyska, ortofotomapę oraz zdjęcia pogłądowe, ukazujące obecny stan zachowania nekropolii (Ryc. 5–8)¹.

¹ Naloty wykonano za pomocą drona DJI Phantom 3 Advanced z zastosowaniem oprogramowania PIX4D Mapper, oprac. Ł. Miechowicz.



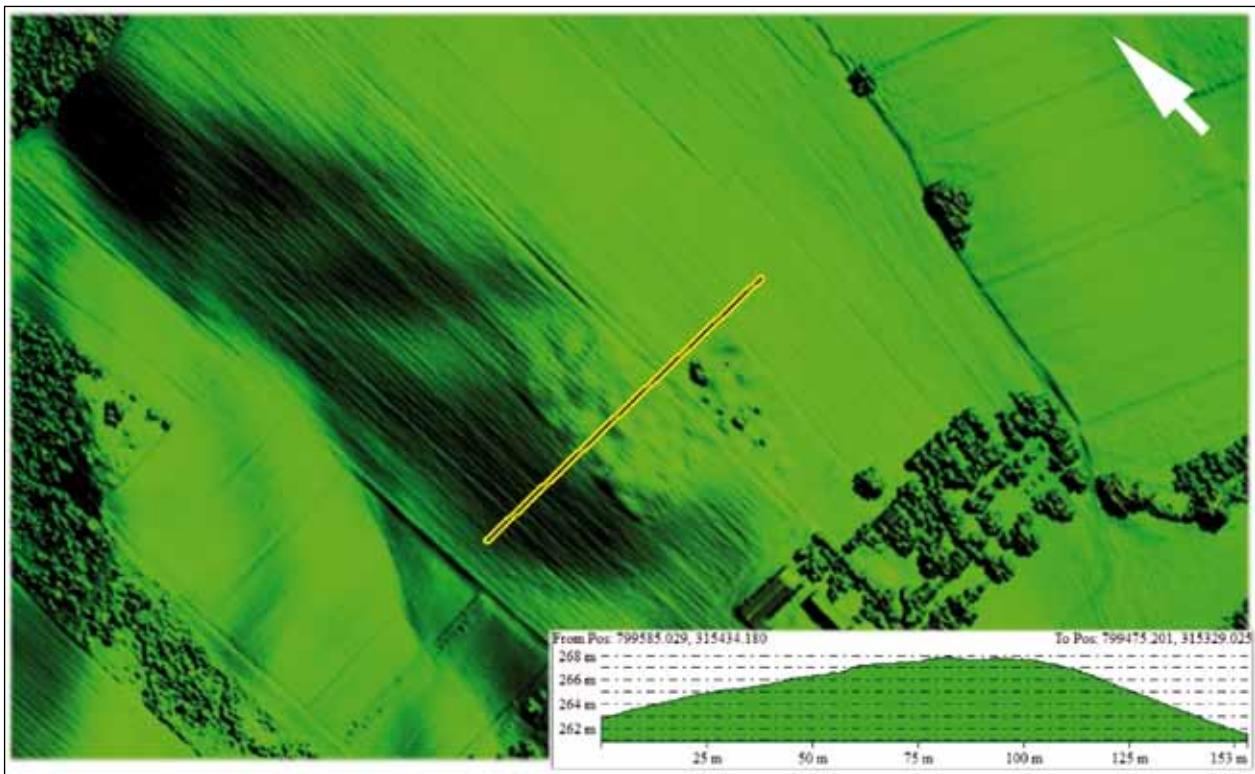
Ryc. 1. NMT LiDAR z oznaczeniem poszczególnych elementów wczesnośredniowiecznego kompleksu osadniczego w Lipsku-Polesiu (oprac. Ł. Miechowicz).

Fig. 1. NMT LiDAR with the indication of individual elements of the early medieval settlement complex in Lipsko-Polesie, commune Zamość (prepared by Ł. Miechowicz).



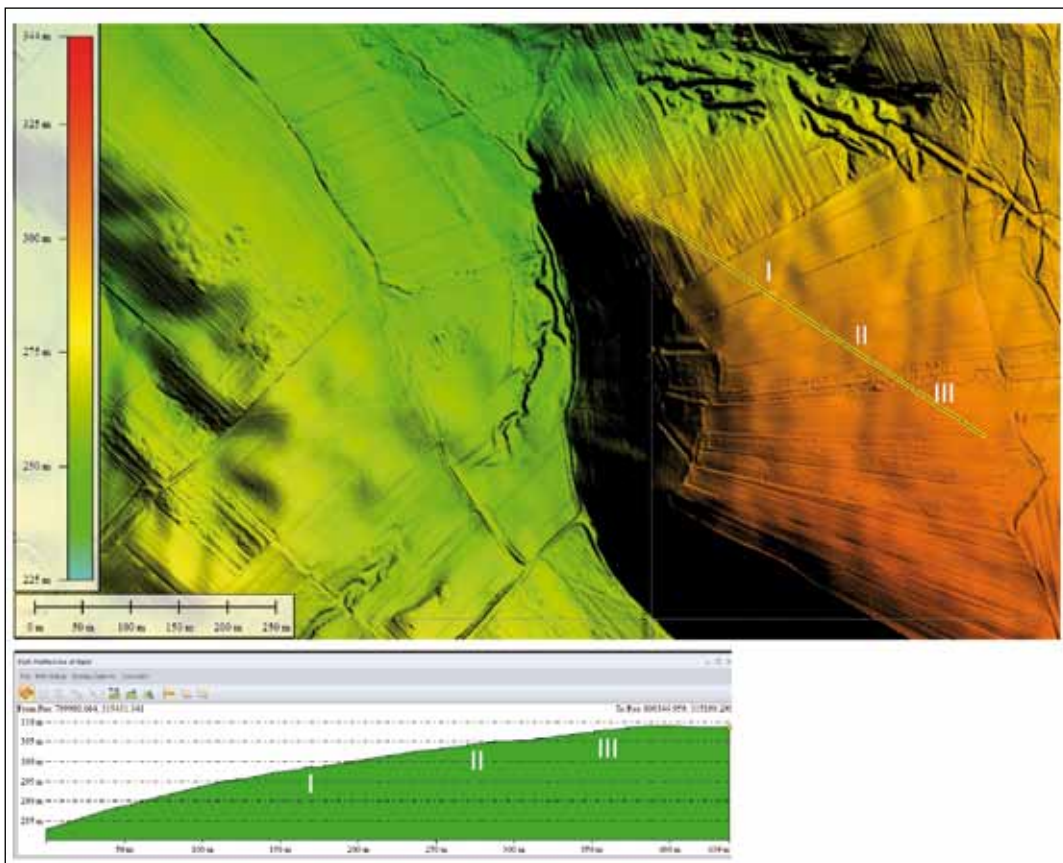
Ryc. 2. Numeryczny Model Pokrycia Terenu stanowiska z oznaczeniem pierwotnej lokalizacji poszczególnych nasypów kurhanowych (oprac. Ł. Miechowicz).

Fig. 2. Digital Terrain Model of the site with the indication of the original location of individual barrow mounds (prepared by Ł. Miechowicz).



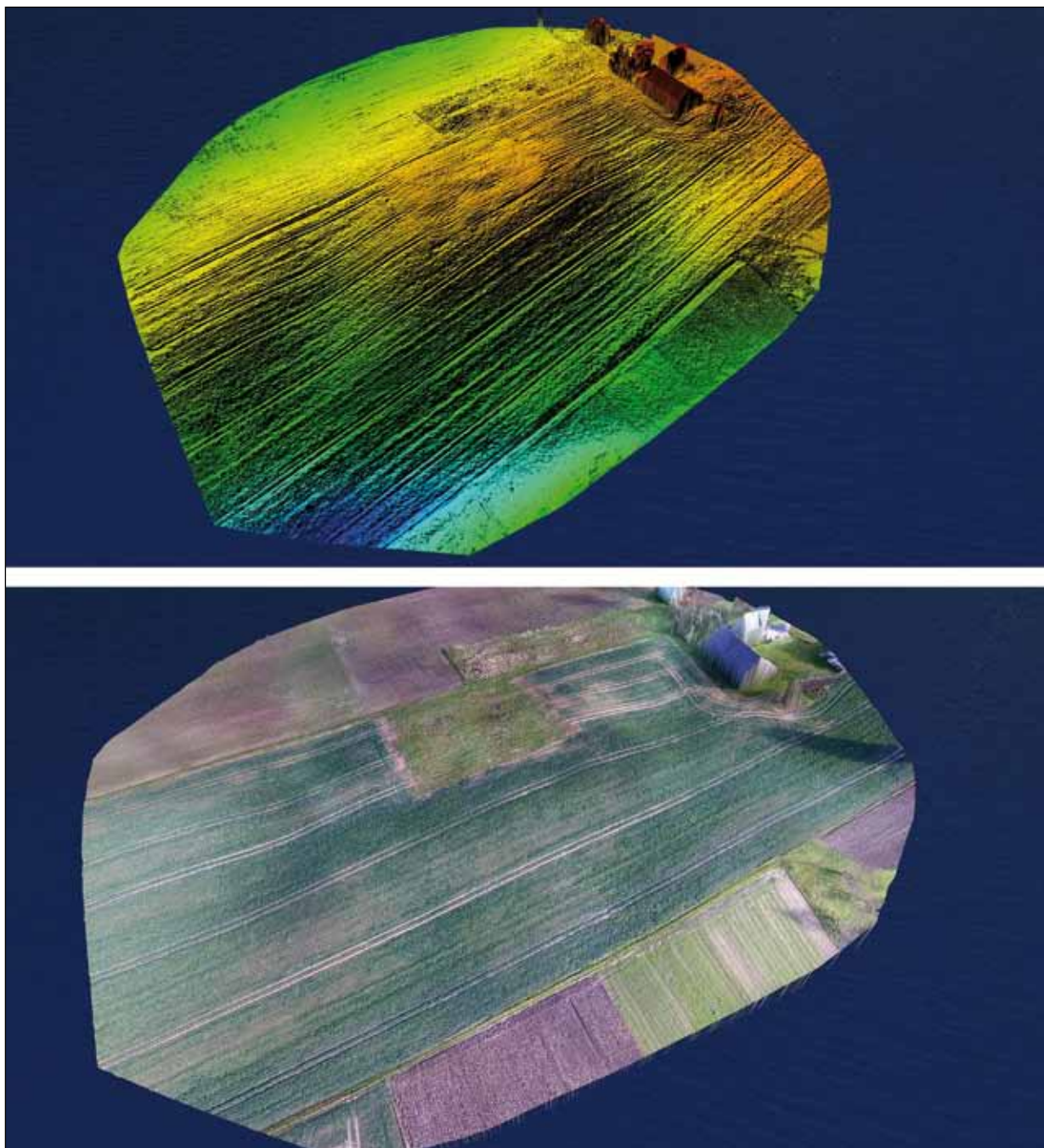
Ryc. 3. NMT LiDAR cmentarzyska kurhanowego w Lipsku-Polesiu oraz jego przekrój poprzeczny (oprac. Ł. Miechowicz).

Fig. 3. NMT LiDAR of the barrow cemetery in Lipsko-Polesie, municipality Zamość and its transverse cross-section (prepared by Ł. Miechowicz).



Ryc. 4. Grodzisko „Feliksówka” na NMT LiDAR z widocznymi liniami wałów (oprac. Ł. Miechowicz).

Fig. 4. The «Feliksówka» stronghold at NMT LiDAR with visible lines of embankments (prepared by Ł. Miechowicz).



Ryc. 5. Model terenu oraz ortofotomapa stanowiska wykonane za pomocą drona (DJI Phantom 3 Advanced, oprogramowanie Pix4D Mapper, listopad 2020 r.) (oprac. Ł. Miechowicz).

Fig. 5. Terrain model and orthophotomap of the site made with a drone (DJI Phantom 3 Advanced, Pix4D Mapper software, November 2020) (prepared by Ł. Miechowicz).



Ryc. 6. Ortofotomapa stanowiska wykonana za pomocą drona (DJI Phantom 3 Advanced, oprogramowanie Pix4D Mapper, listopad 2020 r.) (oprac. Ł. Miechowicz).

Fig. 6. Orthophotomap of the site made with a drone (DJI Phantom 3 Advanced, Pix4D Mapper software, November 2020) (prepared by Ł. Miechowicz).



Ryc. 7. Widok na stanowisko od strony wschodniej (fot. Ł. Miechowicz).

Fig. 7. Lipsko-Polesie, commune Zamość. View of the site from the east (photo by Ł. Miechowicz).



Ryc. 8. Widok na stanowisko od strony południowo-wschodniej (fot. Ł. Miechowicz).

Fig. 8. Lipsko-Polesie, commune Zamość. View of the site from the south east (photo by Ł. Miechowicz).

Bibliografia

Banaszek Ł.

2014 *Lotniczy Skaniny Laserowy w Polskiej Archeologii. Czy w pełni wykorzystywany jest potencjał prospekcyjnej metody?*, „Folia Praehistorica Posnaniensia” XIX, s. 207–251.

Crutchley S., Crow P.

2010 *The light Fantastic. Using airborne lidar in archaeological survey*, Swindon.

Budziszewski J., Wysocki J.

2012 *Nowe możliwości detekcji materialnych śladów historii terenów leśnych – lotnicze skanowanie laserowe (LiDAR)*, [w:] Z. Kobyliński, J. Wysocki (red.), *Archeologia. Hereditas. Konserwacja zapobiegawcza środowiska I*, Warszawa-Zielona Góra, s. 117–126.

Iwański M.

2018 *Kurhany w Guciowie, powiat zamojski w świetle obrazowań Lotniczym Skanerem Laserowym*, [w:] J. Górski, A.

Tyniec (red.), *Fenomen miejsca. Nekropolia kurhanowa z neolitu, epoki brązu i wczesnego średniowiecza w Gucio-
wie, pow. zamojski*, Kraków, s. 37–50.

Miechowicz Ł.

2020 *Wczesnośredniowieczny obrządek pogrzebowy w Kotlinie Chodelskiej na tle Małopolski okresu plemiennego (VIII–X w.)*, [w:] G. Mączka (red.), *Kurhany na Wyżynie Lubelskiej*, Lublin, s. 13–38.

Sławik Ł., Zapłata R.

2011 *LiDAR w archeologii – zagadnienia wprowadzające*, [w:] R. Zapłata (red.), *Digitalizacja Dziedzictwa Archeologicznego. Wybrane zagadnienia*, Lublin, s. 207–232.

Zapłata R.

2013 *Nieinwazyjne metody w badaniu i dokumentacji dziedzictwa kulturowego – aspekty skanowania laserowego w badaniach archeologicznych i architektonicznych*, Warszawa.

EARLY MEDIEVAL SETTLEMENT COMPLEX IN LIPSKO-POLESIE IN THE LIGHT OF LIDAR AERIAL LASER SCANNING IMAGING

LiDAR Aviation Laser Scanning provides one of the best publicly available methods of documentation and determination of the state of preservation of archaeological sites in Poland. The analysis of measurement data obtained from the Central Geodesy and Cartography Centre showed only a residual preservation state of the barrow mounds. A significant part of the cemetery is not visible in the field today. This is confirmed by the raids carried out in the autumn of 2020 using an unmanned aerial vehicle. Using specialised software, the latest orthophotos and terrain model

of the site were made. A similar situation concerns the state of preservation of the embankments of a nearby early medieval stronghold located in the village of Feliksówka, commune Adamów. Its embankments are still legible on the Digital Terrain Model, they are imperceptible in the field because they have been completely ploughed up to 10-20 cm in height. The NMT LiDAR analysis also showed that the nearby early medieval settlements were located on small heights rising above the marshy valley of the stream flowing out from under the so-called St. Roman Mountain.

Lipsko-Polesie, Katalog kurhanów Lipsko-Polesie, Catalogue of barrows

Łukasz Miechowicz

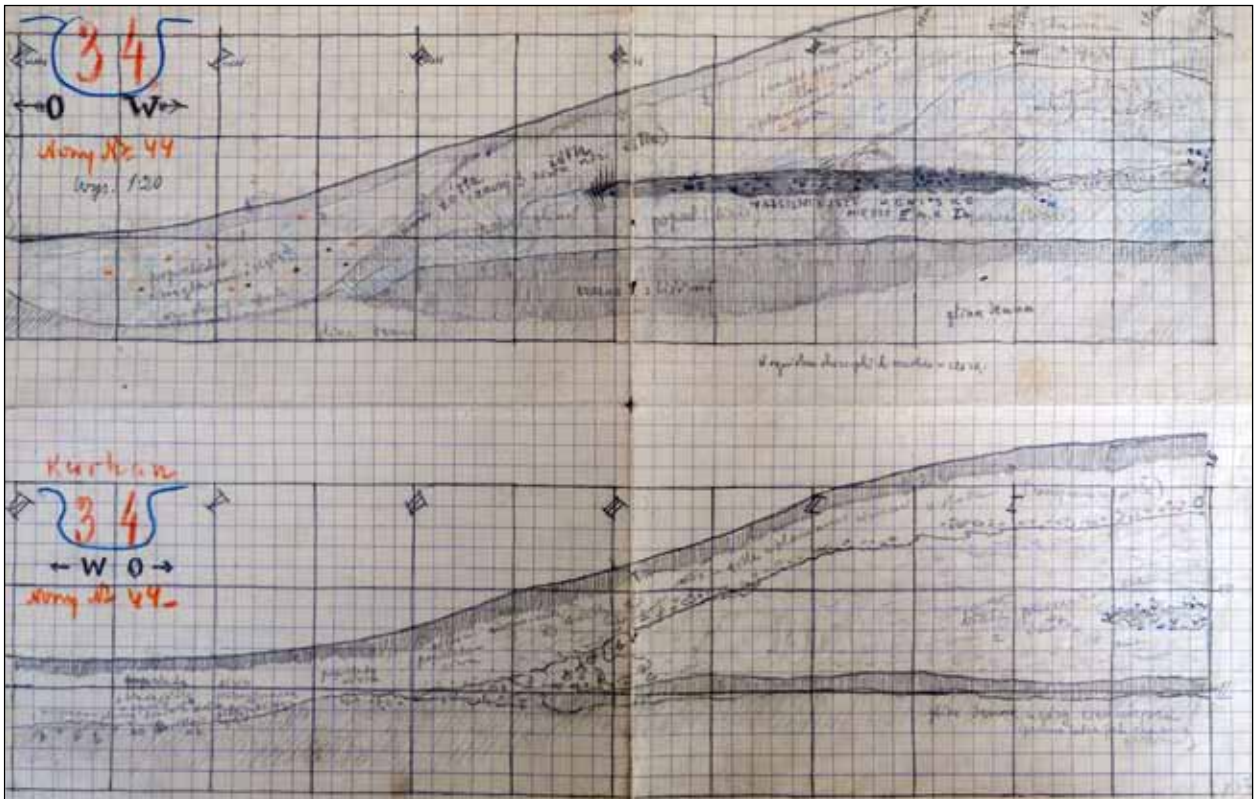
Cmentarzysko wczesnośredniowieczne w Lipsku-Polesiu jest jednym z najobszerniej przebadanych słowiańskich stanowisk sepulkralnych okresu plemiennego w Polsce. Niestety znaczna część informacji została utracona poprzez niemal całkowite rozoranie nasypów w wyniku prac ornich na początku lat 50. XX w. Doprowadziło to do zniszczenia kontekstu zalegania znacznej części artefaktów, zwłaszcza w przypadku pochówków nakurhanowych. Mimo to, na podstawie zachowanej dokumentacji archiwalnej, udało się uzyskać szereg danych na temat formy konstrukcji, wymiarów nasypów kurhanowych i typów kurhanowych pochówków ciałopalnych.

Dokumentacja z badań cmentarzyska kurhanowego w Lipsku-Polesiu składa się z części opisowej,

rysunkowej oraz fotograficznej. Ta pierwsza jest w większości przypadków dość ogólna. Pokrótce przedstawiono w niej poszczególne etapy prac wykopaliskowych. W części przypadków pobieżnie scharakteryzowany jest także materiał zabytkowy, miejscami zawarte zostały robocze szkice zabytków, charakterystycznych fragmentów naczyń (Ryc. 1).

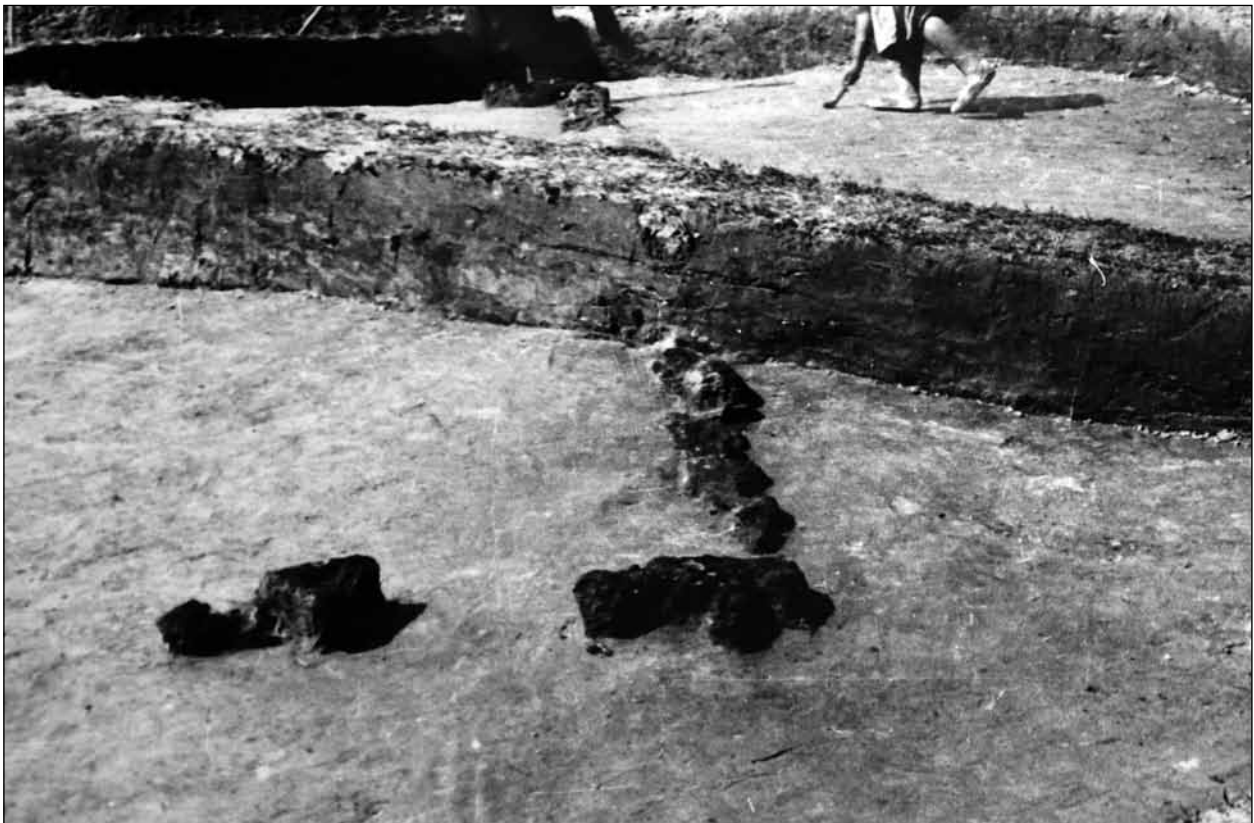
Dokumentacja rysunkowa, składa się z rysunków planów i profili (niekiedy jedynie z planów lub wyłącznie profili). W części przypadków wykonano ją za pomocą ołówka, w pozostałych kredek, zazwyczaj na papierze milimetrowym w skali 1:20 (Ryc. 2).

Dokumentacja fotograficzna jest nieliczna. Wykonywano ją sporadycznie, miała charakter pogłody (Ryc. 3).



Ryc. 2. Przykład dokumentacji rysunkowej przekroju kurhanu 34 (rys. M. Drewko).

Fig. 2. An example of a drawing documentation of a cross-section of a burial mound No. 34 (drawing by M. Drewko).



Ryc. 3. Przykład dokumentacji fotograficznej konstrukcji drewnianej w kurhanie 12 (fot. W. Szymański).

Fig. 3. An example of photographic documentation of the wooden structure in the burial mound No. 12 (photo by W. Szymański).

Metodyka badań archeologicznych

Eksplozację nawarstwień prowadzono metodą mechaniczną, warstwami co 20 cm, jako punkt „0” przyjmowano najwyższy punkt kulminacji kurhanu (Ryc. 4). Zabytki opisywano i segregowano przypisując je do konkretnych poziomów eksploacji oraz badanych części kurhanów.

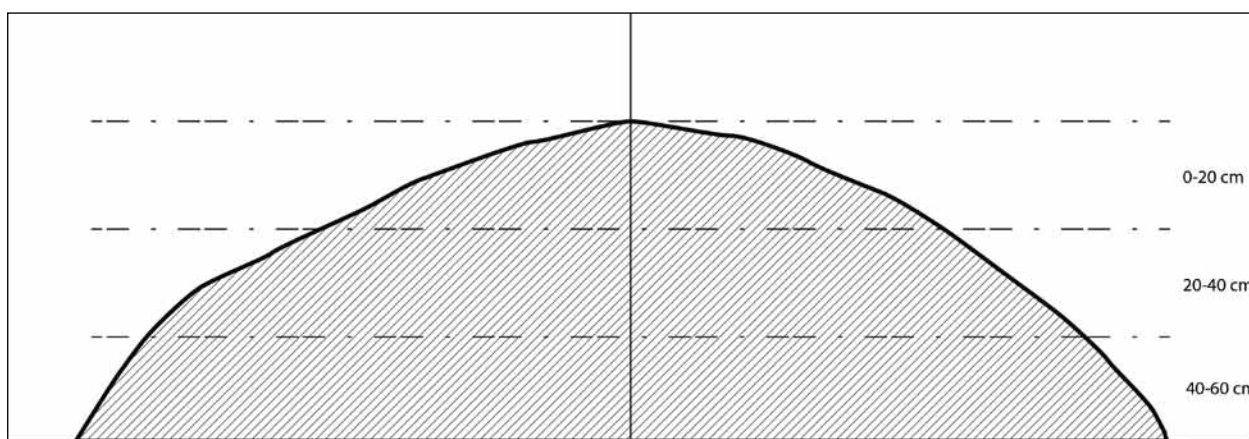
Rzadko w trakcie badań wykonywano planografię rozrzutu zabytków archeologicznych, skupisk kości i węgli drzewnych. W przypadku części grobów dokumentacja polowa nie zachowała się lub zachowała się częściowo.

Plany cmentarzyska

I. Katalog grobów (Ryc. 5–7)

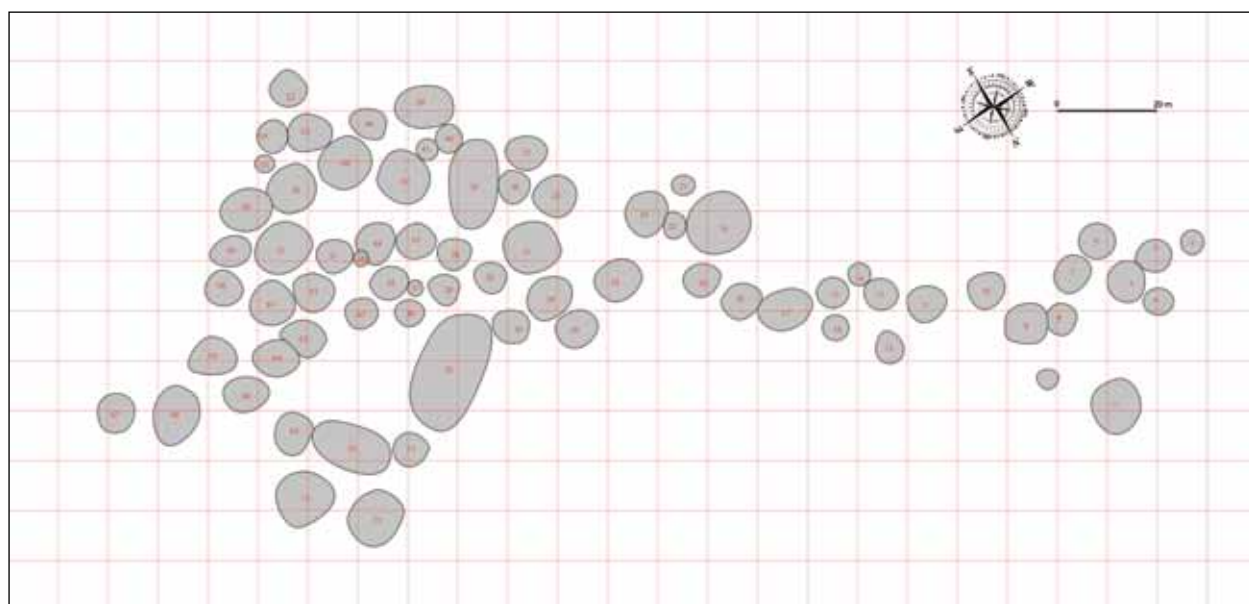
1. Kurhan nr 1 (Ryc. 8–14)

- a. Rok badań: 1952
- b. Typ pochówku: nakurhanowy, ciałopalny
- c. Chronologia: VIII–IX w.
- d. Opis kurhanu: kurhan usytuowany na uboczku, w najbardziej wysuniętej na zachód części cmentarzyska. Średnica kopca w trakcie badań wynosiła 10 m, wysokość nasypu 40 cm. Był on



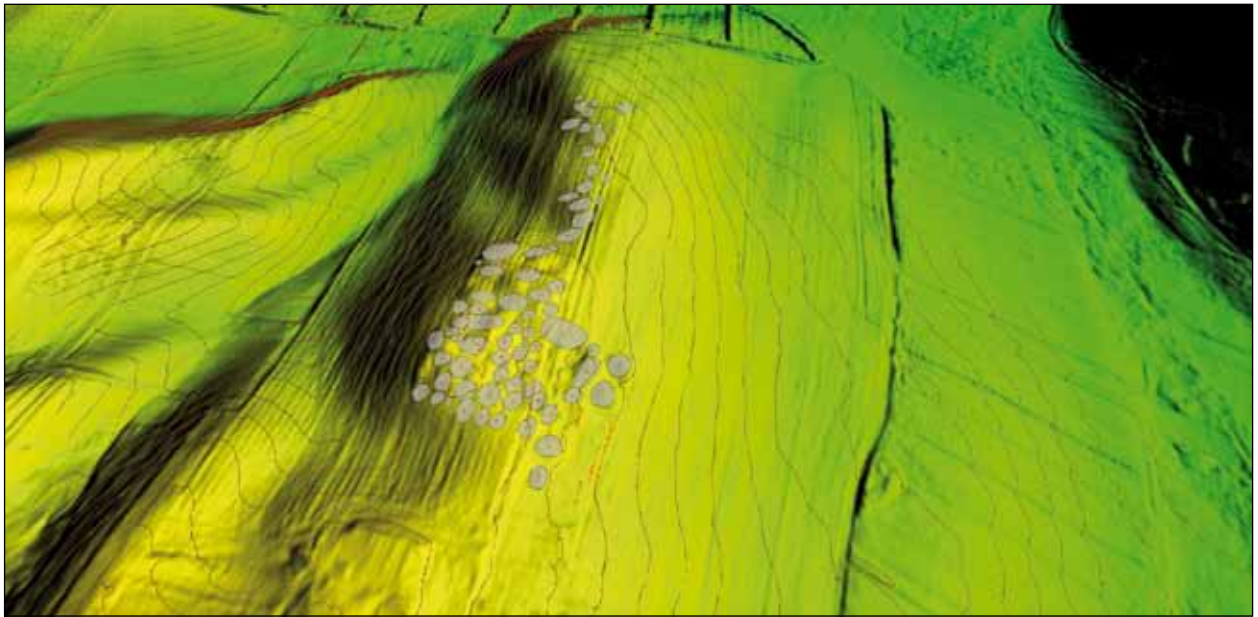
Ryc. 4. Poziomy eksploacyjne, jakimi prowadzono badania wykopaliskowe (oprac. Ł. Miechowicz).

Fig. 4. The exploration levels, by means of which excavation research was carried out (prepared by Ł. Miechowicz).



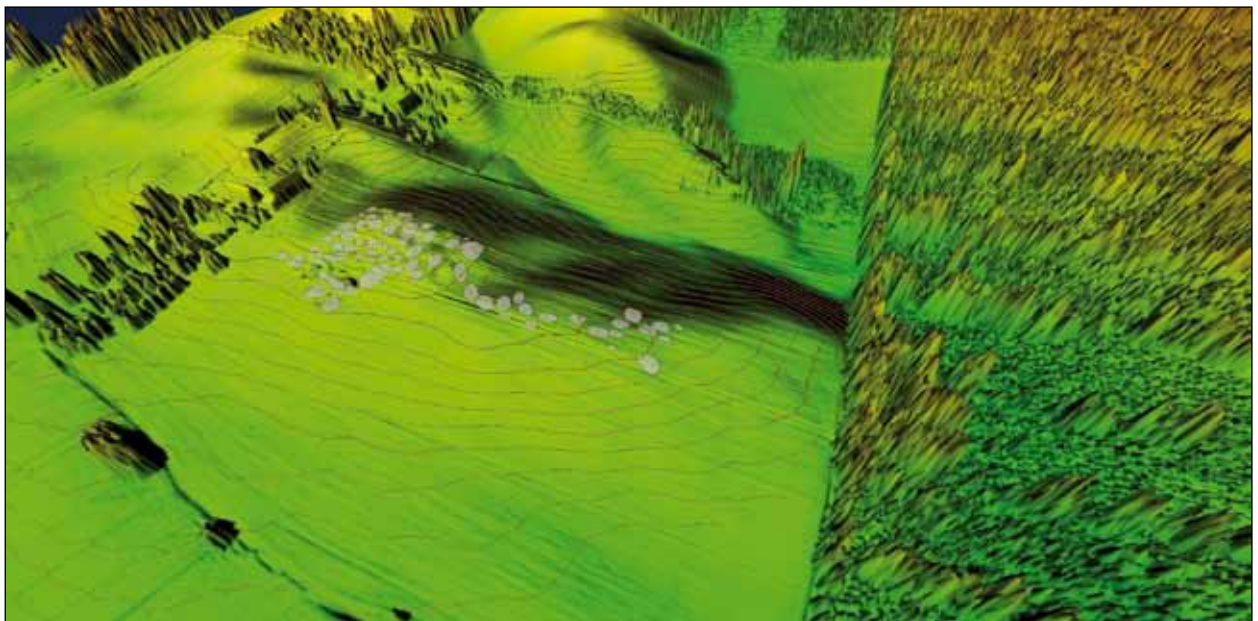
Ryc. 5. Plan cmentarzyska z numeracją poszczególnych kopców (oprac. Ł. Miechowicz).

Fig. 5. Sketch of the cemetery with numbering of individual mounds (prepared by Ł. Miechowicz).



Ryc. 6. Plan cmentarzyska nałożony na Numeryczny Model Terenu LiDAR, rzut od strony S (oprac. Ł. Miechowicz).

Fig. 6. Plan of the cemetery plotted on the LiDAR based Digital Terrain Model, plan view from the S side (prepared by Ł. Miechowicz).

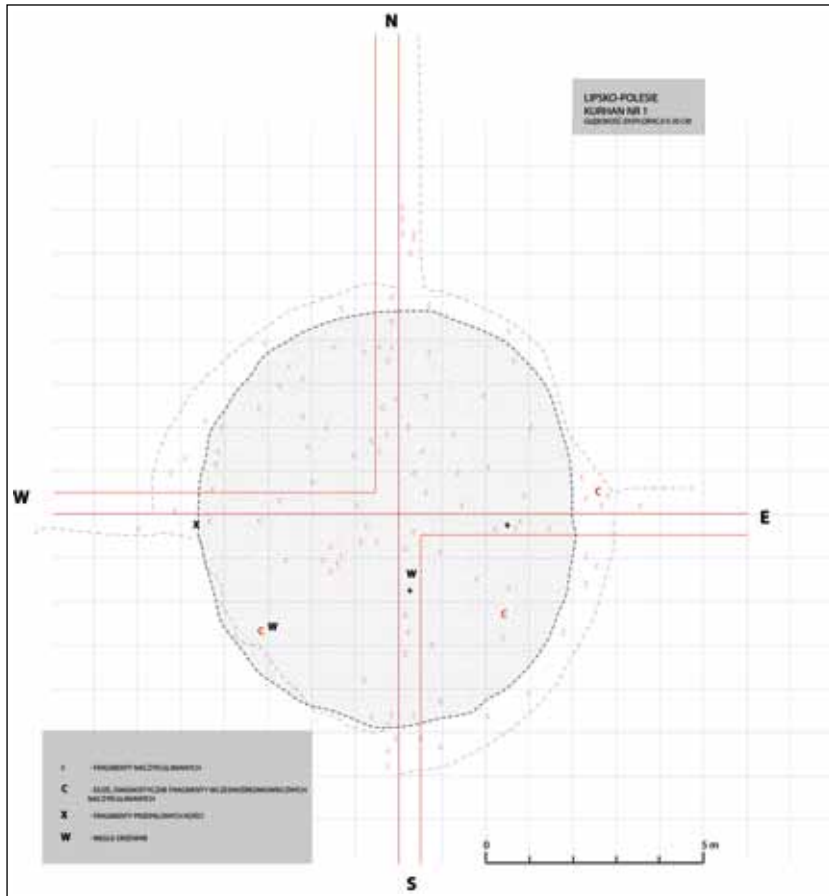


Ryc. 7. Plan cmentarzyska nałożony na Numeryczny Model Terenu LiDAR, rzut od strony NE (oprac. Ł. Miechowicz).

Fig. 7. Plan of the cemetery plotted on the LiDAR based Digital Terrain Model, view from the NE side (prepared by Ł. Miechowicz).

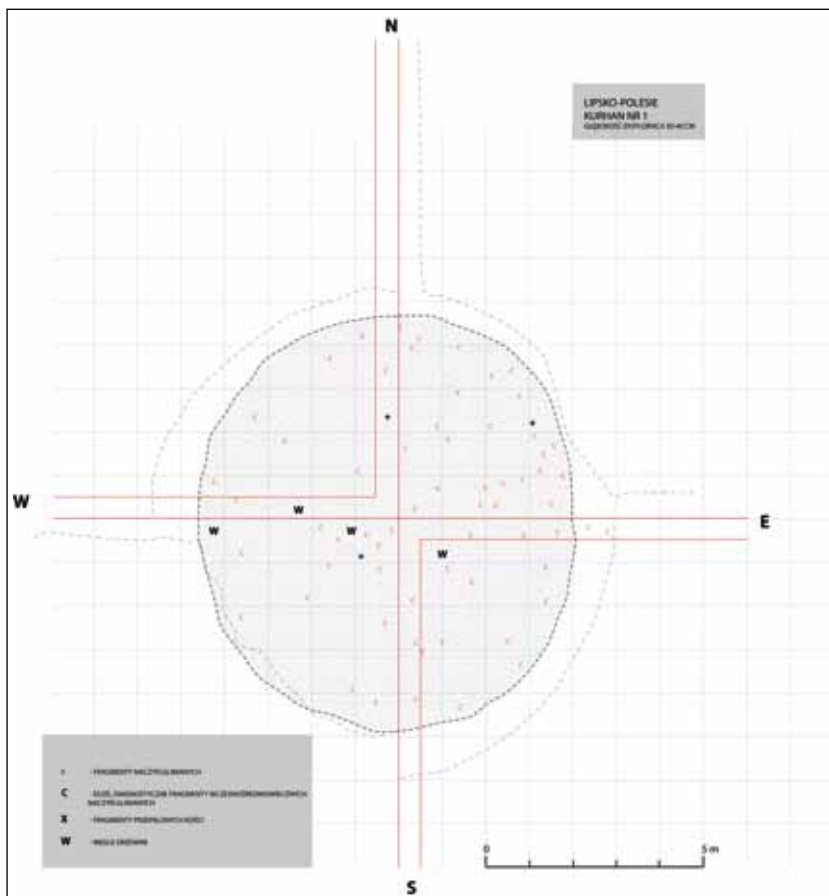
mocno rozorany przez prace rolne. Pierwotna wysokość kurhanu wynosiła ok. 1,3 m, jego średnica plasowała się pomiędzy 9 a 10 m. Tworzące go nawarstwienia składały się z twardej, brązowo-czarnej gliny. Po południowej, wschodniej i zachodniej części nasypu zanotowano rów przykurhanowy o szerokości 3 m. Szczątki kostne oraz fragmenty naczyń wczesnośredniowiecznych wystąpiły przeważnie w górnej partii płaszcza kurhanu na głębo-

kości ok. 10–20 cm. Fragmenty naczyń glinianych kultury trzcinieckiej zanotowano na wszystkich poziomach stratygraficznych. Pod nasypem kopca uchwycono trzy obiekty pradziejowe kultury trzcinieckiej oraz wyłącznie pradziejową ceramikę naczyniową. Fragmenty wczesnośredniowiecznej ceramiki naczyniowej wystąpiły w nasypie kopca, najliczniej tuż przy jego powierzchni. Na tym samym poziomie zanotowano większość przepa-



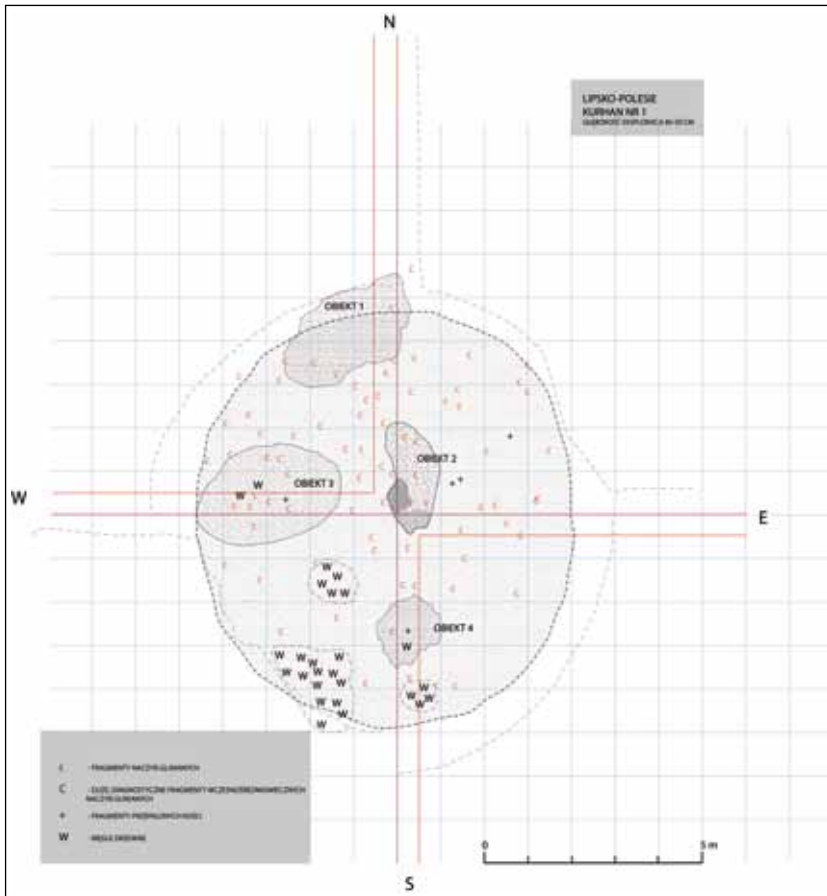
Ryc. 8. Plan kurhanu nr 1 po zdjęciu warstwy humusu (oprac. Ł. Miechowicz).

Fig. 8. Plan of the burial mound No. 1 after the removal of the modern humus layer (prepared by Ł. Miechowicz).



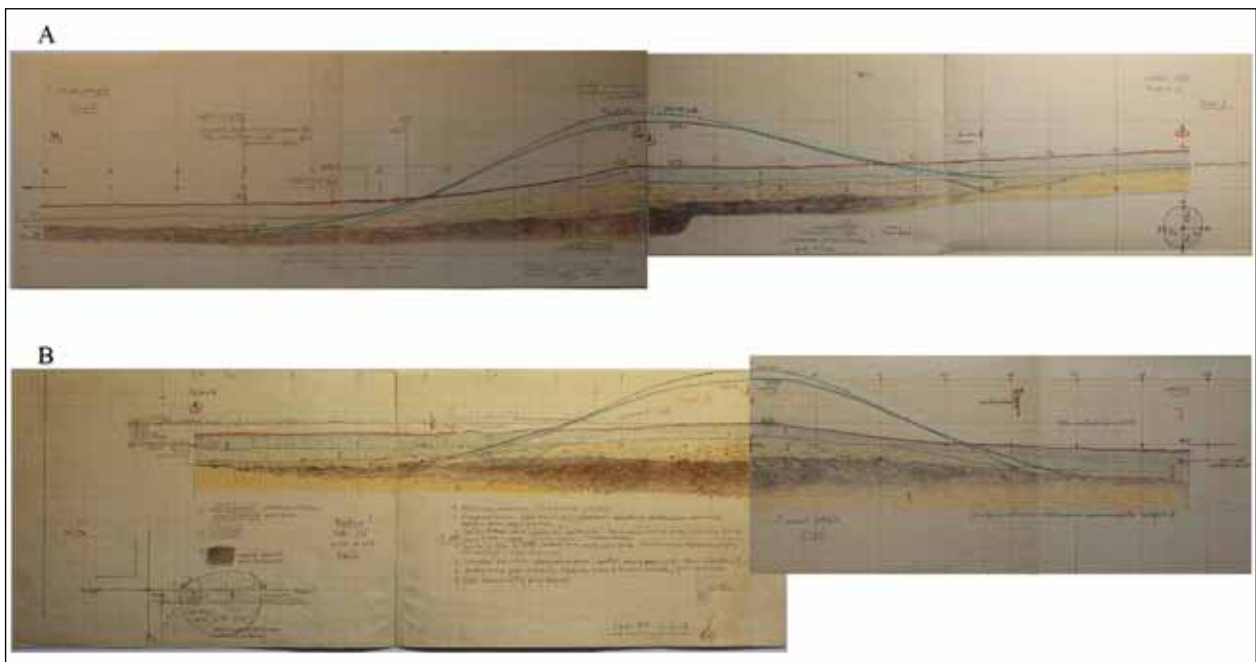
Ryc. 9. Plan kurhanu nr 1 na poziomie eksploracji nasypu (oprac. Ł. Miechowicz).

Fig. 9. Plan of the burial mound No. 1 at the level of tumulus exploration (prepared by Ł. Miechowicz).



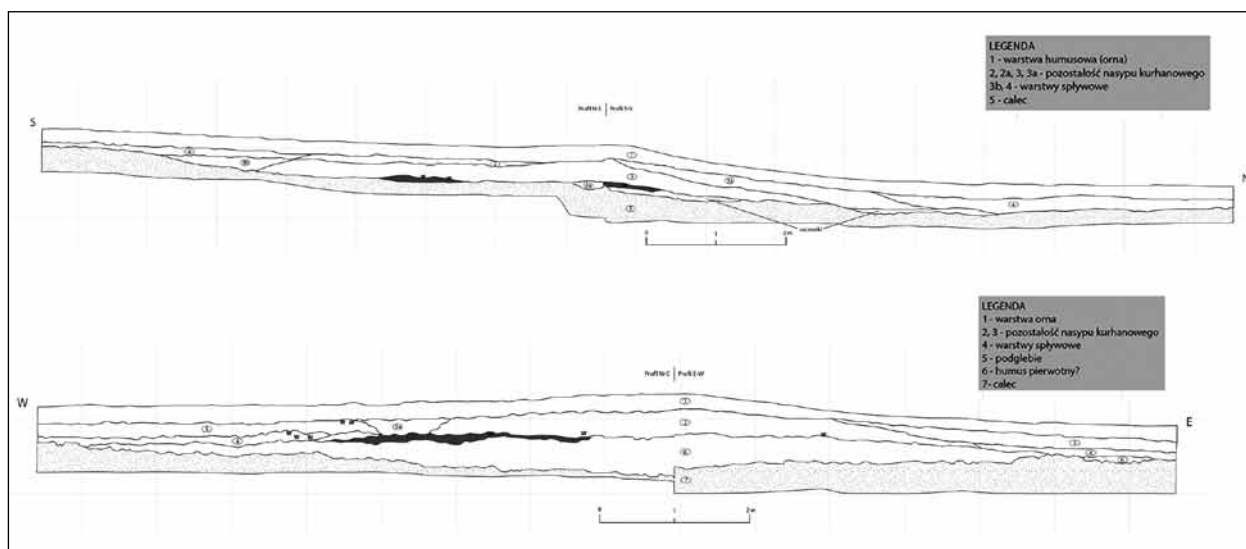
Ryc. 10. Plan kurhanu nr 1 na poziomie spągu oraz obiektów kultury trzcinieckiej (oprac. Ł. Miechowicz).

Fig. 10. Plan of the burial mound No. 1 at the floor level and the Trzciniec culture features (prepared by Ł. Miechowicz).



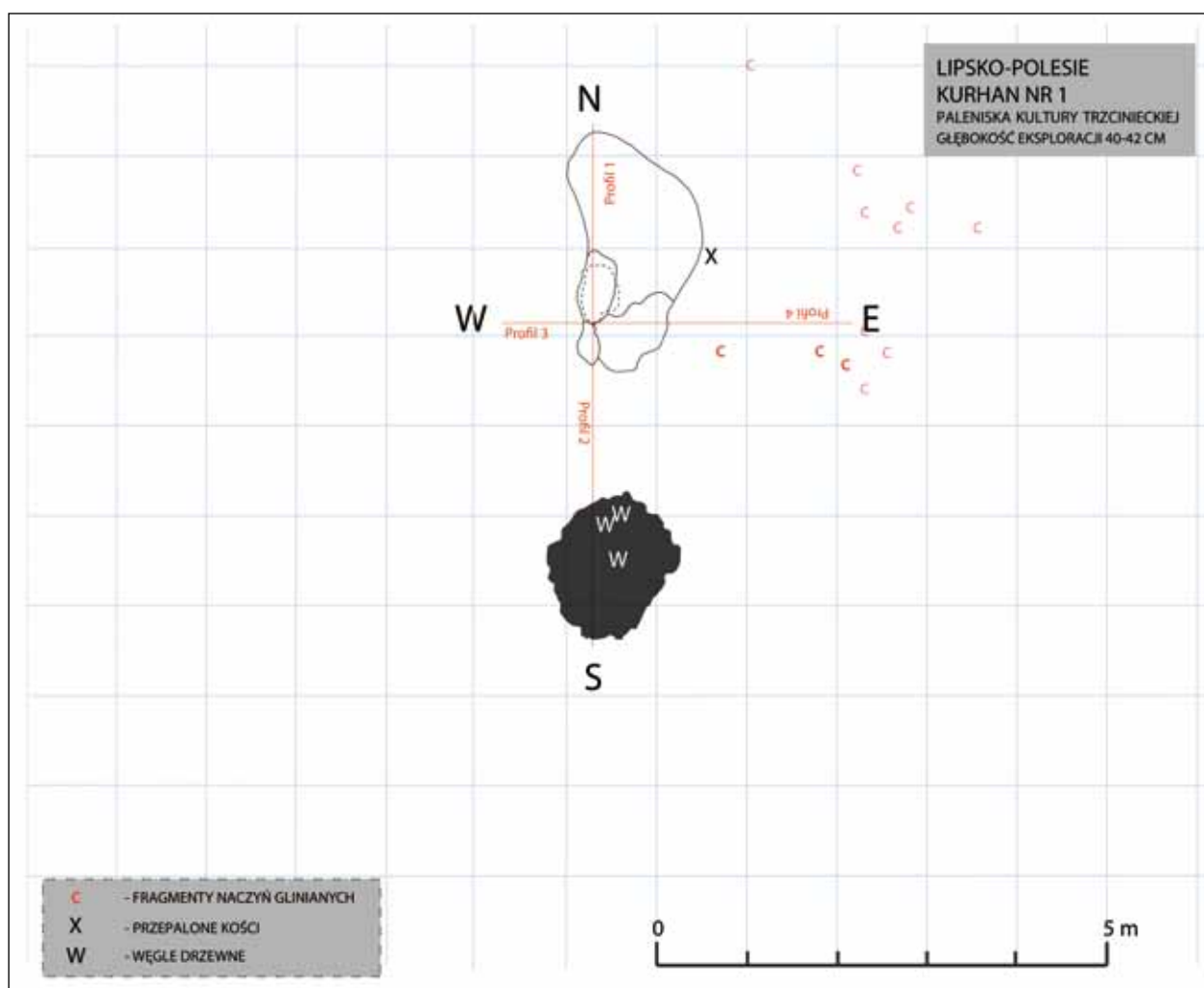
Ryc. 11. Profile kurhanu – opracowane rysunki zachowane w dokumentacji z badań (ryc. M. Drewko, oprac. Ł. Miechowicz).

Fig. 11. Sections of the burial mound - developed drawings preserved in the research documentation (drawing by M. Drewko, prepared by Ł. Miechowicz).



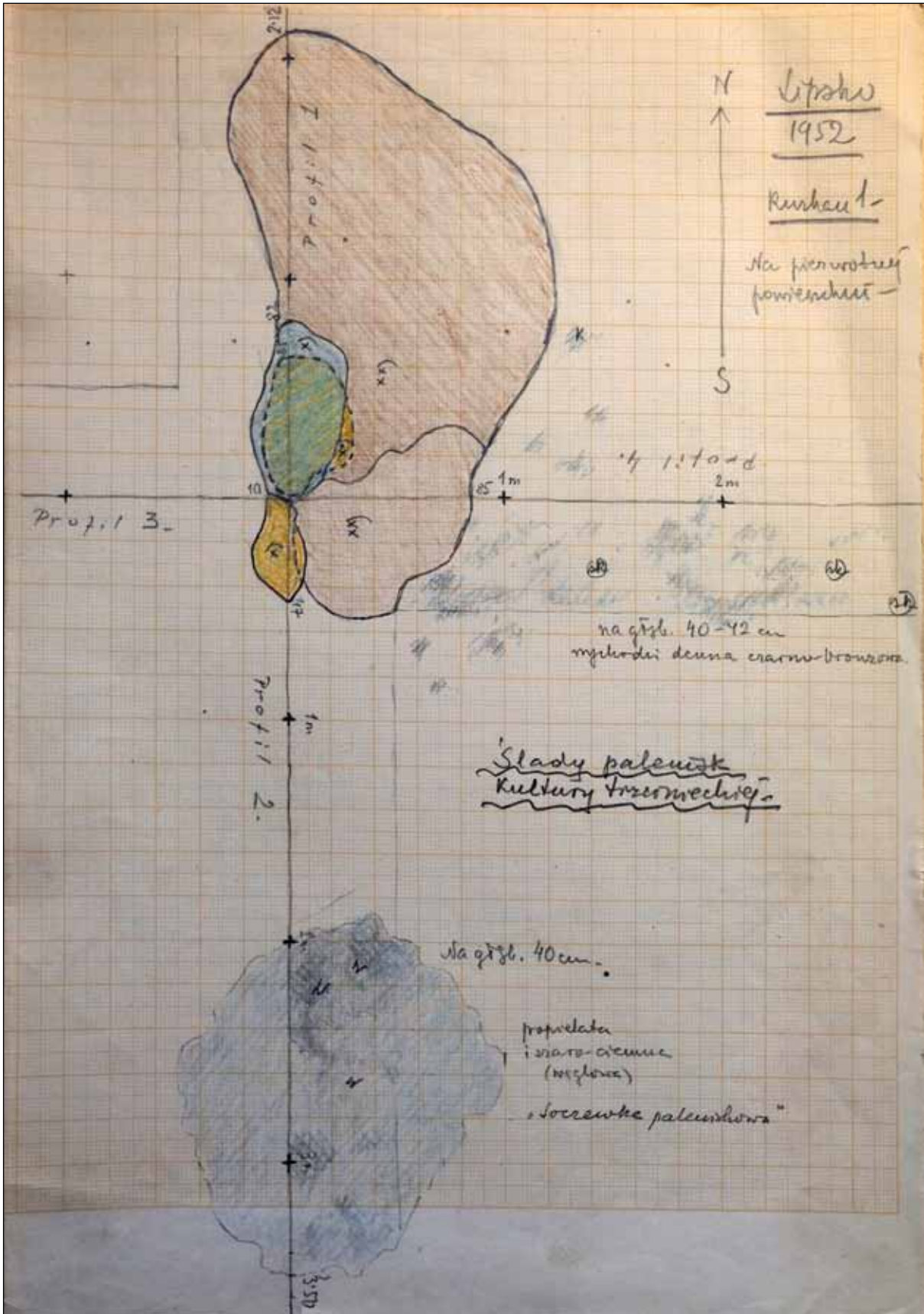
Ryc. 12. Przekrój kurhanu nr 1 (oprac. G. Śnieżko).

Fig. 12. Cross-section of the burial mound No. 1 (prepared by G. Śnieżko).



Ryc. 13. Plan obiektów jamowych kultury trzcinieckiej uchwyconych pod nasypem kopca (oprac. G. Śnieżko).

Fig. 13. Plan of the pit features of the Trzciniec culture discovered under the mound of the barrow (prepared by G. Śnieżko).



Ryc. 14. Plan obiektów jamowych kultury trzcinieckiej uchwyconych pod nasypem kopca (oryginalna dokumentacja, rys. M. Drewko).

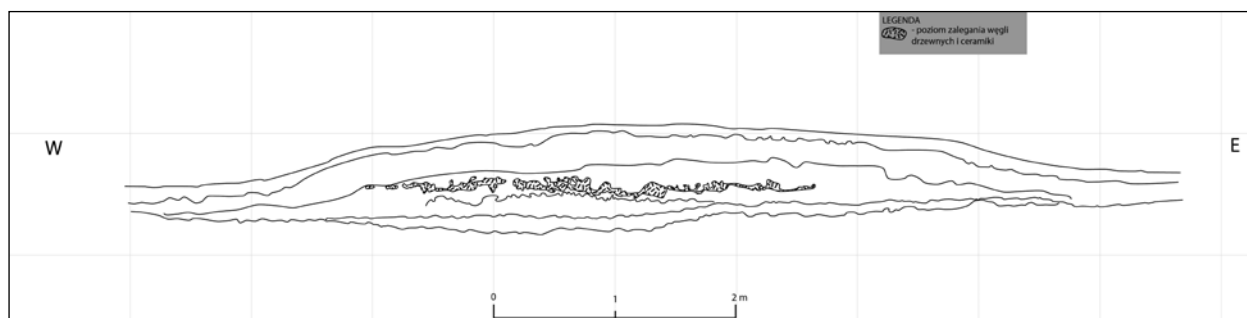
Fig. 14. Plan of pit features of the Trzciniec culture discovered under the mound of the barrow (original documentation, drawing by M. Drewko).

lonych szczątków kostnych oraz węgla drzewnych, będących najprawdopodobniej pozostałościami stosu pogrzebowego. Rozrzut znalezisk sugeruje, iż mamy do czynienia z nakurhanowym typem pochówku, zniszczonym przez orkę. Łącznie na powierzchni i w nasypie kurhanu odkryto 120 fragmentów wczesnośredniowiecznej ceramiki pochodzącej z 64 naczyń, ponadto 80 mało charakterystycznych i niediagnostycznych okruchów.

Znaleziono również ponad 100 fragmentów oraz 180 okruchów ceramiki kultury trzcinieckiej. Ok. 6 m od podstawy kurhanu odkryto żelźce topora z VIII w. (znalezisko luźne z 1955 r.).

2. Kurhan nr 2 (Ryc. 15–18)

- a. Rok badań: 1923
- b. Typ pochówku: podkurhanowy, ciałopalny
- c. Chronologia: VIII–IX w.



Ryc. 15. Przekrój kurhanu nr 2 (oprac. G. Śnieżko na podstawie rysunku M. Drewko).

Fig. 15. Cross-section of the burial mound No. 2 (prepared by G. Śnieżko on the basis of a drawing by M. Drewko).



Ryc. 16. Warstwa spalenizny pod nasypem kurhanu nr 2 w trakcie eksploracji (fot. R. Jakimowicz).

Fig. 16. The burnt layer under the mound of the barrow No. 2 during the exploration (photo by R. Jakimowicz).



Ryc. 17. Fragment przekroju kurhanu nr 2 (fot. R. Jakimowicz).

Fig. 17. Fragment of a cross-section of the burial mound No. 2 (photo by R. Jakimowicz).



Ryc. 18. Fragment przekroju kurhanu nr 2 (fot. R. Jakimowicz).

Fig. 18. Fragment of a cross-section of the burial mound No. 2 (photo by R. Jakimowicz).

d. Opis kurhanu: kurhan o średnicy 8 m, wysokości nasypu 50 cm. Pod nasypem odkryto warstwę ciałopalenia, z węglami drzewnymi oraz szczątkami kostnymi. Brak dokumentacji opisowej oraz planu. Zachował się rysunek przekroju z lokalizacją warstwy ciałopalenia. W trakcie badań kurhanu odkryto 28 fragmentów wczesnośredniowiecznej ceramiki naczyniowej.

3. Kurhan nr 6

- a. Rok badań: 1923
- b. Typ pochówku: nieustalony

c. Chronologia: brak danych

d. Opis kurhanu: brak dokumentacji

e. Plan kurhanu: brak w dokumentacji

f. Profil kurhanu: brak w dokumentacji

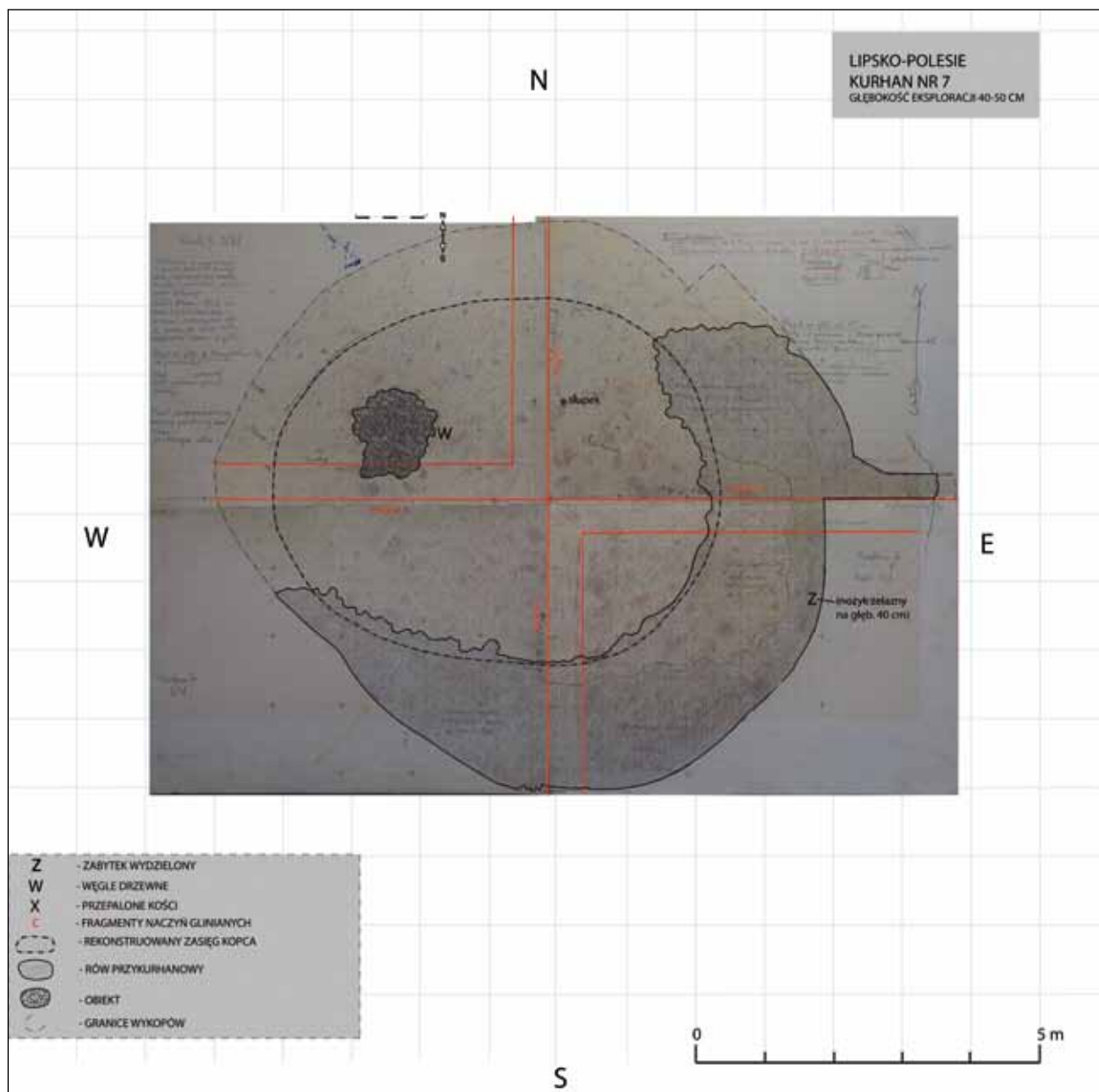
W dokumentacji z badań zachowały się rysunki 5 fragmentów naczyń glinianych.

4. Kurhan nr 7 (Ryc. 19–22)

a. Rok badań: 1955

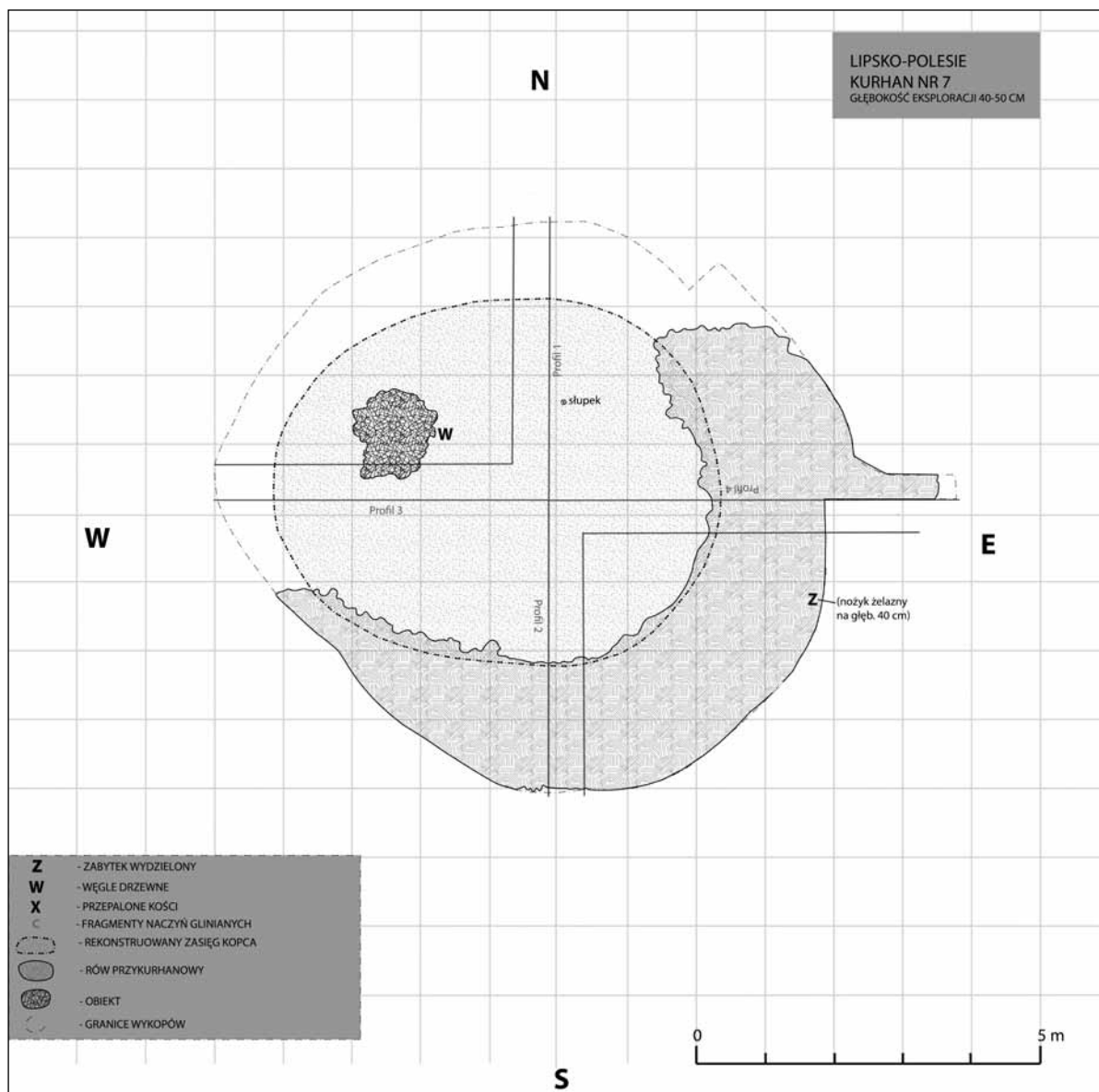
b. Typ pochówku: podkurhanowy

c. Chronologia: VIII–IX w.



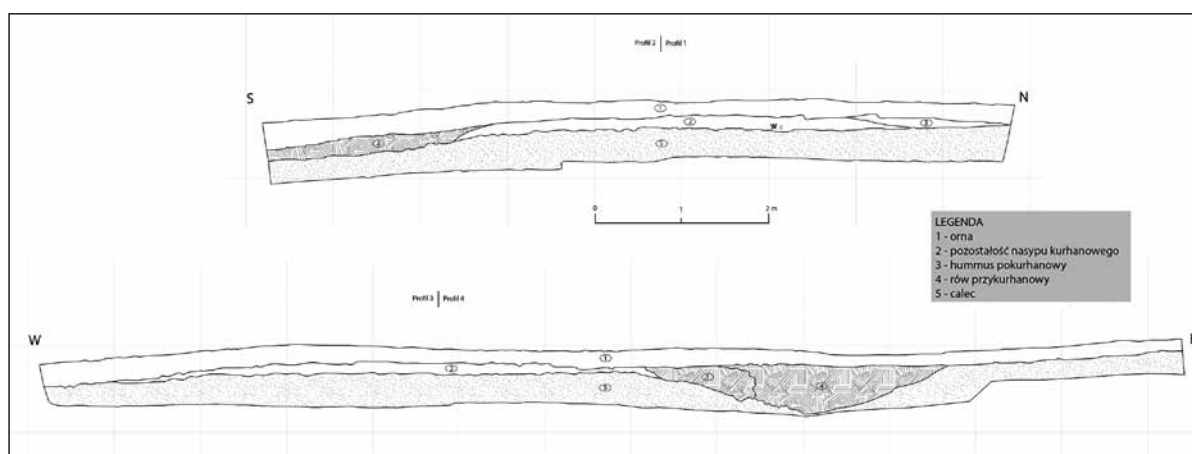
Ryc. 19. Plan kurhanu nr 7 na poziomie eksploracji nasypu (oprac. G. Śnieżko).

Fig. 19. Plan of the burial mound No. 7 at the mound exploration level (prepared by G. Śnieżko).



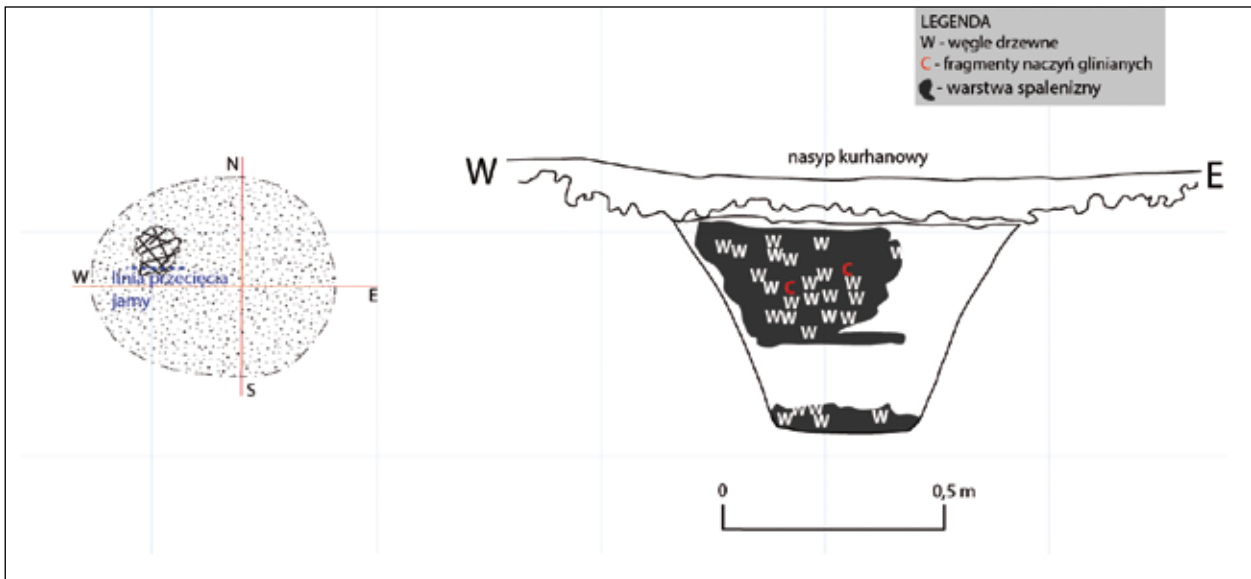
Ryc. 20. Plan kurhanu nr 7 na poziomie eksploracji nasypu (rys. M. DREWKO, oprac. G. ŚNIEŻKO).

Fig. 20. Plan of the burial mound No. 7 at the mound exploration level (drawing by M. DREWKO, prepared by G. ŚNIEŻKO).



Ryc. 21. Przekroje kurhanu nr 7 (oprac. G. ŚNIEŻKO).

Fig. 21. Cross-sections of the burial mound No. 7 (prepared by G. ŚNIEŻKO).



Ryc. 22. Obiekt jamowy kultury lużyckiej odkryty pod nasypem kurhanu nr 7 (oprac. G. Śnieżko).

Fig. 22. A pit feature of the Lusatian culture discovered under the mound of the barrow No. 7 (prepared by G. Śnieżko).

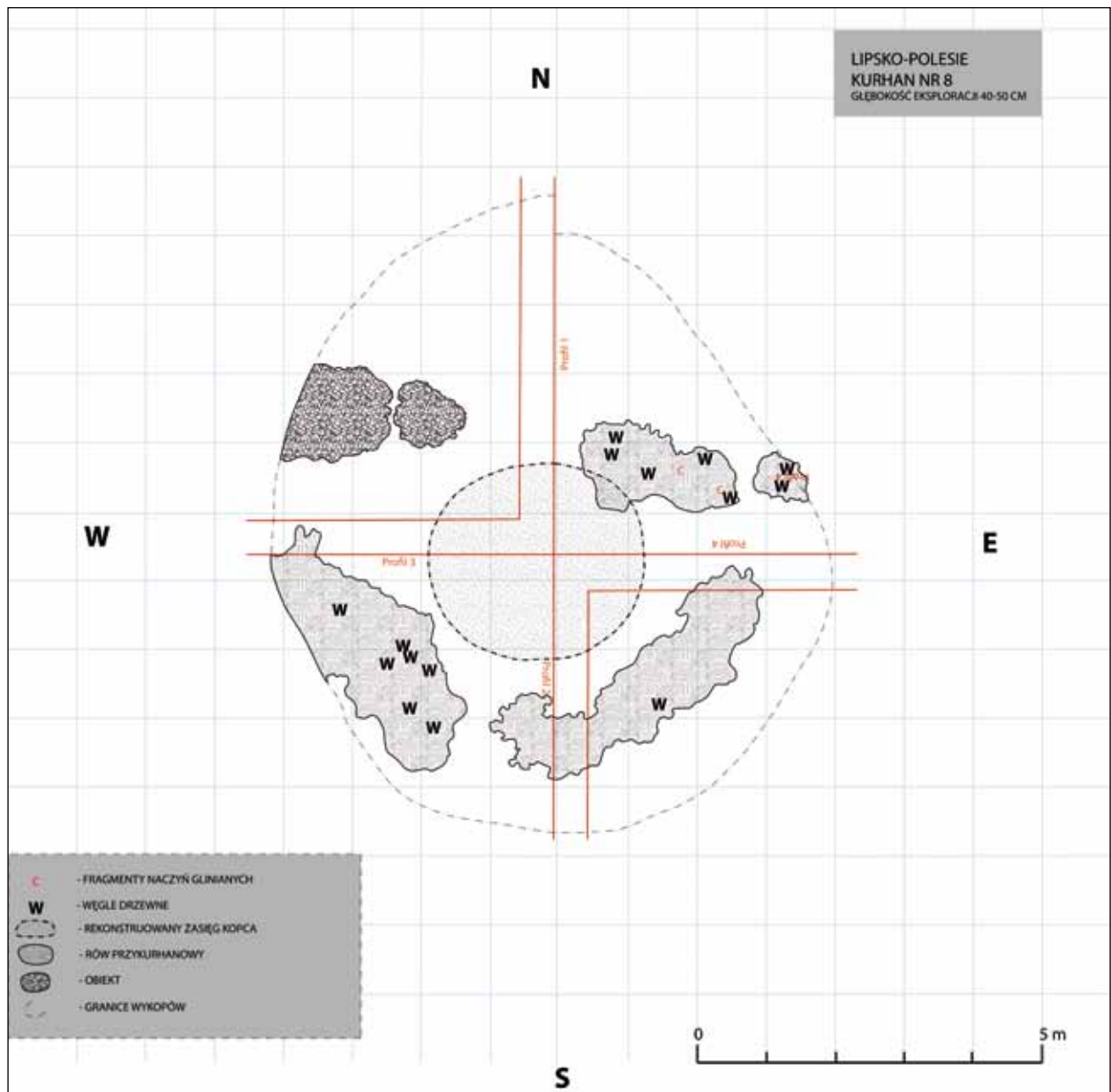
d. Opis kurhanu: jeden z najmniejszych rozmiarami kurhanów zanotowanych na cmentarzysku. Pierwotna wysokość kopca wynosiła ok. 60 cm, zaś jego średnica wynosiła ok. 5,5×6,5 m. Średnica rozoranego nasypu w momencie podjęcia badań sięgała 8×10 m, zaś wysokość 16 cm. Nasyp kurhanu tworzyła warstwa żółtej, popielatej i brązowej gliny. Od południowej i wschodniej strony kopca uchwycono rów przykurhanowy, sięgający 3 m szerokości i 0,5 m głębokości. Pod nasypem w NW ćwiartce kurhanu uchwycono został obiekt jamowy kultury trzcinieckiej oraz dołek po słupie średnicy 6–8 cm. W nasypie kopca znaleziono 29 fragmentów ceramiki po-

chodzących z 13 naczyń i kilkanaście drobnych okruchów, ponadto 22 fragmentów przepalonych kości, drobne węgle drzewne oraz fragmenty popielca. Większość szczątków kostnych stwierdzono w NE ćwiartce kurhanu. W nasypie odkryto również 20 fragmentów ceramiki pradziejowej. W rowie przykurhanowym, na głębokości 40 cm odkryto nóż żelazny, ponadto 3 fragmenty ceramiki wczesnośredniowiecznej oraz drobne fragmenty przepalonych szczątków kostnych. W rowie przykurhanowym zanotowano również drobne fragmenty ceramiki naczyniowej kultury lużyckiej oraz trzcinieckiej.

5. Kurhan nr 8 (Ryc. 23–25)

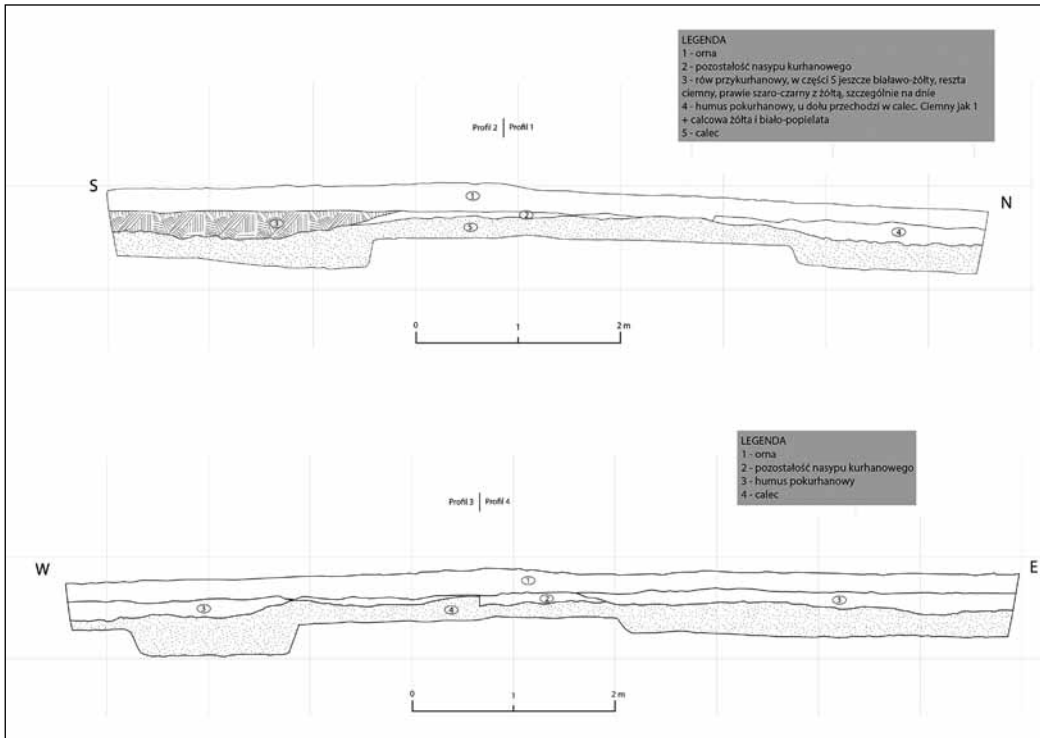
- Rok badań: 1952
- Typ pochówku: nakurhanowy lub nasypowy
- Chronologia: VIII–IX w.
- Opis kurhanu: średnica kurhanu w momencie podjęcia badań wynosiła ok. 8 m, zaś pierwotna, przed rozoraniem – niecałe 4 m. Wysokość nasypu sięgała 20 cm (w latach 20. XX w. przed rozoraniem kopca określono ją na 40 cm). Od strony południowej i wschodniej uchwycono zarysy rowów przykurhanowych. W NW ćwiartce kurhanu, pod nasypem odkryto obiekty pradziejowe z fragmentami ceramiki kultury trzcinieckiej oraz łuzyckiej. Na powierzchni nasypu odkryto 16 fragmentów

ceramiki wczesnośredniowiecznej pochodzącej z 10–12 naczyń. W nasypie kopca odkryto jedynie 3 fragmenty ceramiki należące do 3 naczyń wczesnośredniowiecznych. Szczątki kostne były rozproszone na powierzchni i w całości nasypu, ich największą liczbę zanotowano w NE części kurhanu. W rowach przykurhanowych odkryto przemieszaną ceramikę wczesnośredniowieczną (6 fragmentów) oraz pradziejową (28 fragmentów), ponadto drobne przepalone ułamki kości, węgle drzewne i grudki polepy. W wypełniskach obiektów pradziejowych odkryto fragmenty naczyń glinianych kultury trzcinieckiej oraz łuzyckiej, węgle drzewne i okruchy polepy.



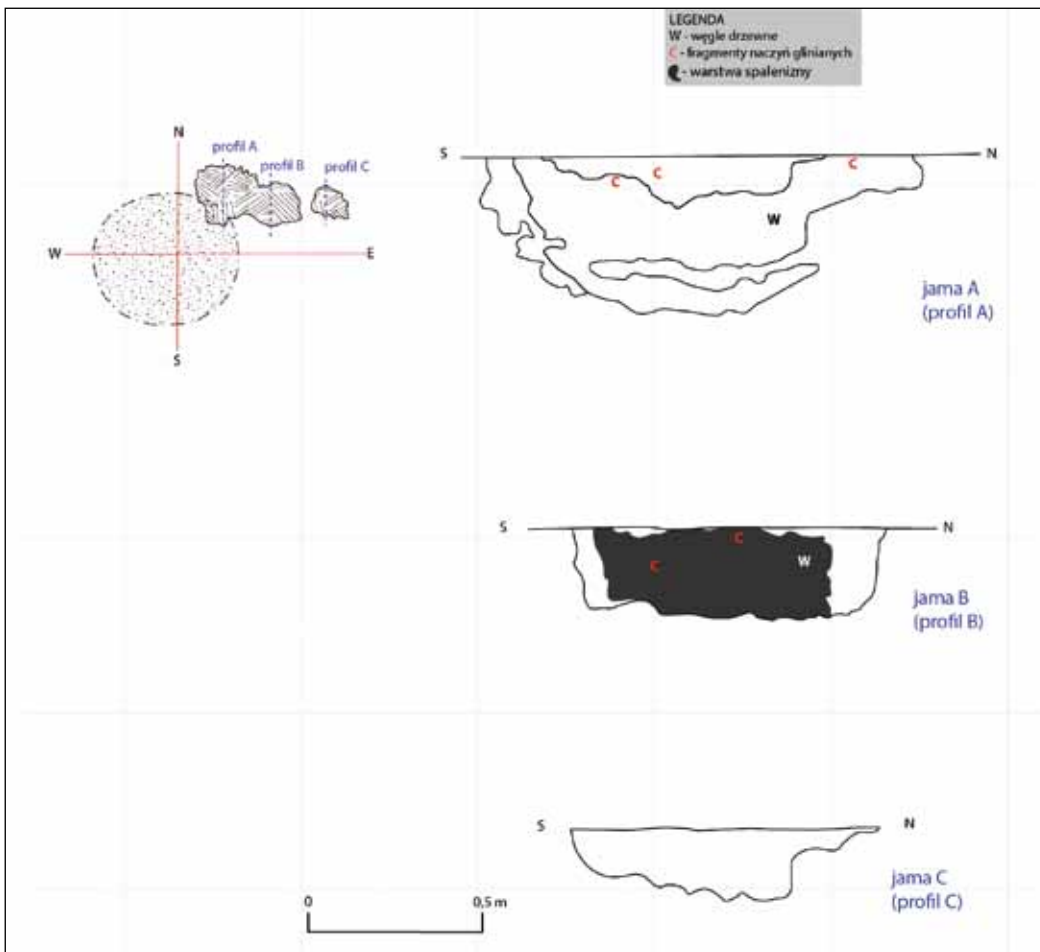
Ryc. 23. Plan kurhanu nr 8 na poziomie eksploracji nasypu (oprac. G. Śnieżko).

Fig. 23. Plan of the burial mound No. 8 at the mound exploration level (prepared by G. Śnieżko).



Ryc. 24. Przekroje kurhanu nr 8 (oprac. G. Śnieżko).

Fig. 24. Cross-sections of the burial mound No. 8 (prepared by G. Śnieżko).



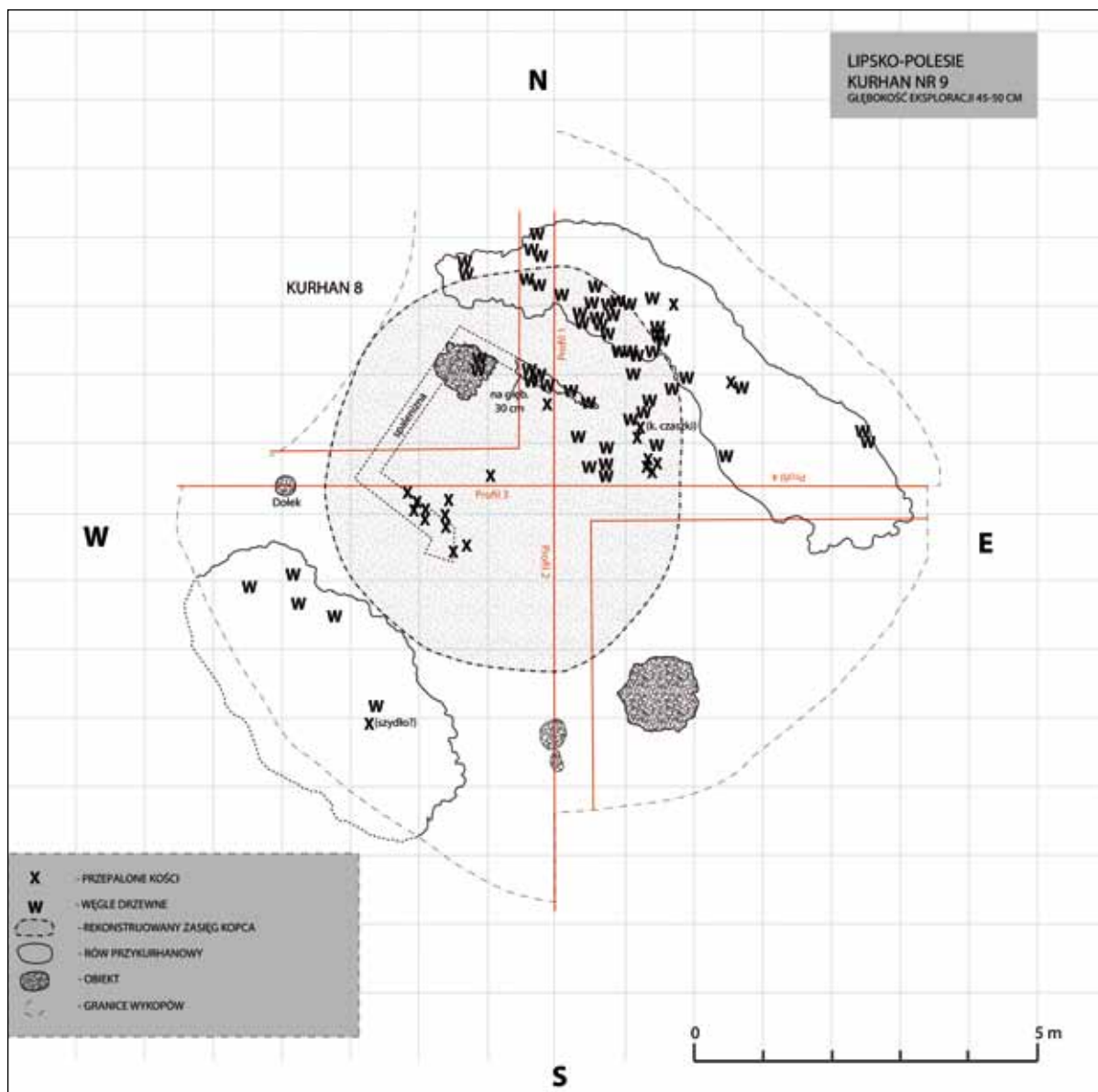
Ryc. 25. Obiekty jamowe kultury trzcinieckiej oraz luzyckiej odkryte pod nasypem kurhanu nr 8 (oprac. G. Śnieżko).

Fig. 25. Pit features of the Trzciniec and Lusatian cultures discovered under the embankment of the burial mound No. 8 (prepared by G. Śnieżko).

6. Kurhan nr 9 (Ryc. 26–27)

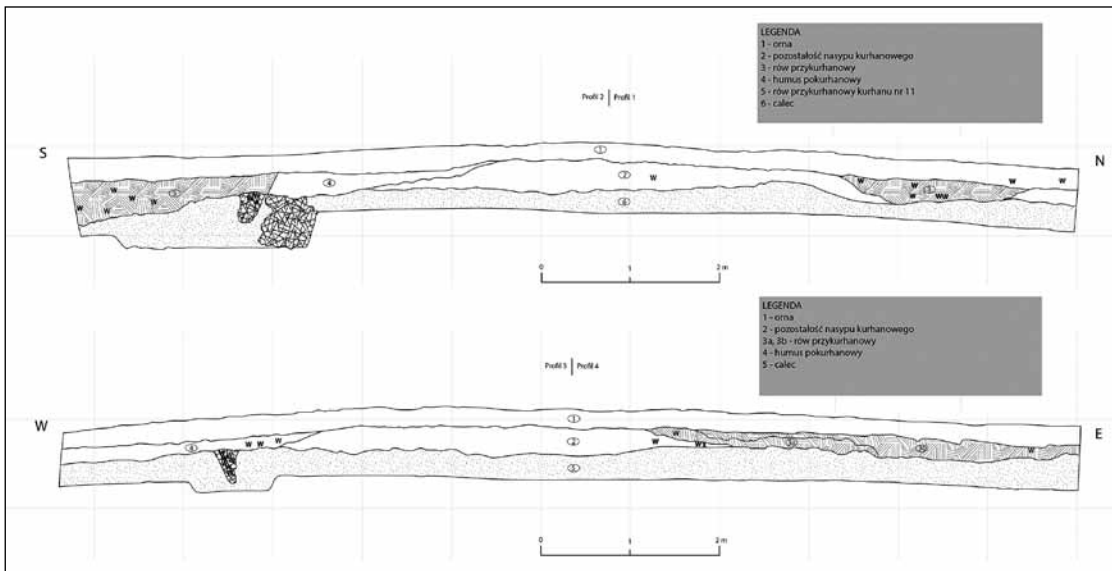
- Rok badań: 1952
- Typ pochówku: podkurhanowy
- Chronologia: VIII–IX w.
- Opis kurhanu: kurhan położony w bezpośrednim sąsiedztwie kurhanu nr 8. Jego pierwotna wysokość wynosiła ok. 50 cm, zaś średnica ok. 10 m. W chwili podjęcia badań wysokość nasypu sięgała niewiele ponad 20 cm. Pod nasypem uchwycono ślady oczyszczania terenu pod usypanie grobu (usuńnięte poszycie i humus pierwotny) oraz warstwę popiołu z licznymi fragmentami węgla drzewnych oraz przepalonych szczątków kostnych (przeszło 160). W niej wyróżniono pozostałości prostokątnej konstrukcji drewnianej. Nieliczne szczątki kostne wystąpiły również w jamach przykurhanowych uchwyconych od strony NE oraz SW. Fragmenty wczesnośredniowiecznych naczyń glinianych wystąpiły w całym nasypie. Łącznie odkryto 77 fragmentów 30 wczesnośredniowiecznych naczyń glinianych. W nasypie zanotowano również ceramikę pradziejową – kultury trzcinieckiej lub lużyckiej. W rowie przykurhanowym odkrytym w ćwiartce SW znaleziono kościane szydło. Pod nasypem kopca uchwycono 4 obiekty w formie jam wypełnione ciemną warstwą gleby z licznymi węglami drzewnymi, ich chronologię ustalono najprawdopodobniej na pradziej.

kątej konstrukcji drewnianej. Nieliczne szczątki kostne wystąpiły również w jamach przykurhanowych uchwyconych od strony NE oraz SW. Fragmenty wczesnośredniowiecznych naczyń glinianych wystąpiły w całym nasypie. Łącznie odkryto 77 fragmentów 30 wczesnośredniowiecznych naczyń glinianych. W nasypie zanotowano również ceramikę pradziejową – kultury trzcinieckiej lub lużyckiej. W rowie przykurhanowym odkrytym w ćwiartce SW znaleziono kościane szydło. Pod nasypem kopca uchwycono 4 obiekty w formie jam wypełnione ciemną warstwą gleby z licznymi węglami drzewnymi, ich chronologię ustalono najprawdopodobniej na pradziej.



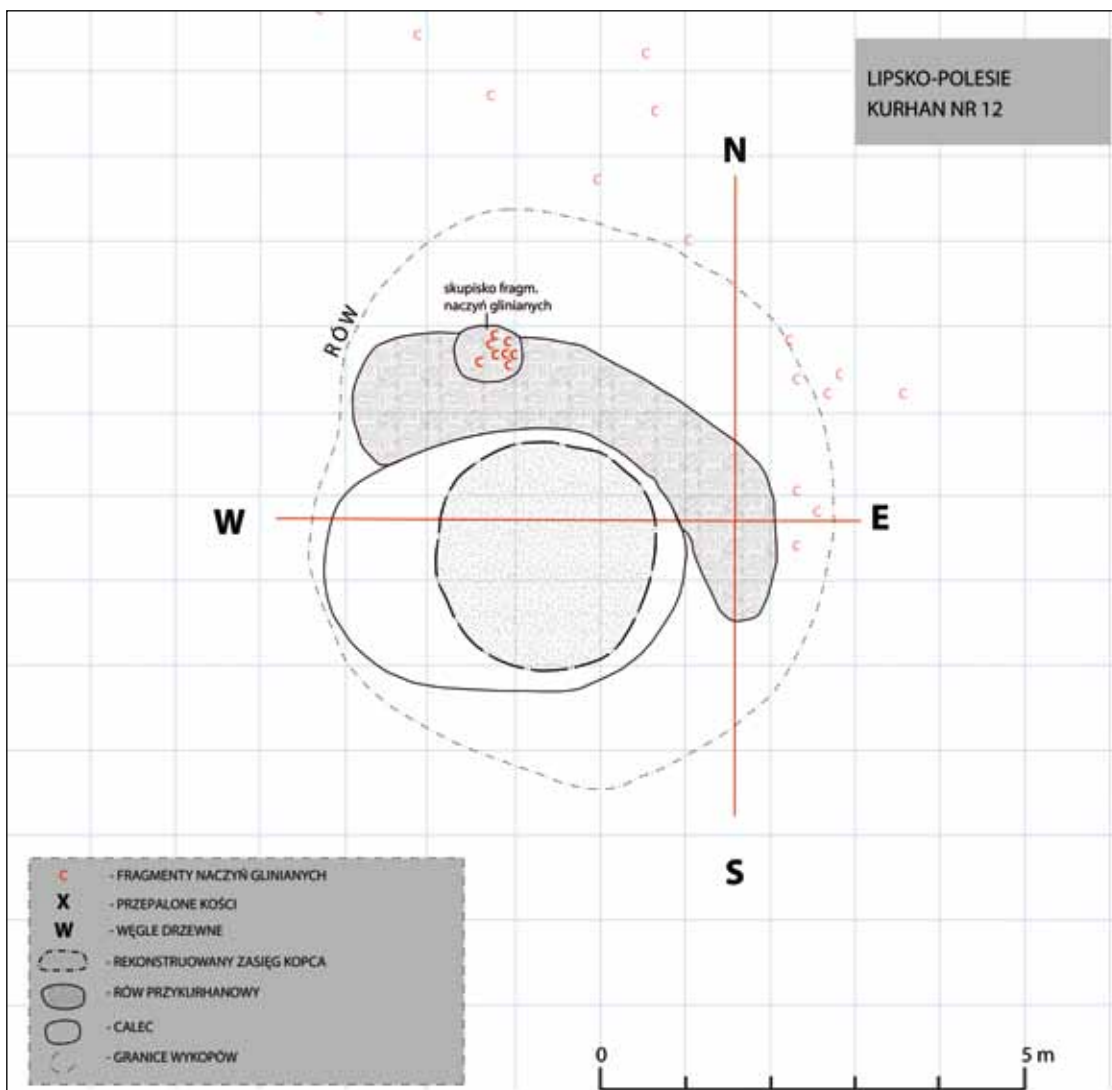
Ryc. 26. Plan kurhanu nr 9 na poziomie eksploracji nasypu (oprac. G. Śnieżko).

Fig. 26. Plan of the burial mound No. 9 at the mound exploration level (prepared by G. Śnieżko).



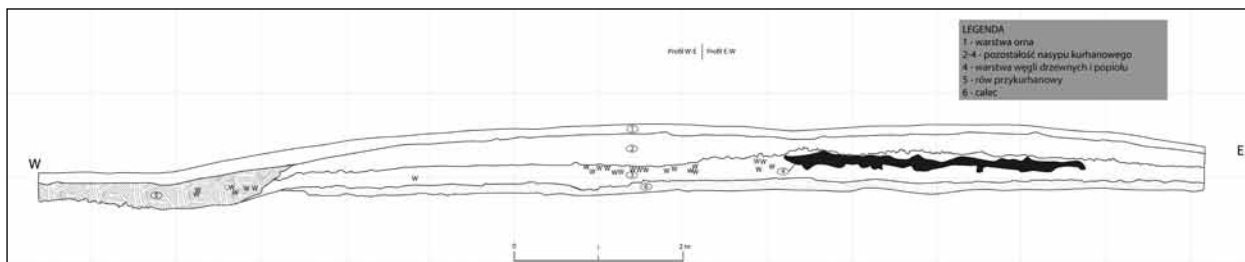
Ryc. 27. Przekroje kurhanu nr 9 (oprac. G. Śnieżko).

Fig. 27. Cross-sections of the burial mound No. 9 (prepared by G. Śnieżko).



Ryc. 28. Plan kurhanu nr 12 na poziomie eksploracji nasypu (oprac. G. Śnieżko).

Fig. 28. Plan of the burial mound No. 12 at the mound exploration level (prepared by G. Śnieżko).



Ryc. 29. Przekrój kurhanu nr 12 na linii W-E (oprac. G. Śnieżko).

Fig. 29. Cross-section of the burial mound No. 12 on the W-E line (prepared by G. Śnieżko).



Ryc. 30. Przekrój 0-W kurhanu (fot. R. Jakimowicz).

Fig. 30. 0-W cross-section of the burial mound (photo R. Jakimowicz).

7. Kurhan nr 10 i 11

Zachowały się jedynie dwa pudełka z materiałem ceramicznym, brak dokumentacji.

8. Kurhan nr 12 (Ryc. 28–30)

- Rok badań: 1954
- Typ pochówku: podkurhanowy
- Chronologia: VIII–IX w.
- Opis kurhanu: dokumentacja zachowana szczątkowo, w tym szkice planu i profili. Wymiary kurhanu w momencie badań wynosiły 6×12 m, zaś wysokość sięgała 30 cm. Pod nasypem, w zachodniej części kurhanu, uchwycono warstwę węgla

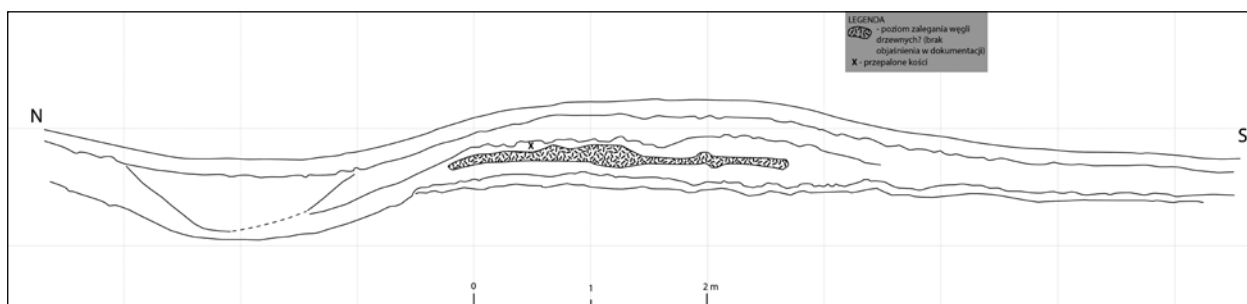
drzewnych oraz prawdopodobnie pozostałości konstrukcji drewnianej w formie skrzyni, ponadto skupisko naczyń glinianych i szczątków kostnych. W części wschodniej odsłonięto obiekt z fragmentami polepy oraz węglami drzewnymi o nieustalonej funkcji oraz chronologii. W nasypie kopca odkryto kilkanaście fragmentów naczyń glinianych z okresu wczesnego średniowiecza oraz kilkadziesiąt fragmentów ceramiki pradziejowej.

9. Kurhan nr 13 (Ryc. 31)

- Rok badań: 1952
- Typ pochówku: podkurhanowy
- Chronologia: VIII–IX w.
- Opis kurhanu: dokumentacja zachowana szczątkowo, brak opisu grobu oraz planu. Średnica kurhanu w momencie badań wynosiła ok. 7 m. Wysokość nasypu sięgała 20 cm. Pod nasypem kurhanu uchwycono warstwę węgla drzewnej oraz przepalone szczątki kostne.

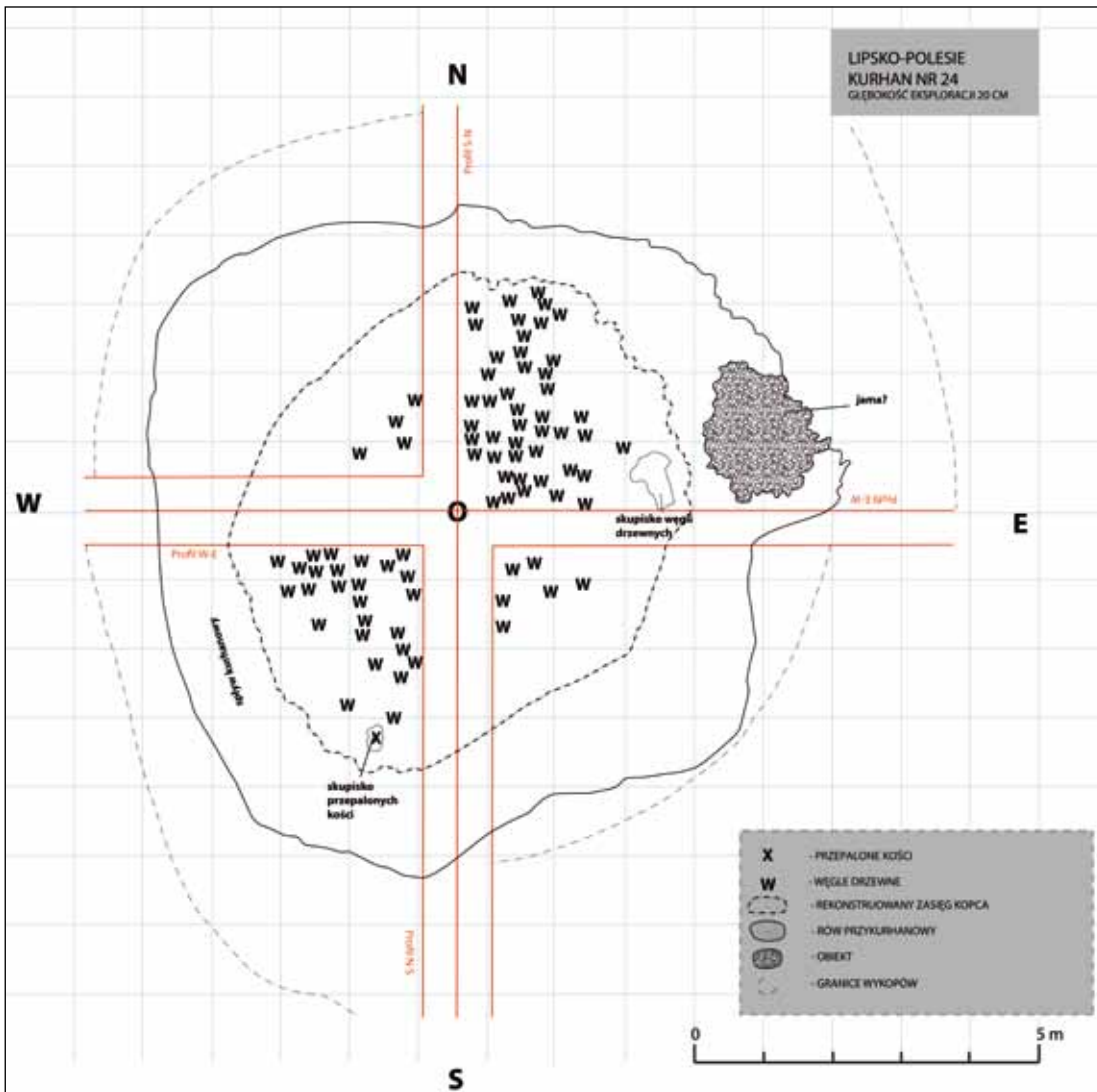
10. Kurhan nr 24 (Ryc. 32, 33)

- Rok badań: 1952
- Typ pochówku: nakurhanowy lub nasypowy
- Chronologia: VIII–X w.
- Opis kurhanu: średnica kurhanu w momencie podjęcia badań wynosiła ok. 10 m, zaś wysokość nasypu sięgała 30 cm. Szczątki kostne oraz fragmenty



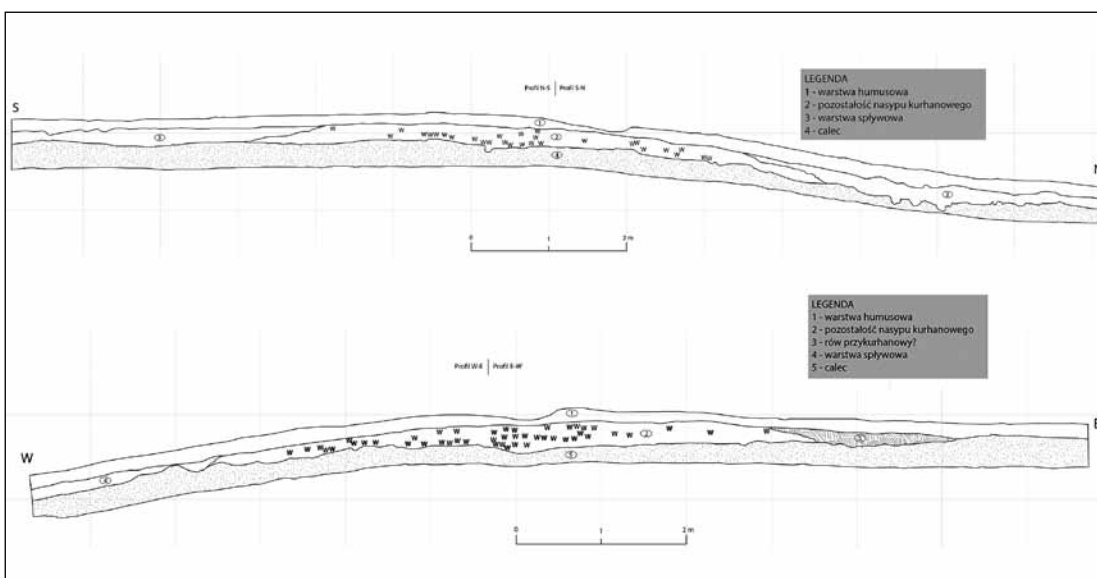
Ryc. 31. Przekrój kurhanu nr 13 na linii N-S (oprac. G. Śnieżko).

Fig. 31. Cross-section of the burial mound No. 13 on the N-S line (prepared by G. Śnieżko).



Ryc. 32. Plan kurhanu nr 24 na poziomie eksploracji nasypu (oprac. G. Śnieżko).

Fig. 32. Plan of the burial mound No. 24 at the mound exploration level (prepared by G. Śnieżko).



Ryc. 33. Przekroje kurhanu nr 24 (oprac. G. Śnieżko).

Fig. 33. Cross-sections of the burial mound No. 24 (prepared by G. Śnieżko).

wczesnośredniowiecznych naczyń glinianych wystąpiły w całym rozoranym nasypie. Skupisko przepalonych kości uchwycono w nasypie w SW ćwiartce kurhanu. Pod nasypem odkryto warstwę węgla drzewnych, stanowiących najprawdopodobniej ślad po oczyszczeniu ogniem terenu pod usypanie grobu.

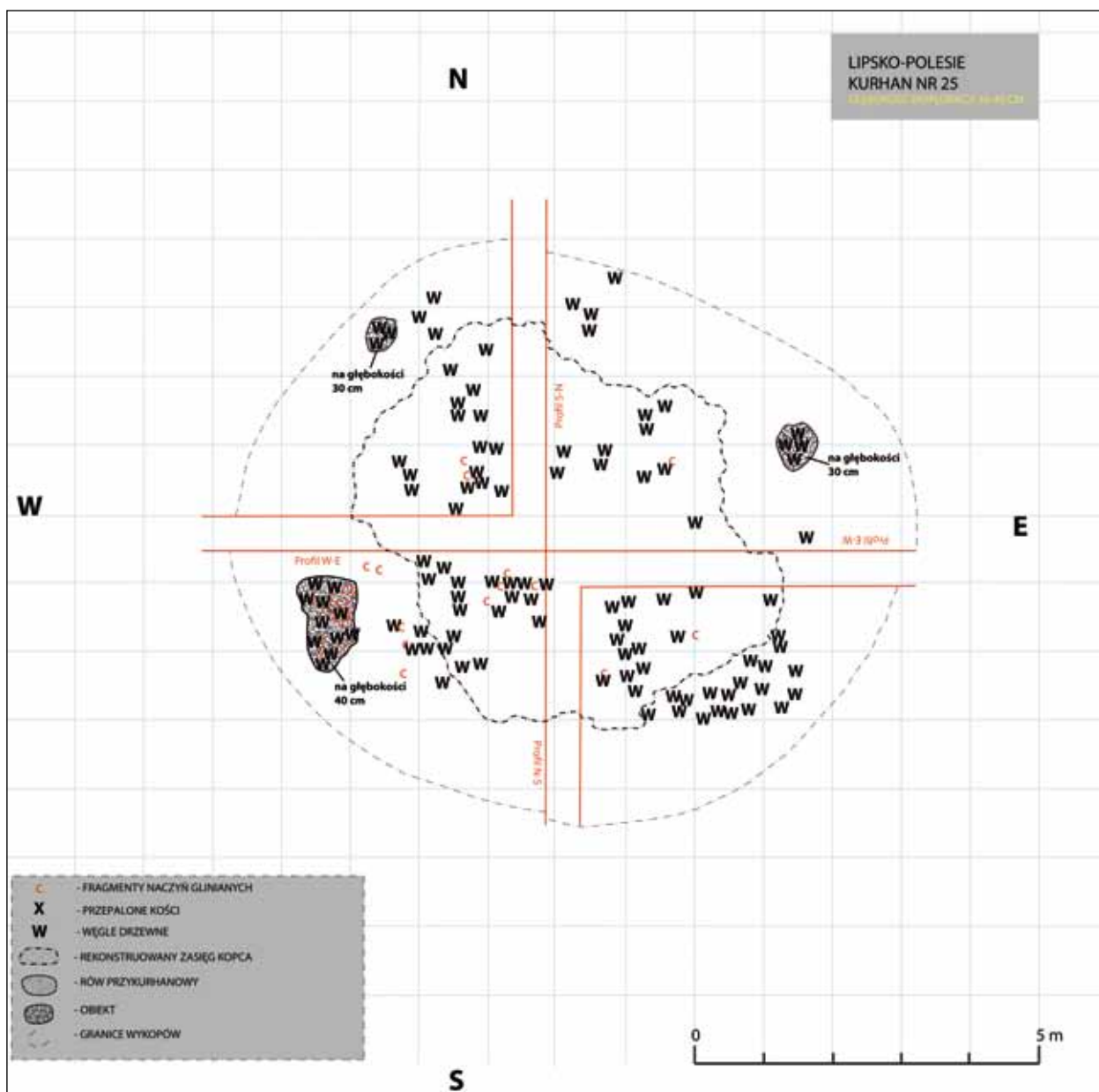
11. Kurhan nr 25 (Ryc. 34, 35)

a. Rok badań: 1955

b. Typ pochówku: nakurhanowy lub nasypowy

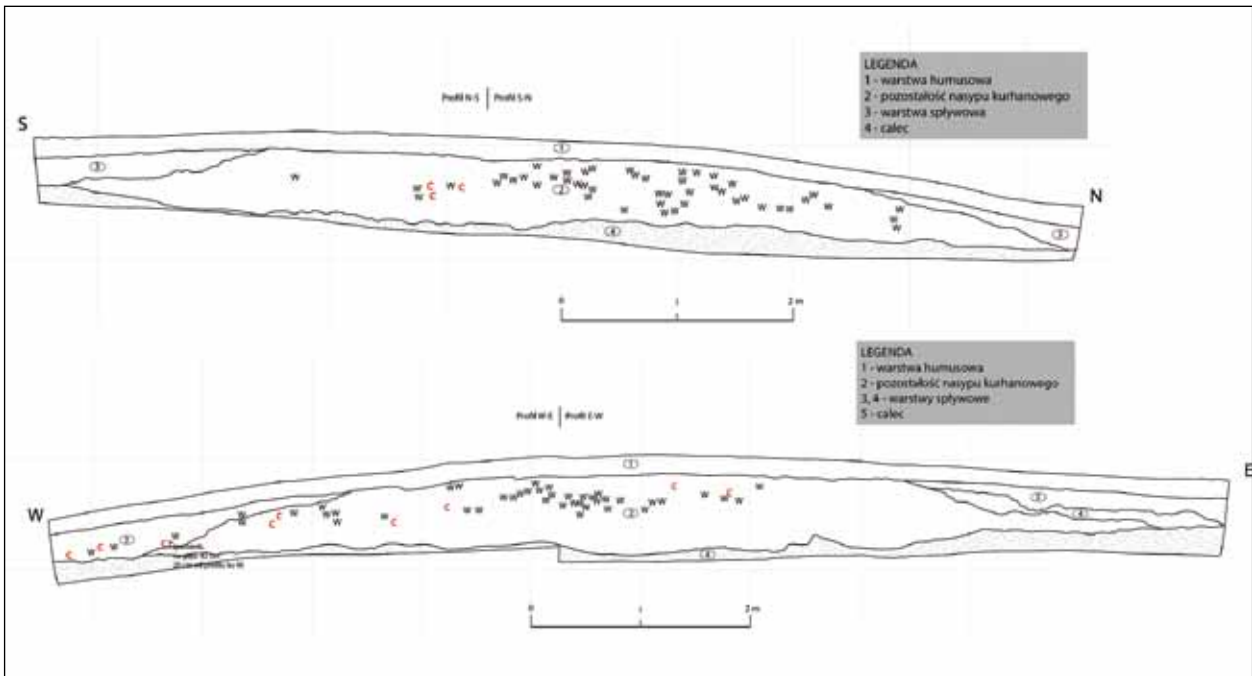
c. Chronologia: VIII–X w.

d. Opis kurhanu: średnica kurhanu 10 m. Wysokość nasypu 30 cm. Szczątki kostne i skupiska węgla drzewnych wystąpiły pojedynczo w rozoranym nasypie oraz w spływie do rowów przykurhanowych. W ćwiartce SW kurhanu w rowie przykurhanowym odkryto skupisko węgla drzewnych, przepalonych kości i fragmentów naczyń glinianych. Kolejne skupiska węgla i kości odsłonięto w rowach przykurhanowych w ćwiartkach NE i NW.



Ryc. 34. Plan kurhanu nr 25 na poziomie spągu (oprac. G. Śnieżko).

Fig. 34. Plan of the burial mound No. 25 at the floor level (prepared by G. Śnieżko).



Ryc. 35. Przekroje kurhanu nr 25 (oprac. G. Śnieżko).

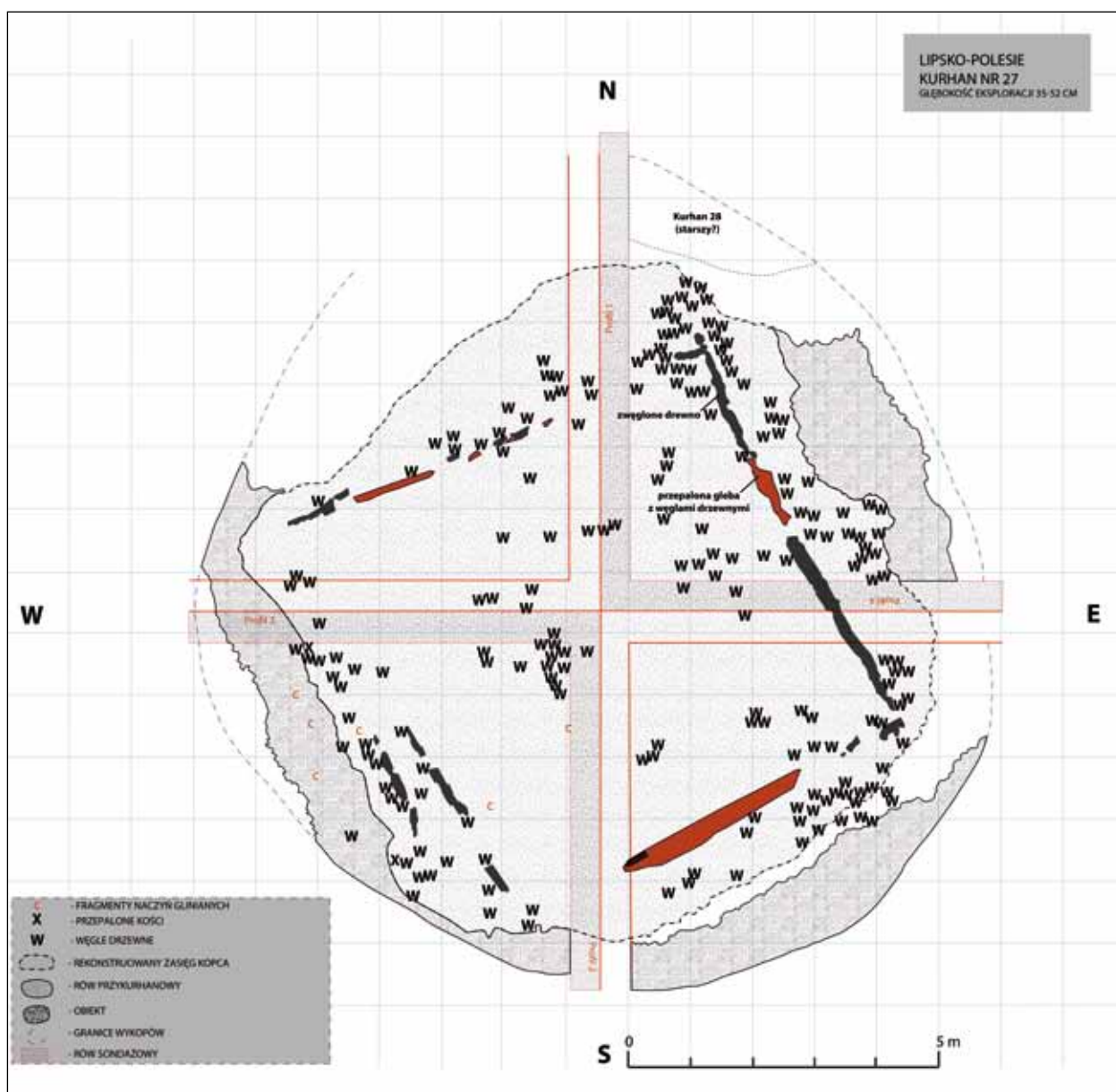
Fig. 35. Cross-sections of the burial mound No. 25 (prepared by G. Śnieżko).

12. Kurhan nr 27 (Ryc. 36–38)

- Rok badań: 1955
- Typ pochówku: nakurhanowy lub nasypowy
- Chronologia: VIII–IX w.
- Opis kurhanu: brak dokumentacji opisowej, zachowały się rysunki planów i profili z opisami. Średnica kurhanu w momencie podjęcia badań wynosiła ok. 13 m, zaś wysokość nasypu sięgała 40 cm. Szczątki kostne oraz fragmenty wczesnośredniowiecznych naczyń glinianych uchwycono we wszystkich partiach rozoranego nasypu. Pod nasypem odkryto pozostałość prostokątnej spalonej konstrukcji drewnianej oraz warstwę węgla drzewnych. Konstrukcja drewniana tworzyła skrzynię o wymiarach ok. 5×5 m. Wykonana była w konstrukcji zrębowej. W ćwiartce NE kurhanu, w miejscu łączenia belek, uchwycono na jednej z nich wyciosane gniazdo na belkę nachodzącą. Wewnątrz skrzyni odkryto liczne węgle drzewne. Pod nawarstwieniami wczesnośredniowiecznymi odkryto fragmenty ceramiki kultury łużyckiej.

13. Kurhan nr 29 (Ryc. 39–40)

- Rok badań: 1956
- Typ pochówku: nakurhanowy
- Chronologia: VIII–IX w.
- Opis kurhanu: w 1922 r. wysokość kurhanu wynosiła 1,15 m, zaś średnica sięgała 6 m. W momencie podjęcia badań wykopaliskowych nasyp kopca był zniszczony orką i liczył jedynie 20–25 cm wysokości. Rowy przykurhanowe uchwycono od strony północnej, wschodniej i zachodniej. W nasypie kopca odkryto 8 fragmentów ceramiki wczesnośredniowiecznej pochodzących z 5 naczyń. W rowach przykurhanowych odkryto 16 kolejnych ułamków pochodzących z 8 naczyń. Na wszystkich poziomach stratygraficznych zanotowano drobne fragmenty ceramiki naczyniowej kultury łużyckiej. Wczesnośredniowieczna ceramika naczyniowa z kurhanu 29 reprezentuje najmłodszy typ. Charakteryzuje się ona drobnoziarnistą domieszką z piasku oraz stosunkowo dobrym wypałem. Ślady obtaczania i poziomego wygładzania powierzchni widoczne są na całej powierzchni naczyń. Na części fragmentów ceramiki zanotowano ornament w postaci poziomych oraz falistych linii.



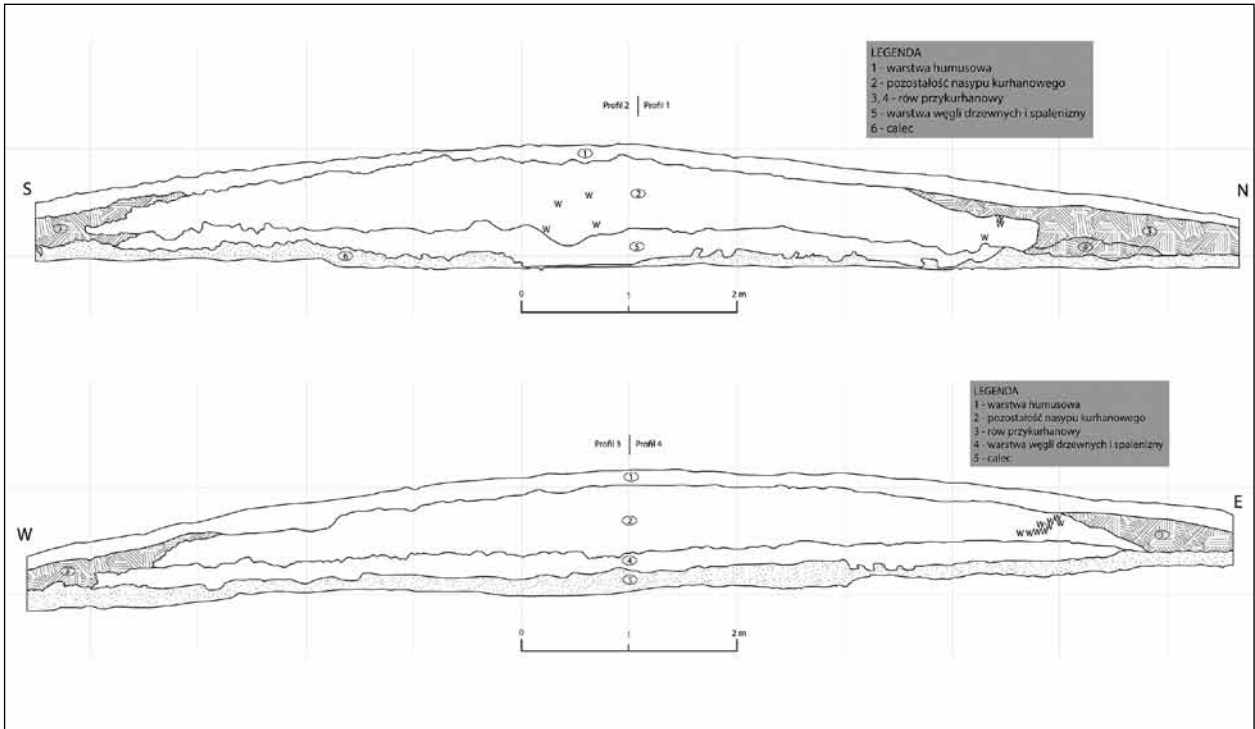
Ryc. 36. Plan kurhanu nr 27 na poziomie konstrukcji drewnianej (oprac. G. Śniezko).

Fig. 36. Plan of the burial mound No. 27 at the level of the wooden structure (prepared by G. Śniezko).

14. Kurhan nr 31 (Ryc. 41, 42)

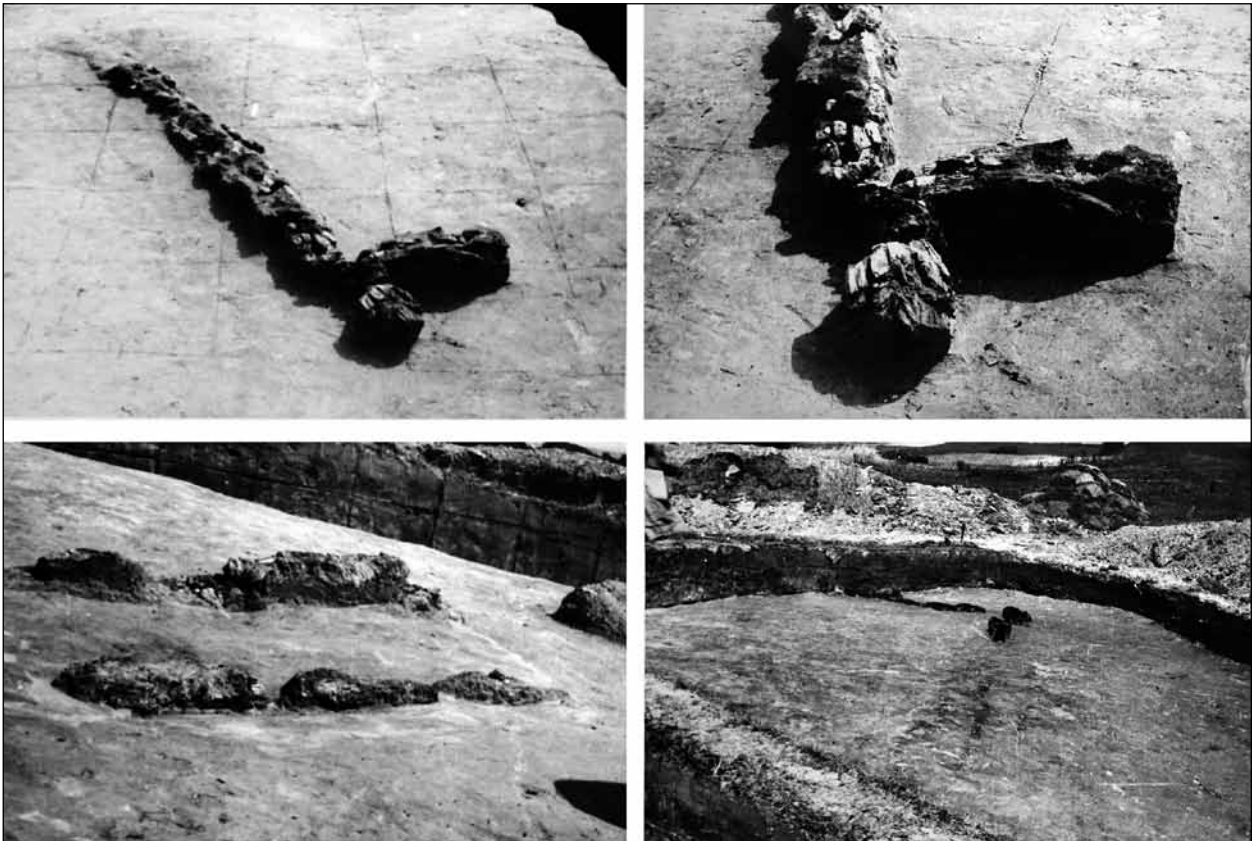
- Rok badań: 1956
- Typ pochówku: podkurhanowy
- Chronologia: VIII–IX w.
- Opis kurhanu: nasyp kopca mocno rozorany, w momencie podjęcia badań jego wysokość wynosiła ok. 30 cm, zaś średnica ok. 12 m. Szczątki kostne i fragmenty wczesnośredniowiecznych naczyń glinianych odkryto w rozoranym nasypie, na

głębokości ok. 20–30 cm. Rowy przykurhanowe zanotowano od strony północnej i wschodniej. W nasypie miejscami wystąpiły skupiska popiołu i węgla drzewnych. Liczne węgle drzewne odkryto również w rowie przykurhanowym przylegającym do kurhanu od strony wschodniej. Poza zabytkami wczesnośredniowiecznymi w nasypie natrafiono na fragmenty ceramiki kultury trzcińskiej oraz lużyckiej.



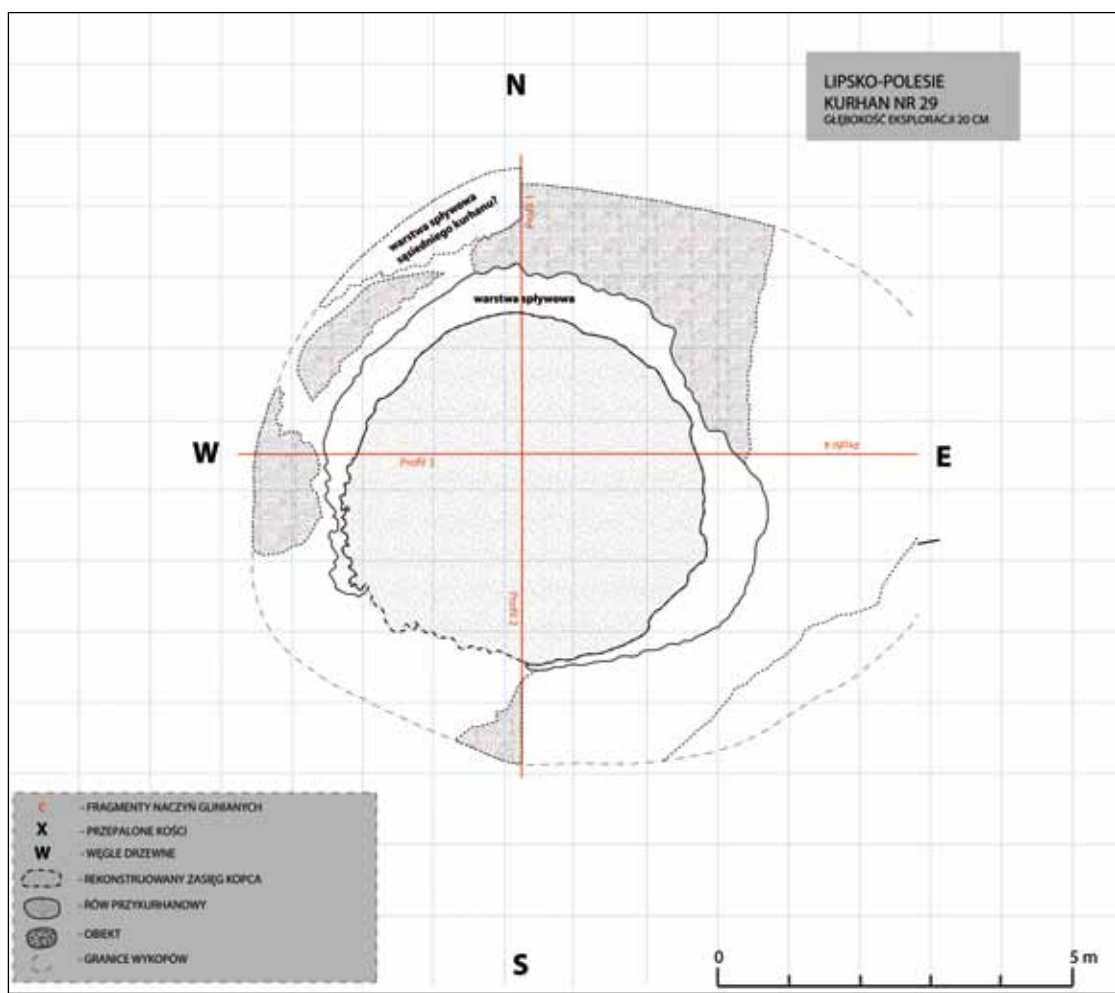
Ryc. 37. Przekroje kurhanu nr 27 (oprac. G. Śnieżko).

Fig. 37. Cross-sections of the burial mound No. 27 (prepared by G. Śnieżko).



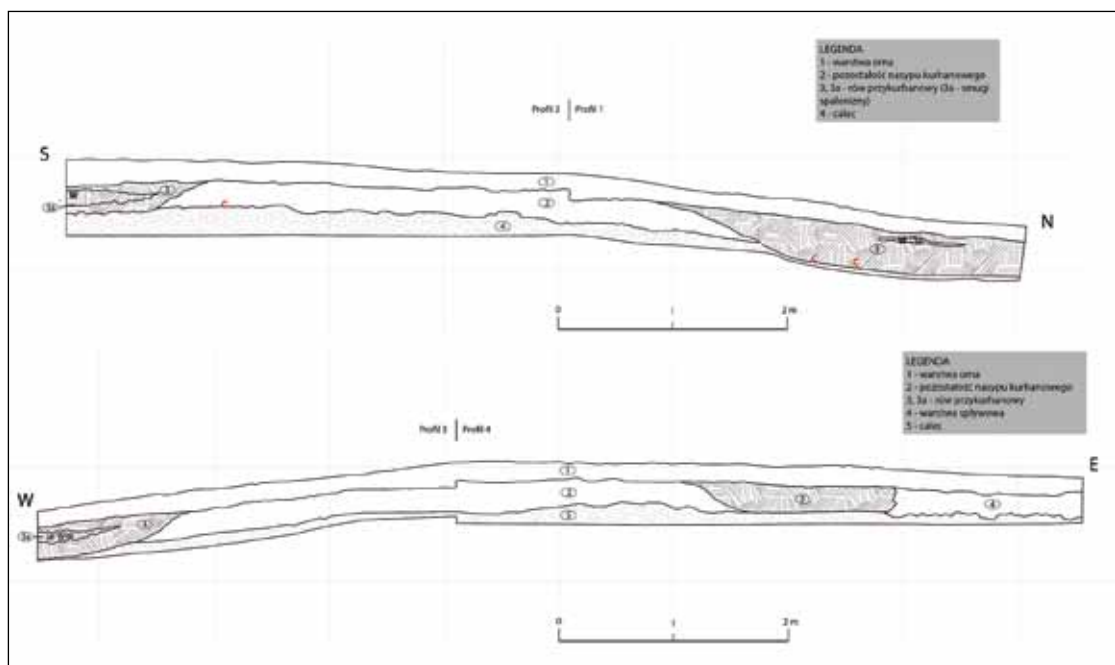
Ryc. 38. Konstrukcja drewniana odkryta pod nasypem kurhanu nr 27 (fot. W. Antoniewicz, oprac. Ł. Miechowicz).

Fig. 38. The wooden structure, discovered under the mound of the barrow No. 27 (photo W. Antoniewicz, prepared by Ł. Miechowicz).



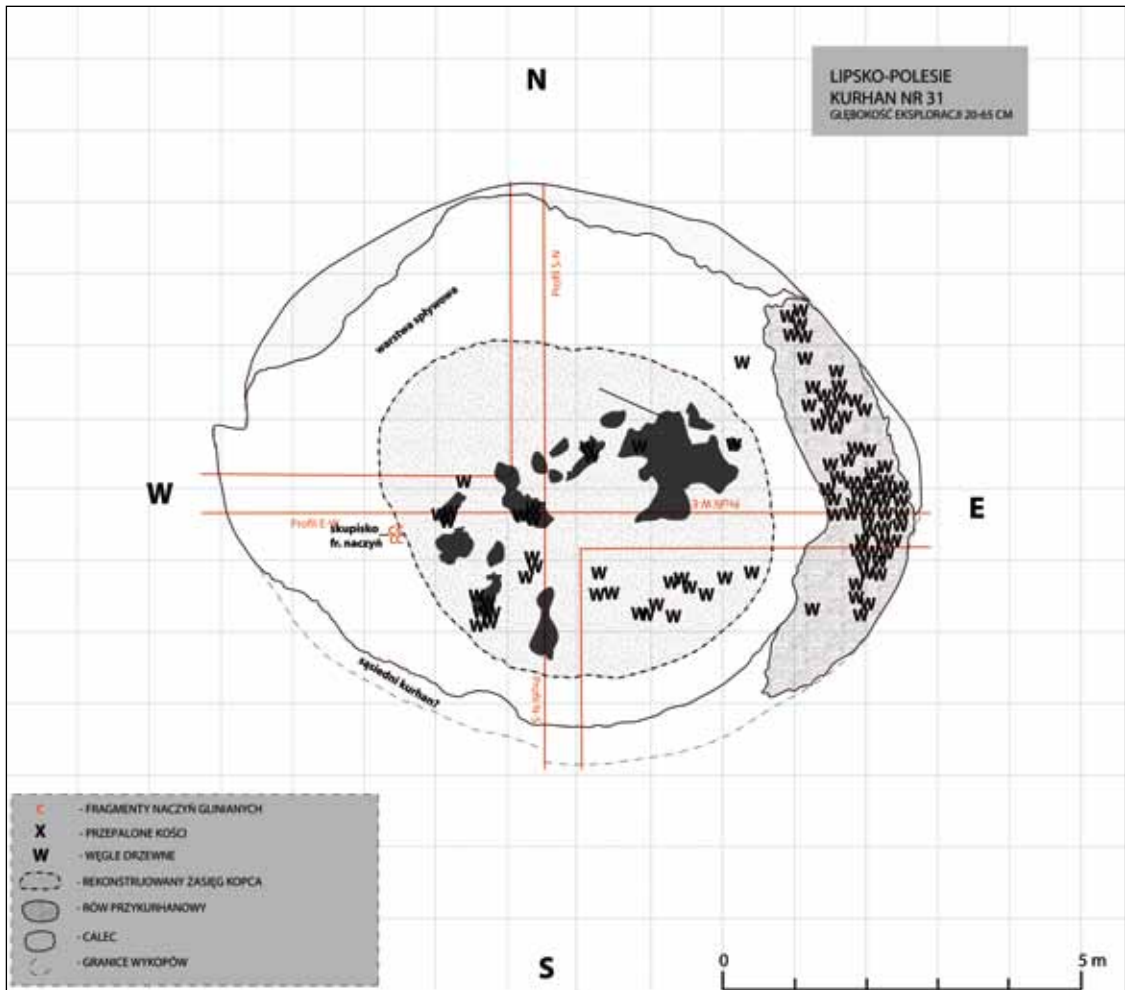
Ryc. 39. Plan kurhanu nr 29 (oprac. G. Śnieżko).

Fig. 39. Plan of the burial mound No. 29 (prepared by G. Śnieżko).



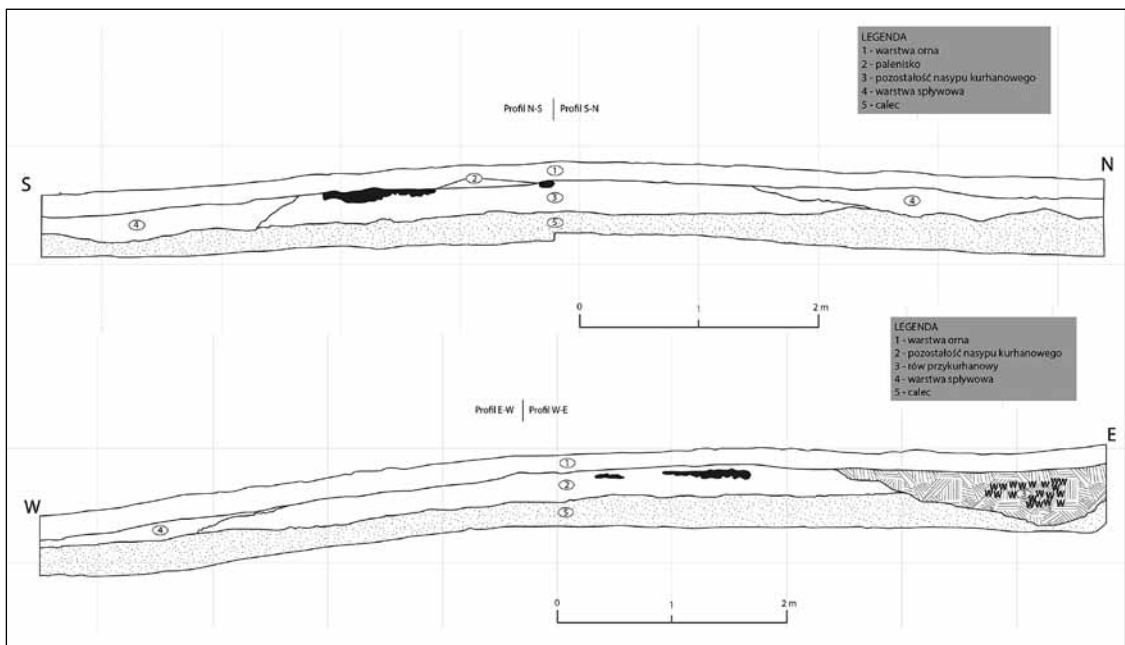
Ryc. 40. Przekroje kurhanu nr 29 (oprac. G. Śnieżko).

Fig. 40. Cross-sections of the burial mound No. 29 (prepared by G. Śnieżko).



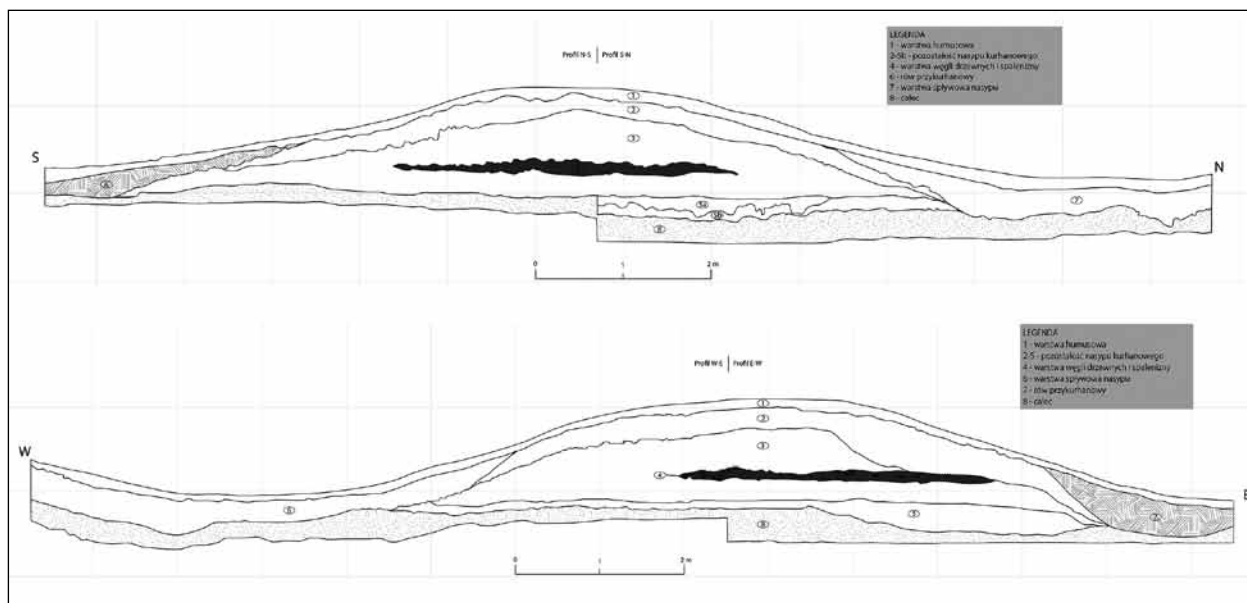
Ryc. 41. Plan kurhanu nr 31 (oprac. G. Śnieżko).

Fig. 41. Plan of the burial mound No. 31 (prepared by G. Śnieżko).



Ryc. 42 Przekroje kurhanu nr 31 (oprac. G. Śnieżko).

Fig. 42 Cross-sections of the burial mound No. 31 (prepared by G. Śnieżko).



Ryc. 43. Przekroje kurhanu nr 34 (oprac. G. Śnieżko).

Fig. 43. Cross-sections of the burial mound No. 34 (prepared by G. Śnieżko).



Ryc. 44. Przekrój NS kurhanu nr 34 (fot. W. Antoniewicz, oprac. z 4 fotografii Ł. Miechowicz).

Fig. 44. N-S cross-section of the burial mound No. 34 (photo W. Antoniewicz, compilation from 4 photos by Ł. Miechowicz).

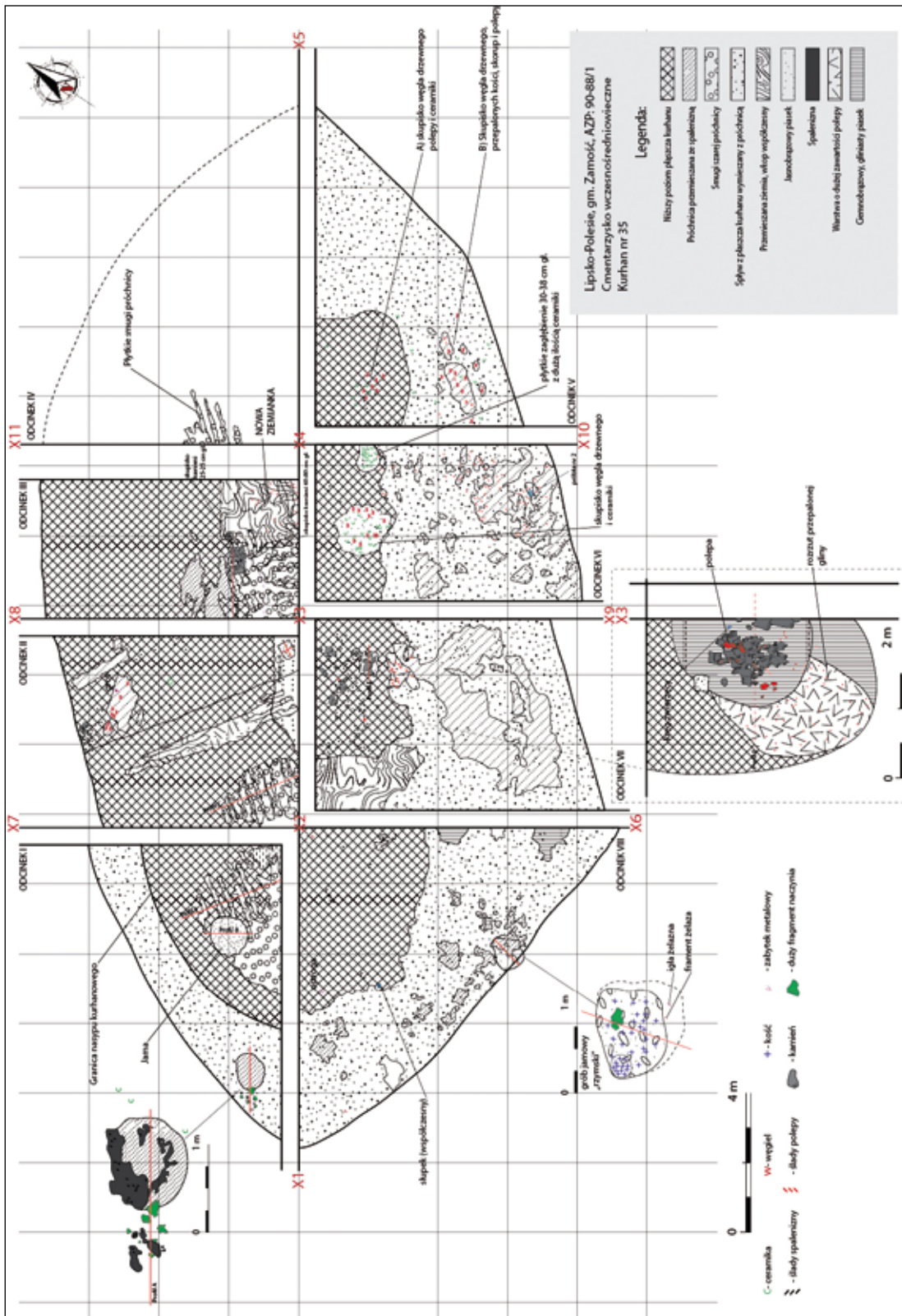
15. Kurhan nr 34 (Ryc. 43)

- Rok badań: lata 20. XX w.
- Typ pochówku: podkurhanowy lub nasypowy
- Chronologia: VII–IX w.
- Opis kurhanu: brak dokumentacji opisowej oraz rysunków planów, zachował się rysunek przekroju kurhanu. Średnica kopca w momencie podjęcia badań wynosiła ok. 11 m. Wysokość nasypu sięgała 50 cm. Szczątki kostne uchwycono w rozoranym nasypie i pod nasypem. Od strony północnej i wschodniej zanotowano rowy przykurhanowe. W dokumentacji brak rysunku planu kurhanu.

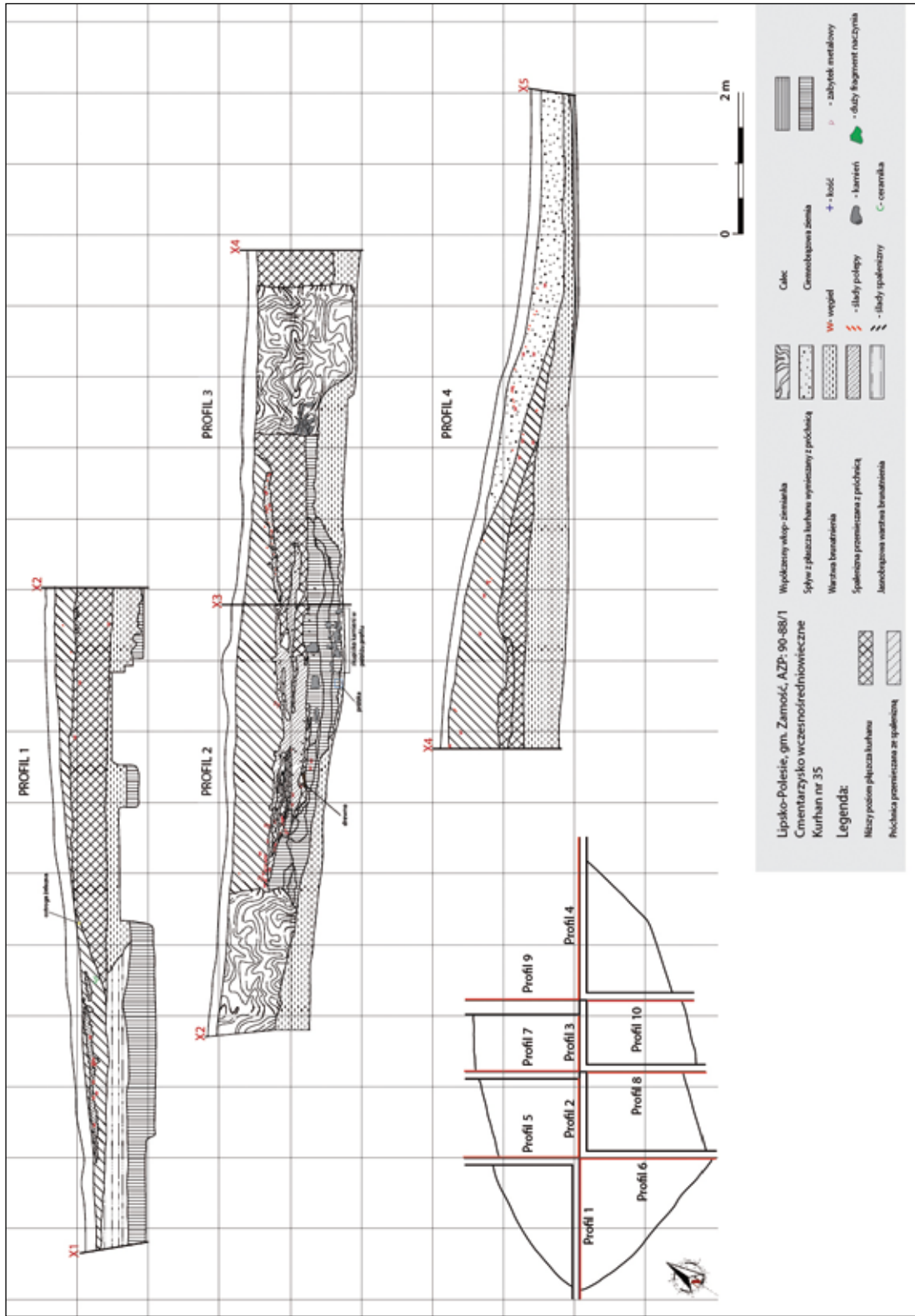
16. Kurhan nr 35 (Ryc. 45–50)

- Rok badań: 1953
- Typ pochówku: nakurhanowy
- Chronologia: połowa VII–VIII w.
- Opis kurhanu: brak dokumentacji opisowej, jednakże kurhan ten, jako jedyny, został szerzej opu-

blikowany (M. Drewko 1954). Jest to największy kopiec zanotowany na cmentarzysku, o wydłużonym kształcie długości 22 m i szerokości 10 m. Jego pierwotna wysokość sięgała 3 m. W momencie rozpoczęcia badań wysokość nasypu została zniwelowana orką do 1,8 m, długość sięgała 24 m, zaś szerokość 12 m. Kurhan, ze względu na wielkość nasypu, podzielony został na 8 odcinków badawczych. Nasyp składał się z gliny wybranej z rowów przykurhanowych, zanotowanych wokół kopca. W centrum kurhanu, na głębokości 40 cm od powierzchni, uchwycono jamę o średnicy ok. 3 m. Na jej dnie odkryto bruk kamienny składający się z 60 otoczków. Na kamieniach zanotowano ślady ognia oraz wypalanej gliny. Grudy przepalanej gliny odkryto również w południowej i wschodniej części jamy. W części NW jamy odkryto warstwę popiołu. W wypełniku jamy odnotowano drobne fragmenty przepalonych kości, w pobliżu bruku

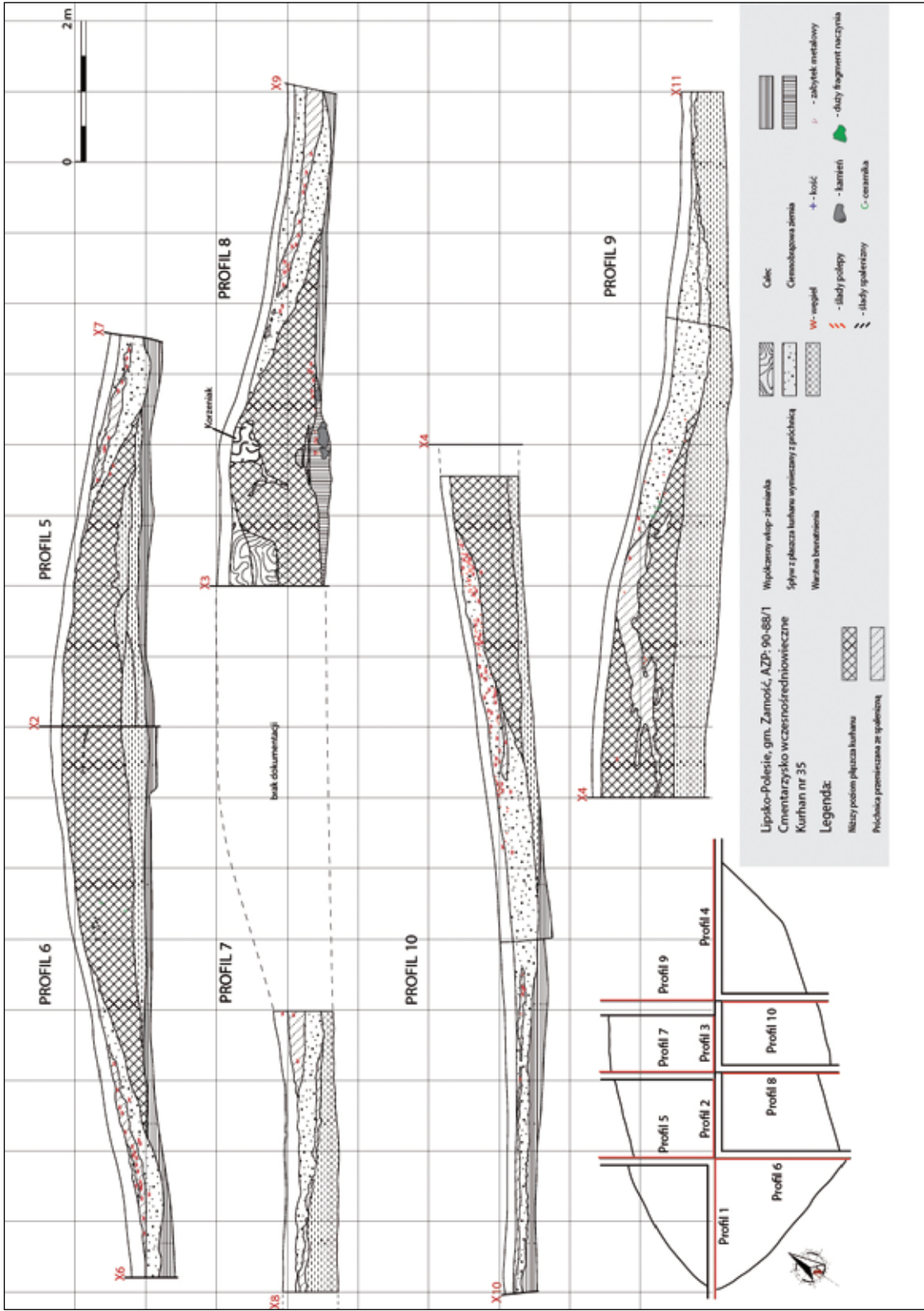


Ryc. 45. Plan kurhanu 35 z oznaczeniem odsłoniętych obiektów (oprac. J. Stępnik).
 Fig. 45. Plan of the burial mound No. 35 with marking of the revealed features (prepared by J. Stępnik).



Ryc. 46. Przekroje kurhanu nr 35 (oprac. J. Stępnik).

Fig. 46. Cross-sections of the burial mound No. 35 (prepared by J. Stępnik).



Ryc. 47. Przekroje kurhanu nr 35 (oprac. J. Stępnik).
 Fig. 47. Cross-sections of the burial mound No. 35 (prepared by J. Stępnik).



Ryc. 49. Konstrukcja kamienna odsłonięta w nasypie kurhanu nr 35 (fot. R. Splawiński).

Fig. 49. The stone structure revealed within the mound of the barrow No. 35 (photo by R. Splawiński).



Ryc. 50. Konstrukcja kamienna odsłonięta w nasypie kurhanu nr 35 (fot. R. Splawiński).

Fig. 50. The stone structure revealed within the mound of the barrow No. 35 (photo by R. Splawiński).

kamiennego odkryto niespalony krąg krowy. Na poziomie 60–75 cm, licząc od szczytu kurhanu, w jego nasypie uchwycono drugą jamę o wymiarach ok. 6×3 m. Zanotowano w niej ślady obecności ognia w postaci węgla drzewnych oraz grud przepalanej gliny. Większość fragmentów naczyń glinianych odkryto w spływach zsuniętych z grzbietu kopca. W warstwie powierzchniowej odkryto również liczne drobne fragmenty przepalonych kości, węgla drzewnych, polepy oraz pozostałości palenisk. W warstwie powierzchniowej odkryto również zabytki żelazne: ostrogę z zaczepami haczykowatymi skierowanymi do wewnątrz, nóż, grot strzały z tordowaną tulejką i 4 sprzączki. Odkryto również paciorek szklany barwy czerwonej. Z fragmentów ceramiki odkrytych w spływach nasypu, zrekonstruowano jedno kompletne naczynie gliniane z ornamentem falistym. U podstawy kurhanu, poza okalającym go rowem, odkryto skupisko kości i węgla drzewnych z fragmentami wczesnośredniowiecznej ceramiki. Niewykluczone, że jest to grób jamowy.

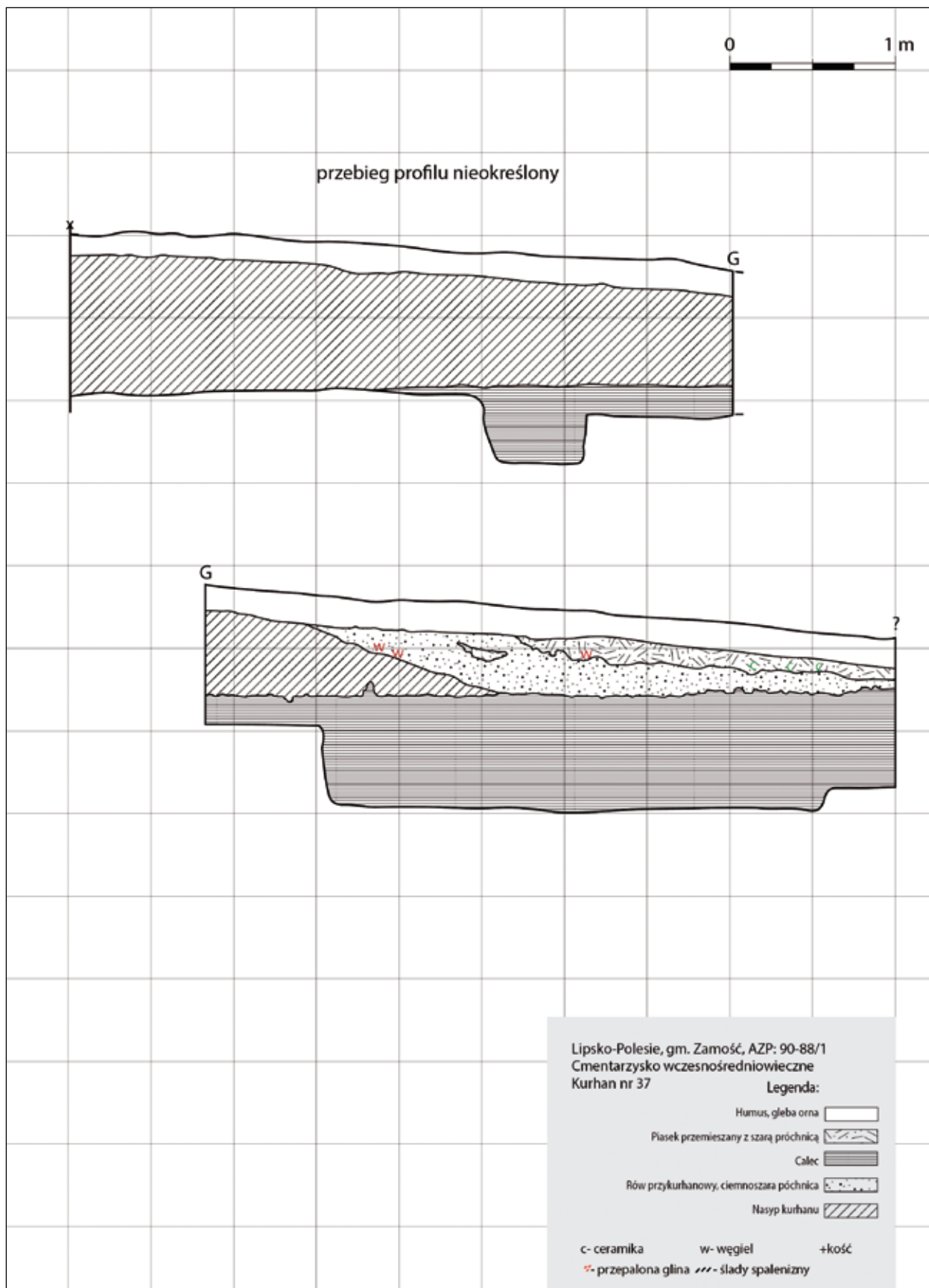
17. Kurhan nr 37 (Ryc. 51, 52)

- a. Rok badań: 1955
- b. Typ pochówku: nieustalony – kurhan domniemany
- c. Chronologia: nieustalona
- d. Opis kurhanu: kurhan 37 był eksplorowany równoległe z nasypem nr 38. Zachowała się bardzo lakoniczna dokumentacja opisowa oraz rysunkowa, przedstawiająca dwa wycinkowe rzuty profilu.

Obiekt został ujęty jako niewielkie wzniesienie terenu o średnicy ok. 4 m, uchwycone przy okazji badań sąsiedniego kurhanu nr 38. W nasypie odkryto 1 przepaloną kość, fragmenty naczyń kultury trzcinieckiej i grudki polepy. W dokumentacji rysunkowej z badań kurhanu 38 pojawia się informacja o odkryciu pod nasypem obiektu nr 37 grobu jamowego z okresu lateńskiego, w którym – poza szczątkami kostnymi, ułankami ceramiki oraz węglami drzewnymi – znaleziono fragment nieokreślonej blachy żelaznej.

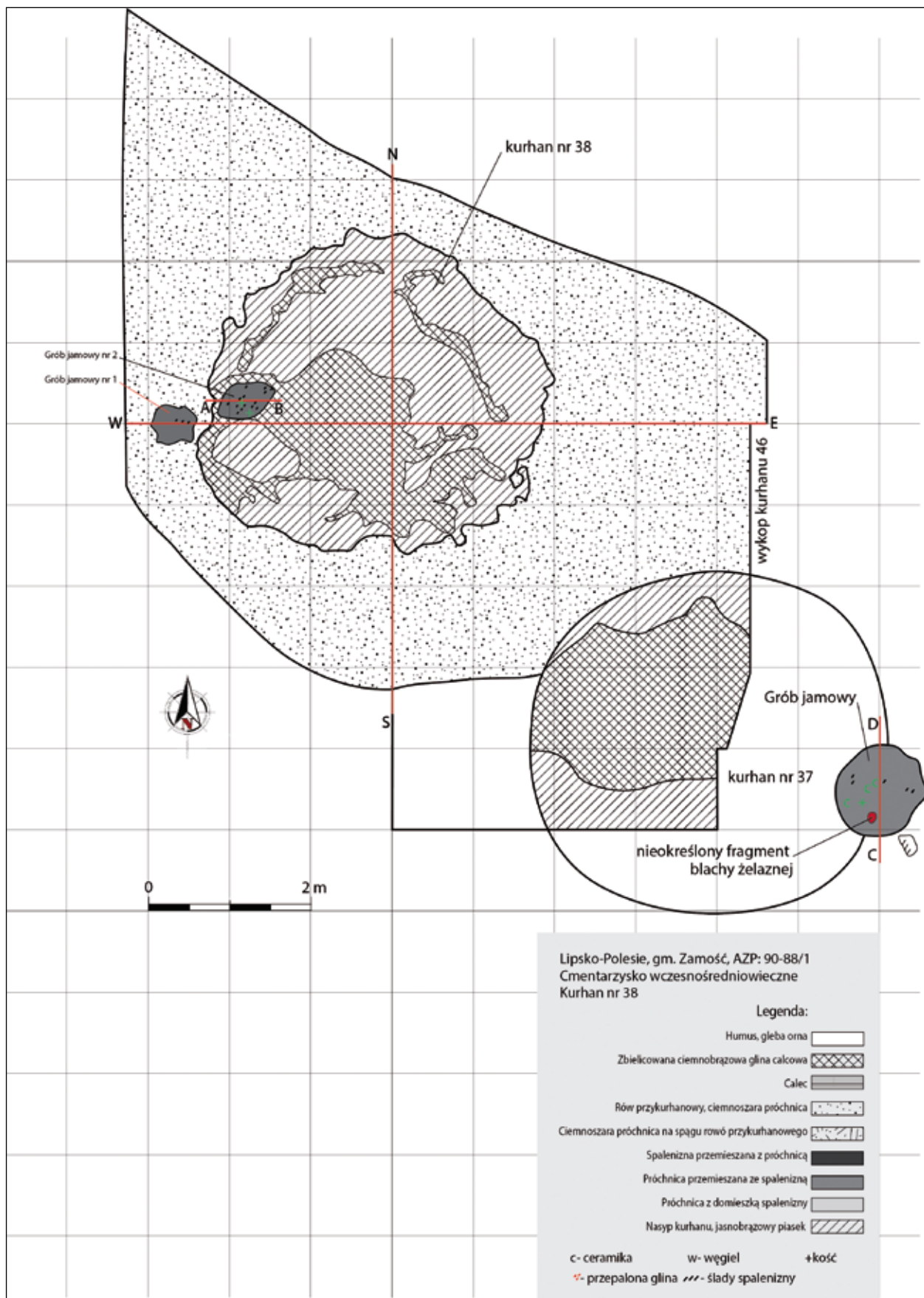
18. Kurhan nr 38 (Ryc. 52–54)

- a. Rok badań: 1955
- b. Typ pochówku: nakurhanowy(?) oraz jamowy podkurhanowy
- c. Chronologia: VIII–IX w.
- d. Opis kurhanu: średnica kurhanu w momencie podjęcia badań wynosiła 7×8 m, wysokość nasypu 20 cm (w 1922 r. określono ją na 50 cm). Obiekt całkowicie rozorany. Nieliczne szczątki kostne, węgle drzewne i fragmenty naczyń wczesnośredniowiecznych zanotowano w warstwach spływowych na zboczach nasypu. W nawarstwieniach tworzących nasyp wystąpiły liczne fragmenty ceramiki kultury lużyckiej. Rowy przykurhanowe nie zostały uchwycone. W części zachodniej kurhanu, pod nasypem odkryto dwa groby jamowe ciepłopalne kultury lateńskiej, kolejny pod nasypem kurhanu nr 37. Przedstawiono je łącznie na dokumentacji z kurhanu nr 38.



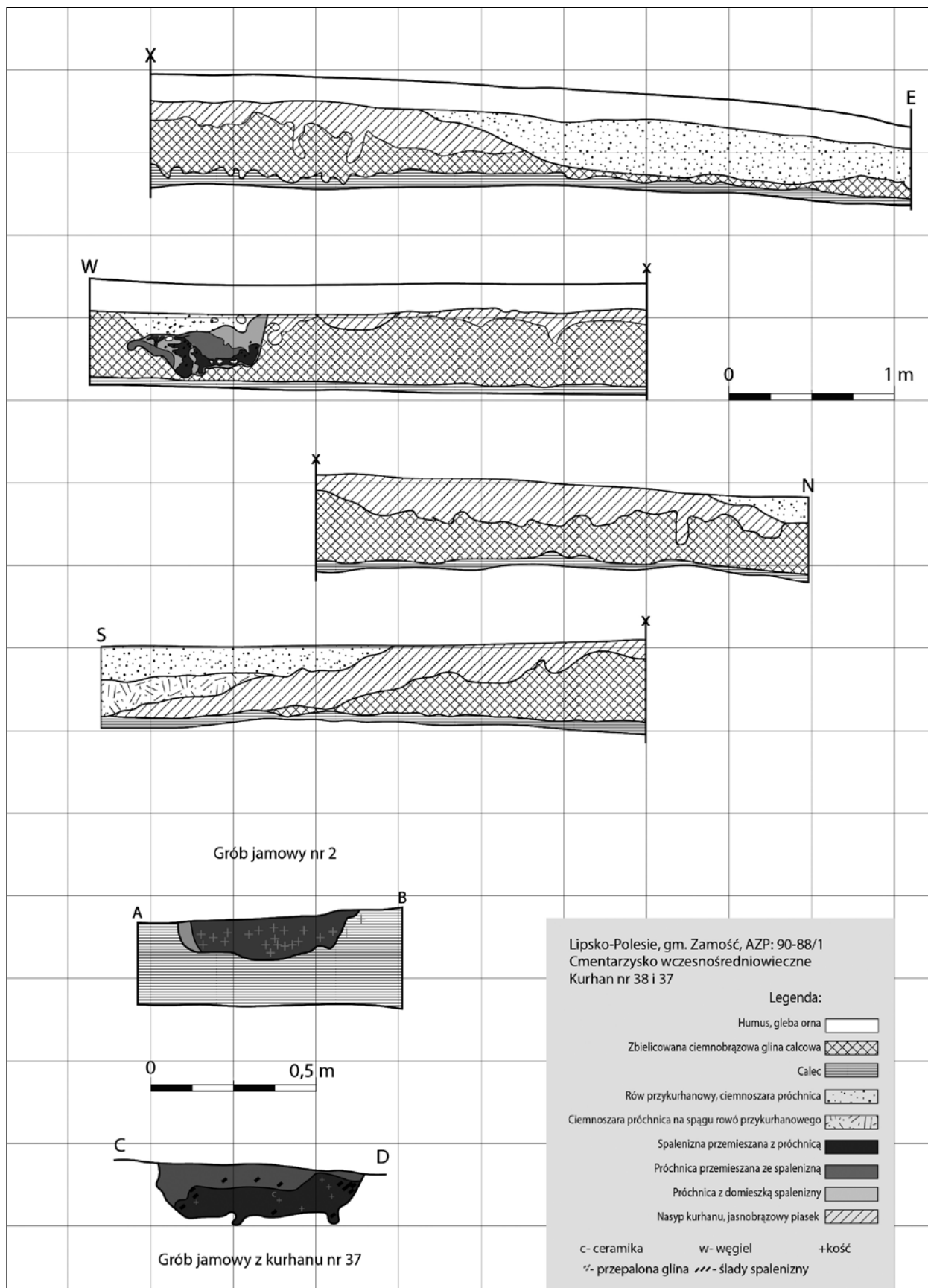
Ryc. 51. Fragmety przekrojów kurhanu nr 37 (oprac. J. Stępnik).

Fig. 51. Parts of cross-sections of the burial mound No. 37 (prepared by J. Stępnik).



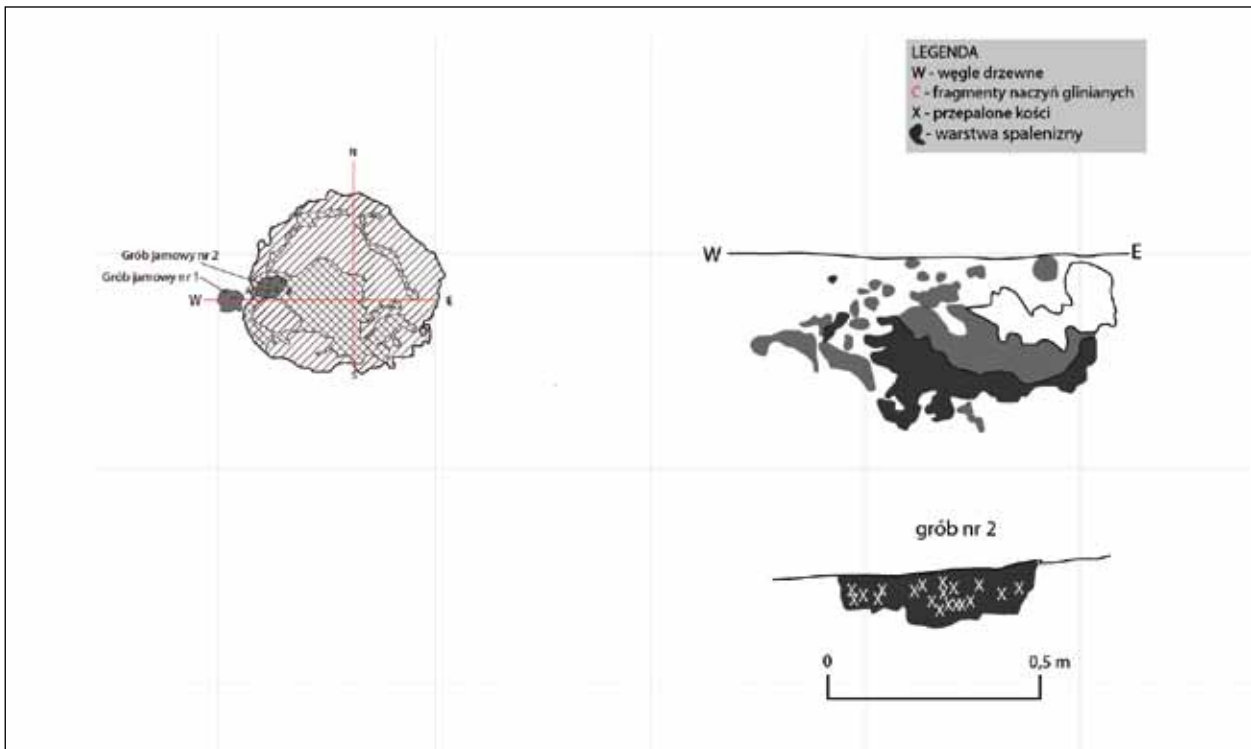
Ryc. 52. Plan kurhanu nr 38 oraz przebadanej części kurhanu nr 37 (oprac. J. Stępnik).

Fig. 52. Plan of the burial mound No. 38 and the examined part of the burial mound No. 37 (prepared by J. Stępnik).



Ryc. 53. Przekroje kurhanu nr 38 (oprac. J. Stępnik).

Fig. 53. Cross-sections of the burial mound No. 38 (prepared by J. Stępnik).



Ryc. 54. Plan i przekroje grobów ciałaopalnych z okresu lateńskiego zanotowanych pod nasypem kurhanu nr 38 (oprac. J. Stępnik).

Fig. 54. Plan and cross-sections of cremation graves from the La Tène period recorded under the mound of the barrow No. 38 (prepared by J. Stępnik).

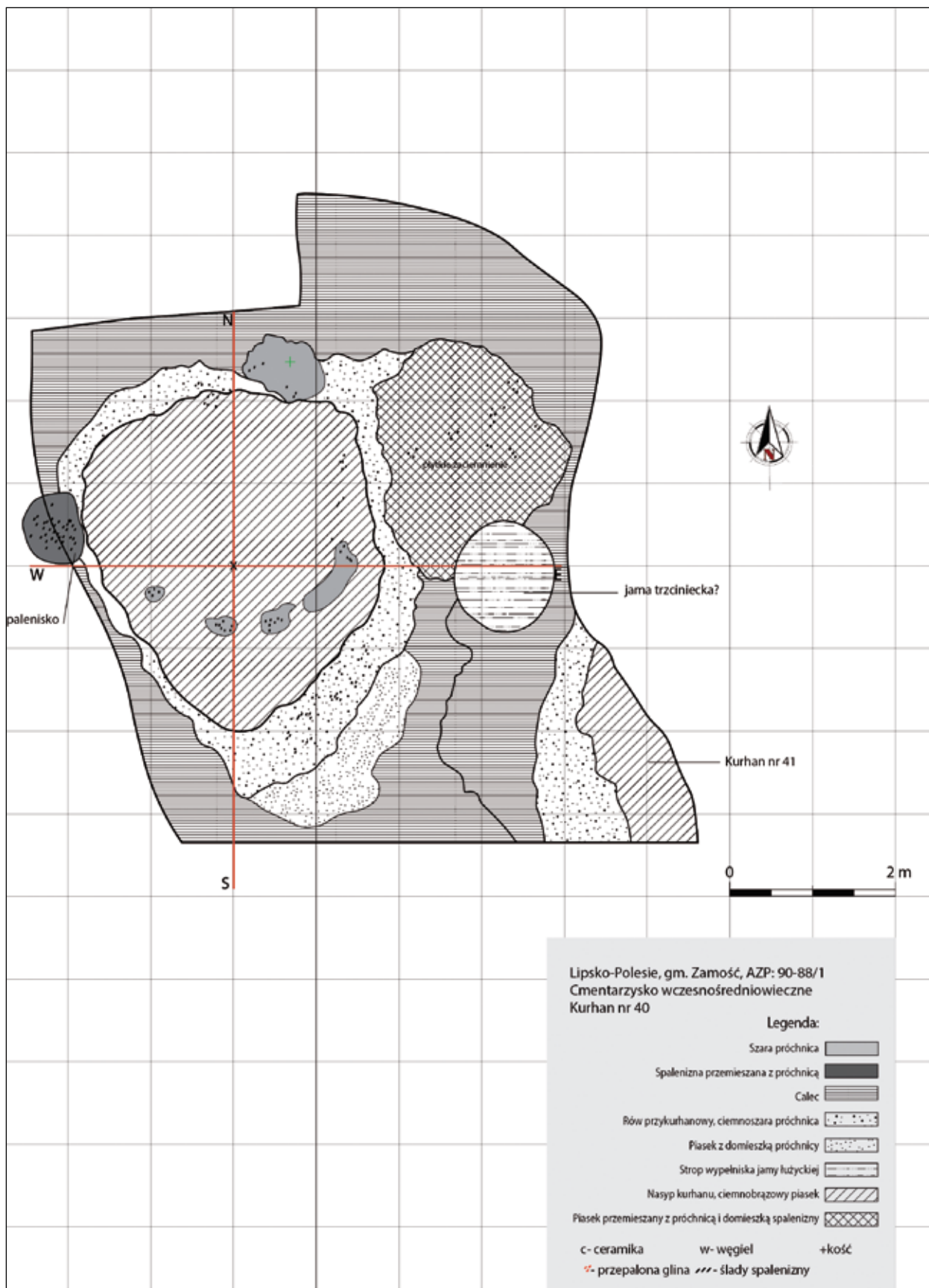
19. Kurhan nr 40 (Ryc. 55, 56)

- a. Rok badań: 1955
- b. Typ pochówku: nakurhanowy
- c. Chronologia: VIII–IX w.
- d. Opis kurhanu: kurhan przylegający do kopca nr 41. Oba obiekty zostały bardzo silnie zniszczone przez orkę, należały również do najmniejszych na nekropolii. Średnica kurhanu wynosiła ok. 4 m, zaś wysokość nasypu przed rozoraniem sięgała 40 cm. W chwili podjęcia badań wysokość ta wynosiła już jedynie ok. 10 cm. W południowej i wschodniej partii obiektu uchwycono skupiska popiołu i węgla drzewny. Wokół kopca uchwycono obniżenie, które zinterpretowano jako pozostałości rowu przykurhanowego. U podnóża kurhanu, od strony wschodniej zanotowano warstwę popiołu i węgla drzewnych. Skupisko węgla drzewnych o średnicy 60 cm odsłonięto również po zachodniej części kopca. W nasypie odkryto 10 fragmentów ceramiki wczesnośredniowiecznej pochodzących

z 5 naczyń. Znaleziono również niewielkie okruchy ceramiki kultury łużyckiej. Pod nasypem skupiska popiołu oraz węgla drzewnych.

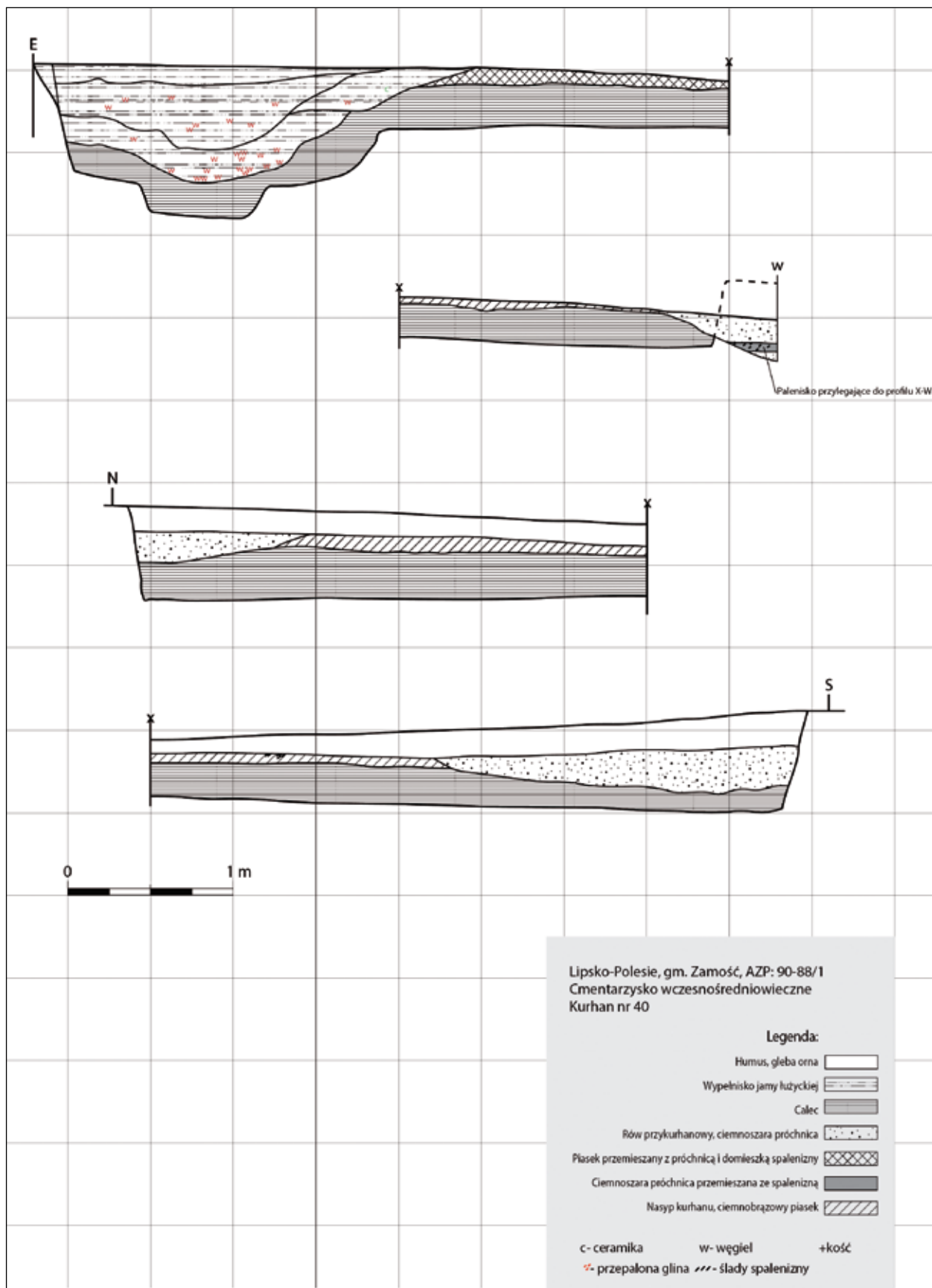
20. Kurhan nr 41 (Ryc. 57)

- a. Rok badań: 1955
- b. Typ pochówku: nakurhanowy lub nasypowy
- c. Chronologia: VIII–IX w.?
- d. Opis kurhanu: w dokumentacji tylko krótka notka na temat badań; średnica kurhanu 4×4,2 m (jeden z najmniejszych obiektów na cmentarzysku); wysokość nasypu w 1955 r. wynosiła 10–20 cm, obiekt został prawie całkowicie rozorany – wysokość nasypu w 1922 r. wynosiła 80 cm. W częściowo zachowanym oraz fragmentarycznie przebadanym nasypie odkryto wyłącznie fragmenty naczyń kultury łużyckiej. Fragmenty naczyń wczesnośredniowiecznych (10 fragmentów z 1 naczynia) wystąpiły w rowie przykurhanowym wraz ze szczątkami kostnymi oraz licznymi węglami drzewnym.



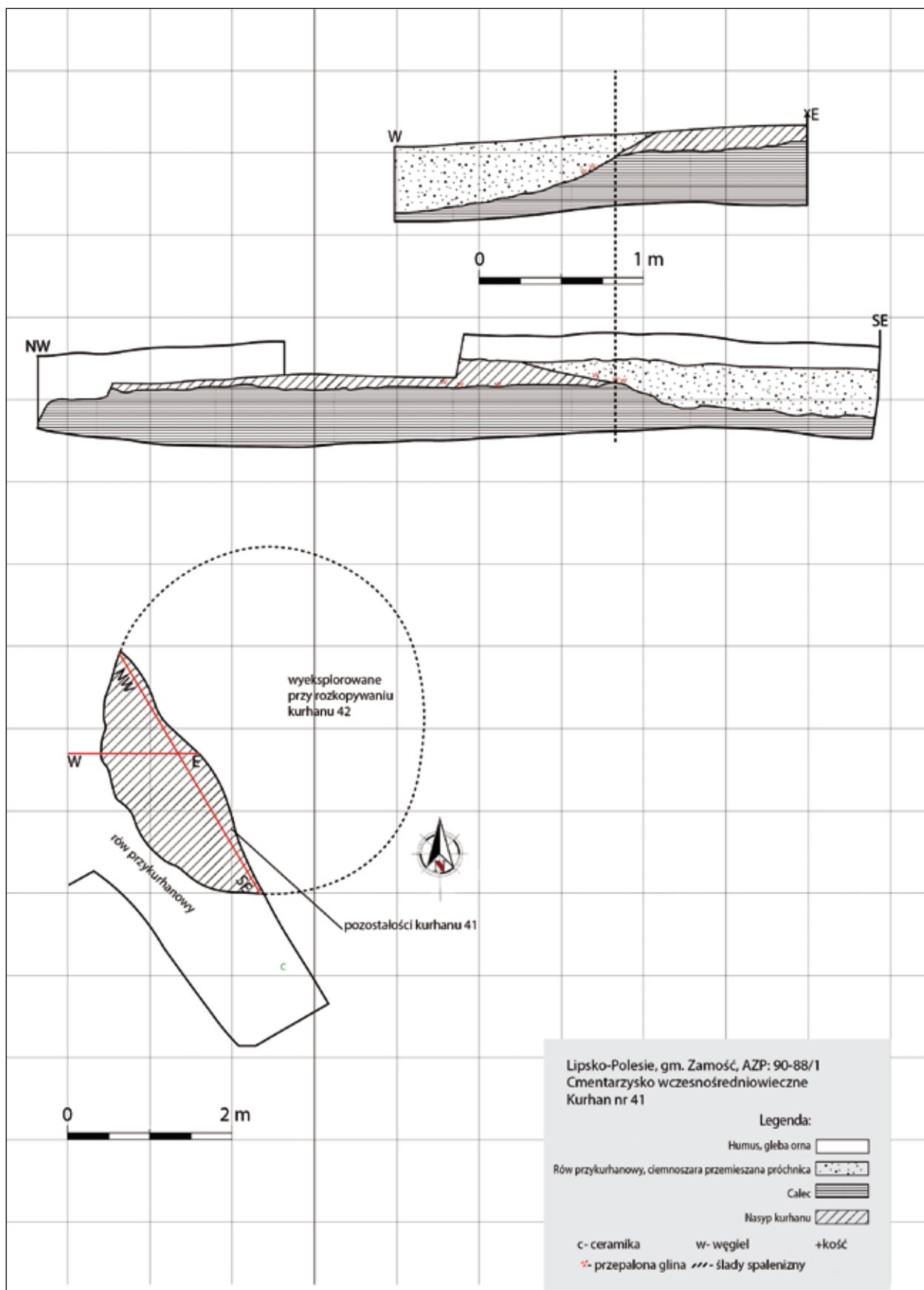
Ryc. 55. Plan kurhanu nr 40 (oprac. J. Stępnik).

Fig. 55. Plan of the burial mound No. 40 (prepared by J. Stępnik).



Ryc. 56. Przekroje kurhanu nr 40 (oprac. J. Stępnik).

Fig. 56. Cross-sections of the burial mound No. 40 (prepared by J. Stępnik).



Ryc. 57. Plan (fragment) oraz przekrój przebadanej części kurhanu nr 41 (oprac. J. Stępnik).

Fig. 57. Plan (fragment) and cross-section of the examined part of the burial mound No. 41 (prepared by J. Stępnik).

21. Kurhan nr 42 (Ryc. 58, 59)

- a. Rok badań: 1955
- b. Typ pochówku: podkurhanowy oraz nasypowy lub nakurhanowy
- c. Chronologia: VIII–IX w.
- d. Opis kurhanu: jeden z najwyższych kurhanów na cmentarzysku. W trakcie pomiarów inwentaryzacyjnych prowadzonych w 1922 r. liczył ok. 1,10 m wysokości, zaś jego średnica sięgała 7 m. Nasyp ziemny o wysokości ok. 25 cm. Na jego powierzchni odkryto spaloną skrzynię drewnianą, zbudowaną w konstrukcji zrębowej, a także pozostałości stosu pogrzebowego w postaci warstwy popiołu i węgla drzewnych o miąższości ok. 10 cm. W nawarstwieniach tych odkryto również fragmenty szczątków kostnych (72), największą ich liczbę odkryto w części wschodniej. W NE części kurhanu odsłonięto większe fragmenty zwęglonych bierwion o długości sięgającej 1,85 m i grubości 12 cm, zaś pod nimi natrafiono na płyty wypalanej gliny. Wymiary skrzyni wynosiły ok. 2,5×2,5 m. W obrębie spalonej konstrukcji drewnianej odkryto jedynie 2 fragmenty wczesnośredniowiecznych naczyń glinianych. Skupisko 40 fragmentów ceramiki pochodzących z jednego naczynia znaleziono w NE części nasypu, 20–30 cm od zachowanego przepalonego bierwiona. W warstwie rozoranego nasypu przykrywającego szczątki spalonej konstrukcji drewnianej znaleziono liczne fragmenty przepalonych szczątków kostnych, węgle drzewne oraz okruchy ceramiki. W warstwie spływowej kopca, w części SE, na poziomie rowów przykurhanowych odkryto 12 fragmentów dolnej partii dużego naczynia wczesnośredniowiecznego. W rowie otaczającym kopiec odkryto 20 drobnych fragmentów wczesnośredniowiecznych naczyń oraz 30 fragmentów przepalonych szczątków kostnych. Pod nasypem kurhanu odkryto obiekty jamowe kultury łuzyckiej. Ceramika pradziejowa wystąpiła również w nasypie kopca oraz w rowie przykurhanowym.

22. Kurhan nr 43 (Ryc. 60–62)

- a. Rok badań: 1955
- b. Typ pochówku: nakurhanowy(?)
- c. Chronologia: VIII–IX w.
- d. Opis kurhanu: dokumentacja opisowa szczątkowa. Zachował się rysunek planu oraz przekrojów obiektu. Średnica nasypu wynosiła ok. 7–8 m, zaś wysokość

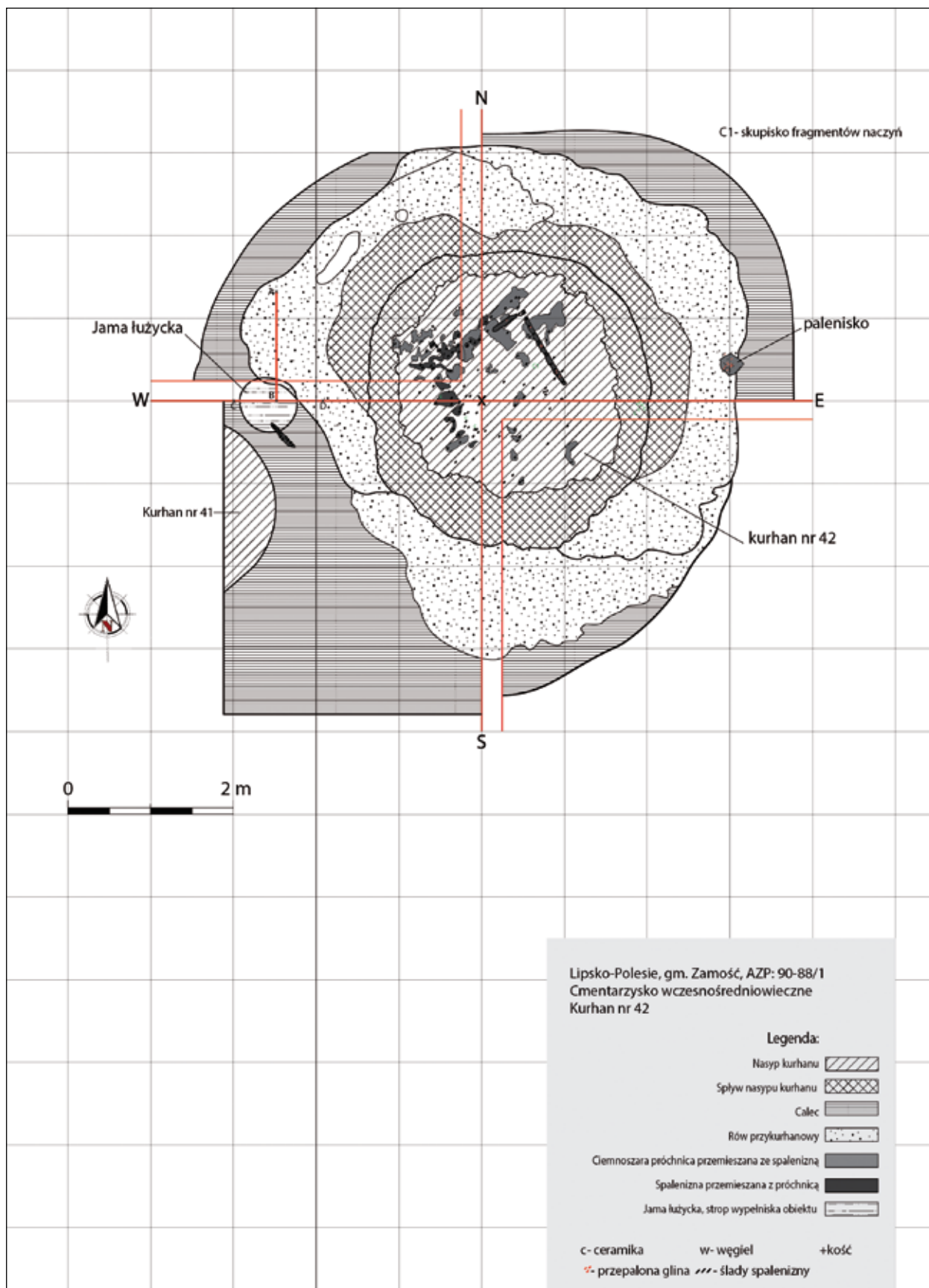
sięgała 30 cm. W nasypie drobne fragmenty naczyń glinianych i szczątków kostnych, do głębokości 30 cm. Od strony wschodniej i zachodniej zarysy rowów przykurhanowych. Na wyróżnienie zasługują odkryte w części SE rowu przykurhanowego fragmenty naczynia zdobionego ornamentem falistym w postaci tzw. „girland”, do którego bezpośrednią analogię odkryto na cmentarzysku w Guciowie, stan. 6. U podstawy kopca uchwycono grób ciałopalny jamowy z okresu lateńskiego.

23. Kurhan nr 44 (Ryc. 63)

- a. Rok badań: 1922?
- b. Typ pochówku: podkurhanowy, urnowy
- c. Chronologia: połowa VII–VIII w.
- d. Opis kurhanu: brak dokumentacji opisowej, jedynie szkic ołówkiem przekroju nasypu. Średnica kopca wynosiła ok. 10 m, zaś wysokość nasypu zarejestrowana w 1922 r. sięgała 1,5 m. Pod nasypem znaleziono warstwę węgla drzewnych. Na wysokości humusu pierwotnego, w południowej części kurhanu odkryto urnę ze szczątkami kostnymi.

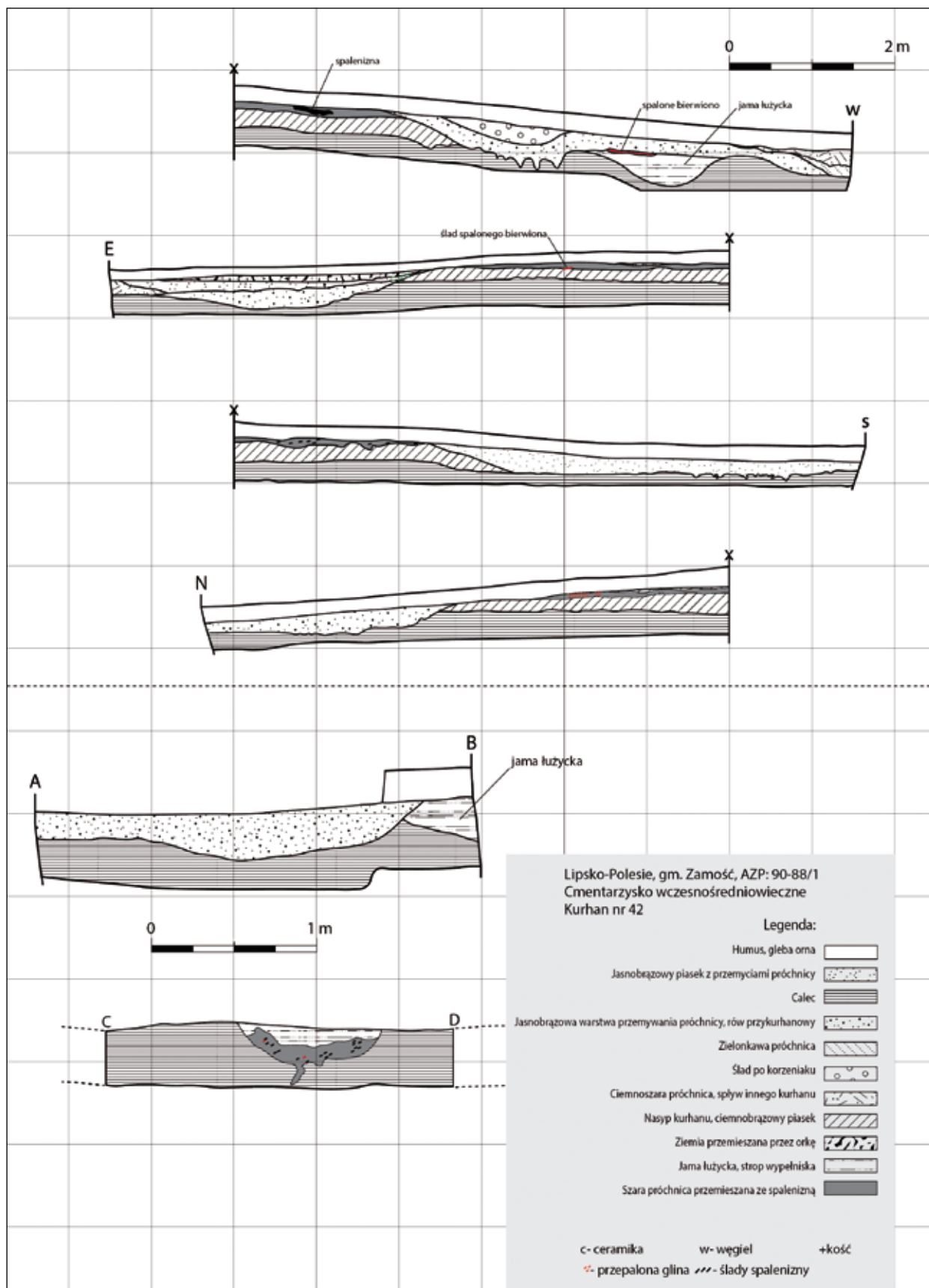
24. Kurhan nr 45 (Ryc. 64, 65)

- a. Rok badań: 1952
- b. Typ pochówku: nakurhanowy
- c. Chronologia: IX w.
- d. Opis kurhanu: średnica kurhanu wynosiła 12 m, wysokość zachowanego nasypu 30 cm. Przed podjęciem badań wykopaliskowych na powierzchni rozoranego nasypu zauważono liczne wapienne kamienie noszące ślady ognia. Po zdjęciu wierzchniej warstwy nasypu odsłonięto pozostałości czworobocznej spalonej skrzyni drewnianej wykonanej w konstrukcji zrębowej oraz warstwę popiołu i węgla drzewnych. Przy NW narożniku skrzyni odkryto czworoboczne palenisko wyłożone brukiem kamiennym, składającym się z ułożonych obok siebie odłupków wapiennych. Konstrukcja kamienna została naruszona przez głęboką orkę. Kamienie nosiły ślady ognia, na ich powierzchni oraz w przestrzeniach pomiędzy nimi odkryto liczne węgle drzewne. Zwęglone belki, tworzące obstawę skrzyni, uchwycono w południowej, zachodniej i wschodniej części kurhanu. W NE części skrzyni odkryto dołek postłupowy. W spływach nasypu odkryto nieliczne fragmenty naczyń glinianych oraz szczątki kostne.



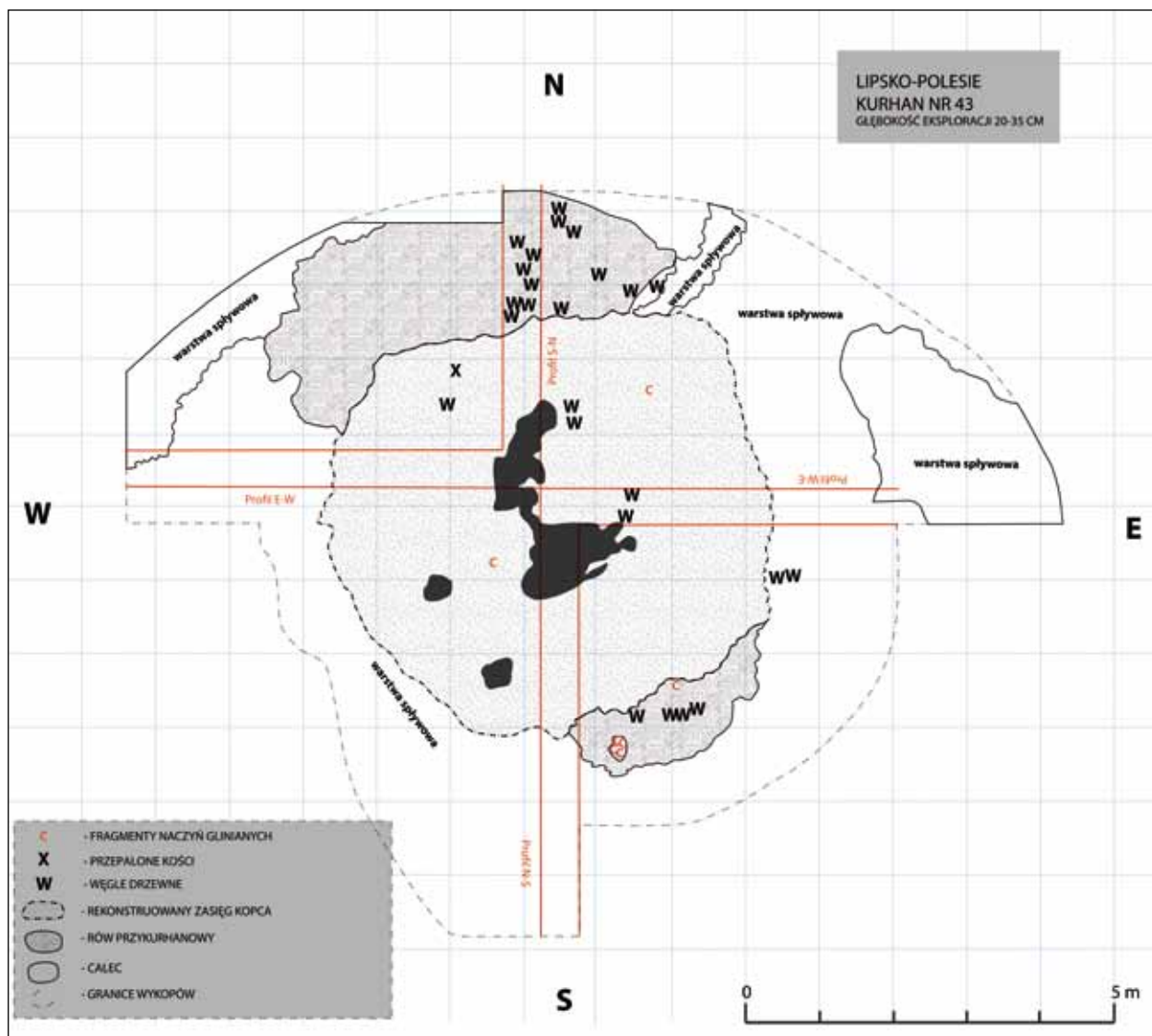
Ryc. 58. Plan kurhanu nr 42 (oprac. J. Stępnik).

Fig. 58. Plan of the burial mound No. 42 (prepared by J. Stępnik).



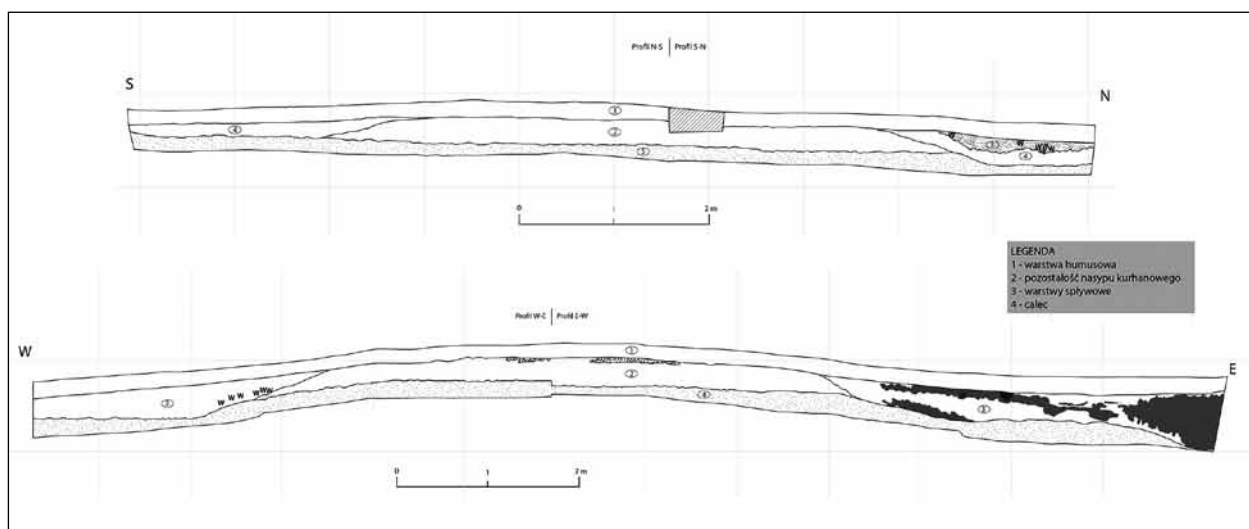
Ryc. 59. Przekroje kurhanu nr 42 (oprac. J. Stępnik).

Fig. 59. Cross-sections of the burial mound No. 42 (prepared by J. Stępnik).



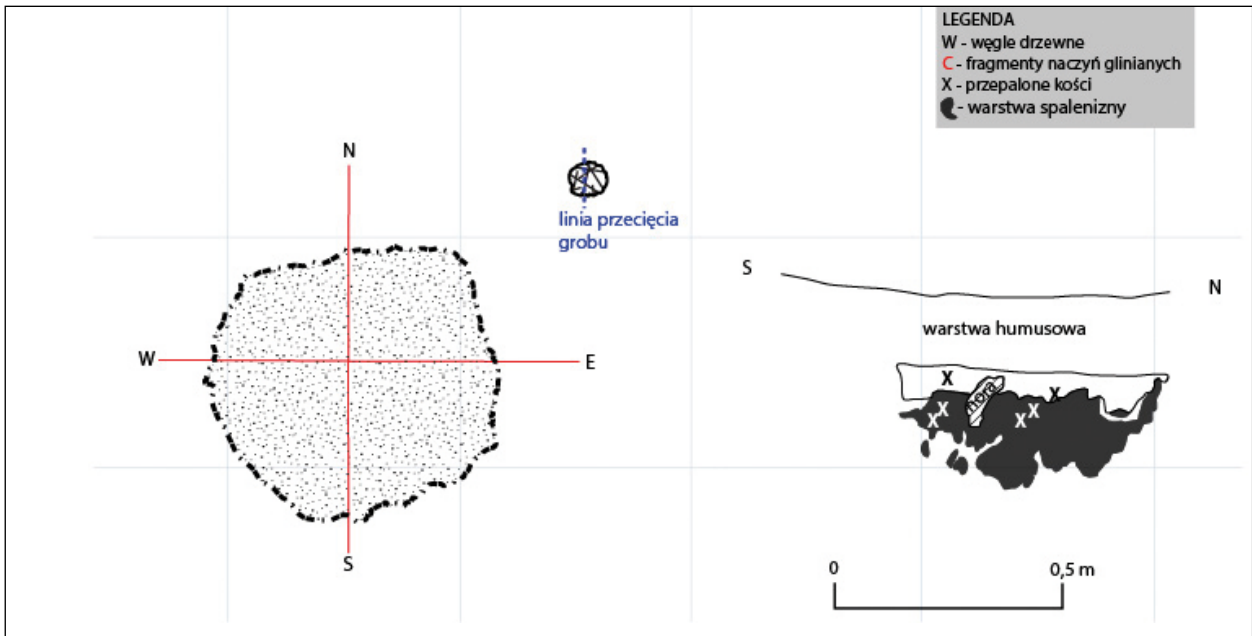
Ryc. 60. Plan kurhanu nr 43 (oprac. J. Stępnik).

Fig. 60. Plan of the burial mound No. 43 (prepared by J. Stępnik).



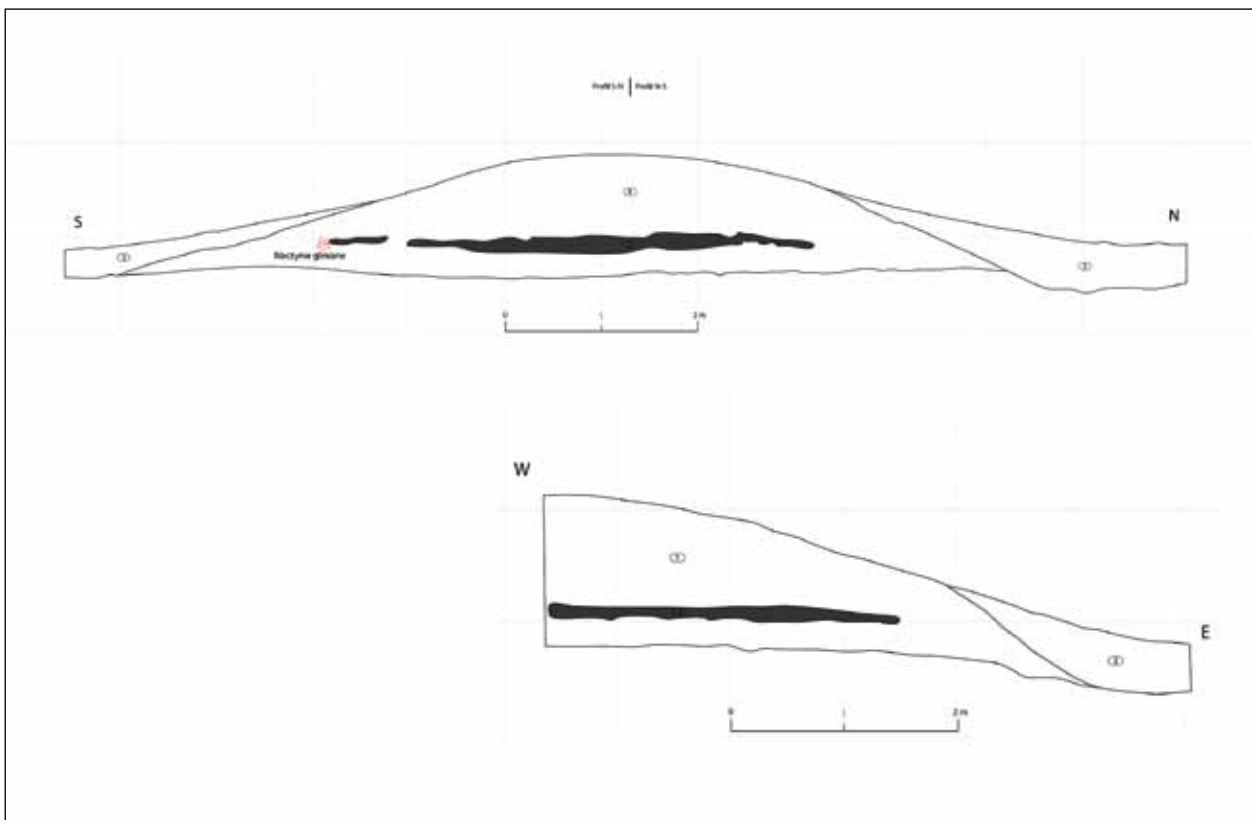
Ryc. 61. Przekroje kurhanu nr 43 (oprac. J. Stępnik).

Fig. 61. Cross-sections of the burial mound No. 43 (prepared by J. Stępnik).



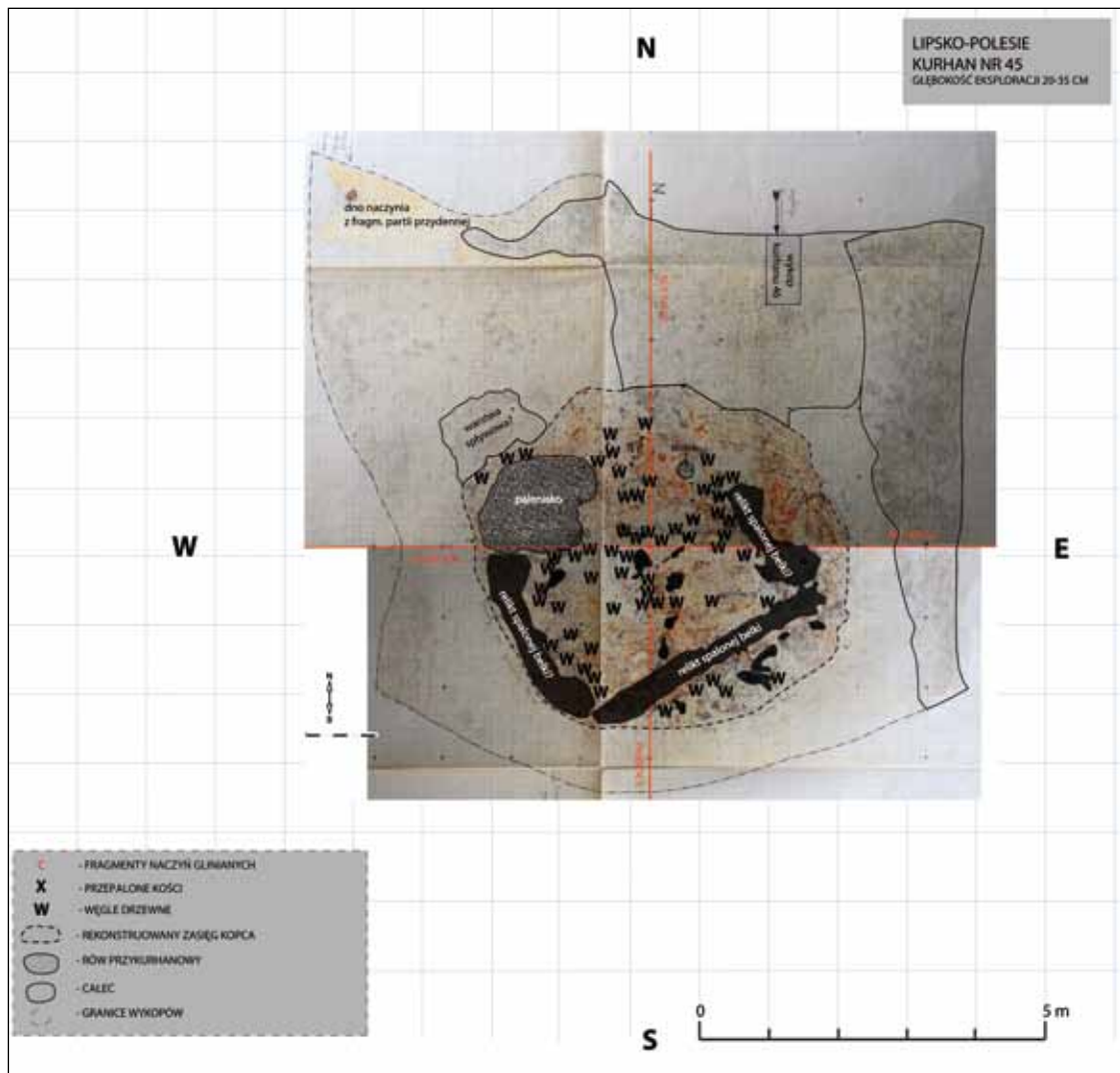
Ryc. 62. Grób jamowy kultury lateńskiej – plan i przekrój – odkryty u podstawy kurhanu nr 43 (oprac. J. Stępnik).

Fig. 62. The pit grave of the La Tene culture - plan and cross-section - discovered at the base of the burial mound No. 43 (prepared by J. Stępnik).



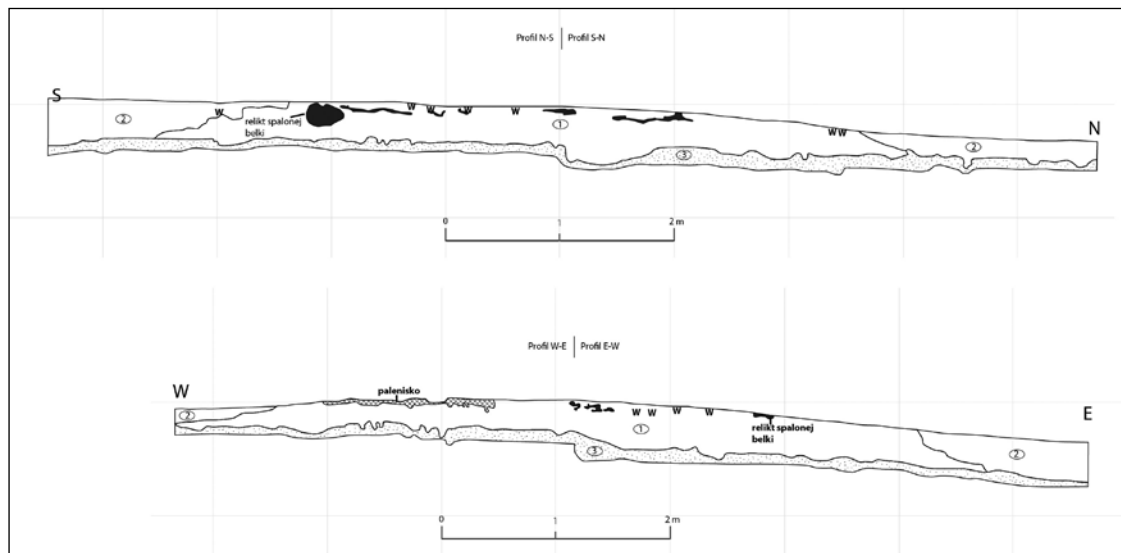
Ryc. 63. Przekroje kurhanu nr 44 (oprac. J. Stępnik).

Fig. 63. Cross-sections of the burial mound No. 44 (prepared by J. Stępnik).



Ryc. 64. Plan kurhanu nr 45 na poziomie konstrukcji drewnianej uchwyczonej pod nasypem kopca (oprac. G. Śnieżko).

Fig. 64. Plan of the burial mound No. 45 at the level of the wooden structure captured under the mound of the barrow (prepared by G. Śnieżko).



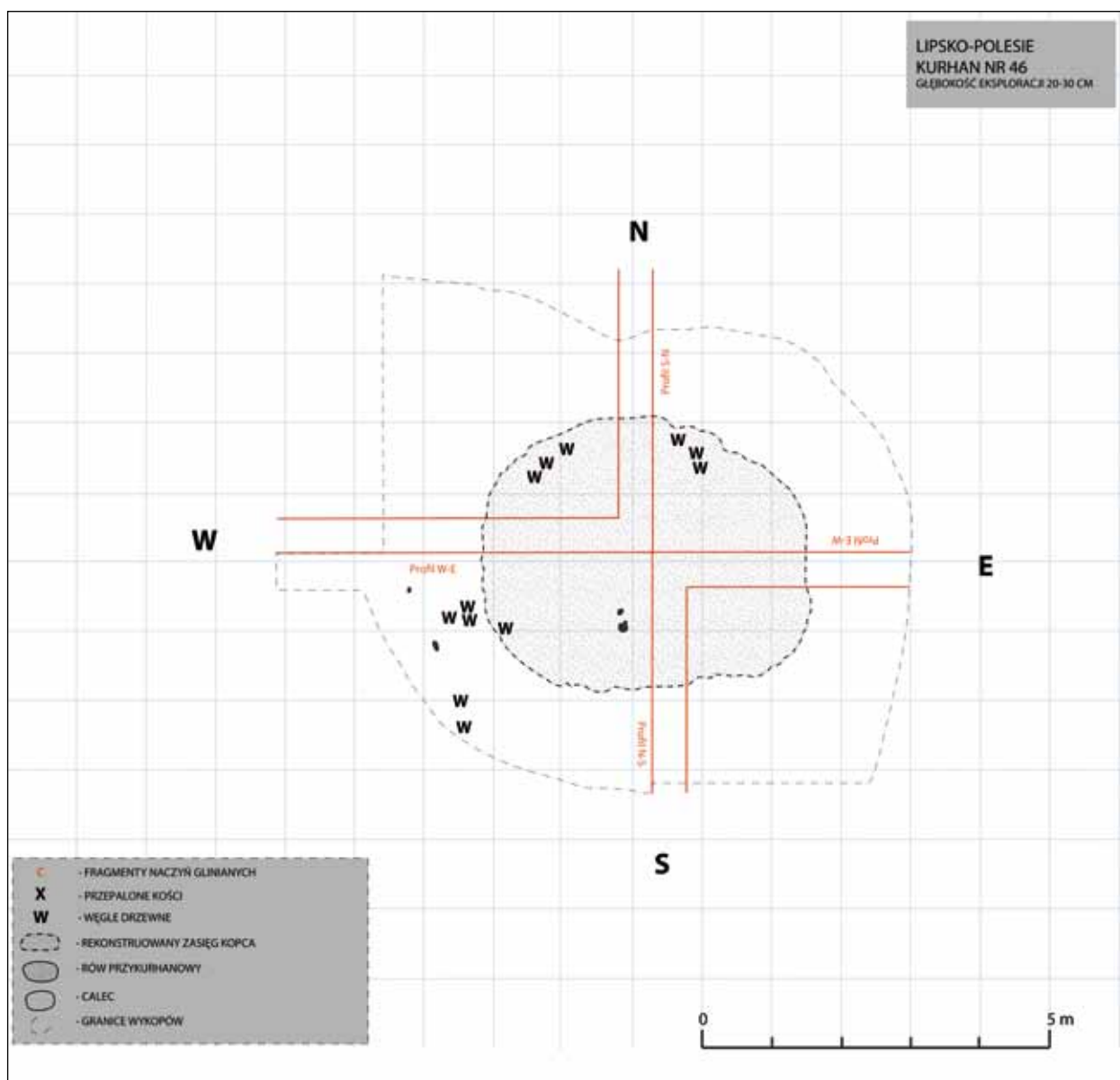
Ryc. 65. Przekroje kurhanu nr 45 (oprac. G. Śnieżko).

Fig. 65. Cross-sections of the burial mound No. 45 (prepared by G. Śnieżko).

25. Kurhan nr 46 (Ryc. 66–68)

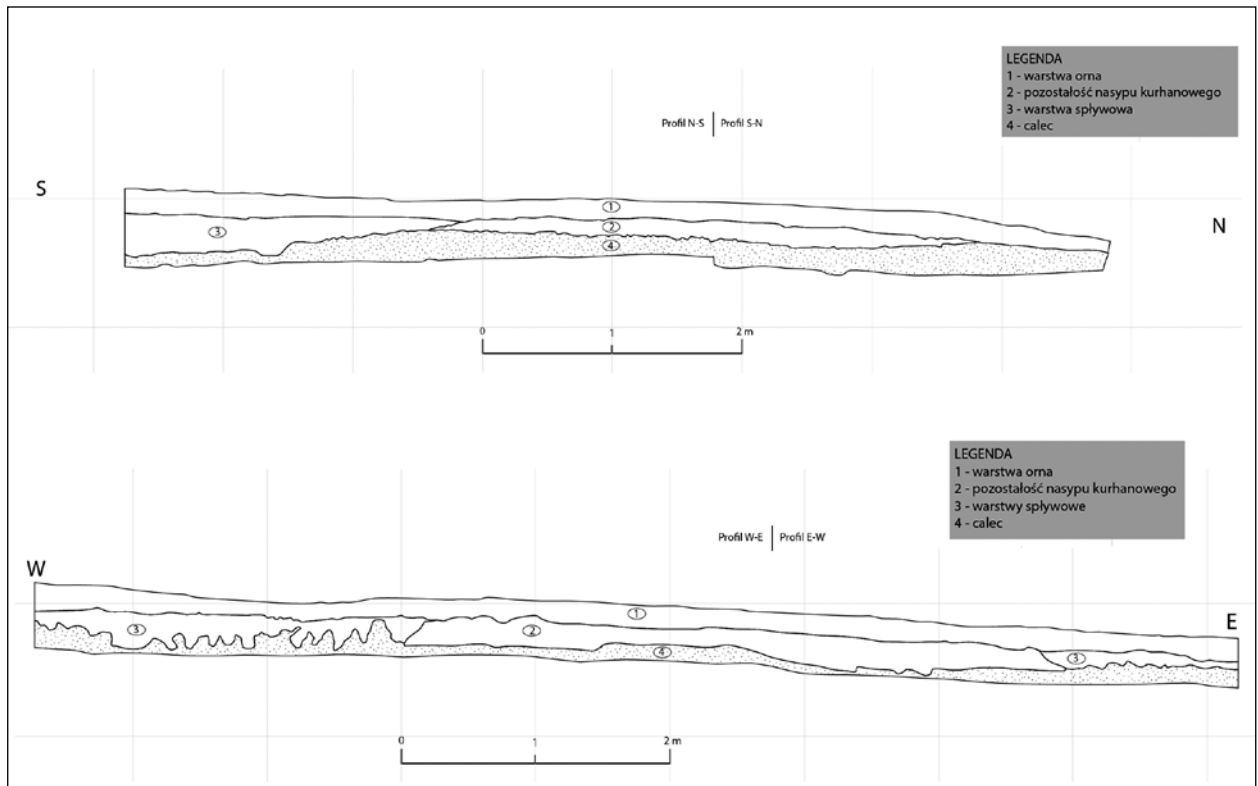
- Rok badań: 1955
- Typ pochówku: nieokreślony
- Chronologia: VIII–X w.
- Opis kurhanu: kurhan całkowicie rozorany, był to niewielki nasyp ziemny o średnicy 4–4,5 m i wysokości 20 cm. Na powierzchni odkryto liczne fragmenty wczesnośredniowiecznych naczyń gli-

nianych i żuźle żelazne, większość wystąpiła w części NW. W NE ćwiartce kurhanu, pod nasypem odkryto grób płaski jamowy z okresu lateńskiego z mieczem, grotem włóczni, zapinką, 2 paciorkami szklanymi, osełką kamienną oraz fragmentami naczyń glinianych. Grób był naruszony głęboką orką.



Ryc. 66. Plan kurhanu nr 46 (oprac. G. Śnieżko).

Fig. 66. Plan of the burial mound No. 46 (prepared by G. Śnieżko).



Ryc. 67. Przekroje kurhanu nr 46 (oprac. G. Śnieżko).

Fig. 67. Cross-sections of the burial mound No. 46 (prepared by G. Śnieżko).

26. Kurhan nr 47 (Ryc. 69, 70)

- Rok badań: 1952
- Typ pochówku: nieokreślony
- Chronologia: VIII–IX w.
- Opis kurhanu: według pomiarów dokonanych w 1922 r. kurhan mierzył 90 cm wysokości i należał do najwyższych na cmentarzysku. W 1955 r. wysokość nasypu wynosiła jedynie 20 cm. Średnica kurhanu na linii N-S wynosiła 5,4 m, na linii E-W – 6,2 m. Szczątki kostne wystąpiły w całości zniszczonego nasypu. W nasypie kopca odkryto 31 fragmentów ceramiki wczesnośredniowiecznej pochodzącej z 12 naczyń. Ponadto odkryto liczne ułamki naczyń kultury łużyckiej. U podstawy kopca, na wysokości rowów przykurhanowych, odkryto 85 fragmentów ceramiki wczesnośredniowiecznej należących do 4 rozbitych naczyń.

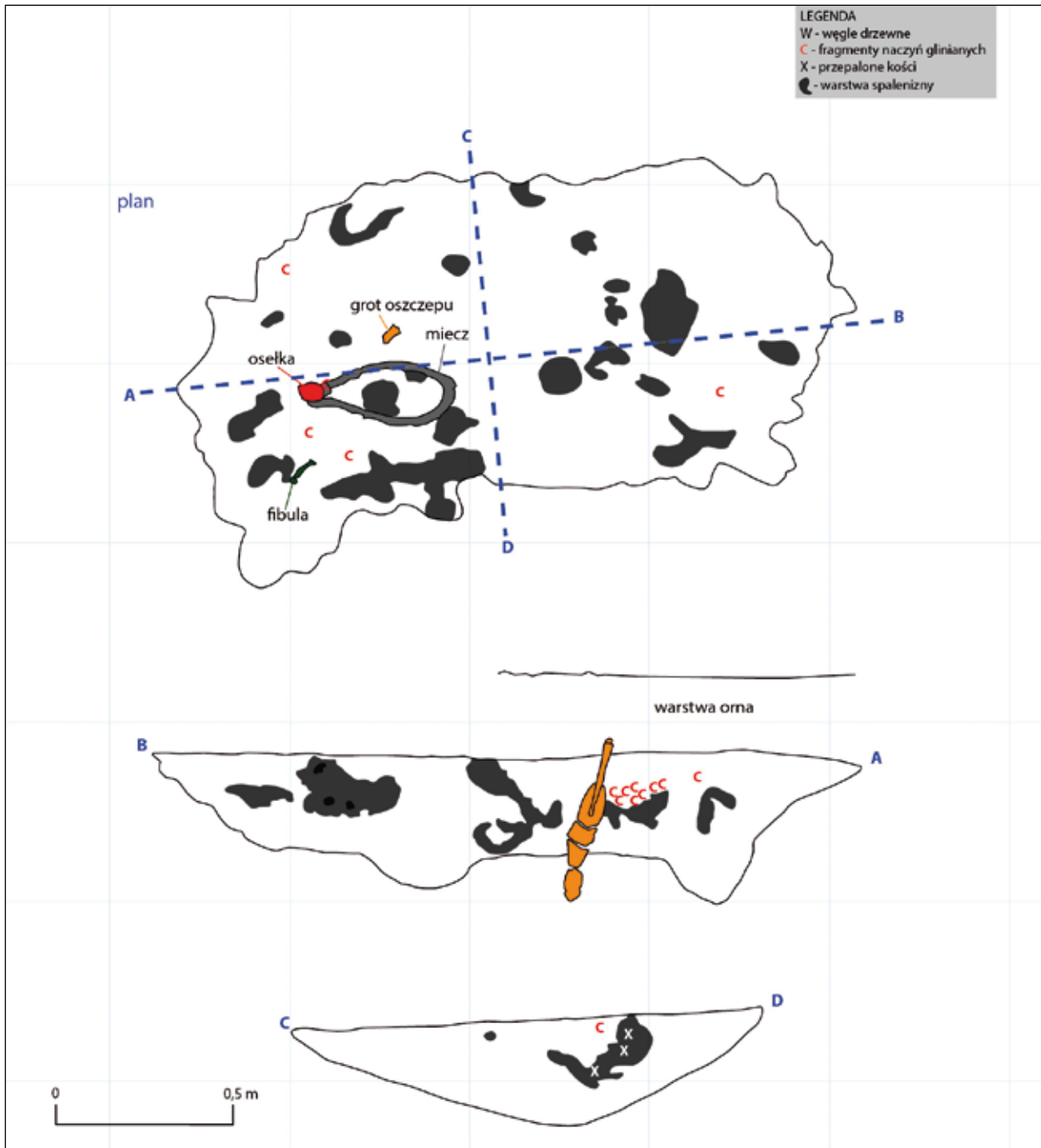
27. Kurhan nr 52 (Ryc. 71, 72)

- Rok badań: 1955?
- Typ pochówku: nakurhanowy? i podkurhanowy jamowy
- Chronologia: VIII–IX w.

- Opis kurhanu: kurhan położony w sąsiedztwie największego na cmentarzysku kurhanu nr 35. Pierwotna wysokość nasypu wynosiła ok. 40 cm, zaś średnica 4×4,5 m. Wymiary rozoranego kurhanu w momencie podjęcia badań wynosiły 9 m po osi N-S i na 6 m po osi W-E, wysokość nasypu sięgała 25 cm. Rów przykurhanowy, uchwycony wokół nasypu, był szerszy w ćwiartce SW. W części NE na głębokości 40 cm odkryto skupisko ceramiki. Fragmenty naczyń wczesnośredniowiecznych oraz kości uchwycone zostały w warstwie spływowej na stokach kurhanu oraz w rowach przykurhanowych. Pod nasypem była warstwa węgla drzewnych. W części zachodniej uchwycono obiekt jamowy wypełniony ciemną ziemią, węglami drzewnymi oraz ułamiakami naczyń glinianych.

28. Kurhan nr 56 (Ryc. 73, 74)

- Rok badań: 1955
- Typ pochówku: podkurhanowy
- Chronologia: VIII–IX w.
- Opis kurhanu: średnica kurhanu 6×7 m. Rozorany nasyp zachował się do wysokości 30 cm.

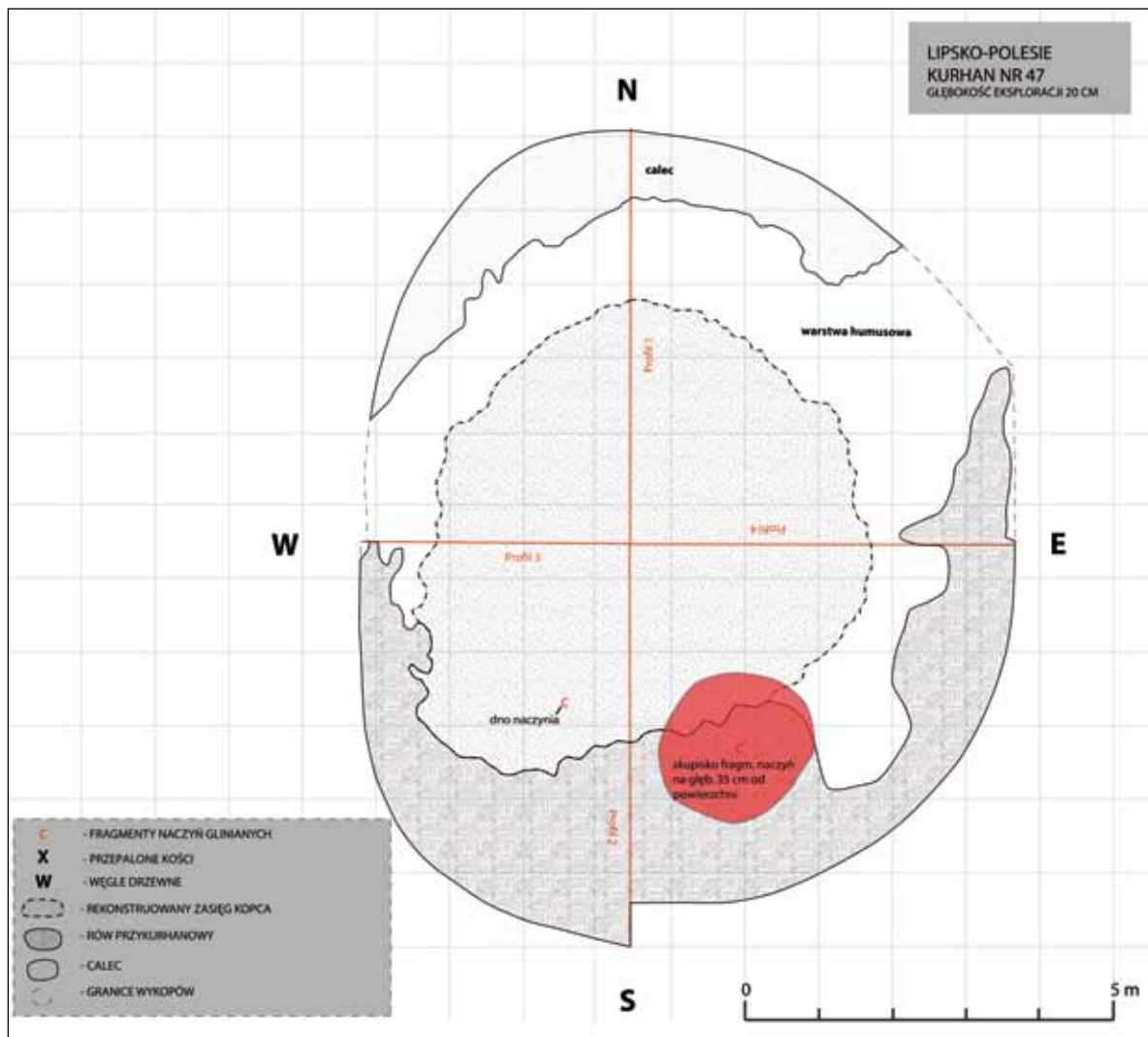


Ryc. 68. Grób jamowy z okresu lateńskiego odkryty pod nasypem kurhanu nr 46 (oprac. G. Śnieżko).

Fig. 68. A pit grave from the La Tene period discovered under the mound of the barrow No. 46 (prepared by G. Śnieżko).

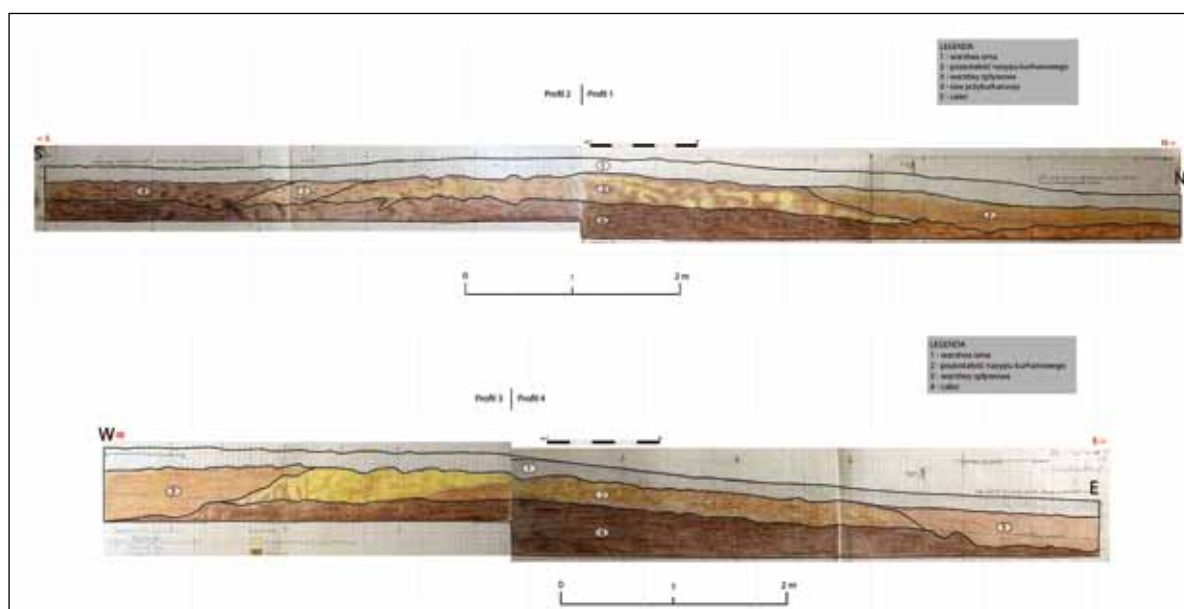
Pod nasypem w środkowej części kopca uchwycona została warstwa spalenizny z węglami drzewnymi, określona jako „palenisko”, w której zanotowano przepalone szczątki kostne oraz fragmenty wczesnośredniowiecznych naczyń glinianych. U podstawy kurhanu wyraźnie za-

akcentowany rów przykurhanowy. W części północnej i zachodniej w jego wypełniku zanotowano warstwę popiołu i licznych węgli drzewnych. W warstwie spływowej nasypu kopca, od strony północnej oraz SE odkryto skupiska wczesnośredniowiecznych naczyń glinianych.



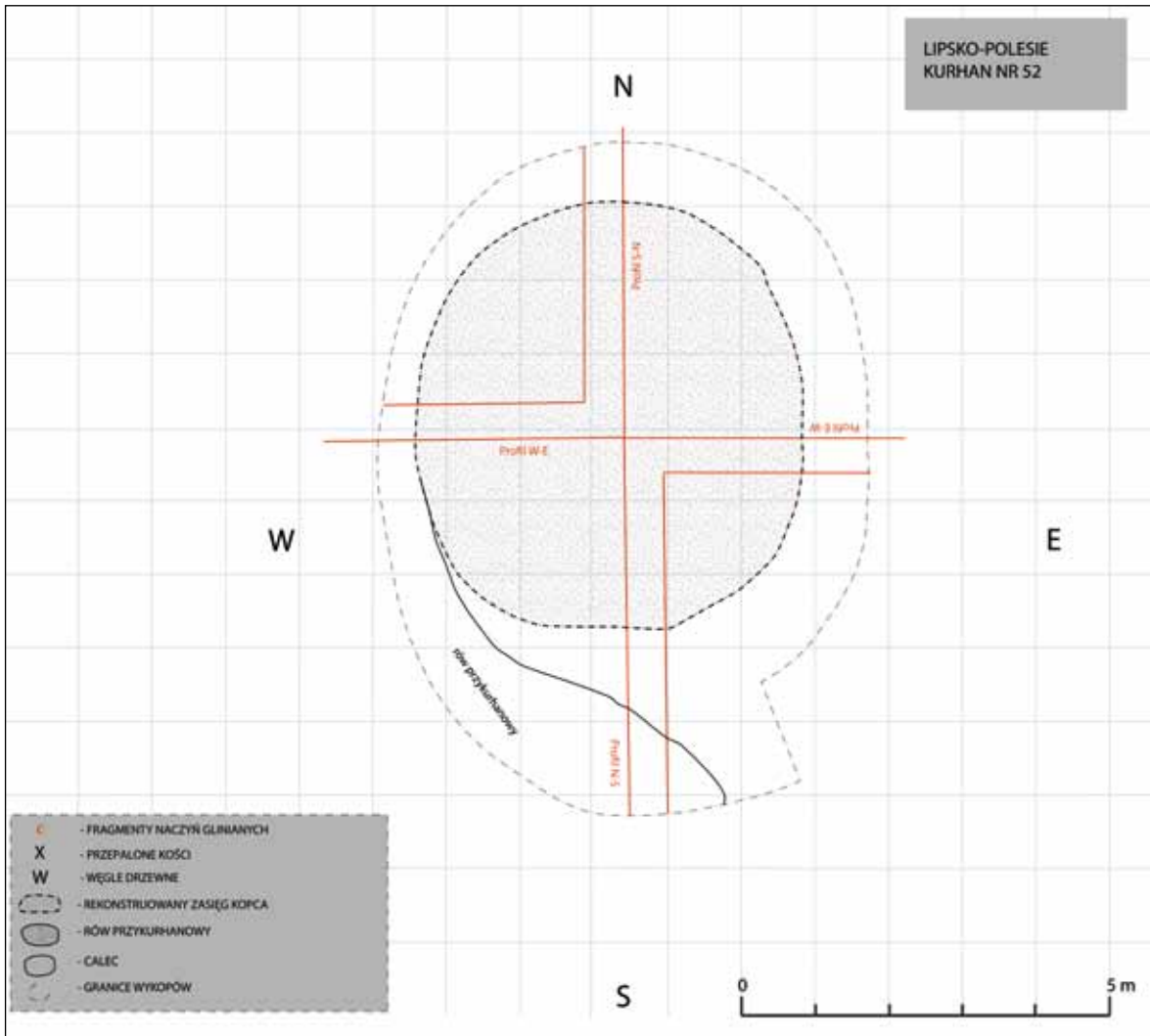
Ryc. 69. Plan kurhanu nr 47 (oprac. G. Śnieżko).

Fig. 69. Plan of the burial mound No. 47 (prepared by G. Śnieżko).

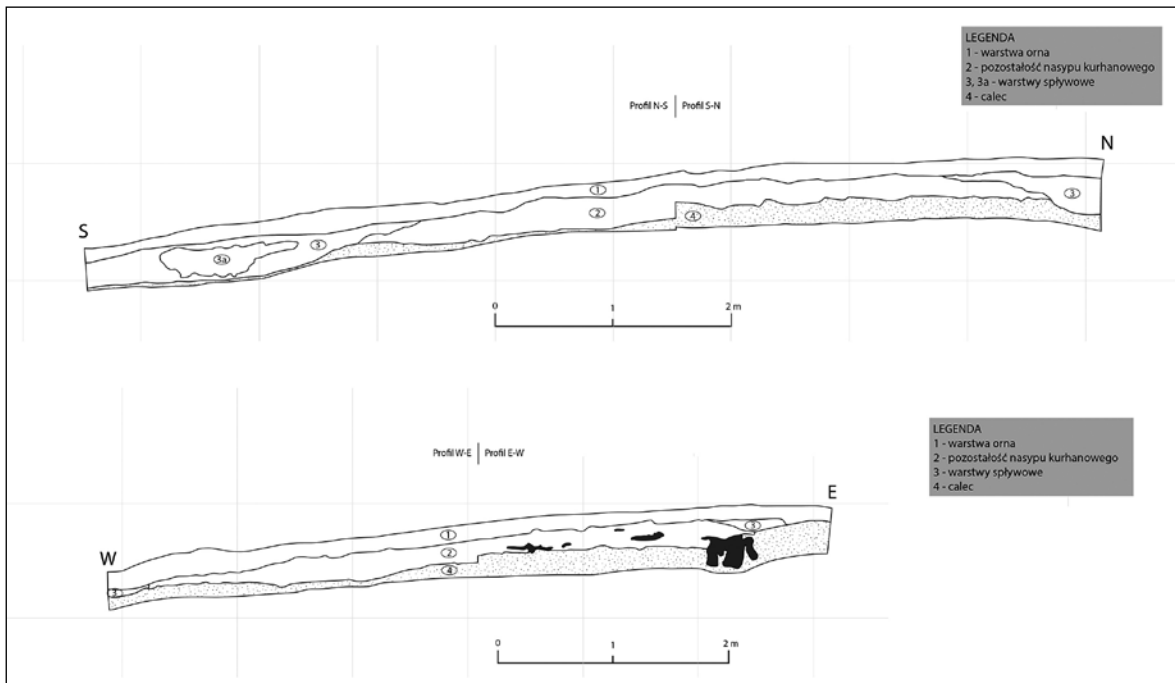


Ryc. 70. Przekroje kurhanu nr 47 (oprac. G. Śnieżko).

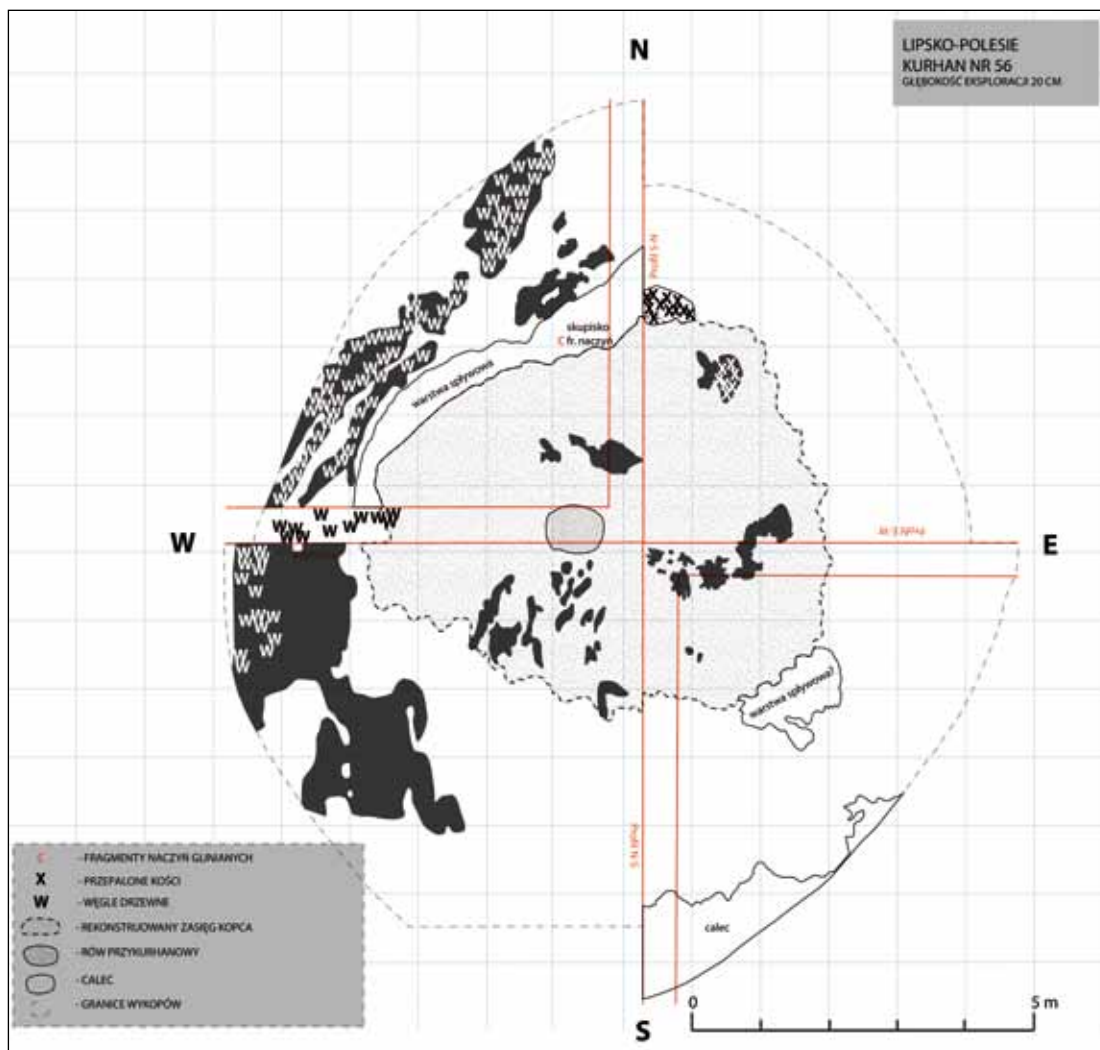
Fig. 70. Cross-sections of the burial mound No. 47 (prepared by G. Śnieżko).



Ryc. 71. Plan kurhanu nr 52 (oprac. G. Śnieżko).
Fig. 71. Plan of the burial mound No. 52 (prepared by G. Śnieżko).

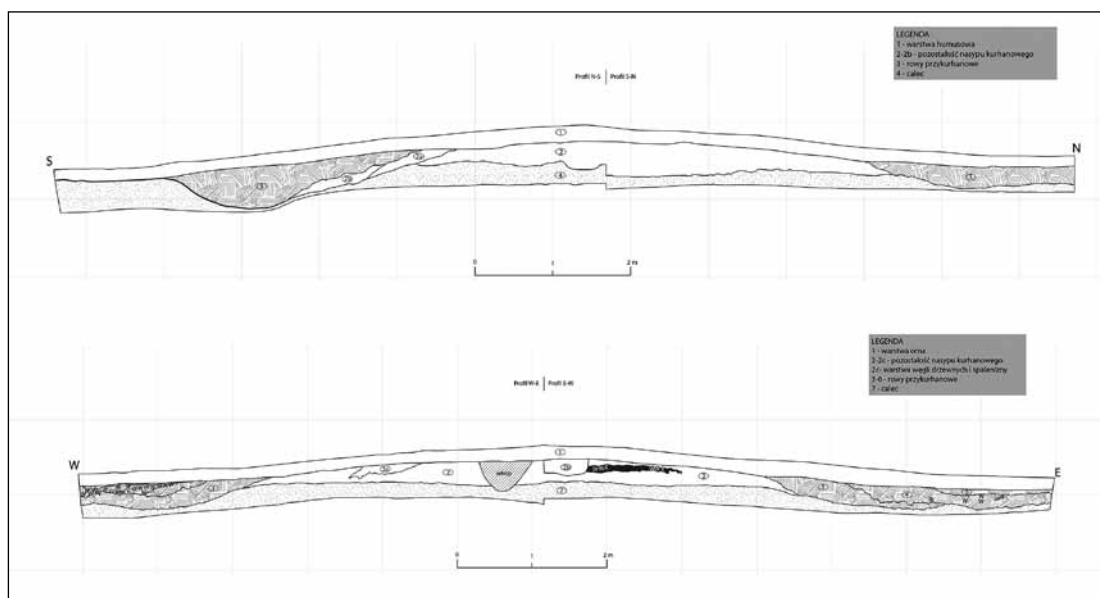


Ryc. 72. Przekroje kurhanu nr 52 (oprac. G. Śnieżko).
Fig. 72. Cross-sections of the burial mound No. 52 (prepared by G. Śnieżko).



Ryc. 73. Plan kurhanu nr 56 (oprac. G. Śnieżko).

Fig. 73. Plan of the burial mound No. 56 (prepared by G. Śnieżko).



Ryc. 74. Przekrój kurhanu nr 56 (oprac. G. Śnieżko).

Fig. 74. Cross-section of the burial mound No. 56 (prepared by G. Śnieżko).

29. Kurhan nr 58 (Ryc. 75, 76)

- a. Rok badań: 1955
- b. Typ pochówku: podkurhanowy.
- c. Chronologia: VIII–IX w.
- d. Opis kurhanu: brak dokumentacji opisowej. Zachowały się rysunki nawarstwień archeologicznych w poszczególnych częściach nasypu oraz rysunki przekrojów. Wymiary kurhanu wynosiły ok. 8 m po osi E-W i 5,5 m po osi N-S. Jego wysokość sięgała 40 cm. Pod nasypem uchwycono warstwę ciało-palenia z resztkami spalonej, czworobocznej konstrukcji drewnianej(?), drobne przepalone szczątki kostne, fragmenty naczyń glinianych. Przy rowie przykurhanowym odkryto skupisko fragmentów wczesnośredniowiecznych naczyń.

30. Kurhan nr 59 (Ryc. 77, 78)

- a. Rok badań: 1955
- b. Typ pochówku: podkurhanowy
- c. Chronologia: VIII–IX w.
- d. Opis kurhanu: brak dokumentacji opisowej, zachowały się szkice fragmentów planu i przekrojów. Średnica kopca w momencie podjęcia badań wynosiła ok. 7 m, zaś zachowana wysokość nasypu sięgała 20 cm. Na poziomie humusu pierwotnego odkryto warstwę spalenizny i węgla drzewnych, stanowiącą pozostałości stosu pogrzebowego lub ślady oczyszczania ogniem poszycia pod usypanie kurhanu.

31. Kurhan nr 60 (Ryc. 79, 80)

- a. Rok badań: 1954
- b. Typ pochówku: podkurhanowy
- c. Chronologia: VIII–IX w.
- d. Opis kurhanu: brak dokumentacji opisowej, zachowały się rysunki planów oraz przekrojów kurhanu. Grób niemal całkowicie rozorany. Wymiary kurhanu w momencie podjęcia badań wynosiły ok. 8×9 m, wysokość nasypu ok. 10 cm. Pod nasypem, w części SE uchwycono warstwę spalenizny ze szczątkami kostnymi, fragmentami naczyń glinianych oraz węglami drzewnymi, określoną jako „palenisko”. Pod nasypem, na poziomie humusu pierwotnego uchwycono szczątkowo zachowane ślady konstrukcji drewnianej, prawdopodobnie prostokątnej skrzyni. „Palenisko” uchwycone na skraju nasypu w części SE kurhanu, według dokumentacji M. Drewki.

32. Kurhan nr 61 (Ryc. 81, 82)

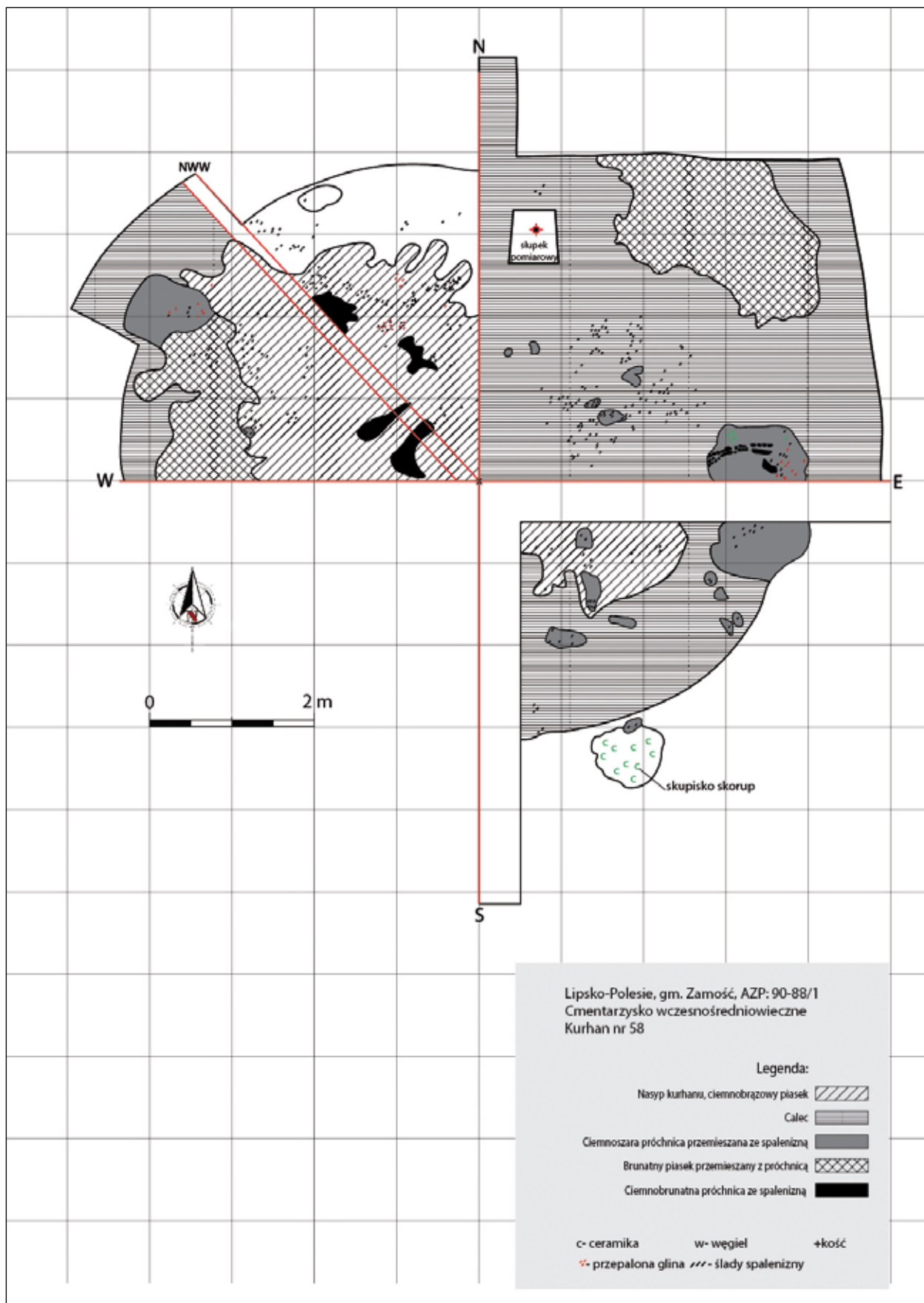
- a. Rok badań: 1955
- b. Typ pochówku: nasypowy?
- c. Chronologia: VIII–IX w.
- d. Opis kurhanu: wymiary kurhanu wynosiły ok. 5,4×4,5 m. Wysokość nasypu sięgała 30–40 cm. Od strony wschodniej i północnej zanotowano rów przykurhanowy. Na głębokości 10–20 cm, po zdjęciu warstwy ornej, uchwycono ślady spalenizny i węgla drzewne pochodzące najprawdopodobniej ze stosu pogrzebowego oraz rozproszone szczątki kostne. Fragmenty wczesnośredniowiecznych naczyń glinianych zalegały w całości nasypu kopca, przy czym większość na poziomie warstwy spalenizny. W części NE nasypu odkryto dwa skupiska fragmentów naczyń glinianych, pojedyncze ułamki zalegały również w wypełnisku rowu przykurhanowego.

33. Kurhan nr 62 (Ryc. 83, 84)

- a. Rok badań: 1956
- b. Typ pochówku: nasypowy i podkurhanowy
- c. Chronologia: VIII–IX w.
- d. Opis kurhanu: brak dokumentacji opisowej. Zachowały się plany i przekroje kurhanu. Średnica kopca w momencie podjęcia badań wynosiła ok. 8 m, zaś jego wysokość sięgała 20 cm. W nasypie, w części środkowej odkryto warstwę spalenizny, z pozostałościami polepy, szczątkami kostnymi oraz fragmentami naczyń glinianych. W części SW odkryto skupisko węgla drzewnych, określone jako „palenisko”. Duże fragmenty naczyń i szczątki kostne w warstwie spływowej kopca.

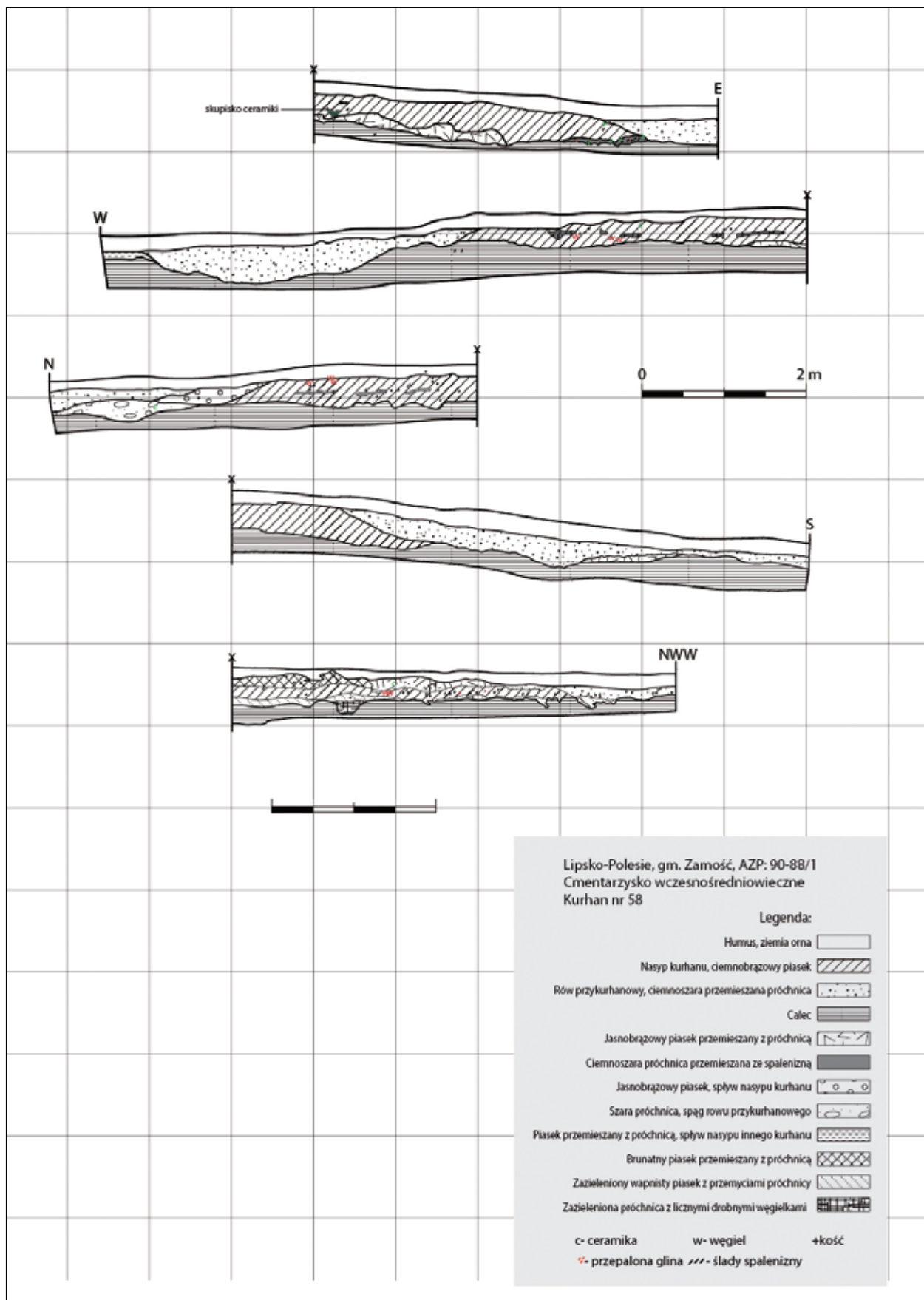
34. Kurhan nr 63 (Ryc. 85, 86)

- a. Rok badań: 1956
- b. Typ pochówku: nasypowy lub nakurhanowy
- c. Chronologia: VIII–IX w.
- d. Opis kurhanu: brak dokumentacji opisowej. Zachowały się szkice planu i przekrojów kurhanu. Średnica kurhanu w momencie podjęcia badań wynosiła ok. 6 m, zaś wysokość sięgała 20 cm. W górnej części nasypu uchwycono warstwę spalenizny, z węglami drzewnymi i drobnymi szczątkami kostnymi. Większe skupiska węgla wystąpiły w części północnej kopca. Fragmenty ceramiki wczesnośredniowiecznej zanotowano głównie w warstwie spływowej nasypu kurhanu.



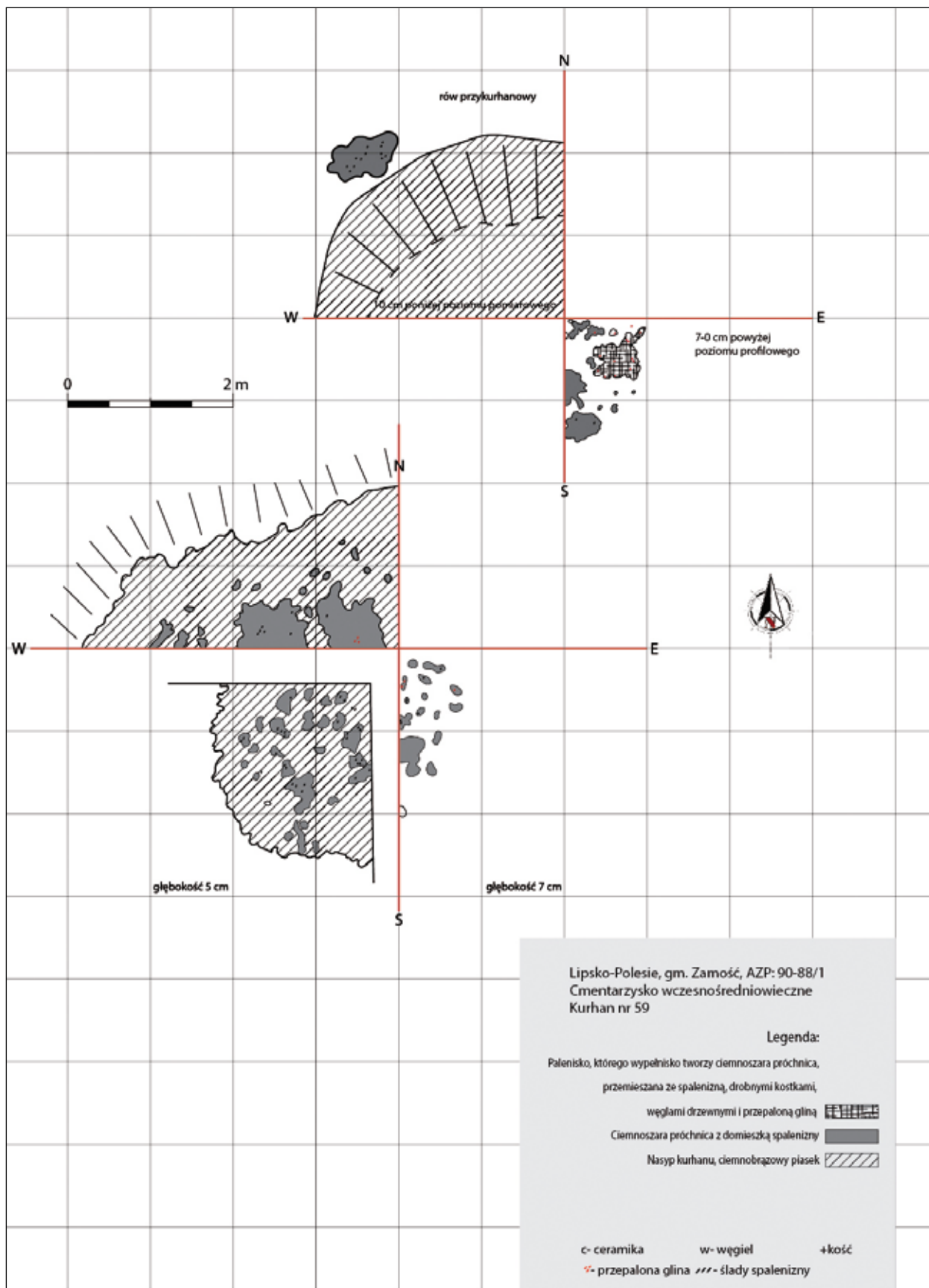
Ryc. 75. Plan kurhanu nr 58 (oprac. J. Stępnik).

Fig. 75. Plan of the burial mound No. 58 (prepared by J. Stępnik).



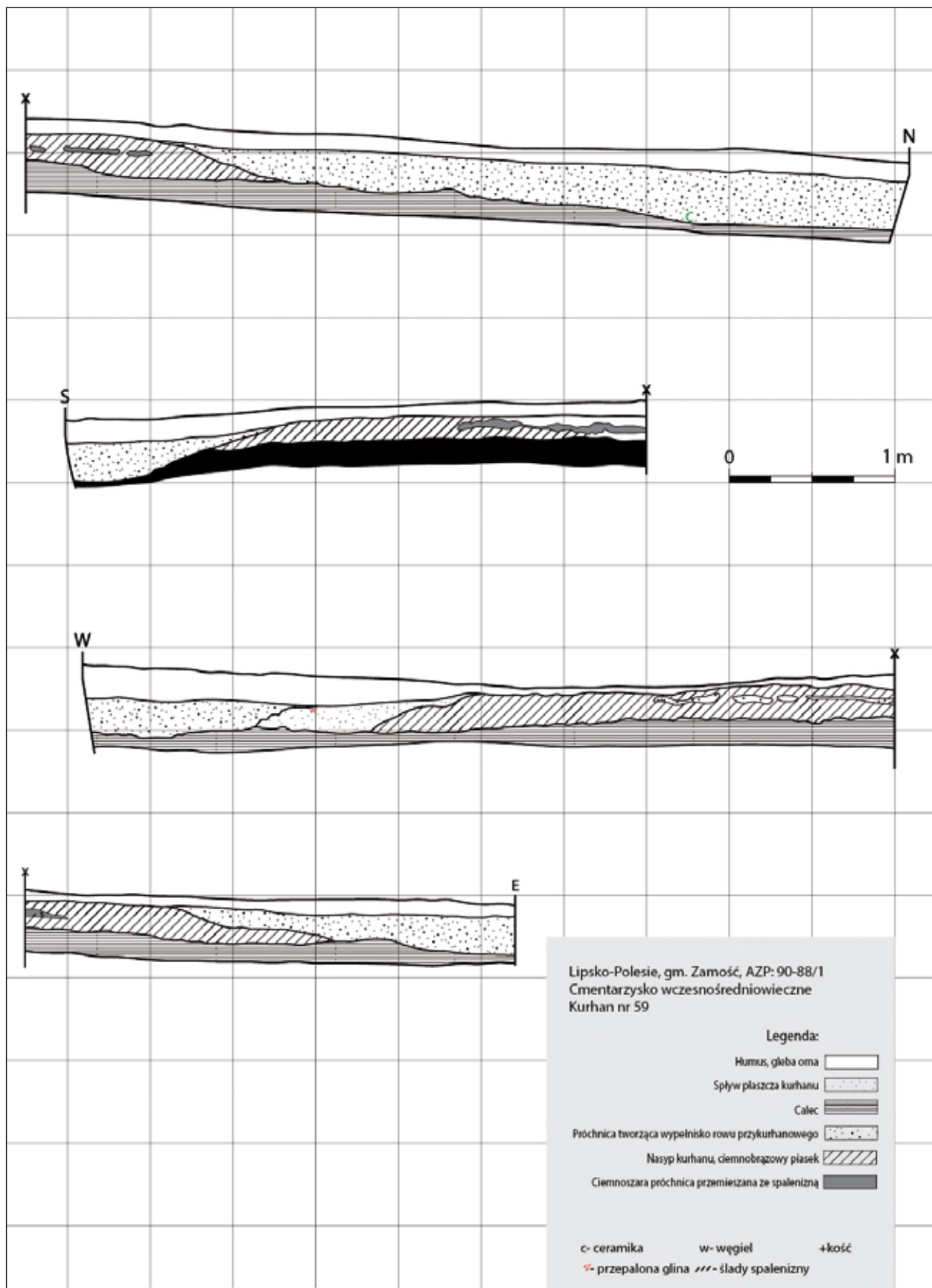
Ryc. 76. Przekroje kurhanu nr 58 (oprac. J. Stępnik).

Fig. 76. Cross-sections of the burial mound No. 58 (prepared by J. Stępnik).



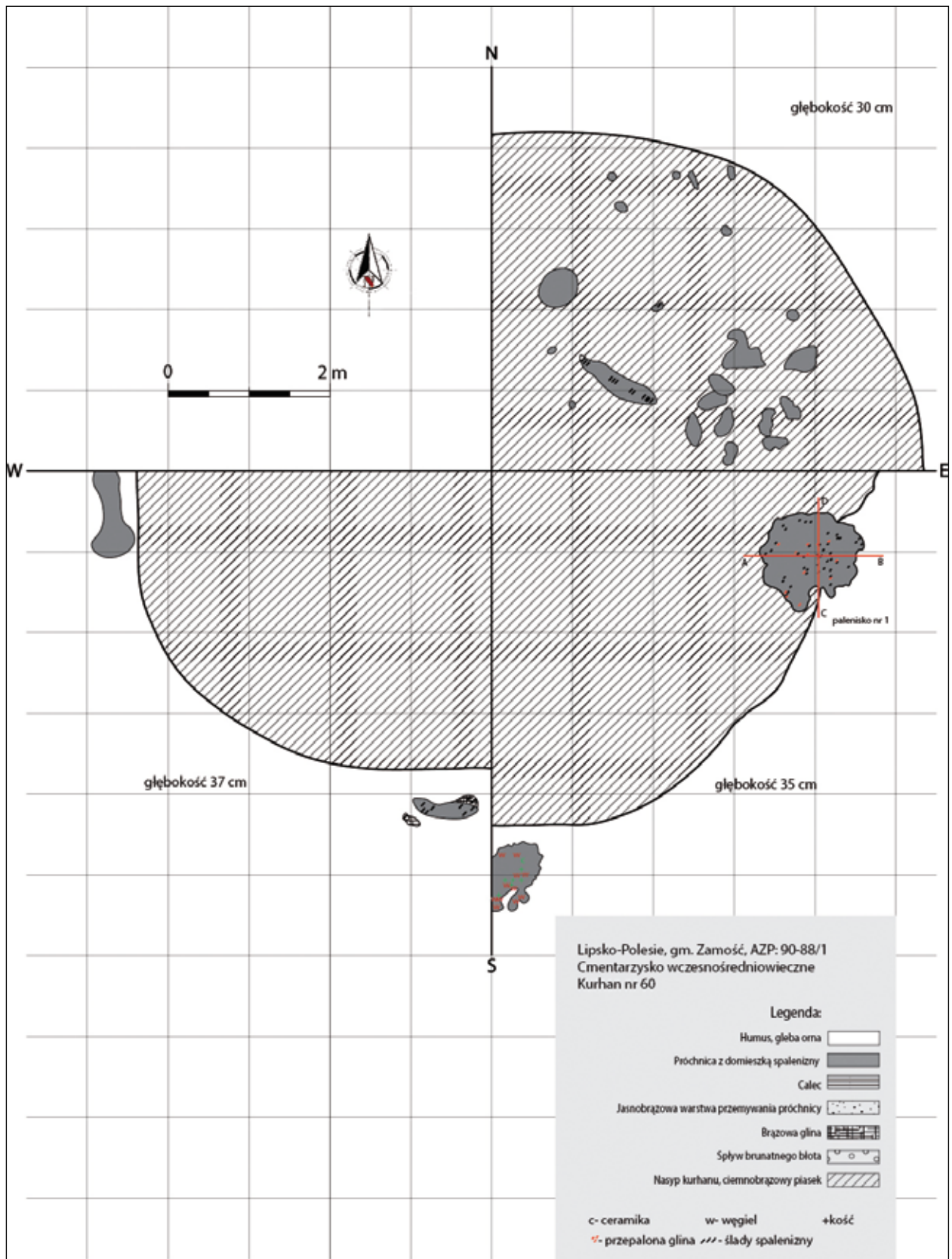
Ryc. 77. Plan kurhanu nr 59 (oprac. J. Stępnik).

Fig. 77. Plan of the burial mound No. 59 (prepared by J. Stępnik).



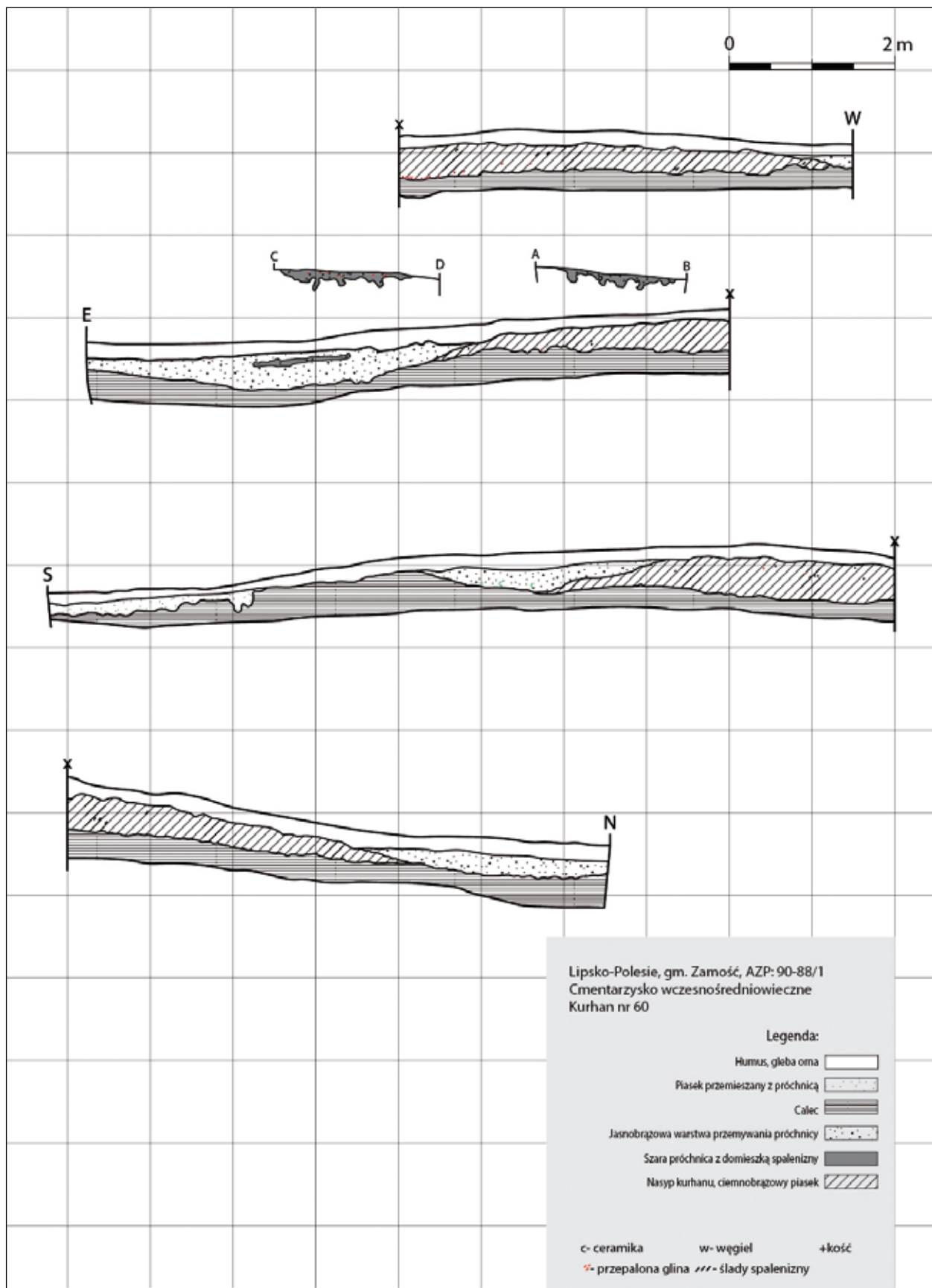
Ryc. 78. Przekroje kurhanu nr 59 (oprac. J. Stępnik).

Fig. 78. Cross-sections of the burial mound No. 59 (prepared by J. Stępnik).



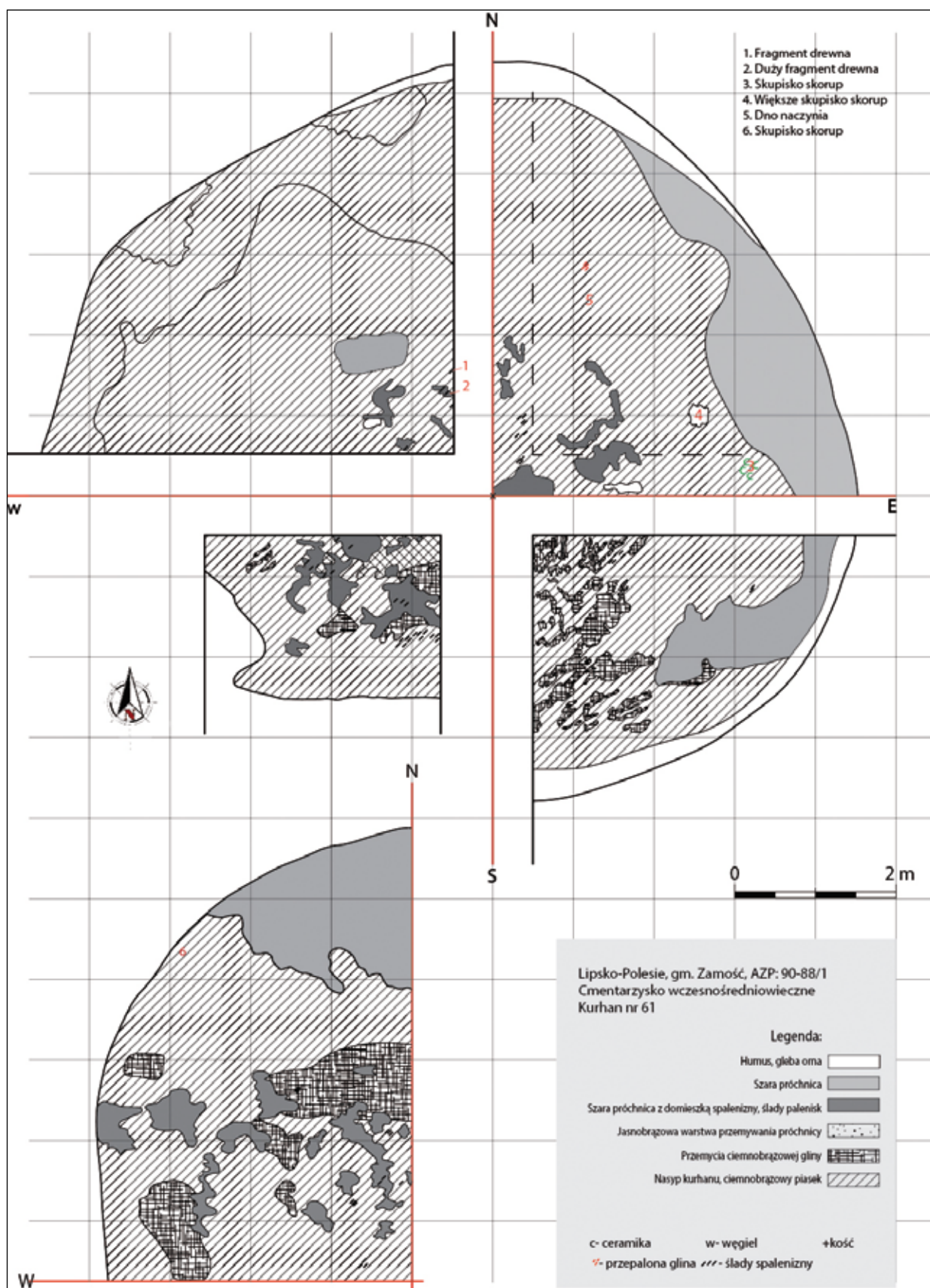
Ryc. 79. Plan kurhanu nr 60 (oprac. J. Stępnik).

Fig. 79. Plan of the burial mound No. 60 (prepared by J. Stępnik).



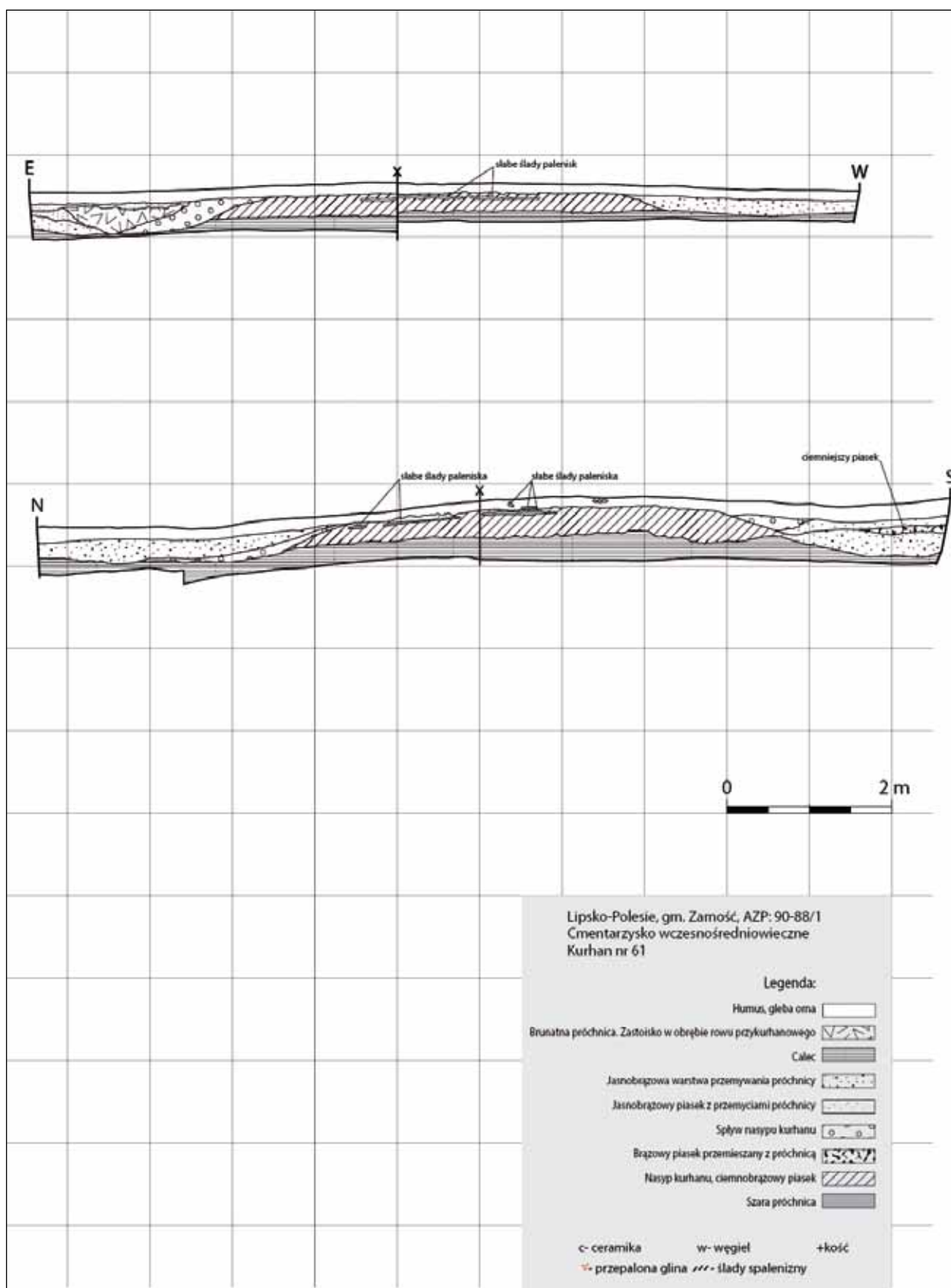
Ryc. 80. Przekroje kurhanu nr 60 (oprac. J. Stępnik).

Fig. 80. Cross-sections of the burial mound No. 60 (prepared by J. Stępnik).



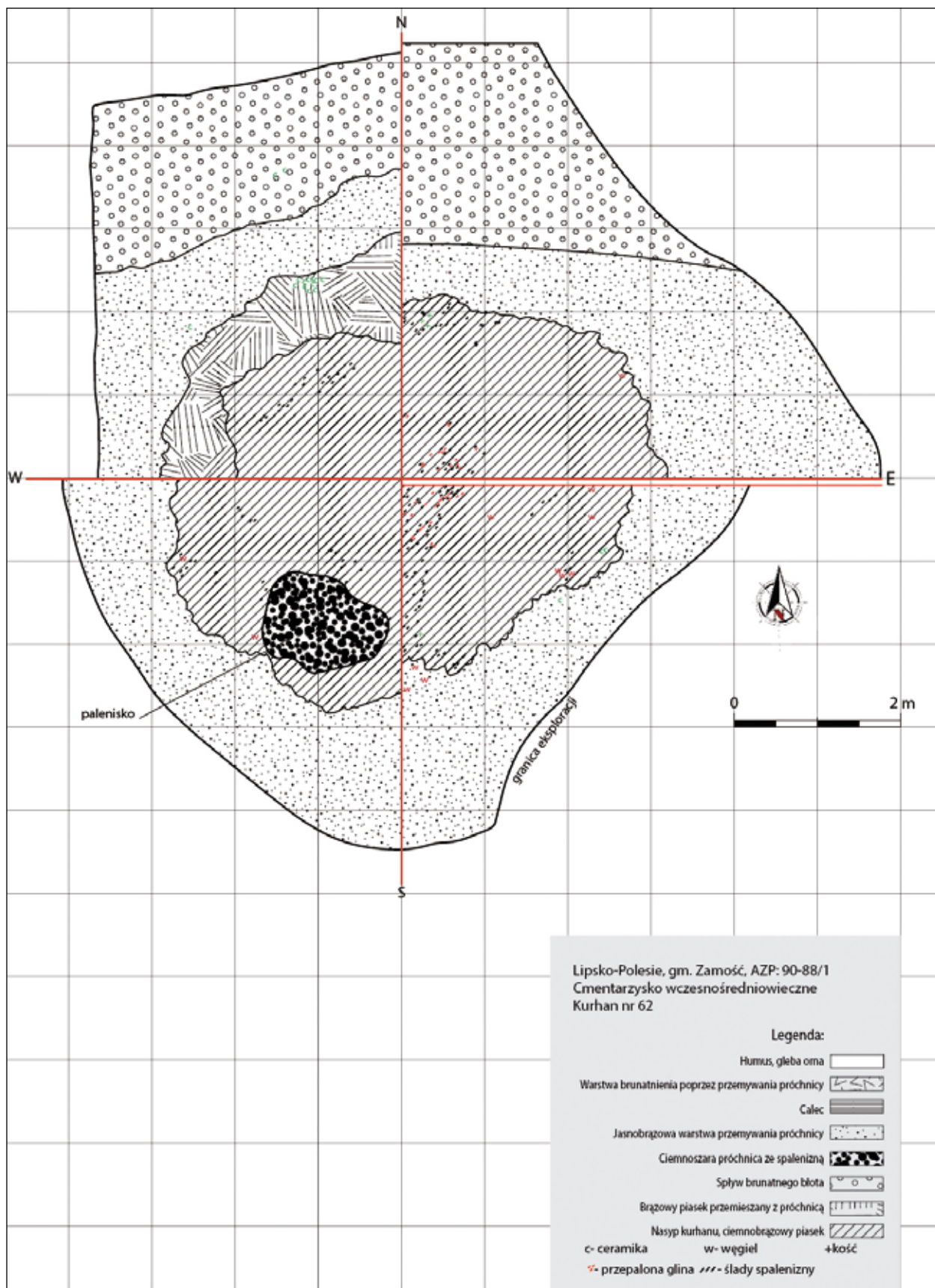
Ryc. 81. Plan kurhanu nr 61 (oprac. J. Stępnik).

Fig. 81. Plan of the burial mound No. 61 (prepared by J. Stępnik).



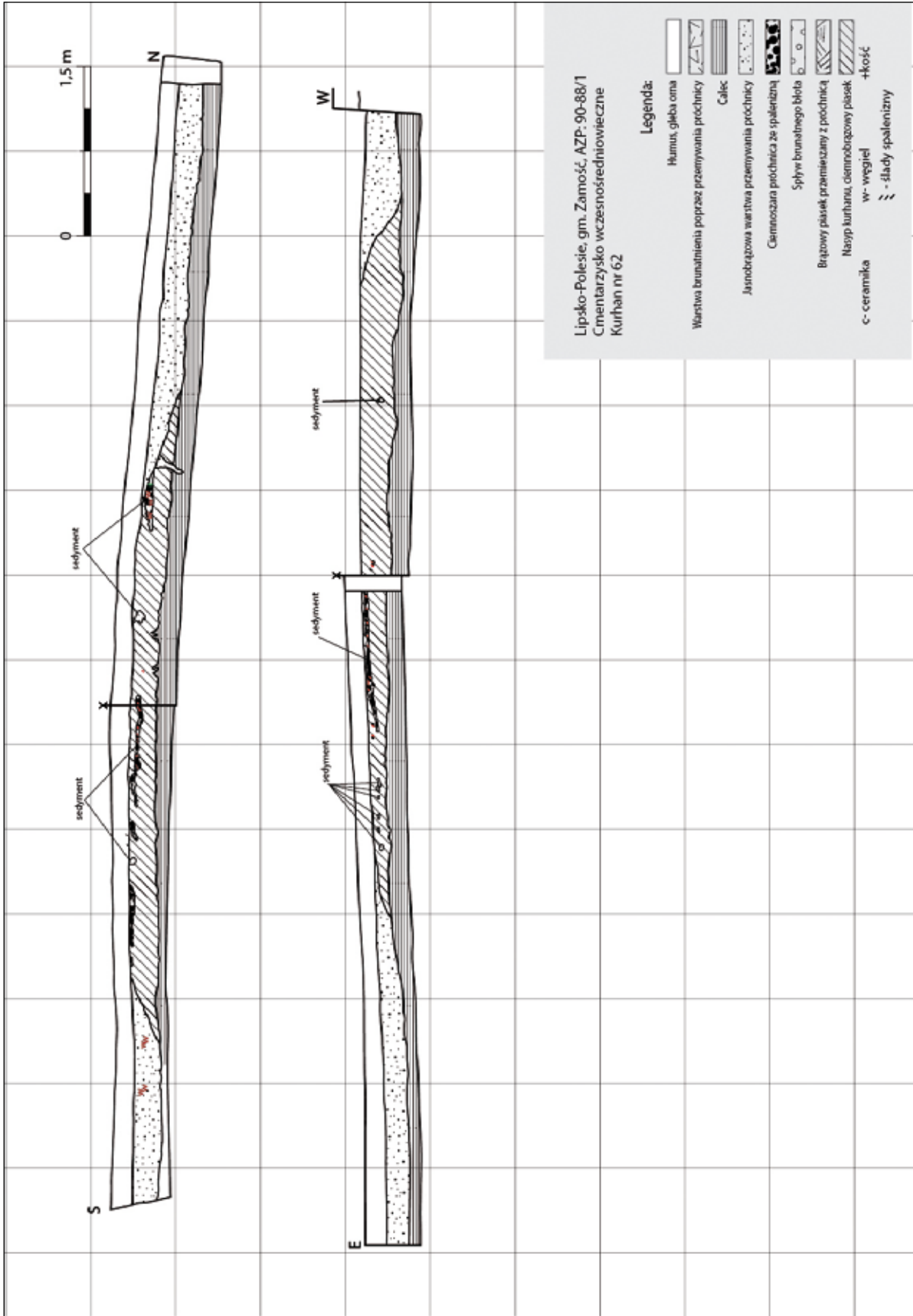
Ryc. 82. Przekroje kurhanu nr 61 (oprac. J. Stępnik).

Fig. 82. Cross-sections of the burial mound No. 61 (prepared by J. Stępnik).



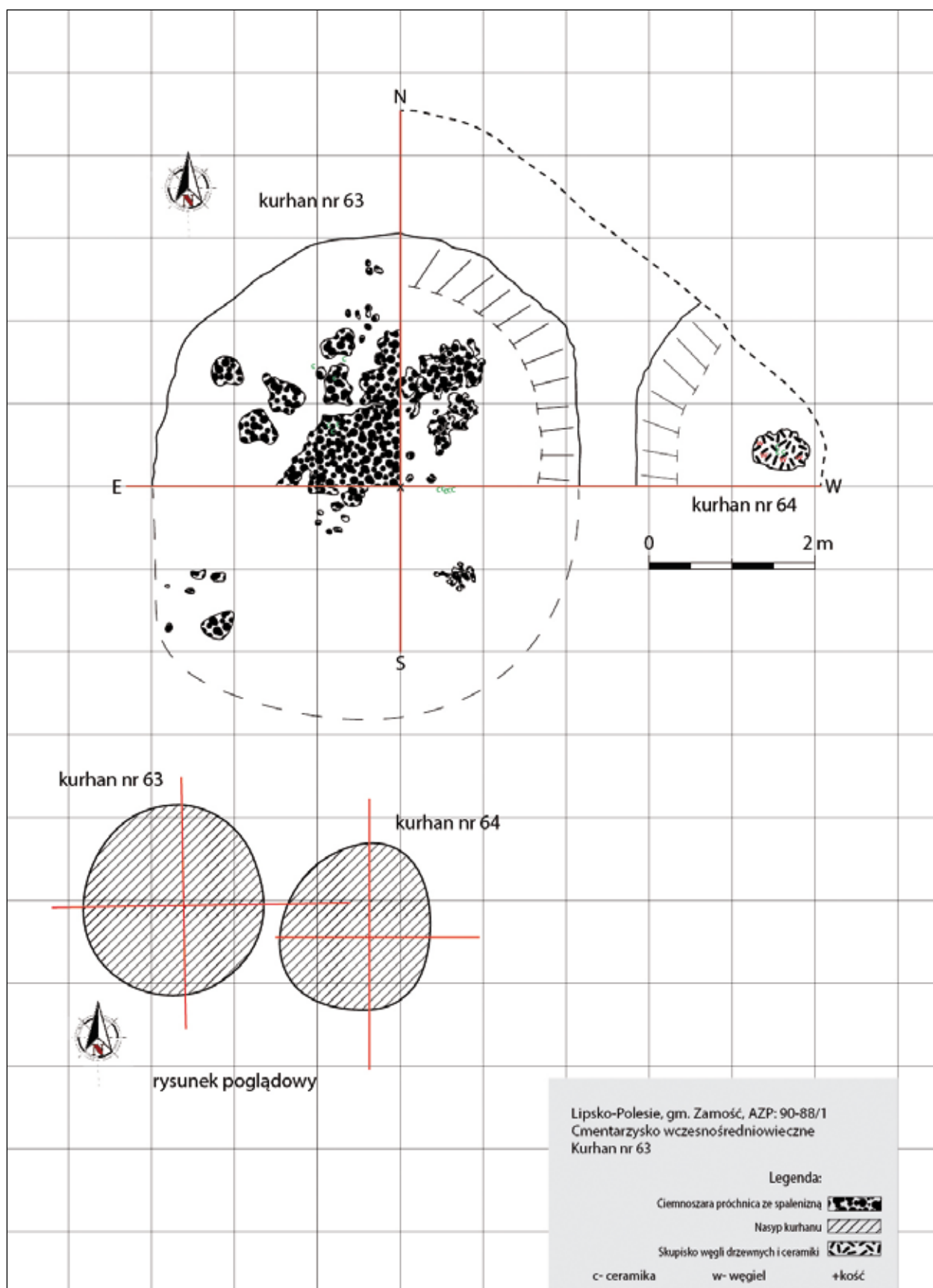
Ryc. 83. Plan kurhanu nr 62 (oprac. J. Stępnik).

Fig. 83. Plan of the burial mound No. 62 (prepared by J. Stępnik).



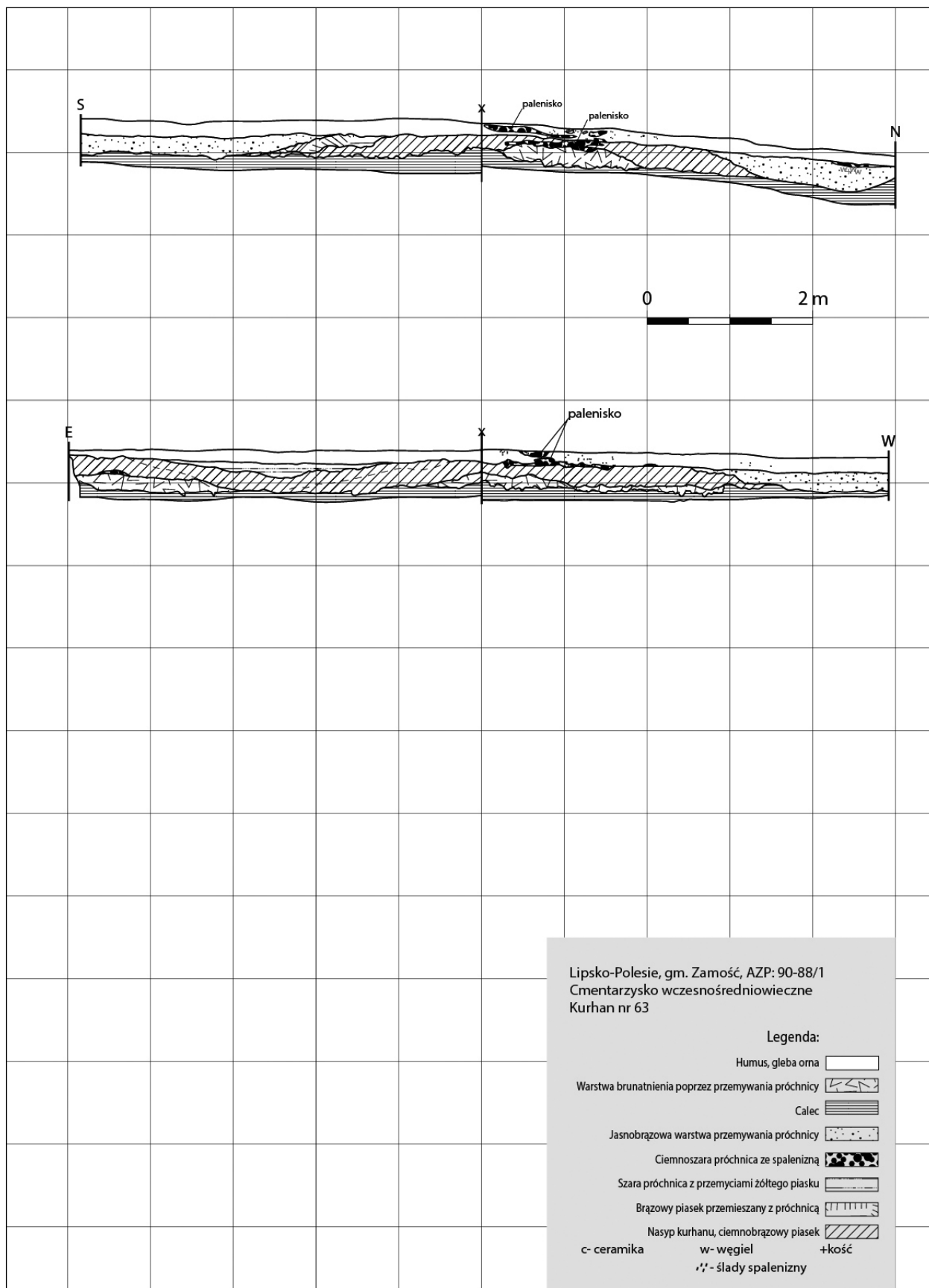
Ryc. 84. Przekroje kurhanu nr 62 (oprac. J. Stepnik).

Fig. 84. Cross-sections of the burial mound No. 62 (prepared by J. Stepnik).



Ryc. 85. Plan kurhanu nr 63 (oprac. J. Stępnik).

Fig. 85. Plan of the burial mound No. 63 (prepared by J. Stępnik).



Ryc. 86. Przekroje kurhanu nr 63 (oprac. J. Stępnik).

Fig. 86. Cross-sections of the burial mound No. 63 (prepared by J. Stępnik).

35. Kurhan nr 64 (Ryc. 87)

- a. Rok badań: 1956
- b. Typ pochówku: nasypowy?
- c. Chronologia: VIII–IX w.
- d. Opis kurhanu: brak dokumentacji opisowej. Zachowały się szkice planów ćwiartek NW oraz SE. Konstrukcja grobu zbliżona do sąsiedniego kurhanu nr 63. Średnica kurhanu wynosiła 7 m, nasyp był prawie całkowicie rozorany, zachował się do wysokości 10–20 cm. W nasypie kopca uchwycono podłużne ślady spalenizny (być może pozostałość po spalonej konstrukcji drewnianej), fragmenty szczątków kostnych oraz nielicznych naczyń glinianych.

36. Kurhan nr 65 (Ryc. 88)

- a. Rok badań: 1956
- b. Typ pochówku: nakurhanowy?
- c. Chronologia: VIII–IX w.
- d. Opis kurhanu: w momencie podjęcia badań średnica kurhanu wynosiła ok. 11 m, zaś wysokość sięgała 30 cm. W warstwach spływowch nasypu odkryto rozproszone węgle drzewne, fragmenty naczyń glinianych oraz szczątki kostne. W środkowej części kopca wyróżniono nowożytny wkop. Pod nasypem uchwycono dwa obiekty jamowe wypełnione warstwą spalenizny z węglami drzewnymi oraz licznymi fragmentami naczyń glinianych.

37. Kurhan nr 66 (Ryc. 89)

- a. Rok badań: 1955
- b. Typ pochówku: nakurhanowy
- c. Chronologia: VIII–IX w.
- d. Opis kurhanu: średnica kurhanu wynosiła ok. 7 m. Nasyp zachowany był do wysokości 20 cm. Szczątki kostne, fragmenty naczyń glinianych oraz węgle drzewne wystąpiły na powierzchni nasypu oraz jego warstwach spływowch. U podstawy kopca odkryto duży fragment dna naczynia wczesnośredniowiecznego z zachowanym znakiem garncarskim.

38. Kurhan nr 67 (Ryc. 90)

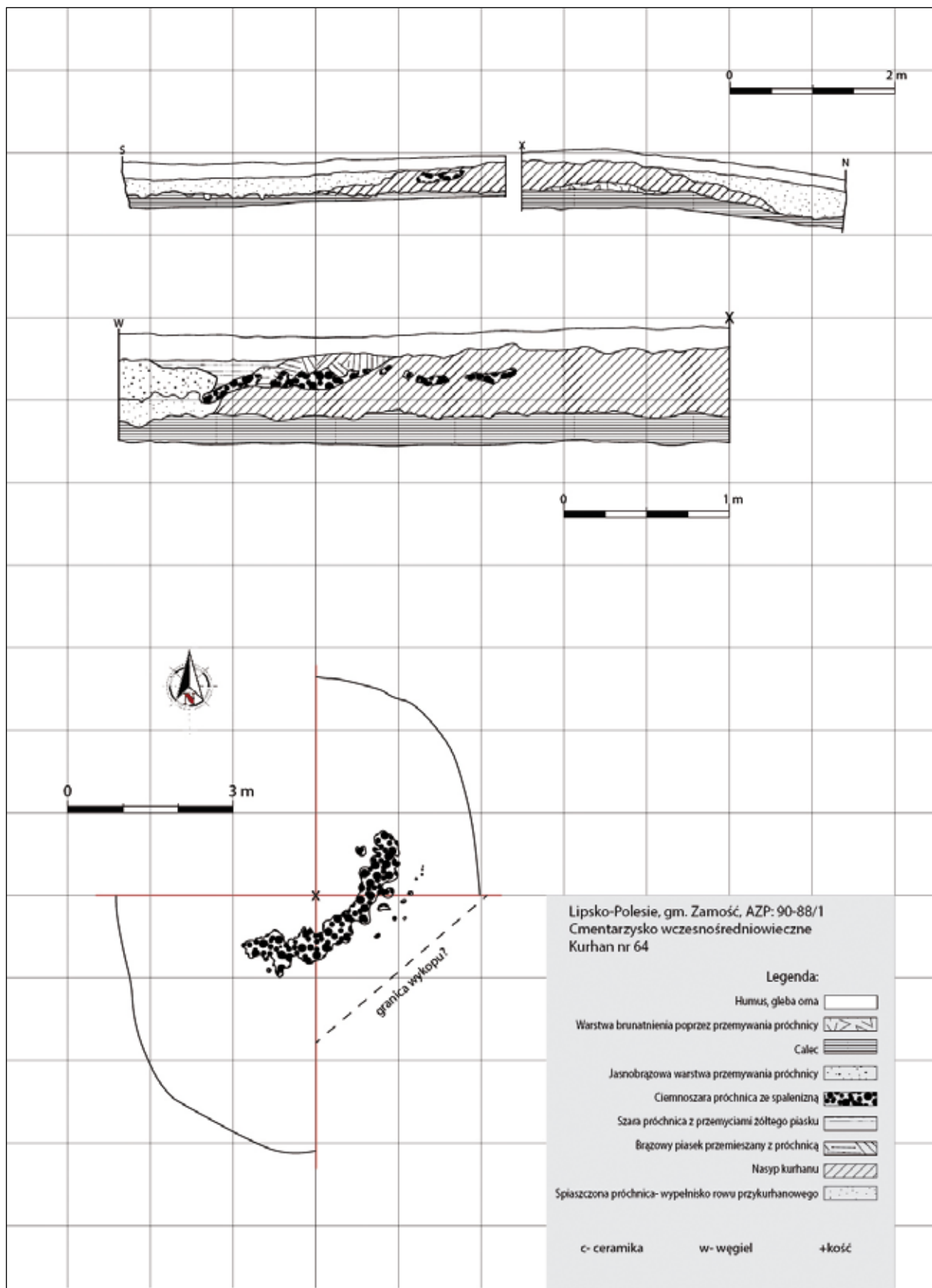
- a. Rok badań: 1954
- b. Typ pochówku: nakurhanowy? lub nasypowy
- c. Chronologia: VIII–IX w.
- d. Opis kurhanu: w momencie podjęcia badań średnica kurhanu wynosiła 8 m, zaś wysokość nasypu sięgała 30 cm. Węgle drzewne wystąpiły w nasypie kopca, ich skupiska zanotowano również u podstawy kopca w części NE. Wokół widoczne rowy przykurhanowe o szerokości do 2 m. Przepalone szczątki kostne, drobne węgle drzewne, fragmenty polepy i wczesnośredniowiecznych naczyń glinianych zanotowano także w warstwach spływowch nasypu.

39. Kurhan nr 68 (Ryc. 91)

- a. Rok badań: 1954
- b. Typ pochówku: nakurhanowy
- c. Chronologia: VIII–IX w.
- d. Opis kurhanu: brak dokumentacji opisowej. Średnica kurhanu wynosiła ok. 12 m, zaś wysokość sięgała 15–20 cm. W spływie kopca, na wysokości rowu przykurhanowego, zanotowano drobne węgle drzewne, szczątki kostne i fragmenty naczyń glinianych.

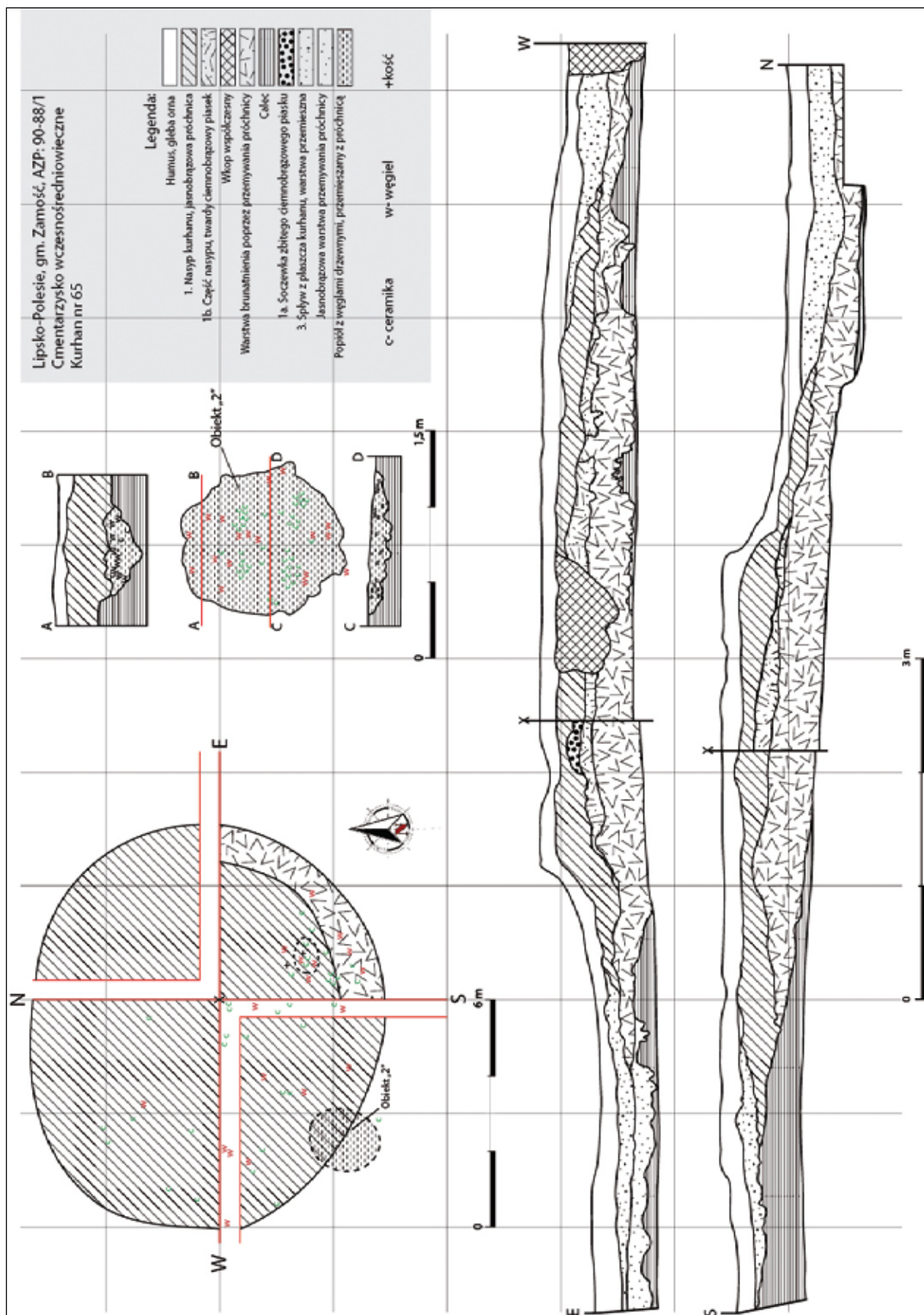
40. Kurhan nr 77 (Ryc. 92)

- a. Rok badań: 1954
- b. Typ pochówku: nieustalony
- c. Chronologia: VIII–IX w.
- d. Opis kurhanu: kurhan domniemany, w dokumentacji z badań określony jako „pseudo-kurhan”. Przebadano jedynie NE część niewielkiego nasypu o wysokości 10 cm i średnicy 8–9 m. W ćwiartce SE wykonano rów sondażowy w celu uzyskania przekrojów kopca. W centralnej części odkryto palenisko z drobnymi węglami drzewnymi i fragmentami naczyń glinianych. Fragmenty naczyń glinianych oraz węgli drzewnych wystąpiły w warstwach spływowch nasypu. Natrafiono jedynie na fragment przepalonej kości w części SW.



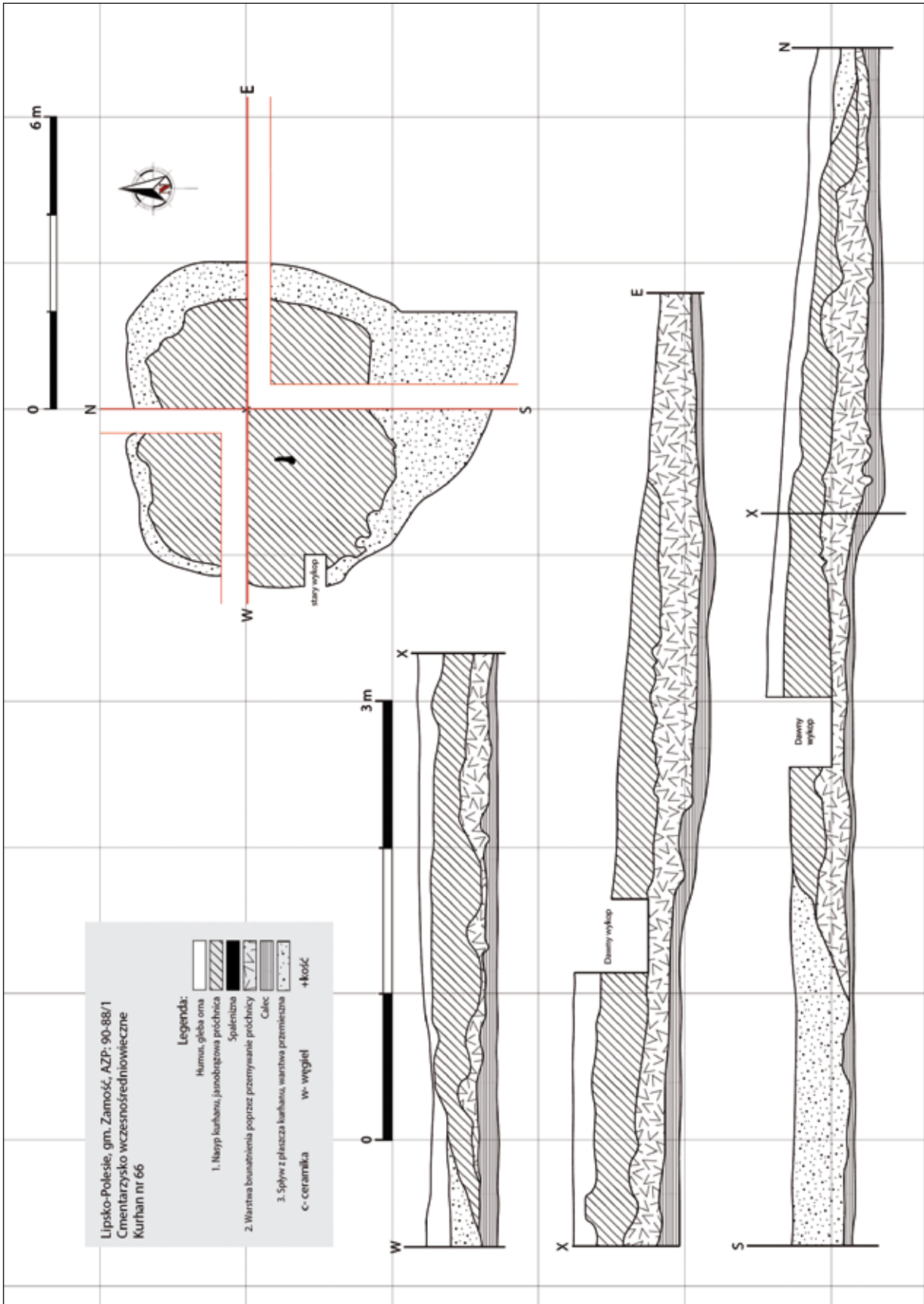
Ryc. 87. Plan i przekrój kurhanu nr 64 (oprac. J. Stępnik).

Fig. 87. Plan and cross-section of the burial mound No. 64 (prepared by J. Stępnik).



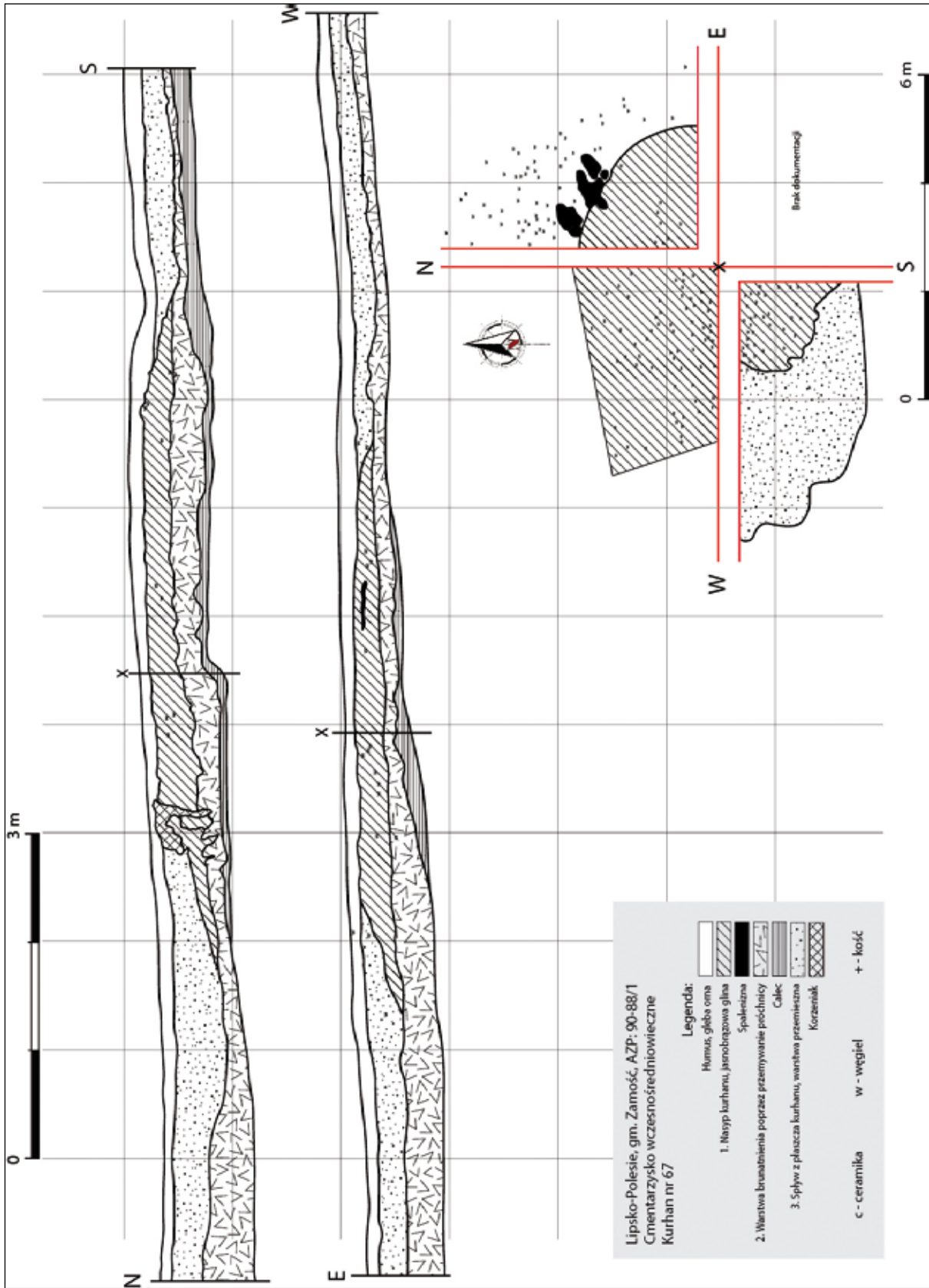
Ryc. 88. Plan i przekrój kurhanu nr 65 (oprac. J. Stepnik).

Fig. 88. Plan and cross-section of the burial mound No. 65 (prepared by J. Stepnik).

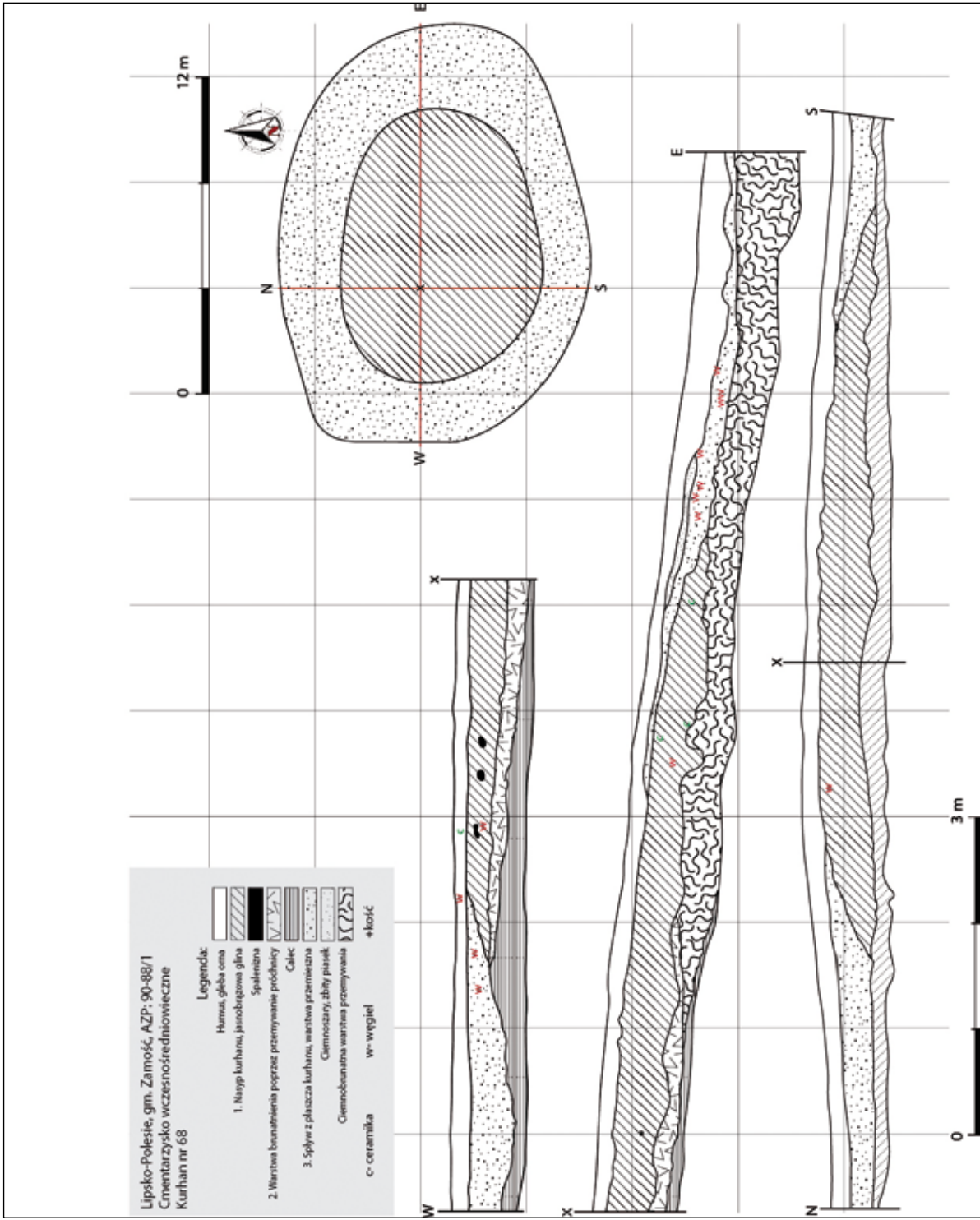


Ryc. 89. Plan i przekrój kurhanu nr 66 (oprac. J. Stepnik).

Fig. 89. Plan and cross-section of the burial mound No. 66 (prepared by J. Stepnik).

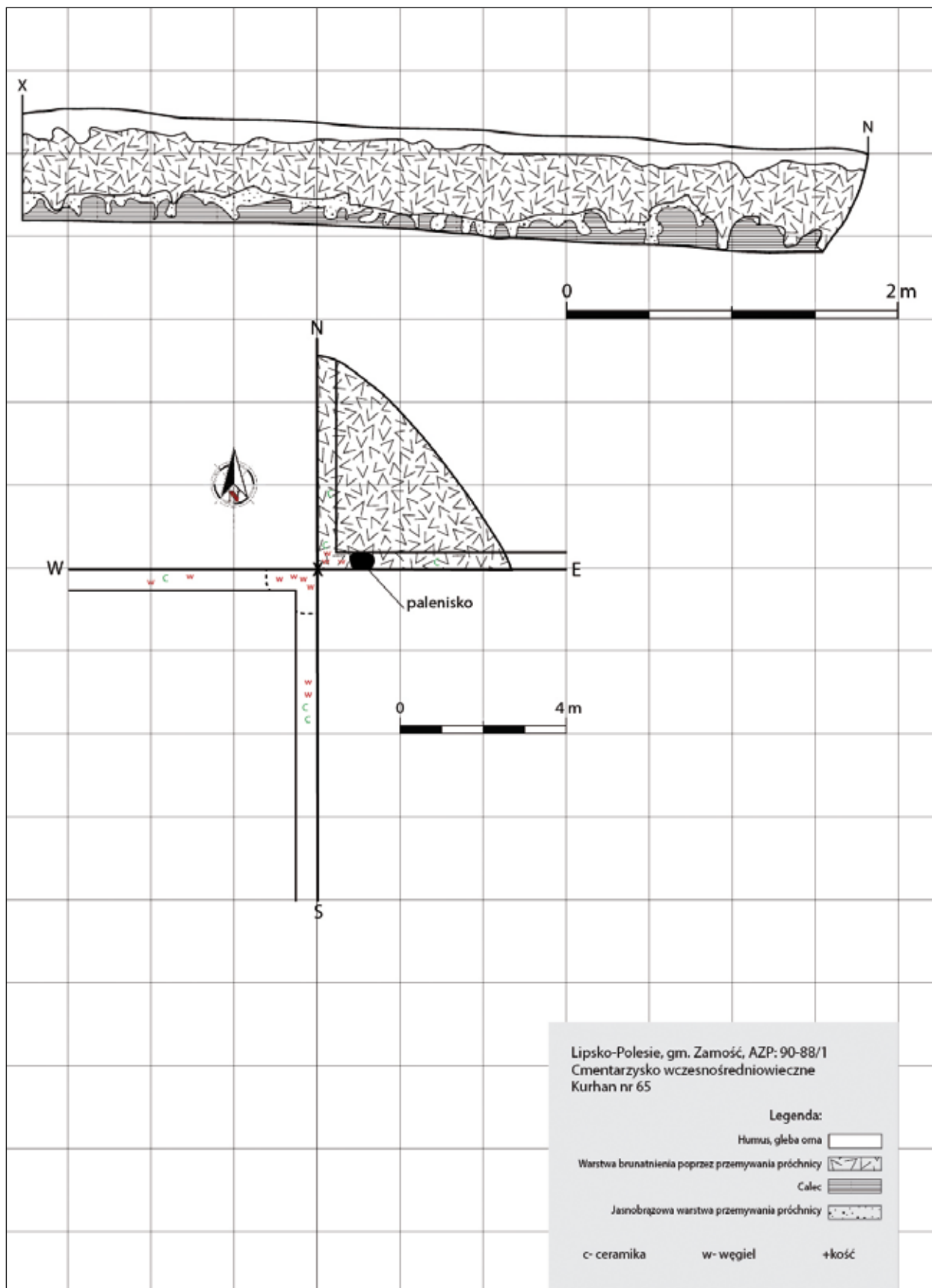


Ryc. 90. Plan i przekrój kurhanu nr 67 (oprac. J. Stępnik).
 Fig. 90. Plan and cross-section of the burial mound No. 67 (prepared by J. Stępnik).



Ryc. 91. Plan i przekrój kurhanu nr 68 (oprac. J. Stepnik).

Fig. 91. Plan and cross-section of the burial mound No. 68 (prepared by J. Stepnik).



Ryc. 92. Plan i przekrój kurhanu nr 77 (oprac. J. Stępnik).

Fig. 92. Plan and cross-section of the burial mound No. 77 (prepared by J. Stępnik).

Wczesnośredniowieczna ceramika naczyniowa z badań cmentarzyska kurhanowego w Lipsku-Polesiu

Łukasz Miechowicz, Agnieszka Chlebicka

Uwagi wstępne

Ceramika naczyniowa z badań cmentarzyska w Lipsku-Polesiu nie została dotąd opracowana. Jedynie zachowane w stanie kompletnym naczynie, odkryte w nasypie kurhanu nr 35, zostało opublikowane w formie fotografii w krótkiej notatce na temat wyników badań (M. Drewko 1954). W latach 50. ubiegłego stulecia podejmowano próby wyklejania i rekonstrukcji jedynie większych fragmentów wylewów oraz den naczyń, wykonano również ich fotografie. W spisie inwentarzowym znajdującym się w archiwum Państwowego Muzeum Archeologicznego w Warszawie wyszczególniona jest ogólna waga ceramiki – 240 kg. Materiał posegregowany jest według numeracji kurhanów. W niektórych przypadkach posortowany został także pod kątem badanych części kurhanu oraz warstw mechanicznych, jakimi dokonywano eksploracji (co 20 cm, równoległe do poziomu lustra wody). Materiał ceramiczny w większości nie był umyty ani poddany zabiegom konserwacji. Fragmenty naczyń wczesnośredniowiecznych były przemieszane z fragmentami naczyń pradziejowych – z epoki brązu oraz wczesnej epoki żelaza.

Praca z materiałem ceramicznym polegała na oczyszczeniu go z resztek gleby (*lessu*)¹, podzieleniu według chronologii (naczynia pradziejowe i wczesnośredniowieczne), wydzieleniu poszczególnych

partii naczyń (fragmenty brzuśca, den, wylewów) oraz kategorii wielkościowych. W miarę możliwości podjęto próbę ustalenia liczby naczyń. Zdecydowaną większość materiału (95%) stanowią okruchy o powierzchni poniżej 1 cm² oraz drobne fragmenty ceramiki wielkości do 3 cm², nieposiadające cech diagnostycznych. Część fragmentów jest mocno zerodowana, zaś ich przełomy są nieczytelne. Na potrzeby opracowania wydzielono 4 kategorie wielkościowe, którymi posługiwano się w zestawieniu materiału: A – duże fragmenty (powyżej 5 cm²); B – średnie fragmenty (3–5 cm²); C – drobne fragmenty (1–2 cm²); D – okruchy (fragmenty poniżej 1 cm²).

Trudności z określeniem znacznej części form naczyń, a nawet ich dokładnej liczby, wynikają z dużego stopnia zniszczenia materiału zabytkowego. Znaczne rozdrobnienie i zniszczona powierzchnia większości fragmentów ceramiki wynikają z rozorania cmentarzyska w początku lat 50. XX w., gdy teren nekropolii został zajęty przez pole uprawne. Ceramika pradziejowa obecna w nasypach kurhanów pochodzi ze zniszczonych obiektów osadniczych kultury trzcinieckiej i łużyckiej oraz grobów kultury lateńskiej – zarówno podczas sypania kurhanów w okresie wczesnego średniowiecza, jak i współczesnych prac rolnych.

Dla opracowania tak dużego zbioru zabytków zaistniała potrzeba przyjęcia modelu opisu fragmentów naczyń ceramicznych. W literaturze przedmiotu wielokrotnie podejmowano próby stworzenia uniwersalnego kwestionariusza opisu wczesnośre-

¹ Prace te wykonano w Laboratorium IAE PAN w ramach zabiegów konserwacyjnych.

dniowiecznej ceramiki naczyniowej (m.in. M. Parczewski 1977; A. Buko 1981, s. 87–104).

Dla obszaru dzisiejszej Lubelszczyzny interesującym opracowaniem na temat rozwoju i chronologii ceramiki w okresie wcześniejszego średniowiecza jest praca S. Hoczyk-Siwkowej (1978, 2006, s. 70–72), bazująca na zabytkach z osady w Lublinie-Czwartku oraz szeregu stanowisk z obszaru Kotliny Chodelskiej. Autorka przyjęła podział na 4 podstawowe grupy naczyń według ich cech technologicznych i morfologicznych (A, B, C, D). Grupę A tworzy ceramika całkowicie ręcznie wykonana (np. typu praskiego z VI–VII w.), grupę B i C (VIII–IX w.) wykonana na kole garncarskim, o różnej intensywności obtaczania i D całkowicie obtaczna o wysokiej jakości technologicznej (IX–X w.). Podział ten ma swoje oczywiste wady, wynikające z utrzymujących się nieraz przez długi czas lokalnych tradycji garncarskich, umiejętności osób wykonujących naczynia czy ich przeznaczenia (ceramika użytkowa, grobowa itp.), przez co ujęcie cech technologicznych naczyń w ramy chronologiczne jest dyskusyjne.

W niniejszym opracowaniu przyjęto uproszczony i zmodyfikowany schemat klasyfikacji technologiczno-morfologicznej oraz metodę analizy wczesnośredniowiecznych naczyń ceramicznych za J. Bojarskim (2012)². Na tej podstawie opracowano kwestionariusz opisu zespołu fragmentów naczyń ceramicznych dla każdego z kurhanów z Lipska-Polesia. Za autorem wydzielono cztery kategorie jakościowe określające wielkość fragmentów (J. Bojarski 2012, s. 310, 311):

I. górne części naczyń z zachowaną szyjką oraz górną partią brzuśca zachowaną przynajmniej do strefy największej wydętości brzuśca oraz dna naczyń z krawędzią ściany i dolną częścią brzuśca. Do kategorii tej zaliczono również naczynia zrekonstruowane w całości.

II. wylewy naczyń z zachowaną krawędzią i górną częścią brzuśca, pozwalające na określenie kąta ustawienia wylewu względem pionowej osi naczynia oraz fragmenty den z dolną częścią brzuśca, pozwalające na określenie techniki budowy, formy i grubości naczynia.

III. wylewy naczyń i ułamki górnych części brzuśców umożliwiające określenie techniki wykonania naczyń (zabiegi obtaczania, zagładzania powierzchni).

IV. pozostałe drobne fragmenty naczyń nie posiadające istotnych cech diagnostycznych.

Do analiz wybrano przede wszystkim materiał z kategorii wielkościowych A oraz B, rzadziej C. Zrezygnowano z analiz materiału zaklasyfikowanego do grupy wielkościowej D. Badania i opis fragmentów naczyń glinianych podzielono na dwa działania: określenie parametrów technologicznych oraz morfologicznych.

W przypadku próby określenia parametrów technologicznych naczyń przyjęto za J. Bojarskim (2012, s. 313, 314) podział na pięć grup technicznych: GTI – naczynia ręcznie lepione, wykonane techniką ugniatania lub techniką wałeczkowo pierścieniową; GTII – naczynia ręcznie lepione obtaczane w części brzegowej; GTIII – naczynia ręcznie lepione, obtaczane do strefy największej wydętości brzuśca; GTIV – naczynia częściowo obtaczane, także poniżej największej wydętości brzuśca; GTV – naczynia całkowicie obtaczane, wykonane techniką pierścieniowo-taśmową, ewentualnie taśmowo-ślizgową. Dla określenia techniki budowy i wykańczania powierzchni naczyń posłużono się metodami i wyróżnikami cech technologicznych zaproponowanymi przez A. Buko (1981, s. 87–104).

Według przyjętego modelu rodzaj domieszki oraz jej gęstość w masie garncarskiej określano na podstawie obserwacji makroskopowych. Przy opisie uwzględniono trzy grupy granulometryczne: domieszka drobnoziarnista o średnicy ziaren poniżej 0,5 mm; domieszka średnioziarnista o średnicy ziaren mieszczącej się w przedziale pomiędzy 0,5 a 1,5 mm; domieszka gruboziarnista o średnicy ziaren większej niż 1,5 mm. Pod względem gęstości domieszki (widoczna liczba ziaren domieszki na 1 cm² powierzchni oraz przełomu naczynia) określono rodzaje masy garncarskiej na: tłustą (pojedyncze ziarna domieszki o dużej granulacji pow. 1,5 mm); średniotłustą (od kilku do kilkunastu ziaren domieszki grubo- lub średnioziarnistej o granulacji od 0,5 do 1,5 mm); chudą (duże zagęszczenie domieszki powyżej kilkunastu ziaren, przeważnie drobnej granulacji (tłuczni i piasku) (J. Bojarski 2012, s. 315, 316).

Pod względem grubości ścianek naczyń podzielono je na trzy zespoły: naczynia cienkościenne (grubość do 6 mm), średnio-grubościenne (gru-

² Tam nawiązanie do wcześniejszej literatury i przegląd metod badań nad materiałem ceramicznym

bość 7–11 mm) oraz grubościennie (grubość pow. 11 mm). Na dnach naczyń starano się rozpoznać ewentualne ślady zabiegów technicznych stosowanych podczas lepienia naczyń, jak obecność podsypki, znaki garncarskie, pierścienie, odciski osi i tarczy koła garncarskiego lub nakładek, odcinanie lub podważanie dna naczynia podczas zdejmowania z koła.

Klasyfikację stopnia wychylenia wylewów (słabo, średnio, silnie) oraz maksymalnej wydętości brzuśców naczyń przyjęto za J. Bojarskim (2012, s. 331–333, 339, 340):

- wylew słabo odchylony: odchylenie od 1° do 25° od pionowej osi naczynia,
- wylew średnio odchylony: odchylenie od 26° do 75° od pionowej osi naczynia,
- wylew silnie odgięty: odchylenie powyżej 76° od pionowej osi naczynia.

Dla określenia kształtu krawędzi wylewów przyjęto podział na: proste, wklęsłe, zaokrąglone, spiczaste (J. Bojarski 2012, s. 340).

Przy opisie parametrów morfologicznych starano się określić formę naczyń: naczynia o esowato ukształtowanym brzuścu z wylewem i szyjką; naczynia o baniasto ukształtowanym brzuścu, wychodzącym poza linię profilu (por. J. Bojarski 2012, s. 332). Rodzinę form naczyń określano na podstawie liczby tworzących je elementów: naczynia czteroelementowe zawierające wylew, szyjkę, brzusec i dno; trzelementowe bez wyodrębnionej szyjki, naczynia dwuelementowe, szerokootworowe. W dalszej kolejności analizie poddano umieszczenie największej wydętości brzuśca (wysoko, nisko), typ i kształt linii profilowej wylewów, typy den, wielkości naczyń. Ostatni punkt opisu ceramiki naczyniowej z Lipska-Polesia stanowi analiza ornamentyki.

Zestawienie cech ceramiki z kurhanów

Kurhan nr 1

Opis i charakterystyka materiału:

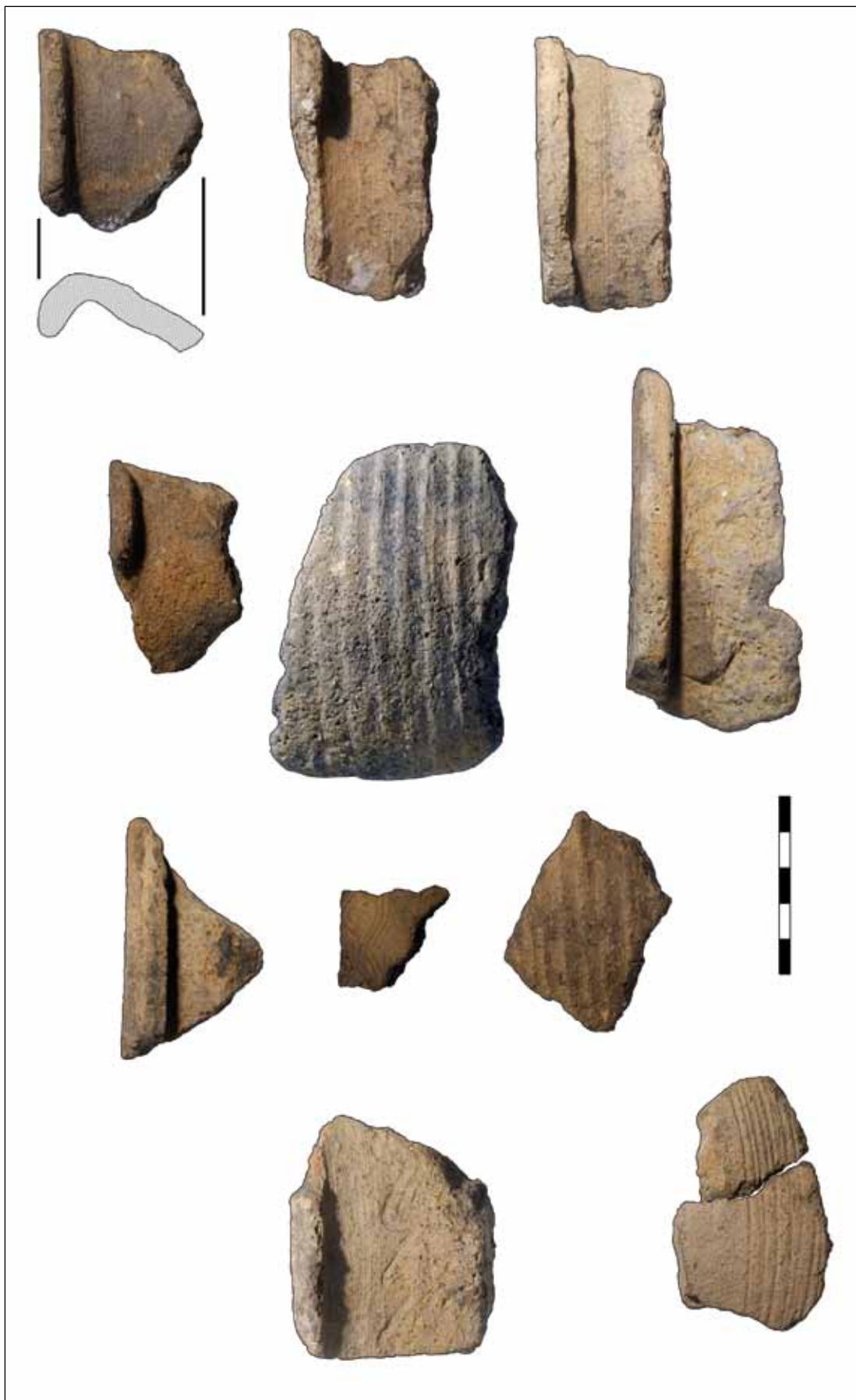
W trakcie badań kurhanu nr 1 łącznie odkryto 200 fragmentów wczesnośredniowiecznych naczyń glinianych, z czego większość stanowiły okruchy ceramiki oraz drobne, mało diagnostyczne fragmenty

(kategoria wielkościowa IV). Z zespołu wydzielono fragmenty diagnostyczne, w tym 25 średniej i dużej wielkości fragmentów brzuśca (kategoria wielkościowa B i C) oraz 5 fragmentów wylewów pochodzących z ok. 12 naczyń (Ryc. 1, 2). Chronologię zespołu możemy określić dość ogólnie na VIII–X w.

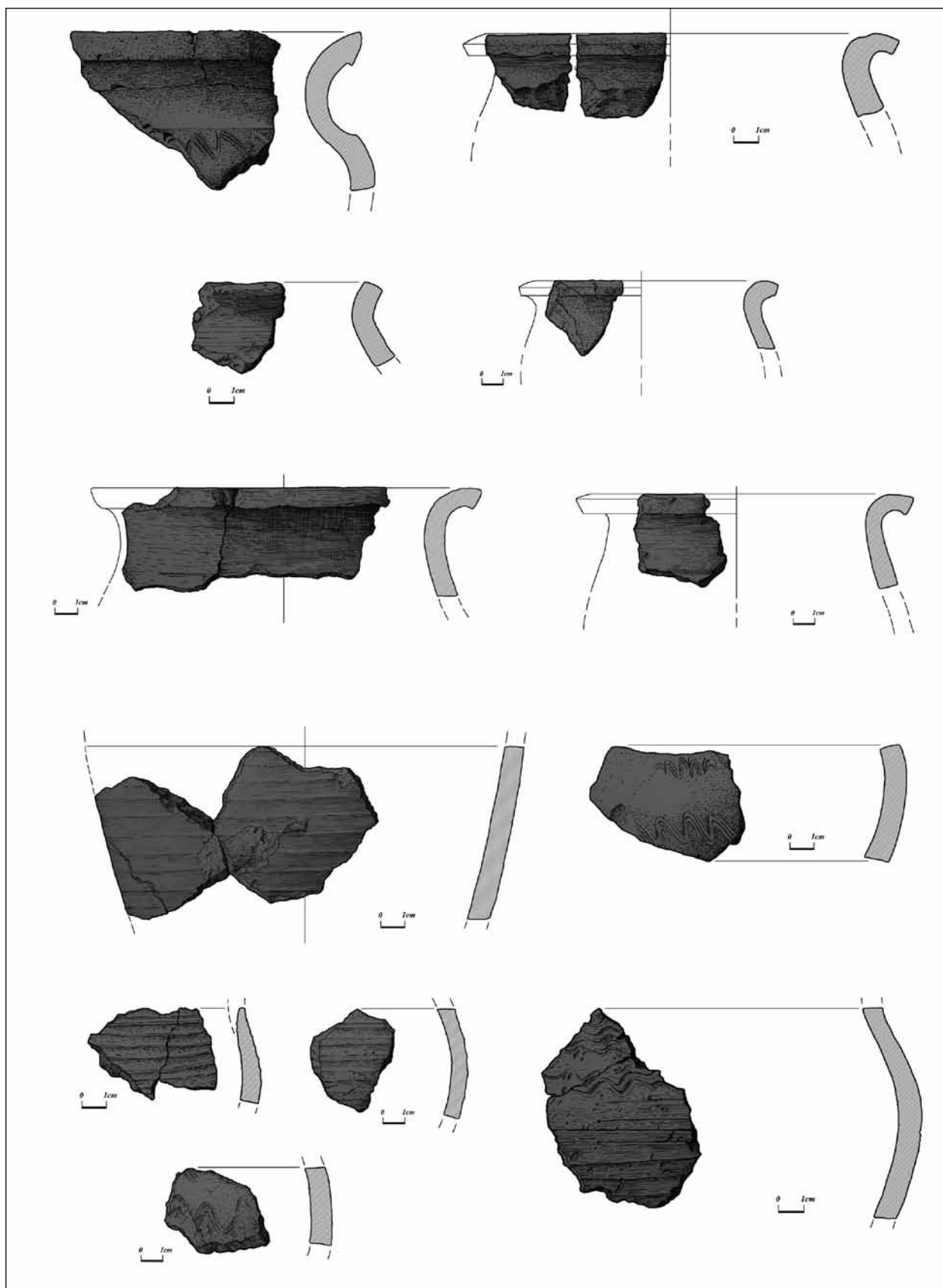
CECHY TECHNOLOGICZNE:

1. Technika lepienia i formowania ścianek naczyń: większość fragmentów naczyń należy zakwalifikować do grupy technologicznej GTII oraz GTIII. Cechuje je wykonanie z użyciem ręcznego koła garncarskiego oraz obtaczanie do strefy największej wydętości brzuśca, zarówno po zewnętrznej jak i wewnętrznej części naczynia. Ślady obtaczania stwierdzono również na dwóch fragmentach brzuśców ze strefy przydennej. Na pozostałych fragmentach pochodzących z dolnych partii brzuśców widoczne są ślady wygładzania powierzchni. Część naczyń została wykonana techniką wałczkowo-pierścieniową. W przełomach części fragmentów widoczne są ukośne ślady łączenia taśm.
2. Masa garncarska i rodzaj domieszki: w 19 fragmentach ceramiki stwierdzono średnioziarnistą i gruboziarnistą domieszkę tłuczni skalnego, widoczną zarówno w przełomach jak i na powierzchni naczyń. Do ich produkcji użyto średnio-tłustej masy ceramicznej ze średnią ilością domieszki schudzającej³, składającej się najczęściej z drobno- i średnioziarnistego (do 1,5 mm) tłuczni oraz piasku. Na niektórych fragmentach widoczne pojedyncze ziarna grubego tłuczni (pow. 1,5 mm). Powierzchnia naczyń jest szorstka w dotyku, zaś domieszka niewyczuwalna. W 11 przypadkach (w tym wszystkie wylewy) stwierdzono drobnoziarnistą domieszkę tłuczni ze znacznym dodatkiem piasku.
3. Grubość ścianek naczyń: wszystkie fragmenty poddane analizie posiadają pomiędzy 7 a 11 mm grubości, co zalicza je do kategorii naczyń średnio-grubościennych.
4. Barwa naczyń: 23 fragmenty naczyń posiadają barwę jasnobrunatną, jeden fragment koloru ceglastego, pozostałe fragmenty możemy określić jako ciemno-brunatne lub szaro-brunatne.

³ Masa ta odpowiada III typowi masy garncarskiej według J. Bojarskiego (2012, s. 318).



Ryc. 1. Wybrane fragmenty naczyń glinianych odkryte w nasypie kurhanu nr 1 (fot. E. Mitechowicz, oprac. E. Mitechowicz, A. Chlebicka).
 Fig. 1. Selection of clay vessel fragments discovered in the burial mound No. 1 (photo by E. Mitechowicz, prepared by E. Mitechowicz, A. Chlebicka).



Ryc. 2. Wybrane fragmenty naczyń glinianych odkryte w nasypie kurhanu nr 1 (fot. Ł. Miechowicz, oprac. A. Chlebicka, na podstawie rysunków M. DREWKI).

Fig. 2. Selection of clay vessel fragments discovered in the burial mound No. 1 (photo by Ł. Miechowicz, prepared by A. Chlebicka after M. DREWKO's drawings).

CECHY MORFOLOGICZNE:

1. Formy naczyń: w dwóch przypadkach (zachowany fragment profilu z szyjką i częścią brzuśca) udało się określić formę naczyń jako: 1. esowatą, trójelementową oraz 2. baniastą, trójelementową.
2. Wydętość brzuśca: 1 naczynie ze słabo wydętym brzuścem oraz 1 naczynie z silnie wydętym brzuścem, w obu przypadkach najprawdopodobniej ze średnio umieszczoną największą wydętością.
3. Typ i kształt linii profilowej wylewu: na podstawie zachowanych fragmentów wylewów możemy wyróżnić 2 naczynia z wylewem średnio odchylonym oraz 1 naczynie z wylewem silnie odchylonym oraz wyraźnie zaakcentowaną szyjką. W dwóch przypadkach stwierdzono zaokrąglony kształt krawędzi wylewu, w jednym prosty.
4. Wielkość naczyń: średnice wylewów: 16 cm, 22 cm, 24 cm; średnice największej wydętości brzuśca: stwierdzono w 3 przypadkach – 16, 20 i 22 cm.
5. Ornamentyka naczyń:
 - typ ornamentu i miejsce usytuowania: ornament falisty wykonany grzebykiem zanotowano na 5 fragmentach brzuśców 5 różnych naczyń; w 4 przypadkach wątek składał się z 2 rytých linii, w 1 przypadku z 4; ornament w postaci poziomych horyzontalnych pasm wykonanych grzebykiem zanotowano 4 fragmentach szyjki oraz brzuśców naczyń,
 - gęstość, głębokość i szerokość ornamentów: w przypadku linii falistych żłobienia były gęste, jedno przy drugim; w przypadku poziomych pasm, wyróżniono zarówno gęste żłobienia, jak i rzadkie, z przerwami o podwójnej szerokości żłobka.

Kurhan nr 2

Opis i charakterystyka materiału:

W trakcie badań kurhanu odkryto 28 fragmentów wczesnośredniowiecznej ceramiki naczyniowej, w większości okruchy i drobne fragmenty (kategoria wielkościowa D) bez cech diagnostycznych (Ryc. 3). Materiał możemy datować dość ogólnie na wcześniejsze średniowiecze.

CECHY TECHNOLOGICZNE:

1. Technika lepienia i formowania ścianek naczyń: większość fragmentów naczyń należy zakwalifikować do grupy technologicznej II i III. Ślady

obtaczania stwierdzono również na 2 fragmentach brzuśców. Na kolejnych 2 widoczne są ślady wygładzania powierzchni. Na części fragmentów widoczne ślady wskazujące na wałeczkowo-pierścieniową technikę wykonania naczyń.

2. Masa garncarska i rodzaj domieszki: w 27 fragmentach ceramiki stwierdzono średnioziarnistą i gruboziarnistą domieszkę tłucznia skalnego, widoczną zarówno w przełomach, jak i na powierzchni naczyń (do 1,5 mm). Na niektórych fragmentach widoczne pojedyncze ziarna grubego tłucznia (pow. 1,5 mm). 1 fragment brzuśca wyłącznie z bardzo drobną domieszką w postaci piasku.
3. Grubość ścianek naczyń: wszystkie fragmenty poddane analizie mają pomiędzy 9 a 11 mm grubości, co zalicza je do kategorii naczyń średnio-grubościennych.
4. Barwa naczyń: jasnobrunatna, ceglasta, ciemnobrunatna.

Kurhan nr 6

Opis i charakterystyka materiału:

W trakcie badań kurhanu nr odkryto 42 fragmenty brzuśców oraz 5 fragmentów wylewów pochodzących z 15 naczyń. Znaczną część materiału stanowią okruchy i drobne fragmenty, cechy technologiczne określono dla 12 większych fragmentów (kategoria wielkościowa B i C) pochodzących z 8 naczyń – 5 fragmentów wylewów i 7 fragmentów brzuśca (Ryc. 4, 5).

CECHY TECHNOLOGICZNE:

1. Technika lepienia i formowania ścianek naczyń: na 7 fragmentach (4 fragmenty wylewu i 3 fragmenty brzuśca) zanotowano ślady obtaczania. Możemy je zaliczyć do GTIII lub GTIV grupy technologicznej. Pozostałe fragmenty noszą ślady wygładzania powierzchni. W przełomach widoczne są ukośne ślady łączenia taśm, część fragmentów naczyń wykonana techniką wałeczkowo-pierścieniową.
2. Masa garncarska i rodzaj domieszki: 5 fragmentów naczyń posiada domieszkę średnioziarnistą w postaci tłucznia skalnego z domieszką piasku. Jest ona widoczna zarówno na przełomach jak i powierzchni naczyń. Masa garncarska średnio-tłusta.



Ryc. 3. Wybrane fragmenty naczyń glinianych odkryte w nasypie kurhanu nr 2 (fot. Ł. Miechowicz).

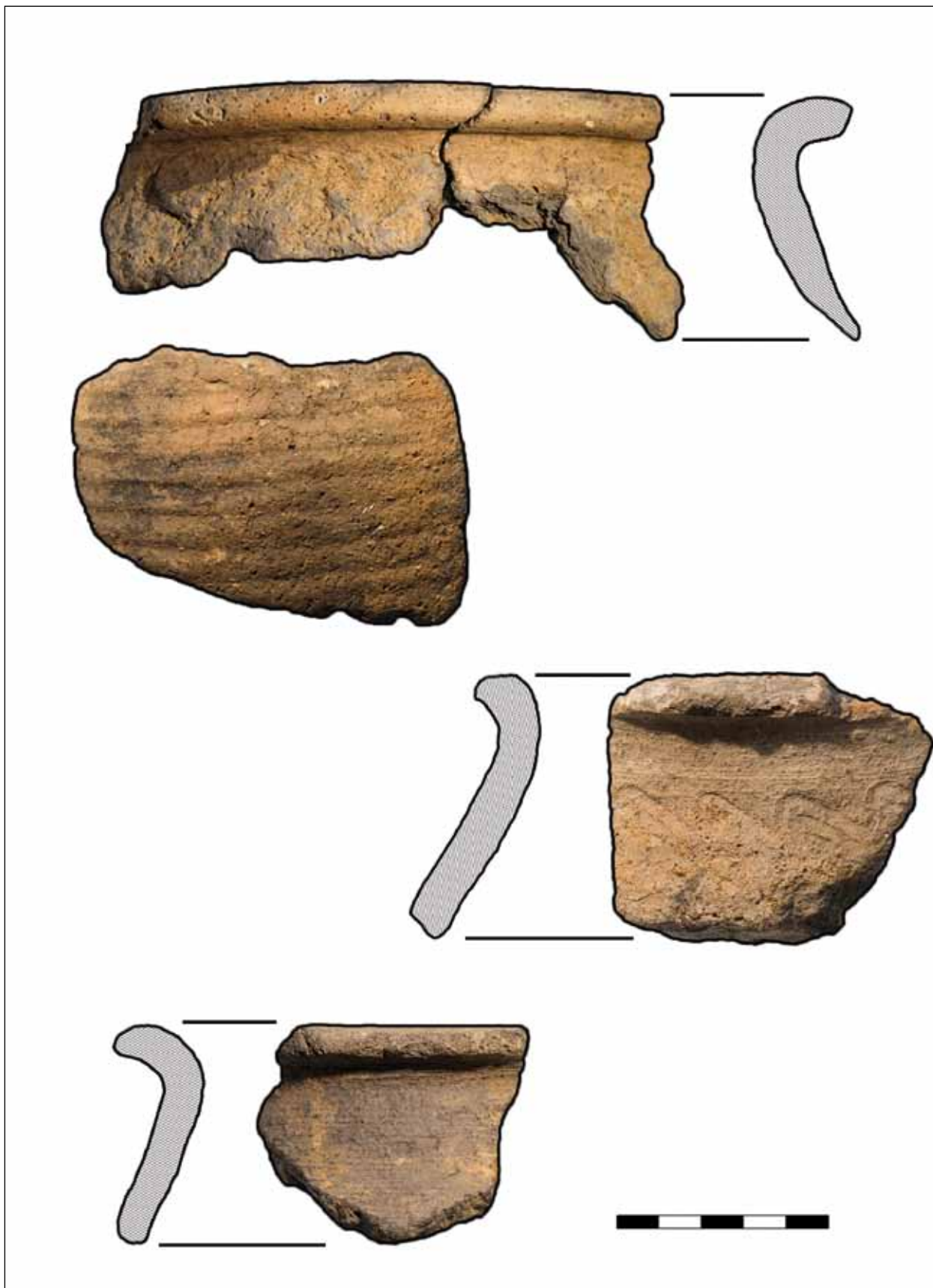
Fig. 3. Selection of clay vessel fragments discovered in the burial mound No. 2 (photo by Ł. Miechowicz).

7 fragmentów naczyń ma domieszkę gruboziarnistą z wyraźnie widocznym w przełomach i na powierzchni tłuczniem skalnym. Jest ona wyraźnie wyczuwalna w dotyku. Masę garncarską możemy określić jako chudą, z dużym zagęszczeniem ziaren domieszki.

3. Grubość ścianek naczyń: naczynie 1: 9 mm; naczynie 2: 11 mm; naczynie 3: 10 mm; naczynie 4: 8 mm; naczynie 5: 8 mm; naczynie 6: 10 mm; naczynie 7: 7 mm; naczynie 8: 11 mm. Wszystkie fragmenty możemy zaliczyć do kategorii naczyń średnio-grubościennech.
4. Barwa naczyń: brunatna i popielato-brunatna.

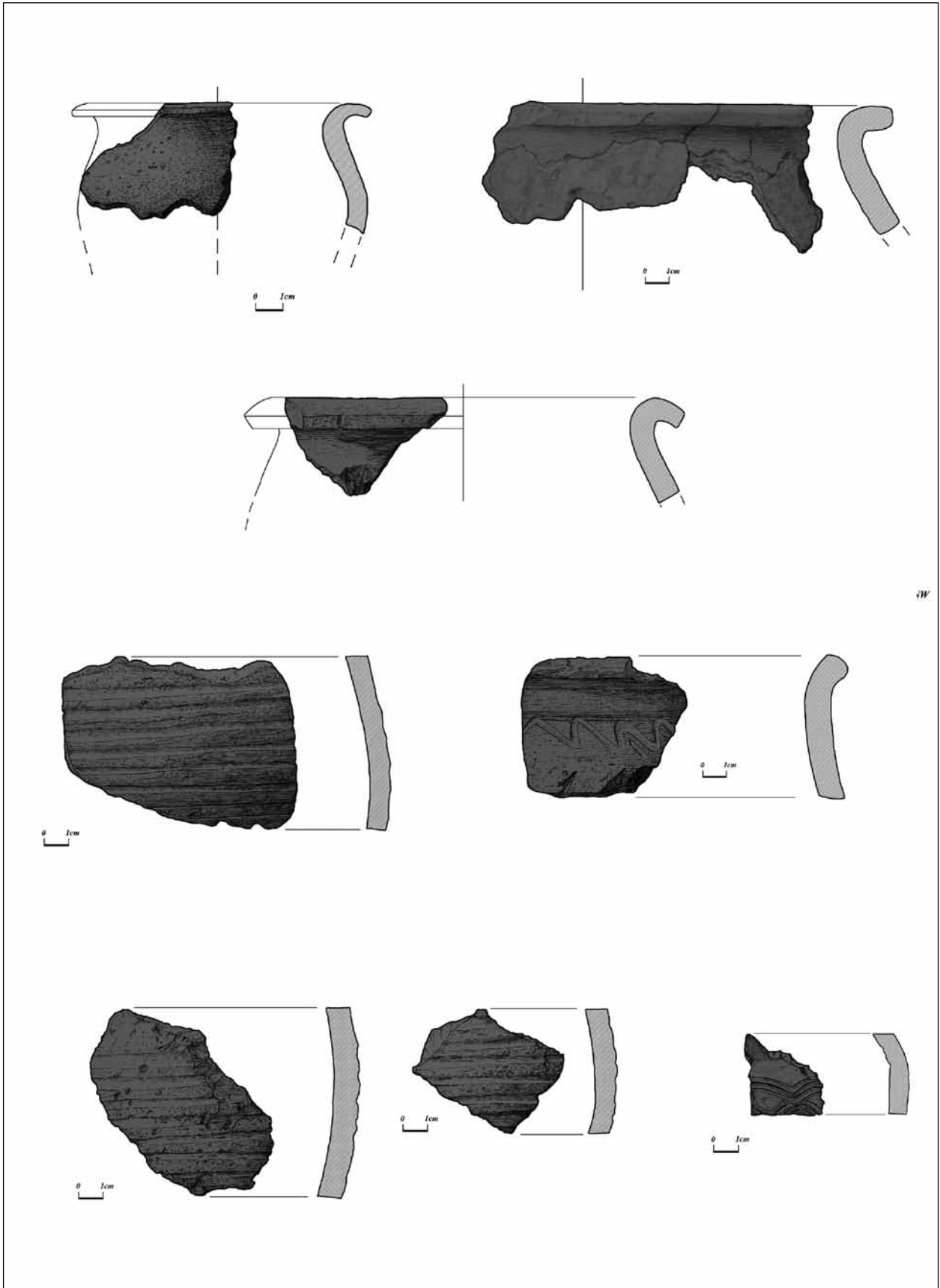
CECHY MORFOLOGICZNE:

1. Formy naczyń: w 2 przypadkach (fragmenty profilów z szyjką i częścią brzuśca) formę naczyń określono jako: esowatą, trójelementową; w 2 kolejnych przypadkach jako: baniastą, trójelementową.
2. Wydętość brzuśca: 2 naczynia z słabo wydętym brzuścem, 2 naczynia z silnie wydętym brzuścem.
3. Typ i kształt linii profilowej wylewu: 2 fragmenty profilu z wylewem średnio odchylonym; 3 fragmenty z wylewem silnie odchylonym od pionowej osi naczynia. Kształt krawędzi profilu zaokrąglony we wszystkich przypadkach.
4. Wielkość naczyń: średnice wylewów: 15, 22 oraz 25 cm; średnice największej wydętości brzuśca: w 1 przypadku określono ją na 22 cm.
5. Ornamentyka naczyń: ornament falisty wykonany grzebykiem (3 i równoległe 4 żłobienia) zanotowano na 2 fragmentach brzuśców pochodzących z 2 naczyń. Wystąpił w górnej części brzuśca i na szyjce naczynia. Ornament w postaci horyzontalnych pasm wykonany grzebykiem zaobserwowano na 4 fragmentach brzuśca, pochodzących z 2 naczyń. W 1 przypadku są to płytkie, niewielkie żłobienia, mocno zagęszczone, w 2 są to poziome żłobki o szerokości ok. 5 mm, prawdopodobnie pokrywały całą powierzchnię naczynia.



Ryc. 4. Wybrane fragmenty naczyń glinianych odkryte w nasypie kurhanu nr 6 (fot. Ł. Miechowicz, oprac. Ł. Miechowicz, A. Chlebicka).

Fig. 4. Selection of clay vessel fragments discovered in the burial mound No. 6 (photo by Ł. Miechowicz, prepared by Ł. Miechowicz, A. Chlebicka).



Ryc. 5. Wybrane fragmenty naczyń glinianych odkryte w nasypie kurhanu nr 6 (oprac. A. Chlebicka, na podstawie rysunków M. Drewki).

Fig. 5. Selection of clay vessel fragments discovered in the burial mound No. 6 (prepared by A. Chlebicka after M. Drewko's drawings).

Kurhan nr 7

Opis i charakterystyka materiału:

W trakcie badań odkryto łącznie 29 pewnych fragmentów naczyń wczesnośredniowiecznych pochodzących z 13 naczyń (kategoria wielkości D) oraz 160 drobnych fragmentów ceramiki, których przynależność chronologiczna i kulturowa była dyskusyjna. Wyróżniono 2 fragmenty den, 2 fragmenty wylewów, 25 fragmentów brzuśców. Ponadto zanotowano kilkadziesiąt drobnych fragmentów ceramiki pradziejowej (Ryc. 6, 7).

CECHY TECHNOLOGICZNE:

1. Technika lepienia i formowania ścianek naczyń: ze względu na znaczne rozdrobnienie materiału zabytkowego ustalenie cech technologicznych naczyń było utrudnione. Naczynia wykonane były metodą wałeczkowo-pierścieniową lub taśmowo-ślizgową. Na 3 fragmentach brzuśca zdobionych linią falistą, pochodzących z 1 naczynia, stwierdzono ślady obtaczania z obu stron.
2. Masa garncarska i rodzaj domieszki: na wszystkich fragmentach widoczna domieszka średnioziarnista tłucznia skalnego (poniżej 1,5 mm) oraz piasku. Na części fragmentów brzuśców widoczne pojedyncze ziarna gruboziarnistego tłucznia. Średniotłusta masa ceramiczna ze średnią ilością domieszki.
3. Ślady zabiegów technicznych na dna naczyń: podsypka z piasku.
4. Grubość ścianek naczyń: w przypadku 2 części przydennej brzuśców 12 i 13 mm, w przypadku pozostałych naczyń między 9 a 11 mm – naczynia średnio-grubościenne.
5. Barwa naczyń: brązowa, szara, ceglasta.

CECHY MORFOLOGICZNE:

1. Typ i kształt linii profilowej wylewu: w przypadku obu fragmentów wylewy słabo wychylone o prostej krawędzi.
2. Typy den: w przypadku obu fragmentów dna płaskie.
3. Wielkość naczyń: średnice wylewów: 16 oraz 12 cm; średnice den: 12 oraz 14 cm.
4. Ornamentyka naczyń:
 - typ ornamentu i miejsce usytuowania: w przypadku 3 fragmentów brzuśca zaobserwowano

ornament w postaci wykonanej rylcem pojedynczej linii falistej; naczynie 2: na fragmencie brzuśca kolejnego naczynia wyróżniono wątek ornamentacyjny w postaci podwójnej linii falistej wykonanej rylcem,

- gęstość, głębokość i szerokość ornamentów: naczynie 1: pojedyncza linia; głębokość żłobka ok. 2–3 mm; naczynie 2: 2 widoczne wątki ornamentowe, odległość pomiędzy nimi ok. 3 cm; głębokość żłobienia ok. 1 mm.

Kurhan nr 8

Opis i charakterystyka materiału:

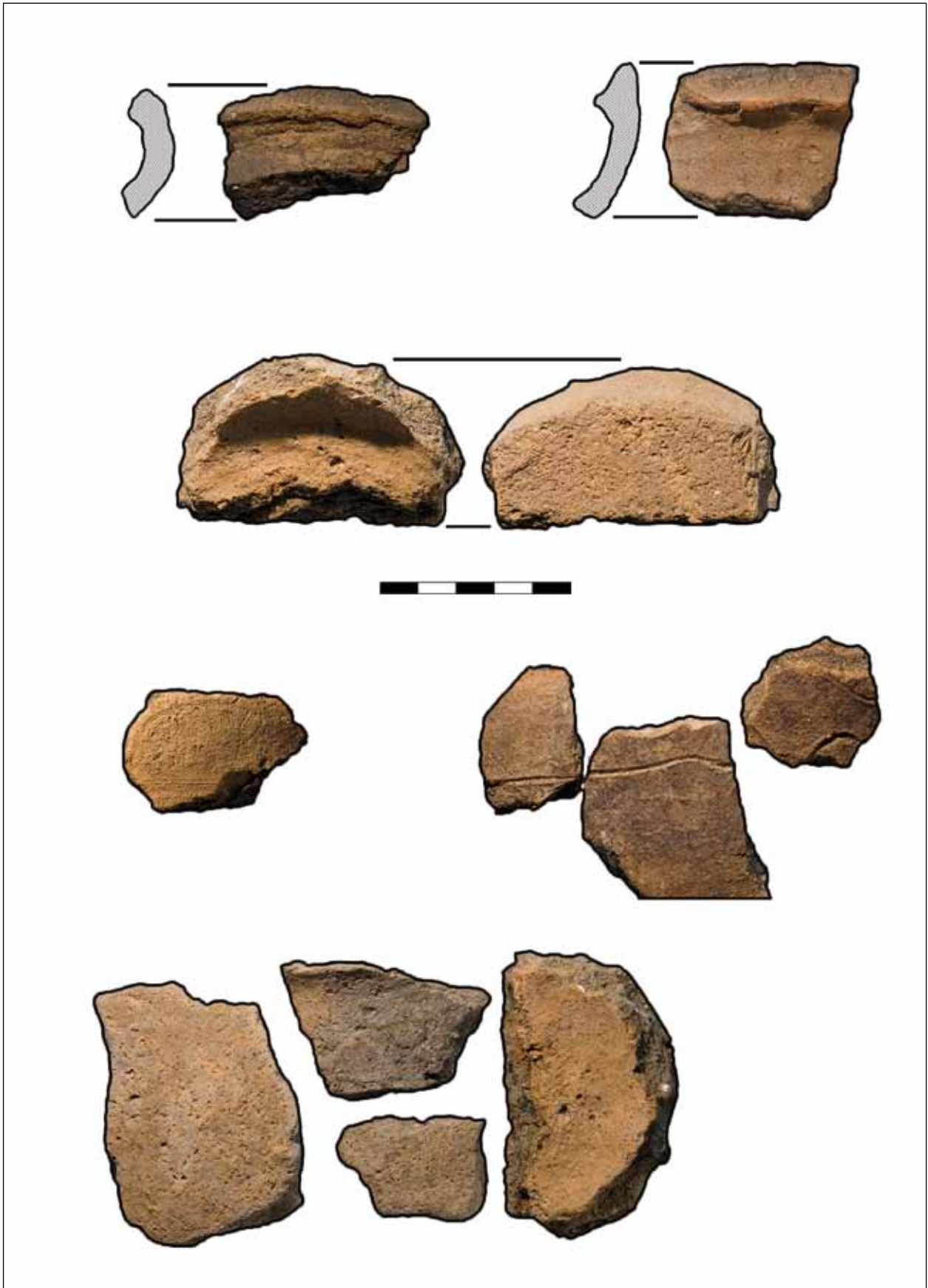
Materiał bardzo silnie rozdrobniony. W trakcie badań odkryto łącznie 47 fragmentów naczyń wczesnośredniowiecznych, ponadto 195 ułamków i okruchów bez cech diagnostycznych. Do analizy technologicznej wybrano 18 fragmentów brzuśców (kategoria wielkościowa C i D), 2 fragmenty dna z 1 naczynia oraz 1 fragment wylewu. Fragmenty pochodzą z co najmniej 9 naczyń. Fragmenty naczyń wczesnośredniowieczne są przemieszane z pradziejowymi. Wystąpiły w górnej części nasypu.

CECHY TECHNOLOGICZNE:

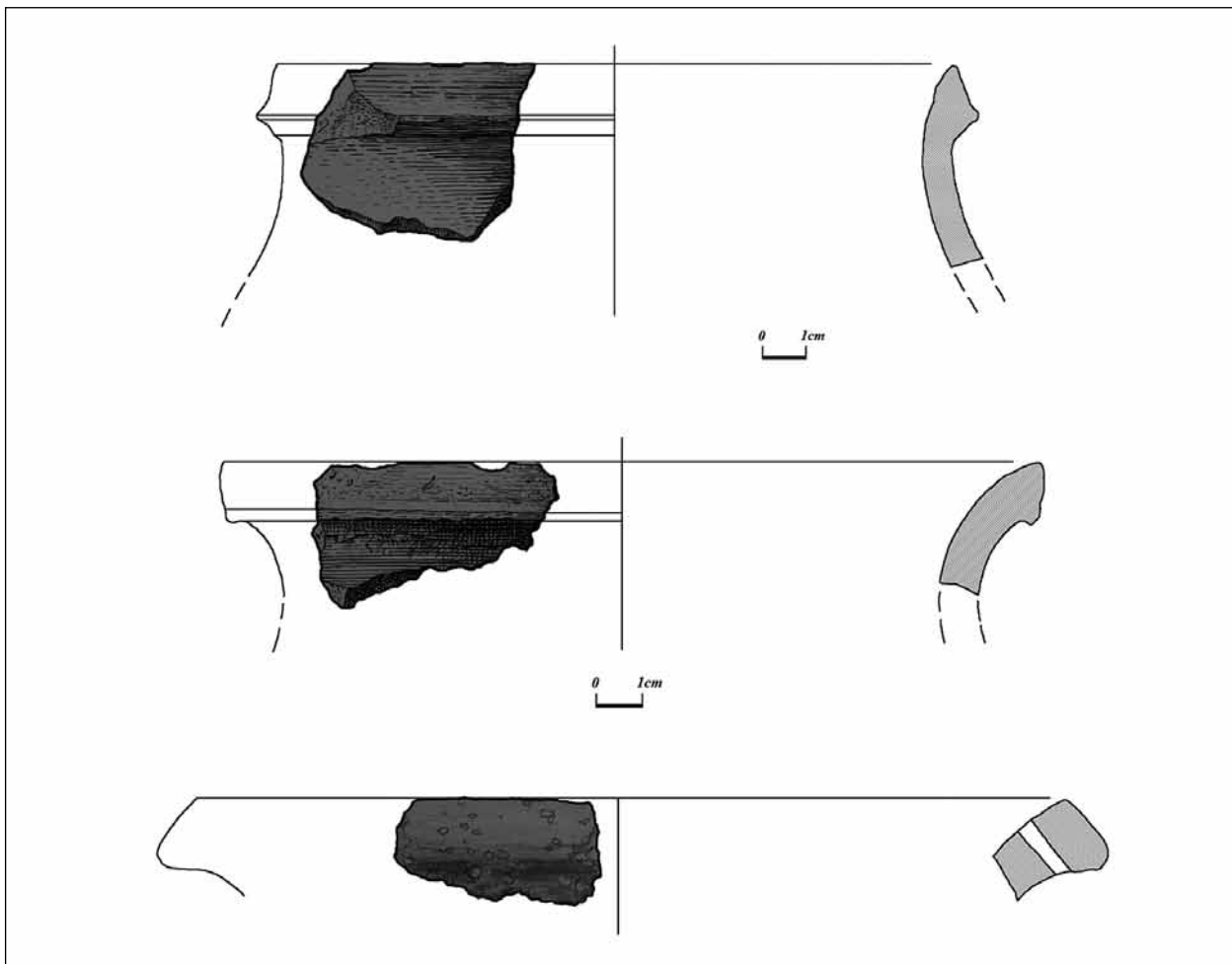
1. Technika lepienia i formowania ścianek naczyń: naczynia lepienie ręcznie. Na fragmentach naczyń nie uchwycono śladów obtaczania. Powierzchnia naczyń wygładzona. Na części fragmentów widoczne ślady technologiczne wykonania ich metodą wałeczkowo-pierścieniową.
2. Masa garncarska i rodzaj domieszki: średnio- i gruboziarnista (pow. 1,5 mm) domieszka tłucznia skalnego widoczna w przelomach i na powierzchni naczyń. Liczne pojedyncze ziarna grubego tłucznia. Masa garncarska średniotłusta.
3. Grubość ścianek naczyń: naczynia średnio- i grubościenne, o grubości ścianek 9–11 oraz 11–13 mm.
4. Barwa naczyń: brunatna i ciemnobrunatna.

CECHY MORFOLOGICZNE:

1. Forma naczyń: nieustalona.
2. Wydętość brzuśca: nieustalona.
3. Typ i kształt linii profilowej wylewu: 1 niewielki fragment, o średnim wychyleniu od pionowej osi naczynia, kształt krawędzi wklęsły.
4. Typy den: w przypadku obu fragmentów dna płaskie.



Ryc. 6. Wybrane fragmenty naczyń glinianych odkryte w nasypie kurhanu nr 7 (fot. Ł. Miechowicz, oprac. Ł. Miechowicz, A. Chlebicka).
Fig. 6. Selection of clay vessel fragments discovered in the burial mound No. 7 (photo by Ł. Miechowicz, prepared by Ł. Miechowicz, A. Chlebicka).



Ryc. 7. Wybrane fragmenty naczyń glinianych odkryte w nasypie kurhanu nr 7 (oprac. A. Chlebicka, na podstawie rysunków M. Drewki).

Fig. 7. Selection of clay vessel fragments discovered in the burial mound No. 7 (prepared by A. Chlebicka after M. Drewko's drawings).

5. Wielkość naczyń: średnica dna 12 cm.
6. Ornamentyka naczyń:
 - typ ornamentu i miejsce usytuowania: w 1 przypadku stwierdzony wątek ornamentowy w postaci pasm horyzontalnych wykonanych grzebkiem. Głębokość żłobienia ok. 1 mm,
 - gęstość, głębokość i szerokość ornamentów: 4 linie, odległe od siebie o szerokość żłobienia.

Kurhan nr 9

Opis i charakterystyka materiału:

Z badań nasypu pochodzi 132 okruchów i drobnych fragmentów naczyń (Ryc. 8). W części przypadków trudno było ustalić ich przynależność kulturową. Ze zbioru wybrano 24 fragmenty należące do 12 naczyń wczesnośredniowiecznych (kategoria wielkościowa D), w przypadku których można było ustalić cechy technologiczne. Przemieszane materia-

ły wczesnośredniowieczne i pradziejowe wystąpiły w każdym z poziomów stratygraficznych rozoranego kopca.

CECHY TECHNOLOGICZNE:

1. Technika lepienia i formowania ścianek naczyń: naczynia lepienie ręczne. Na fragmentach naczyń nie uchwycono śladów obtaczania. Powierzchnia naczyń wygładzona. W nielicznych przełomach widoczne ukośne ślady łączenia taśm.
2. Masa garncarska i rodzaj domieszki: średnio- i gruboziarnista (pow. 1,5 mm) domieszka tłuczni skalnego widoczna w przełomach i na powierzchni naczyń. Masa garncarska średniotłusta i tłusta.
3. Grubość ścianek naczyń: naczynia średnio i grubocienne, grubość ścianek 7–11 oraz 11–13 mm.
4. Barwa naczyń: barwa większych fragmentów jasnobrunatna.



Ryc. 8. Wybrane fragmenty naczyń glinianych odkryte w nasypie kurhanu nr 7 (fot. i oprac. Ł. Miechowicz).

Fig. 8. Selection of clay vessel fragments discovered in the burial mound No. 7 (photo and prepared by Ł. Miechowicz).

CECHY MORFOLOGICZNE

1. Ornamentyka naczyń:

- typ ornamentu i miejsce usytuowania: pojedyncza pozioma linia, wykonana rylcem, ornament zaobserwowany na 3 fragmentach brzuśców 3 naczyń; głębokość żłobienia ok. 1 mm.

Kurhan nr 10

Opis i charakterystyka materiału:

Z powierzchni nasypu (0–20 cm) pochodzi 10 fragmentów naczyń wczesnośredniowiecznych. Fragmenty naczyń nie posiadają cech diagnostycznych ani zdobień (Ryc. 9). Wśród nich tylko jeden jest większy, o barwie żółto-brunatnej, ze śladami obtaczania, średnią domieszką gruboziarnistego tłucznia skalnego, o grubości ścianek 9–11 mm.

Kurhan nr 11

Opis i charakterystyka materiału:

U podstawy kopca odkryto 6 fragmentów wczesnośredniowiecznych naczyń. W rowie przykurhanowym na głębokości 45–50 cm odkryto 5 fragmentów brzuśca i 2 fragmenty wylewu (1 duży fragment

sięgający maksymalne wydętości brzuśca), pochodzące z 1 naczynia (Ryc. 10); materiał ten uchwycono w trakcie badań kurhanu nr 9 (na przedłużeniu profilu NS częściowo zagłębiono się w rów przykurhanowy kurhanu nr 11).

CECHY TECHNOLOGICZNE:

1. Technika lepienia i formowania ścianek naczyń: naczynie lepienie ręcznie. Należy do GT III. W przełomach widoczne ślady wykonania naczynia metodą wałeczkowo-pierścieniową, na części fragmentów zaobserwowano ukośne ślady łączenia taśm.
2. Masa garncarska i rodzaj domieszki: domieszka średnioziarnista (poniżej 1,5 mm) tłucznia skalnego; masa garncarska chuda (duża ilość domieszki).
3. Grubość ścianek naczyń: grubość ścianki na wysokości brzuśca 7 mm, przy profilu 9 mm – naczynie średnio-grubościenne.
4. Barwa naczyń: brunatna.

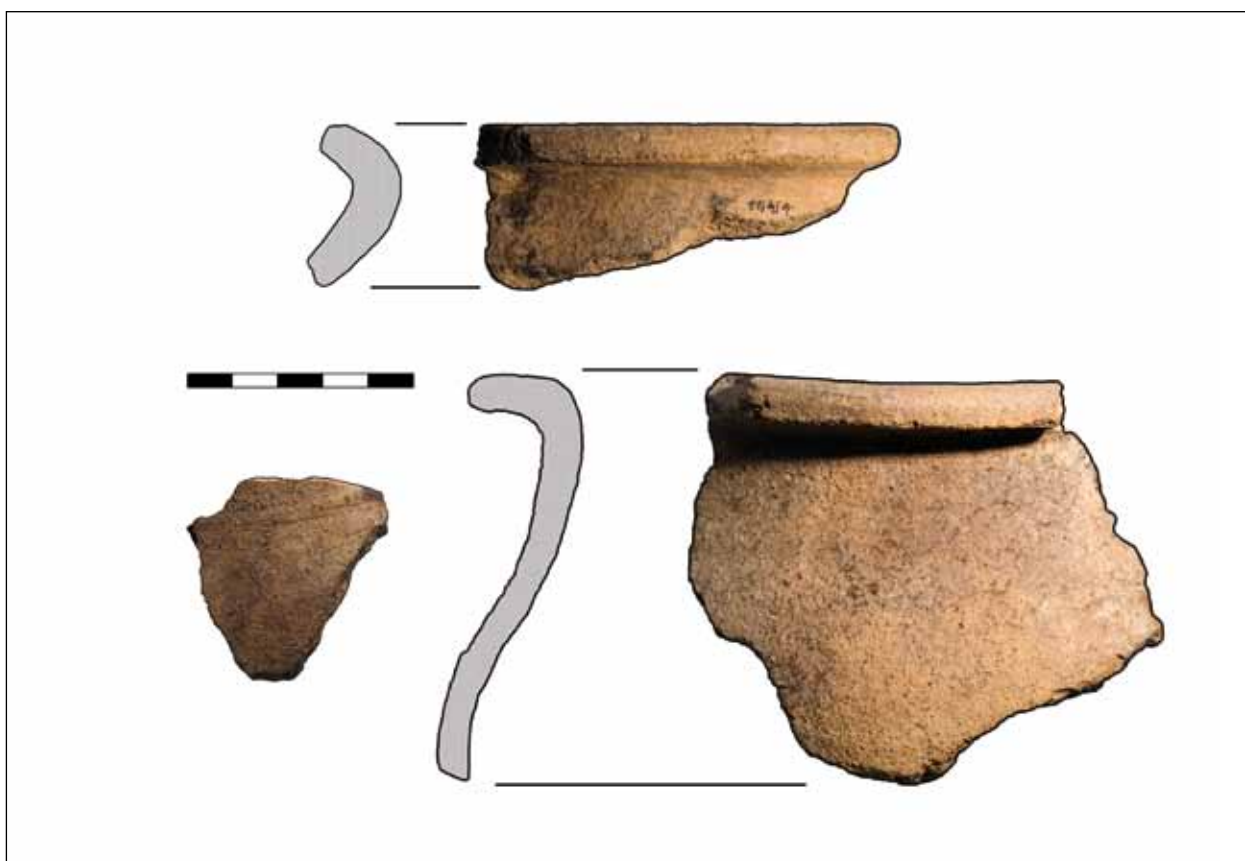
CECHY MORFOLOGICZNE:

1. Forma naczyń: naczynie posiada formę esowatą, trójelementową.



Ryc. 9. Wybrane fragmenty naczyń glinianych odkryte w nasypie kurhanu nr 10 (fot. i oprac. Ł. Miechowicz).

Fig. 9. Selection of clay vessel fragments discovered in the burial mound No. 10 (photo and prepared by Ł. Miechowicz).



Ryc. 10. Wybrane fragmenty naczyń glinianych odkryte w nasypie kurhanu nr 11 (fot. i oprac. Ł. Miechowicz).

Fig. 10. Selection of clay vessel fragments discovered in the burial mound No. 11 (photo and prepared by Ł. Miechowicz).

2. Wydętość brzuśca: brzusiec o średniej wydętości, najprawdopodobniej z średnio umieszczoną maksymalną wydętością.
3. Typ i kształt linii profilowej wylewu: linia profilowa o silnym (ok 45 stopni) wychyleniu względem pionowej osi naczynia. Kształt krawędzi wylewu prosty.
4. Wielkość naczyń: średnica wylewu: 23 cm; średnica największej wydętości brzuśca: 21 cm.

Kurhan nr 12

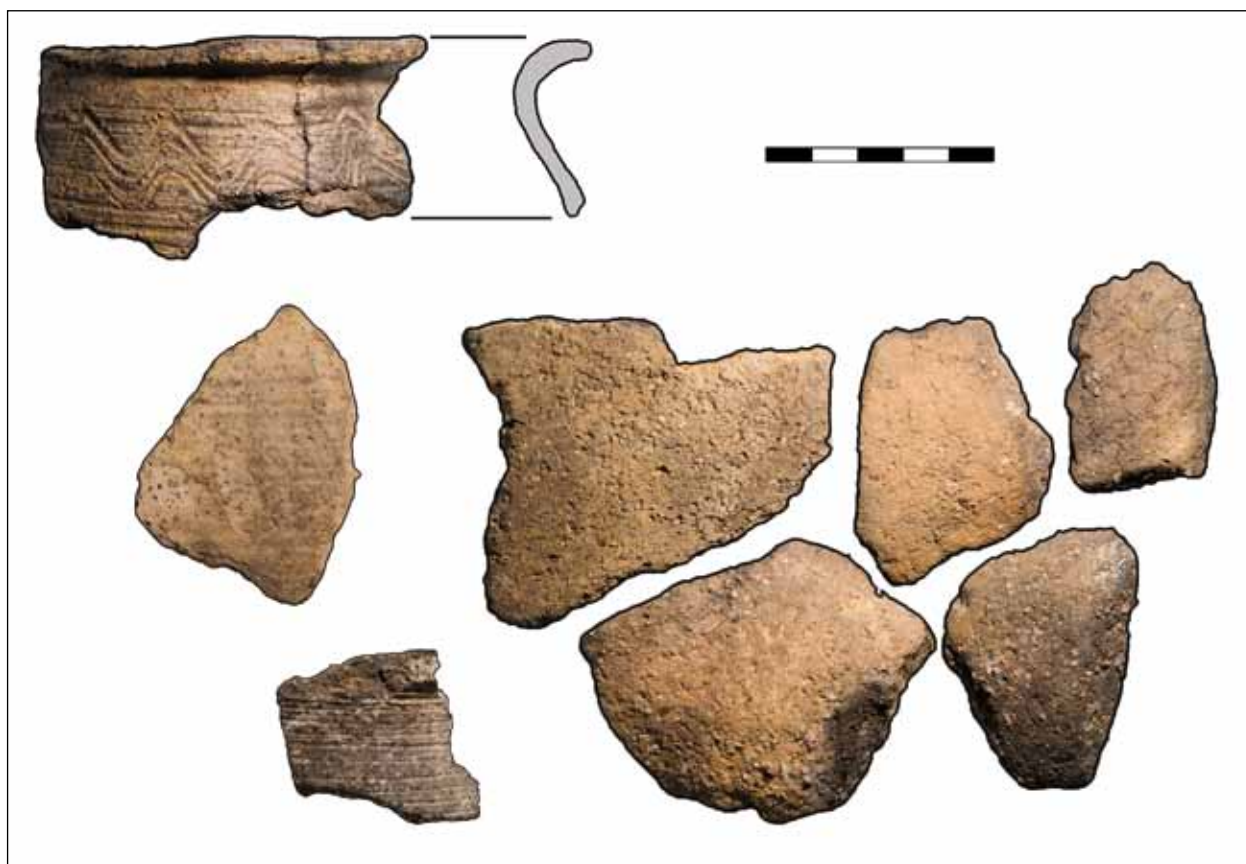
Opis i charakterystyka materiału:

Z badań kurhanu pochodzi znalezisko 244 fragmentów ceramiki naczyniowej. W większości są to okruchy i bardzo drobne fragmenty brzuśców. Z wczesnośredniowiecznych fragmentów diagnostycznych zanotowano 1 fragment wylewu z górną częścią brzuśca, 6 fragmentów brzuśców 4 naczyń oraz 3 duże fragmenty dna 3 naczyń (Ryc. 11, 12).

Na 4 fragmentach zaobserwowano ornament w postaci poziomych linii. Ceramika w części była przemieszana z prądziejową.

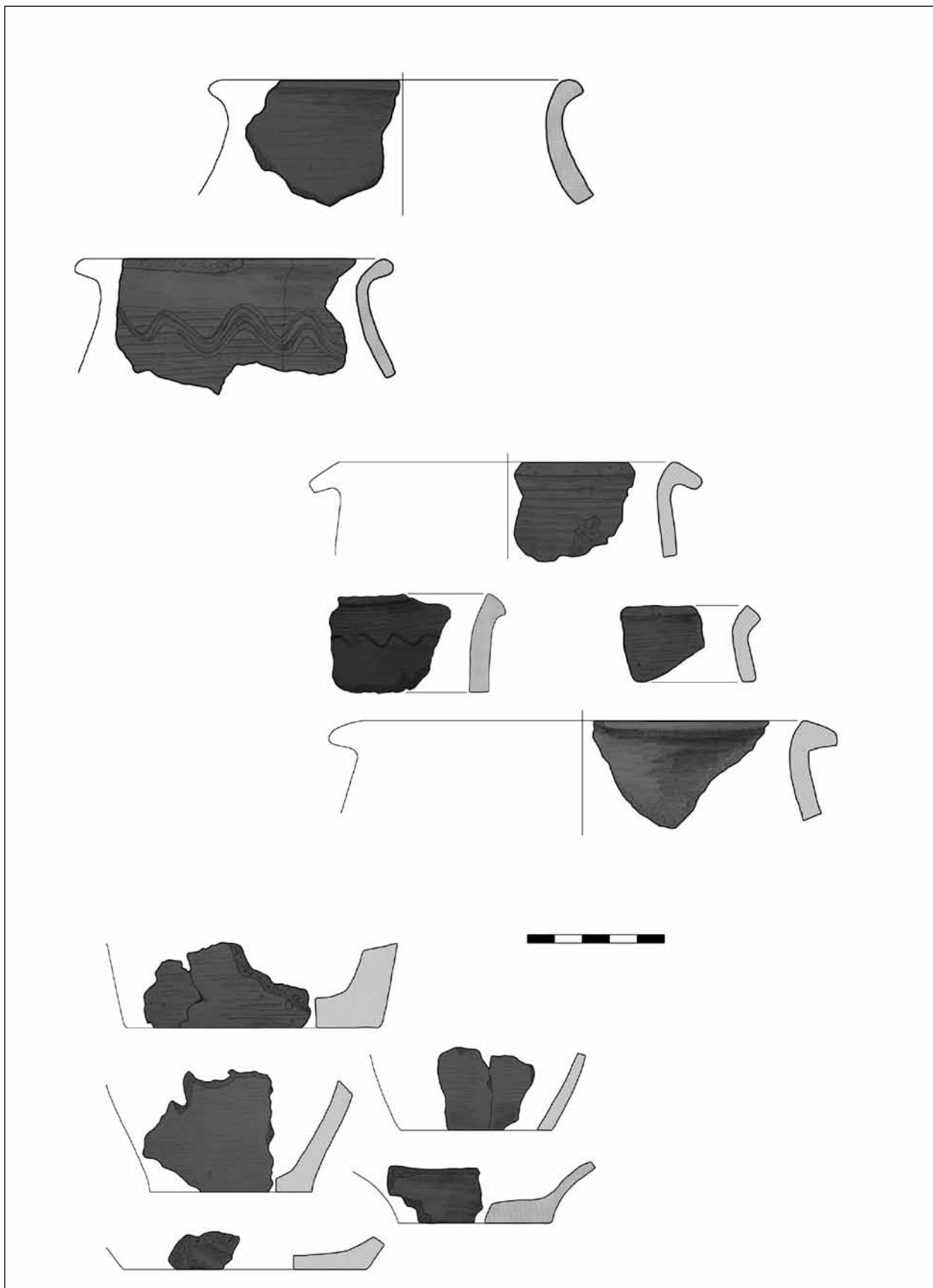
CECHY TECHNOLOGICZNE:

1. Technika lepienia i formowania ścianek naczyń: naczynia lepienie ręczne. Na 2 fragmentach stwierdzono w górnej partii naczynia ślady obtaczania, które wystąpiły również na 1 fragmencie przydennej części brzuśca. W przełomach widoczne ukośne ślady łączenia taśm.
2. Masa garncarska i rodzaj domieszki: domieszkę stanowił drobno- i gruboziarnisty tłuczeń skalny z dodatkiem drobnoziarnistej domieszki piasku. W przypadku jednego naczynia domieszkę stanowił gruboziarnisty tłuczeń skalny, wyraźnie widoczny w przełomach i na powierzchni naczynia.
3. Ślady zabiegów technicznych na dna naczyń: podsypka z piasku.



Ryc. 11. Wybrane fragmenty naczyń glinianych odkryte w nasypie kurhanu nr 12 (fot. Ł. Miechowicz, oprac. Ł. Miechowicz, A. Chlebicka).

Fig. 11. Selection of clay vessel fragments discovered in the burial mound No. 12 (photo by Ł. Miechowicz, prepared by Ł. Miechowicz, A. Chlebicka).



Ryc. 12. Wybrane fragmenty naczyń glinianych odkryte w nasypie kurhanu nr 12 (oprac. A. Chlebicka).

Fig. 12. Selection of clay vessel fragments discovered in the burial mound No. 12 (prepared by A. Chlebicka).

4. Grubość ścianek naczyń: naczynia średnio-grubościenne: 7–11 mm.
5. Barwa naczyń: jasnobrunatna oraz ciemnobrunatna.

CECHY MORFOLOGICZNE:

1. Forma naczyń: w przypadku 1 dużego fragmentu wylewu zachowanego z górną partią brzuśca ustalono formę naczynia jako esowatą.
2. Wydętość brzuśca: średnia wydętość brzuśca umieszczona w środkowej partii naczynia.
3. Typ i kształt linii profilowej wylewu: 1 wylew o średnim wychyleniu od pionowej osi naczynia, kształt krawędzi zaokrąglony.
4. Typy den: płaskie.
5. Wielkość naczyń: średnica wylewu: 1 fragment 10 cm; średnice den: 6, 9, 11 cm; średnica największej wydętości brzuśca: 1 fragment 9 cm; wysokość naczynia: w 1 przypadku ok. 10–12 cm.
6. Ornamentyka naczyń:
 - typ ornamentu i miejsce usytuowania: naczynie 1: stwierdzony wątek ornamentowy w postaci falistych linii wykonanych grzebykiem, składających się z 4 żłobień oraz poziomych żłobień

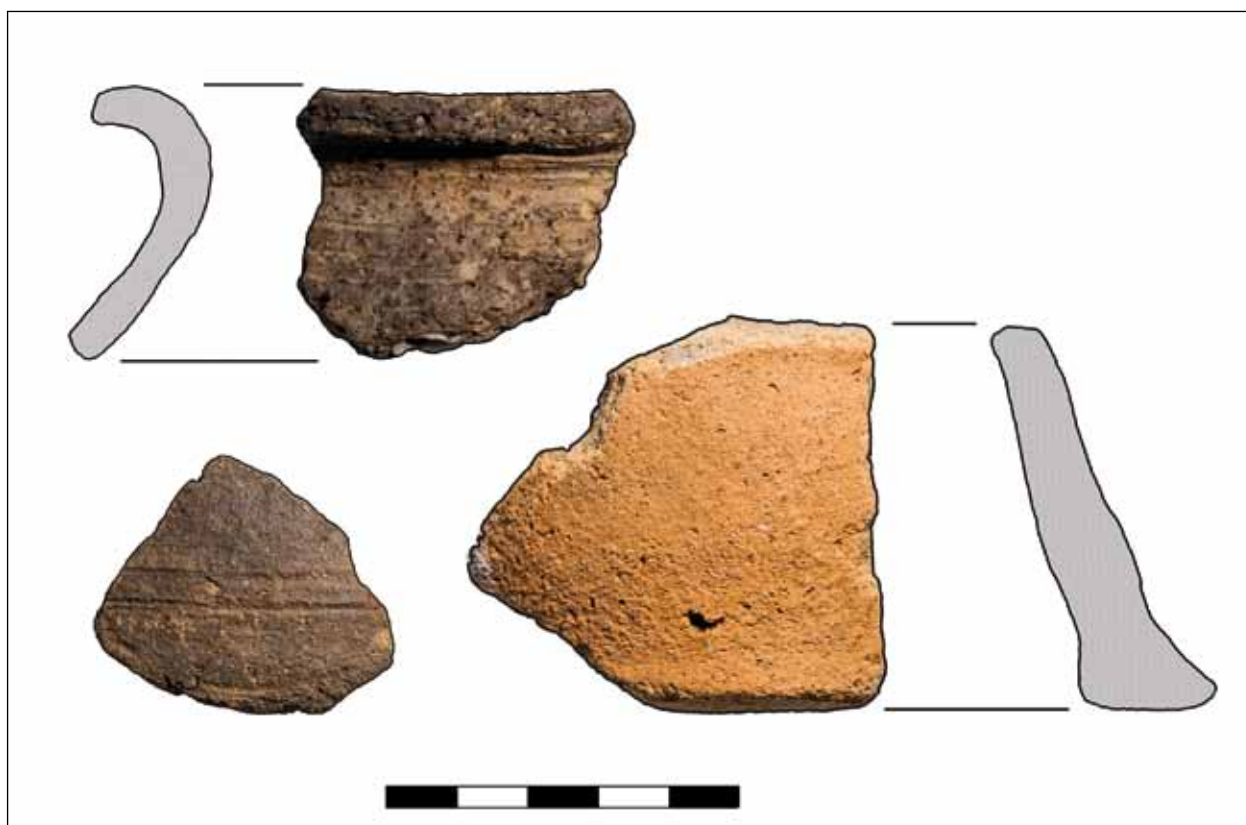
również wykonanych grzebykiem – naczynie o ornamentie wielowątkowym, nachodzącym na siebie; naczynie 2, 3 i 4: na fragmencie brzuśca ornament w postaci poziomych żłobień,

- gęstość, głębokość i szerokość ornamentów: naczynie 1: 4 żłobienia tworzące linię falistą o głębokości ok. 1 mm, szerokości 2 mm, odległe od siebie o szerokość żłobienia. Wątek horyzontalny o podobnych parametrach; naczynie 2: głębokość żłobków ok. 1 mm, szerokość 4 mm; naczynia 3 i 4: głębokość żłobień ok. 1 mm, szerokość ok. 2 mm.

Kurhan nr 20

Opis i charakterystyka materiału:

Z badań kurhanu pochodzi 158 fragmentów ceramiki wczesnośredniowiecznej, w tym 145 drobnej i średniej wielkości (kategorii C i D) należących do kilkudziesięciu naczyń (min. 30) (Ryc. 13). 2 fragmenty posiadają ornament w postaci linii falistej oraz linii poziomych. Odkryto również 7 fragmentów (kategoria wielkości D) wylewów 6 naczyń oraz 6 fragmentów den 4 naczyń.



Ryc. 13. Wybrane fragmenty naczyń glinianych odkryte w nasypie kurhanu nr 20 (fot. Ł. Miechowicz, oprac. Ł. Miechowicz, A. Chlebicka).

Fig. 13. Selection of clay vessel fragments discovered in the burial mound No. 20 (photo by Ł. Miechowicz, prepared by Ł. Miechowicz, A. Chlebicka).

CECHY TECHNOLOGICZNE:

1. Technika lepienia i formowania ścianek naczyń: naczynia lepiące ręcznie. Na 4 fragmentach stwierdzono obtaczanie w górnej partii naczynia, w ich przełomach widoczne ukośne ślady łączenia taśm. Część fragmentów naczyń wykonanych metodą wałeczkowo-pierścieniową.
2. Masa garncarska i rodzaj domieszki: domieszkę stanowił drobno- i gruboziarnisty tłuczeń skalny z dodatkiem drobnoziarnistej domieszki piasku. W przypadku jednego z fragmentów wylewu domieszkę stanowił gruboziarnisty tłuczeń skalny, wyraźnie widoczny w przełomach i na powierzchni naczynia.
3. Grubość ścianek naczyń: naczynia średnio-grubościenne (7–11 mm) i grubościenne (11–15 mm).
4. Barwa naczyń: jasnobrunatna oraz ciemnobrunatna, ceglasta.

CECHY MORFOLOGICZNE:

1. Forma naczyń: w 2 przypadkach naczynia esowate.
2. Typ i kształt linii profilowej wylewu: 6 fragmentów wylewów o silnym wychyleniu, i prostej krawędzi, 1 fragment o średnim wychyleniu w stosunku do pionowej osi naczynia i zaokrąglonej krawędzi.
3. Typy den: płaskie.

4. Wielkość naczyń: średnice wylewów: 22, 17, 15 cm; średnice den: 7 i 10 cm.
5. Ornamentyka naczyń:
 - typ ornamentu i miejsce usytuowania: na 2 fragmentach stwierdzony ornament w postaci poziomych dookólnych żłobień; głębokość żłobków ok. 1 mm, szerokość 2 mm.

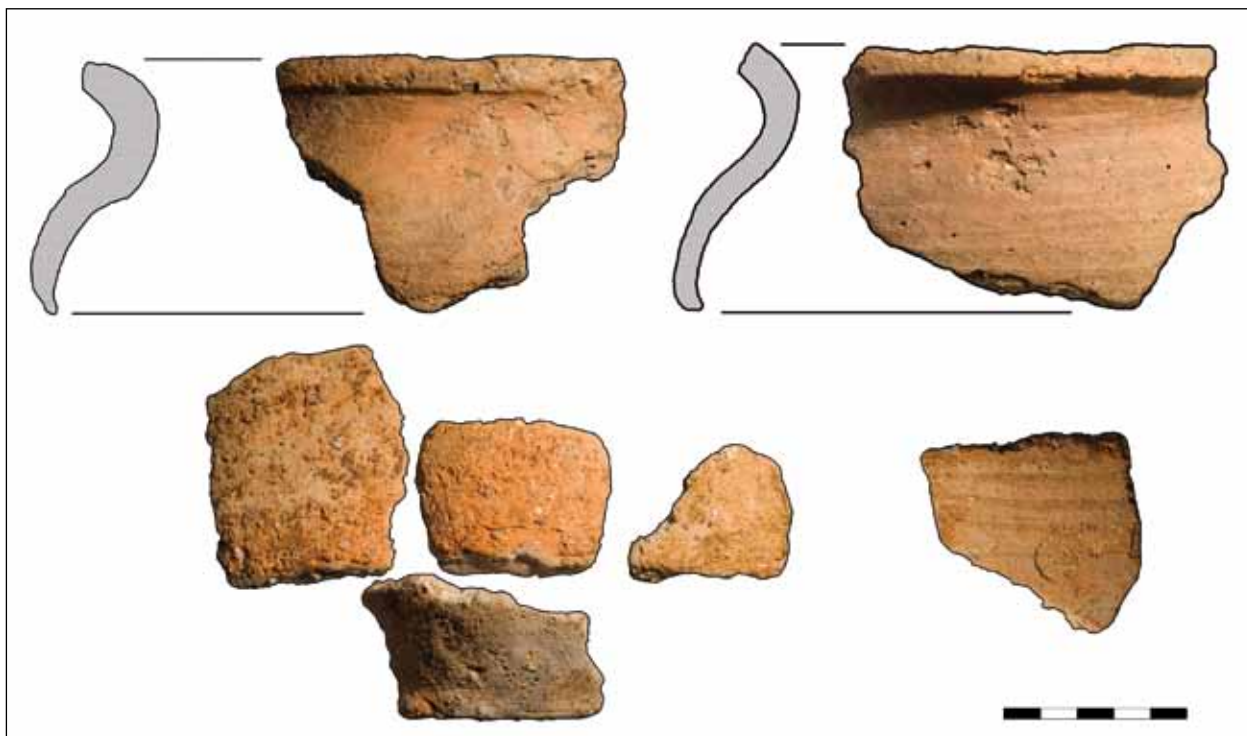
Kurhan nr 24

Opis i charakterystyka materiału:

Z badań kurhanu nr 24 pochodzi 466 fragmentów naczyń wczesnośredniowiecznych. W większości są to bardzo drobne fragmenty, bez cech diagnostycznych. Do analiz wybrano 11 większych fragmentów kategorii wielkościowej A oraz B (Ryc. 14–16).

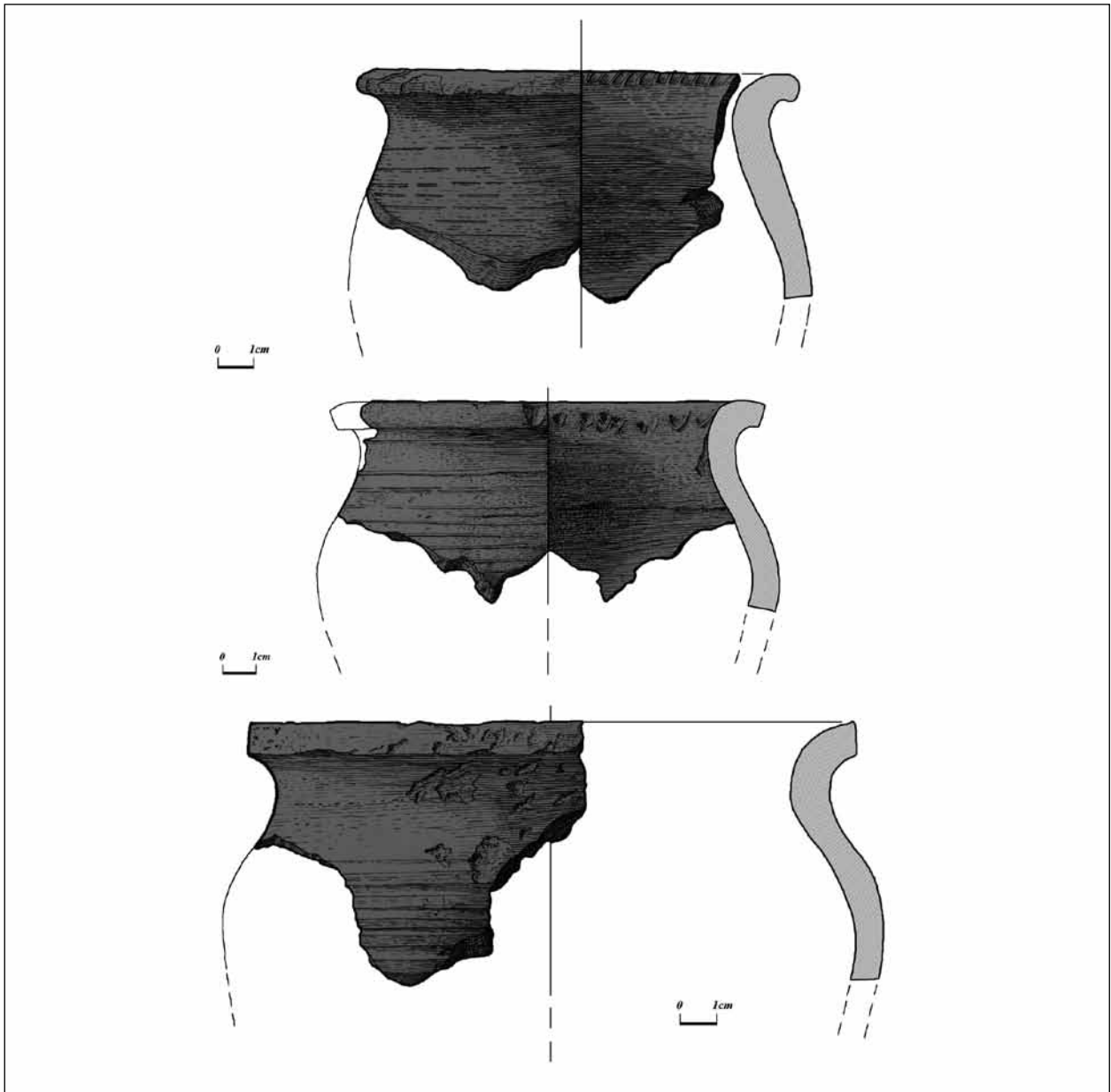
CECHY TECHNOLOGICZNE:

1. Technika lepienia i formowania ścianek naczyń: naczynia lepiące ręcznie. Widoczne ślady obtaczania górnej partii naczyń.
2. Masa garncarska i rodzaj domieszki: domieszkę stanowił drobno- i gruboziarnisty tłuczeń skalny z dodatkiem drobnoziarnistej domieszki piasku.



Ryc. 14. Wybrane fragmenty naczyń glinianych odkryte w nasypie kurhanu nr 24 (fot. Ł. Miechowicz, oprac. Ł. Miechowicz, A. Chlebicka).

Fig. 14. Selection of clay vessel fragments discovered in the burial mound No. 24. (photo by Ł. Miechowicz, prepared by Ł. Miechowicz, A. Chlebicka).



Ryc. 15. Wybrane fragmenty naczyń glinianych odkryte w nasypie kurhanu nr 24 (oprac. A. Chlebicka, na podstawie rysunków M. DREWKI).

Fig. 15. Selection of clay vessel fragments discovered in the burial mound No. 24 (prepared by A. Chlebicka after M. DREWKO's drawings).

3. Grubość ścianek naczyń: naczynia średnio-grubościenne (8–12 mm).
4. Barwa naczyń: jasnobrunatna.

CECHY MORFOLOGICZNE:

1. Forma naczyń: w 3 przypadkach naczynia esowate.
2. Typ i kształt linii profilowej wylewu: 3 fragmenty wylewów o średnim wychyleniu, i prostej oraz zaokrąglonej krawędzi.
3. Typy den: płaskie.
4. Wielkość naczyń: średnice wylewów: 24, 22, 19 cm; średnica dna: 8 cm.

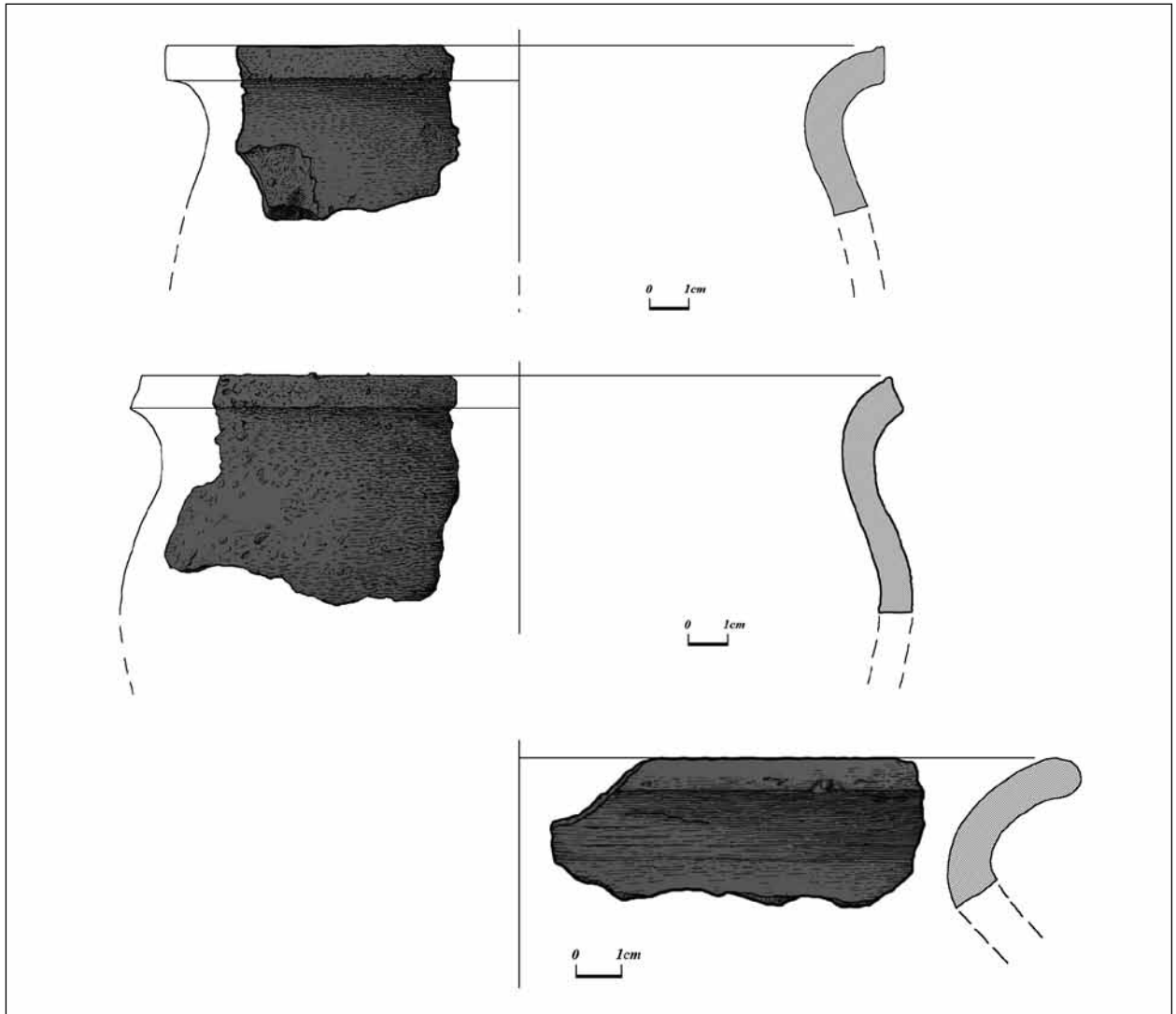
5. Ornamentyka naczyń:

- typ ornamentu i miejsce usytuowania: w przypadku trzech naczyń stwierdzony ornament w postaci poziomych dookólnych żłobień na szyjce oraz brzuścach; głębokość żłobków ok. 1–1,5 mm, szerokość 1,5–2 mm.

Kurhan nr 25

Opis i charakterystyka materiału:

W trakcie badań kurhanu nr 25 odkryto 659 fragmentów wczesnośredniowiecznej ceramiki



Ryc. 16. Wybrane fragmenty naczyń glinianych odkryte w nasypie kurhanu nr 24 (oprac. A. Chlebicka, na podstawie rysunków M. Drewki).

Fig. 16. Selection of clay vessel fragments discovered in the burial mound No. 24 (prepared by A. Chlebicka after M. Drewko's drawings).

naczyniowej, w tym 15 fragmentów den, 14 fragmentów wylewów (Ryc. 17, 18). Większość znalezisk stanowią okruchy i bardzo drobne ułamki naczyń, zaliczone do kategorii wielkościowej D. Nie zachowały się większe diagnostyczne fragmenty, 40 fragmentów należy zaliczyć do kategorii wielkościowej C.

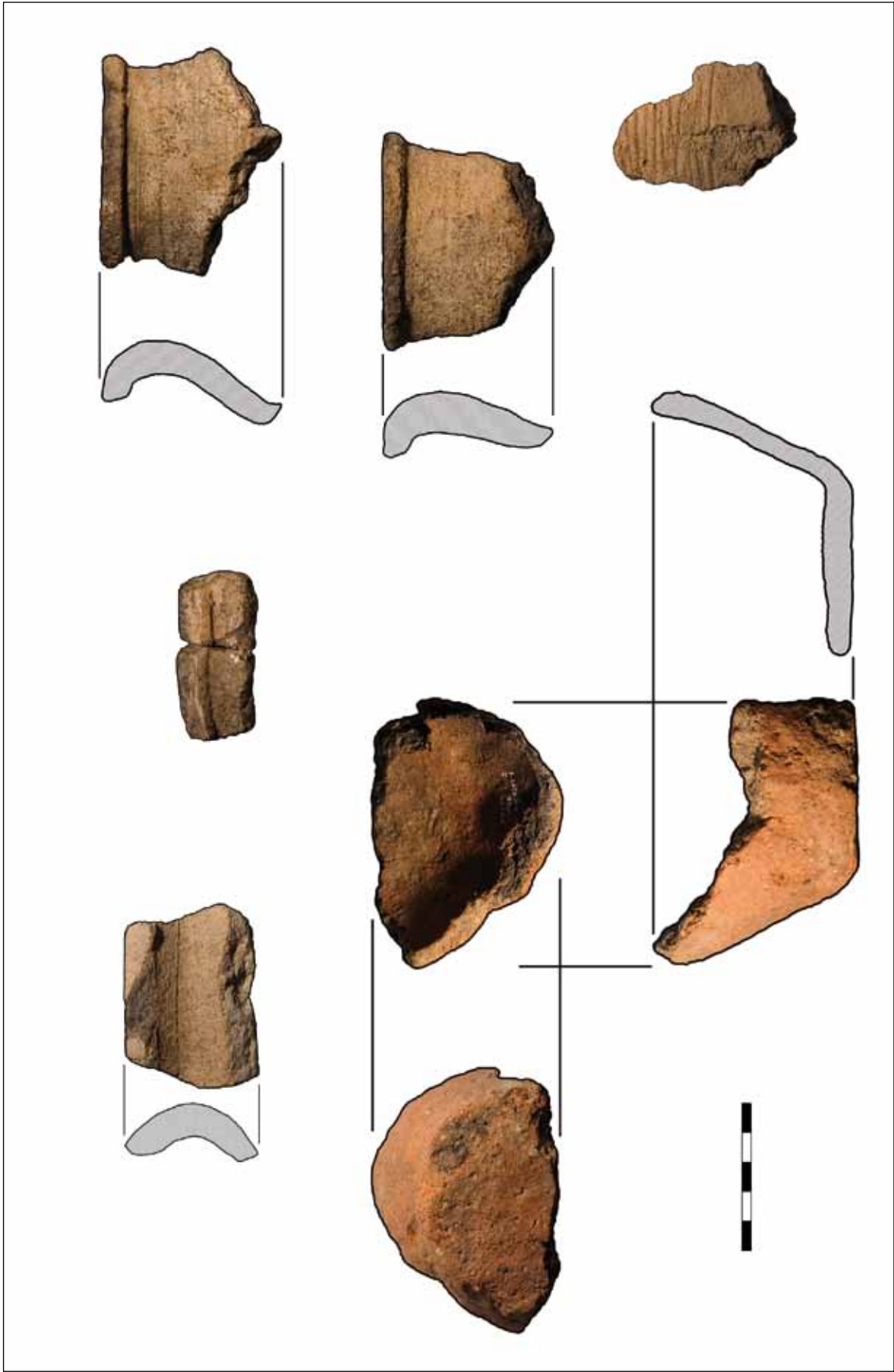
CECHY TECHNOLOGICZNE:

1. Technika lepienia i formowania ścianek naczyń: naczynia lepienie ręczne. Widoczne ślady obtaczania górnej partii naczyń. Widoczne ślady technologiczne użycia techniki wałeczkowo-pierścieniowej oraz taśmowo-ślizgowej.

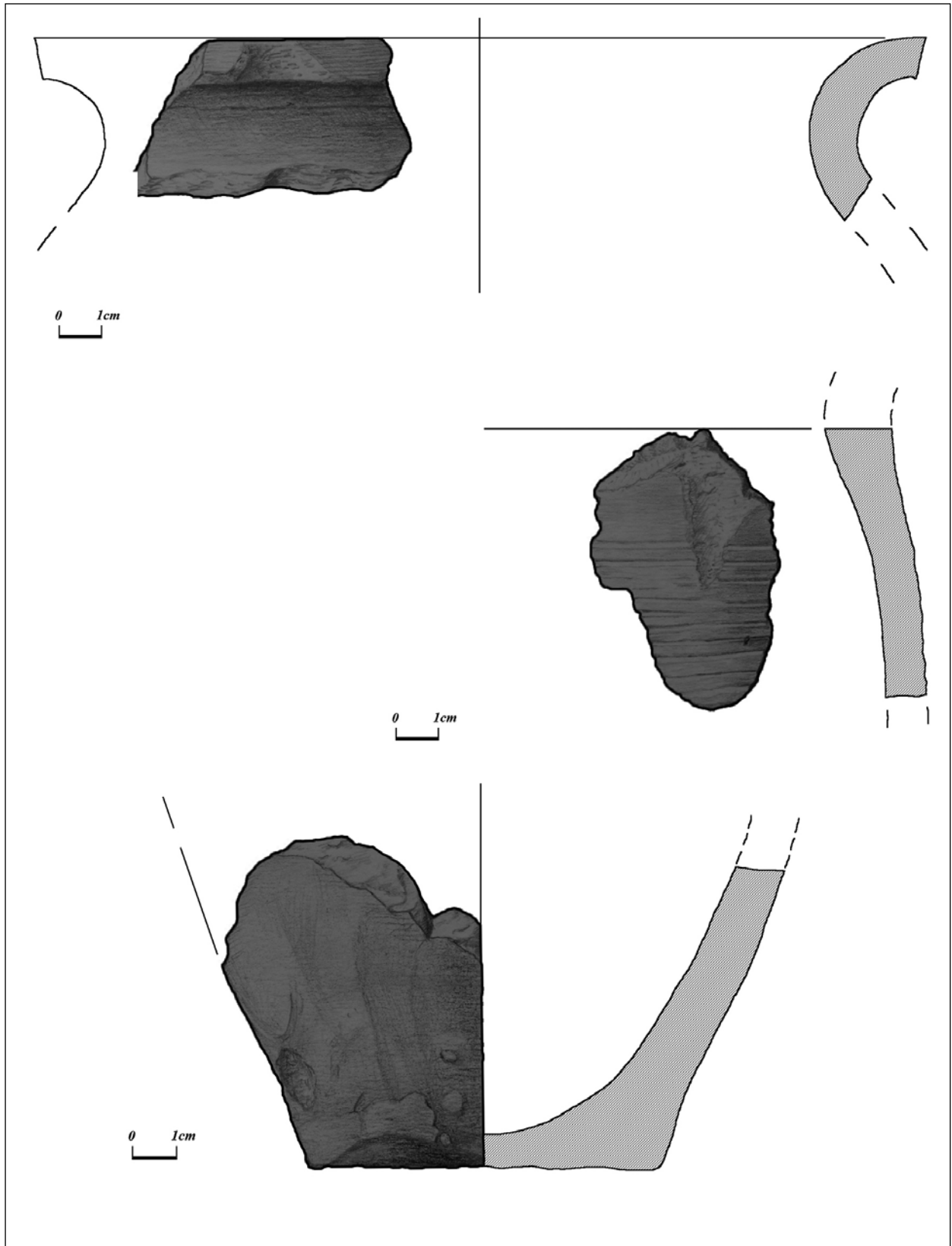
2. Masa garncarska i rodzaj domieszki: domieszkę stanowił drobno- i gruboziarnisty tłuczeń skalny z dodatkiem drobnoziarnistej domieszki piasku.
3. Grubość ścianek naczyń: naczynia średnio-grubościenne (7–11 mm).
4. Barwa naczyń: brunatna.

CECHY MORFOLOGICZNE:

1. Forma naczyń: w 3 przypadkach naczynia esowate
2. Typ i kształt linii profilowej wylewu: 2 fragmenty wylewów o średnim wychyleniu, i prostej krawędzi; 1 fragment wylewu o silnym wychyleniu.
3. Typy den: płaskie.
4. Wielkość naczyń: średnice wylewów: 22, 21, 17 cm; średnica dna: 9 cm.



Ryc. 17. Wybrane fragmenty naczyń glinianych odkryte w nasypie kurhanu nr 24 (fot. L. Miechowicz, oprac. L. Miechowicz, A. Chlebicka).
 Fig. 17. Selection of clay vessel fragments discovered in the burial mound No. 24 (photo by L. Miechowicz, prepared by L. Miechowicz, A. Chlebicka).



Ryc. 18. Wybrane fragmenty naczyń glinianych odkryte w nasypie kurhanu nr 25 (oprac. A. Chlebicka, na podstawie rysunków M. Drewki).
 Fig. 18. Selection of clay vessel fragments discovered in the burial mound No. 25 (prepared by A. Chlebicka after M. Drewko's drawings).

5. Ornamentyka naczyń:

- typ ornamentu i miejsce usytuowania: w przypadku 9 fragmentów brzuśca oraz szyjek naczyń ornament w postaci poziomych dookólnych żłobień; głębokość żłobienia 1–1,5 mm, szerokość 2–3 mm.

Kurhan nr 27

Opis i charakterystyka materiału:

W trakcie badań kurhanu nr 27 odkryto 1097 fragmentów wczesnośredniowiecznej ceramiki naczyniowej, w tym 18 fragmentów den, 33 fragmenty wylewów (Ryc. 19–21). Ornament zanotowano na 7 fragmentach. Większość znalezisk stanowią okruchy i bardzo drobne ułamki naczyń, zaliczone do kategorii wielkościowej D. Nie zachowały się większe diagnostyczne fragmenty, 40 fragmentów należy zaliczyć do kategorii wielkościowej C.

CECHY TECHNOLOGICZNE:

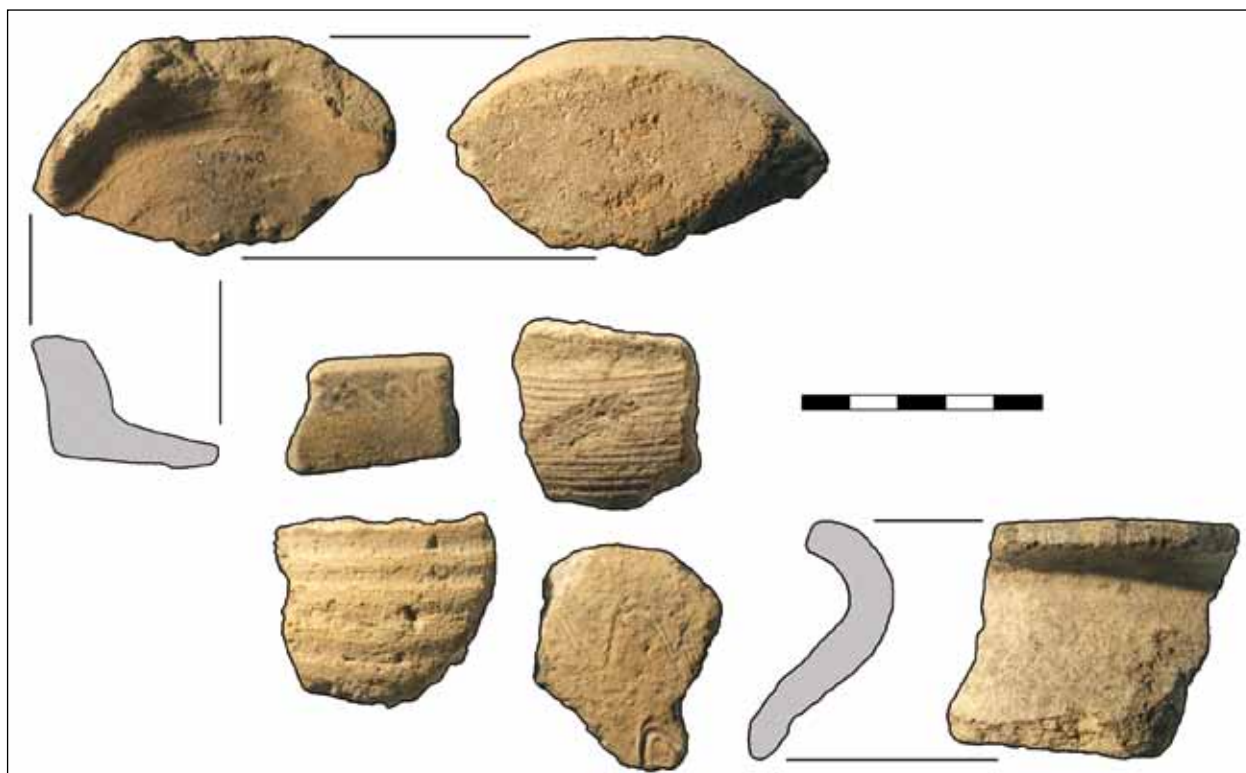
1. Technika lepienia i formowania ścianek naczyń: naczynia lepiące ręcznie. W przełomach widoczne ślady zastosowania metody wałeczkowo pierścieniowej. Na 5 fragmentach widoczne ślady łączenia

taśm. W górnych partiach brzuśca jednego naczynia widoczne ślady obtaczania.

2. Masa garncarska i rodzaj domieszki: w większości przypadków (30 fragmentów) domieszkę stanowił drobnoziarnisty piasek i średnioziarnisty tłuczeń skalny, którego pojedyncze ziarna widoczne są w przełomach i na powierzchni. W kolejnych fragmentach widoczna jest domieszka drobno- i gruboziarnistego tłucznia skalnego.
3. Ślady zabiegów technicznych na dna naczyń: podsypka piasku i drobnoziarnistego tłucznia skalnego.
4. Grubość ścianek naczyń: naczynia średnio-grubościenne (7–9 mm).
5. Barwa naczyń: szara, brązowa, ceglasta.

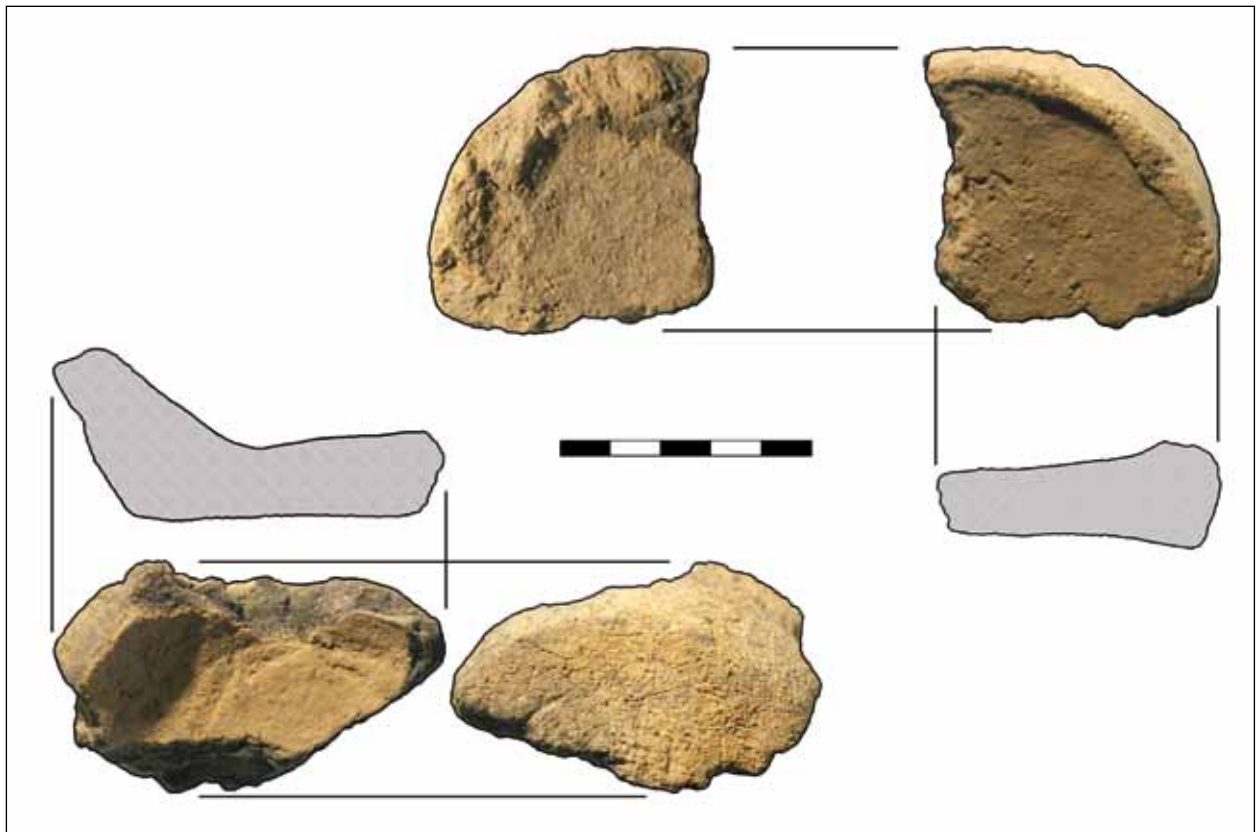
CECHY MORFOLOGICZNE:

1. Forma naczyń: w 1 przypadku esowata.
2. Typ i kształt linii profilowej wylewu: 1 fragment wylewu o średnim wychyleniu w stosunku do osi pionowej naczynia i prostej krawędzi; 3 fragmenty wylewu jednego naczynia o silnym odchyleniu względem pionowej osi naczynia i prostej krawędzi.
3. Typy den: płaskie oraz wklęsłe.
4. Wielkość naczyń: średnice wylewów: 14 i 16 cm; średnice den: 8 oraz 9 cm.



Ryc. 19. Wybrane fragmenty naczyń glinianych odkryte w nasypie kurhanu nr 27 (fot. Ł. Miechowicz, oprac. Ł. Miechowicz, A. Chlebicka).

Fig. 19. Selection of clay vessel fragments discovered in the burial mound No. 27 (photo by Ł. Miechowicz, prepared by Ł. Miechowicz, A. Chlebicka).



Ryc. 20. Wybrane fragmenty naczyń glinianych odkryte w nasypie kurhanu nr 27 (fot. Ł. Miechowicz, oprac. Ł. Miechowicz, A. Chlebicka).

Fig. 20. Selection of clay vessel fragments discovered in the burial mound No. 27 (photo by Ł. Miechowicz, prepared by Ł. Miechowicz, A. Chlebicka).

5. Ornamentyka naczyń:

- typ ornamentu i miejsce usytuowania: stwierdzono cztery typy ornamentów: 1. w postaci linii falistej składającej się z trzech równoległych żłobień na brzuscu naczynia; 2. w postaci linii falistej składającej się z dwóch równoległych żłobień na wewnętrznej partii wylewu naczynia; 3. w postaci szeregu równoległych żłobień na brzuscu dwóch naczyń,
- gęstość, głębokość i szerokość ornamentów: 1. odległość pomiędzy żłobieniami 1–1,5 mm, głębokość 1 mm, szerokość 2–3 mm; 2. odległość pomiędzy żłobieniami 2 mm, głębokość 1 mm, szerokość 1,5–2 mm; 3. w jednym przypadku odległość pomiędzy żłobieniami 1 mm, w drugim 5 mm głębokość żłobień 1 mm, szerokość 1 mm oraz 7 mm.

Kurhan nr 29

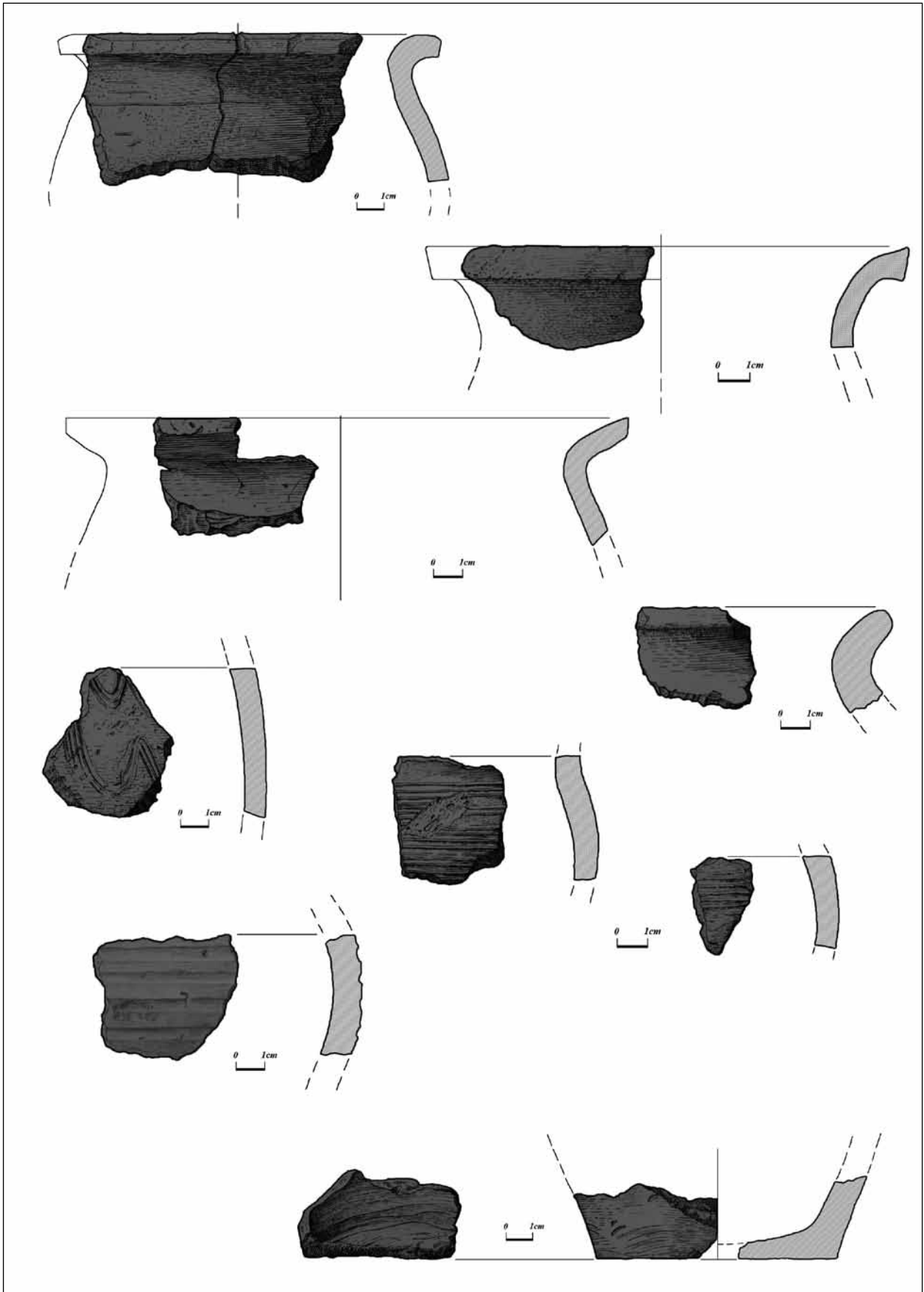
Opis i charakterystyka materiału:

W trakcie badań kurhanu nr 29 odkryto 85 fragmentów wczesnośredniowiecznej ceramiki naczyniowej, w tym 2 fragmenty den, 4 fragmenty

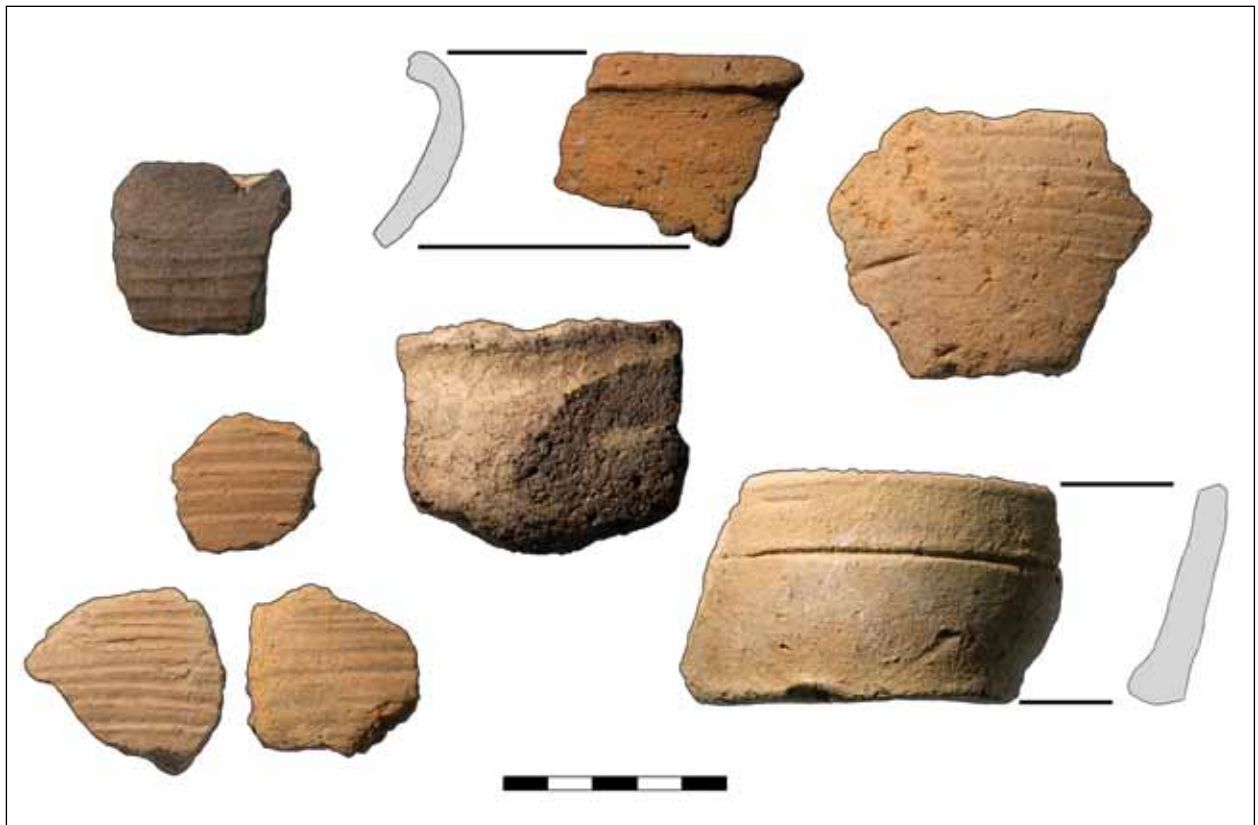
wylewów. Większość znalezisk stanowią okruchy i bardzo drobne ułamki naczyń. Do analiz technologicznych i morfologicznych wybrano 11 fragmentów ceramiki należących do 5 naczyń, w tym 4 ornamentowane (Ryc. 22).

CECHY TECHNOLOGICZNE:

1. Technika lepienia i formowania ścianek naczyń: naczynia lepiące ręcznie, wykonane metodą walczkowo-pierścieniową. W górnych partiach naczyń widoczne ślady obtaczania.
2. Masa garncarska i rodzaj domieszki: w 3 przypadkach domieszkę stanowił drobnziarnisty piasek i średnioziarnisty tłuczeń skalny, którego pojedyncze ziarna widoczne są w przełomach i na powierzchni; w 2 kolejnych naczyniach dominuje domieszka drobno- i gruboziarnistego tłuczka skalnego z dodatkiem drobnziarnistej domieszki piasku.
3. Grubość ścianek naczyń: 4 naczynia średnio-grubościenne (7 i 9 mm), 1 naczynie grubościenne (12 mm).
4. Barwa naczyń: szara i szaro-ceglasta.



Ryc. 21. Wybrane fragmenty naczyń glinianych odkryte w nasypie kurhanu nr 27 (oprac. A. Chlebicka, na podstawie rysunków M. Drewki).
 Fig. 21. Selection of clay vessel fragments discovered in the burial mound No. 27 (prepared by A. Chlebicka after M. Drewko's drawings).



Ryc. 22. Wybrane fragmenty naczyń glinianych odkryte w nasypie kurhanu nr 29 (fot. Ł. Miechowicz, oprac. Ł. Miechowicz, A. Chlebicka).

Fig. 22. Selection of clay vessel fragments discovered in the burial mound No. 29 (photo by Ł. Miechowicz, prepared by Ł. Miechowicz, A. Chlebicka).

CECHY MORFOLOGICZNE:

1. Forma naczyń: w 1 przypadku esowata.
2. Typ i kształt linii profilowej wylewu: 1 fragment wylewu o średnim wychyleniu w stosunku do osi pionowej naczynia i prostej krawędzi.
3. Typy den: płaskie.
4. Wielkość naczyń: średnice profilów: 28 cm; średnica dna: 10 cm.
5. Ornamentyka naczyń:
 - typ ornamentu i miejsce usytuowania: 1. fragment brzuśca z szyjką: ornament falisty składający się z potrójnej linii; 2. fragment dna z częścią denną brzuśca: ornament w postaci pojedynczej poziomej linii; 3. 6 fragmentów brzuśca 2 naczyń: ornament w postaci pojedynczych, równoległych żłobień,
 - gęstość, głębokość i szerokość ornamentów: 1. odległość pomiędzy żłobieniami 1 mm, szerokość żłobienia 1 mm, głębokość żłobienia 0,5 mm; 2. Szerokość żłobienia 2 mm, głębokość 2 mm; 3. szerokość żłobień 4 mm, głębokość 1 mm, odstęp co 4 mm.

Kurhan nr 31

Opis i charakterystyka materiału:

Odkryto 558 fragmentów ceramiki naczyniowej, z czego większość (99%) stanowią okruchy i bardzo drobne ułamki. Wszystkie znaleziska pochodzą z górnej części zniszczonego przez prace rolne nasypu, z ziemi ornej. Z fragmentów diagnostycznych na wyróżnienie zasługuje 1 fragment wylewu, 3 fragmenty brzuśca 2 naczyń, 1 duży fragment dna z częścią przydenną brzuśca oraz jedno kompletne dno małego naczynka, o średnicy 5 cm.

CECHY TECHNOLOGICZNE:

1. Technika lepienia i formowania ścianek naczyń: naczynia lepiące ręcznie. W niektórych przełomach widoczne ukośne ślady łączenia taśm. Powierzchnia wygładzana.
2. Masa garncarska i rodzaj domieszki: domieszkę stanowił drobno- i gruboziarnisty tłuczeń skalny z dodatkiem drobnoziarnistej domieszki piasku.

3. Grubość ścianek naczyń: 1 fragment naczynia średnio-grubościenne (7 mm) pozostałe grubościenne (11–12 mm).
4. Barwa naczyń: szaro-ceglasta.

CECHY MORFOLOGICZNE:

1. Typ i kształt linii profilowej wylewu: 1 fragment wylewu o silnym wychyleniu i prostej krawędzi.
2. Typy den: płaskie oraz wklęsłe.
3. Wielkość naczyń: średnica wylewu: 22 cm; średnice den: 5 i 8 cm.

Kurhan nr 32

Opis i charakterystyka materiału:

Z badań kurhanu nr 32 pochodzi jedynie 26 fragmentów należących do ok. 20 naczyń glinianych, głównie drobnych ułamków, mocno skorodowanych. Tylko 2 fragmenty brzuśca mieszczą się w kategorii wielkościowej C (Ryc. 23).

CECHY TECHNOLOGICZNE:

1. Technika lepienia i formowania ścianek naczyń: naczynia lepiące ręcznie. W przelomach widoczne

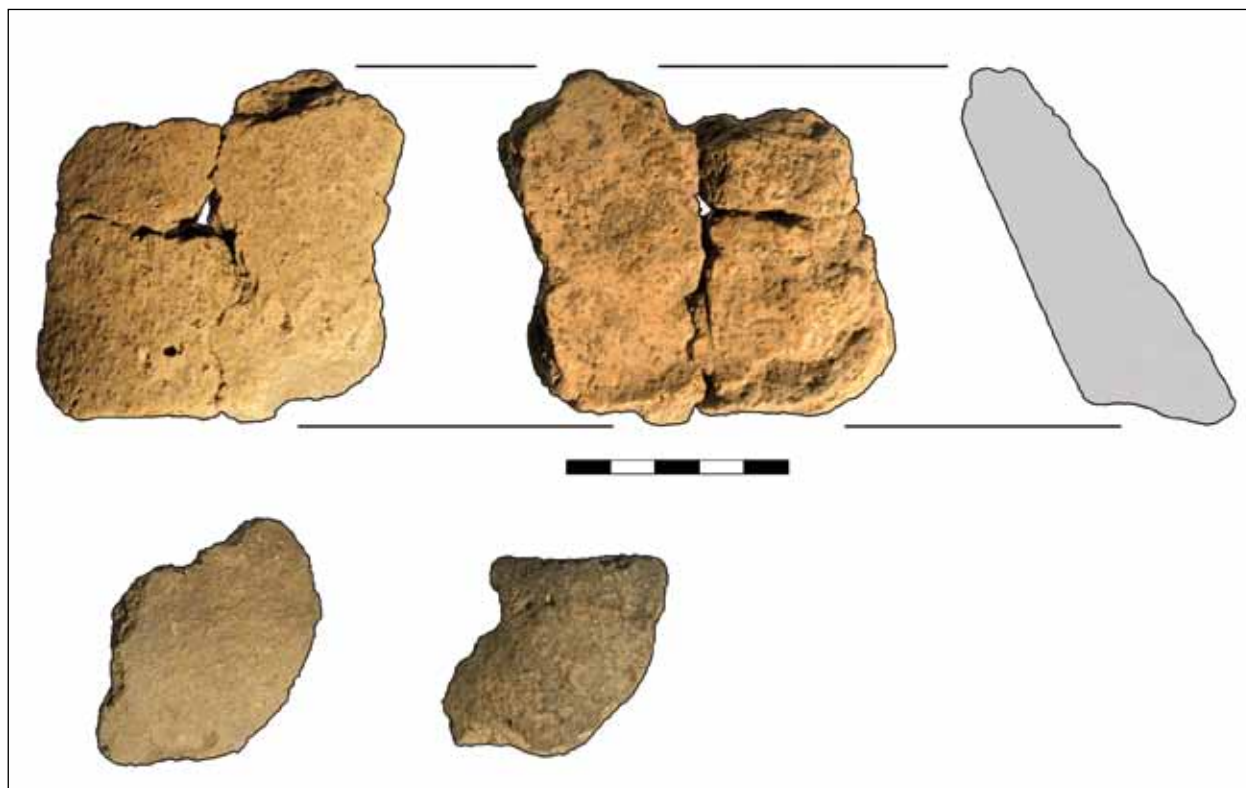
ukośne ślady łączenia taśm. Powierzchnia wygładzana.

2. Masa garncarska i rodzaj domieszki: domieszkę stanowił średnioziarnisty tłuczeń skalny z dodatkiem drobnoziarnistej domieszki piasku. Na powierzchni skorup widoczne pojedyncze ziarna tłuczni. Masa garncarska średniotłusta.
3. Grubość ścianek naczyń: 7–9 mm.
4. Barwa naczyń: ciemno-szara.

Kurhan nr 34

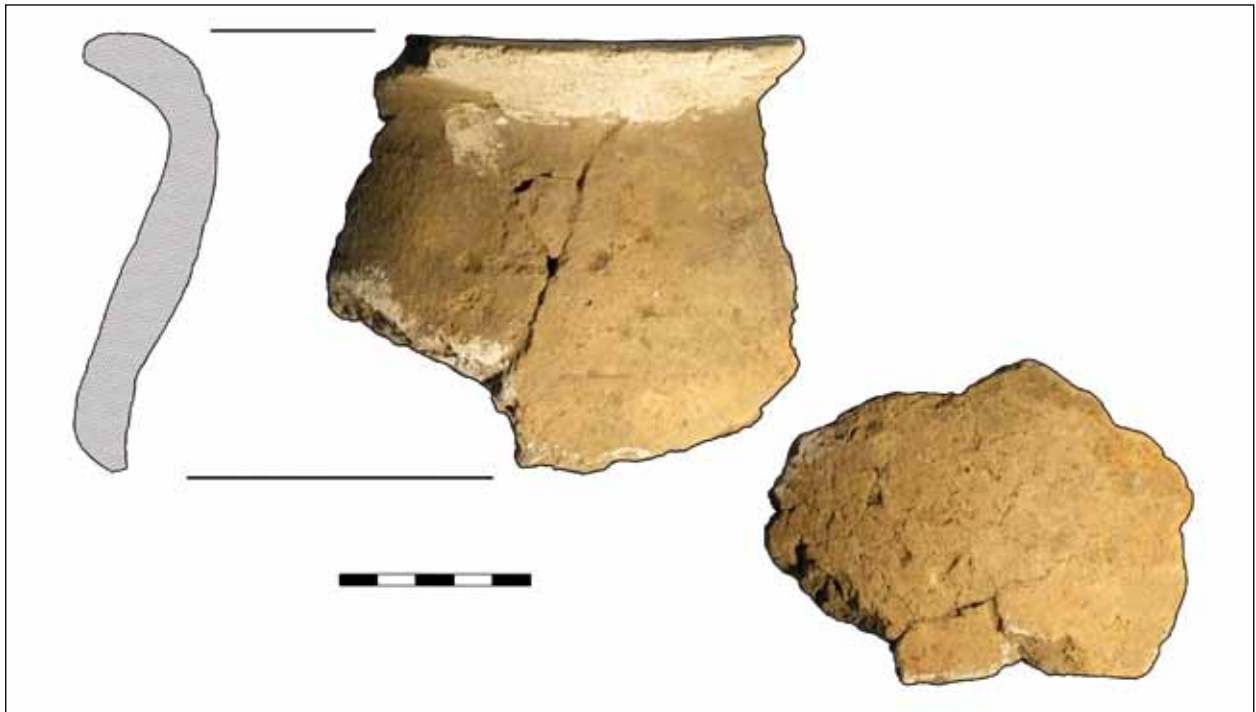
Opis i charakterystyka materiału:

W trakcie badań kurhanu nr 34 odkryto łącznie 223 fragmenty wczesnośredniowiecznych naczyń glinianych należących do przeszło 100 naczyń. W znacznej części (90%) są to bardzo drobne ułamki ceramiki, bez cech diagnostycznych. Do analiz wybrano fragmenty pochodzące z 2 naczyń odkrytych u podstawy nasypu (Ryc. 24). Naczynie 1: 4 fragmenty wylewów kategorii wielkościowej A i B i 2 fragmenty brzuśca kategorii C; naczynie 2: 2 fragmenty wylewu kategorii wielkościowej A oraz 5 fragmentów brzuśca kategorii wielkościowej C.



Ryc. 23. Wybrane fragmenty naczyń glinianych odkryte w nasypie kurhanu nr 32 (fot. Ł. Miechowicz, oprac. Ł. Miechowicz, A. Chlebicka).

Fig. 23. Selection of clay vessel fragments discovered in the burial mound No. 32 (photo. Ł. Miechowicz, prepared by Ł. Miechowicz, A. Chlebicka).



Ryc. 24. Wybrane fragmenty naczyń glinianych odkryte w nasypie kurhanu nr 34 (fot. Ł. Miechowicz, oprac. Ł. Miechowicz, A. Chlebicka).

Fig. 24. Selection of clay vessel fragments discovered in the burial mound No. 34 (photo by Ł. Miechowicz, prepared by Ł. Miechowicz, A. Chlebicka).

CECHY TECHNOLOGICZNE:

1. Technika lepienia i formowania ścianek naczyń: naczynia lepienie ręcznie. W przełomach widoczne ukośne ślady łączenia taśm. Powierzchnia wygładzona, brak śladów obtaczania. Naczynie nr 1 (z ornamentem): widoczne ślady obtaczania w górnej partii (GTII).
2. Masa garncarska i rodzaj domieszki: w obu przypadkach domieszkę stanowił drobnoziarnisty piasek oraz średnio- i gruboziarnisty tłuczeń skalny, którego ziarna widoczne są na przełomach i powierzchni naczyń.
3. Grubość ścianek naczyń: naczynie 1: średnio-grubościenne (10–11 mm); naczynie 2: grubościenne (12–13 mm).
4. Barwa naczyń: brązowo-ceglasta.

CECHY MORFOLOGICZNE:

1. Forma naczyń: w obu przypadkach naczynia czteroelementowe z wyodrębnioną szyjką, esowate.
2. Wydętość brzuśca: maksymalna wydętość brzuśca w środkowej części naczynia.
3. Typ i kształt linii profilowej wylewu: wylewy obu naczyń o średnim stopniu wychylenia; naczynie 1: wylew płaski; naczynie 2: wylew zaokrąglony.
4. Wielkość naczyń: średnice wylewów: naczynie 1: 26 cm; naczynie 2: 26 cm.

5. Ornamentyka naczyń:

- typ ornamentu i miejsce usytuowania: Naczynie 1: zdobione poziomymi żłobieniami wykonanymi grzebykiem garncarski, począwszy od górnej części brzuśca na całej jego zachowanej powierzchni,
- gęstość, głębokość i szerokość ornamentów: szer. 3 mm, głębokość 1 mm; odległość pomiędzy liniami o szerokość żłobienia.

Kurhan nr 35

Opis i charakterystyka materiału:

W warstwie spływowej kopca odkryto 2516 fragmentów ceramiki (ponad 98% to głównie bardzo drobne okruchy, bez cech diagnostycznych). Z zespołu do analiz wybrano jedynie 8 fragmentów kategorii wielkościowej B i C należących do 7 naczyń, które posiadały cechy diagnostyczne: 4 fragmenty brzuśca, 1 fragment wylewu, 3 fragmenty den. Poza tym zespołem z badań kurhanu pochodzi jedno całkowicie zrekonstruowane naczynie (naczynie 1), stylistycznie zbliżone do naczynia odkrytego w nasypie kurhanu nr 44 (Ryc. 25–27). Chronologia: VIII w.

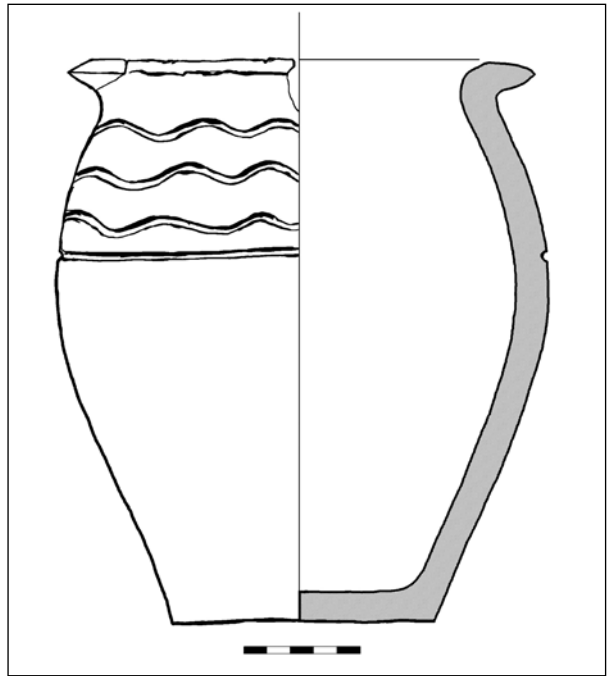


Ryc. 25. Naczynie odkryte w nasypie kurhanu nr 35 (fot. Ł. Miechowicz).

Fig. 24. A vessel discovered in the burial mound No. 35 (photo by Ł. Miechowicz).

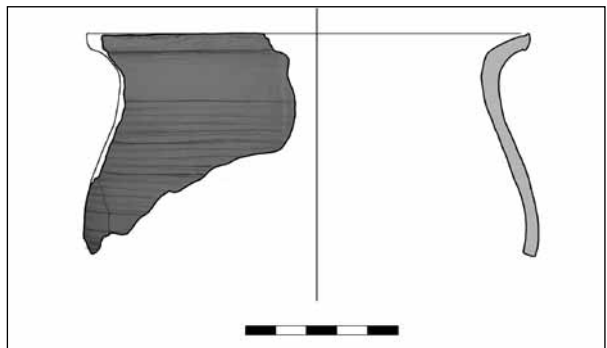
CECHY TECHNOLOGICZNE:

1. Technika lepienia i formowania ścianek naczyń: naczynie nr 1: naczynie lepiące ręcznie na kole wolnoobrotowym. Ślady obtaczania w górnej części, powierzchnia zarówno od zewnątrz, jak i od wewnątrz wygładzana. W przypadku pozostałych fragmentów ślady obtaczania w górnej części naczyń zaobserwowano w jednym przypadku. Naczynia lepiące ręcznie, powierzchnia wygładzana.
2. Masa garncarska i rodzaj domieszki: naczynie 1: domieszka drobnoziarnista piasku. Na powierzchni naczyń widoczne pojedyncze, rozproszone ziarna drobnoziarnistego tłucznia. Pozostałe fragmenty: średnio i drobnoziarnisty tłuczeń skalny oraz piasek; pojedyncze ziarna tłucznia widoczne na przełamach oraz powierzchni naczyń.



Ryc. 26. Naczynie odkryte w nasypie kurhanu nr 35 (oprac. A. Chlebicka).

Fig. 26. A vessel discovered in the burial mound No. 35 (prepared by A. Chlebicka).



Ryc. 27. Fragment naczynia odkryty w nasypie kurhanu nr 35 (oprac. A. Chlebicka, na podstawie rysunków M. DREWKI).

Fig. 27. A vessel fragment discovered in the burial mound No. 35 (prepared by A. Chlebicka after M. DREWKO's drawings).

3. Grubość ścianek: Naczynie 1 średnio-grubościenne, grubość ścianki 6–7 mm; pozostałe fragmenty 7–8 oraz 10–11 mm.
4. Barwa naczyń: naczynie 1: ciemna, szaro-brunatna; pozostałe fragmenty żółto-szare i ceglaste.

CECHY MORFOLOGICZNE:

1. Forma naczyń: naczynie 1: trzejelementowe, bez wyodrębnionej szyjki; naczynie 2: esowate z wyodrębnioną szyjką (ornamentowane linią falistą).
2. Wydętość brzuśca: naczynie 1: maksymalna wydętość brzuśca części naczyń.

3. Typ i kształt linii profilowej wylewu: naczynie 1: profil odchylony o 90 stopni w stosunku do osi naczynia, ukształtowany za pomocą palców, o zaokrąglonym kształcie; wylew 2: mocno odchylony, o płaskiej krawędzi.
4. Typy den: naczynie 1: płaskie, ślady podsypki; 3 kolejne fragmenty den płaskie, bez podsypki.
5. Wielkość naczyń (naczynie 1): wysokość: 15,5 cm; średnica wylewu: 11,5 cm; średnica dna: 8 cm.
6. Ornamentyka naczyń:
 - typ ornamentu i miejsce usytuowania: naczynie 1: ornament w górnej części brzuśca, pod wylewem, w postaci potrójnej linii falistej oraz linii poziomej wykonanej radełkiem. Fragment naczynia nr 2: ornament 3-wątkowy – podwójny wątek zdobienia linią falista, 4 żłobienia wykonane grzebykiem, poniżej na maksymalnej wydętości brzuśca ślady ornamentu w postaci linii poziomy.
 - gęstość, głębokość i szerokość ornamentów: linie faliste oddalone od siebie o ok. 2 mm, linia pozioma oddalone od falistej 1 cm. Szerokość ornamentów w postaci linii falistych 1 mm, głębokość 1 mm; szerokość ornamentu w postaci poziomych pasów 5 mm, głębokość 0,5 mm. Domniemana funkcja naczynia nr 1: popielnica? (fragmenty odkryte w skupisku, z towarzyszącymi szczątkami kostnymi).

Kurhan nr 37

Opis i charakterystyka materiału:

Dziewięć małych, niecharakterystycznych fragmentów, kategorii wielkościowej D.

CECHY TECHNOLOGICZNE:

1. Technika lepienia i formowania ścianek naczyń: naczynia ręcznie lepiene metodą wałeczkowo-pierścieniową.
2. Masa garncarska i rodzaj domieszki: domieszka drobnoziarnista w postaci piasku oraz pojedyncze grube ziarna tłucznia skalnego. Masa garncarska chuda.
3. Grubość ścianek: 7–9 mm.
4. Barwa naczyń: brązowo-szara.

CECHY MORFOLOGICZNE:

1. Ornamentyka naczyń:
 - typ ornamentu i miejsce usytuowania: na 2 fragmentach widoczne pasy powstałe najprawdopodobniej

podobnie w skutek zagładzania powierzchni naczyń palcami,

- gęstość, głębokość i szerokość ornamentów: szerokość 12 mm, głębokość 1 mm.

Kurhan nr 38

Opis i charakterystyka materiału:

Z badań kurhanu nr 38 pochodzi 290 fragmentów wczesnośredniowiecznych naczyń glinianych, bardzo drobnych oraz okruchów. Tylko 5 fragmentów pochodzących z 4 naczyń spełnia warunki dot. analizy: 1 fragment wylewu kategorii wielkościowej B oraz 4 fragmenty brzuśca kategorii wielkościowej C (Ryc. 28, 29).

CECHY TECHNOLOGICZNE:

1. Technika lepienia i formowania ścianek naczyń: wszystkie fragmenty wykazują cechy naczyń wykonanych ręcznie. 2 fragmenty brzuśca jednego naczynia noszą ślady obtaczania. Na przełomach widoczne ukośne ślady łączenia taśm.
2. Masa garncarska i rodzaj domieszki: we wszystkich ułamkach naczyń podstawową domieszkę stanowił drobnoziarnisty piasek, miejscami na przełomach i powierzchni widoczne drobne ziarna tłucznia skalnego. Masa garncarska chuda.
3. Grubość ścianek: 8–11 mm. Naczynia średnio-grubościenne o grubości ścianek 8–11 m.
4. Barwa naczyń: szara, brązowa i brunatnoszara.

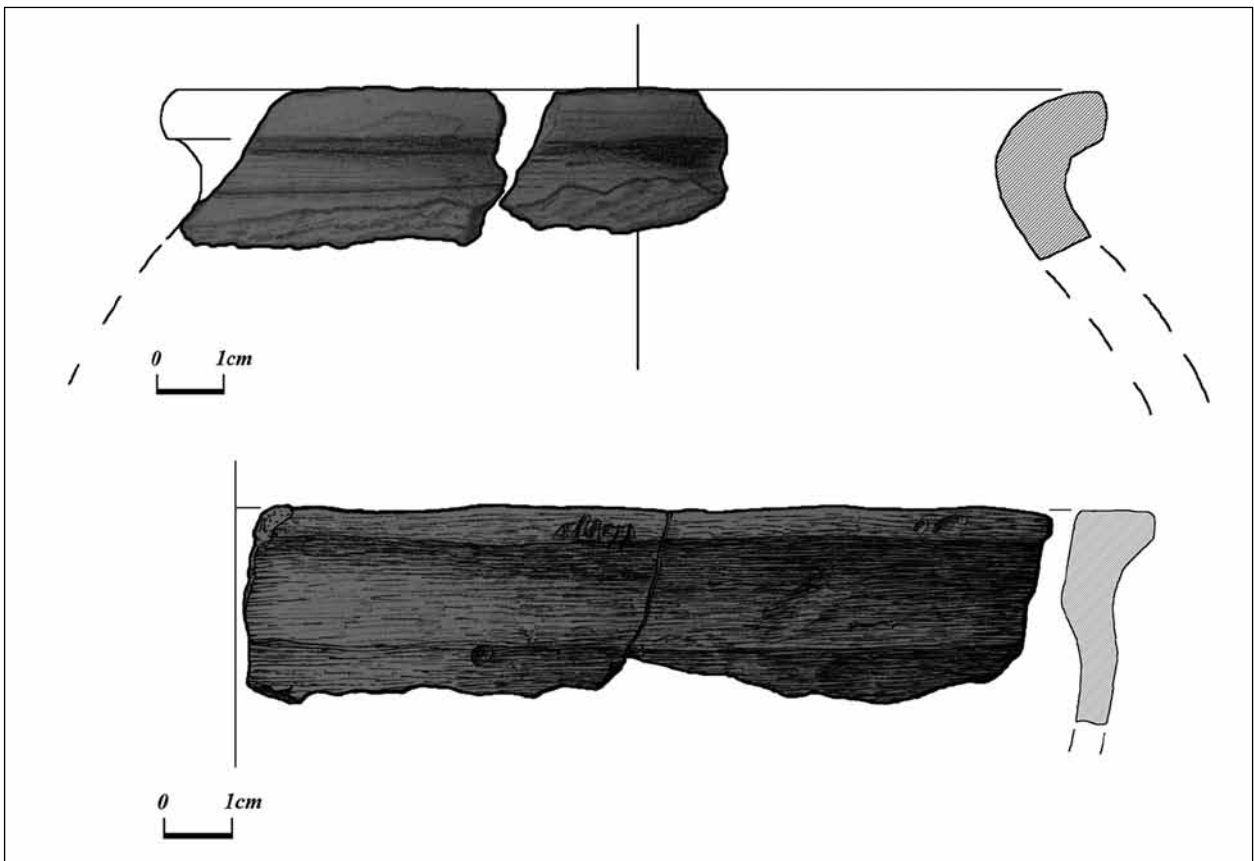
CECHY MORFOLOGICZNE:

1. Typ i kształt linii profilowej wylewu: profil mocno odchylony, o prawie 90 stopni od pionowej osi naczynia, ze ściętym, prostym brzegiem.
2. Wielkość naczyń: średnica wylewu: 14 cm.
3. Ornamentyka naczyń:
 - typ ornamentu i miejsce usytuowania: na 2 fragmentach ornament w postaci poziomych, równoległych do siebie linii, zapewne pokrywających znaczną partię naczynia. 1 fragment z ornamentem falistym, składającym z 4 równoległych żłobień,
 - gęstość, głębokość i szerokość ornamentów: poziome pasy: szerokość 4–5 mm, odstępy o szerokość żłobienia, głębokość żłobienia 1 mm; ornament falisty: szerokość żłobienia 2 mm, odstępy 2 mm; ornament ryty: szerokość żłobienia 2 mm, zwiężające się ku dołowi, głębokość 1,5 mm.



Ryc. 28. Wybrane fragmenty naczyń glinianych odkryte w nasypie kurhanu nr 38 (fot. Ł. Miechowicz, oprac. Ł. Miechowicz, A. Chlebicka).

Fig. 28. Selection of clay vessel fragments discovered in the burial mound No. 38 (photo by Ł. Miechowicz, prepared by Ł. Miechowicz, A. Chlebicka).



Ryc. 29. Wybrane fragmenty naczyń glinianych odkryte w nasypie kurhanu nr 38 (oprac. A. Chlebicka, na podstawie rysunków M. Drewki).

Fig. 29. Selection of clay vessel fragments discovered in the burial mound No. 38 (prepared by A. Chlebicka after M. Drewko's drawings).

Kurhan nr 40

Opis i charakterystyka materiału:

Z badań kurhanu nr 40 pochodzą 203 fragmenty wczesnośredniowiecznej ceramiki naczyniowej, w tym 9 fragmentów den i 9 fragmentów wylewów. Praktycznie całość znalezisk stanowią bardzo drobne, pozbawione cech diagnostycznych fragmenty. Tylko jeden fragment wylewu i jeden fragment dna kategorii wielkościowej C pozwalają na szerszy opis.

CECHY TECHNOLOGICZNE:

1. Technika lepienia i formowania ścianek naczyń: wszystkie fragmenty wykazują cechy naczyń wykonanych ręcznie. Brak śladów obtaczania, widoczne wygładzanie powierzchni palcami i dłonią.
2. Masa garncarska i rodzaj domieszki: w większości ułamków naczyń podstawową domieszkę stanowił drobnoziarnisty piasek, miejscami na przełomach i powierzchni widoczne drobne ziarna tłucznia skalnego. Masa garncarska chuda. Fragment wylewu posiada dużą domieszkę średnio- i gruboziarnistego tłucznia skalnego. Masa garncarska średniotłusta.
3. Grubość ścianek: 7–9 mm.
4. Barwa naczyń: ceglasto-brązowa.

CECHY MORFOLOGICZNE:

1. Wielkość naczyń: średnice profilów: 14 cm; średnice den: 10 cm.

Kurhan nr 41

Opis i charakterystyka materiału:

W materiałach z badań cmentarzyska z tego kurhanu znajduje się tylko 1 fragment dolnej partii brzuśca naczynia wczesnośredniowiecznego, który można zaliczyć do kategorii wielkościowej C.

CECHY TECHNOLOGICZNE:

1. Technika lepienia i formowania ścianek naczyń: naczynie wykonane ręcznie, na powierzchni widoczne ślady obtaczania. W profilach widoczne ukośne ślady łączenia taśm.
2. Masa garncarska i rodzaj domieszki: drobnoziarnista domieszka piasku z wtrętami drobno-, średnio

i gruboziarnistego tłucznia skalnego. Masa garncarska chuda.

3. Grubość ścianek: 6–7 mm, naczynie średnio-grubościenne.
4. Barwa naczynia: brązowa.

CECHY MORFOLOGICZNE:

1. Typ i kształt linii profilowej wylewu: profil o średnim odchyleniu i zaokrąglonej krawędzi.
2. Typy dna: płaskie.
3. Wielkość naczyń: średnica dna: 10 cm.

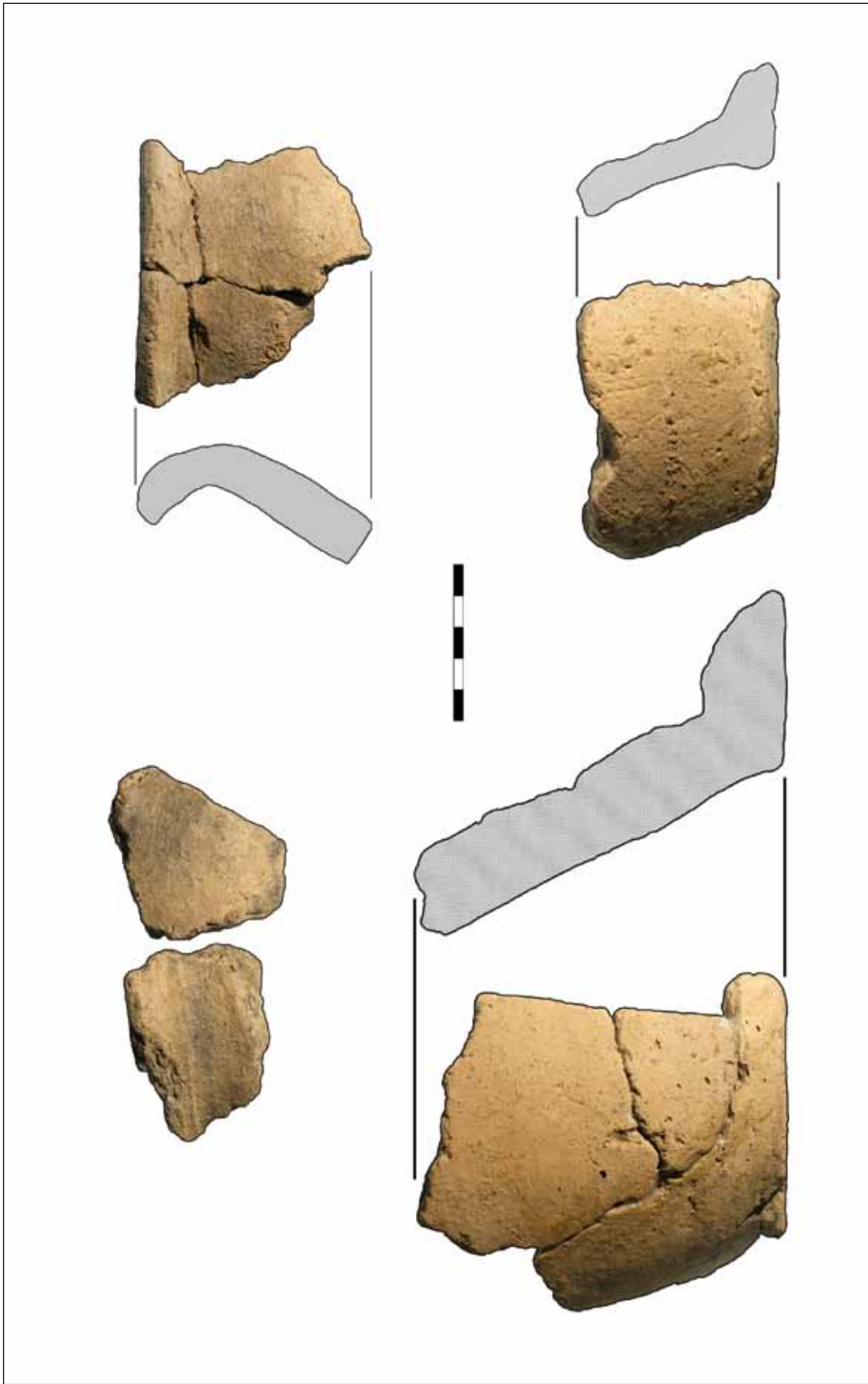
Kurhan nr 42

Opis i charakterystyka materiału:

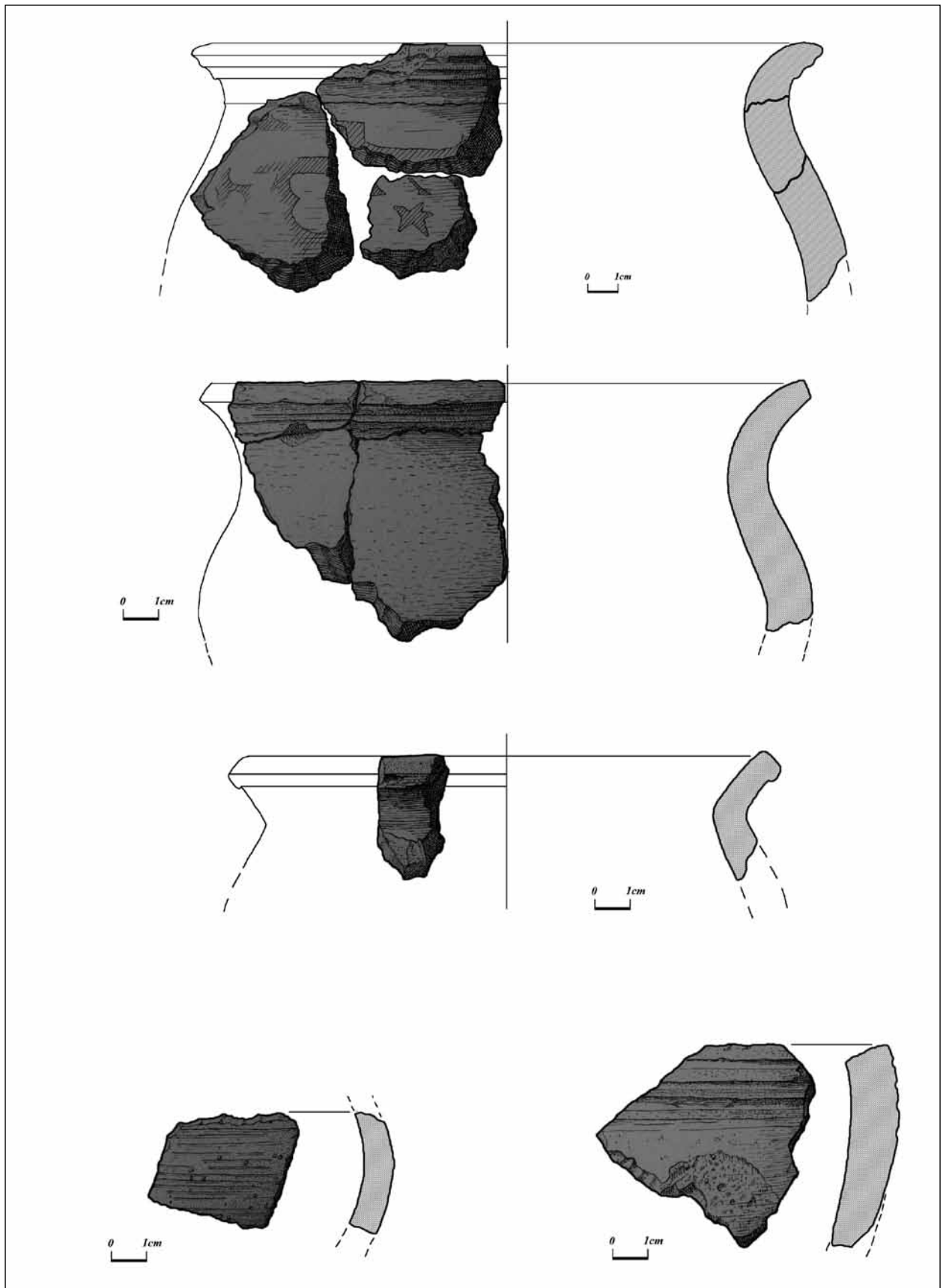
Z badań kurhanu nr 42 pochodzi łącznie 216 fragmentów ceramiki odkrytych w rozoranym nasypie kopca. Większość stanowią bardzo drobne okruchy i fragmenty bez cech diagnostycznych. Do analiz nadawało się jedynie 14 fragmentów ceramiki należących do 4 naczyń (Ryc. 30, 31).

CECHY TECHNOLOGICZNE:

1. Technika lepienia i formowania ścianek naczyń: naczynie 1: 2 fragmenty dna z dolną częścią brzuśca oraz 6 mniejszych fragmentów brzuśca. Naczynie lepienie ręcznie, ślady obtaczania na całej powierzchni zewnętrznej, wykonane metodą wałeczkowo-pierścieniową; naczynie 2: duży (kategoria wielkościowa B, GTIII) fragment wylewu z wyodrębnioną szyją oraz górną partią brzuśca. Ślady obtaczania na powierzchni zewnętrznej. Naczynie wykonane metodą taśmowo-ślizgową; naczynie 3: 1 fragment wylewu z bardzo delikatnie wyodrębnioną szyjką i górną częścią brzuśca, wykonane metodą wałeczkowo-pierścieniową; naczynie 4: 1 fragment brzuśca z ornamentem w postaci poziomych linii, naczynie wykonane ręcznie metodą taśmowo-ślizgową.
2. Masa garncarska i rodzaj domieszki: naczynie 1: domieszka piasku oraz średnio- i gruboziarnistego tłucznia. Ziarna domieszki widoczne w przełomach i na powierzchni; naczynie 2 i 4: drobnoziarnista domieszka piasku z wtrętami drobno-, średnio- i gruboziarnistego tłucznia skalnego. Masa garncarska chuda; naczynie 3: wyłącznie drobnoziarnista domieszka piasku.



Ryc. 30. Wybrane fragmenty naczyń glinianych odkryte w nasypie kurhanu nr 42 (fot. Ł. Miechowicz, oprac. Ł. Miechowicz, A. Chlebicka).
 Fig. 30. Selection of clay vessel fragments discovered in the burial mound No. 42 (photo by Ł. Miechowicz, prepared by Ł. Miechowicz, A. Chlebicka).



Ryc. 31. Wybrane fragmenty naczyń glinianych odkryte w nasypie kurhanu nr 42 (oprac. A. Chlebicka, na podstawie rysunków M. Drewki).
 Fig. 31. Selection of clay vessel fragments discovered in the burial mound No. 42 (prepared by A. Chlebicka after M. Drewko's drawings).

3. Grubość ścianek: naczynie 1: 10 mm; naczynie 2: 12–14 mm; naczynie 3: 7 mm; naczynie 4: 13 mm.
4. Barwa naczyń: 1: jasnobrązowa; 2: ciemna szarobrązowa; 3. jasnobrązowa; 4. ceglasta.

CECHY MORFOLOGICZNE:

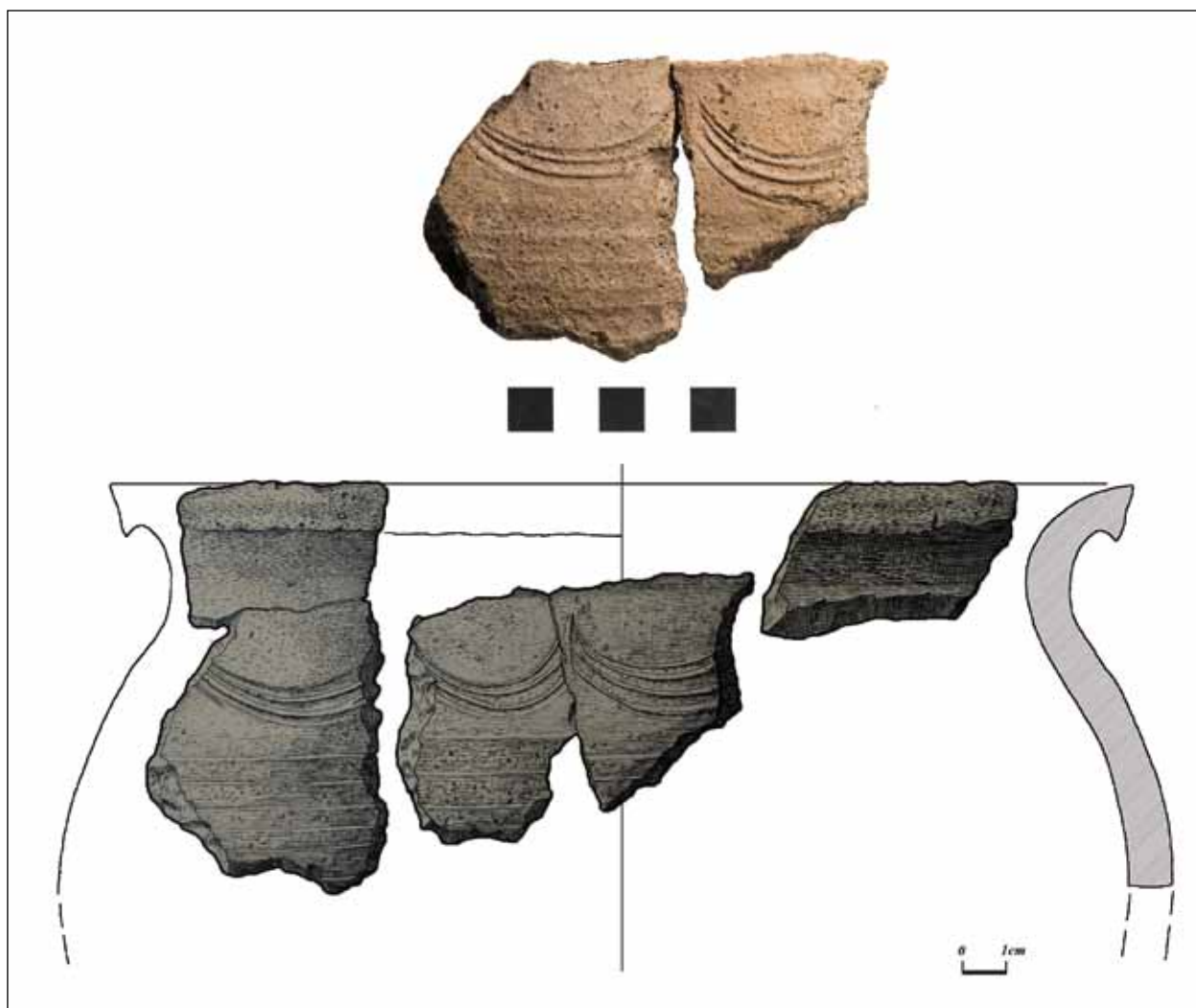
1. Forma naczyń: naczynie 2. esowate, trójelementowe.
2. Typ i kształt linii profilowej wylewu: naczynie 2. profil o średnim odchyleniu i zaokrąglonej krawędzi; 3. profil o słabym odchyleniu i zaokrąglonej krawędzi.
3. Typy den: płaskie.
4. Wielkość naczyń: średnice wylewów: 18 i 20 cm; średnica dna: 9 cm.
5. Ornamentyka naczyń:

- typ ornamentu i miejsce usytuowania: naczynie 4: poziome równoległe pasy na brzuchu,
- gęstość, głębokość i szerokość ornamentów: widoczne 5 żłobień, o szerokości 4 mm, głębokości 1 mm, oddalone od siebie o szerokość żłobienia.

Kurhan nr 43

Opis i charakterystyka materiału:

Z badań kurhanu pochodzi 335 fragmentów ceramiki (ponad 90% to bardzo drobne okruchy, bez cech diagnostycznych). Do analizy wybrano jedynie 8 fragmentów kategorii wielkościowej C należące do dwóch naczyń, które posiadały cechy diagnostyczne: 4 fragmenty brzusców, 2 fragmenty wylewów, 2 fragmenty den (Ryc. 32). Chronologia: VIII/IX w.



Ryc. 32. Wybrane fragmenty naczyń glinianych odkryte w nasypie kurhanu nr 43 (fot. Ł. Miechowicz, oprac. Ł. Miechowicz, A. Chlebicka).

Fig. 32. Selection of clay vessel fragments discovered in the burial mound No. 43 (photo by Ł. Miechowicz, prepared by Ł. Miechowicz, A. Chlebicka).

CECHY TECHNOLOGICZNE:

1. Technika lepienia i formowania ścianek naczyń: naczynia lepiące ręcznie. Na 2 fragmentach stwierdzono obtaczanie w górnej partii naczynia. W przełomach widoczne ślady zastosowania metody wałeczkowo-pierścieniowej.
2. Masa garncarska i rodzaj domieszki: naczynie 1 z „girlandami”: domieszkę stanowił drobnoziarnisty tłuczeń skalny z dodatkiem drobnoziarnistej domieszki piasku. Masa garncarska chuda; naczynie 2: średnio- i gruboziarnisty tłuczeń skalny oraz domieszka piasku. Masa garncarska średniotłusta.
3. Ślady zabiegów technicznych na dna naczyń: naczynie nr 2: ślady odcinania nożykiem.



Ryc. 33. Naczynie odkryte w nasypie kurhanu nr 44 (fot. Ł. Miechowicz).

Fig. 33. A vessel discovered in the burial mound No. 44 (photo by Ł. Miechowicz).

4. Grubość ścianek naczyń: naczynia średnio-grubościenne (7–11 mm) i grubościennie (11–15 mm).
5. Barwa naczyń: naczynie 1: szarobrazowa; naczynie 2: ceglasta.

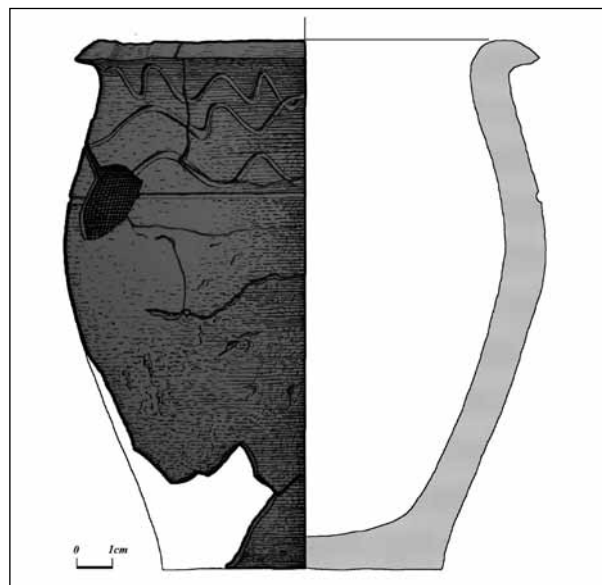
CECHY MORFOLOGICZNE:

1. Forma naczyń: naczynie 1: esowate, trzejelementowe, bez wyodrębnionej szyjki.
2. Typ i kształt linii profilowej wylewu: naczynie 1: 2 fragmenty wylewu o średnim wychyleniu w stosunku do pionowej osi naczynia i ściętej krawędzi.
3. Typy den: naczynie 2: płaskie.
4. Wielkość naczyń: średnica profilu: naczynie 1: 10 cm; średnica dna: naczynie 2: 9 cm.
5. Ornamentyka naczyń:
 - typ ornamentu i miejsce usytuowania: naczynie 1: stwierdzony wątek ornamentowy w postaci falistych linii wykonanych grzebykiem, składających się z 4 żłobień w postaci „girland”
 - gęstość, głębokość i szerokość ornamentów: naczynie 1: 4 żłobienia tworzące linię falistą o głębokości ok. 1 mm, szerokości 2 mm, odległe od siebie o szerokość żłobienia.

Kurhan nr 44

Opis i charakterystyka materiału:

Z badań kurhanu pochodzi jedno naczynie, całkowicie zrekonstruowane (Ryc. 33, 34). Naczynie



Ryc. 34. Naczynie odkryte w nasypie kurhanu nr 44 (oprac. A. Chlebicka, na podstawie rysunków M. DREWKI).

Fig. 34. A vessel discovered in the burial mound No. 44 (prepared by A. Chlebicka after M. DREWKO'S drawings).

jest bardzo zbliżone pod kątem technologicznym i morfologicznym do całkowicie zrekonstruowanego naczynia odkrytego w kurhanie nr 35. Chronologia: VIII w. Poza tym w nasypie kopca odkryto fragmenty 2 innych naczyń kategorii wielkościowej B i C (Ryc. 35, 36).

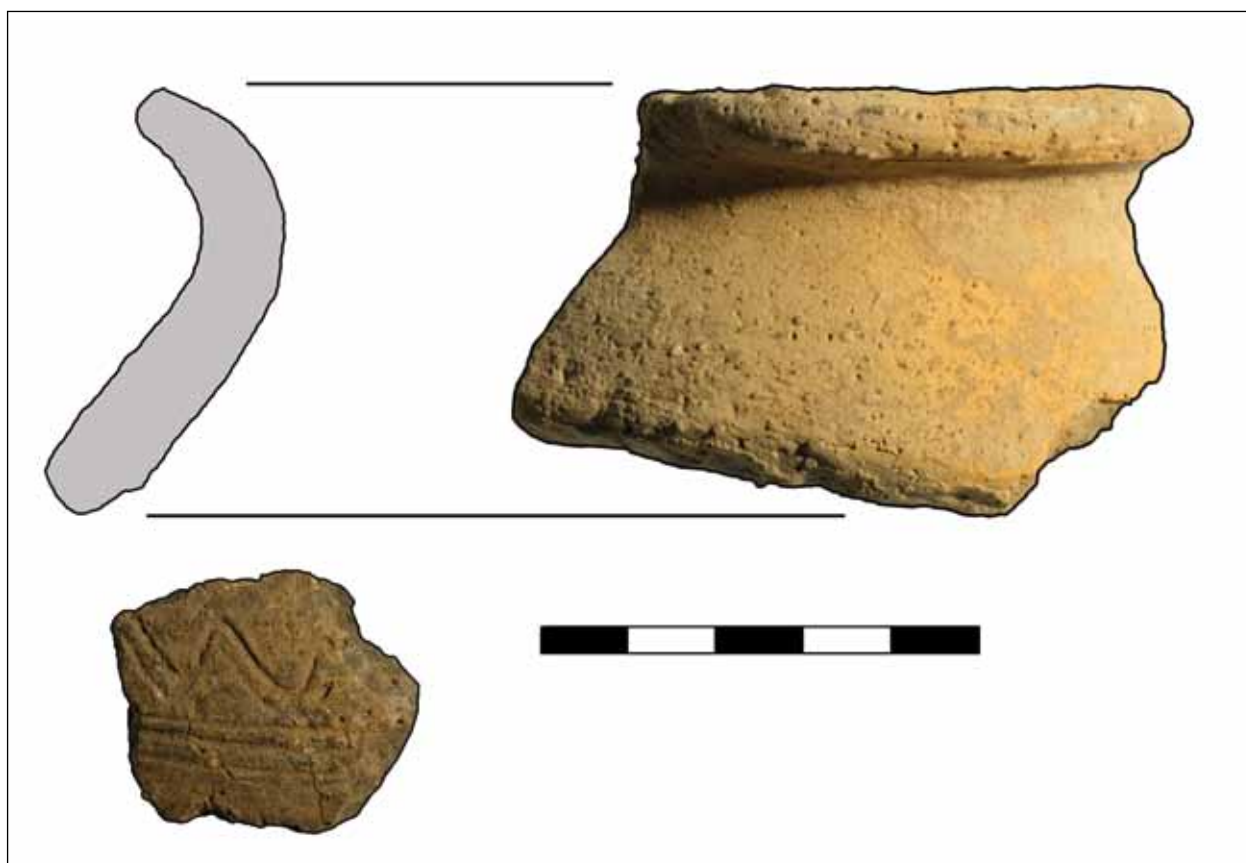
CECHY TECHNOLOGICZNE:

1. Technika lepienia i formowania ścianek naczyń: naczynie lepienie ręcznie na kole wolnoobrotowym. Ślady obtaczania w górnej części, powierzchnia zarówno od zewnątrz, jak i od wewnątrz wygładzana.
2. Masa garncarska i rodzaj domieszki: domieszka drobnoziarnista piasku. Na powierzchni naczynia widoczne pojedyncze, rozproszone ziarna drobnoziarnistego tłucznia.
3. Grubość ścianek naczyń: naczynie średnio-grubościenne, grubość ścianek 6–7 mm.
4. Barwa naczyń: ciemna, szarobrunatna.

CECHY MORFOLOGICZNE:

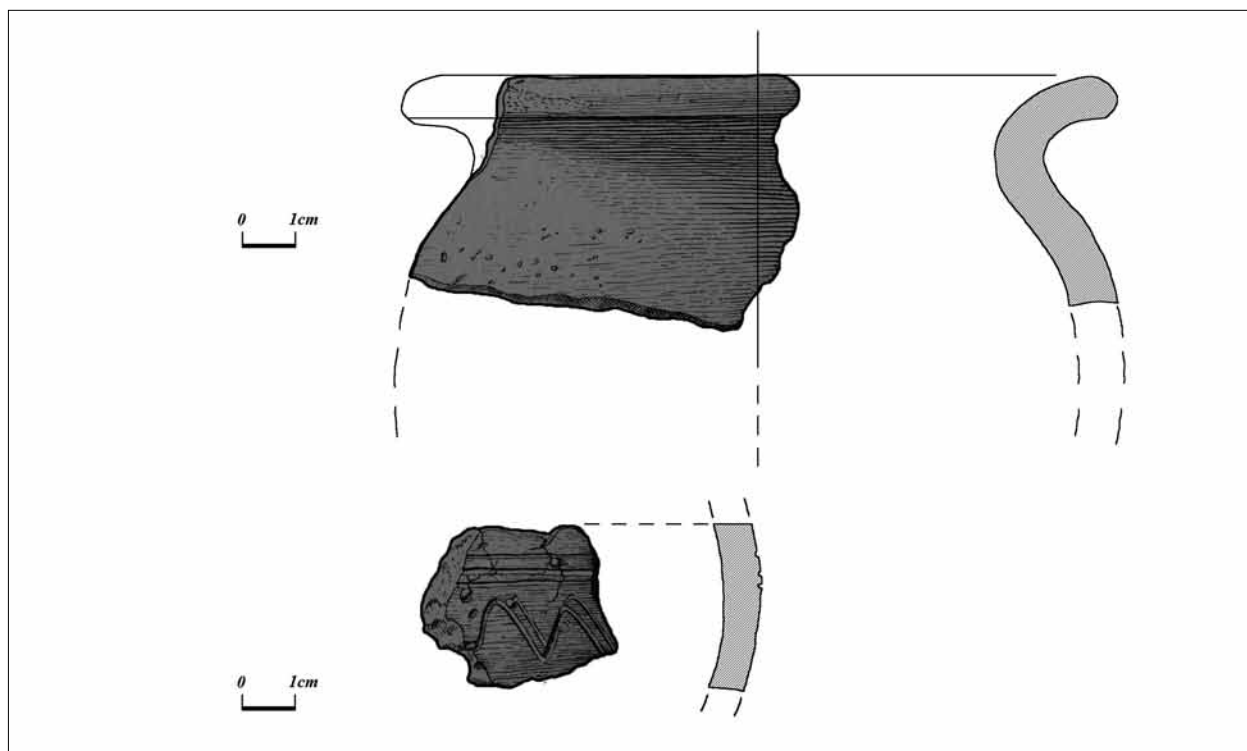
1. Forma naczyń: naczynie esowate, trójelementowe, bez wyodrębnionej szyjki.

2. Wydętość brzuśca: maksymalna wydętość brzuśca w górnej części naczynia.
 3. Typ i kształt linii profilowej wylewu: profil odchylony o 90 stopni w stosunku do osi naczynia, ukształtowany za pomocą palców, o zaokrąglonym kształcie.
 4. Typy den: naczynie 2: płaskie, widoczne ślady podsypki.
 5. Wielkość naczyń: wysokość naczynia: 14,5 cm; średnice wylewów: 12 i 17 cm; średnica dna: 7 cm
 6. Ornamentyka naczyń:
 - typ ornamentu i miejsce usytuowania: ornament w górnej części brzuśca, pod wylewem, w postaci podwójnej linii falistej oraz linii poziomej wykonanej radełkiem; fragment brzuśca z ornamentem falistym składających się z dwóch żłobień,
 - gęstość, głębokość i szerokość ornamentów: linie faliste oddalone od siebie o ok. 1 cm, linia pozioma oddalone od falistej 3–5 mm. Szerokość ornamentów 3 mm, głębokość 1 mm.
- Domniemana funkcja naczynia: popielnica.



Ryc. 35. Wybrane fragmenty naczyń glinianych odkryte w nasypie kurhanu nr 44 (fot. Ł. Miechowicz, oprac. Ł. Miechowicz, A. Chlebicka).

Fig. 35. Selection of clay vessel fragments discovered in the burial mound No. 44 (photo by Ł. Miechowicz, prepared by Ł. Miechowicz, A. Chlebicka).



Ryc. 36. Wybrane fragmenty naczyń glinianych odkryte w nasypie kurhanu nr 44 (oprac. A. Chlebicka, na podstawie rysunków M. Drewki).

Fig. 36. Selection of clay vessel fragments discovered in the burial mound No. 44 (prepared by A. Chlebicka after M. Drewko's drawings)

Kurhan nr 45

Opis i charakterystyka materiału:

Łącznie odkryto 233 fragmenty ceramiki naczyniowej, głównie w rozoranym nasypie, na trzech poziomach eksploracji, w tym 9 fragmentów den, 10 fragmentów profili, 16 fragmentów brzuśców z ornamentem. Zdecydowana większość fragmentów należy do kategorii wielkościowej D. Do analizy wybrano 12 fragmentów brzuśca należących do 1 naczynia oraz 2 fragmenty dna z zachowaną częścią przydenną drugiego naczynia. Naczynia są zbliżone pod kątem technologicznym, posiadają analogie do zabytków odkrytych w kurhanie nr VII w Guciowie (A. Tyniec 2018, s. 198, ryc. 3.4). Chronologia: VIII/IX w.

CECHY TECHNOLOGICZNE:

1. Technika lepienia i formowania ścianek naczyń: naczynia lepienie ręcznie metodą wałczkowo-pierścieniową. Brak śladów obracania. Brak śladów wygładzania powierzchni zarówno od wewnątrz, jak i od zewnątrz.
2. Masa garncarska i rodzaj domieszki: domieszka drobnoziarnista piasku. W przełomach i na powierzchni naczyń widoczne pojedyncze, rozproszone ziarna gruboziarnistego tłucznia.

3. Grubość ścianek naczyń: naczynia grubościennie (11–15 mm).
4. Barwa naczyń: brązowo-żółta.

CECHY MORFOLOGICZNE:

1. Typy den: naczynie 2: płaskie.
2. Wielkość naczyń: średnica dna 14 cm.

Kurhan nr 46

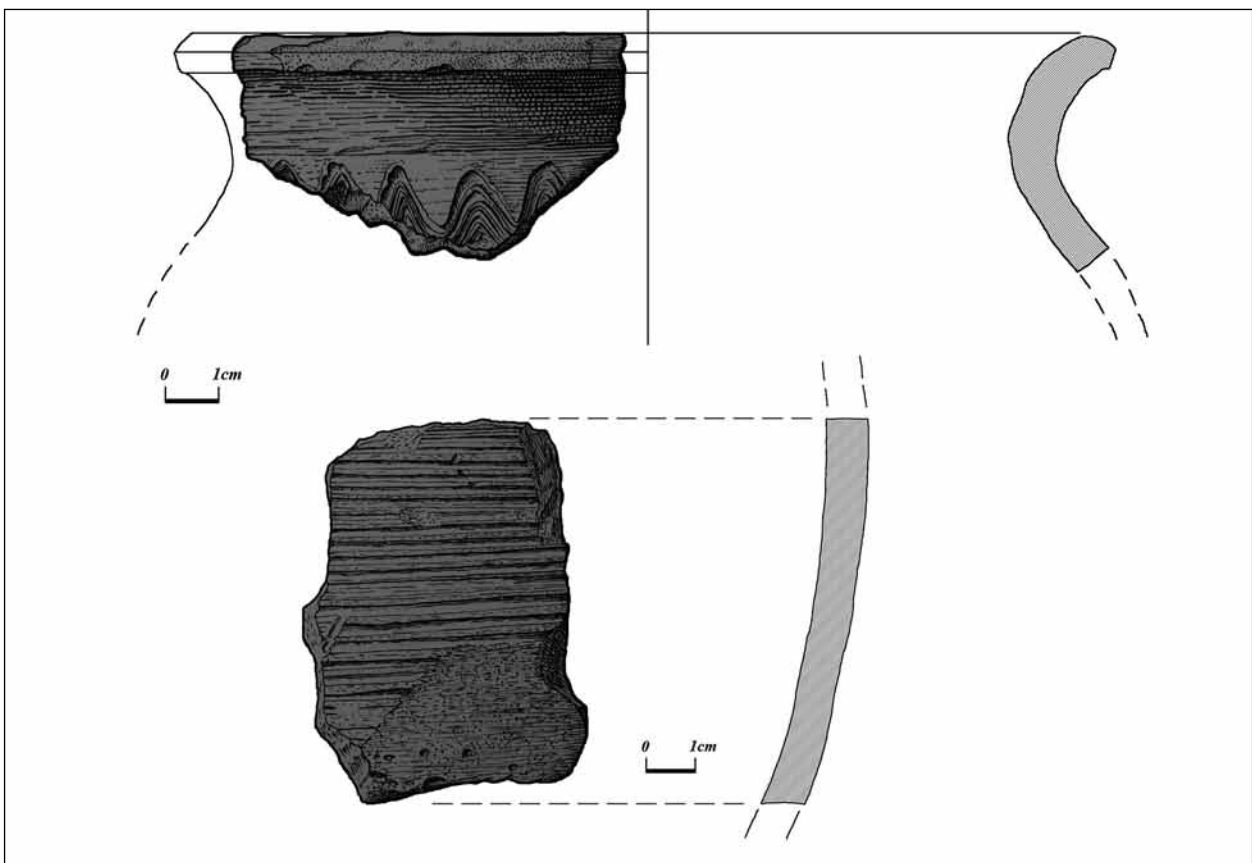
Opis i charakterystyka materiału:

Z rozoranego nasypu pochodzą 82 fragmenty ceramiki, głównie okruchy i drobne ułamki, jak też 18 większych fragmentów brzuśców z 5 naczyń oraz 1 duży fragment wylewu. Zdecydowana większość fragmentów należy do kategorii D wielkościowej. Do analiz wybrano nieliczne fragmenty należące do kategorii wielkościowej C: 7 fragmentów brzuśców należących do 3 naczyń, 1 fragment wylewu z wyodrębnioną szyjką oraz ornamentowaną górną częścią brzuśca (Ryc. 37, 38). Naczynia są zbliżone pod kątem technologicznym. Fragmenty ceramiki pochodzące z naczynia nr 3 posiadają analogie wśród zabytków odkrytych w kurhanie nr VII w Guciowie (A. Tyniec 2018, s. 198, ryc. 3.3). Chronologia: VIII/IX w.



Ryc. 37. Wybrane fragmenty naczyń glinianych odkryte w nasypie kurhanu nr 46 (fot. Ł. Miechowicz).

Fig. 37. Selection of clay vessel fragments discovered in the burial mound No. 46 (photo by Ł. Miechowicz).



Ryc. 38. Wybrane fragmenty naczyń glinianych odkryte w nasypie kurhanu nr 46 (oprac. A. Chlebicka, na podstawie rysunków M. Drewki).

Fig. 38. Selection of clay vessel fragments discovered in the burial mound No. 46 (prepared by A. Chlebicka after M. Drewko's drawings).

CECHY TECHNOLOGICZNE:

1. Technika lepienia i formowania ścianek naczyń: naczynia lepienie ręcznie; naczynie nr 1: 3 fragmenty brzuśca, ślady obtaczania i wygładzania, ornamentowane prawdopodobnie na całości; naczynie nr 2: 1 fragment wylewu z szyjką i górną częścią brzuśca, 2 fragmenty brzuśca, ślady obtaczania na powierzchni; naczynie 3: 1 fragment dna, 1 fragment wylewu, 12 fragmentów brzuśca, brak śladów obtaczania oraz wygładzania powierzchni; naczynia wykonane techniką wałeczkowo-pierścieniową.
2. Masa garncarska i rodzaj domieszki: naczynia 1 i 2: domieszka drobnoziarnista piasku; w przełomach i na powierzchni naczyń widoczne pojedyncze, rozproszone ziarna gruboziarnistego tłucznia, masa garncarska chuda; naczynie 3: średnioziarnista domieszka tłucznia skalnego, masa średniotłusta.
3. Grubość ścianek naczyń: naczynie 1: 7 mm (średniogrubościenne), naczynie 2: 6–7 mm, naczynie 3: 8 mm.
4. Barwa naczyń: brązowa.

CECHY MORFOLOGICZNE:

1. Forma naczyń: naczynia nr 2 i 3 esowate.
2. Wydętość brzuśca: naczynie 2 maksymalna wydętość w górnej części.
3. Typ i kształt linii profilowej wylewu: naczynie 1: odchylony pod kątem 45 stopni w stosunku do osi

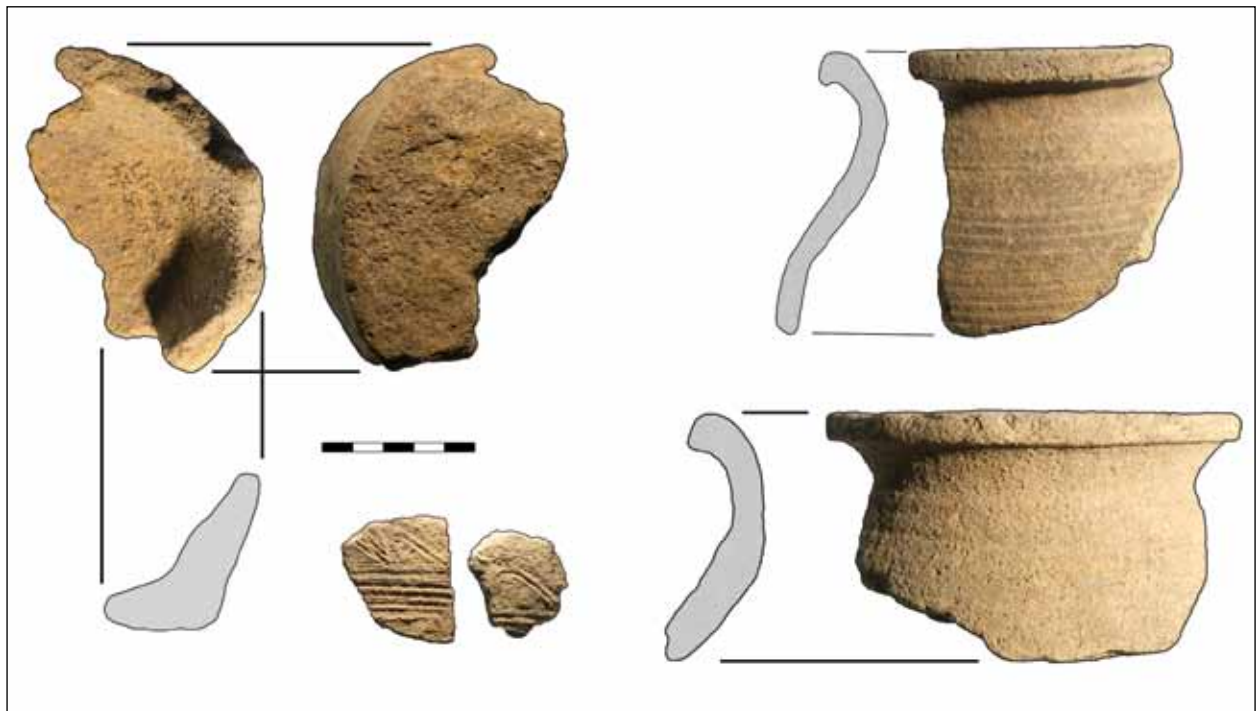
pionowej naczynia, zaokrąglona krawędź; naczynie 2: wylew odchylony pod kątem 40 stopni w stosunku do osi pionowej naczynia, o prostej krawędzi.

4. Typy den: naczynie 3: płaskie.
5. Wielkość naczyń: średnica wylewu: naczynie 2: 12 cm; średnica dna: naczynie 3: 10 cm.
6. Ornamentyka naczyń:
 - typ ornamentu i miejsce usytuowania: Naczynie 1: ornament w postaci poziomych linii na całości zachowanych fragmentów brzuśca; naczynie 2: ornament w postaci linii falistych w górnej części naczynia oraz poziomych w dolnej,
 - gęstość, głębokość i szerokość ornamentów: ornament wykonany grzebykiem; naczynie 1: szerokość 2 mm, odstęp o szerokość żłobienia, głębokość 1–1,5 mm; naczynie 2: szerokość 1 mm, odstęp od szerokość żłobienia, głębokość, 0,5 mm, linia falista składa się z 6 żłobień, ornament w postaci linii poziomych z 13 żłobień.

Kurhan nr 47

Opis i charakterystyka materiału:

Z badań kurhanu nr 47 pochodzą 233 fragmenty należące do co najmniej 150 wczesnośrednio-wiecznych naczyń glinianych, przeważnie drobne okruchy. Do analizy wybrano 3 fragmenty wylewów



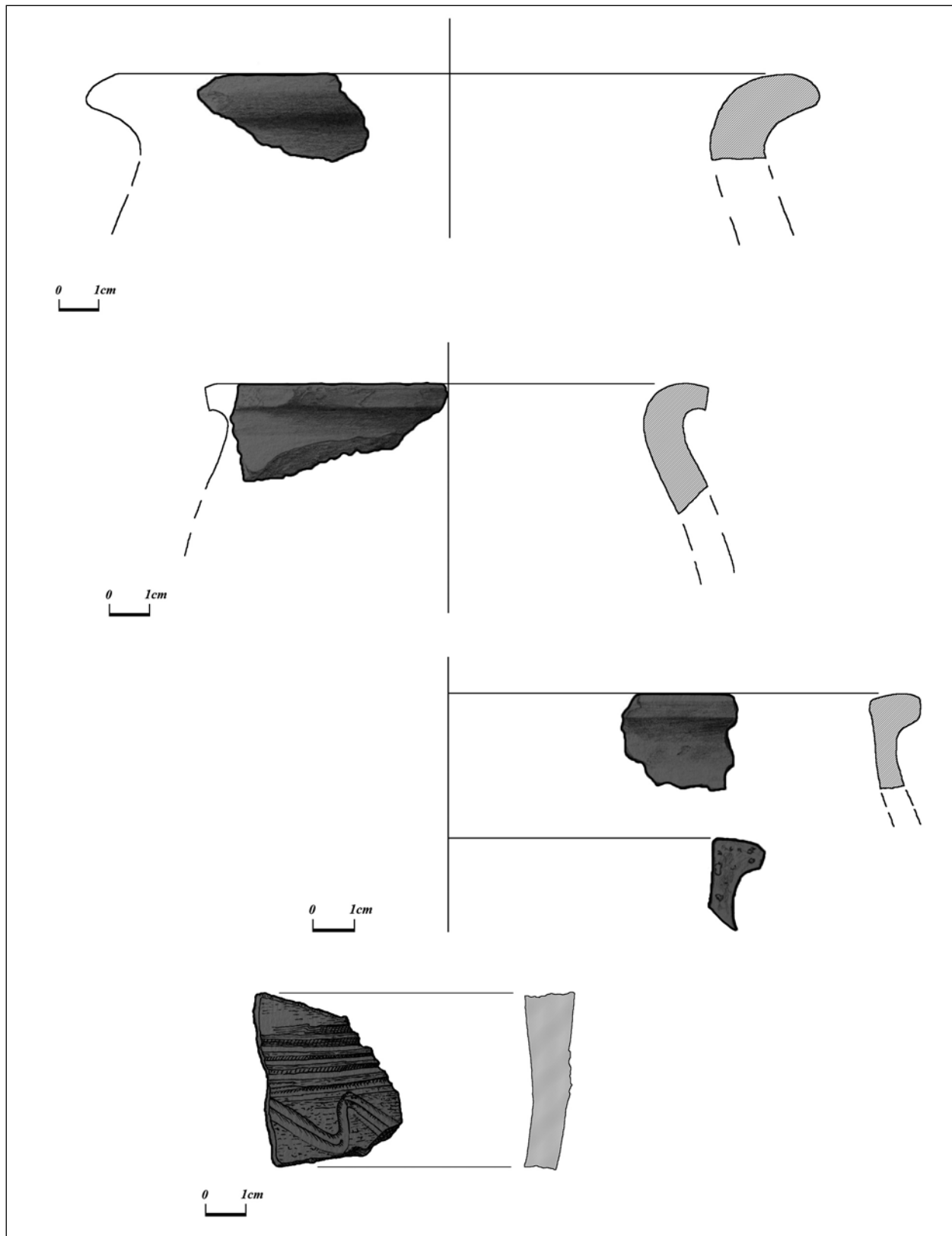
Ryc. 39. Wybrane fragmenty naczyń glinianych odkryte w nasypie kurhanu nr 47 (fot. Ł. Miechowicz, oprac. Ł. Miechowicz, A. Chlebicka).

Fig. 39. Selection of clay vessel fragments discovered in the burial mound No. 47 (photo by Ł. Miechowicz, prepared by Ł. Miechowicz, A. Chlebicka).

z 3 naczyń, 2 fragmenty den z 2 naczyń, 9 fragmentów brzuśców z 3 naczyń (Ryc. 39, 40). Wszystkie fragmenty są zbliżone pod kątem morfologicznym.

CECHY TECHNOLOGICZNE:

1. Technika lepienia i formowania ścianek naczyń: naczynia lepienie ręcznie. We wszystkich frag-



Ryc. 40. Wybrane fragmenty naczyń glinianych odkryte w nasypie kurhanu nr 47 (oprac. A. Chlebicka, na podstawie rysunków M. Drewki).

Fig. 40. Selection of clay vessel fragments discovered in the burial mound No. 46 (prepared by A. Chlebicka after M. Drewko's drawings).

mentach na przełomach widoczne ukośne ślady łączenia taśm.

2. Masa garncarska i rodzaj domieszki: we wszystkich fragmentach średnioziarnista domieszka tłuczni skalnego widoczna na przełomach i powierzchni, poza tym drobnoziarnista domieszka piasku. Masa średniotłusta.
3. Ślady zabiegów technicznych na dna naczyń: nie stwierdzono.
4. Grubość ścianek naczyń: Naczynia średnio-grubościenne (7–9 mm).
5. Barwa naczyń: brązowa i brązowo-szara.

CECHY MORFOLOGICZNE:

1. Forma naczyń: esowate, czteroelementowe z wyodrębnioną szyjką.
2. Wydętość brzuśca: w jednym przypadku maksymalna wydętość brzuśca w górnej partii naczynia.
3. Typ i kształt linii profilowej wylewu: wylewy zbliżone do siebie, mocno odchylone o prostej krawędzi.
4. Typy den: naczynie 3: płaskie.
5. Wielkość naczyń: średnice wylewów: 18, 14 i 14 cm, średnice den: 10 i 14 cm.
6. Ornamentyka naczyń:
 - typ ornamentu i miejsce usytuowania: ornament wyróżniono na 6 fragmentach ceramiki należących do 3 naczyń: 1. fragment wylewu z szyjką i górną partią brzuśca zdobione poziomymi liniami żłobionymi grzebykiem garncarskim; 2. 3 fragmenty brzuśca zdobione ornamentem w postaci poziomych linii; 3. 2 fragmenty naczynia zdobione ornamentem falistym oraz w postaci podłużnych linii,
 - gęstość, głębokość i szerokość ornamentów: naczynia 1 i 2: kolejne linie oddalone o szerokość żłobienia, głębokość 1 mm, szerokość 3 mm; naczynie nr 3: ornament falisty składa się z 3 żłobień wykonanych grzebykiem, głębokość żłobienia 1 mm, szerokość 2 mm. Ornament w postaci poziomych linii wykonany tym samym narzędziem, widoczne 7 rytych linii.

Kurhan nr 52

Opis i charakterystyka materiału:

Z badań kurhanu nr 52 pochodzi łącznie 408 fragmentów wczesnośredniowiecznej ceramiki naczyniowej, w tym 28 ornamentowanych. W zbiorze

tym możemy wyróżnić 10 fragmentów wylewów oraz 9 fragmentów den. Większość fragmentów należy do kategorii wielkościowej D, bez cech diagnostycznych. Do analiz technologicznych i morfologicznych wybrano fragmenty dwóch naczyń odkrytych w rowie przykurhanowym w ćwiartce NE kurhanu (Ryc. 41).

CECHY TECHNOLOGICZNE:

1. Technika lepienia i formowania ścianek naczyń: naczynia lepienie ręczne. We wszystkich fragmentach na przełomach widoczne ukośne ślady łączenia taśm. Obtaczane w górnej części.
2. Masa garncarska i rodzaj domieszki: naczynie 1: domieszka piasku oraz drobnoziarnistego tłuczni skalnego widoczna na powierzchni; naczynie 2: średnio- i gruboziarnisty tłuczeń skalny widoczny na powierzchni naczynia oraz w przełomach.
3. Grubość ścianek naczyń: naczynie 1: średnio-grubościenne (8 mm); naczynie 2: grubościenne (12 mm).
4. Barwa naczyń: jasnobrązowa.

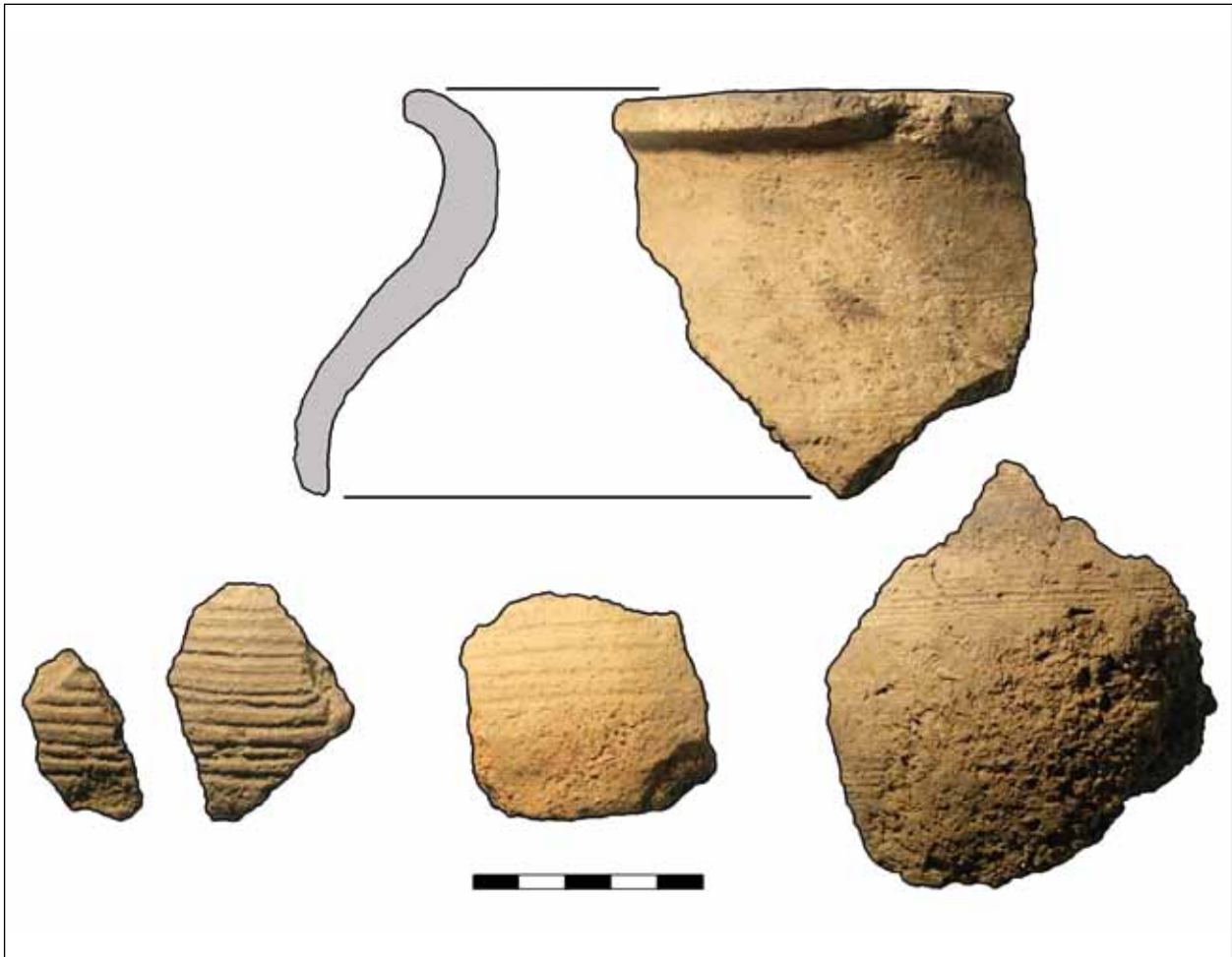
CECHY MORFOLOGICZNE:

1. Forma naczyń: esowate, czteroelementowe z wyodrębnioną szyjką.
2. Wydętość brzuśca: w jednym przypadku maksymalna wydętość brzuśca w górnej partii naczynia.
3. Typ i kształt linii profilowej wylewu: wylew średnio odchylony od pionowej osi naczynia.
4. Typy den: płaskie.
5. Wielkość naczyń: średnica wylewu: 20 cm; średnica dna: 8,8 cm.
6. Ornamentyka naczyń:
 - typ ornamentu i miejsce usytuowania: w przypadku jednego naczynia ornament w postaci poziomych, równoległych żłobień na całej powierzchni naczynia,
 - gęstość, głębokość i szerokość ornamentów: żłobienia oddalone od siebie o 6 mm, głębokość 1 mm, szerokość 1,5 mm.

Kurhan nr 56

Opis i charakterystyka materiału:

W trakcie badań kurhanu nr 56 odkryto łącznie 513 fragmentów wczesnośredniowiecznej ceramiki naczyniowej. Wyróżniono 10 fragmentów den oraz 20 fragmentów profili. Większość materiału stano-



Ryc. 41. Wybrane fragmenty naczyń glinianych odkryte w nasypie kurhanu nr 52 (fot. Ł. Miechowicz, oprac. Ł. Miechowicz, A. Chlebicka).

Fig. 41. Selection of clay vessel fragments discovered in the burial mound No. 52 (photo by Ł. Miechowicz, prepared by Ł. Miechowicz, A. Chlebicka).

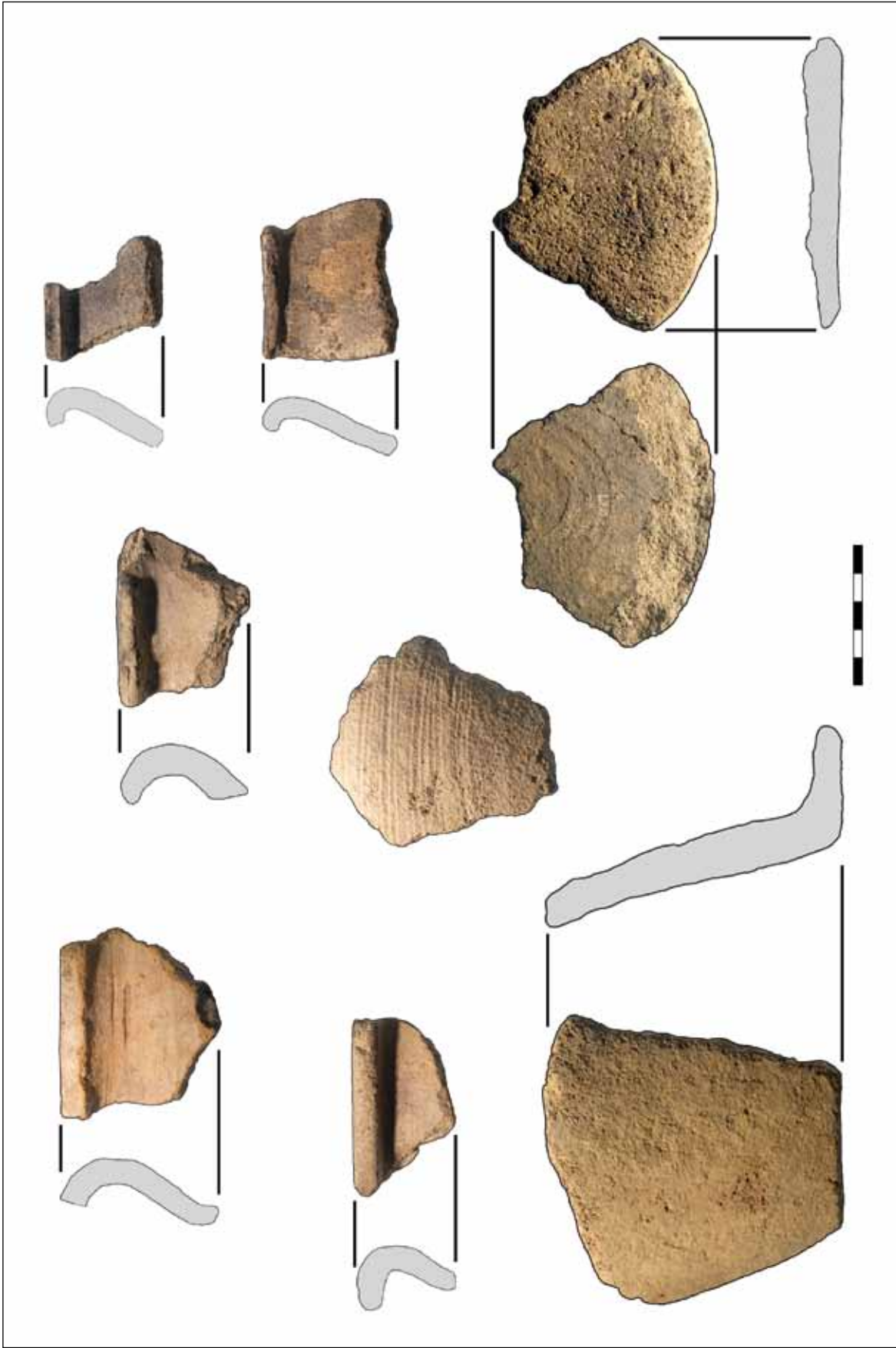
wią ułamki i okruchy ceramiki należące do kategorii wielkościowej D. Do analiz technologicznych oraz morfologicznych wybrano 24 fragmenty ceramiki naczyniowej kategorii wielkościowej B należących do 8 naczyń (Ryc. 42, 43).

CECHY TECHNOLOGICZNE:

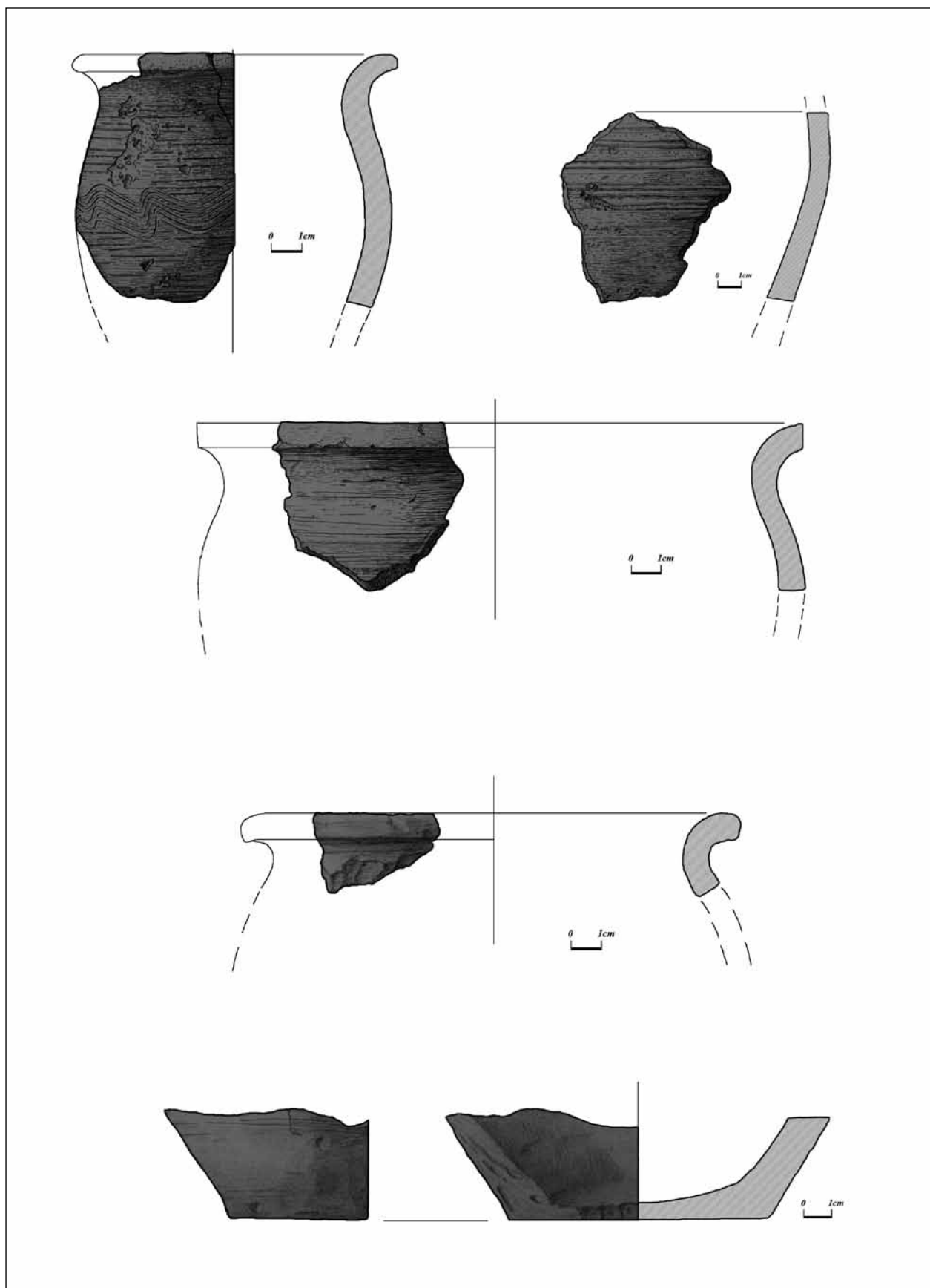
1. Technika lepienia i formowania ścianek naczyń: naczynia lepienie ręcznie. Niewidoczne ślady zastosowania techniki wałeczkowo-pierścieniowej oraz taśmowo-ślizgowej (GTII i III).
2. Masa garncarska i rodzaj domieszki: wszystkie naczynia cechuje domieszka piasku oraz drobnoziarnistego tłucznia skalnego widoczna na powierzchni.
3. Grubość ścianek naczyń: 9–12 mm.
4. Barwa naczyń: brązowa, szaro-brązowa.

CECHY MORFOLOGICZNE:

1. Forma naczyń: esowate, czteroelementowe z wyodrębnioną szyjką oraz trójelementowe bez wyodrębnionej szyjki; w jednym przypadku naczynie baniaste.
2. Typ i kształt linii profilowej wylewu: w 2 przypadkach wylew średnio odchylony od pionowej osi naczynia; w 2 kolejnych przypadkach wylew silnie odchylony od pionowej osi naczynia; kształt linii profilowej w trzech przypadkach zaokrąglony, w jednym prosty.
3. Typy den: płaskie.
4. Wielkość naczyń: średnice wylewów: 12, 14, 20, 22 cm; średnice den: 13 oraz 14 cm.
5. Ornamentyka naczyń:
 - typ ornamentu i miejsce usytuowania: jedynie w przypadku jednego naczynia zanotowano ornament w postaci poziomych, równoległych żłobień,



Ryc. 42. Wybrane fragmenty naczyń glinianych odkryte w nasypie kurhanu nr 56 (for. L. Mitechowicz, oprac. L. Mitechowicz, A. Chlebička).
 Fig. 42. Selection of clay vessel fragments discovered in the burial mound No. 56 (photo by L. Mitechowicz, prepared by L. Mitechowicz, A. Chlebička).



Ryc. 43. Wybrane fragmenty naczyń glinianych odkryte w nasypie kurhanu nr 56 (oprac. A. Chlebicka).

Fig. 43. A fragment of a vessel discovered in the burial mound No. 56 (prepared by A. Chlebicka).

- gęstość, głębokość i szerokość ornamentów: żłobienia oddalone od siebie o 3 mm, gł. 1 mm, szerokość 2 mm.

Kurhan nr 58

Opis i charakterystyka materiału:

Z badań kurhanu nr 58 pochodzi łącznie 409 fragmentów wczesnośredniowiecznej ceramiki naczyniowej. W zbiorze tym możemy wyróżnić 38 fragmentów wylewów oraz 12 fragmentów den. Większość fragmentów należy do kategorii wielkościowej D, bez cech diagnostycznych. Do analiz technologicznych i morfologicznych wybrano fragmenty 7 naczyń (50 fragmentów) odkrytych w nasypie kopca oraz rowach przykurhanowych (Ryc. 44).

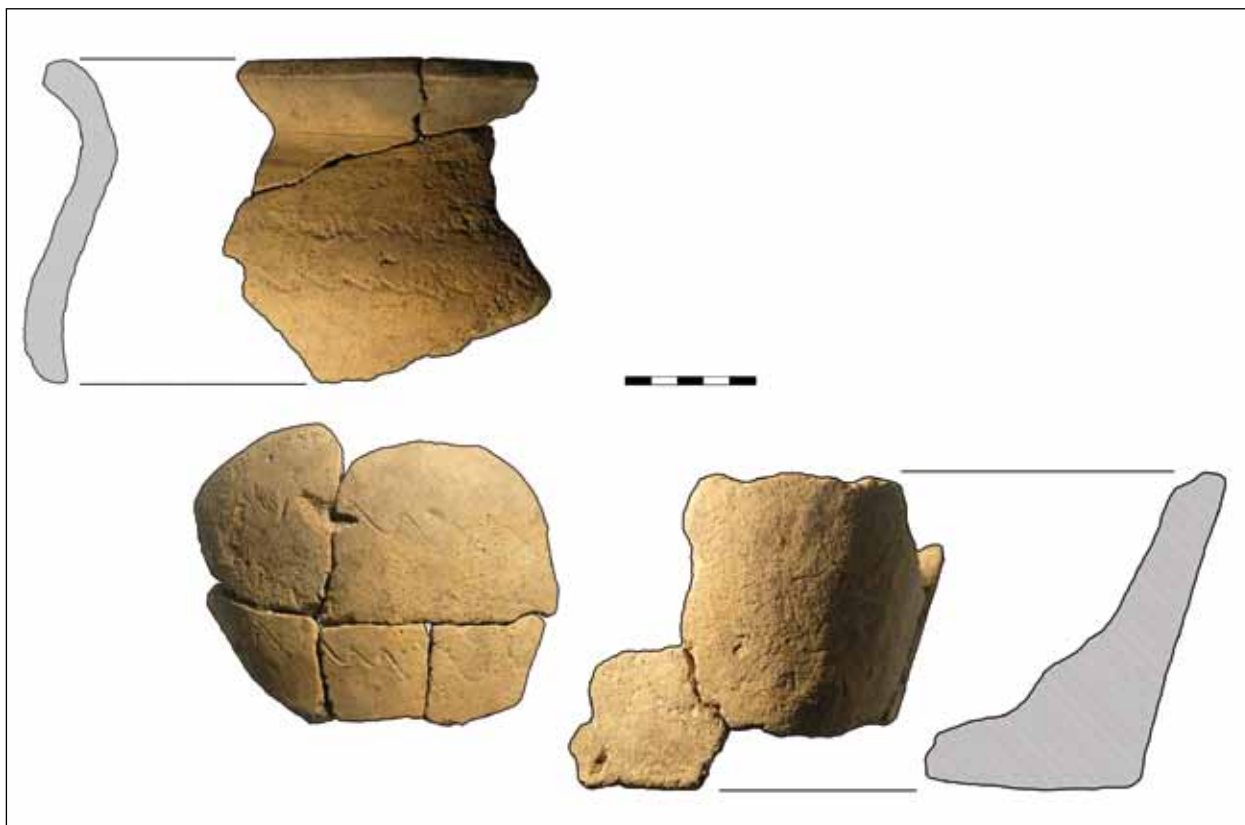
CECHY TECHNOLOGICZNE:

1. Technika lepienia i formowania ścianek naczyń: naczynia lepiące ręcznie. We wszystkich diagnostycznych fragmentach na przelomach widoczne ukośne ślady łączenia taśm. Obtaczane w górnej części.

2. Masa garncarska i rodzaj domieszki: naczynie 1: domieszka piasku oraz drobnoziarnistego tłucznia skalnego widoczna na powierzchni; w 2 przypadkach domieszka średnio- i gruboziarnistego tłucznia skalnego.
3. Grubość ścianek naczyń: naczynie 1: grubościennie (11–12 mm); pozostałe fragmenty średnio i grubościennie.
4. Barwa naczyń: brązowa.

CECHY MORFOLOGICZNE:

1. Forma naczyń: baniaste, trzelementowe bez wyodrębnionej szyjki.
2. Wydętość brzuśca: w jednym przypadku maksymalna wydętość brzuśca w górnej partii naczynia.
3. Typ i kształt linii profilowej wylewu: wylew średnio odchylony od pionowej osi naczynia, zaokrąglony.
4. Typy den: płaskie.
5. Wielkość naczyń: średnice wylewów: 16 i 18 cm; średnica dna: 11 cm.
6. Ornamentyka naczyń:
 - typ ornamentu i miejsce usytuowania: naczynie 1: linie faliste, ornament czterowątkowy składający się z pojedynczej rytej linii; naczynia 2 i 3:



Ryc. 44. Wybrane fragmenty naczyń glinianych odkryte w nasypie kurhanu nr 58 (fot. Ł. Miechowicz, oprac. Ł. Miechowicz, A. Chlebicka).

Fig. 44. Selection of clay vessel fragments discovered in the burial mound No. 58 (photo by Ł. Miechowicz, prepared by Ł. Miechowicz, A. Chlebicka).

ornament w postaci poziomych linii, żłobionych grzebykiem garncarskim, zaobserwowany na fragmentach brzuśca; naczynie 4: ornament w postaci poziomych linii (9 równoległych żłobień) oraz 1 cm poniżej ornament w postaci 3 równoległych linii falistych na górnej partii brzuśca,

- gęstość, głębokość i szerokość ornamentów: naczynie 1: żłobienia oddalone od siebie o 3 cm, głębokość 1 mm, szerokość 2 mm; naczynia 2 i 3: odległość o szerokość żłobienia, głębokość 1,5 mm, szerokość 2 mm; naczynie 4: głębokość żłobień 1 mm, szerokość 1 mm, odległość o szerokość żłobienia.

Kurhan nr 59

Opis i charakterystyka materiału:

Z badań kurhanu nr 59 pochodzą 132 okruchy i bardzo drobne ułamki ceramiki naczyniowej. Są to w większości fragmenty brzuśców. Naczynia lepienie ręcznie metodą wałeczkowo-pierścieniową. Na powierzchni naczyń nie zanotowano śladów obtaczania. Domieszka drobnoziarnista piasku oraz średnio- i gruboziarnista tłucznia skalnego. Nie zanotowano ornamentu na powierzchni ułamków ceramiki.

Kurhan nr 60

Opis i charakterystyka materiału:

Z badań kurhanu nr 60 pochodzą łącznie 672 fragmenty wczesnośredniowiecznej ceramiki naczyniowej. W zbiorze tym możemy wyróżnić 16 fragmentów wylewów oraz 20 fragmentów den. Na 19 fragmentach stwierdzono obecność ornamentu. Większość fragmentów należy do kategorii wielkościowej D, bez cech diagnostycznych. Do analiz technologicznych i morfologicznych wybrano 53 fragmenty kategorii wielkościowej B, C i D należących do 14 naczyń, odkrytych w nasypie kopca oraz jego spływie do rowów przykurhanowych (Ryc. 45).

CECHY TECHNOLOGICZNE:

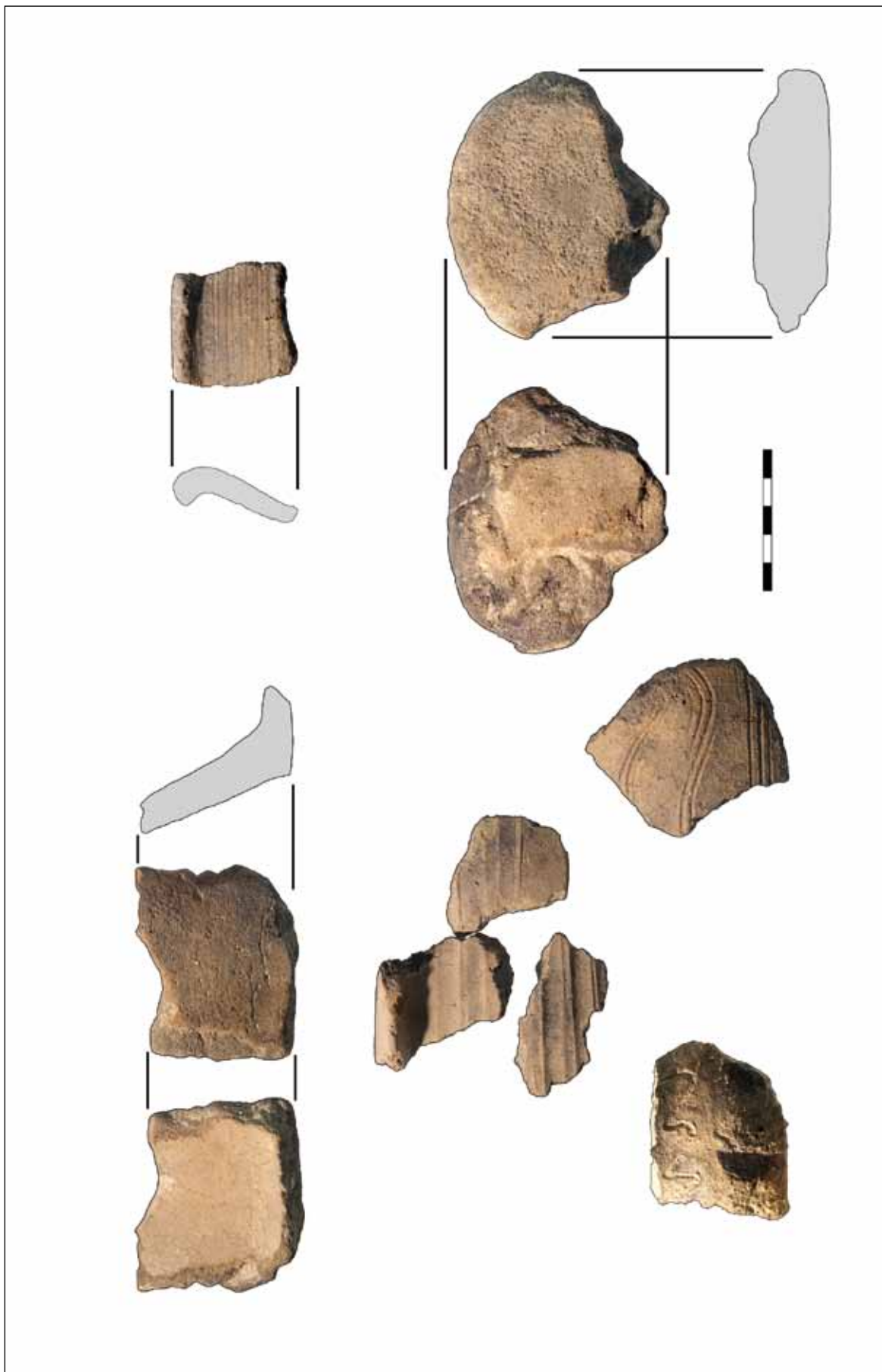
1. Technika lepienia i formowania ścianek naczyń: naczynia lepienie ręcznie. We wszystkich frag-

mentach na przełomach widoczne ukośne ślady łączenia taśm.

2. Masa garncarska i rodzaj domieszki: zanotowano zarówno naczynia z drobnoziarnistą domieszką piasku, z dodatkiem drobnoziarnistego tłucznia skalnego widocznego na powierzchni i w przełomach skorup jak też fragmenty z domieszką średnio- i gruboziarnistego tłucznia skalnego widocznego na powierzchni. Masy garncarskie zarówno chuda, jak i średniotłusta.
3. Grubość ścianek naczyń: naczynia średnio- (8–10 mm) i grubościennie (11–12 mm).
4. Barwa naczyń: brązowa, szarobrązowa, ceglasta.

CECHY MORFOLOGICZNE:

1. Forma naczyń: w jednym przypadku naczynie esowate, czteroelementowe z wyodrębnioną szyjką; naczynie baniaste z słabo odchylonym profilem, trójelementowe, bez wyodrębnionej szyjki.
2. Typ i kształt linii profilowej wylewu: wylewy średnio odchylone od pionowej osi naczynia, w jednym przypadku o spłaszczonym, trójkątnym zakończeniu, w pozostałych zaokrąglone.
3. Typy den: płaskie.
4. Wielkość naczyń: średnice wylewów: 14, 20, 22 cm; średnica dna: 9 cm.
5. Ornamentyka naczyń:
 - typ ornamentu i miejsce usytuowania: stwierdzono trzy rodzaje ornamentu: 1. w postaci poziomych równoległych linii rytych, wykonanych grzebykiem garncarskim, zanotowano je zarówno w górnej części naczyń, jak i na wysokości maksymalnej wydętości brzuśców; 2. ornament w postaci poziomych równoległych listew, zanotowany w przypadku jednego naczynia za równo na szyjce jak i brzuścu; 3. ornament w postaci równoległych linii falistych, zaobserwowany na fragmentach brzuśców dwóch naczyń,
 - gęstość, głębokość i szerokość ornamentów: 1. gęstość linii rytych co 2–3 mm, głębokość 1 mm, szerokość 1–1,5 mm; 2. listwy o szerokości 5–7 mm, głębokości 1 mm, odstępy co 2–3 mm; 3. ornament falisty składający się w jednym przypadku z pojedynczej linii rytej o głębokości 2 mm, szerokości 2 mm, oraz w drugim przypadku z dwóch żłobień o głębokości 2–3 mm i szerokości 2 mm.



Ryc. 45. Wybrane fragmenty naczyń glinianych odkryte w nasypie kurhanu nr 60 (fot. Ł. Miechowicz, oprac. Ł. Miechowicz, A. Chlebicka).
 Fig. 45. Selection of clay vessel fragments discovered in the burial mound No. 60 (photo by Ł. Miechowicz, prepared by Ł. Miechowicz, A. Chlebicka).

Kurhan nr 61

Opis i charakterystyka materiału:

Z badań kurhanu nr 61 pochodzi 695 fragmentów wczesnośredniowiecznej ceramiki naczyniowej. W zbiorze tym możemy wyróżnić 32 fragmenty wylewów oraz 21 fragmentów den. Na 27 fragmentach stwierdzono obecność ornamentu. Większość fragmentów to bardzo drobne okruchy i ułamki ceramiki, należące do kategorii wielkościowej D, bez cech diagnostycznych. Do analiz technologicznych i morfologicznych wybrano 57 fragmentów kategorii wielkościowej A, B i C należących do 10 naczyń, odkrytych w nasypie kopca i jego spływie do rowów przykurhanowych (Ryc. 46–50).

CECHY TECHNOLOGICZNE:

1. Technika lepienia i formowania ścianek naczyń: naczynia lepienie ręcznie. Na kilku fragmentach na przełomach widoczne ślady zastosowania techniki wałeczkowo-pierścieniowej oraz ukośne ślady łączenia taśm. Powierzchnia naczyń wygładzana, w jednym przypadku widoczne ślady obtaczania szyjki i górnej części brzuśca.
2. Masa garncarska i rodzaj domieszki: zanotowano zarówno naczynia z drobnoziarnistą domieszką piasku, z dodatkiem drobnoziarnistego tłucznia skalnego widocznego na powierzchni i w przełomach skorup, jak też fragmenty z domieszką średnio- i gruboziarnistego tłucznia skalnego widocznego na powierzchni.
3. Ślady zabiegów technicznych na dna naczyń: podsypka z drobnoziarnistego tłucznia skalnego.
4. Grubość ścianek naczyń: naczynia średnio- (7–9 mm) i grubościennie (11–13 mm).
5. Barwa naczyń: brązowa, brunatna, ciemnoszara, ceglasta.

CECHY MORFOLOGICZNE:

1. Forma naczyń: cztery naczynie esowate, czteroelementowe z wyodrębnioną szyjką.
2. Typ i kształt linii profilowej wylewu: wylewy mocno i średnio odchyłone od pionowej osi naczynia, proste i zaokrąglone.
3. Typy den: płaskie.
4. Wielkość naczyń: średnice wylewów: 14, 20, 22, 24 cm; średnice den: 7,5, 8, 12 cm.

5. Ornamentyka naczyń:

- typ ornamentu i miejsce usytuowania: stwierdzono trzy typy ornamentu: 1. w postaci równoległych linii rytych zanotowanych na 2 fragmentach brzuśców; 2. ornament w postaci linii falistej zaobserwowany na 4 fragmentach 2 naczyń; 3. ornament stempelkowy widoczny na 1 fragmencie brzuśca,
- gęstość, głębokość i szerokość ornamentów: 1. gęstość linii rytych co 2–3 mm, głębokość 1 mm, szerokość 1–1,5 mm; 2. ornament falisty składający się w jednym przypadku z pojedynczej linii rytej o głębokości 2 mm, szerokości 2 mm oraz w drugim przypadku z trzech żłobien o głębokości 2–3 mm i szerokości 2 mm; 3. Ornament stempelkowy jednowątkowy, głębokość odcisku 2 mm.

Kurhan nr 62

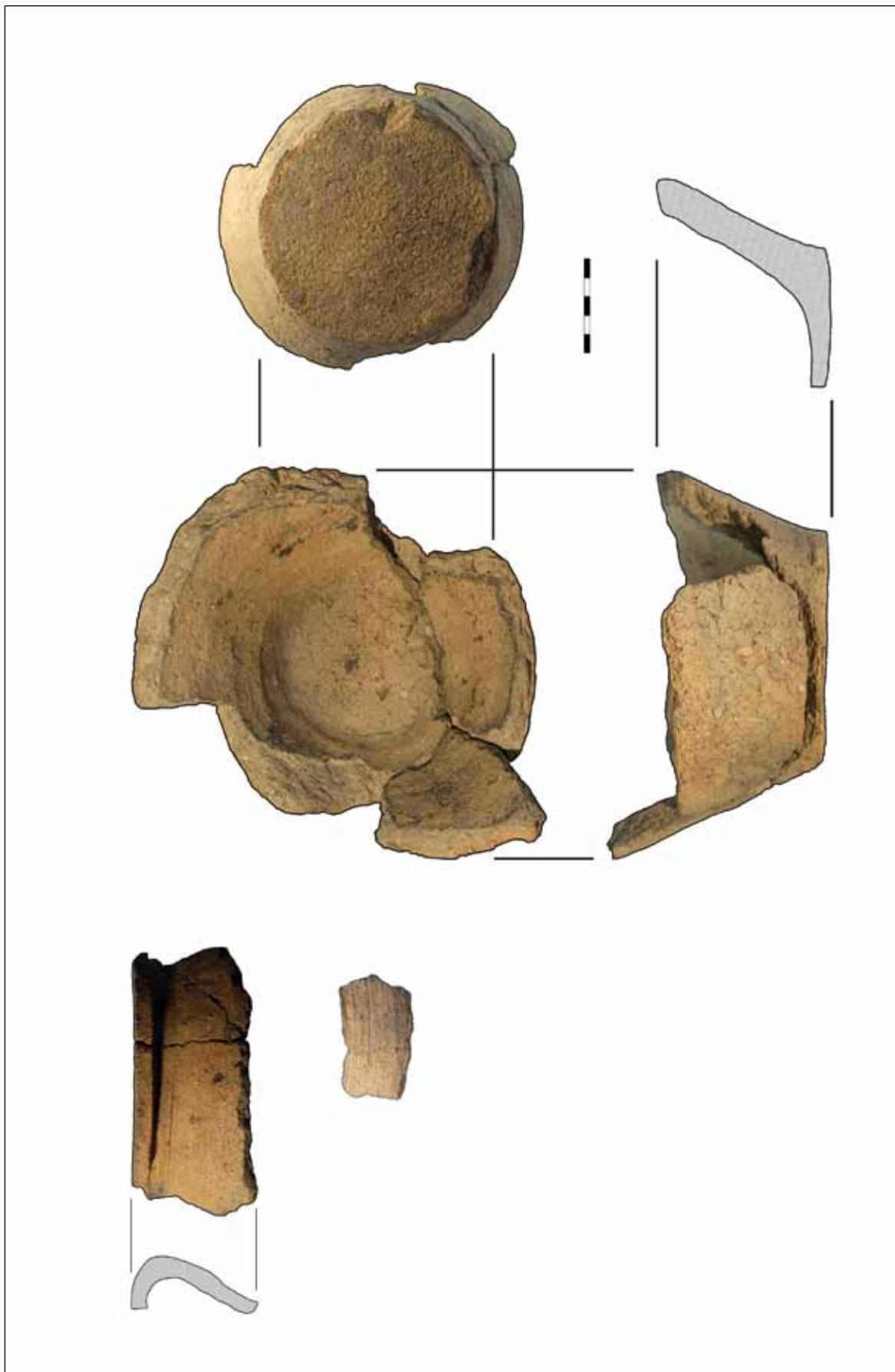
Opis i charakterystyka materiału:

W trakcie badań kurhanu oznaczonego numerem 62 odkryto 350 fragmentów naczyń glinianych należących do ok. 90 naczyń. W znacznej części są to drobne okruchy i ułamki ceramiki, które możemy zakwalifikować do kategorii wielkościowej D.

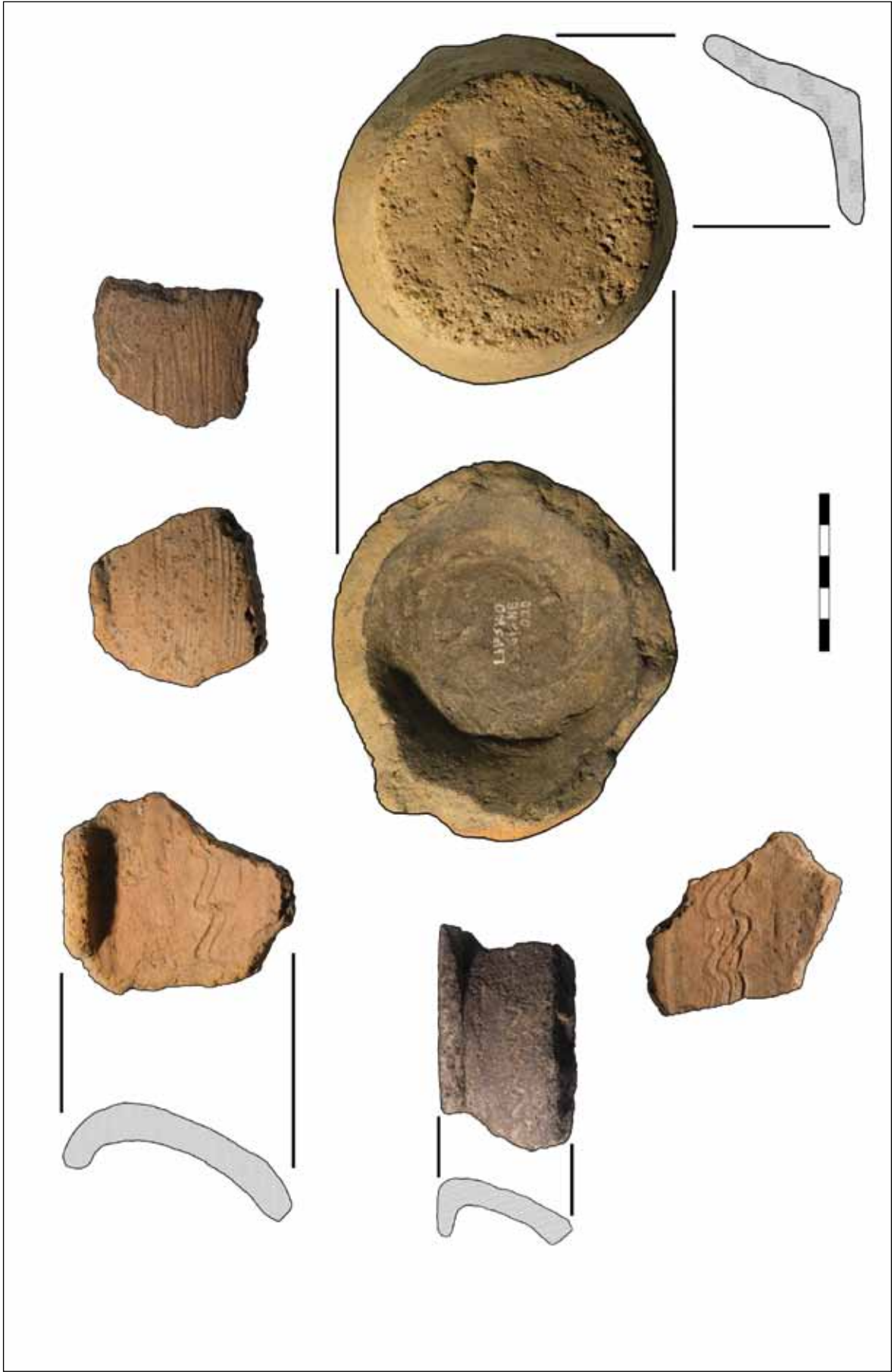
Wśród materiału wyróżniono 10 fragmentów den oraz 20 fragmentów profilów (Ryc. 51, 52). Na 12 fragmentach stwierdzono zdobienie powierzchni w postaci ornamentu.

CECHY TECHNOLOGICZNE:

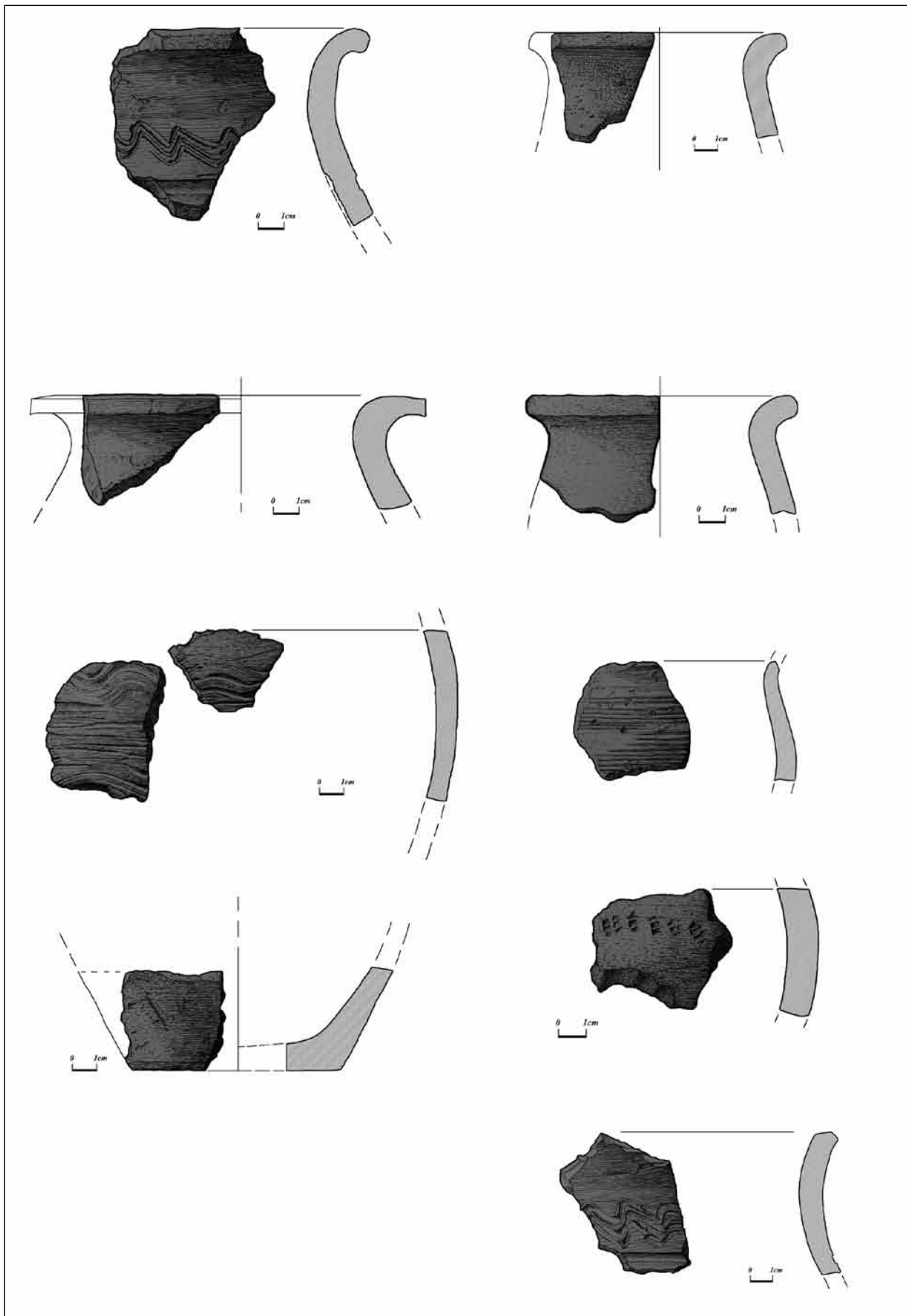
1. Technika lepienia i formowania ścianek naczyń: naczynia lepienie ręcznie. Na przełomach widoczne ślady zastosowania techniki wałeczkowo-pierścieniowej oraz taśmowo-ślizgowej. Powierzchnia naczyń wygładzana, widoczne ślady obtaczania górnych partii naczyń w dwóch przypadkach.
2. Masa garncarska i rodzaj domieszki: w większości fragmentów domieszka drobnoziarnista piasku z dodatkiem drobnoziarnistego tłucznia skalnego. Na kilku fragmentach widoczna domieszka gruboziarnistego tłucznia skalnego, widocznego na powierzchni i w przełomach skorup.
3. Ślady zabiegów technicznych na dna naczyń: podsypka z gruboziarnistego tłucznia skalnego.
4. Grubość ścianek naczyń: naczynia średnio- (7–9 mm) i grubościennie (11–13 mm).
5. Barwa naczyń: brązowa i ciemnoszara.



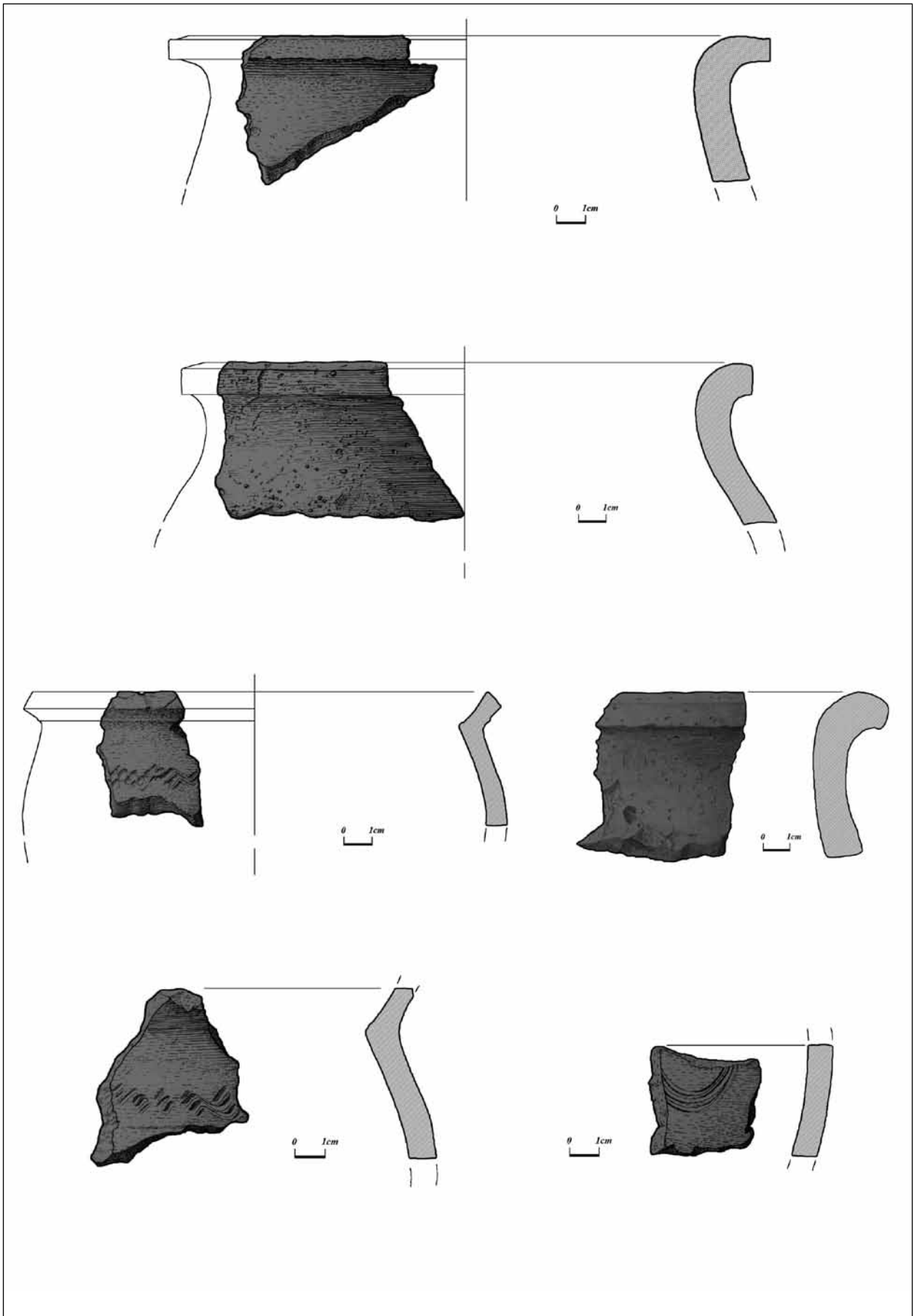
Ryc. 46. Wybrane fragmenty naczyń glinianych odkryte w nasypie kurhanu nr 61 (fot. Ł. Miechowicz, oprac. Ł. Miechowicz, A. Chlebicka).
 Fig. 46. Selection of clay vessel fragments discovered in the burial mound No. 61 (photo by Ł. Miechowicz, prepared by Ł. Miechowicz, A. Chlebicka).



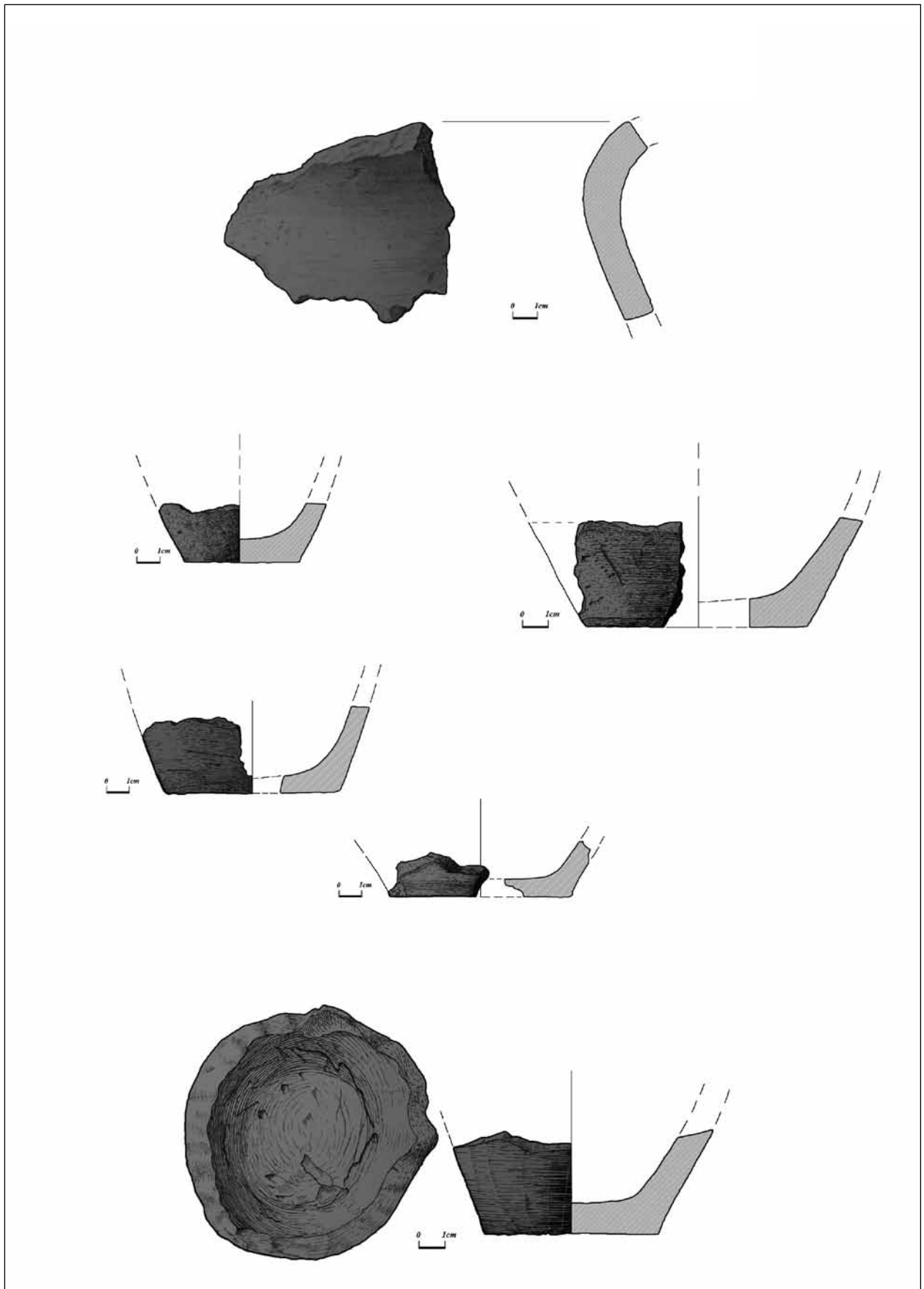
Ryc. 47. Wybrane fragmenty naczyń glinianych odkryte w nasypie kurhanu nr 61 (fot. L. Miechowicz, oprac. L. Miechowicz, A. Chlebicka).
 Fig. 47. Selection of clay vessel fragments discovered in the burial mound No. 61 (photo by L. Miechowicz, prepared by L. Miechowicz, A. Chlebicka).



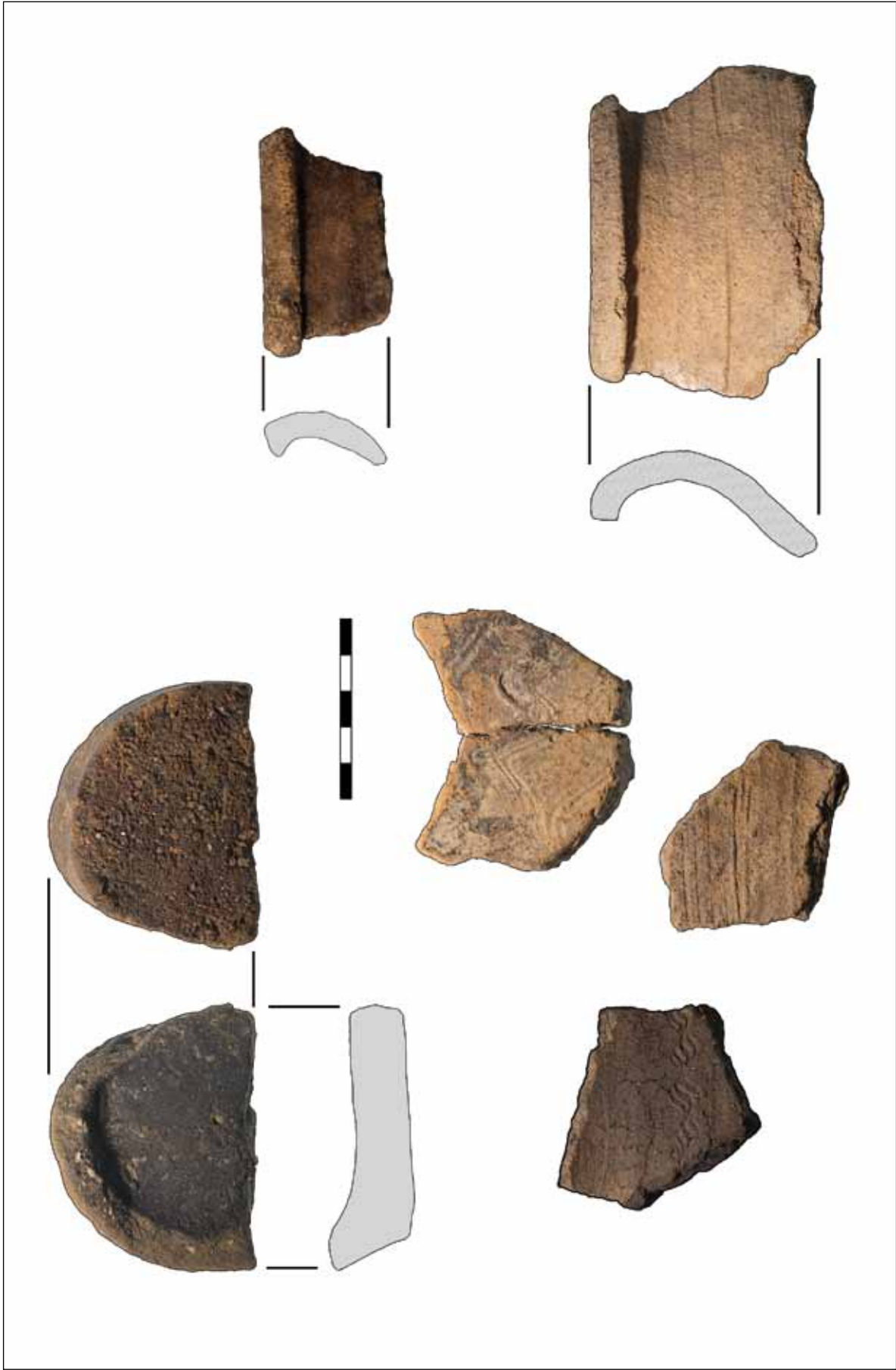
Ryc. 48. Wybrane fragmenty naczyń glinianych odkryte w nasypie kurhanu nr 61 (oprac. A. Chlebicka, na podstawie rysunków M. Drewki).
 Fig. 48. Selection of clay vessel fragments discovered in the burial mound No. 61 (prepared by A. Chlebicka after M. Drewko's drawings).



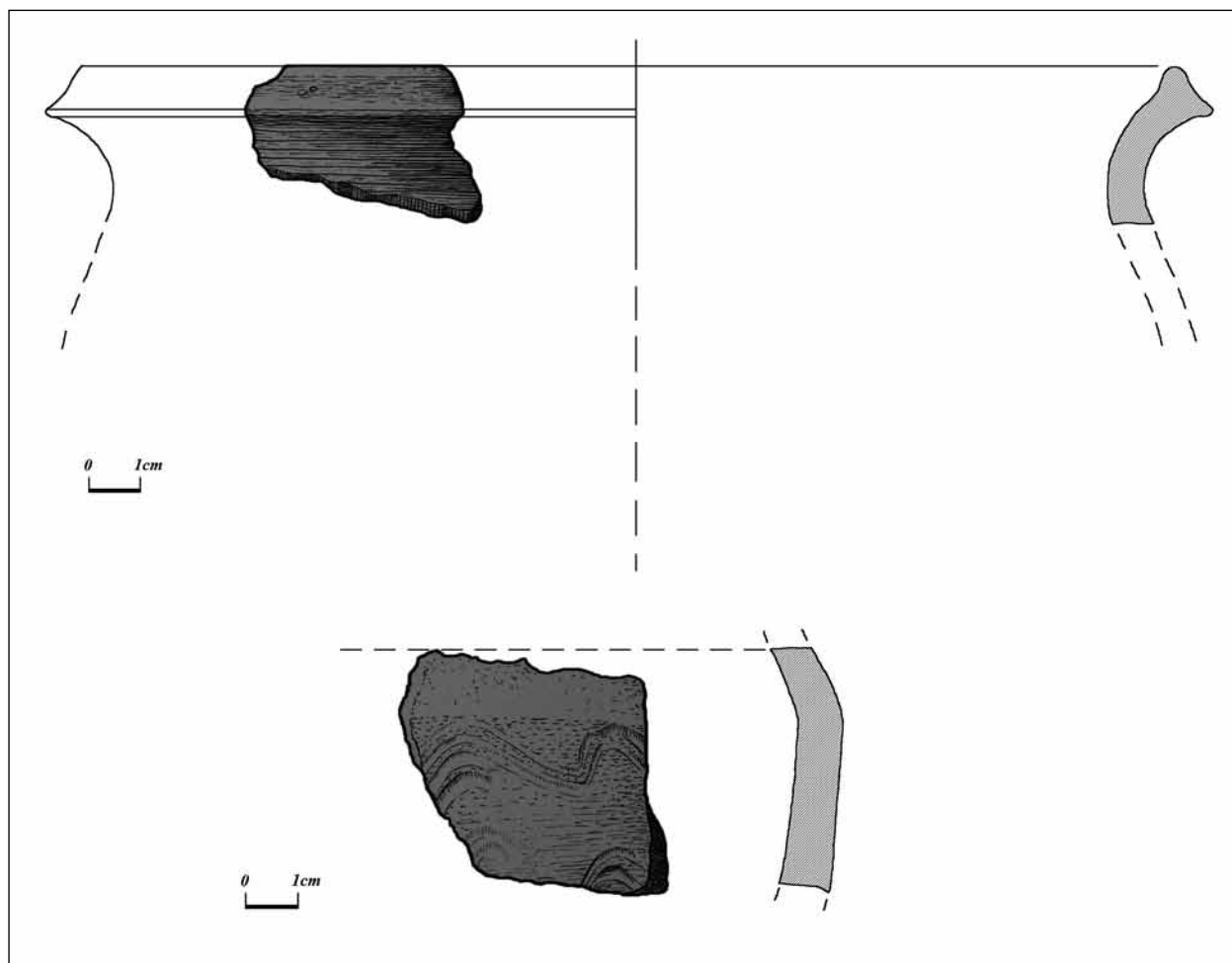
Ryc. 49. Wybrane fragmenty naczyń glinianych odkryte w nasypie kurhanu nr 61 (oprac. A. Chlebicka, na podstawie rysunków M. Drewki).
 Fig. 49. Selection of clay vessel fragments discovered in the burial mound No. 61 (prepared by A. Chlebicka after M. Drewko's drawings).



Ryc. 50. Wybrane fragmenty naczyń glinianych odkryte w nasypie kurhanu nr 61 (oprac. A. Chlebicka, na podstawie rysunków M. Drewki).
 Fig. 50. Selection of clay vessel fragments discovered in the burial mound No. 61 (prepared by A. Chlebicka after M. Drewko's drawings).



Ryc. 51. Wybrane fragmenty naczyń glinianych odkryte w nasypie kurhanu nr 62 (fot. L. Mieczowicz, oprac. L. Mieczowicz, A. Chlebicka).
 Fig. 51. Selection of clay vessel fragments discovered in the burial mound No. 62 (photo by L. Mieczowicz, prepared by L. Mieczowicz, A. Chlebicka).



Ryc. 52. Wybrane fragmenty naczyń glinianych odkryte w nasypie kurhanu nr 62 (oprac. A. Chlebicka, na podstawie rysunków M. Drewki).

Fig. 52. Selection of clay vessel fragments discovered in the burial mound No. 62 (prepared by A. Chlebicka after M. Drewko's drawings).

CECHY MORFOLOGICZNE:

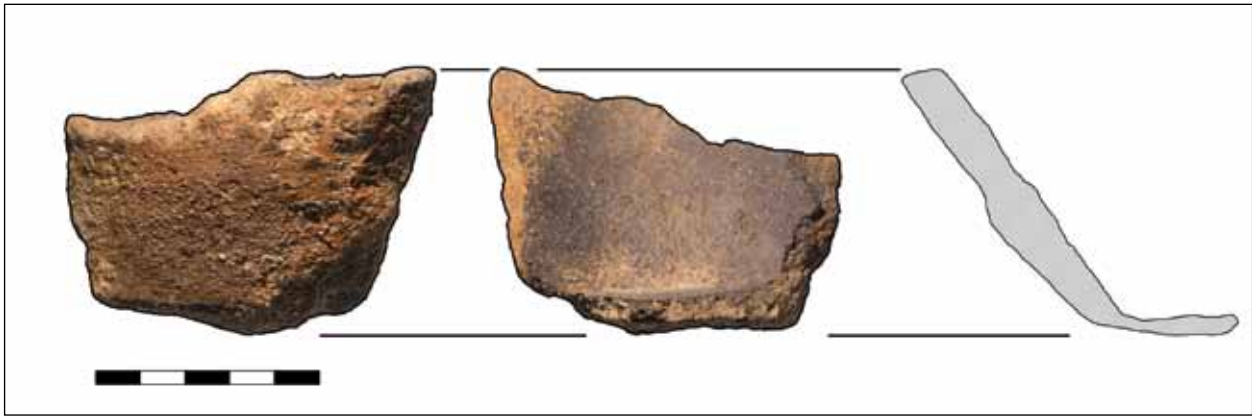
1. Forma naczyń: dwa naczynie esowate, czteroelementowe z wyodrębnioną szyjką.
2. Typ i kształt linii profilowej wylewu: wylewy średnio odchylone od pionowej osi naczynia, z prostym zakończeniem.
3. Typy den: płaskie.
4. Wielkość naczyń: średnice wylewów: 18 i 16 cm; średnica dna: 8,5 cm.
5. Ornamentyka naczyń:
 - typ ornamentu i miejsce usytuowania: stwierdzono dwa typy ornamentu: 1. poziome równoległe do siebie żłobienia pokrywające górną partię naczynia oraz brzusec; 2. zdobienie w postaci linii falistej za notowane na dwóch fragmentach brzuśca,

- gęstość, głębokość i szerokość ornamentów: 1. gęstość linii rytych co 2–3 mm, głębokość 1 mm, szerokość 1–1,5 mm; 2. ornament falisty składający się z trzech linii rytych, głębokość 1 mm, szerokość 2–3 mm, gęstość żłobienia co 2–3 mm.

Kurhan nr 63:

Opis i charakterystyka materiału:

Materiał ceramiczny odkryty w nasypie kurhanu nr 63 składa się z 383 fragmentów naczyń glinianych, bardzo mocno rozdrobnionych, które możemy zaliczyć do kategorii wielkościowej D. Wśród ułamków możemy wyróżnić zarówno fragmenty wylewów (15), jak i den (8). Tylko 23 fragmenty ceramiki możemy zaliczyć do kategorii wielkościowej C, jeden do kategorii B (Ryc. 53).



Ryc. 53. Fragment naczynia glinianego odkrytego w nasypie kurhanu nr 63 (fot. Ł. Miechowicz, oprac. Ł. Miechowicz, A. Chlebicka).

Fig. 53. Fragment of a vessel discovered in the burial mound No. 63 (photo by Ł. Miechowicz, prepared by Ł. Miechowicz, A. Chlebicka).

CECHY TECHNOLOGICZNE:

1. Technika lepienia i formowania ścianek naczyń: naczynia lepiące ręcznie. We wszystkich fragmentach na przełomach widoczne ukośne ślady łączenia taśm. Powierzchnia naczyń wygładzana.
2. Masa garncarska i rodzaj domieszki: w części fragmentów domieszka drobnoziarnista piasku z dodatkiem drobnoziarnistego tłucznia skalnego. Na kilku fragmentach widoczna domieszka gruboziarnistego tłucznia skalnego, widocznego na powierzchni i w przełomach skorup.
3. Grubość ścianek naczyń: naczynia średnio- (8–9 mm) i grubościennie (12–13 mm).
4. Barwa naczyń: brązowa, ceglasta.

CECHY MORFOLOGICZNE:

1. Typ i kształt linii profilowej wylewu: wylewy średnio odchylone od pionowej osi naczynia, z prostym zakończeniem.
2. Typy den: płaskie.
3. Wielkość naczyń: średnice wylewów: 20, 24 cm; średnica dna: 8 cm.

Kurhan nr 64

Opis i charakterystyka materiału:

Materiał ceramiczny odkryty w nasypie kurhanu nr 64 składa się z 239 bardzo drobnych fragmentów naczyń glinianych, które możemy zaliczyć do kategorii wielkościowej D, średnio- i grubościennych. Wśród ułamków wyróżniono 7 fragmentów wylewów oraz 3 fragmenty den. Naczynia lepiące ręcznie

metodą wałeczkowo-pierścieniową. Powierzchnia naczyń wygładzana.

Stan zachowania materiału ceramicznego nie kwalifikuje go do dalszych analiz technologicznych oraz morfologicznych.

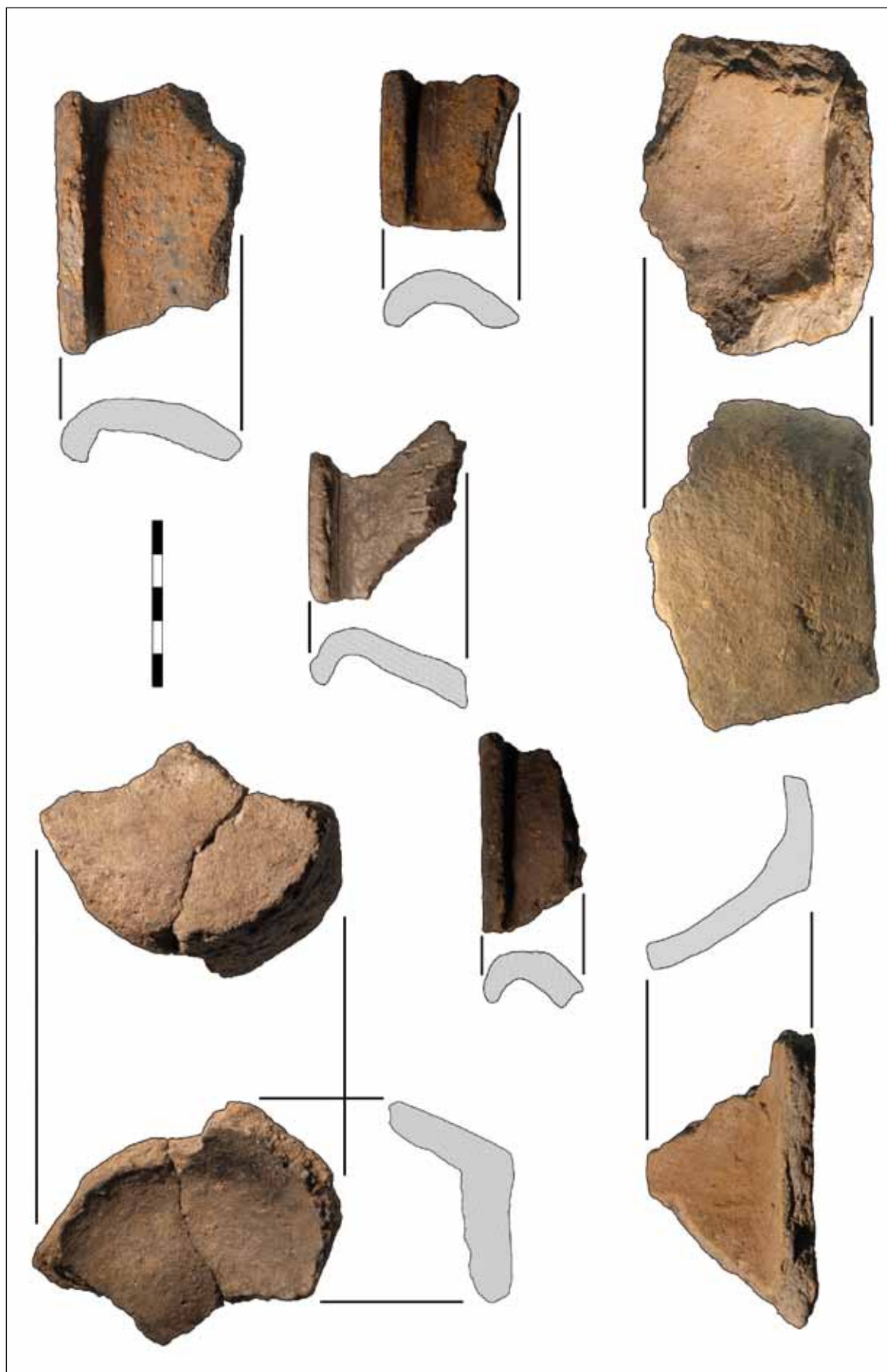
Kurhan nr 65

Opis i charakterystyka materiału:

W trakcie badań kurhanu nr 65 odkryto 392 fragmenty ceramiki wczesnośredniowiecznej. W większości, podobnie jak w pozostałych przypadkach, bardzo mocno rozdrobnionej, którą możemy zakwalifikować do kategorii wielkościowej D. W zbiorze wyróżniono 8 fragmentów profili, 16 fragmentów den. Tylko 3 fragmenty den oraz 2 fragmenty brzuśców możemy zakwalifikować do kategorii wielkościowej B, ponadto 40 fragmentów kategorii C (Ryc. 54).

CECHY TECHNOLOGICZNE:

1. Technika lepienia i formowania ścianek naczyń: naczynia lepiące ręcznie metodą wałeczkowo-pierścieniową oraz taśmowo-ślizgową; powierzchnia naczyń wygładzana.
2. Masa garncarska i rodzaj domieszki: w większości fragmentów domieszka drobnoziarnista piasku z dodatkiem drobnoziarnistego tłucznia skalnego. Na kilku fragmentach widoczna domieszka gruboziarnistego tłucznia skalnego, widocznego na powierzchni i w przełomach skorup.
3. Grubość ścianek naczyń: naczynia średnio- (7–9 mm) i grubościennie (11–13 mm).
4. Barwa naczyń: brązowa i ciemnoszara oraz ceglasta.



Ryc. 54. Wybrane fragmenty naczyń glinianych odkryte w nasypie kurhanu nr 65 (for. Ł. Miechowicz, oprac. Ł. Miechowicz, A. Chlebicka).
 Fig. 54. Selection of clay vessel fragments discovered in the burial mound No. 65 (photo by Ł. Miechowicz, prepared by Ł. Miechowicz, A. Chlebicka).

CECHY MORFOLOGICZNE:

1. Typ i kształt linii profilowej wylewu: wylewy średnio odchylone od pionowej osi naczynia, z prostym zakończeniem.
2. Typy den: płaskie.
3. Wielkość naczyń: średnice profilów: 20, 22 cm; średnice den 8, 10 cm.

Kurhan nr 66

Opis i charakterystyka materiału:

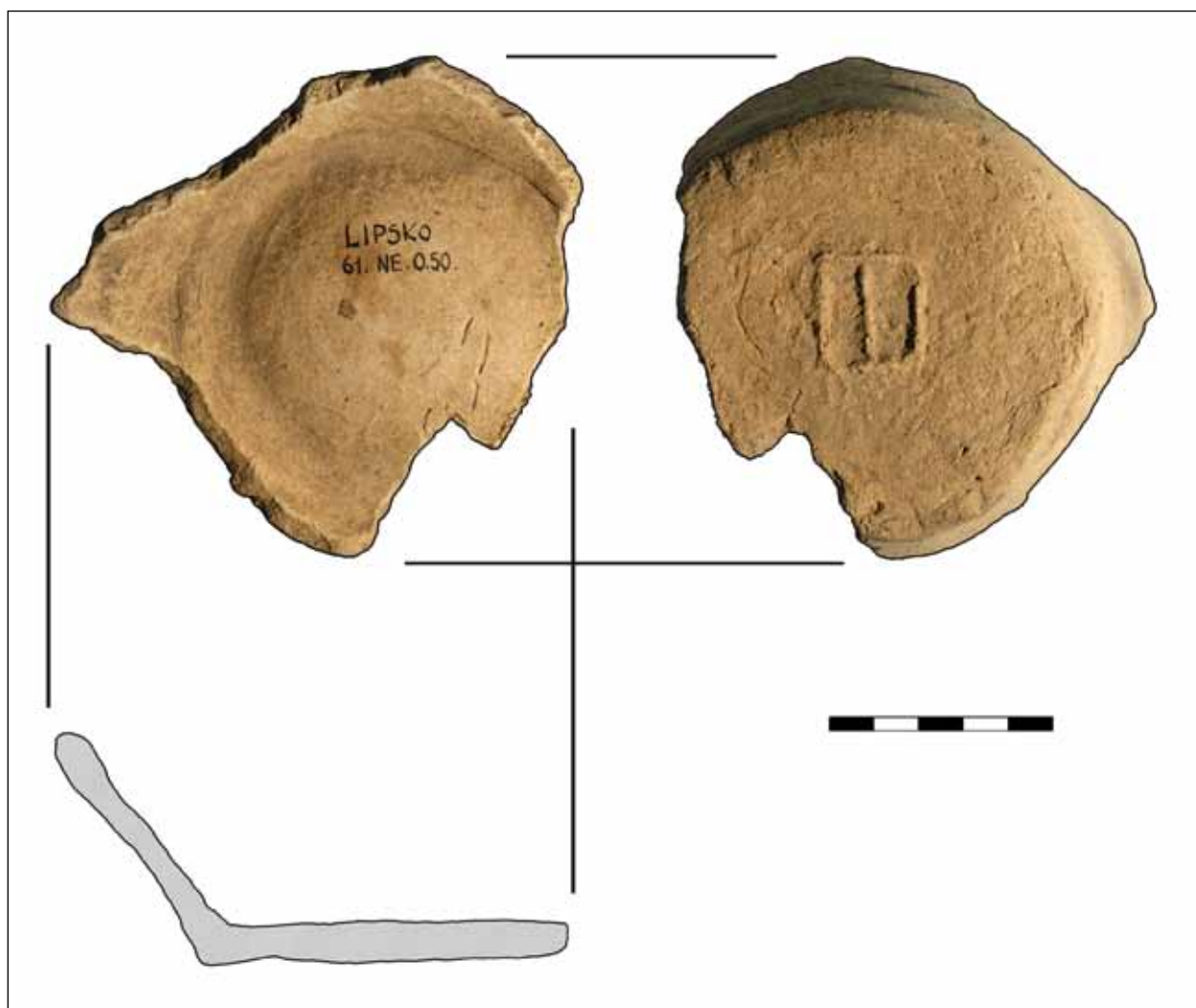
Z badań kurhanu nr 66 pochodzi 15 okruchów wczesnośredniowiecznej ceramiki oraz jeden duży fragment dna odkryty w nasypie kurhanu. Cechą charakterystyczną jest znak garncarski oraz bardzo precyzyjne wykonanie z białej gliny kaolinitowej (Ryc. 55, 56). Naczynie cienkościenne, w całości obtaczane.

CECHY TECHNOLOGICZNE:

1. Technika lepienia i formowania ścianek naczyń: naczynie lepienie na wolnoobrotowym kole garncarskim, w całości obtaczane, wykonane techniką taśmowo-ślizgową.
2. Masa garncarska i rodzaj domieszki: bardzo drobna domieszka w postaci piasku, masa garncarska chuda.
3. Ślady zabiegów technicznych na dnach naczyń: na krawędzi widoczne ślady odcinania.
4. Grubość ścianek naczyń: naczynie średnio-grubościenne (6 mm), grubość dna 6 mm.
5. Barwa naczyń: biała.

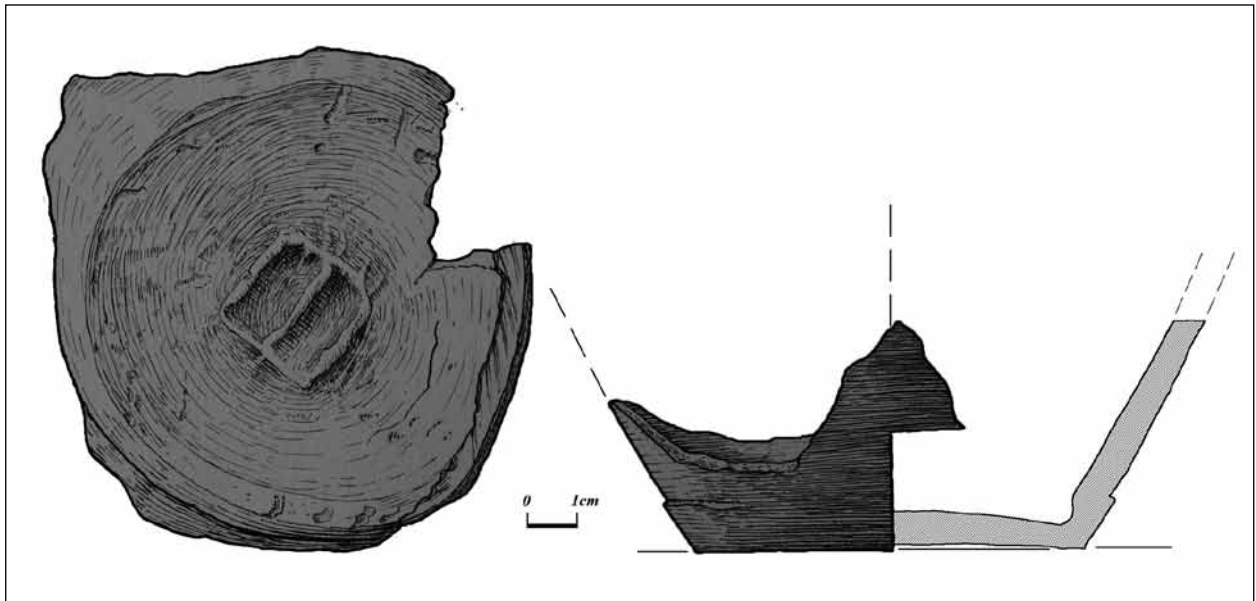
CECHY MORFOLOGICZNE:

1. Typy den: wklęsłe.
2. Wielkość naczyń: średnica dna: 0,88 cm.
3. Ornamentyka naczyń:



Ryc. 55. Dno naczynia ze znakiem garncarskim odkryte w nasypie kurhanu nr 66 (fot. Ł. Miechowicz).

Fig. 55. The bottom of the vessel with a potter's mark uncovered in the burial mound No. 66 (Photo by Ł. Miechowicz).



Ryc. 56. Dno naczynia ze znakiem garncarskim odkryte w nasypie kurhanu nr 66 (oprac. A. Chlebicka, na podstawie rysunku M. Drewki).

Fig. 56. The bottom of the vessel with a potter's mark uncovered in the burial mound No. 66 (prepared by A. Chlebicka, based on a drawing by M. Drewko).

- znaki garncarskie na dnach naczyń: znak garncarski w postaci prostokąta przedzielonego na pół, wypukły.

Kurhan nr 67

Opis i charakterystyka materiału:

W trakcie badań kurhanu nr 67 odkryto 393 fragmenty ceramiki naczyniowej, bardzo mocno rozdrobnionej. W materiale wyróżniono 3 fragmenty den oraz 16 fragmentów wylewów, 4 z nich możemy zaliczyć do kategorii wielkościowej C.

CECHY TECHNOLOGICZNE:

1. Technika lepienia i formowania ścianek naczyń: naczynia lepienie ręcznie przy zastosowaniu metody wałeczkowo-pierścieniowej. Powierzchnia naczyń wygładzana.
2. Masa garncarska i rodzaj domieszki: w większości fragmentów domieszka drobnoziarnista piasku z dodatkiem drobnoziarnistego tłuczni skalnego. Na kilku fragmentach widoczna domieszka gruboziarnistego tłuczni skalnego, widocznego na powierzchni i w przełomach skorup.
3. Grubość ścianek naczyń: naczynia średnio- (7–9 mm) i grubościennie (11–13 mm).
4. Barwa naczyń: brązowa, ciemnoszara oraz ceglasta.

CECHY MORFOLOGICZNE:

1. Forma naczyń: esowata, czteroelementowa z wyodrębnioną szyjką.
2. Typ i kształt linii profilowej wylewu: wylewy średnio odchylone od pionowej osi naczynia, z zaokrąglonym zakończeniem.
3. Typy den: płaskie.
4. Wielkość naczyń: średnice wylewów: 14, 16, 18 cm; średnica dna: 8,5 cm.

Kurhan nr 68

Opis i charakterystyka materiału:

W trakcie badań kurhanu nr 68 odkryto łącznie 328 fragmentów ceramiki naczyniowej. Materiał zabytkowy jest bardzo rozdrobniony, składają się nań przeważnie bardzo drobne okruchy i niewielkie ułamki, które możemy zaliczyć do kategorii wielkościowej D. Tylko 4 fragmenty możemy zaliczyć do kategorii wielkościowej C: 2 ułamki brzuśca, jeden fragment wylewu oraz dna. Fragment wylewu z zachowaną szyjką nosi ślady obtaczania. Nie zaobserwowano śladów ornamentu.

CECHY TECHNOLOGICZNE:

1. Technika lepienia i formowania ścianek naczyń: naczynia lepienie ręcznie przy zastosowaniu me-

- tody wałeczkowo-pierścieniowej (3 fragmenty) oraz taśmowo-ślizgowej (1 fragment wylewu).
2. Masa garncarska i rodzaj domieszki: w większości fragmentów domieszka drobnoziarnista piasku z dodatkiem drobnoziarnistego tłucznia skalnego.
 3. Grubość ścianek naczyń: naczynia średnio-grubościenne (8–9 mm).
 4. Barwa naczyń: ciemna, szarobrązowa.

CECHY MORFOLOGICZNE:

1. Forma naczyń: esowata, czteroelementowa z wyodrębnioną szyjką.
2. Typ i kształt linii profilowej wylewu: wylew silnie odchyłony z prostym zakończeniem.
3. Typy den: płaskie.
4. Wielkość naczyń: średnica profilu: 14 cm; średnica dna: 12 cm.

Kurhany nr 76 oraz 78

Opis i charakterystyka materiału:

Z badań kurhanu nr 76 pochodzi 9 fragmentów ceramiki naczyniowej, zaś z badań kurhanu nr 78 6 fragmentów. W obu przypadkach są to drobne

ułamki i okruchy brzuśców naczyń kategorii wielkościowej D, pozbawione cech diagnostycznych.

Podsumowanie

W trakcie badań cmentarzyska kurhanowego (stan. 1) w Lipsku-Polesiu odkryto łącznie 15250 fragmentów przeszło 40 tysięcy naczyń wczesnośredniowiecznych (Tab. 1). Zdecydowaną większość stanowią bardzo drobne fragmenty i okruchy ceramiki.

Do analiz technologicznych wybrano 805 większych fragmentów ceramiki, lepiej zachowanych, nieskorodowanych, posiadających czytelne cechy diagnostyczne (Tab. 2). Możemy je zaliczyć do kategorii wielkościowej A i B, sporadycznie C oraz grup technologicznych GTI, GTII i GTIII według J. Bojarskiego (2012, s. 310, 311).

W większości przypadków niemożliwe było określenie formy naczyń ze względu na rozdrobnienie materiału. Podobnie utrudniona była analiza cech technologicznych naczyń z powodu zatartych śladów zlepiania naczyń oraz zerodowania powierzchni. Wśród fragmentów zrekonstruowanych

Tab. 1. Zestawienie fragmentów naczyń wczesnośredniowiecznych z cmentarzyska w Lipsku-Polesiu (oprac. Ł. Miechowicz).

Tab. 1. Selection of fragments of early medieval vessels from the cemetery in Lipsko-Polesie (prepared by Ł. Miechowicz)

Kurhan	Liczba fragmentów	Dna	Wylewy	Obtaczane	Ornamentowane	Uwagi
1	200	3	5	4	12	
2	28	1	2	3		
6	47		5	1	2	
7	289	2	2	3	3	
8	242	2	1	2	1	
9	132			7	3	
10	10			3		
11	6		2	5		
12	244	3	3	7	4	cała forma naczynia
20	158	6	7	2	2	
24	466	10	21	3	9	
25	659	18	21	9	9	
27	1135	18	33	2	3	
29	85	2	4		10	
31	558	16	13	4	6	odcisk linii papilarnych

Kurhan	Liczba fragmentów	Dna	Wylewy	Obtaczane	Ornamentowane	Uwagi
32	26		3	3	1	
34	220	6	16	8	12	
35	3194	115	148	8	40	całe naczynie
37	9	3		1	3	
38	290	5	18	4	26	
40	224	9	9	4	9	
41	55	4	11	2	5	
42	379	7	1	4	13	
43	335	13+4 cz. przydenne	10	7	12	
44	54	3+1 cz. przydenne	2	2	1	całe naczynie
45	233	10	10		4	
46	122	5	6	5	17	
47	358	10	13	5	12	
52	408	8	10		27	
56	521	15	20	7	3	
58	434	12	38	19	25	cała forma naczynia
59	136	5	7	2		
60	669	20	14		19	szczątkowy odcisk linii papilarnych
61	732	21	33	46	27	całe dno
62	351	10	20	12	13	
63	384	15	8		1	
64	239	4	7		4	
65	435	13	15	7	20	
65	140	6	9	2	10	
66	204	1			1	
67	505	5	16	3	3	
68	328	6	7	1	2	
76	9					
78	6					
Łącznie	15259	417	570	207	374	

naczyń dominują naczynia S-kształtne z rozszerzonymi ramionami brzuśca oraz szerokootworowe przysadziste naczynia garnkowe, z wysoko umieszczoną największą wydętością brzuśca. Tego typu formy charakterystyczne są dla stanowisk z okresu plemiennego z obszaru północno-wschodniej Małopolski. Odkryto je na cmentarzysku ciałopalnym w Guciowie, pow. zamojski (H. Zoll-Adamikowa 1974, ryc. 7a, b, d, 13a, b, e), na grodzisku, osa-

dach oraz cmentarzysku w Chodliku, pow. opolski (A. Gardawski 1970; S. Hoczyk-Siwkova 2006; Ł. Miechowicz 2018).

Znaczna część naczyń odkrytych na omawianym stanowisku (55%) została wykonana wyłącznie ręcznie przy zastosowaniu metody wałeczkowo-pierścieniowej, część z nich nosi ślady obtaczania na brzegach oraz w górnych partiach brzuśca i została wykonana z użyciem wolnoobrotowego koła garncar-

Tab. 2. Zestawienie cech technologicznych oraz morfologicznych fragmentów wczesnośredniowiecznych naczyń glinianych odkrytych na cmentarzysku w Lipsku-Polesiu (oprac. L. Mitechowicz).
 Tab. 2. Compilation of technological and morphological features of early medieval clay vessel fragments discovered on the cemetery in Lipsko-Polesie (prepared by L. Mitechowicz).

Nr kurhanu	Liczba fragmentów poddana analizom	Formy naczyń	Wychylenie profilu	Średnice wylewów (cm)	Typ dna	Średnice den (cm)	Ślady zabiegów technicznych na dnach	Typ naczyń ze względu na grubość ścianek	Zaobserwowany rodzaj domieszki	Zaobserwowana technika wykonania naczyń (dla analizowanych fragmentów)	Rodzaj ornamentu
1	30	Esowate/ baniaste	Średnio i silnie odchylone	16, 22, 24	-	-	-	Średnio-grubościenne	Średnio- i gruboziarnista tuczniwa skalnego	Walczkowo-pierscieniowa (55%) oraz taśmowo-ślizgowa (45%).	Falisty
2	28	-	-	-	-	-	-	Średnio-grubościenne	Średnio- i gruboziarnista tuczniwa skalnego/drobnoziarnista piasku	Walczkowo-pierscieniowa	-
6	12	Esowate/ baniaste	Średnio i silnie odchylone	15, 22, 25	-	-	-	Średnio-grubościenne	Średnio- i gruboziarnista	Walczkowo-pierscieniowa/taśmowo-ślizgowa	Falisty/ poziome równoległe złobienia
7	29	-	-	12, 16	Płaskie	12, 14	Podsypka z piasku	Średnio i grubościenne	Średnioziarnista (poj. ziarna gruboziarnistego tuczniwa)	Walczkowo-pierscieniowa/taśmowo-ślizgowa	Falisty
8	21	-	-	-	Płaskie	12	-	Średnio i grubościenne	Średnio- i gruboziarnista	Walczkowo-pierscieniowa	Poziome równoległe złobienia
9	24	-	-	-	-	-	-	Średnio i grubościenne	Średnio- i gruboziarnista	Taśmowo-ślizgowa	Poziome złobienie
10	1	-	-	-	-	-	-	Średnio-grubościenne	Gruboziarnista	-	-
11	6	Esowate	Silnie odchylone	23	-	-	-	Średnio-grubościenne	Średnioziarnista	Walczkowo-pierscieniowa/taśmowo-ślizgowa	-
12	10	Esowate	Średnio odchylone	10	Płaskie	6, 9, 11	Podsypka z piasku	Średnio-grubościenne	Średnio- i gruboziarnista	Taśmowo-ślizgowa	Falisty/ poziome równoległe złobienia

Nr kurhanu	Liczba fragmentów poddana analizom	Formy naczyń	Wychylenie profilu	Średnice wylewów (cm)	Typ dna	Średnice den (cm)	Ślady zabiegów technicznych na dnach	Typ naczyń ze względu na grubość ścianek	Zaobserwowany rodzaj domieszki	Zaobserwowana technika wykonania naczyń (dla analizowanych fragmentów)	Rodzaj ornamentu
20	25	Esowate	Silnie i średnio odchylone	15, 17, 22	Płaskie	7, 10	-	Średnio i grubościennie	Drobno- i średnioziarnista tłucznia skalnego/ gruboziarnista	Walczkowo-pierscieniowa/ taśmowo-ślizgowa	Falisty/ poziome równoległe złobienia
24	11	Esowate	Średnio odchylone	24, 22, 19	Płaskie	8	--	Średnio-grubościennie	Drobnoziarnista piasku/ średnioziarnista tłucznia skalnego	Walczkowo-pierscieniowa/ taśmowo-ślizgowa	Poziome równoległe złobienia
25	45	Esowate	Silnie i średnio odchylone	22, 21, 17	Płaskie	9		Średnio-grubościennie	Drobnoziarnista piasku/ średnioziarnista tłucznia skalnego	Walczkowo-pierscieniowa/ taśmowo-ślizgowa	Poziome równoległe złobienia
27	40	Esowate	Silnie i średnio odchylone	14, 16	Płaskie oraz wklęsłe	8, 9	Podsyпка z piasku i drobnoziarnistego tłucznia skalnego	Średnio-grubościennie	Drobnoziarnista piasku/ średnioziarnista tłucznia skalnego	Walczkowo-pierscieniowa/ taśmowo-ślizgowa	Falisty/ poziome równoległe złobienia
29	11	Esowate	Średnio odchylone	28	Płaskie	10	-	Średnio i grubościennie	Drobnoziarnista piasku/ średnioziarnista tłucznia skalnego	-	Falisty/ poziome równoległe złobienia
31	45	-	Silnie odchylone	22	Płaskie/ wklęsłe	5, 8		Średnio i grubościennie	Drobno- i średnioziarnista tłucznia skalnego/ gruboziarnista	Taśmowo-ślizgowa	-
32	12	-	-	-	-	-		Średnio-grubościennie	Drobnoziarnista piasku/ średnioziarnista tłucznia skalnego	Taśmowo-ślizgowa	-
34	13	Esowate	Średnio odchylone	26	-	-	-	Średnio i grubościennie	Drobnoziarnista piasku/ średnio i gruboziarnista tłucznia skalnego	Taśmowo-ślizgowa	Poziome równoległe złobienia
35	8	Esowate	Silnie odchylone	11,5	Płaskie	8	Podsyпка piasku	Średnio-grubościennie	Drobnoziarnista piasku/ średnio- i drobnoziarnista tłucznia	Taśmowo-ślizgowa	Falisty/ poziome równoległe złobienia

Nr kurhanu	Liczba fragmentów poddana analizom	Formy naczyń	Wychylenie profilu	Średnice wylewów (cm)	Typ dna	Średnice den (cm)	Ślady zabiegów technicznych na dnach	Typ naczyń ze względu na grubość ścianek	Zaobserwowany rodzaj domieszki	Zaobserwowana technika wykonania naczyń (dla analizowanych fragmentów)	Rodzaj ornamentu
37	9	-	-	-	-	-	-	Średnio-grubościenne	Drobnoziarnista piasku, pojedyncze ziarna gruboziarnistego tłucznia	Walczkowo-pięścieniowa	Poziome żłobienia
38	5	-	Silnie odchylone	14	-	-	-	Średnio-grubościenne	Drobnoziarnista piasku, pojedyncze ziarna gruboziarnistego tłucznia	Taśmowo-ślizgowa	Falisty/ poziome równoległe żłobienia
40	2	-	Średnio odchylone	14	Płaskie	10	-	Średnio-grubościenne	Drobnoziarnista piasku, pojedyncze ziarna gruboziarnistego tłucznia	Walczkowo-pięścieniowa	-
41	1	-	-	-	Płaskie	10	-	Średnio-grubościenne	Drobnoziarnista piasku, pojedyncze ziarna średnio- i gruboziarnistego tłucznia	Taśmowo-ślizgowa	-
42	14	Esowate	Słabo i średnio odchylone	18, 20	Płaskie	9	-	Średnio i grubościenne	Drobnoziarnista piasku/ średnioziarnista tłucznia skalnego	Walczkowo-pięścieniowa / taśmowo-ślizgowa	Poziome równoległe żłobienia
43	8	Esowate	Średnio odchylone	10	Płaskie	9	Ślady odcinania nożykiem	Średnio i grubościenne	Drobnoziarnista piasku i tłucznia skalnego	Walczkowo-pięścieniowa	Falisty „girlandy”
44	1 kompletne naczynie	Esowate	Silnie odchylone	12	Płaskie	7	Podsyпка piasku i drobnoziarnistego tłucznia	Średnio-grubościenne	Drobnoziarnista piasku	Walczkowo-pięścieniowa	Falisty
45	12	-	-	-	Płaskie	14	-	Grubościenne	Drobnoziarnista piasku	Walczkowo-pięścieniowa	-
46	9	Esowate	Silnie odchylone	12	Płaskie	10	-	Średnio-grubościenne	Drobnoziarnista piasku	Walczkowo-pięścieniowa	Falisty/ poziome równoległe żłobienia

Nr kurhanu	Liczba fragmentów poddana analizie	Formy naczyń	Wychylenie profilu	Średnice wylewów (cm)	Typ dna	Średnice den (cm)	Ślady zabiegów technicznych na dnach	Typ naczyń ze względu na grubość ścianek	Zaobserwowany rodzaj domieszki	Zaobserwowana technika wykonania naczyń (dla analizowanych fragmentów)	Rodzaj ornamentu
47	14	Esowate	Silnie odchylone	14, 18	Płaskie	10, 14	-	Średnio-grubościenne	Średnioziarnista tłucznia skalnego	Taśmowo-ślizgowa	Falisty/ poziome równoległe złobienia
52	19	Esowate	Średnio odchylony	20	Płaskie	8, 8	-	Średnio- i grubościenne	Drobnoziarnista piasku/ średnioziarnista tłucznia skalnego	Taśmowo-ślizgowa	Poziome równoległe złobienia
56	24	Esowate	Średnio i silnie odchylony	12, 14, 20, 22	Płaskie	13, 14	-	Średnio-grubościenne	Drobnoziarnista piasku/ średnioziarnista tłucznia skalnego	Walczkowo-pierscieniowa / taśmowo-ślizgowa	Poziome równoległe złobienia
58	50	Baniaste	Średnio odchylone	16, 18	Płaskie	11	-	Średnio- i grubościenne	Drobnoziarnista piasku/ średnioziarnista tłucznia skalnego/ gruboziarnista tłucznia skalnego	Taśmowo-ślizgowa	Falisty/ poziome równoległe złobienia
59	40	-	-	-	-	-	-	Średnio- i grubościenne	Drobnoziarnista piasku/ średnioziarnista tłucznia skalnego/ gruboziarnista tłucznia skalnego	Walczkowo-pierscieniowa	-
60	53	Esowate/ baniaste	Średnio odchylone	14, 20, 22	Płaskie	9	-	Średnio- i grubościenne	Drobnoziarnista piasku/ średnioziarnista tłucznia skalnego/ gruboziarnista tłucznia skalnego	Taśmowo-ślizgowa	Falisty/ poziome równoległe złobienia w postaci linii oraz listw
61	57	Esowate	Silnie i średnio odchylone	14, 20, 22, 24	Płaskie	7, 5, 8, 12	Podsypka drobnoziarnistego tłucznia skalnego	Średnio- i grubościenne	Drobnoziarnista piasku/ średnioziarnista tłucznia skalnego/ gruboziarnista tłucznia skalnego	Walczkowo-pierscieniowa / taśmowo-ślizgowa	Falisty/ poziome równoległe złobienia w postaci linii rytych/ stempelkowy

Nr kurhanu	Liczba fragmentów poddana analizom	Formy naczyń	Wychylenie profilu	Średnice wylewów (cm)	Typ dna	Średnice den (cm)	Ślady zabiegów technicznych na dnach	Typ naczyń ze względu na grubość ścianek	Zaobserwowany rodzaj domieszki	Zaobserwowana technika wykonania naczyń (dla analizowanych fragmentów)	Rodzaj ornamentu
62	30	Esowate	Średnio odchylone	16, 18	Płaskie	8,5	Podsypka gruboziarnistego tłucznia skalnego	Średnio- i grubościennie	Drobnoziarnista piasku/średnioziarnista tłucznia skalnego	Walczkowo-pierscieniowa / taśmowo-ślizgowa	Falisty/ poziome równoległe złobienia
63	31	-	Średnio odchylone	20, 24	Płaskie	8	-	Średnio- i grubościennie	Drobnoziarnista piasku/średnioziarnista tłucznia skalnego/ gruboziarnista tłucznia skalnego	Walczkowo-pierscieniowa / taśmowo-ślizgowa	-
64	42	-	-	-	-	-	-	Średnio- i grubościennie	Drobnoziarnista piasku/średnioziarnista tłucznia skalnego/ gruboziarnista tłucznia skalnego	Walczkowo-pierscieniowa	-
65	45	-	Średnio odchylone	20, 22	Płaskie	8, 10	-	Średnio- i grubościennie	Drobnoziarnista piasku/średnioziarnista tłucznia skalnego/ gruboziarnista tłucznia skalnego	Walczkowo-pierscieniowa / taśmowo-ślizgowa	-
66	1	-	-	-	Wklęsłe z kolumnie-rzem	8,8	Ślady odcinania	Średnio- grubościennie	Drobnoziarnista piasku	Taśmowo-ślizgowa	-
67	19	Esowate	Średnio odchylone	14, 16, 18	Płaskie	8,5	-	Średnio- i grubościennie	Drobnoziarnista piasku/średnioziarnista tłucznia skalnego/ gruboziarnista tłucznia skalnego	Walczkowo-pierscieniowa	-
68	4	Esowate	Silnie odchylone	14	Płaskie	12	-	Średnio- grubościennie	Drobnoziarnista piasku/ drobnoziarnista tłucznia skalnego	Walczkowo-pierscieniowa / taśmowo-ślizgowa	-
68	4	Esowate	Silnie odchylone	14	Płaskie	12	-	Średnio- grubościennie	Drobnoziarnista piasku/ drobnoziarnista tłucznia skalnego	Walczkowo-pierscieniowa / taśmowo-ślizgowa	-

skiego. Część naczyń wykonano metodą taśmowo-ślizgową z widocznymi śladami obtaczania (45%). Zestawienie to nieco różni się od charakterystyki ceramiki pochodzącej z nieodległego i datowanego na VIII–X w. cmentarzyska kurhanowego w Guciowie, pow. zamojski, gdzie naczynia formowane ręcznie bez użycia koła stanowiły przeszło 80% wszystkich (A. Tyniec 2018, s. 200).

Dwoistość technik produkcji ceramiki naczyniowej oraz zjawisko przemieszanych zespołów naczyń lepionych wyłącznie ręcznie i obtaczanych notowane są na szeregu wczesnosłowiańskich stanowisk archeologicznych z obszaru Małopolski (m.in. osady w Nowej Hucie czy Igołomii, por. J. Poleski 2013, s. 22). Według M. Parczewskiego (1988, s. 28–31) początki zastosowania koła garncarskiego do produkcji naczyń mogły mieć miejsce już w końcu VII w. Badania prowadzone na wczesnosłowiańskiej osadzie w Lublinie-Czwartku sugerują, że ślady obtaczania krawędzi pojawiają się na naczyniach już od połowy VII w. W okresie IX–X w. spotykamy już naczynia obtaczane na całej powierzchni (S. Hoczyk-Siwkova 1978, s. 215–217; por. J. Poleski 2013, s. 22).

Masy ceramiczne z których wykonano naczynia cechują się domieszką schudzającą w postaci piasku oraz średnio- i gruboziarnistego tłucznia skalnego. W zdecydowanej większości naczyń zastosowano domieszkę drobnoziarnistą. Naczynia charakteryzują się również ścieralną powierzchnią. Nie zaobserwowano domieszki tłucznia ceramicznego (szamotu), obecnej często w naczyniach z pierwszych faz wczesnego średniowiecza (M. Parczewski 1988, s. 29).

Większość fragmentów naczyń jest dość krucha i została słabo wypalona, prawdopodobnie w otwartym palenisku. Lepszy stopień wypalenia cechuje naczynia obtaczane, wykonane metodą taśmowo-ślizgową.

W materiale zabytkowym wyróżniono 417 fragmentów den naczyń, zarówno wykonanych całkowicie ręcznie, jak i przy zastosowaniu koła garncarskiego. Wśród większych znalezisk o cechach diagnostycznych dominują dna płaskie, rzadko wklęsłe. Na części z nich zanotowano ślady podsypki w postaci piasku, rzadziej gruboziarnistego tłucznia skalnego. Wyjątkowe pod względem wysokiej jakości wykonania, obecności pierścienia dookólnego i znaku garncarskiego jest dno naczynia wykonane z białej gliny

odkryte w nasypie kurhanu nr 66. Jego chronologię możemy ustalić na IX/X w.⁴

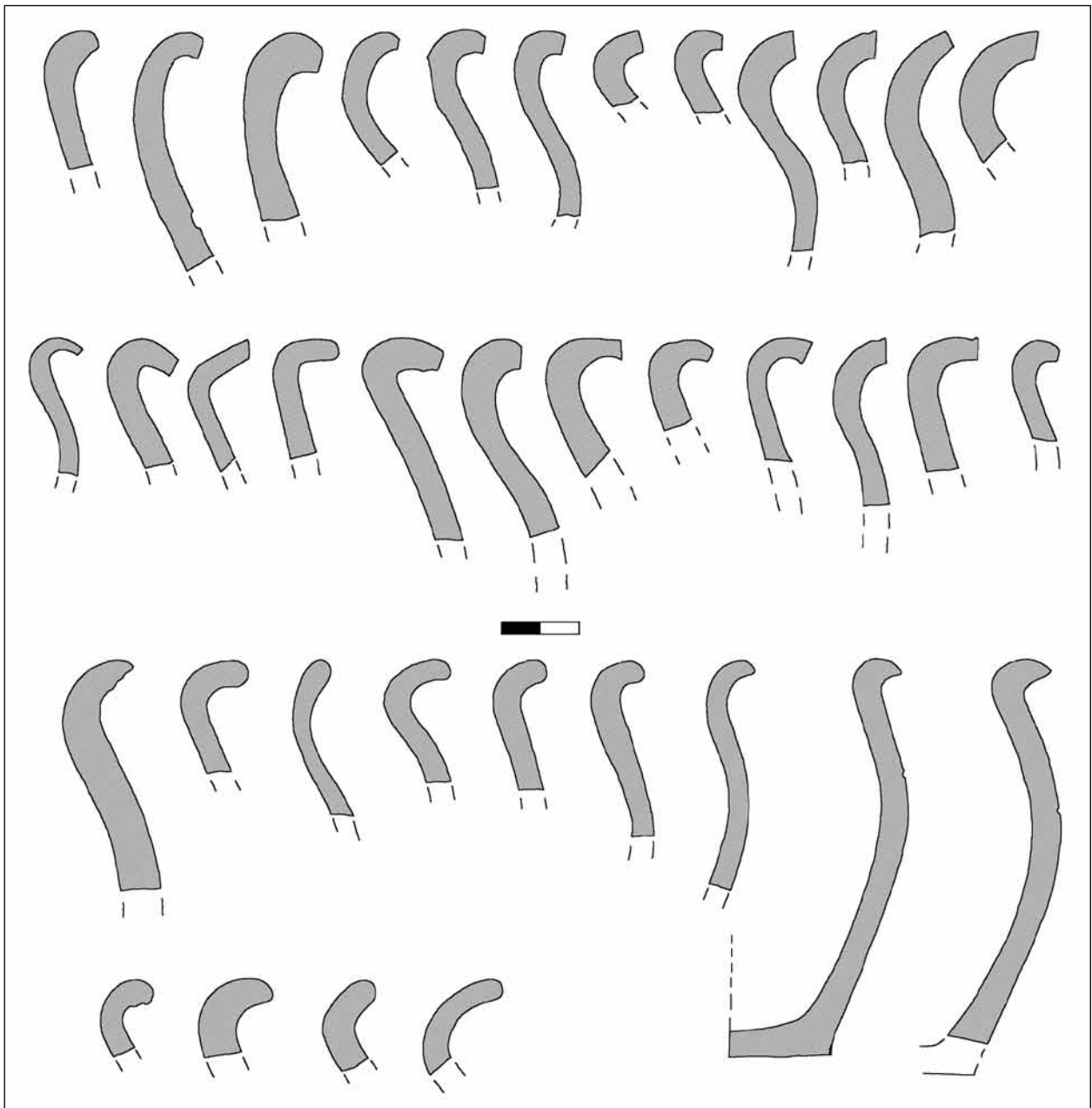
Na stanowisku odkryto łącznie 570 fragmentów wylewów naczyń wczesnośredniowiecznych, w dużej mierze drobne ułamki kategorii wielkościowej C i D. Najliczniejsze na stanowisku są mocno profilowane typy naczyń o brzegach S-kształtnych średnio i silnie wychylonych, o krawędziach zarówno zaokrąglonych jak i prostych, sporadycznie spiczastych.

W zdecydowanej większości znalezisk (70%) dominują wylewy o średnim stopniu odchylenia od pionowej osi naczynia, o prostej lub zaokrąglonej krawędzi. W dalszej kolejności zanotowano naczynia o silnie odgiętym wylewie. Wylewy o spiczasto zakończonej krawędzi zanotowano jedynie w przypadku 4 naczyń (Ryc. 57).

Wielkości średnic wylewów wahają się od 10 do 28 cm, zaś den od 6 do 14 cm, wskazując na duże zróżnicowanie wielkościowe naczyń. W trzech przypadkach możliwe było ustalenie wysokości naczyń na 10–12 cm (kurhan nr 12), 15,5 cm (kurhan nr 35) oraz 14,5 cm (kurhan nr 44).

Zdobienie powierzchni naczyń możemy podzielić na kilka typów ornamentów: 1. falisty w postaci pojedynczej linii rytej narzędziem jednozębnym, 2. falisty w postaci zwielokrotnionej linii rytej, 3. falisty w postaci tzw. „girlandów” zanotowany w jednym przypadku w górnej partii naczynia, w postaci pojedynczych lub wielokrotnych poziomych, równoległych linii rytanych, 4. ornament stempelkowy (Ryc. 58, 59). Liczba materiałów ceramicznych zdobionych jest znacznie niższa niż niezdobionych (10%). Wątki użyte do zdobienia posiadają liczne analogie w materiale ze stanowisk archeologicznych z VIII–X w. z obszaru historycznej Małopolski (por. S. Hoczyk-Siwkova 1978; A. Buko 1981, s. 265–270; J. Poleski 2013, s. 13–23). Za J. Poleskim (2013, s. 23) należy przyjąć, że początki zdobienia powierzchni brzuśca naczyń poziomymi, równoległymi liniami rytymi sięgają przełomu VIII i IX w. Ornament w postaci wielokrotnych linii falistych oraz poziomych pojawia się na osadzie w Lublinie-Czwartku na naczyniach fazy C

⁴ Według J. Poleskiego (2013, s. 23), nie jest znane ani jedno odkrycie dna naczynia ze znakiem garncarskim o chronologii starszej niż schyłek IX w.



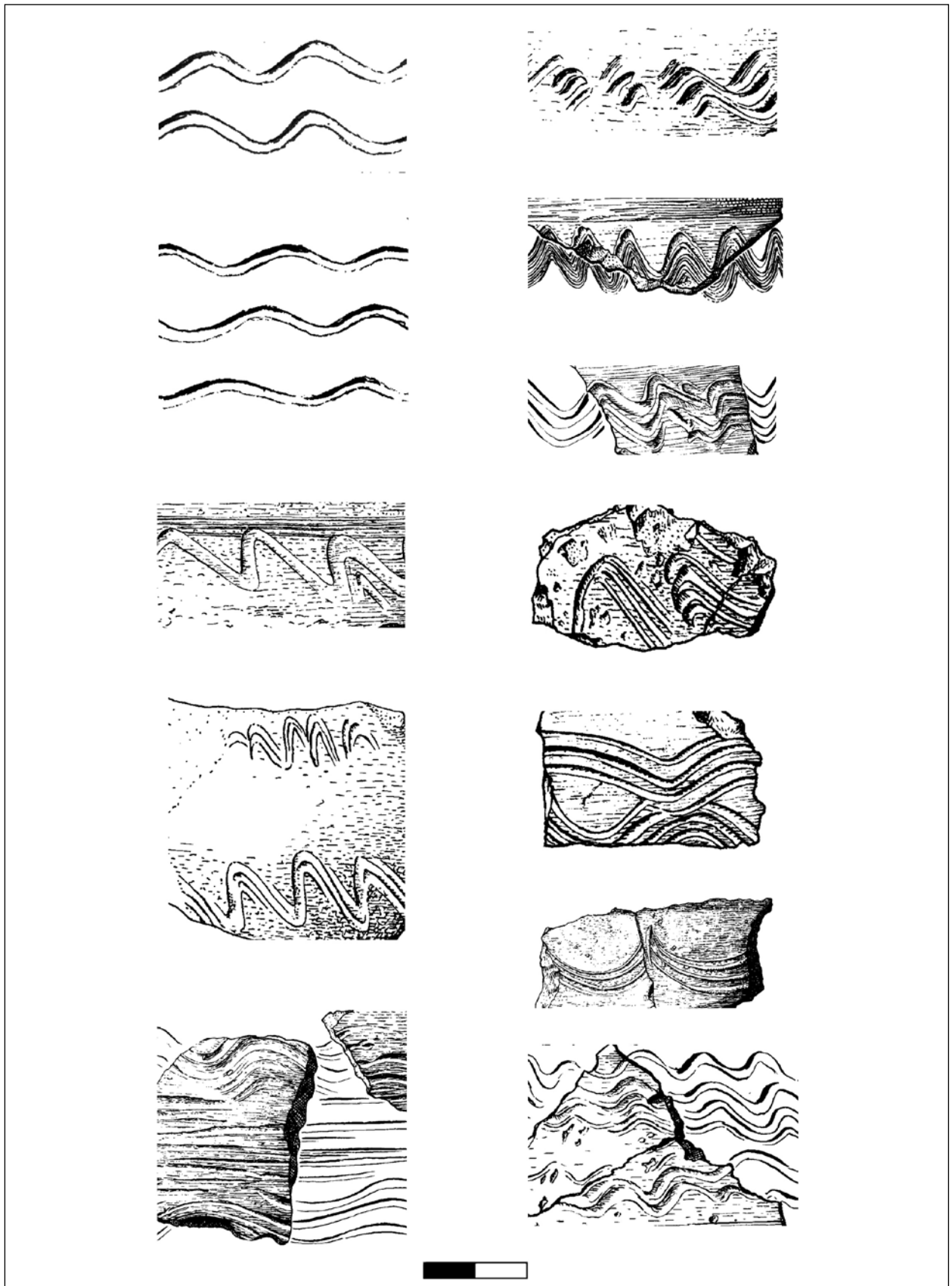
Ryc. 57. Typy wylewów zanotowane w nasypach kurhanów na cmentarzysku w Lipsku-Polesiu, gm. Zamość (oprac. Ł. Miechowicz, na podstawie rysunków M. Drewki).

Fig. 57. The types of rims recorded in the mounds of barrows on the cemetery in Lipsko-Polesie, commune of Zamość (prepared by Ł. Miechowicz, based on drawings by M. Drewko).

według S. Hoczyk-Siwkovej, które charakteryzuje ponadto S-kształtny profil i obtaczanie na większości powierzchni. Jej ramową chronologię możemy określić na IX–X w. Ornament wykonany stempelkiem zanotowano jedynie na jednym naczyniu odkrytym w nasypie kurhanu nr 61.

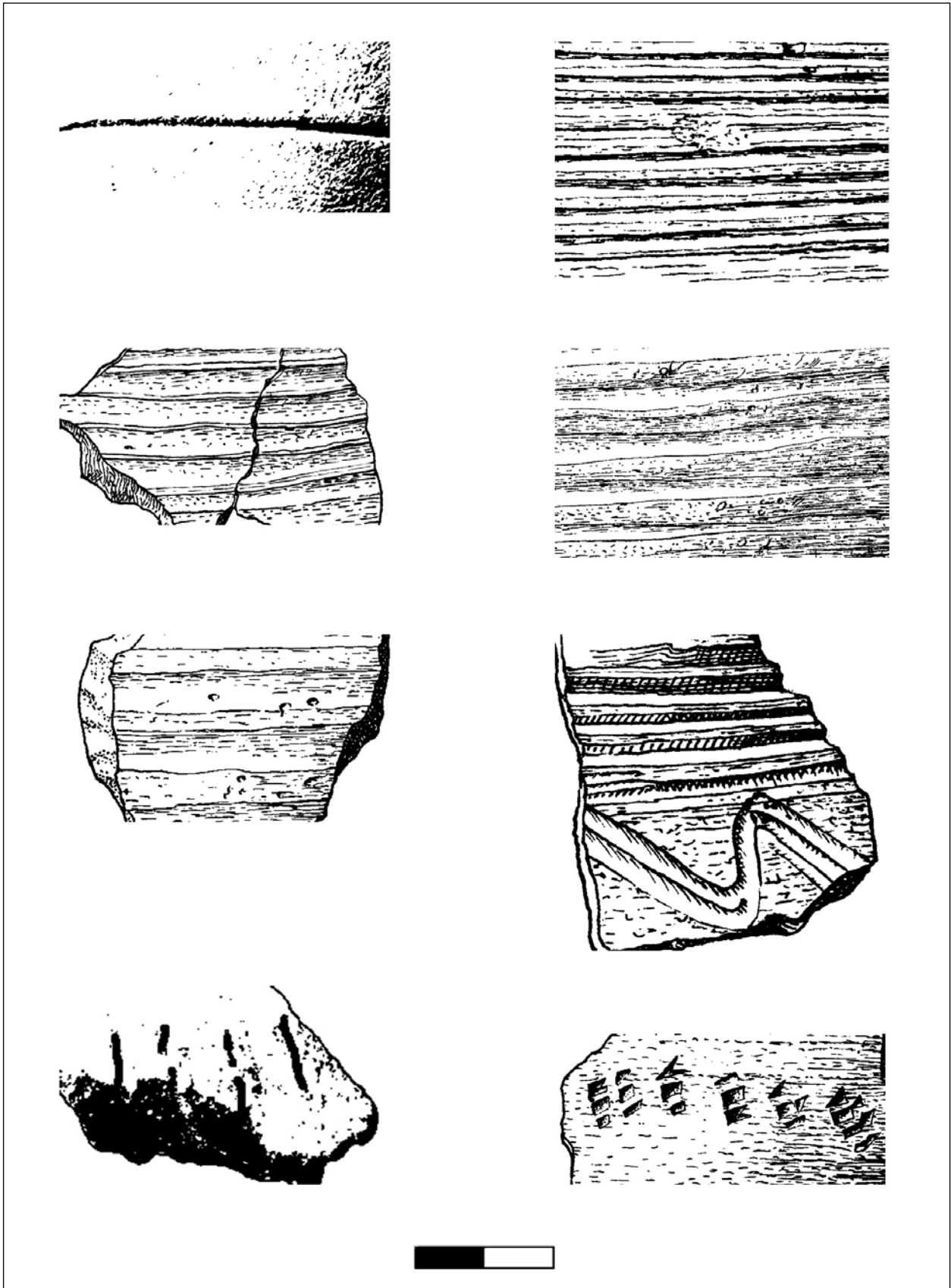
Analiza ceramiki naczyniowej z cmentarzyska w Lipsku-Polesiu pozwala na ogólną charakterysty-

kę miejscowego garncarstwa w okresie plemiennym. Formy i technika wykonania naczyń są dość zunifikowane. Niestety zniszczenie nasypów nie pozwala na wyciągnięcie wniosków co do funkcji naczyń – w których przypadkach stanowiły one pojemniki na szczątki zmarłych, dary grobowe, kiedy zaś stanowią pozostałości po obrzędach ku czci zmarłych odprawianych na kurhanach.



Ryc. 58. Rodzaje ornamentów w postaci linii falistych zanotowane na fragmentach naczyń glinianych odkrytych w nasypach kurhanów na cmentarzysku w Lipsku-Polesiu, gm. Zamość (oprac. Ł. Miechowicz).

Fig. 58. Types of ornaments in the form of wavy lines recorded on fragments of clay vessels discovered in the mounds of barrows on the cemetery in Lipsko-Polesie, commune of Zamość (prepared by Ł. Miechowicz).



Ryc. 59. Rodzaje ornamentów w postaci poziomych i pionowych żłobień oraz wykonanych za pomocą stempla zanotowane na fragmentach naczyń glinianych odkrytych w nasypach kurhanów na cmentarzysku w Lipsku-Polesiu, gm. Zamość (oprac. Ł. Miechowicz).

Fig. 59. Types of ornaments in the form of horizontal and vertical grooves as well as made using a stamp, noted on fragments of clay vessels discovered in the mounds of barrows in the cemetery in Lipsko-Polesie, commune of Zamość (prepared by Ł. Miechowicz).

Bibliografia:

Bojarski J.

2012 *Badania nad morfologią i stylistyką wczesnośredniowiecznych naczyń ceramicznych z Napola na ziemi chełmińskiej*, „Acta Universitatis Nicolai Copernici”, Archeologia XXXII, s. 291–364.

Buko A.

1981 *Wczesnośredniowieczna ceramika sandomierska*, Wrocław-Warszawa-Kraków-Gdańsk-Łódź.

Drewko M.

1954 *Wielki kurhan wczesnośredniowiecznego cmentarzyska we wsi Lipsko, pow. Zamość*, „Wiadomości Archeologiczne” XX, s. 307–309.

Gardawski A.

1970 *Chodlik. Tom 1*, Warszawa.

Hoczyk-Siwkowska S.

1978 *Chronologia ceramiki wczesnośredniowiecznej (VI–IX w.) z Lublina*, „Slavia Antiqua” 25, s. 189–224.

2006 *Kotlina Chodelska we wcześniejszym średniowieczu*, Lublin.

Miechowicz Ł.

2018 *Wczesnośredniowieczne grody w Kotlinie Chodelskiej*, [w:] E. Banasiewicz-Szykuła (red.), *Grody z okresu plemiennego na Lubelszczyźnie*, Lublin, s. 25–70.

Poleski J.

2013 *Małopolska w VI–VII wieku. Studium archeologiczne*, Kraków.

Parczewski M.

1977 *Projekt kwestionariusza cech naczyń ceramicznych z okresu wczesnego średniowiecza*, „Sprawozdania Archeologiczne” 29, s. 221–247.

1988 *Początki kultury wczesnosłowiańskiej w Polsce. Krytyka i datowanie źródeł archeologicznych*, Wrocław-Warszawa.

Tyniec A.

2018 *Wczesnośredniowieczne cmentarzysko kurhanowe w Guciowie, stan. 6, pow. zamojski*, [w:] J. Górski, A. Tyniec (red.), *Fenomen miejsca. Nekropola kurhanowa z neolitu, epoki brązu i wczesnego średniowiecza w Guciowie, pow. zamojski*, Kraków, s. 191–234.

Zoll-Adamikowa H.

1974 *Wyniki wstępnych badań wczesnośredniowiecznego zespołu osadniczego w Guciowie, pow. Zamość*, „Sprawozdania Archeologiczne” XXVI, s. 115–169.

EARLY MEDIEVAL VESSEL POTTERY FROM RESEARCH ON THE BARROW CEMETERY IN LIPSKO-POLESIE

From the excavations carried out by Michał Drewko in the 1920s and 1950s on the barrow cemetery in Lipsko-Polesie, commune Zamość come 15250 pottery fragments, belonging to over 40 thousand early medieval clay vessels. The vast majority of the historic material, over 95%, are very small fragments and pottery crumbs, too small to be of diagnostic value. The destruction and fragmentation of the ceramics is due to the fact that the cemetery was almost completely destroyed by plowing in the early 1950s, when its area was changed to the farmland. This made it difficult to define the forms of the vessels and even their exact amount.

For technological and morphological analyses, 805 fragments of vessels and two reconstructed, complete vessels discovered in the burial mounds Nos. 35 and 44 were selected. For the development of the pottery collection, a simplified and modified scheme of technological and morphological classification and a method of examining early medieval ceramic vessels were adopted after J. Bojarski (2012). A description questionnaire of the assemblage of fragments of pottery vessels was developed for each of the burial mounds from Lipsko-Polesie. The material was divided into four qualitative categories determining the size of the fragments. As far as possible, for each collection of ceramics from a given burial mound, technological and morphological parameters of the vessels as well as the type of ornament were determined.

Among the fragments of the reconstructed vessels the predominant form are pots with S-shaped body walls with widened body shoulders and wide-mouthed, squat pot-like vessels with high placed the largest body bulging. These types of forms are characteristic of the sites from that period from the area of the north-eastern Lesser Poland. A significant part of the vessels discovered at the site (55%) were exclusively hand-built using a simple coiling technique, a part of them show traces of wheel-fashioning on edges and

upper parts of the body and was made with use of a slow potter's wheel. A part of the vessels were made using the technique of wheel-throwing, forming out a vessel from clay bands or coils with visible traces of wheel-fashioning (45%). The masses of clay which were used to make vessels are characterised by a temper admixture consisting of sand and medium and coarse-grained crushed stone. In the vast majority of vessels, fine-grained admixture was used.

Vessels with flat, less often concave, bottoms are predominant. Unique in terms of high-quality workmanship, the presence of an circumferential ring and a potter's mark is the bottom of the vessel made of white clay, discovered in the mound of the barrow No. 61. The vast majority of the finds (70%) are dominated by rims with a medium degree of deviation from the vertical axis of the vessel, with a straight or rounded edge. Ornaments observed on the surface of the vessels were broken down into the following types: a wavy ornament in the form of a single line incised with a single-tooth tool, a wavy ornament in the form of a multiplied incised line, a wavy ornament in the form of the so-called "garlands" noted in one case in the upper part of the vessel, ornament in single forms or multiple horizontal parallel engraved lines, a stamped ornament. The number of decorated ceramics is much lower than that of undecorated ones and amounts to less than 10%.

The ceramics from the cemetery in Lipsko-Polesie refer in their forms and technology to the finds known from the area of early medieval Lesser Poland. Analogies to specific forms are known for both nearby barrow cemeteries (Guciów, Mokre) as well as settlements in Lublin-Czwartek and a number of sites from the Chodel Basin or the Cracow region. The issue of early medieval pottery in the area of the historic north-eastern Lesser Poland has not yet been addressed in its entirety. The collection of pottery from the cemetery in Lipsko-Polesie is an important contribution to the research into the given issue.

Przedmioty z kości i z kamienia z badań cmentarzyska kurhanowego w Lipsku-Polesiu

Łukasz Miechowicz

Z badań cmentarzyska w Lipsku-Polesiu znany jest tylko jeden zabytek wykonany z przepołowionego fragmentu kości długiej ssaka, który możemy określić mianem rylca lub szydła (Ryc. 1). Odkryto go w nasypie kurhanu nr 9, w ćwiartce SW, na głębokości 30–40 cm.

Długość przedmiotu wynosi 10 cm, szerokość do 1,7 cm. Z jednej – dolnej – strony kość została zaostzona przez zastruganie i tworzy kolec, następnie rozszerza się ku górze, przechodząc w płaską główkę, zaopatrzoną w wywiercony otworek. Górna część narzędzia została uformowana poprzez odcięcie główki kości długiej. Otwór prawdopodobnie powstał w celu przewleczenia przezeń sznurka, co ułatwiało znacznie wyciąganie szydła ze skóry. Bardzo zbliżony pod względem formy zabytek odkryto w 1952 r. w nieodległym kompleksie osadniczym w Czermnie (J. Kuśnierz 1979). Analogiczne zabytki znane są także z Podlasia z miejscowości Kleszczele (K. Burek 1981) i Drohiczyna (K. Musianowicz 1968, s. 218, tab. X:12) oraz Ostrowa Lednickiego w Wielkopolsce (M. D. Banaszak, A. Kowalczyk, A. Tabaka 2020, s. 98, ryc. 50).

Pod względem przynależności gatunkowej kość należy do młodego przeżuwacza¹. Zabytek jest słabo zachowany o zniszczonej strukturze. Pierwotnie został odkryty w kilku fragmentach. W wyniku zabiegów konserwatorskich został utwardzony oraz wyklejony.

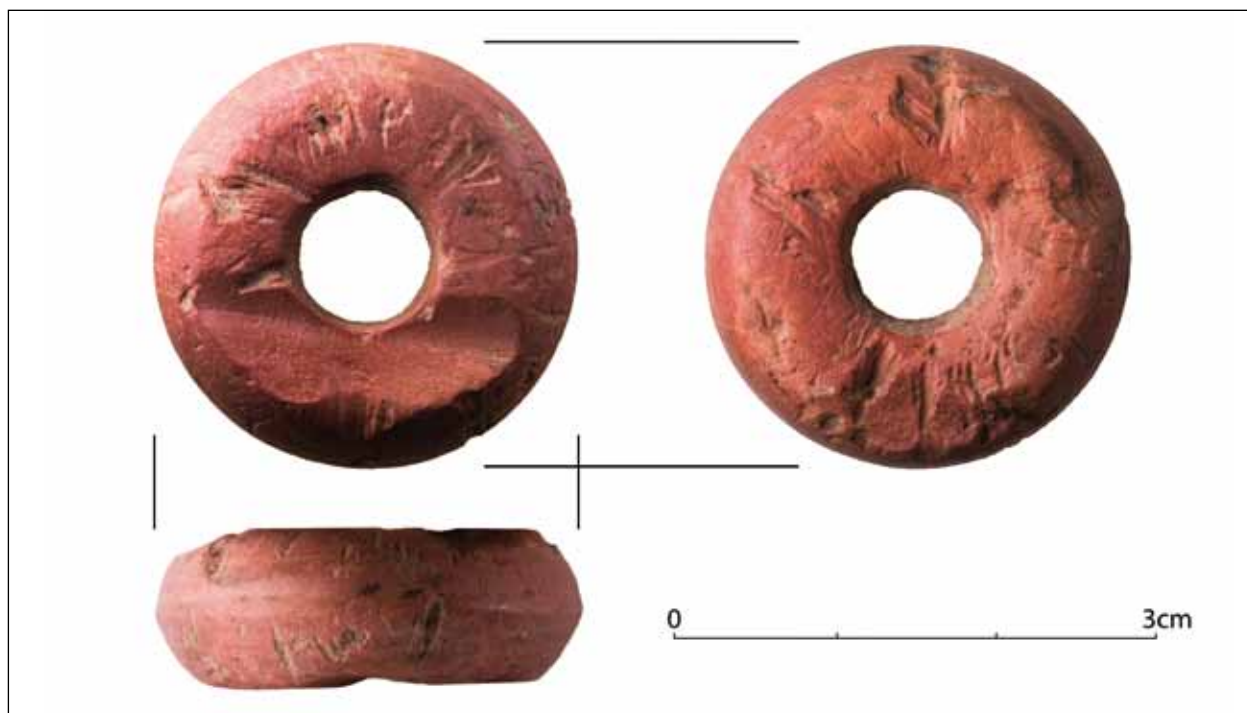
Podobnie jedyny wczesnośredniowieczny zabytek wykonany z kamienia – łupku owruckiego – pochodzi z kurhanu nr 67. Jest to przęślik tkacki, który został



Ryc. 1. Szydło kościane wykonane z połówki kości długiej ssaka odkryte w nasypie kurhanu nr 9 (fot. Ł. Miechowicz).

Fig. 1. The artefact from the mound of the barrow No. 9, made of a halved fragment of a mammal's long bone (photo by Ł. Miechowicz).

¹ Prawdopodobnie owcy lub kozy, określenie dr hab. J. Piątkowska-Małecka.



Ryc. 2. Przęślik z łupku owruckiego z kurhanu nr 67 (fot. Ł. Miechowicz).

Fig. 2. Weaving spindle from the burial mound No. 67, made of the Ovruch slate (photo by Ł. Miechowicz).

odkryty w części SE u podstawy nasypu (Ryc. 2). Ten typ zabytku znany jest głównie z obszaru Rusi Kijowskiej, ale notowany jest również w znaleziskach z obszaru Polski. Liczbę tego typu znalezisk szacuje się na ok. 800. Przęśliki wykonane z czerwono-różowego łupku powstawały masowo od połowy X do połowy XIII w. w licznych warsztatach działających w rejonie Owruca na obszarze dzisiejszej Ukrainy (A. Přichystal 2009, s. 246). Najbliższe analogie do zabytku pochodzą z pobliskiego kompleksu osadniczego w Czermnie (M. Wołoszyn i in. 2016; I. Florkiewicz 2016, tam dalsza literatura).

Bibliografia

Banaszak M. D., Kowalczyk A., Tabaka A.

2020 *Chronologia i kontekst palatium Mieszka I i Bolesława Chrobrego w świetle badań i materiałów archeologicznych*, [w:] D. Banaszak, A. Kowalczyk, A. Tabaka, A.M. Wyrwa (red.), *Ostrów Lednicki. Palatium Mieszka I i Bolesława Chrobrego. Chronologia i kontekst*, Lednica, s. 49–116.

Burek K.

1981 *Wczesnośredniowieczne szydło kościane znalezione w Kleszczelach, woj. białostockie*, „Rocznik Białostocki” 15, s. 303, 304.

Florkiewicz I.

2016 *Zabytki z Czermnia, pozyskane w trakcie badań 1952 r., przechowywane w Muzeum Zamojskim w Zamościu*

(załącznik elektroniczny), [w:] M. Florek, M. Wołoszyn (red.), *The Elary medieval settlement complex at Czermno in the light of results from past research (up to 2010). Material evidence = Wczesnośredniowieczny zespół osadniczy w Czermnie w świetle wyników badań dawnych (do 2010). Podstawy źródłowe t. I, U Źródeł Europy Środkowo-Wschodniej = Frühzeit Ostmitteleuropas, t. 2, cz. 1, Kraków-Leipzig-Rzeszów-Warszawa.*

Kuśnierz J.

1979 *Karta Katalogu Muzealiów Archeologicznych*, Nr kat. 383/52, w archiwum Muzeum Zamojskiego w Zamościu, dostęp online na dzień 6 września 2021 r.: <https://muzeum-zamojskie.pl/z/archeo/karta.php?id=554>.

Musianowicz K.

1969 *Drobiczyn we wczesnym średniowieczu*, „Materiały Wczesnośredniowieczne” VI, s. 7–236.

Přichystal A.

2009 *Kamenné suroviny v pranku východní části střední Evropy*, Brno.

Wołoszyn M., Florkiewicz I., Jusupović A., Michalik M., Paszkowski M., Kuligiewicz A., Osiadacz M., Pavlenko S., Tomaševskij A.

2016 *Między skryptorium a laboratorium. Przęślik z Czermnia (badania 1952 roku) w świetle analiz archeologicznych, geologicznych i paleogeograficznych*, [w:] B. Chudzińska, M. Wojenka, M. Wołoszyn (red.), *Od Bachórze do Światowida ze Zbrucza. Tworzenie się słowiańskiej Europy w ujęciu źródłoznawczym. Księga jubileuszowa Profesora Michała Parczewskiego*, Kraków-Rzeszów, s. 597–612.

ARTEFACTS MADE OF BONE AND STONE FROM THE RESEARCH ON THE BARROW CEMETERY IN LIPSKO-POLESIE

From the research on the cemetery in Lipsko-Polesie, only one artefact is known, made of a halved fragment of a long bone of a mammal. It can be defined as an awl or a burin. It was discovered in the mound of the barrow No. 9. In terms of species affiliation, the bone belongs to a young ruminant. An artefact, very similar in form, was discovered in the nearby settlement complex in Czermno. Similar artefacts are also known from a number of other early medieval archaeological sites in Poland.

In the mound of the barrow No. 67, a weaving spindle was discovered made of stone – the Ovruch slate. This type of artefacts is known mainly from the area of Kievan Rus, but it is also recorded in finds from Poland. The number of such finds is estimated at around 800. Spindles made of red-pink slate were mass-produced from the mid-10th to the mid-13th century AD in numerous workshops operating in the Ovruch region in today's Ukraine. The closest analogies to the artefact come from the nearby settlement complex in Czermno.

Średniowieczne i nowożytnie zabytki metalowe z badań cmentarzyska kurhanowego w Lipsku-Polesiu

Łukasz Miechowicz

W trakcie badań cmentarzyska w Lipsku-Polesiu znaleziono łącznie 20 zabytków metalowych, których chronologię możemy odnieść do okresu wczesnego średniowiecza oraz jeden starszy zabytek – barbarzyńskie naśladownictwo rzymskiego denara Antoninusa Piusa, odkryte w kontekście wczesnośredniowiecznym. Dwa luźne znaleziska, żelazne ciosło i piesznia, ze względu na mało charakterystyczne, długo funkcjonujące formy są bardzo trudne do precyzyjnego określenia chronologicznego. Ponieważ są to narzędzia związane z gospodarką leśną, nie możemy wykluczyć ich młodszej proveniencji. W nasypach czterech kurhanów odkryto łącznie 15 wczesnośredniowiecznych zabytków metalowych, kolejne 3 to znaleziska luźne. Największą liczbę zabytków – 9 – zanotowano w nasypie kurhanu nr 35.

Omawiane przedmioty możemy podzielić na trzy kategorie: militaria, ozdoby i elementy stroju, przedmioty codziennego użytku. Zostały omówione według kontekstu znalezienia.

Znaleziska luźne

Żeleźce topora¹

W trakcie prac polowych prowadzonych w 1955 r., nieopodal podstawy kurhanu nr 1, odkryto żeleźce topora w dość dobrym stanie zachowania (M. Drewko 1957, s. 167; E. Dąbrowska 1973, s. 224, 225, kat. 98; P. N. Kotowicz, A. Michalak 2007–2008, s. 380, 381, ryc. 2:1; P. N. Kotowicz 2008, s. 371, 372, przyp.

13, 14, ryc. 3:3; J. Kuśnierz 2009, s. 155). Długość całkowita zabytku wynosi 16,8 cm, wysokość zachowanej części ostrza 6,1 cm, szerokość osady posiada 4,9 cm, zaś jej światło 3,2×3,2 cm (Ryc. 1, 2). Waga zabytku to 664 g.

Żeleźce jest dość masywne, ostrze wąskie, opuszczone w stosunku do osi pionowej toporzyska (Ryc. 1-2). Obuch jest zaokrąglony, osada zakończona trójkątnym kapturkiem. Szyjka przechodzi w wąskie asymetryczne, łukowate ostrze. Żeleźce możemy określić jako typ IB.1.19 według P. N. Kotowicza (2014, s. 71, 292, ryc. 5) oraz IVC według A. Nadolskiego (1954, s. 44, tabl. XVI:3). Zakładając, że zabytek ma związek z okresem funkcjonowania nekropolii, jego chronologię należy określić na VII–IX w. (P. N. Kotowicz 2008, s. 371).

Niewykluczone, że zabytek związany jest z pochówkiem złożonym na nasypie kurhanu nr 1 i stanowił pierwotnie wyposażenie grobowe. Przy takim założeniu, w wyniku prac rolnych i zniszczeniu kurhanu poprzez orkę mógł zostać przemieszczony.

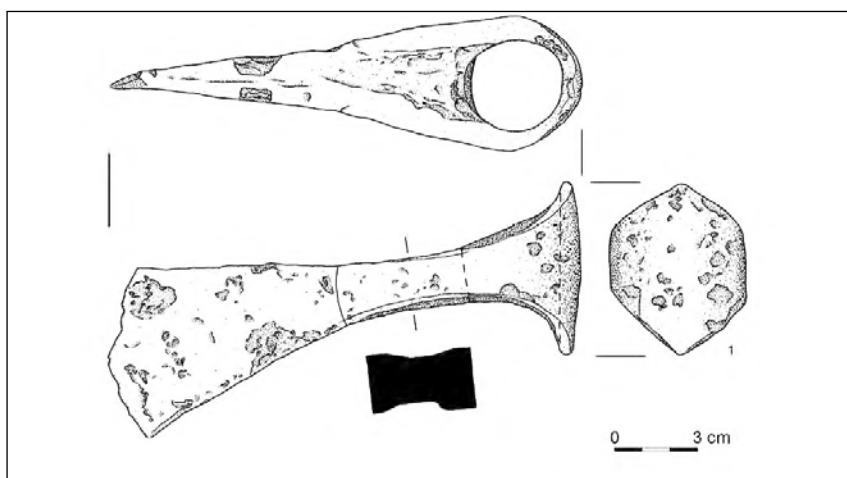
Analogie do zabytku z Lipska-Polesia wskazał i omówił szczegółowo P. N. Kotowicz (2008, s. 371, 372). Chronologia tego typu topora jest szeroka. Przyjmując datowanie egzemplarza z Lipska-Polesia na VII–IX w., stylistycznie najbardziej jest zbliżony do znalezisk z terenów bałtyjskich, zwłaszcza z obszaru dzisiejszej centralnej i wschodniej Litwy. Młodsze formy, datowane na X–XII, a nawet XIII w., znane są z szeregu stanowisk z obszaru Polski, Rusi Kijowskiej oraz Kotliny Karpackiej (P. N. Kotowicz 2008, s. 372 – tam konkretne analogie i dalsza literatura).

¹ Zbiory Państwowego Muzeum Archeologicznego w Warszawie, nr inw. PMA/V/7029.



Ryc. 1. Żelężce topora (VII–IX w.) odkryte nieopodal podstawy kurhanu nr 1 (fot. i oprac. Ł. Miechowicz).

Fig. 1. Blade of a shaft-hole axe (7th–9th century AD) discovered near the base of the burial mound No. 1 (photo and prepared by Ł. Miechowicz).



Ryc. 2. Żelężce topora (VII–IX w.) odkryte nieopodal podstawy kurhanu nr 1 (za P. N. Kotowicz 2013, s. 56, ryc. 2.1).

Fig. 2. Blade of a shaft-hole axe (7th–9th centuries AD) discovered near the base of the burial mound No. 1 (after P. N. Kotowicz 2013, p. 56, Fig. 2.1).



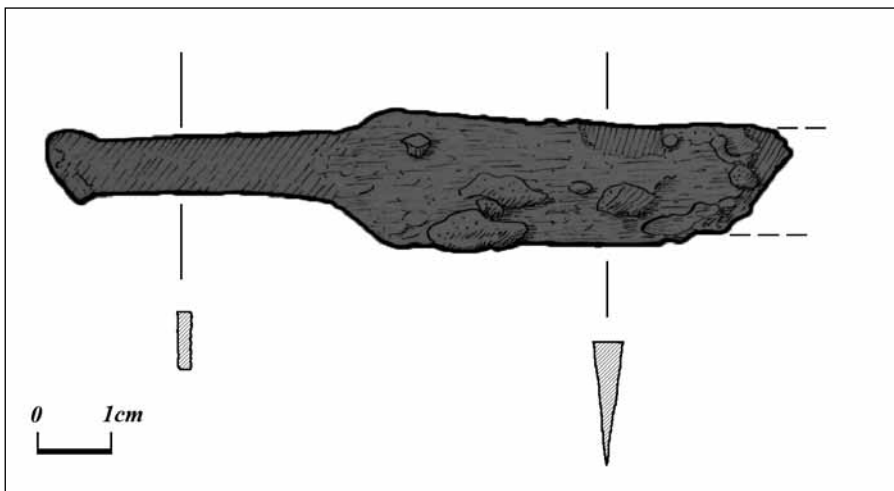
Ryc. 3. Ciosło z badań cmentarzyska kurhanowego w Lipsku-Polesiu, znalezisko luźne (fot. i oprac. Ł. Miechowicz).

Fig. 3. An adze from the research of the barrow cemetery in Lipsko-Polesie, stray find (photo and prepared by Ł. Miechowicz).



Ryc. 4. Żelazna piesznia odkryta na powierzchni cmentarzyska w Lipsku-Polesiu (fot. i oprac. Ł. Miechowicz).

Fig. 4. The iron *piesznia* discovered on the surface of the cemetery in Lipsko-Polesie (photo and prepared by Ł. Miechowicz).



Ryc. 5. Nóż żelazny z kurhanu nr 27 (rys. M. Drewko, oprac. A. Chlebicka).

Fig. 5. Iron knife from the burial mound No. 27 (drawing by M. Drewko, prepared by A. Chlebicka).

Ciosło żelazne

Do znalezisk luźnych należy żelazne ciosło o nieustalonej chronologii, odkryte w 1955 r. podczas prac ziemnych w ogrodzie A. Dragana, przylegającym do terenu cmentarzyska od strony wschodniej (Ryc. 3). Waga zabytku po konserwacji wynosi 321 g, szerokość ostrza sięga 46 mm, zaś wymiary światła osady 36×36 mm. Obuch jest zaokrąglony, osada zakończona trójkątnym kapturkiem. Styl jego wykonania jest zbliżony do opisanego powyżej żelazca topora, co mogłoby przemawiać za jego wczesnośredniowiecznym pochodzeniem.

Tego typu zabytki są dość rozpowszechnione w okresie średniowiecza na terenie całej Europy. W literaturze uważa się je nieraz za motyki, przy czym niewykluczone, że mogły równocześnie pełnić obie te funkcje (por. W. L. Goodman 1964, s. 31, 32; R. Krajć 2003, s. 136, 137; A. Michalak, M. Biborski, S. Stępiński 2014, s. 231 – tam dalsza literatura). W świetle danych etnograficznych służyły do wygła-

dzania powierzchni drewna oraz złobienia i drążenia (K. Moszyński 1929, s. 284; F. Kopkowicz 1958, s. 107; M. Pokropek 2019, s. 457).

Piesznia

Do nietypowych znalezisk należy żelazna piesznia odkryta w przestrzeni między kurhanami. Jest to długie żelazne dłuto z tulejką, w której osadzano długi drążek. Narzędzie to służyło do drążenia barci w drzewach (M. Pokropek 2019, s. 208).

Jej wczesnośredniowieczne pochodzenie jest wątpliwe, nie są znane analogie z tego okresu. Podobne zabytki notowane są za to w źródłach etnograficznych z XIX i początku XX w. (K. Moszyński 1929, s. 133–135).

Zabytek jest dość masywny, z kwadratową w przekroju tulejką zwężającą się ku części pracującej. Waga pieszni po konserwacji wynosi 1142 g, jej długość sięga 37 cm, zaś szerokość części tnącej – 20 mm. Wymiary przekroju tulejki wynoszą 45×45 mm, zaś wymiary



Ryc. 6. Nóż żelazny odkryty w nasypie kurhanu nr 7 (fot. Ł. Miechowicz).

Fig. 6. An iron knife discovered in the mound of the burial mound No. 7 (photo by Ł. Miechowicz).

światła osady -38×38 mm. Jej chronologię należy odnieść najprawdopodobniej do okresu nowożytnego.

Zabytki odkryte w nasypach kurhanów

Kurhan nr 7

W trakcie badań kurhanu nr 7 w nasypie, na głębokości 20 cm, odkryto nóż żelazny z ostrzem zachowanym jedynie częściowo. Długość całkowita zabytku wynosi 11 cm, szerokość ostrza 2,5 cm i zwęża się ku krańcowi, długość trzpienia sięga 5 cm, zaś szerokość 1 cm. Zabytek należy zaliczyć do kategorii przedmiotów osobistych o wielorakim przeznaczeniu².

Kurhan nr 21

Z badań nasypu kurhanu nr 21 pochodzi znalezisko żelaznego kółka o wymiarach 45×50 mm (ryc. 7). Waga zabytku po konserwacji wynosi 14,5 g. Jest to typ zabytku bardzo mało charakterystyczny, jego funkcja mogła być różnorodna.

Kurhan nr 24

W trakcie badań kurhanu nr 24 w 1953 r. w nasypie odkryto dwa zabytki metalowe. Pierwszy stanowią samodzielne nożyce żelazne (Ryc. 8). Zostały one wykonane z rozklepanego pręta o prostokątnym przekroju. Kabłąk posiada kolisty kształt. Ramiona kabłąka za-



Ryc. 7. Kółko żelazne odkryte w nasypie kurhanu nr 21 (fot. Ł. Miechowicz).

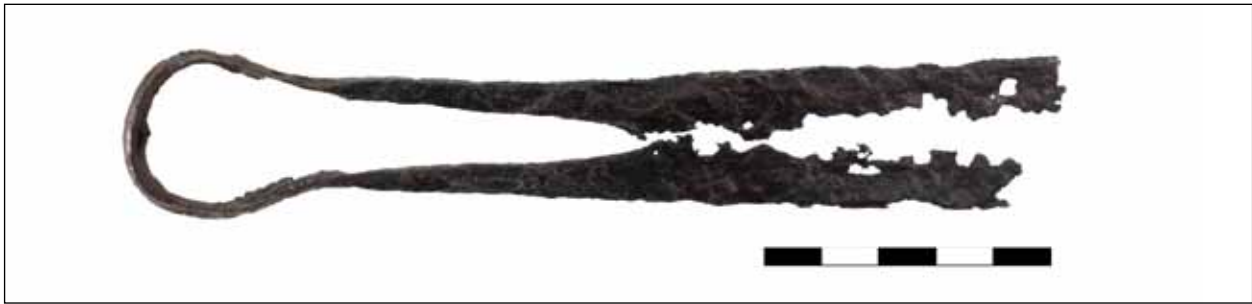
Fig. 7. An iron ring discovered in the mound of the burial mound No. 21 (photo by Ł. Miechowicz).

kończone są brzeszczotami, które nie zachowały się w całości. Zachowana długość nożyc wynosi 17,2 cm, szerokość brzeszczotu 0,9 cm, waga zachowanej części (po konserwacji) 41 g.

Bardzo zbliżone zabytki tego typu zostały odkryte w datowanym na IX w. skarbie przedmiotów żelaznych na grodzisku „Fajka” w Trepczy koło Sanoka (J. Ginalska 1997, s. 228, ryc. 8:232). Analogiczne znaleziska znane są ze skarbu przedmiotów żelaznych z Nowej Huty-Mogiły (R. Hachulska-Ledwos 1959/1960; 1971, s. 115, tabl. LXIV:2).

Kolejnym zabytkiem odkrytym w nasypie kurhanu nr 24, w części SW, na głębokości 30 cm, jest naśladownictwo rzymskiego denara (kwinar?) Anto-

² O podziale funkcjonalnym noży por. P. Michalik (2007, s. 43–61). Próby stworzenia typologii noży wczesnośredniowiecznych dokonał R. Rogosz (1983), zabytek z Lipska-Polesia zachowany jest jednak zbyt szczątkowo, aby móc go w niej ująć.



Ryc. 8. Jednodzielne nożyce żelazne odkryte w nasypie kurhanu nr 24 (fot. Ł. Miechowicz).

Fig. 8. One-piece iron scissors discovered in the mound of the burial mound No. 24 (photo by Ł. Miechowicz).

ninusa Piusa (138–161 r. n.e.) z otworem do podwieszenia (Ryc. 9). Waga monety wynosi 1,8 g, średnica 18 mm, na awersie widoczne jest popiersie cesarza, na rewersie przedstawienie bogini Annoni z głową skierowaną w lewo, trzymającą kłosa zboża, po lewej stronie widoczny *modius* wypełniony kłosami zboża, po prawej kotwica. Nie przeprowadzono badań metaloznawczych zabytku w celu rozpoznania składu mechanicznego stopu, z którego wykonano odlew.

Zagadnienie rzymskich denarów i ich naśladownictw odkrywanych w kontekstach wczesnośredniowiecznych zostało podjęte przez A. Zapolską (2007) oraz M. Boguckiego (2020) i M. Myzgina (2020). Denary rzymskie wystąpiły w kontekstach grobowych w na dwóch cmentarzyskach z XI w. – w czterech grobach w Dziekanowicach, pow. gnieźnieński oraz w Warszawie (A. Zapolska 2007, s. 169). Znaleźiska monet w grobach ciałopalnych z obszaru Polski znane są wyłącznie z cmentarzyska w Świelubiu koło Kołobrzegu, gdzie mieszą się tradycje słowiańskie oraz skandynawskie (Ł. Miechowicz 2010, s. 333). Są to arabskie dirhemy z X w. W przypadku Lipska-Polesia mamy do czynienia z najstarszym znaleziskiem monety w grobie wczesnośredniowiecznym na obszarze Polski.

Kurhan nr 35

W trakcie badań największego i jednego z najstarszych na cmentarzysku kurhanu nr 35 (VIII w.) odkryto 11 zabytków metalowych, które możemy pogrupować jako: militaria, elementy stroju i przedmioty codziennego użytku.

Militaria z badań kurhanu reprezentowane są przez żelazną ostrogę z zaczepami haczykowatymi zagiętymi do wewnątrz oraz żelazny grot strzały z tulejką oraz tordowanym trzpieniem.

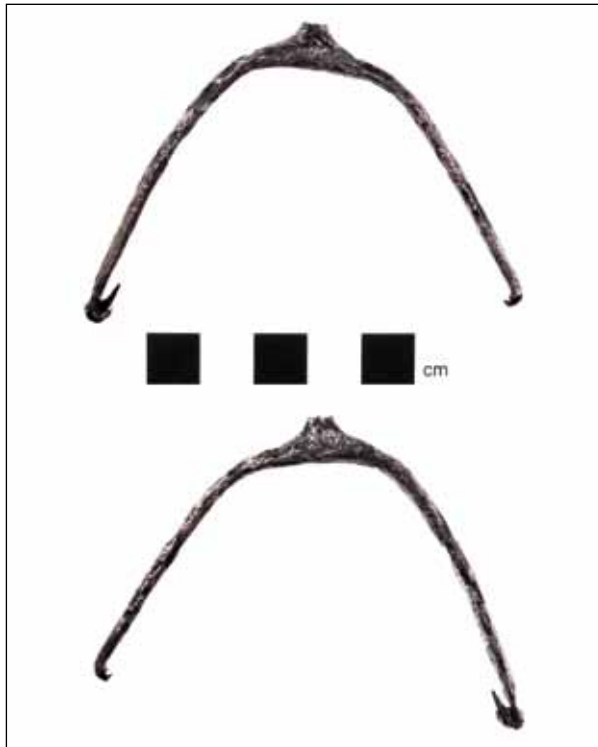


Ryc. 9. Naśladownictwo denara Antoninusa Piusa odkryte w nasypie kurhanu nr 24 (fot. Ł. Miechowicz).

Fig. 9. Imitation of the denarius of Antoninus Pius discovered in the mound of the burial mound No. 24 (photo by Ł. Miechowicz).

Ostroga posiada półkolisty, paraboliczny kabłąk (Ryc. 10, 11). Jej wymiary wynoszą odpowiednio: szerokość 79 mm, wysokość zachowanej części 59 mm, waga zabytku po konserwacji wynosi 16 g. Zachowała się niekompletnie, brakuje bodźca. Ten typ należy zakwalifikować do odmiany B, jednej z najstarszych notowanych na obszarze Słowiańszczyzny Zachodniej, datowanych na VIII w. (P. Strzyż 2006, s. 106). Najbliższe analogie do zabytku znane są z pobliskiego cmentarzyska w Mokrym, gm. Zamość, Gródka nad Bugiem, Mogiły Nowej-Huty, Kurdwanowa, Husynego (P. Strzyż 2006, s. 107, 259, 260, ryc. 27, 28). Szczegółowe omówienie znalezisk ostróg haczykowatych w polskiej części dawnych ziem ruskich podał P. N. Kotowicz (2006, s. 21–24) (Ryc. 12).

Grot strzały z tordowaną szyjką, tulejką i zadziorami, odkryty w nasypie kurhanu nr 35, ma 73 mm długości, szerokość otworu tulejki wynosi 9 mm, waga zachowanego zabytku 9,9 g. (Ryc. 13, 14). Należy do typu A1b, notowanym w kilku znaleziskach na obszarze historycznej Małopolski od VII/VIII



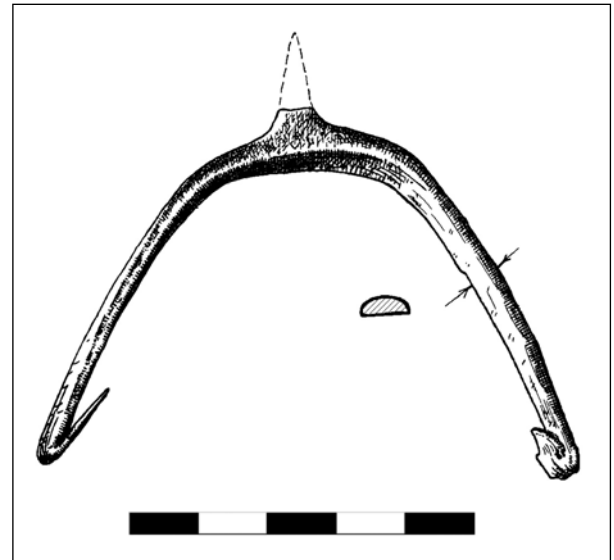
Ryc. 10. Ostroga żelazna odkryta w nasypie kurhanu 35 (fot. Ł. Miechowicz).

Fig. 10. Iron spur discovered in the mound of the barrow No. 35 (photo by Ł. Miechowicz).

po IX w. (P. Strzyż 2006, s. 81, 82). Analogie do zabytku pochodzą z Naszacowic, Szaworyża, Krakowa Nowej Huty-Mogily, Stradowa. Ostatnio tematyka znalezisk grotów strzał z tordowaną szyjką dla ziem Polskich została podjęta przez M. Stąpóra (2013). Egzemplarz z Lipska-Polesia należy do najbardziej wysuniętych na wschód znalezisk tego typu; podobnie jak pozostałe znaleziska, należy go datować na połowę VIII w. (M. Stąpór 2013, s. 58, ryc. 1).

Do elementów stroju odkrytych w kurhanie nr 35 należy zaliczyć 4 jednoczłonowe sprzączki żelazne, o prostokątnej i trapezowatej ramie, w jednym przypadku z zachowanym kolcem (Ryc. 14):

- sprzączka 1: rama trapezowata, zachowany kołek, wymiary 59×51 mm, długość kolca 59 mm, waga 24,2 g;
- sprzączka 2: rama trapezowata, 51×43 mm, brak kolca, waga 16 g;
- sprzączka 3: rama trapezowata, 51×36 mm, brak kolca, waga 10,2 g;
- sprzączka 4: rama kwadratowa 33×33 mm, brak kolca, waga 5,2 g.



Ryc. 11. Ostroga żelazna odkryta w nasypie kurhanu 35 (rys. M. Drewko, oprac. A. Chlebicka).

Fig. 11. Iron spur discovered in the mound of the barrow No. 35 (drawing by M. Drewko, prepared by A. Chlebicka).

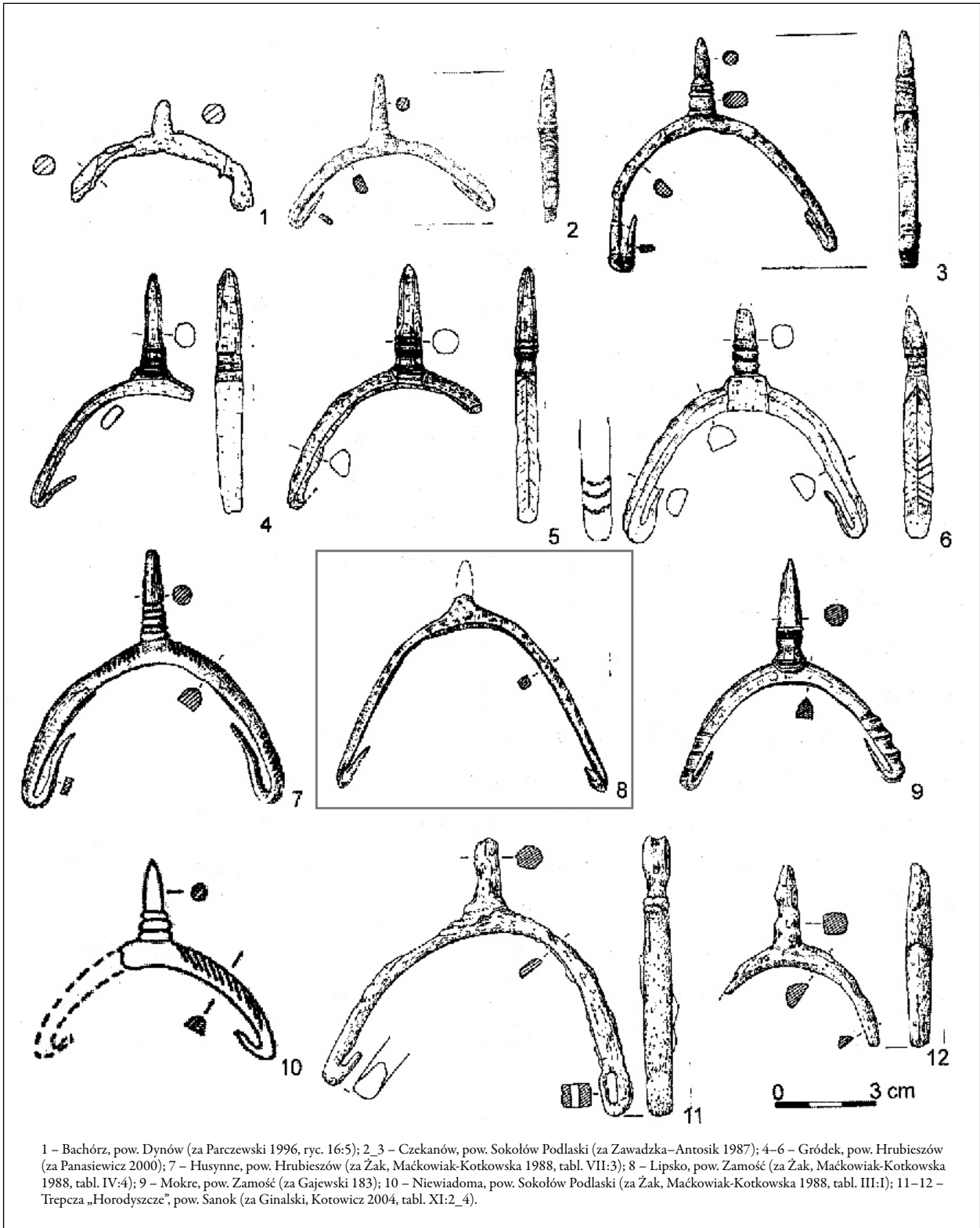
Sprzączki prostokątne jednoczłonowe są dość rzadko spotykane w kontekstach wczesnośredniowiecznych (por. M. Dzik 2015, s. 221). Ich chronologię należy określić, podobnie jak ostrogi i grotu strzały, na VIII w. Analogiczny zabytek – sprzączka o prostokątnej ramie – znany jest z datowanego na VII w. skarbu ozdób brązowych odkrytego w Krakowie Nowej-Hucie (E. Dąbrowska, 1984, s. 356, ryc. 3d).

Z zabytków codziennego użytku z badań kurhanu nr 35 pochodzi odkrycie żelaznego krzesiwa ogniowego o długości 10 cm, szerokości maks. 29 mm, wadze 47,4 g. Na końcach posiada ono dodatkowe otwory, prawdopodobnie do podwieszania (Ryc. 16).

Zabytek należy zaliczyć do grupy II.4 według M. Dzika (2015, s. 247, 248), znanej w większości ze znalezisk datowanych na XI i XII w. Uprzednio przypuszczenie o wczesnej (VII–VIII w.) możliwości metryki krzesiw ogniowych sugerowali dla znaleziska z osady w Szeligach J. Budziszewski i J. Kalaga (1998, s. 168).

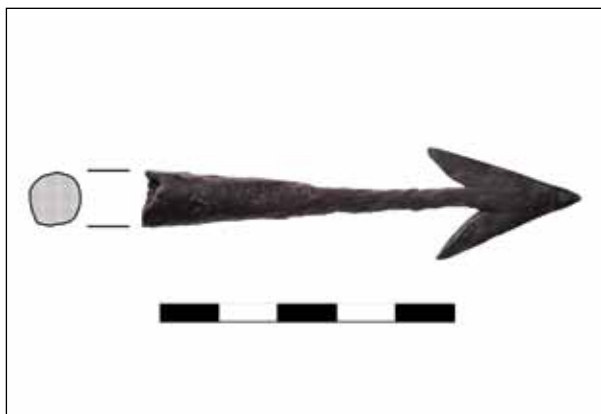
Kolejny zabytek stanowi żelazny kabłąk z haczykowatymi zakończeniami, stanowiący element drewnianego wiadra klepkowego. Wymiary zabytku wynoszą odpowiednio: szerokość 14,6 cm, wysokość 8,4 cm, waga 8,6 g (Ryc. 17).

Zagadnienie wczesnośredniowiecznych pochówków z wiadrkami dla obszaru Polski zostało omówione przez A. Janowskiego i T. Kurasińskiego (2008),



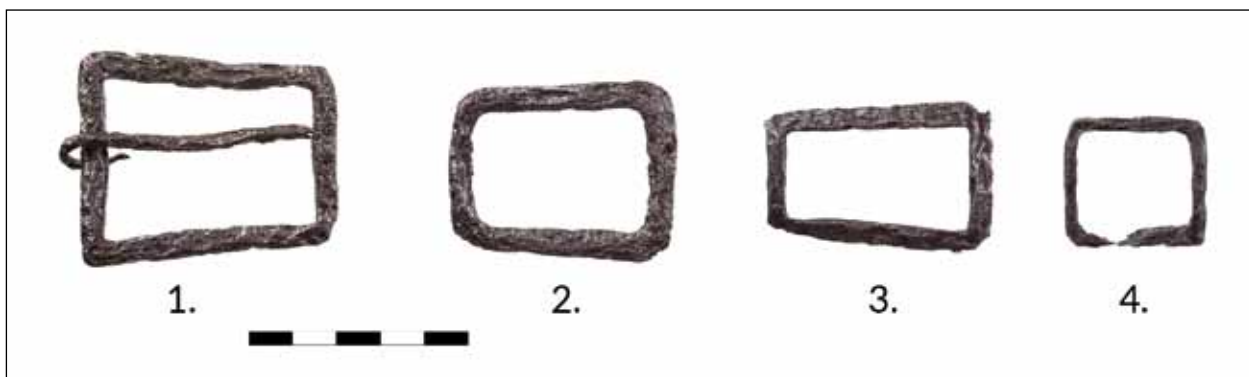
Ryc. 12. Ostrogi z zaczepami haczykowatymi skierowanymi do wewnątrz z obszaru polskiej części dawnych ziem ruskich, za P. N. Kotowicz 2006, s. 21, ryc. 2.

Fig. 12. Hooked spurs bent inwards from the area of the Polish part of the former territory of Ruthenia, after P. N. Kotowicz 2006, p. 21, fig. 2.



Ryc. 13-14. Grot z zadziorami oraz tordowaną tulejką z kurhanu nr 35 (fot. Ł. Miechowicz).

Fig. 13-14. A barbed arrowhead with a twisted socket from the burial mound No. 35 (photo by Ł. Miechowicz).



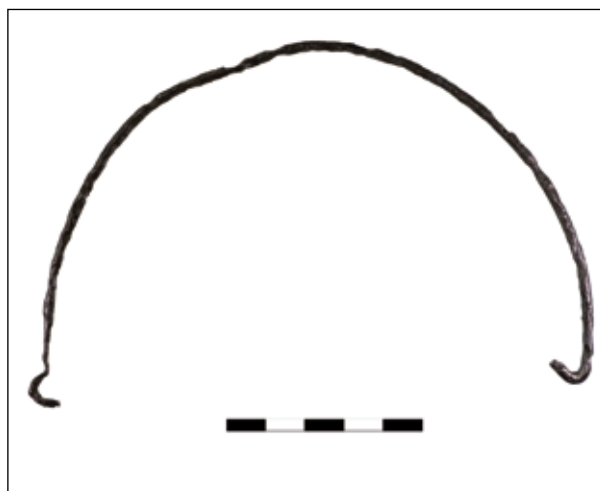
Ryc. 15. Żelazne sprzączki odkryte w nasypie kurhanu 35 (fot. Ł. Miechowicz).

Fig. 15. Iron buckles discovered in the mound of the barrow No. 35 (photo by Ł. Miechowicz).



Ryc. 16. Żelazne krzesiwo ogniwkowe z kurhanu nr 35 (fot. Ł. Miechowicz).

Fig. 16. Iron oval fire steel from the barrow No. 35 (photo by Ł. Miechowicz).



Ryc. 17. Żelazny kablak wiaderka z kurhanu 35 (fot. Ł. Miechowicz).

Fig. 17. The iron hoop of a bucket from the burial mound No. 35 (photo by Ł. Miechowicz).



Ryc. 18. Płacidło grotopodobne z kurhanu 35 w Lipsku-Polesiu (fot. Ł. Miechowicz).

Fig. 18. An arrowhead-like iron bar from the burial mound No. 35 in Lipsko-Polesie (photo Ł. Miechowicz).

T. Kurasińskiego (2015) oraz M. Dzika (2015, s. 264–268). W świetle wymienionej powyżej literatury zwyczaj wkładania wiaderka do grobów upowszechnia się dopiero w końcu X i w XI w. Zabytek z Lipska-Polesia byłby więc najstarszym poświadczeniem tej tradycji odnotowanym na obszarze ziem polskich.

Do najciekawszych zabytków odkrytych w nasypie kurhanu należy grzywna grotopodobna, rodzaj pieniądza pozakruszczowego charakterystycznego dla obszarów naddunajskich i państwa wielkomorawskiego (Ryc. 18).

Długość zabytku wynosi 10 cm, maks. szerokość 1,5 cm, waga 18 g. Najbliższe analogie do tego typu znalezisk pochodzą ze Żmijowisk oraz Kłodnicy, pow. opolski, woj. lubelskie (Ł. Miechowicz 2018, s. 52–60) oraz grodziska wczesnośredniowiecznego „Horodna” w Trepczy, pow. sanocki (P. N. Kotowicz 2002, s. 224, ryc. 3), gdzie wystąpiły w kontekstach datowanych na X w. Cztery tego typu zabytki odkryto również na odległym o ok. 30 km grodzisku we wsi Sąsiadka (E. Marczak 2013).

Tego typu zabytki najliczniej występują na obszarze zajmowanym przez państwo wielkomorawskie, w Polsce zaś na Dolnym Śląsku oraz Podkarpaciu (K. Wachowski 1997, s. 69; 2001, s. 328) (Ryc. 19). Zdaniem K. Wachowskiego (1997, s. 69) mogą one posiadać dolnośląską genezę, według P. N. Kotowicza (2002, s. 224-225), który przeanalizował kontek-



Ryc. 19. Znalaziska płacidel grotopodobnych z obszaru Polski według E. Marczak (2013, s. 54, ryc. 22).

Fig. 19. Finds of arrowhead-like iron bars from the territory of Poland according to E. Marczak (2013, p. 54, fig. 22).



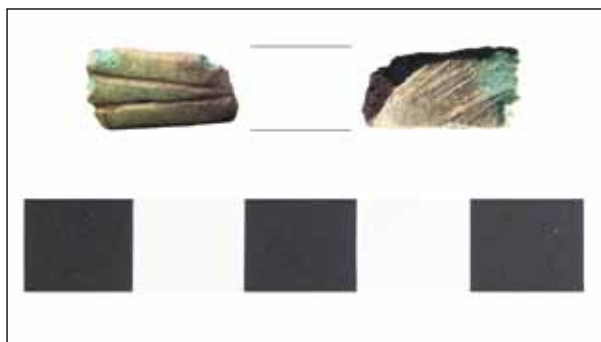
Ryc. 20. Fragment przedmiotu żelaznego z nasypu kurhanu nr 35 (fot. Ł. Miechowicz).

Fig. 20. Fragment of an iron object from the mound of the burial mound No. 35 (photo by Ł. Miechowicz).



Ryc. 21. Brązowy kabłączek skroniowy z nasypu kurhanu nr 35 (fot. Ł. Miechowicz).

Fig. 21. A bronze temple ring from the mound of the burial mound No. 35 (photo by Ł. Miechowicz).



Ryc. 22. Fragment przedmiotu z brązu odkryty w nasypie kurhanu nr 27 (fot. Ł. Miechowicz).

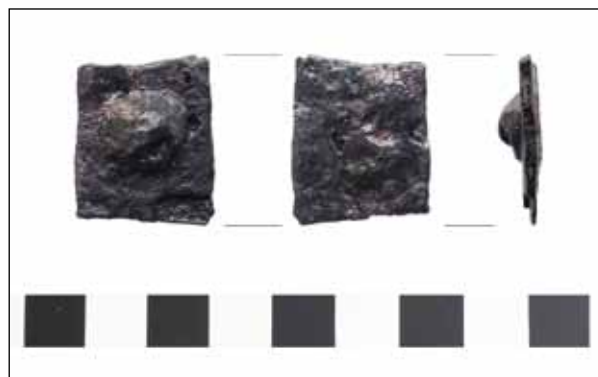
Fig. 22. Fragment of a bronze artefact from the mound of the burial mound No. 27 (photo by Ł. Miechowicz).

sty odkrycia tego typu zabytków, mają one związek z oddziaływaniami wielkomorawskimi. Zdaniem J. Adamczyka (2004, s. 250, 251) ich funkcja nie jest jednoznacznie określona³.

Z nasypu kurhanu nr 35 pochodzi także fragment żelaznego przedmiotu o nieustalonej funkcji (Ryc. 20). Jest to fragment okrągłego w przekroju drutu żelaznego z zawiniętym końcem, grubości 4 mm i długości 31 mm. Pod względem stylistycznym może być to fragment kabłączka skroniowego (typu IIa według M. Dzika, 2015, I, s. 157), jednakże tego typu zabytki notowane są w znaleziskach znacznie młodszych, pochodzących z X–XI w. (M. Dzik 2015, s. 159).

Starszym zabytkiem jest wykonany z brązu kabłączek skroniowy typu Ia według M. Dzika (2015, s. 157) o tępych końcach odkryty także w nasypie kurhanu 35 (Ryc. 21). Zabytek wykonany jest z okrągłego w przekroju drutu o grubości 4 mm, jego wymiary wynoszą 22×21 mm, waga 5,6 g. Najbliższe analogiczne znaleziska odkryto w datowanych na X/XI w. grobach ciepłopalnych w Czarnej Cerkiewnej, Skibach Małych i Czarnej Wielkiej, aczkolwiek w tych przypadkach średnica drutu z którego wykonano zabytki wahała się od 0,9 do 2,4 mm zaś średnica całych okazów wahała się od 13,5 do 24 mm (M. Dzik 2015, s. 157). Analogiczny zabytek do odkrytego w nasypie kurhanu 35 w Lipsku-Polesiu, znany jest z datowanego na VII w. skarbu ozdób brązowych z Krakowa Nowej-Huty (E. Dąbrowska 1984, s. 356, 361, ryc. 3c).

³ Według K. Jaworskiego (1998, s. 471) zabytki te mogły stanowić rodzaj gwoździ do łączenia drewnianych elementów wałów, co jest jednak mało prawdopodobne.



Ryc. 23. Fragment okucia z żelaza odkryty w nasypie kurhanu nr 58 (fot. Ł. Miechowicz).

Fig. 23. Fragment of an iron fitting from the mound of the burial mound No. 58 (photo by Ł. Miechowicz).

Kurhan nr 27

W północno-wschodniej części nasypu kurhanu, na głębokości ok. 20-30 cm, znaleziono fragment brązowej ozdoby (Ryc. 22). Zabytek posiada 19 mm długości oraz 7 mm szerokości, jego grubość wynosi 4 mm. Został wykonany metodą odlewania, na powierzchni zewnętrznej widoczny jest ornament w postaci podłużnych żłobień, na stronie wewnętrznej widoczne ślady użycia pilnika. Najprawdopodobniej jest to część bransolety, lub ozdobnej aplikacji.

Kurhan nr 58

Z obiektu określonego jako „palenisko”, odkrytego pod nasypem kurhanu w północno-wschodniej ćwiartce pochodzi znalezisko żelaznego okucia (ryc. 23). Zabytek wykonany jest z podwójnej blachy żelaznej o szerokości 1 mm, spiętej żelaznym nitami. Posiada wymiary: 28 długości, 22 mm szerokości oraz 2 mm grubości. Najprawdopodobniej stanowił ozdobę pasa, rzędu końskiego lub elementu stroju.

Bibliografia

- Adamczyk J.
2004 *Placidła w Europie środkowej i wschodniej w średniowieczu: formy, funkcjonowanie, ewolucja*, Warszawa.
- Bogucki M.
2020 *Ancient Coins from Early Medieval Polish finds*, [w:] M. Bogucki, A. Dymowski, G. Śnieżko (red.), *Silvers of the Antiquity. The use of Ancient Coins in Central, Eastern and Northern Europe in the Medieval and Modern Periods*, Warszawa, s. 43–64.
- Budziszewski J., Kalaga J.
1998 *Instrumentarium do niecenie ognia z wczesnośredniowiecznego cmentarzyska w Litewnikach Nowych, woj.*

białsko-podlaskie, [w:] A. Buko (red.), *Studia z dziejów cywilizacji*, Warszawa, s. 167–174.

Dąbrowska E.

- 1973 *Wielkie grody dorzecza górnej Wisły*, Wrocław.
1984 *Skarb ozdób brązowych z VI-VII w. na stanowisku 62A w Nowej-Hucie Mogile*, *Archeologia Polski*, T. 29, s. 351–369.

Drewko M.

- 1957 *Sprawozdanie z badań przeprowadzonych w 1955 r. na wczesnośredniowiecznym cmentarzysku kurhanowym we wsi Lipsko, pow. zamojski*, „*Sprawozdania Archeologiczne*” 3, s. 165–168.

Dzik M.

- 2015 *Przemiany zwyczajów pogrzebowych w międzyrzeczu Bugu i górnej Narwi (XI–XV w.)*, t. I, Rzeszów.

Ginałski J.

- 1997 *Wczesnośredniowieczne depozyty przedmiotów żelaznych z grodziska „Fajka” w Trecpzy koło Sanoka*, „*Sprawozdania Archeologiczne*” 49, s. 221–241.

Goodman W. L.

- 1964 *The History of Woodworking Tools*, London.

Hachulska-Ledwos R.

- 1959–1960 *Wczesnośredniowieczny skarb żelazny z Mogiły pow. Kraków*, „*Wiadomości Archeologiczne*” XXVI, z. 3–4, s. 251–260.
1971 *Wczesnośredniowieczna osada w Nowej Hucie – Mogile*, „*Materiały Archeologiczne Nowej Huty*”, T. 3, s. 7–210.

Janowski A., Kurasiński T.

- 2008 *(Nie)militarne naczynia. Fakty i mity*, [w:] W. Świętosławski (red.), *Nie tylko broń. Niemilitarne wyposażenie wojowników w starożytności i średniowieczu*, „*Acta Archaeologica Lodziensis*” 54, s. 61–68.

Jaworski K.

- 1998 *Konstrukcje obronne wczesnośredniowiecznego grodziska w Gilowie w świetle najnowszych badań*, „*Śląskie Sprawozdania Archeologiczne*” 40, s. 463–474.

Kopkiewicz F.

- 1958 *Ciesielstwo polskie*, Warszawa.

Kotowicz P. N.

- 2002 *Żelazne grzywny grotopodobne z grodziska wczesnośredniowiecznego „Horodna” w Trecpzy, pow. Sanok*, „*Materiały i Sprawozdania Rzeszowskiego Ośrodka Archeologicznego*” 23, s. 221–226.
2006 *Przemiany w uzbrojeniu plemiennym i wczesnopaństwowym (VI–poł. XIII w.) w polskiej części dawnych ziem ruskich – wybrane przykłady*, „*Wisnik*”, s. 18–47.
2008 *... wszystką jego broń umieścili obok niego... Pochówki wojowników (?) na wczesnośredniowiecznych, ciałopalnych cmentarzyskach kurhanowych z terenu Polski*, [w:] W. Dzieduszycki, J. Wrzesiński (red.), *Funeralia Lednickie* 10, Poznań, s. 363–383.
2013 *Problematyka badań bronzoznawczych nad wczesnośredniowiecznym uzbrojeniem Lubelszczyzny*, „*Materiały i Sprawozdania Rzeszowskiego Ośrodka Archeologicznego*” 34, s. 51–71.
2014 *Topory wczesnośredniowieczne z ziemi polskich. Katalog źródeł*, Rzeszów.

Kotowicz P. N., Michalak A.

- 2007–2008 *Status of Research on Early-Medieval Armament in Malopolska. Remarks Regarding the Monograph Stu-*

dy by Piotr Strzyż (2006A), „*Acta Archaeologica Carpathica*” 42–43, s. 371–417.

Krajc R.

- 2003 *Sezimovo Ústí Archeologie středověkého poddanského města 3/I*, Praha-Sezimovo-Ústí-Tábor.

Kurasiński T.

- 2015 *Burials with Buckets in Early Medieval Poland. A Pagan or Christian Custom?*, [w:] A. Rozwałka, M. Połtowicz-Bobak, S. Kadrow (red.) *Rituals in the Past*, „*Analecta Archaeologica Ressoiviensia*” 10, s. 137–198.

Kuśnierz J.

- 2009 *Znaleziska wczesnośredniowiecznych militariów w międzyrzeczu Wisły i Bugu jako materialne ślady konfliktów zbrojnych na pograniczu polsko-ruskim*, [w:] E. Banasiewicz-Szykuła (red.), *Pogranicze polsko-ruskie we wczesnym średniowieczu na Lubelszczyźnie*, *Skarby Lubelszczyzny*, Lublin, s. 139–166.

Marczak E.

- 2013 *Placidla grotopodobne*, [w:] J. Kalaga (red.), *Sutiejsk. Gród pogranicza polsko-ruskiego z X–XIII wieku. Studium interdyscyplinarne*, Warszawa-Pętkowice, s. 52–60.

Michalak A., Biborski M., Stepiński S.

- 2012 *Przedmioty metalowe ze stanowiska 1 w Zawadzie, gm. Zielona Góra – analiza formalna i metalograficzna*, [w:] B. Gruszka (red.), *Wczesnośredniowieczna osada w Zawadzie, stan. 1, gm. Zielona Góra. Studia interdyscyplinarne*, Zielona Góra, s. 231–267.

Michalik P.

- 2007 *Późnośredniowieczne i wczesnonowżytnie noże z zamku w Pucku*, „*Światowit*”, Supplement Series P: Prehistory and Middle Ages, XV.

Miechowicz Ł.

- 2010 *By pewniej i szybciej przeniósł się na tamten świat... Pieniądz jako element praktyk pogrzebowych na Mazowszu, Podlasiu i w Małopolsce w średniowieczu i czasach nowożytnych*, [w:] P. N. Kotowicz, S. Cygan (red.), *In Silvis, Campis... Et Urbe. Wczesnośredniowieczny obrządek pogrzebowy na pograniczu polsko-ruskim*, Rzeszów-Sanok, s. 331–356.
2018 *Wczesnośredniowieczne grody w Kotlinie Chodelskiej*, [w:] E. Banasiewicz-Szykuła (red.) *Grody z okresu plemiennego na Lubelszczyźnie*, Lublin, s. 25–70.

Moszyński K.

- 1929 *Kultura Ludowa Słowian. Część 1. Kultura materialna*, Kraków.

Myzgin K.

- 2020 *The “Second Life” of Ancient Coins in Eastern Europe in the Middle Ages and the Modern Period* [w:] M. Bogucki, A. Dymowski, G. Śnieżko (red.), *Silvers of the Antiquity. The use of Ancient Coins in Central, Eastern and Northern Europe in the Medieval and Modern Periods*, Warszawa, s. 113–158.

Nadolski A.

- 1954 *Studia nad uzbrojeniem polskim w X, XI i XII wieku*, „*Acta Archaeologica Universitatis Lodziensis*” 3, Łódź.

Pokropek M.

- 2019 *Etnografia. Materialna kultura ludowa Polski na tle poznawczym*, Warszawa.

Rogosz R.

- 1983 *Obróbka i zastosowanie żelaza*, [w:] E. Cnotliwy, L. Leciejewicz, W. Łosiński (red.), *Szczecin we wczesnym*

średniowieczu. Wzgórze zamkowe, Wrocław-Warszawa-Kraków-Gdańsk-Łódź, s. 262–267.

Stąpór M.

2013 *Early medieval arrowheads with twisted sockets discovered in Poland – the concepts of purpose*, [w:] L. Marek (red.), *Weapons bring peace? Warfare in medieval and early modern Europe*, „Wratislavia Antiqua. Studia z dziejów Wrocławia” 18, s. 57–61.

Strzyż P.

2006 *Uzbrojenie we wczesnośredniowiecznej Małopolsce*, „Acta Archaeologica Lodziensia” 52, s. 7–272.

Wachowski K.

1997 *Śląsk w dobie przedpiastowskiej. Studium archeologiczne*, Wrocław.

2001 *Śląsk około roku 1000*, [w:] S. Skibiński (red.), *Polska na przełomie I i II tysiąclecia. Materiały Sesji Stowarzyszenia Historyków Sztuki. Poznań, listopad 2000*, Poznań, s. 325–334.

Zapolska A.

2007 *Denary rzymskie znajdowane w kontekstach wczesnośredniowiecznych na ziemiach polskich*, „Wiadomości Numizmatyczne” 51/2, s. 149–178.

MEDIEVAL AND MODERN METAL ARTEFACTS FROM THE RESEARCH ON THE BARROW CEMETERY IN LIPSKO-POLESIE

During the research of the cemetery in Lipsko-Polesie, 1 modern metal artefact, 1 artefact of undetermined chronology, 17 early medieval ones and one older coin found in the early medieval context – a barbaric imitation of the denarius of Antoninus Pius were discovered. The items in question can be broken down into three categories: military, ornaments and elements of clothing, and everyday items. In the mounds of 4 barrows, a total of 15 early medieval metal artefacts were discovered, the next 3 were stray finds. The greatest number of artefacts – 11 – was recorded in the mound of the barrow No. 35.

The stray finds include an iron blade of a shaft-hole axe found at the base of the burial mound No. 1. Its chronology is quite broad. The older forms are dated from the 7th to the 9th centuries AD, the younger ones – from the 10th to the 13th centuries AD. Another stray find is an iron adze, discovered already beyond the extent of the necropolis. Its style of execution suggests that it may be an early medieval artefact, however, such tools were used practically until the beginning of the 20th century, which is confirmed by ethnographic sources. Modern finds include an iron piesznia – a long chisel used to drill hives in trees. Similar tools are listed in ethnographic sources from the nineteenth and early twentieth century.

With the exception of the aforementioned burial mound No. 35, single finds come from the remaining graves. An iron knife was discovered in the mound of the barrow No. 7. It is a little characteristic artefact, it should be included in the category of items for personal use for multiple purposes. During the exploration of the burial mound No. 21, an iron ring of 45×50 mm in diameter was discovered with an undetermined function. In the mound of the barrow No. 24, single

iron scissors were found, which have analogies in two iron hoards dating back to the 9th century AD, from Trecza and Nowa Huta-Mogiła. Another artefact discovered in the mound of this barrow is an imitation of the Roman denarius of Antoninus Pius with a hole for hanging, which probably served as a pendant in the necklace.

The richest in terms of finds is the burial mound No. 35, in which as many as 11 metal artefacts were discovered – military, elements of clothing and everyday items as well.

Military from the research of this barrow are represented by an iron hooked spur bent inwards and an iron arrowhead with a socket and twisted pin. The chronology of both artefacts was established for the 8th century. The elements of the clothing include 4 one-piece iron buckles with rectangular and trapezoidal frames. In addition, an iron oval fire steel with holes on the ends and an iron hoop constituting part of a wooden bucket were found in the barrow's mound. One of the most interesting artefacts discovered in the mound of the discussed barrow is an arrowhead-like grzywna, a kind of iron bar characteristic for the Danube area and the Great Moravian state. To the ornaments should be counted a temple ring made of a copper alloy. This type of artefacts are usually noted in younger grave finds from the 10th–11th centuries AD, but a similar find is known from the 8th century hoard of bronze objects from Cracow – Nowa Huta-Mogiła.

The barrow No. 35 stands out clearly from other early medieval graves in the area of western Slavic region, both in terms of size and grave goods. All metal artefacts were discovered in the upper parts of the mound and in the flow down layer, where at the same time charred bone remains occurred.

Paciorki szklane z cmentarzyska kurhanowego w Lipsku-Polesiu

Sylvia Wajda, Paweł Gan

Ozdoby szklane z wczesnośredniowiecznego cmentarzyska w Lipsku-Polesiu, pow. zamojski to zespół 4 paciorków, które odkryte zostały w trzech kurhanach – 25 (jeden paciorek), 35 (jeden paciorek) oraz 37 (dwa paciorki), przebadanych w latach 1953–1955. Wszystkie znaleziska pochodzą z pochówków należących do tzw. południowej grupy kurhanowej, przy czym kurhan 25 datowany jest na VIII–X wiek, zaś kurhan 35, na połowę VII–VIII wiek. Niestety chronologia kurhanu 37, ze względu na brak dobrze zachowanej dokumentacji pozostaje nieustalona¹.

Paciorki zachowane są w całości, szkło jest lekko skorodowane, z niewielkimi wżerami korozji. Wykonano je dwoma technikami – przez nawijanie nitki szklanej oraz techniką wyciągania. Wszystkie zostały przebadane pod względem składu pierwiastkowego, dzięki czemu możliwe było wstępne ustalenie technologii wytopu szkieł, z których je sporządzono (Tab. 2). Najważniejsze dane dotyczące miejsca odkrycia, wymiarów, techniki wykonania czy cech masy szklanej zawarte zostały w tabelarycznym zestawieniu szklanych ozdób (Tab. 1).

Paciorki wykonane techniką nawijania

Techniką nawijania wykonano trzy paciorki, w tym dwa z kurhanu 37 oraz jeden z 25 (Ryc. 1a, b, c). Metoda ta polega na nawinięciu masy szklanej na rozgrzany metalowy pręt. W wyniku takiego

zabiegu, często na powierzchniach ozdób widoczne są ślady nawiniętej nitki szklanej. Jeżeli szkło jest przejrzyste, można nieraz dostrzec pęcherze gazowe lub (i kapilary), które biegają koncentrycznie w stosunku do kanalika (por. T. Purowski 2012, s. 84, ryc. 21; S. Wajda 2014, ryc. 23; 2019, ryc. 4:35). W okresie wczesnego średniowiecza była to najpopularniejsza metoda wytwarzania ozdób ze szkła.

Paciorek z kurhanu 25 ma formę zbliżoną do dwustożkowej i wykonany został bardzo niestaranie (Ryc. 1a). Powierzchnie przyotworowe są nierówne, a na jednej z krawędzi kanalika można zauważyć niewytopiony brzeg nitki szklanej (Ryc. 1a1). Masa szklana opisywanego okazu jest dwukolorowa – brązowo-czarna, nieprzezroczysta. Cały korpus paciorka pokryty jest smugami w tych dwóch kolorach, które układają się spiralnie do osi kanalika.

Paciorki wykonane z bardzo podobnego tworzywa jak wyżej opisane, znaleziono na cmentarzysku w Bodzi, pow. wrocławski. Odkryte zostały w grobie kobiety (nr E877), datowanym na lata po 983 r., oraz w grobie nr E856 datowanym po 997 r. (M. Dekówna, T. Purowski 2017, s. 165–167, ryc. 3.5.3e, d, 3.5.6a). Ozdoby z czerwonego, opakowego² szkła znane są ponadto z cmentarzyska w Dziekanowicach, pow. gnieźnieński z grobów datowanych na X/XI–XII w. (M. Dekówna, T. Purowski 2019, s. 301, 302, ryc. 1:3). Z podobnej masy szklanej wykonano również paciorki znalezione na grodziskach we Wrocławiu-Ostrowie Tumskim oraz w Opolu-

¹ Zob. Ł. Miechowicz w niniejszym tomie.

² Szkło paciorków mącone było pięciotlenkiem antymonu (Sb_2O_5) (M. Dekówna, T. Purowski 2019, s. 302).

Tab.1. Katalog przedmiotów szklanych.

Tab. 1. Catalogue of glass items.

Waarunki odkrycia	Przedmiot	Liczba	Technika wykonania	Forma	Wymiary	Barwa i przezroczystość szkła	Wady masy szklanej	Uwagi	Nr inw.	Nr próbki	Nr ryciny
1	2	3	4	6	8	9	10	11	12	13	13
kurhan 25	paciorek	1	nawijania	dwustozkowa (nieregularna)	H: 0,51-0,53 cm; D: 0,75-0,77 cm	brązowo-czarna, nieprzezroczysta	masa szklana niejednorodna – na korpusie paciorka widoczne smugi czarnego szkła, które układają się spiralnie do osi kanalka		V/7029; K.N. 28; PMA/10550/7	1	1: a
kurhan 35	paciorek	1	wyciągania	graniastosłupowa	H: 0,47-0,62 cm; D: 0,68-0,74 cm	czerwonobrazowa, nieprzezroczysta	przy obu powierzchniach przyotworowych orwarte pęcherzyki gazowe, na korpusie widoczne ciągi szkła		V/7029; K.N. 16	2	1: b
kurhan 37	paciorek	1	nawijania	pięścieniowata	H: 0,72-0,78 cm; D: 1,19-1,24 cm	ciemnoniebieska, nieprzezroczysta		powierzchnie przyotworowe lekko splaszczone	V/7029; K.N. 36; PMA/10550/15	3	1: c
kurhan 37	paciorek	1	nawijania	pięścieniowata	H: 0,39-0,57 cm; D: 0,74-0,90 cm	czarna, nieprzezroczysta		na korpusie widoczny koniec i boki niezatopionej nitki szklanej	V/7029; K.N. 37; PMA/10550/16	4	1: d

Tab. 2. Wyniki analiz składu chemicznego szkieł.

Tab. 2. Composition of the analyzed glass finds.

Numer próbki	Typ szkła	Barwa i przezroczystość	składniki w % wt																	Ryc.1							
			SiO ₂	Na ₂ O	K ₂ O	CaO	MgO	Al ₂ O ₃	Fe ₂ O ₃	MnO	Sb ₂ O ₃	PbO	CoO	CuO	BaO	TiO ₂	SnO ₂	NiO	ZnO		As ₂ O ₃	P ₂ O ₅	SO ₃	Cl	Ag ₂ O	Au ₂ O	Cr ₂ O ₃
1	sodowe mineralne	brązowo-czarna, nieprzezroczysta	62,46	19,10	0,66	4,78	0,78	2,33	4,58	0,10	0,83	0,73	0,46	0,64	<	0,00	0,45	0,01	0,01	0,00	0,85	0,35	0,20	0,03	0,66	0,01	a
3			74,17	6,07	0,91	5,93	1,11	3,91	3,91	0,39	0,00	0,00	0,17	0,35	<	0,16	0,15	0,00	0,00	0,00	0,75	1,05	0,26	0,00	0,58	0,14	c
4			59,60	18,11	0,43	5,47	0,64	3,10	8,58	0,33	0,28	0,21	0,51	0,41	0,41	<	0,49	0,05	0,00	0,00	0,00	0,35	0,36	0,36	0,21	0,37	0,12
2	sodowe popiolowe	czerwonobrazowa, nieprzezroczysta	67,13	13,75	2,30	5,48	2,72	4,65	1,05	0,10	0,07	0,00	0,11	0,00	* <	0,07	0,00	0,01	0,00	0,00	1,14	0,12	0,40	0,00	0,91	0,00	b

* < - poniżej limitu wykrywalności metody

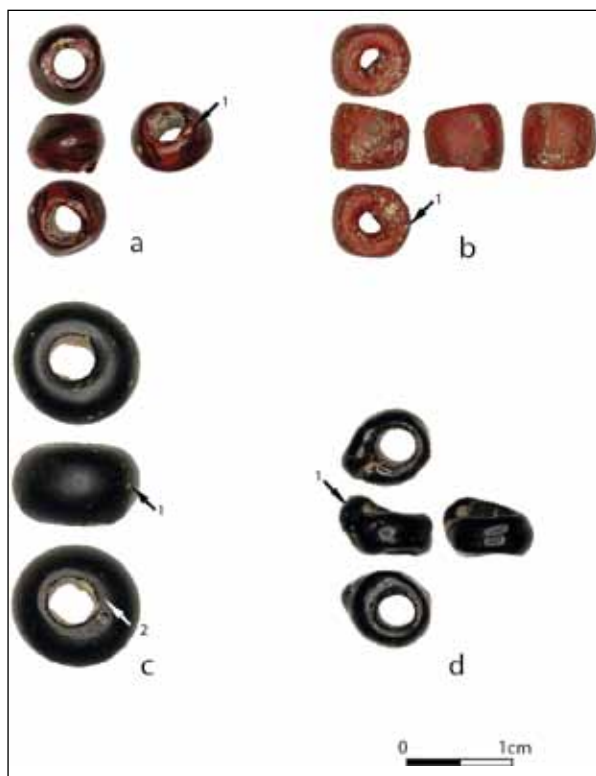
* < - below limit detection

Ostrówku w warstwach datowanych na X i 1. połowę XI w. (A. Pankiewicz, S. Siemianowska, K. Sadowski 2017, s. 269–274, ryc. 53). Analogiczne okazy odkryto także na terenach Rusi i datowane są na X do 1. połowy XI w. (por. S. D. Zaharov 2004, ryc. 276:16,19,20; I. Kuzina 2016, ryc. 1a).

Kolejne paciorki wytworzone przez nawinięcie pasma szklanego pochodzą z kurhanu 37 (Ryc. 1b, c). Oba mają kształt pierścieniowaty i wykonane zostały ze szkła ciemnogranatowego oraz czarnego, nieprzezroczystego. Powierzchnia większego okazu o numerze inwentarza (K.N.36) jest matowa, pokryta niewielkimi wżerkami korozji (Ryc. 1c1). Paciorek wykonano bardzo starannie, a powierzchnie przyotworowe zostały zagładzone (Ryc. 1c2). Na korpusie drugiego (mniejszego) paciorka o kształcie pierścieniowatym, który zrobiono z mniejszą starannością, dobrze widoczne są niezatopione boki i koniec szklanego pasma (Ryc. 1d1).

Oba egzemplarze to ozdoby bardzo często występujące na ziemiach polskich zarówno w okresie wpływów rzymskich, wędrowek ludów jak i wczesnym średniowieczu. W typologii M. Tempelmann-Mączyńskiej (1985, s. 29, Tab. I:35,40, II:107) zaliczone zostały do grupy II (czyli paciorki płasko-kuliste, średniej wielkości), typu 35 (wykonane ze szkła nieprzezroczystego koloru niebieskiego), typu 40 (z nieprzezroczystego szkła czarnego). Są to bardzo popularne typy paciorków szklanych, które M. Tempelmann-Mączyńska (1985, s. 29) datuje na późny okres wpływów rzymskich oraz okres wędrowek ludów. We wczesnym średniowieczu okazy wykonane z czarnej masy szklanej z widocznymi cechami sposobu wytwarzania są bardziej popularne. Podobne znaleziska znane są z cmentarzysk w Surażu, stan. 2, pow. białostocki (z grobu 47 – 14 okazów) (XI–XIII w.) (H. Olczak, D. Krasnodębski, K. Bińkowska 2019, s. 87, 88), Czekanowie, stan. 1, pow. sokołowski (XI–XIII w.) (10 egzemplarzy z grobu 156) (B. Zawadzka-Antosik 2003, s. 327; M. Radzikowska 2019, s. 135–138)³. Paciorki wytworzone z ciemnoniebieskiego, nieprzezroczystego tworzywa, należą do rzadszych znalezisk. Jeden z takich okazów znany jest z Janowa Pomorskiego, pow. elbląski (M. Dekówna, T. Purowski 2012, s. 82, 83, ryc. 35:400) i datowany od okresu halszackiego do wczesnych faz wczesnego średniowiecza.

³ Paciorki szklane z Suraża i Czekanowa są mi znane z kwerend muzealnych przeprowadzonych w Muzeum Podlaskim w Białymstoku oraz Państwowym Muzeum Archeologicznym w Warszawie.



Ryc. 1. Paciorki szklane z cmentarzyska kurhanowego w Lipsku-Polesiu, pow. Zamość (fot. S. Wajda).

Fig. 1. Glass beads from the barrow cemetery, Lipsko-Polesie, commune Zamość (photo by S. Wajda).

Paciorek wykonany w technice wyciągania

W kurhanie 35 odkryto paciorek wytworzony z jednowarstwowej rurki szklanej, która powstała metodą wyciągania⁴. Jedna z końcówek paciorka obcięta jest prosto, druga zaś ukośnie, obydwie zostały obtopione. Powierzchnia tego egzemplarza pokryta jest licznymi wżerkami korozji, a na powierzchniach przyotworowych można dostrzec otwarte pęcherze gazowe (Ryc. 1b1). Boki paciorka, nim szkło zdołało zastygnąć, zostały spłaszczone w ten sposób, aby nadać mu kształt graniastosłupa. Okaz wykonany jest z czerwono-brązowego, nieprzezroczystego szkła.

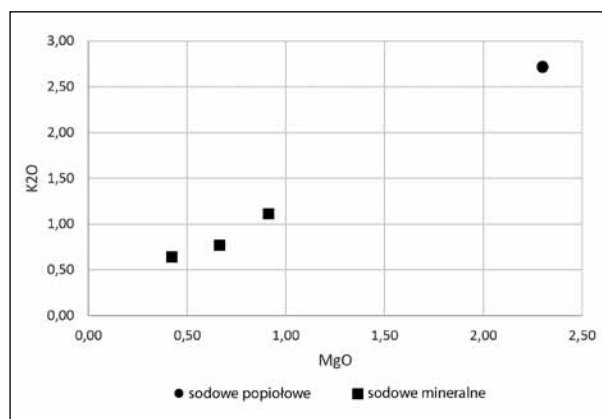
Paciorki wytwarzane z pociętej na proste odcinki rurki szklanej nazywane są bisierami. Był to rodzaj ozdób szeroko rozpowszechnionych zarówno w okresie rzymskim, wędrowek ludów, jak i wczesnym średniowieczu. Zasięg ich występowania i chronologia

⁴ Opis powstania paciorków z wyciągniętej rurki szklanej był już wielokrotnie poruszany w literaturze przedmiotu (por. M. Dekówna, T. Purowski 2012, s. 101–104; M. Dekówna 1999, s. 54).

wielokrotnie była już analizowana (M. Dekówna, T. Purowski 2012, s. 101–108, tam starsza literatura). Bisier w okresie wczesnego średniowiecza produkowany był w pracowniach na terenie Europy, m.in. w Haithabu oraz Starej Ładodze (VIII–X w.) (Z. A. Lvova 1968; P. Steppuhn 1998), a okres jego największego rozprzestrzenienia to VIII–IX w. Na terenie ziem Polskich nie udało się odnaleźć bliskich analogii do paciorka z Lipska-Polesia. Najbliższe zarówno czasowo jak i pod względem morfologicznym okazy odkryto na terenie Skandynawii. J. Callmer (1977, s. 79) zalicza je do grupy A I., typu A135 lub A138 I datuje na koniec VIII do połowy X w. Niemal identyczne paciorki odkryte zostały na osadzie w Velegoz, obwód tulski, nad górną Oką i datowane są na okres IV–V, być może VI w. (A. M. Woroncov, E. W. Stoliarov 2015, s. 17; O.S. Rumianceva 2015, s. 68–70, ryc. 47, 48).

Technologia wykonania szkieł

Szkoło paciorków znalezionych na cmentarzysku zostało poddane analizom składu pierwiastkowego w celu ustalenia technologii ich wytopu. Badania wykonano za pomocą metod fluorescencji rentgenowskiej w Laboratorium Bio- i Archeometrii Instytutu Archeologii i Etnologii Polskiej Akademii Nauk w Warszawie. Wykorzystano mikroskop skaningowy Vega 5135MM z przystawką analityczną Avalon PGT. Każda próbka była oczyszczana mechanicznie z powierzchniowej korozji. Zastosowano następujące warunki pomiaru: napięcie przyspieszające 16–20 keV, prąd wiązki elektronowej 4–6 nA, czas pomiaru 100 sekund. Uzyskane wyniki stanowią średnią z co



Ryc. 2. Stosunek K₂O do MgO w badanych próbkach szkieł.

Fig. 2. K₂O vs MgO contents in the samples analyzed.

najmniej trzech wykonanych strzałów. Dla oznaczenia ilościowego wykorzystano oprogramowanie Spirit oparte na korekcji macierzy ZAF, jako materiały referencyjne wykorzystano próbki szkła z Corning Muzeum. Analizowano linie energetyczne (Na K α , Mg K α , Al K α , Si K α , P K α , S K α , K K α , Ca K α , Ti K α , Mn K α , Fe K α , Co K α , Ni K α , Zn K α , As K α , Sn L α , Sb L α , Au M α , Pb M α , Cu K α i L α). Podczas obserwacji zadokumentowano obrazy z wykorzystaniem elektronów wtórnie rozproszonych (BSE).

Badania składu chemicznego wykazały, że paciorki wykonane ze szkła sodowego. Biorąc pod uwagę pochodzenie sody, użytej do wytopu takiego szkła, można je podzielić na mineralne (natronowe) – są paciorki o numerach próbek 1, 3, 4 oraz popiołowe, czyli wytopione z popiołu roślin słonolubnych – paciorki o numerze próbki 2 (V. Sarye, R. W. Smith 1961; J. L. Szczapowa 1973).

W grupie szkieł mineralnych znalazły się wszystkie paciorki wykonane techniką nawijania. Są to szkła charakteryzujące się niską zawartością K₂O i MgO (poniżej 1,5%) (Ryc. 2) (Sarye, Smith 1961), dosyć wysoką Al₂O₃ (od 2,33 do 3,91%) oraz Fe₂O₃ (od 3,91 do 8,58%), a także dosyć niską koncentracją CaO (poniżej 6%) (Tab. 2). Zawartość procentowa wyżej wymienionych składników jest bardzo podobna jak w szklach tzw. Egipt I (I. Feestone i in. 2000, s. 72; 2005), które były produkowane, przy użyciu złóż natronu znajdujących się w Wadi-el-Natron w Egipcie. Bardzo wysoka zawartość tlenu żelaza, świadczy o intencjonalnym dodaniu tego składnika do masy szklanej, co miało wpływ na ciemną barwę wszystkich paciorków. Należy jednak zauważyć, że do produkcji szkieł Egipt I używano miejscowych piasków (egipskich), które również są bogate w ten składnik (D. Foy i in. 2003, s. 45), być może to jest przyczyną ponad 8% stężenia tego składnika w próbce 4. Prawdopodobnie do masy szklanej, jako elementu barwiącego dodano żużel żelazny. Takie praktyki stosowane były już późnym okresie rzymskim (S. Cagno i in. 2014).

Paciorek o barwie czerwono-brązowej wykonano ze szkła popiołowego (próbka 2). Główne składniki szkiełotwórcze występują w następujących ilościach: SiO₂ – 67,13%; Na₂O – 13,75%; K₂O – 2,30%; CaO – 5,48%; MgO – 2,72%; Al₂O₃ – 4,65% (Tab. 2).

Prawdopodobnie szkło swój kolor zawdzięcza tlenkowi żelaza (1,05%) i kobaltu (0,11%). Niska za-

wartość tlenu wapnia (poniżej 6%) oraz relatywnie wysoka tlenu glinu i magnezu wskazują, że szkło może pochodzić ze wschodnich rejonów Bliskiego Wschodu. Stosunek MgO/CaO do Al₂O₃ wynosi 0,50, co jest cechą charakterystyczną dla szkieł pochodzących z tamtych rejonów (M. Phelps 2018, s. 264; N. Schibille i in. 2018). Tworzywa o bardzo podobnym składzie znane są z Nishapur znajdującego się w północo-wschodnim Iranie (E. Brill 1995, tab. 3.1). Można je również porównać do grupy szkieł określanych w literaturze jako typu P-4 (Mesopotamian Type 1: P-4 Nishapur Coloured), które produkowane były w okresie panowania Abbasydów od VIII do X w.

Niewątpliwie szkło wszystkich paciorków z Lipska-Polesia produkowane było na terenie Bliskiego Wschodu i Egiptu⁵. Podczas rozważań na temat kierunków pochodzenia badanych przedmiotów należy pamiętać, że zarówno w okresie rzymskim, jak i we wczesnym średniowieczu w rejonie basenu Morza Śródziemnego produkcja szkieł odbywała się na masową skalę. Znaleziska pieców szklarskich w Haifie i Bet Eli'zer poświadczają, że wytapiano tam masę szklaną, która była potem rozprowadzana do innych pracowni szklarskich, w których wytwarzane były już tylko szklane przedmioty (Y. Gorin-Rosen 2000; I. Freestone 2006). Pracownie, które produkowały gotowe wyroby mogły być zlokalizowane w innych miejscach. Szczególną uwagę należy zwrócić na okaz pochodzący z kurhanu 35. Bisiery wykonane z czerwonego, nieprzezroczystego szkła są rzadko spotykane na terenie ziem polskich w okresie wczesnośredniowiecznym. Występują natomiast liczniej na terenie Europy Wschodniej i datowane są tam na okres wędrówek ludów (O. S. Rumianceva 2015, s. 68–70, ryc. 47, 48). Pozostałe paciorki, wykonane techniką nawijania, należą do szeroko rozpowszechnionych typów, występujących od okresu wpływów rzymskich po wczesne średniowiecze niemal w całej Europie.

⁵ W celu bardziej szczegółowego określenia pochodzenia analizowanych szkieł niezbędne są badania śladowych składników szklotwórczych, takich jak tlenek stronu, cyrkonu czy tytanu. Informacje takie pozwalają na przeprowadzenie bardziej wnikliwej analizy i możliwość porównania badanych tworzyw do danych zawartych w licznej literaturze przedmiotu (np. M. Phelps 2018; N. Kato i in. 2009; N. Schibille i in. 2018). Wyniki badań przedstawione w niniejszym opracowaniu mogą dać nam tylko ogólne pojęcie na temat kierunków pochodzenia analizowanych szkieł.

Bibliografia

Brill H. R.

1995 *Chemical Analyses of Some Glass Fragments from Nishapur in The Corning Museum of Glass*, [w:] J. Kröger, Nishapur. *Glass of the Early Islamic Period*, New York, s. 211–233.

Cagno S., Cosyns P., Izmer A., Vanhaecke F., Nys K., Janssens K.

2014 *Deeply colored and black-appearing Roman glass: a continued research*, „Journal of Archaeological Science” 42, s. 128–139.

Callmer J.

1977 *Trade beads and bead trade in Scandinavia ca. 800-1000 A.D.*, Lund.

Dekówna M.

1999 *Glass beads*, [w:] H. Zoll-Adamikowa, M. Dekówna, E. M., Nosek (red.), *The Early Mediaeval Hoard from Zawada Lanckorońska (Upper Vistula River)*, Warszawa, s. 25–70.

Dekówna M., Purowski T.

2012 *Znaleziska związane ze szklarstwem oraz okazy z kwarcu ze stanowiska Janów Pomorski 1*, [w:] M. Bogucki, B. Jurkiewicz (red.), *Janów Pomorski, stan. 1. Wyniki ratowniczych badań archeologicznych w latach 2007–2008*, t. 1:3, Elbląg, s. 65–260.

2017 *Paciorki szklane*, [w:] A. Buko (red.), *Bodzia. Elitarny cmentarz z początków państwa polskiego*, Warszawa, s. 153–205.

2019 *Biżuteria szklana z cmentarzyska w Dziekanowicach*, [w:] J. Wrzesiński (red.), *Groby z biżuterią wczesnośredniowiecznego cmentarzyska w Dziekanowicach*, t. 1, Lednica, s. 237–260.

Freestone I.

2006 *Glass production in Late Antiquity and the Early Islamic Period: A Geochemical Perspective*, [w:] M. Maggetti, B. Messiga (red.), *Geomaterials in Cultural Heritage*, „Geological Society London Special Publications” 257 (1), s. 201–216.

Freestone I., Gorin-Rosen Y., Hughes M. J.

2000 *Primary Glass from Israel and the Production of Glass in Late Antiquity and the Early Islamic Period*, [w:] M.-D. Nenna (red.), *La Route du verre. Ateliers primaires et secondaires du second millénaire av. J.-C. au Moyen Âge. Colloque organisé en 1989 par l'Association française pour l'Archéologie du Verre (AFAV)*, „Travaux de la Maison de l'Orient méditerranéen” 33, s. 65–83.

Freestone I., Wolf S., Thirlwall M.

2005 *The production of HIMT Glass: Elemental and Isotopic Evidence*, *Annales du 16^e Congrès de l'Association Internationale pour l'Histoire du Verre*, London 2003, s. 153–157.

Foy D., Picon M., Vichy M., Thirion-Merle V.

2003 *Caractérisation des verres de la fin de l'Antiquité en Méditerranée occidentale: l'émergence de nouveaux courants commerciaux*, *Échanges et commerce du verre dans le monde antique. Actes du colloque de l'Association Fran-*

çaise pour l'Archéologie du Verre Aix-en-Provence et Marseille 7-9 juin 2001, Montagnac, s. 41–85.

Gorin-Rosen Y.

- 2000 *The ancient glass industry in Israel: summary of the finds and new discoveries*, [w:] M.-D. Nenna (red.), *La Route du verre. Ateliers primaires et secondaires du second millénaire av. J.-C. au Moyen Âge. Colloque organisé en 1989 par l'Association française pour l'Archéologie du Verre (AFAV)*, „Travaux de la Maison de l'Orient méditerranéen” 33, s. 49–63.

Kato N., Nakai I., Shindo Y.

- 2009 *Change in chemical composition of early Islamic glass excavated in Raya, Sinai Peninsula, Egypt: on-site analyses using a portable X-Ray fluorescence*, „Journal of Archaeological Science” 36, s. 1698–1707.

Kuzina I.

- 2016 *Glass beads in the northern regions of Rus: issues of trade routes and chronology*, „Archeologia Polski” LXI, s. 219–240.

Lvova Z. A. (Львова З. А.)

- 1968 *Стеклянные бусы Старой Ладозги. Часть I. Способы изготовления, ареал и время распространения, Материалы и исследования по археологии Ссср*, „Археологический Сборник” 10, s. 64–95.

Olczak H., Krasnodębski D., Bienkowska K.

- 2019 *Daniłowo Mate i Suraz: dwa cmentarzyska nad górą Narwią – nowe spojrzenie na wyniki badań*, [w:] A. Buko (red.), *Początki chrześcijaństwa na pograniczu mazowiecko-ruskim w świetle wyników badań wybranych cmentarzysk*, Warszawa, s. 77–90.

Pankiewicz A., Siemianowska S., Sadowski K.

- 2017 *Wczesnośredniowieczna biżuteria szklana z głównych ośrodków grodowych Śląska (Wrocław, Opole, Niemcza)*, *In Pago Silensi*, „Wrocławskie Studia Wczesnośredniowieczne” 3, Wrocław.

Phelps M.

- 2018 *Glass supply and trade in early Islamic Ramla: An investigation of the plant aschglass*, [w:] D. Rosenow, M. Phelps, A. Meeck, I. Freestone (red.), *Things that Travelled: Mediterranean in the First Millennium CE*, London, s. 236–282.

Purowski T.

- 2012 *Wyroby szklane w kulturze łużyckiej w międzyrzeczu Noteci i środkowej Odry. Studium archeologiczno-technologiczne*, Warszawa.

Radzikowska M.

- 2019 *Birytualizm na cmentarzysku „Tureckie Mogiły” w Czekanowie: zjawisko jednostkowe czy świadectwo przeżywającej się tradycji*, [w:] A. Buko (red.), *Początki chrześcijaństwa na pograniczu mazowiecko-ruskim w świetle wyników badań wybranych cmentarzysk*, Warszawa, s. 129–139.

Rumianceva O. S. (Румянцева О. С.)

- 2015 *Стеклянные бусы Велегожскогоклада: монохромные и сметаллической прокладкой*, [w:] I.O. Gavrituhin (И. О. Гавритухин), A.M. Woroncov (А. М. Воронцов) (red.), *Лесная и лесостепная зоны Восточной Европы в эпохи римских влияний и Великого переселения народов*, „Конференция” 4, 1, s. 68–79.

Sarye V., Smith R. W.

- 1961 *Compositional categories of ancient glass*, „Science” 133, s. 1824–1826.

Schibille N., Meek A., Wypyski M. T., Kroger J., Rosser-Owen M., Wade Haddon R.

- 2018 *The glass walls of Samarra (Iraq): Ninth-century Abbasid glass production and imports*, „Plos One” 13(2), s. 1-15, <https://doi.org/10.1371/journal.pone.0201749>.

Steppuhn P.

- 1998 *Die Glasfunde von Haithabu*, „Berichte über die Ausgrabungen in Haithabu” 32, Neumünster.

Szczapowa J.

- 1973 *Zasady interpretacji analiz składu szkła zabytkowego*, „Archeologia Polski”, 18/1 s. 15–72.

Tempelmann-Maczyńska M.

- 1985 *Die Perlen der römischen Kaiserzeit und der frühen Phase der Völkerwanderungszeit im mitteleuropäischen Barbaricum*, Mainz am Rhein.

Wajda S.

- 2014 *Wyroby szklane*, [w:] H. Karwowska (red.), *Średniowieczne cmentarzysko w Czarnej Wielkiej, stan. I, woj. podlaskie (badania 1951–1978)*, t. 2, Białystok, s. 57–103.

- 2019 *Paciorki szklane*, [w:] S. Wadył (red.), *Ciepłe. Elitarna nekropola wczesnośredniowieczna na Pomorzu Wschodnim*, Gdańsk, s. 216–231.

Woroncov A. M., Stoliarov E. W. (Воронцов А. М., Столяров Е. В.)

- 2015 *Городище Велегож на правом берегу Верхней Оке*, [w:] I.O. Gavrituhin (И. О. Гавритухин), A.M. Woroncov (А. М. Воронцов) (red.), *Лесная и лесостепная зоны Восточной Европы в эпохи римских влияний и Великого переселения народов*, „Конференция” 4, 1, s. 9–56.

Zaharov S. D. (Захаров С. Д.)

- 2004 *Древнерусский город Белоозеро*, Москва.

Zawadzka-Antosik B.

- 2003 *Czekanowskie cymelia*, [w:] M. Dulnicz (red.), *Słowianie i ich sąsiedzi we wczesnym średniowieczu*, Lublin-Warszawa, s. 327–333.

GLASS BEADS FROM THE BARROW CEMETERY IN LIPSKO-POLESIE

Glass beads from the barrow cemetery in Lipsko, Zamość district is a group of four ornaments that were discovered in burials dated to between the 7th and the 8th century AD. The beads were made using two techniques - by winding a glass thread (Fig. 1: a, c, d), and by pulling out a glass tube, which was cut into smaller pieces (Fig. 1: b). The individual specimens show numerous traces of the technique of their production, such as the un-sunk edges of the glass strand (Fig. 1: a1, d1) or the glass draws (Fig. 1: b1). All specimens are preserved in their entirety, the glass is of good quality,

but covered with numerous corrosion pits. The beads made in the technique of winding in terms of form and colour are quite common type of glass ornaments and it is difficult to indicate their provenance. One specimen made of a glass tube of red-brown, opaque glass is identical to the beads discovered on the settlement in Velegoz, Tula region, on the upper Oka river, which can be dated to between the 4th and the 5th century, perhaps to the 6th century AD. It can be assumed that it comes from glass workshops operating within the Byzantine Empire.

Analiza antropologiczna materiału kostnego z cmentarzyska kurhanowego w Lipsku-Polesiu

Łukasz Maurycy Stanaszek

Wstęp

Kości ludzkie, będące przedmiotem niniejszej analizy antropologicznej, pochodzą z badań archeologicznych przeprowadzonych na cmentarzysku kurhanowym w Lipsku-Polesiu, gm. Zamość.

W opracowaniu ciałopalnego materiału kostnego wykorzystano ogólnie przyjęte założenia metodyczne, jak również niektóre spostrzeżenia badawcze, wynikające z analiz poszczególnych cmentarzysk (T. Dzierżykray-Rogalski 1960; 1968; J. Gładkowska-Rzeczycka 1972; 1974; J. Strzałko, J. Piontek, A. Malinowski 1973; 1974; J. Szydłowski 1974; D. H. Ubelaker 1978; J. E. Buikstra, D. H. Ubelaker 1994; W. M. Bass 1995; J. Piontek 1996; M. Pyżuk 2004, s. 33–48; Ł. M. Stanaszek 2008, s. 321–334; 2017, s. 161–206).

Podstawowym zadaniem analizy było oszacowanie liczby, wieku i płci osobników, a także zarejestrowanie wszystkich zmian patologicznych (anomali), pozostawiających widoczne ślady na kościach. Ponadto odnotowano wszystkie informacje dodatkowe (tj. masa, stan zachowania, barwa i stopień przepalenia kości lub jego brak, czy też współwystępowanie kości zwierzęcych), które mogłyby być pomocne w zrekonstruowaniu panujących wówczas zwyczajów pogrzebowych. Opis każdego z grobów został zestandaryzowany i nawiązuje do schematów przyjętych w Pracowni Antropologicznej Państwowego Muzeum Archeologicznego w Warszawie.

Oznaczając płeć osobników, szczególną uwagę zwrócono na opisowe i metryczne cechy różnicujące, połączone z tzw. ogólnym wrażeniem morfologicz-

nym. Przede wszystkim dotyczyło to cechonośnych kości czaszki i miednicy, w których dymorfizm płciowy przejawia się w największym stopniu. W niektórych przypadkach posiłkowano się pomiarami metrycznymi grubości lub/i średnicy poszczególnych kości szkieletu postkranialnego i czaszki, jak również analizą masy kości. Ogólnie jednak, określenia płci zmarłych zawsze obarczone były znacznie większym błędem, niż oznaczenia ich wieku. Wynika to z faktu, iż cechy męskie i żeńskie w budowie ciała mogą wyrażać się z różną intensywnością u obu płci, co ma związek z zaburzeniami równowagi hormonalnej (por. J. Strzałko, J. Piontek, A. Malinowski 1973, s. 184; A. Malinowski 1974, s. 11, 12; J. Strzałko, M. Henneberg 1975). Oznaczenia płciowe osobników posiadają zatem tylko mniejsze (określenia płci ze znakami zapytania) lub większe prawdopodobieństwo, nigdy jednak nie sięgające pewności.

Określenie przybliżonego wieku osobników w chwili śmierci dokonano w oparciu o kompleksową (wielocelową) analizę zmian zachodzących w ukształtowaniu poszczególnych cech morfologicznych kośćca i zębów. Przede wszystkim zwrócono uwagę na stopień obliteracji szwów czaszkowych, zmiany chorobowe układu kostnego, stopień zwartości struktury gąbczastej i grubość ścian jam szpikowych w nasadach bliższych kości długich (m.in. *femur*, *humerus*), a także na ogólny stan skostnienia szkieletu. W przypadku zachowania się koron zębowych obserwacją objęto przebieg i nasilenie starcia powierzchni żujących (C. O. Lovejoy 1985) oraz kolejność wyzynania poszczególnych zębów mlecznych i stałych (D. H. Ubelaker 1978, s. 112, 113)

we wczesnych fazach ontogenezy. Ponadto przeanalizowano stopień uformowania zawiązków, grubość ścian zębów, jak również ukształtowanie korzeni.

Przy ocenie wieku osobników wprowadzono podział na kategorie, które są jednocześnie poszczególnymi, przybliżonymi okresami rozwojowymi człowieka: *fetus* – okres płodowy (prenatalny), *infans I* – wczesne dzieciństwo (od urodzenia do 6–7 roku życia), *infans II* – późne dzieciństwo (od 6–7 do 12–14 r. ż.), *iuvenis* – wiek młodzieńczy (od 12–14 do 20–22 r. ż.), *adultus* – wiek dorosły (od 20–22 do 30–35 r. ż.), *maturus* – wiek dojrzały (od 30–35 do 50–55 r. ż.), *senilis* – wiek starczy (powyżej 55 r. ż.). W sytuacjach, gdy było to możliwe wyodrębniono poszczególne etapy (fazy) wewnątrz przyjętych kategorii (np. wczesny *adultus* ok. 20–25 lat) lub też stworzono uściślające kategorie pośrednie (np. *adultus/maturus*). Natomiast w przypadku materiału mało diagnostycznego wiek zmarłego rozszerzono na dwie kategorie (np. *adultus-maturus*) lub używano określeń ogólnych (dorosły/niedorosły).

Odtwarzając w jednym przypadku przyżyciową wysokość ciała zmarłego uwzględniono stopień kurczenia się kości w procesie kremacji oraz zależność pomiędzy wielkością nasad niektórych kości długich (*femur*, *humerus*, *radius*) a ich długością. Określenie przybliżonego wzrostu dokonano w oparciu o schematy przeliczeniowe stworzone przez antropologów poznańskich (por. J. Strzałko, J. Piontek, A. Malinowski 1972, s. 285; 1974, s. 37), które oparto na tablicach zaproponowanych przez M. Trotter i G. C. Gleser (1952) dla materiałów niespalonych.

Ze względu na trudności natury mechanicznej (fragmentaryczność materiału), określenie zmian patologicznych (chorobowych) układu kostnego ograniczyło się do badań makroskopowych i dotyczyło tylko nielicznych pochówków. Klasyfikując poszczególne schorzenia i urazy oparto się na doświadczeniach i schematach rozlicznych badaczy (J. Gładykowska-Rzeczycka 1976; J. E. Buikstra, D. H. Ubelaker 1994; W. M. Bass 1995; D. J. Ortner 2003).

Ocena stopnia przepalenia materiałów kostnych z Lipska-Polesia została uproszczona. W miejsce stosowanych zwykle 5-stopniowych skal liczbowych (por. A. Malinowski 1974, s. 10; J. Gładykowska-Rzeczycka 1972) wprowadzono określenia słowne, oddające ogólny charakter przepalenia kości, a przez to dające się łatwiej wydzielić: słaby (przepalenie lub nadpalenie częściowe; kości słabo popękane, niezbyt odkształcone i skurczone o popielato-czarnym zabarwieniu i silnie oczernionej okostnej), średni (spękanie i odkształcenia termiczne silniejsze; zabarwienie szaro-popielate) i silny stopień przepalenia (znaczne spękanie i odkształcenia; kruche i niewielkie fragmenty kości o zabarwieniu kremowo-białym; całkowity zanik składników organicznych). Ponadto opis barwy kości został uzupełniony o przebarwienia, będące pozostałością po zaleganiu zabytków metalowych w ich sąsiedztwie.

Ponadto wydzielono drobne fragmenty kości zwierzęcych, ceramiki, szkła, zabytków metalowych i kościanych, węgla drzewnych, które nie były przedmiotem niniejszego opracowania.

Analiza antropologiczna

Materiał kostny znaleziony na stanowisku Lipsko-Polesie pochodził z 33 kurhanów, podzielonych na liczne skupiska (Tab. 1). W dwóch kurhanach (20 i 63) szczątków ludzkich nie znaleziono, gdyż wystąpiły tam jedynie kości zwierzęce.

Wszystkie kości poddano długotrwałemu procesowi kremacji. Wyjątkiem była jedna nieprzepalona kość zwierzęca z kurhanu 40 (próbka 71), mająca prawdopodobnie charakter wtórny. Kości ludzkie na ogół zachowane były słabo. Materiał ciałopalny był silnie sfragmentaryzowany i zdekompletowany (niewielkie ilości), co w wielu przypadkach nie pozwalało na czytelne oznaczenia wieku i płci osobników. Szczegółowy opis zawartości poszczególnych grobów zamieszczono w tabeli poniżej (por. Tab. 1).

Tab. 1. Lipsko-Polesie, gm. Zamość. Zestawienie zbiorcze obiektów.

Tab. 1 Lipsko-Polesie, commune Zamość. Summary list of the features.

Obiekt	Masa (g)	Barwa	Stopień przepalenia	Wiek	Płeć	Wybrane kości diagnostyczne	Uwagi
KURHAN 1							
Próbka 1	1,9	kremowo-szara	silny	-	-	-	kość zwierzęca
Próbka 2	2,2	kremowa	silny	dorosły	?	fragment trzonu zuchwy z części pośrodkowej (łuk zębowy dość duży); 1 fragment trzonu kości długiej	kości mało diagnostyczne
Próbka 3	0,3	kremowa	silny	?	?	1 fragment trzonu kości długiej (gracylny)	kość mało diagnostyczna, prawdopodobnie ludzka
Próbka 4	0,8	biała	silny	dorosły	?	2 fragmenty trzonów kości długich (ściany kanałów jam szpikowych średniej grubości)	kości mało diagnostyczne
Próbka 5	1,4	biało-szara	dość silny	-	-	-	kość zwierzęca
Próbka 6	0,8	kremowo-biała	dość silny	dorosły (?)	?	1 fragment trzonu kości długiej (ściana kanału jamy szpikowej średniej grubości)	kość mało diagnostyczna; 2 fragmenty kości zwierzęcych (?)
Próbka 7	5,8	kremowo-biała	dość silny	-	-	-	2 fragmenty kości zwierzęcych
Próbka 8	2,5	biała	silny	niedorosły (?)	?	4 fragmenty kości płaskich ze sklepienia czaszki (dość cienkie, gracylne); 1 fragment trzonu kości długiej (cienka ściana kanału jamy szpikowej)	kości mało diagnostyczne
Próbka 9	1,4	biała	silny	dorosły (?)	?	3 fragmenty trzonów kości długich (ściany kanałów jam szpikowych średniej grubości)	kości mało diagnostyczne
Próbka 10	0,3	biała	silny	?	?	1 fragment trzonu kości długiej (ściana kanału jamy szpikowej dość cienka)	kość mało diagnostyczna
Próbka 11	0,3	biała	silny	niedorosły (?)	?	kość płaska ze sklepienia czaszki (dość cienka, gracylna)	kości mało diagnostyczna
Próbka 12	0,5	popielato-biała	dość silny	?	?	klika drobnych fragmentów trzonów kości długich i istoty gąbczastej	kości mało diagnostyczne, prawdopodobnie ludzkie
Próbka 13	2,2	kremowo-beżowa	silny	-	-	-	kość zwierzęca
Próbka 14	0,4	kremowa	silny	dorosły (?)	?	1 fragment trzonu kości długiej (ściana kanału jamy szpikowej średniej grubości)	kości mało diagnostyczna
KURHAN 7							
Próbka 15	3,1	kremowo-biała	silny	dorosły	?	kość płaska ze sklepienia czaszki (gracylna); 2 fragmenty trzonów kości długich (dość duże rozmiary)	kości mało diagnostyczne
Próbka 16	8,4	kremowo-szara	silny	adultus-wczesny maturus	?	kość płaska ze sklepienia czaszki (gracylna, szew otwarty); fragment trzonu zuchwy (dość duża); trzony kości długich (ściany kanałów jam szpikowych średniej grubości)	kości mało diagnostyczne

Obiekt	Masa (g)	Barwa	Stopień przepalenia	Wiek	Płeć	Wybrane kości diagnostyczne	Uwagi
Próbka 17	15,2	kremowo-biała	silny	adultus-wczesny maturus	?	fragmenty z wnętrza kości (istota gąbczasta zwarta); trzony kości długich (ściany kanałów jam szpikowych średniej grubości)	kości mało diagnostyczne
Próbka 18	11,5	biało-szara	silny	dorosły	?	trzony kości długich (ściany kanałów jam szpikowych średniej grubości); fragment nasady kości długiej (zosyfikowana)	kość zwierzęca
Próbka 18a	4,6	kremowo-szara	silny	dorosły	?	4 fragmenty trzonów kości długich (ściany kanałów jam szpikowych średniej grubości)	kości mało diagnostyczne
Próbka 19	3,7	kremowa	silny	dorosły	?	1 fragment kości płaskiej ze sklepienia czaszki (średniej grubości); 4 fragmenty trzonów kości długich (ściany kanałów jam szpikowych średniej grubości)	kości mało diagnostyczne
Próbka 20	15,7	kremowa	silny	dorosły	?	kości płaskie ze sklepienia czaszki (średniej grubości, gracylne); fragment łuku kręgu (dość duży); trzony kości długich (ściany kanałów jam szpikowych średniej grubości), w tym kość udowa (kresa chropawa średnia)	kości mało diagnostyczne
Próbka 21	5	kremowo-biała	silny	dorosły	?	2 fragmenty trzonów kości długich (ściany kanałów jam szpikowych średniej grubości)	kości mało diagnostyczne
Próbka 22	2,2	kremowo-biała	silny	dorosły (?)	?	kość płaska ze sklepienia czaszki (dość gracylna); 2 fragmenty trzonów kości długich (ściany kanałów jam szpikowych dość cienkie)	kości mało diagnostyczne
Próbka 23	12,2	biało-szara	silny	maturus (?)	?	9 fragmentów trzonów kości długich (ściany kanałów jam szpikowych dość grube); 1 fragment istoty gąbczastej (nieznacznie rozrzedzona)	kości mało diagnostyczne
Próbka 24	2,3	kremowo-szara	silny	-	-	-	2 kości zwierzęce (?)
Próbka 25	8,2	kremowo-szara	silny	dorosły	?	3 fragmenty kości płaskich ze sklepienia czaszki (średniej grubości); 6 fragmentów trzonów kości długich (średniej grubości)	kości mało diagnostyczne
KURHAN 8							
Próbka 26	1,2	kremowo-szara	silny	dorosły	?	2 fragmenty trzonów kości długich (ściany kanałów jam szpikowych średniej grubości)	kości mało diagnostyczne
Próbka 27	7,4	kremowo-biała	silny	dorosły	?	10 fragmentów trzonów kości długich (średniej grubości)	kości mało diagnostyczne

Obiekt	Masa (g)	Barwa	Stopień przepalenia	Wiek	Płeć	Wybrane kości diagnostyczne	Uwagi
Próbka 28	1,2	kremowo-biała	silny	dorosły	?	kość płaska ze sklepienia czaszki (gracylna); 1 fragment trzonu kości długiej (ściana kanału jamy szpikowej średniej grubości)	kości mało diagnostyczne
Próbka 29	2,8	biało-szara	silny	dorosły	?	fragment wyrostka jarzmowego kości skroniowej prawej (średniej wielkości); 3 fragmenty trzonów kości długich (ściany kanałów jam szpikowych średniej grubości)	kości mało diagnostyczne
Próbka 30	3,5	kremowo-biała	silny	dorosły	?	fragment kości płaskiej ze sklepienia czaszki (dość gracylna); 6 fragmentów trzonów kości długich (ściany kanałów jam szpikowych średniej i cienkiej grubości)	kości mało diagnostyczne
Próbka 31	2	kremowa	silny	dorosły	?	fragment kości płaskiej ze sklepienia czaszki (dość gracylna); 2 fragmenty trzonów kości długich (ściany kanałów jam szpikowych średniej grubości)	kości mało diagnostyczne
Próbka 32	1,6	biało-szara	silny	niedorosły (?)	?	2 fragmenty kości płaskich ze sklepienia czaszki (cienkie, gracylne); 1 fragment trzonu kości długiej	kości mało diagnostyczne
Próbka 33	3,7	kremowo-biała	silny	dorosły	?	1 fragment kości płaskiej ze sklepienia czaszki (dość cienki); 6 fragmentów trzonów kości długich (ściany kanałów jam szpikowych średniej i cienkiej grubości)	kości mało diagnostyczne
Próbka 34	2,6	biała	silny	niedorosły (?)	?	3 fragmenty kości płaskich ze sklepienia czaszki (cienkie, gracylne); 3 fragmenty trzonów kości długich (ściany kanałów jam szpikowych dość cienkie)	kości mało diagnostyczne
Próbka 35	1,9	kremowo-szara	silny	niedorosły (?)	?	3 fragmenty kości płaskich ze sklepienia czaszki (cienkie, gracylne); 4 fragmenty trzonów kości długich (ściany kanałów jam szpikowych dość cienkie)	kości mało diagnostyczne
Próbka 36	0,8	kremowa	silny	niedorosły (?)	?	1 fragment trzonu kości długiej (ściana kanału jamy szpikowej dość cienka)	kości mało diagnostyczne
KURHAN 9							
Próbka 37	7,3	kremowo-biała	silny	dorosły	M?	fragment górnej krawędzi lewego oczodołu (lecko zaokrąglony, okolica gładyszki wydatna); trzony kości długich (ściany kanałów jam szpikowych średniej grubości)	kości mało diagnostyczne

Obiekt	Masa (g)	Barwa	Stopień przepalenia	Wiek	Płeć	Wybrane kości diagnostyczne	Uwagi
Próbka 38	4,1	biało-szara	silny	dorosły	?	3 fragmenty kości płaskich ze sklepienia czaszki (średniej grubości); 7 fragmentów trzonów kości długich (średniej grubości)	kości mało diagnostyczne
Próbka 39	3,3	biało-szara	silny	dorosły	M?	fragment górnej krawędzi lewego oczodołu (lekko zaokrąglony); kość płaska ze sklepienia czaszki (dość gracylna); trzony kości długich (średniej grubości)	kości mało diagnostyczne
Próbka 40	3,4	kremowo-biała	silny	dorosły	?	kość płaska ze sklepienia czaszki (cienka, gracylna); 4 fragmenty trzonów kości długich (ściany kanałów jam szpikowych średniej grubości)	kości mało diagnostyczne
Próbka 41	13,8	kremowo-biała	silny	dorosły	?	kości płaskie ze sklepienia czaszki (dość cienkie, gracylne); trzony kości długich (ściany kanałów jam szpikowych średniej grubości), w tym kość piszczelowa (zaokrąglona krawędź przednia)	kości mało diagnostyczne
Próbka 41a	8	kremowo-beżowo-popielata	średni	-	-	-	zęby zwierzęce (koń?)
Próbka 42	0,4	biała	silny	?	?	fragment trzonu kości długiej	kość mało diagnostyczna, prawdopodobnie ludzka
Próbka 43	37,7	kremowo-biała	silny	adultus-maturus	M?	kości płaskie ze sklepienia czaszki (średniej grubości, kresa skroniowa silna, szwy częściowo zobliterowane); 2 fragmenty części skalistych kości skroniowych (dość duże); fragment górnej krawędzi prawego oczodołu (brzeg zaokrąglony, okolica nadoczodołowa dość wydatna); trzony kości długich (ściany kanałów jam szpikowych średniej grubości)	szczątkowy suturametopica; ślady zielonych przebarwień na kościach czaszki
Próbka 44	26,3	kremowo-biała	silny	dorosły	?	kość płaska ze sklepienia czaszki (średniej grubości, gracylna); trzony kości długich (ściany kanałów jam szpikowych średniej grubości)	kości mało diagnostyczne
Próbka 45	5,5	kremowo-biała	silny	dorosły	?	kość płaska ze sklepienia czaszki (gracylna); trzony kości długich (ściany kanałów jam szpikowych średniej grubości), w tym kość ramienna	kości mało diagnostyczne
Próbka 46	3,5	kremowa	silny	dorosły	?	2 fragmenty trzonów kości długich (ściany kanałów jam szpikowych średniej grubości)	kości mało diagnostyczne

Obiekt	Masa (g)	Barwa	Stopień przepalenia	Wiek	Płeć	Wybrane kości diagnostyczne	Uwagi
Próbka 47	2	kremowo-biała	silny	?	?	kości płaskie ze sklepienia czaszki (gracylne); trzony kości długich (ściany kanałów jam szpikowych dość cienkie)	kości mało diagnostyczne
Próbka 48	0,7	kremowa	silny	dorosły (?)	?	2 fragmenty trzonów kości długich (ściany kanałów jam szpikowych średniej grubości)	kości mało diagnostyczne
Próbka 49	0,1	biała	silny	?	?	1 fragment nasady kości długiej (?)	kość mało diagnostyczna, prawdopodobnie ludzka
KURHAN 12							
ćw. NO; pudło 1	2,3	kremowa	silny	dorosły (?)	?	2 fragmenty trzonów kości długich (ściany kanałów jam szpikowych średniej grubości); 1 fragment kości płaskiej ze sklepienia czaszki (dość cienka, gracylna)	kości mało diagnostyczne
ćw. WN z ciemnej ziemi rowu kurhanu 13 (?)/923; pudło 2	4,1	kremowa	silny	dorosły (?)	?	8 fragmentów kości, w tym: trzony kości długich (ściany kanałów jam szpikowych średniej grubości, gracylne)	kości mało diagnostyczne
ćw. No 12: W	7,1	kremowa	dość silny	dorosły (?)	?	19 fragmentów kości: trzony kości długich, w tym kość udowa (ściany kanałów jam szpikowych średniej grubości, gracylne)	kości mało diagnostyczne
ćw. NW nad popieliskiem 473	3,6	kremowo-biała	silny	dorosły	?	4 fragmenty trzonów kości długich, w tym kość udowa (gracylne, ściany kanałów jam szpikowych średniej grubości)	kości mało diagnostyczne
ćw. NW z nasypem, popielisko 923; pudło 10	3,9	szaro-biała	dość silny	dorosły	?	5 fragmentów trzonów kości długich, w tym kość piszczelowa (ściany kanałów jam szpikowych średniej grubości)	kości mało diagnostyczne
ćw. SW z częścią NO; pudło 9	6,4	beżowo-kremowa	dość silny	dorosły	?	kości płaskie ze sklepienia czaszki (dość cienkie, gracylne); fragmenty trzonów kości długich (gracylne, ściany kanałów jam szpikowych średniej grubości)	kości mało diagnostyczne
ćw. NO 923 „z ogniska NO”	3	beżowo-biała	dość silny	dorosły	?	1 fragment z okolicy kości skroniowej (średniej grubości i urzeźbienia); trzony kości długich (ściany kanałów jam szpikowych średniej grubości)	kości mało diagnostyczne
Część NO z kurhanu 13; pudło 8	0,5	kremowo-biała	silny	dorosły (?)	?	3 fragmenty trzonów kości długich (ściany kanałów jam szpikowych średniej grubości)	kości mało diagnostyczne
ćw. ON/ 923 koło żółtej warstwy nad ogniskiem; pudło 5	1,6	kremowa	dość silny	dorosły (?)	?	3 fragmenty kości: 1 fragment kości z podstawy czaszki (średniej grubości), 2 fragmenty trzonów kości długich (ściany kanałów jam szpikowych średniej grubości)	kości mało diagnostyczne

Obiekt	Masa (g)	Barwa	Stopień przepalenia	Wiek	Płeć	Wybrane kości diagnostyczne	Uwagi
ćw. NO; pudło 4	3	kremowo-beżowa	dość silny	adultus -wczesny maturus	?	1 fragment kości płaskiej ze sklepienia czaszki (średniej grubości, gracylny); 2 fragmenty istoty gąbczastej (zwarta); 4 fragmenty trzonów kości długich (ściany kanałów jam szpikowych średniej grubości)	kości mało diagnostyczne
KURHAN 20							
pudło 11, nr inw. VI 7029	17,6	kremowo-biała	silny	-	-	12 fragmentów kości (9 trzonów kości długich i 3 ze sklepienia czaszki)	wszystkie kości prawdopodobnie zwierzęce
KURHAN 24							
pudło 12, ćw. N-O, gl. 0-20 cm	0,8	kremowo-beżowa	silny	?	?	kilka drobnych fragmentów kości, w tym prawdopodobnie ze sklepienia czaszki (gracylne)	kości mało diagnostyczne, prawdopodobnie ludzkie
pudło 13, ćw. S-O, gl. 20-30 cm	2,5	kremowo-biała	silny	?	?	9 fragmentów kości, w tym kości płaskie ze sklepienia czaszki (dość cienkie, gracylne); trzony kości długich (ściany kanałów jam szpikowych dość cienkie)	kości mało diagnostyczne; zbytek żelazny
pudło 14, ćw. S-W, gl. 0-20cm	21,3	kremowo-biała	silny	dorosły	?	kości płaskie ze sklepienia czaszki (dość gracylne); fragment z okolicy otworu słuchowego zewnętrznego (nieduży); fragment rzepki (?); fragmenty kręgów (zossyfikowane powierzchnie stawowe); fragmenty trzonów kości długich (ściany kanałów jam szpikowych średniej długości), w tym kość udowa (kresa chropawa średnia)	kości mało diagnostyczne
pudło 15, ćw. S-W, gl. 5-10 cm	11,7	kremowo-biała	silny	adultus -wczesny maturus (25-45)	?	fragment szyjki i głowy kości udowej (zossyfikowana, zwarta istota gąbczasta); trzony kości długich (ściany kanałów jam szpikowych średniej grubości)	kości mało diagnostyczne; 2 kości zwierzęce
pudło 16, ćw. S-W, gl. 30-40 cm	3,8	kremowo-biała	silny	dorosły (?)	?	drobne fragmenty trzonów kości długich (ściany kanałów jam szpikowych średniej grubości)	kości mało diagnostyczne
pudło 17, ćw. N-O, gl. 20-30 cm	1,1	kremowo-biała	silny			1 fragment nasady kości długiej (?)	prawdopodobnie kość zwierzęca
pudło 18, ćw. N-W, gl. 30-40 cm	4,2	kremowo-biała	silny	wczesny maturus (35-40)	?	fragment trzonu kręgu (powierzchnia zossyfikowana, nieznacznie spłaszczona); 5 fragmentów trzonów kości długich (ściany kanałów jam szpikowych średniej grubości)	liczne węgle drzewne; zmiany przeciążeniowe kręgosłupa
pudło 19, ćw. S-W, gl. 20-30 cm	6,3	kremowo-biała	silny	dorosły	?	2 fragmenty kręgów; trzony kości długich (ściany kanałów jam szpikowych średniej grubości)	kości mało diagnostyczne; węgiel drzewny; 1 fragment ceramiki

Obiekt	Masa (g)	Barwa	Stopień przepalenia	Wiek	Płeć	Wybrane kości diagnostyczne	Uwagi
ćw. NW; 30-40 cm; 61-2-E	4,4	kremowo-biała	silny	dorosły	?	7 fragmentów trzonów kości długich (ściany kanałów jam szpikowych średniej grubości)	kości mało diagnostyczne
KURHAN 25							
pułdo 20 ćw. N-E, gł. 20-30 cm	131,1	kremowo-biała	silny	dorosły	?	kości płaskie ze sklepienia czaszki (średniej grubości, gracylne); trzony kości długich (ściany kanałów jam szpikowych średniej grubości, dość masywne); fragmenty żeber	kości mało diagnostyczne, znaczna część to prawdopodobnie kości zwierzęce; fragmenty ceramiki i węgla; kości zwierzęce (?)
pułdo 21, ćw. N-E, gł. 40-50 cm	3,1	kremowo-biała	silny	dorosły	?	trzony kości długich (ściany kanałów jam szpikowych średniej grubości)	1 fragment kości zwierzęcej (?)
pułdo 22, ćw. N-W, gł. 30-40 cm	7,3	kremowo-beżowa	silny	dorosły (?)	?	kość płaska ze sklepienia czaszki (dość gracylna); trzony kości długich (ściany kanałów jam szpikowych średniej grubości)	kości mało diagnostyczne
pułdo 23, ćw. N-W, gł. 40-50 cm	2,3	kremowo-biała	silny	dorosły (?)	?	2 fragmenty kości w tym trzon kości długiej (ściana średniej grubości)	kości mało diagnostyczne
pułdo 24, ćw. N-W, gł. 30-32 cm	1,2	kremowo-biała	silny	dorosły (?)	?	1 fragment trzonu kości długiej (ściana kanału jamy szpikowej średniej grubości)	kość mało diagnostyczna
pułdo 25, ćw. N-E, gł. 20-40 cm	20,3	kremowo-biała	silny	dorosły (?)	?	trzony kości długich (ściany kanałów jam szpikowych średniej grubości), fragmenty żeber	kości zwierzęce; duża liczba kości małodiagnostycznych, prawdopodobnie zwierzęcych
pułdo 26, ćw. N-W, gł. 20-25 cm	4,2	kremowo-biała	silny	dorosły (?)	?	trzony kości długich (ściany kanałów jam szpikowych średniej grubości)	kości mało diagnostyczne, możliwe że ludzkie; kość zwierzęca
pułdo 27, ćw. N-E, gł. 20-40 cm	256,6	kremowo-biała	silny	dorosły (?)	?	trzony kości długich (ściany kanałów jam szpikowych średniej grubości); fragmenty żeber; fragmenty nasad kości długich (zwarta istota gąbczasta)	kości mało diagnostyczne, część być może ludzka; kości zwierzęce; węgiel drzewny; fragmenty ceramiki
pułdo 28, ćw. N-E, gł. 30-40 cm	303,1	szaro-biała	silny	dorosły (?)	?	trzony kości długich (dość masywne)	kości mało diagnostyczne, duża część może być zwierzęca; fragmenty ceramiki i węgla; kości zwierzęce (?)
pułdo 29, ćw. N-E, gł. 30-40 cm	16,2	beżowo-biała	silny	dorosły (?)	?	trzony kości długich (ściany kanałów jam szpikowych średniej grubości); fragment żebra	kości mało diagnostyczne; węgiel drzewny, ceramika; kości zwierzęce
pułdo 30, ćw. N-W, gł. 20-30 cm	66,3	kremowo-szara	silny	-	-	-	kości zwierzęce; 2 fragmenty żelaza

Obiekt	Masa (g)	Barwa	Stopień przepalenia	Wiek	Płeć	Wybrane kości diagnostyczne	Uwagi
pudło 31, ćw. N-E, gl. 20-30 cm	66,3	kremowo-szara	silny	-	-	-	kości mało diagnostyczne, prawdopodobnie większość lub wszystko są to kości zwierzęce; fragment zęba zwierzęcego; ceramika
pudło 32, ćw. N-W, gl. 20-30 cm	21	kremowo-szara	silny	-	-	-	kości mało diagnostyczne, prawdopodobnie zwierzęce
pudło 33, ćw. N-E, gl. 30-40 cm	76,3	kremowo-szara	silny	-	-	-	kości mało diagnostyczne, prawdopodobnie zwierzęce
pudło 34, ćw. N-E, gl. 20-30cm	34,1	kremowo-szara	silny	-	-	-	kości mało diagnostyczne, prawdopodobnie zwierzęce; węgiel drzewny
pudło 35, ćw. S-W, gl. 20-25 cm	3,2	kremowo-białą	silny	dorosły (?)	-	4 fragmenty trzonów kości długich (ściany kanałów jam szpikowych średniej grubości)	kości mało diagnostyczne, prawdopodobnie ludzkie
pudło 36, ćw. N-E, gl. 20-30 cm	1	kremowo-biała	silny	dorosły (?)	?	kilka drobnych fragmentów kości długich (dość cienkie, gracylne)	kości mało diagnostyczne, prawdopodobnie ludzkie
pudło 37, ćw. N-E, gl. 40-50 cm	1,8	kremowo-szara	silny	-	-	-	5 drobnych fragmentów kości mało diagnostycznych, prawdopodobnie zwierzęcych; 1 fragment ceramiki
pudło 38, ćw. N-E, gl. 20-40 cm	50,9	kremowo-szara	silny	dorosły (?)	?	trzony kości długich (ściany kanałów jam szpikowych średniej grubości); nasada dystalna kości śródrcza (?) – zosyfikowana	kości mało diagnostyczne, prawdopodobnie część z nich to kości zwierzęce; kości zwierzęce; fragmenty ceramiki i węgla drzewnych
pudło 39, ćw. N-W, gl. 20-30 cm	1	kremowo-biała	silny	?	?	3 fragmenty trzonów kości długich (ściany kanałów jam szpikowych cienkie)	kości mało diagnostyczne, prawdopodobnie ludzkie
pudło 40, ćw. N-E, gl. 20-30 cm	14,9	kremowo-biała	silny	dorosły (?)	?	trzony kości długich (ściany kanałów jam szpikowych średniej grubości, dość masywne)	kości mało diagnostyczne, prawdopodobnie ludzkie i zwierzęce; węgle drzewne

Obiekt	Masa (g)	Barwa	Stopień przepalenia	Wiek	Płeć	Wybrane kości diagnostyczne	Uwagi
pudło 41, ćw. N-E, gł. 20-40 cm	41,8	kremowo- biała	silny	dorosły (?)	?	trzoney kości długich (ściany kanałów jam szpikowych średniej grubości, dość masywne)	kości mało diagnostyczne, być może ludzkie; kości zwierzęce; ceramika; węgle drzewne
pudło 42, ćw. S-W, gł. 20-30 cm	1,2	beżowo-kremowa	silny	dorosły (?)	?	2 fragmenty trzonów kości długich (ściany kanałów jam szpikowych średniej grubości)	kości mało diagnostyczne, prawdopodobnie ludzkie
pudło 43, ćw. S-W, gł. 30-40 cm	4,3	beżowo-kremowa	silny	dorosły (?)	?	4 fragmenty trzonów kości długich (ściany kanałów jam szpikowych średniej grubości)	kości mało diagnostyczne, prawdopodobnie ludzkie
pudło 44, ćw. N-E, gł. 20-40 cm	30,5	beżowo-kremowa	silny	dorosły (?)	?	trzoney kości długich (ściany kanałów jam szpikowych średniej grubości, dość masywne)	kości mało diagnostyczne, prawdopodobnie ludzkie; kości zwierzęce; fragmenty ceramiki
KURHAN 27							
ćw. SW; pudło 45; gł. 35-37 cm	2,6	szaro-biała	silny	dorosły (?)	?	5 drobnych fragmentów trzonów kości długich (ściany kanałów jam szpikowych średniej grubości, gracylne)	kości mało diagnostyczne
ćw. SW; pudło 45; gł. 30-40 cm	3,1	szaro-biała	silny	dorosły (?)	?	7 drobnych fragmentów trzonów kości długich (ściany kanałów jam szpikowych średniej grubości, gracylne)	kości mało diagnostyczne
ćw. NE; pudło 47; gł. 0,4-0,5	2,6	szaro-biała	silny	?	?	1 fragment panewki lub rzepki (?)	kość mało diagnostyczna, być może ludzka
ćw. NW; pudło 48; gł. 0-0,20	1,6	kremowo-biała	dość silny	dorosły (?)	?	1 fragment trzonu kości długiej (ściana kanału jamy szpikowej średniej grubości, gracylna)	kość mało diagnostyczna
KURHAN 29							
Próbka 50	2,3	kremowo-szara	silny	dorosły	?	kość płaska ze sklepienia czaszki (dość cienka, gracylna); 2 fragmenty trzonów kości długich (ściany kanałów jam szpikowych średniej grubości)	kość zwierzęca (?)
Próbka 51	1,7	kremowo-szara	silny	dorosły	?	3 fragmenty trzonów kości długich (ściany kanałów jam szpikowych grube i średnie)	kości mało diagnostyczne; ślady zielonych przebarwień
Próbka 52	4,9	kremowo-biała	silny	adultus-wczesny maturus	?	kość płaska ze sklepienia czaszki (średniej grubości, szew otwarty); 7 fragmentów trzonów kości długich (ściany kanałów jam szpikowych średniej grubości)	kości mało diagnostyczne; kość zwierzęca; ślady zielonych przebarwień na czaszce
Próbka 53	6	kremowo-popielata	dość silny	dorosły	?	4 fragmenty trzonów kości długich (ściany kanałów jam szpikowych średniej grubości)	kości mało diagnostyczne; kość zwierzęca

Obiekt	Masa (g)	Barwa	Stopień przepalenia	Wiek	Płeć	Wybrane kości diagnostyczne	Uwagi
Próbka 54	1,8	kremowo-biała	silny	?	?	drobne fragmenty trzonów kości długich (dość gracylne)	kości mało diagnostyczne, ludzkie
Próbka 55	1,2	kremowo-szara	silny	dorosły (?)	?	2 fragmenty trzonów kości długich (ściany kanałów jam szpikowych średniej grubości)	kości mało diagnostyczne
Próbka 56	1,6	kremowo-szara	dość silny	dorosły (?)	?	drobne fragmenty trzonów kości długich (ściany kanałów jam szpikowych cienkiej i średniej grubości)	kości mało diagnostyczne; kość zwierzęca (?)
Próbka 57	6,8	kremowo-biała	silny	dorosły	?	2 fragmenty nasad kości długich (zwarta istota gąbczasta); 10 fragmentów trzonów kości długich (ściany kanałów jam szpikowych średniej grubości), w tym trzon kości udowej (duży, masywny)	kości mało diagnostyczne; fragmenty nasad – niewykluczone, że zwierzęce
Próbka 58	6,6	beżowo-kremowa	dość silny	dorosły	?	8 fragmentów trzonów kości długich (ściany kanałów jam szpikowych średniej grubości)	kości mało diagnostyczne
Próbka 59	1,8	biała	silny	-	-	-	1 fragment kości zwierzęcej
Próbka 60	3,9	kremowo-biała	silny	dorosły	?	2 fragmenty części skalistych kości skroniowych (dość duże); 2 fragmenty trzonów kości długich (ściany kanałów jam szpikowych dość grube); 1 fragment kości płaskiej ze sklepienia czaszki (średniej grubości)	kości mało diagnostyczne
Próbka 61	1,2	beżowo-kremowa	dość silny	dorosły	?	3 fragmenty trzonów kości długich (ściany kanałów jam szpikowych średniej grubości)	kości mało diagnostyczne
Próbka 62	2,9	beżowo-kremowa	dość silny	dorosły	?	fragmenty trzonów kości długich (ściany kanałów jam szpikowych średniej grubości)	kości mało diagnostyczne; fragment kości zwierzęcej
Próbka 63	3,5	biała	silny	-	-	-	2 fragmenty kości zwierzęcych (?)
KURHAN 31							
ćw. SW; pudło 49; gl. 20-30 cm	2,6	kremowo-biała	silny	niedorosły (?)	?	1 fragment kości płaskiej ze sklepienia czaszki (dość cienka, gracylna); 2 fragmenty trzonów kości długich (ściany kanałów jam szpikowych dość cienkie)	kości mało diagnostyczne
ćw. NW; pudło 50; gl. 20-30 cm	1,5	kremowo-biała	silny	?	?	3 fragmenty trzonów kości długich (gracylne, ściany kanałów jam szpikowych średniej grubości)	kości mało diagnostyczne, ludzkie
ćw. NO; pudło 51; gl. 0-20 cm	1,5	kremowo-biała	silny	?	?	3 fragmenty trzonów kości długich (gracylne, ściany kanałów jam szpikowych średniej i cienkiej grubości)	kości mało diagnostyczne, ludzkie

Obiekt	Masa (g)	Barwa	Stopień przepalenia	Wiek	Płeć	Wybrane kości diagnostyczne	Uwagi
ćw. SO; pudło 52; gł. 20-30 cm	3,5	beżowo- kremowa	dość silny	dorosły (?)	?	7 drobnych fragmentów trzonów kości długich (ściany kanałów jam szpikowych średniej i cienkiej grubości, gracylne)	kości mało diagnostyczne; 2 fragmenty węgla drzewnego
ćw. SE; pudło 53; gł. 30 cm	12,7	beżowo- kremowa	dość silny	dorosły (?)	?	trzony kości długich (ściany kanałów jam szpikowych średniej grubości); nieliczne fragmenty ze sklepienia czaszki (dość cienkie, gracylne)	kości mało diagnostyczne
ćw. NW; pudło 54; gł. 20-30 cm	2,8	beżowo- kremowa	dość silny	dorosły (?)	?	4 fragmenty trzonów kości długich (gracylne, ściany kanałów jam szpikowych średniej grubości)	kości mało diagnostyczne; 2 drobne fragmenty ceramiki
ćw. NE; pudło 55; gł. 30-40 cm	1,6	beżowo- kremowa	dość silny	dorosły (?)	?	5 fragmentów trzonów kości długich (gracylne, ściany kanałów jam szpikowych średniej i cienkiej grubości)	kości mało diagnostyczne; 1 drobny fragment ceramiki
ćw. SW; pudło 56; gł. 0-20 cm	9,7	beżowo- kremowa	dość silny	dorosły (?)	?	kości płaskie ze sklepienia czaszki (dość cienkie, gracylne); fragmenty trzonów kości długich (gracylne, ściany kanałów jam szpikowych średniej i cienkiej grubości)	kości mało diagnostyczne; drobny fragment węgla drzewnych
ćw. SE; pudło 57; gł. 30 cm	2	beżowo- kremowa	dość silny	niedorosły (?)	?	drobne fragmenty trzonów kości długich (gracylne, ściany kanałów jam szpikowych cienkiej grubości)	kości mało diagnostyczne
ćw. SW; pudło 58; gł. 30-40 cm	3,2	beżowo- popielata	dość silny	dorosły (?)	?	5 fragmentów trzonów kości długich (gracylne, ściany kanałów jam szpikowych średniej grubości)	kości mało diagnostyczne
ćw. SE; pudło 59; gł. 20-25 cm	11,5	kremowo- beżowa	dość silny	dorosły	?	trzony kości długich (ściany kanałów jam szpikowych średniej grubości)	kości mało diagnostyczne; drobne fragmenty ceramiki
KURHAN 32							
ćw. II; pudło 62; warstwa 50-60	6,1	beżowo- kremowa	dość silny	adultus -maturus	?	2 fragmenty trzonów kości długich, w tym kości piszczelowej (dość masywne, ściany kanałów jam szpikowych średniej grubości)	kości mało diagnostyczne
KURHAN 34							
ćw. NO; pudło 60	0,9	kremowa	dość silny	dorosły	?	2 fragmenty trzonów kości długich (ściany kanałów jam szpikowych średniej i cienkiej grubości)	kości mało diagnostyczne; cienki fragment trzonu, prawdopodobnie zwierzęcy
Pudło 61	2,1	kremowa	dość silny	dorosły	?	2 fragmenty trzonów kości długich (ściany kanałów jam szpikowych średniej grubości)	kości mało diagnostyczne; drobny fragment ceramiki

Obiekt	Masa (g)	Barwa	Stopień przepalenia	Wiek	Płeć	Wybrane kości diagnostyczne	Uwagi
KURHAN 35							
Odcinek I; Palenisko „ofiarne”; gl. 30 cm; 61-2-C	3,8	kremowo-biała	silny	dorosły (?)	?	kość płaska ze sklepienia czaszki (dość gracylna); 3 fragmenty trzonów kości długich (ściany kanałów jam szpikowych średniej i cienkiej grubości)	kości mało diagnostyczne
Odcinek I; gl. 0-20 cm; pudło 44; 61-3-C	8,6	kremowo-biała	dość silny	dorosły	?	8 fragmentów trzonów kości długich (ściany kanałów jam szpikowych średniej grubości, dość masywne)	kości mało diagnostyczne
Odcinek I; gl. 0-20 cm (przy plantowaniu powierzchni); 61-2-B	4,3	kremowo-beżowa	dość silny	dorosły	?	4 fragmenty trzonów kości długich (ściany kanałów jam szpikowych średniej grubości)	kości mało diagnostyczne; kość zwierzęca
Odcinek I; „poniżej paleniska ofiarnego” gl. 10-20 cm; 61-3-E/D	2,3	kremowo-popielata	dość silny	dorosły	?	2 fragmenty trzonów kości długich (przyczepy mięśniowe wyraźne)	kości mało diagnostyczne
Odcinek II; gl. 50-60 cm; 61-2-C; pudło 45	8,7	popielato-biała	dość silny	adultus -maturus	?	trzony kości długich (ściany kanałów jam szpikowych średniej grubości), 2 fragmenty nasad kości długich (istota gąbczasta zwarta)	kości mało diagnostyczne; węgiel drzewny
Odcinek II; gl. 30-40 cm; 61-2-C	3,90	beżowo-kremowa	dość silny	dorosły	?	5 fragmentów kości, w tym trzony kości długich (ściany kanałów jam szpikowych średniej grubości)	kości mało diagnostyczne
Odcinek II; gl. 80-90 cm; wkop	12,1	kremowo-biała	dość silny	adultus -maturus	?	kości płaskie ze sklepienia czaszki (dość cienkie, gracylne), trzony kości długich (ściany kanałów jam szpikowych średniej i cienkiej grubości); fragment głowy kości promieniowej (śr. ok. 20 mm)	kości zwierzęce
Odcinek II; część górna wykopu; skupienie kości na 2,40; 61-3-E	31,1	kremowo-szara	dość silny	dorosły	?	kości płaskie ze sklepienia czaszki (dość cienkie, gracylne); trzony kości długich (ściany kanałów jam szpikowych średniej grubości)	kości mało diagnostyczne
Odcinek II; część górna; 61-2-E	18,3	kremowo-biała	dość silny	dorosły	?	kości płaskie ze sklepienia czaszki (dość cienkie, gracylne); trzony kości długich (ściany kanałów jam szpikowych średniej grubości)	kości mało diagnostyczne
Odcinek II; N-S : 2,25; E-W : 2,60; 61-2-B	5,3	kremowo-beżowa	dość silny	dorosły (?)	?	drobne fragmenty trzonów kości długich (ściany kanałów jam szpikowych średniej i cienkiej grubości)	kości mało diagnostyczne; kość zwierzęca (?)
Odcinek II; gl. 30-40 cm; 61-2-C	3,7	kremowa	dość silny	dorosły	?	2 fragmenty trzonów kości długich (ściany kanałów jam szpikowych średniej grubości)	kości mało diagnostyczne

Obiekt	Masa (g)	Barwa	Stopień przepalenia	Wiek	Płeć	Wybrane kości diagnostyczne	Uwagi
Odcinek II; gł. 70-80 cm; „wykop ciemny”; 61-3-E	12,1	kremowo-popielata	dość silny	adultus -maturus	?	trzonek kości długich (ściany kanałów jam szpikowych dość grube), w tym kość udowa (kresa chropawa dość silna)	kości mało diagnostyczne
Odcinek III; gł. 0-20 cm; 61-2-E	15,6	kremowo-biała	dość silny	dorosły	?	kość płaska ze sklepienia czaszki (dość cienka, gracylne); trzonek kości długich (dość masywne)	kości mało diagnostyczne
Odcinek III; gł. 20-60 cm; 61-3-C	8,2	kremowo-biała	dość silny	dorosły	?	6 fragmentów trzonów kości długich (ściany kanałów jam szpikowych średniej grubości, dość masywne)	kości mało diagnostyczne
Odcinek III; Warstwa II; gł. 30-40 cm; 61-3-b	8	kremowo-beżowa	dość silny	dorosły	?	2 fragmenty kości płaskich ze sklepienia czaszki (cienkie, gracylne); fragment części skalistej kości skroniowej (średniej wielkości); 5 fragmentów trzonów kości długich (ściany kanałów jam szpikowych średniej grubości)	kości mało diagnostyczne
Odcinek III; część górna; gł. 20-30 cm; 61-2-E	7,5	beżowo-kremowa	dość silny	dorosły	?	trzonek kości długich (ściany kanałów jam szpikowych średniej grubości, dość masywne)	kości mało diagnostyczne
Odcinek IV; 61-2-C; pudło 42	3,6	-	-	-	-	-	2 fragmenty kości, prawdopodobnie zwierzęce
Odcinek IV; gł. 20-30 cm; 61-2-A	1,6	beżowo-kremowa	dość silny	dorosły	?	2 fragmenty trzonów kości długich (ściany kanałów jam szpikowych średniej grubości)	kości mało diagnostyczne
Odcinek IV; gł. 70-80 cm; 61-2-C/A; pudło 41	0,7	kremowa	silny	-	-	-	1 fragment kości zwierzęcej (?)
Odcinek V; gł. 20-30 cm; Pudło 49; 61-2-C	7,6	kremowo-biała	dość silny	dorosły	?	6 fragmentów kości, w tym 5 fragmentów trzonów kości długich (ściany kanałów jam szpikowych średniej grubości, dość masywne)	kości mało diagnostyczne
Odcinek V; gł. 30-40 cm; 61-2-C	0,9	kremowo-szara	dość silny	dorosły	?	2 fragmenty trzonów kości długich (ściany kanałów jam szpikowych średniej grubości)	kości mało diagnostyczne
Odcinek VI; gł. 30-40 cm; 61-5-C	1	kremowo-szara	dość silny	dorosły (?)	?	4 fragmenty trzonów kości długich (ściany kanałów jam szpikowych średniej grubości)	kości mało diagnostyczne
Odcinek VI; gł. 50-60 cm; Pudło 46; 61-2-C	1,4	kremowo-biała	dość silny	dorosły (?)	?	2 fragmenty kości (kość płaska ze sklepienia czaszki i fragment trzonu kości długiej) – dość gracylne	kości mało diagnostyczne
Odcinek VI; gł. 20-30 cm; 61-2-A	4,3	kremowo-beżowa	dość silny	dorosły	?	4 fragmenty trzonów kości długich (ściany kanałów jam szpikowych średniej grubości, dość gracylne)	kości mało diagnostyczne
Odcinek VII; gł. 60-70 cm; 61-2-C/A; pudło 40	4,6	kremowo-biała	dość silny	dorosły	?	7 fragmentów trzonów kości długich (ściany kanałów jam szpikowych średniej grubości)	kości mało diagnostyczne; fragment kości zwierzęcej (?)

Obiekt	Masa (g)	Barwa	Stopień przepalenia	Wiek	Płeć	Wybrane kości diagnostyczne	Uwagi
Odcinek VII; warstwa III; część dolna; 61-2-E	21	kremowo-szara	silny	adultus -maturus	?	19 fragmentów kości, w tym trzony kości długich (ściany kanałów jam szpikowych średniej grubości, dość ciężkie)	kości mało diagnostyczne
Odcinek VII; gł. 40-50 cm; pudło 43; 61-3-C	12,9	kremowo-szara	silny	dorosły	?	kości płaskie ze sklepienia czaszki (dość cienkie, gracylne), trzony kości długich (ściany kanałów jam szpikowych średniej grubości)	kości mało diagnostyczne; 1 fragment kości zwierzęcej
Odcinek VII; gł. 50-60 cm; 61-2-B	3,8	beżowo-kremowa	dość silny	dorosły (?)	?	trzony kości długich (ściany kanałów jam szpikowych średniej grubości)	kości mało diagnostyczne; 1 fragment kości zwierzęcej
Odcinek VIII; gł. 50-60 cm	12,6	kremowo-biała	dość silny	późny adultus	M?	9 fragmentów kości płaskich ze sklepienia czaszki (dość gracylne, szew strzałkowy otwarty), w tym fragment górnej krawędzi oczodołu z okolicy wyrostka jarzmowego prawego (kresa skroniowa średnia, brzeg oczodołu lekko zaokrąglony); 3 fragmenty trzonów kości długich (ściany kanałów jam szpikowych średniej grubości, dość duże rozmiary)	kości niejednoznaczne morfologicznie z nieznaczną przewagą cech płciowych męskich
Odcinek VIII; gł. 0-20 cm; 61-2-C	2,1	kremowa	silny	dorosły	?	5 fragmentów trzonów kości długich (ściany kanałów jam szpikowych średniej grubości)	kości mało diagnostyczne
Gł. 40-50 cm; 61-2-B	2,5	beżowo-kremowa	dość silny	dorosły	?	2 fragmenty kości płaskich ze sklepienia czaszki (średniej grubości, gracylne)	kości mało diagnostyczne
Gł. 40-50 cm; 61-2-E/1	9,4	beżowo-kremowa	dość silny	dorosły	?	fragment trzonu kręgu lędźwiowego (powierzchnia zosyfikowana); trzony kości długich (ściany kanałów jam szpikowych średniej grubości)	kości małodiagnostyczne; kość zwierzęca (?)
Brak więcej informacji; 61-2-E	20,7	beżowo-kremowa	dość silny	adultus -wczesny maturus	?	kości płaskie ze sklepienia czaszki (średniej grubości, gracylne), fragment nasady kości długiej (zwarta istota gąbczasta), trzony kości długich (ściany kanałów jam szpikowych średniej grubości)	kości mało diagnostyczne
Kości z naczynia z Lipska	98,7	kremowo-brązowa	dość silny	adultus -wczesny maturus	?	kości płaskie ze sklepienia czaszki (dość cienkie, gracylne); fragmenty kręgów (zosyfikowane); fragmenty nasad kości długich (zwarta istota gąbczasta); trzony kości długich (ściany kanałów jam szpikowych średniej grubości); fragmenty paliczek (nasady zosyfikowane)	kilka fragmentów trzonów kości długich znacznie słabiej przepalona (barwy brązowo-czarnej)

Obiekt	Masa (g)	Barwa	Stopień przepalenia	Wiek	Płeć	Wybrane kości diagnostyczne	Uwagi
KURHAN 37							
Próbka 104	3,7	biało-szara	dość silny	dorosły	?	1 fragment trzonu kości długiej (ściana kanału jamy szpikowej średniej grubości)	kość mało diagnostyczna
KURHAN 38							
Grób jamowy przy kurhanie 38 cz. N; gł. 52 cm	1,1	popielato-biała	dość silny	?	?	niewielki fragment trzonu żebra (?) – gracylny	kość mało diagnostyczna, prawdopodobnie ludzka
Próbka 95	6	kremowo-biała	silny	dorosły	?	8 fragmentów trzonów kości długich (ściany kanałów jam szpikowych średniej grubości)	kości mało diagnostyczne
Próbka 96	0,5	biało-szara	silny	?	?	1 fragment trzonu kości długiej (ściana kanału jamy szpikowej dość cienka)	kość mało diagnostyczna, prawdopodobnie ludzka
Próbka 97	4,5	biało-szara	dość silny	dorosły (?)	?	fragmenty trzonów kości długich (ściany kanałów jam szpikowych średniej grubości)	kości mało diagnostyczne
Próbka 98	1	kremowo-biała	silny	dorosły (?)	?	7 fragmentów trzonów kości długich (dość gracylne)	kości mało diagnostyczne
Próbka 99	0,6	biało-szara	silny	dorosły (?)	?	2 fragmenty trzonów kości długich (ściany kanałów jam szpikowych średniej grubości)	kości mało diagnostyczne
Próbka 100	33,9	biało-szara	dość silny	dorosły	?	trzony kości długich (ściany kanałów jam szpikowych średniej grubości), w tym kość udowa (kresa chropawa wyraźna)	kości mało diagnostyczne
Próbka 101	1,7	kremowo-szara	dość silny	dorosły (?)	?	6 fragmentów trzonów kości długich (ściany kanałów jam szpikowych średniej grubości)	kości mało diagnostyczne
Próbka 102	2,4	kremowo-biała	dość silny	dorosły (?)	?	8 fragmentów trzonów kości długich (dość gracylne)	kości mało diagnostyczne
Próbka 103	2,4	biało-szara	dość silny	dorosły	?	1 fragment trzonu kości długiej (ściana kanału jamy szpikowej średniej grubości)	kość mało diagnostyczna
KURHAN 40							
Próbka 69	0,9	beżowo-kremowa	dość silny	dorosły (?)	?	2 fragmenty trzonów kości długich (ściany kanałów jam szpikowych średniej grubości)	kości mało diagnostyczne
Próbka 70	0,4	beżowo-kremowa	dość silny	dorosły (?)	?	1 fragment trzonu kości długiej (ściana kanału jamy szpikowej średniej grubości)	kość mało diagnostyczna
Próbka 71	5,2	beżowo-brązowa	-	-	-	-	1 fragment nieprzypalanej kości zwierzęcej
Próbka 72	0,7	kremowa	silny	dorosły	?	1 fragment trzonu kości długiej (ściana kanału jamy szpikowej średniej grubości)	kość mało diagnostyczna
Próbka 73	2,1	kremowo-biała	silny	dorosły (?)	?	2 fragmenty trzonów kości długich (ściany kanałów jam szpikowych średniej grubości)	kości mało diagnostyczne

Obiekt	Masa (g)	Barwa	Stopień przepalenia	Wiek	Płeć	Wybrane kości diagnostyczne	Uwagi
KURHAN 41							
Próbka 94	1,1	kremowa	silny	niedorosły (?)	?	3 fragmenty trzonów kości długich (dość gracylne, cienkie ściany kanałów jam szpikowych)	kości mało diagnostyczne
KURHAN 42							
Próbka 74	7,8	kremowa	silny	dorosły (?)	?	trzony kości długich (średniej wielkości)	kości mało diagnostyczne; kości zwierzęce
Próbka 75	0,6	kremowa	silny	dorosły (?)	?	1 fragment trzonu kości długiej (ściana kanału jamy szpikowej średniej grubości)	kość mało diagnostyczna
Próbka 76	0,6	biało-szara	silny	dorosły (?)	?	fragment wyrostka kłykciowego żuchwy (?)	kość mało diagnostyczna
Próbka 77	8,1	kremowa	silny	dorosły (?)	?	trzony kości długich (ściany kanałów jam szpikowych średniej grubości)	kości mało diagnostyczne; 4 fragmenty kości zwierzęcych (niewykluczone że jest ich więcej)
Próbka 78	2,6	kremowo-szara	silny	-	-	-	1 fragment kości zwierzęcej
Próbka 79	1,7	kremowo-szara	silny	dorosły (?)	?	1 fragment kości płaskiej ze sklepienia czaszki (średniej grubości, gracylna)	kość mało diagnostyczna
Próbka 80	12,7	kremowo-szara	silny	dorosły	?	trzony kości długich (ściany kanałów jam szpikowych średniej grubości); 2 fragmenty z okolicy otworu słuchowego zewnętrznego (dość duży)	kości mało diagnostyczne
Próbka 81	5,9	kremowa	silny	dorosły	?	trzony kości długich (ściany kanałów jam szpikowych średniej grubości)	kości mało diagnostyczne; 2 fragmenty kości zwierzęcych
Próbka 82	4,8	beżowo-kremowa	dość silny	infans I (?)	?	trzony kości długich (małe rozmiary, cienkie ściany kanałów jam szpikowych); kości płaskie ze sklepienia czaszki (dość cienkie, gracylne)	kości mało diagnostyczne
Próbka 83	1	beżowo-kremowa	dość silny	?	?	1 fragment trzonu kości długiej (ściana kanału jamy szpikowej średniej grubości)	kość mało diagnostyczna, prawdopodobnie ludzka
Próbka 84	1,6	kremowo-szara	silny	dorosły (?)	?	5 fragmentów trzonów kości długich (ściany kanałów jam szpikowych średniej grubości)	kości mało diagnostyczne
Próbka 85	0,4	kremowa	silny	niedorosły (?)	?	1 fragment trzonu kości długiej (ściana kanału jamy szpikowej dość cienka, gracylna)	kość mało diagnostyczna
Próbka 86	0,7	kremowa	silny	niedorosły (?)	?	1 fragment trzonu kości długiej (ściana kanału jamy szpikowej dość cienka, gracylna)	kość mało diagnostyczna

Obiekt	Masa (g)	Barwa	Stopień przepalenia	Wiek	Płeć	Wybrane kości diagnostyczne	Uwagi
Próbka 87	3,7	kremowa	dość silny	dorosły (?)	?	10 fragmentów kości, w tym trzony kości długich (ściany kanałów jam szpikowych średniej grubości)	kości mało diagnostyczne
Próbka 88	7,9	kremowa	silny	dorosły	?	7 fragmentów kości, w tym trzony kości długich (dość masywne, ściany kanałów jam szpikowych średniej grubości)	kości mało diagnostyczne, nie można wykluczyć, że są to kości zwierzęce
Próbka 89	0,8	kremowa	silny	niedorosły (?)	?	1 fragment trzonu kości długiej (ściana kanału jamy szpikowej dość cienka, gracylna)	kość mało diagnostyczna
Próbka 90	1,2	beżowo-kremowa	dość silny	dorosły (?)	?	2 fragmenty trzonów kości długich (ściany kanałów jam szpikowych średniej grubości)	kości mało diagnostyczne
Próbka 91	1,2	beżowo-kremowa	dość silny	dorosły (?)	?	3 fragmenty trzonów kości długich (ściany kanałów jam szpikowych średniej i cienkiej grubości)	kości mało diagnostyczne
Próbka 92	0,7	beżowo-kremowa	dość silny	dorosły (?)	?	1 fragment trzonu kości długiej (ściana kanału jamy szpikowej średniej grubości)	kość mało diagnostyczna
Próbka 93	1,1	beżowo-kremowa	silny	-	-	-	7 fragmentów kości zwierzęcych
KURHAN 46							
Próbka 105	0,5	biało-szara	silny	?	?	1 fragment trzonu kości długiej (gracylna)	kość mało diagnostyczna, prawdopodobnie ludzka
Grób jamowy przy kurhanie 46 (lateński?) 61-3-b							
odcinek BD; 20-30 cm	33,6	biało-szara	dość silny	dorosły	?	kości płaskie ze sklepienia czaszki (dość cienkie, gracylne); trzony kości długich (ściany kanałów jam szpikowych średniej grubości, urzeźbienie słabe)	kości mało diagnostyczne; fragmenty węgla i ceramiki
odcinek BD; 30-40 cm	9,3	kremowo szara	dość silny	adultus -maturus	?	kości płaskie ze sklepienia czaszki (gracylne); trzony kości długich (ściany kanałów jam szpikowych średniej grubości); fragmenty nasad kości długich (zwarta istota gąbczasta)	kości mało diagnostyczne; drobne fragmenty węgla
odcinek AD; 20-50 cm	18,3	biało-szara	dość silny	adultus -maturus	?	trzony kości długich (ściany kanałów jam szpikowych średniej grubości); fragmenty nasad kości długich (zwarta istota gąbczasta), w tym nasada dalsza śródreżcza (zo-syfikowana); kości płaskie ze sklepienia czaszki (dość cienkie, gracylne)	kości mało diagnostyczne; ślady żelazistych przebarwień

Obiekt	Masa (g)	Barwa	Stopień przepalenia	Wiek	Płeć	Wybrane kości diagnostyczne	Uwagi
ćw. NE	38	biało-szara	dość silny	adultus -maturus	?	kości płaskie ze sklepienia czaszki (średniej grubości); 2 korzenie zębów stałych (uformowane); trzony kości długich (ściany kanałów jam szpikowych średniej grubości)	węgle; ceramika; zabytek (?)
odcinek AD; 30-40 cm	22,3	biało-szara	dość silny	dorosły (?)	?	trzony kości długich (ściany kanałów jam szpikowych średniej grubości, gracylne)	kości mało diagnostyczne; fragmenty węgla
odcinek BC; gł. 30-40 cm	18,8	kremowo-szara	dość silny	dorosły	?	kości płaskie ze sklepienia czaszki (gracylne); trzony kości długich (ściany kanałów jam szpikowych średniej grubości, dość duże rozmiary)	fragmenty węgla drzewnych
KURHAN 47							
Próbka 64	0,7	biała	silny	?	?	1 fragment trzonu kości długiej	kość mało diagnostyczna, być może zwierzęca
Próbka 65	0,5	biała	silny	dorosły (?)	?	1 fragment trzonu kości długiej (dość gracylny)	kość mało diagnostyczna
Próbka 66	0,8	biała	silny	?	?	1 fragment trzonu kości długiej (gracylny)	kość mało diagnostyczna, być może ludzka
Próbka 67	2,9	beżowo-kremowa	silny	?	?	fragment trzonu kości długiej (ściana kanału jamy szpikowej średniej grubości)	kość mało diagnostyczna, być może zwierzęca
Próbka 68	3,9	beżowo-kremowa	dość silny	-	-	-	1 fragment kości zwierzęcej
61-2-b; ilość 2	4,4	kremowo-biała	silny	dorosły	?	2 fragmenty trzonów kości długich (ściany kanałów jam szpikowych średniej grubości)	kości mało diagnostyczne
61-2-b; ilość 16	7,1	kremowo-szara	silny	dorosły	?	14 fragmentów trzonów kości długich (ściany kanałów jam szpikowych średniej grubości)	kości mało diagnostyczne; 2 fragmenty kości zwierzęcych (?)
KURHAN 52							
ćw. NW; rów; gł. 20 cm; 61-2-B	1,6	kremowo-beżowa	dość silny	dorosły	?	3 fragmenty trzonów kości długich (ściany kanałów jam szpikowych średniej grubości), w tym kość udowa (kresa chropawa słaba)	kości mało diagnostyczne; fragmenty węgla
ćw. SW; palenisko z kurhanu; 61-2-b	1,8	kremowo-beżowa	dość silny	dorosły (?)	?	2 fragmenty trzonów kości długich (dość gracylne)	kości mało diagnostyczne; 1 fragment ceramiki; 2 fragmenty węgla
KURHAN 56							
ćw. SO; palenisko; gł. 20-30 cm; grób jamowy?	5,2	beżowo-biała	dość silny	dorosły (?)	?	trzony kości długich (ściany kanałów jam szpikowych średniej grubości); fragment nasady kości długiej	kości mało diagnostyczne; drobne fragmenty węgla
ćw. NW; gł. 35-40 cm; 61-2-E	2,7	kremowo-beżowa	dość silny	dorosły	?	3 fragmenty trzonów kości długich (ściany kanałów jam szpikowych średniej grubości)	kości mało diagnostyczne

Obiekt	Masa (g)	Barwa	Stopień przepalenia	Wiek	Płeć	Wybrane kości diagnostyczne	Uwagi
ćw. NE; gł. 0,20-0,30 cm; 61-2-E	27,3	kremowo-beżowa	dość silny	adultus - wczesny maturus	?	trzony kości długich (ściany kanałów jam szpikowych średniej grubości); korzeń zęba stałego; 1 fragment ze sklepienia czaszki (dość gracylny); fragmenty nasad kości długich (zwarta istota gąbczasta)	kości mało diagnostyczne
ćw. WS; gł. 20-40 cm; sondaż	8,3	kremowo-beżowa	dość silny	dorosły (?)	?	trzony kości długich (ściany kanałów jam szpikowych średniej grubości)	kości mało diagnostyczne
ćw. SE; nasyp poza rowem; gł. 30-40 cm; 61-2-E	0,9	kremowo-beżowa	dość silny	dorosły (?)	?	2 fragmenty trzonów kości długich (ściany kanałów jam szpikowych średniej grubości, gracylne)	kości mało diagnostyczne
ćw. WE; gł. 0-50 cm; 61-2-E	11,3	kremowo-beżowa	dość silny	dorosły	?	kości płaskie ze sklepienia czaszki (średniej grubości); trzony kości długich (ściany kanałów jam szpikowych średniej grubości); fragmenty nasad kości długich	kości mało diagnostyczne
ćw. EW; gł. do calca	9,1	kremowo-beżowa	dość silny	dorosły	?	trzony kości długich (ściany kanałów jam szpikowych średniej grubości, dość duże rozmiary)	kości mało diagnostyczne; 2 fragmenty kości zwierzęcych; 1 fragment ceramiki
ćw. NW; nasyp; gł. 30-40 cm; 61-2-E	2,6	kremowo-beżowa	dość silny	dorosły	?	4 fragmenty kości, w tym trzony kości długich (ściany kanałów jam szpikowych średniej grubości), 1 kość płaska ze sklepienia czaszki (gracylna)	kości mało diagnostyczne; 2 fragmenty kości zwierzęcych; 1 fragment ceramiki
ćw. NW; 0-20 cm; 61-2-E	3	kremowo-beżowa	dość silny	dorosły (?)	?	trzony kości długich (ściany kanałów jam szpikowych średniej grubości)	kości mało diagnostyczne; drobne fragmenty węgla i ceramiki
ćw. NW; 20-30 cm; 61-2-E	2,9	kremowo-szara	dość silny	dorosły	?	3 fragmenty trzonów kości długich (ściany kanałów jam szpikowych średniej grubości)	kości mało diagnostyczne
ćw. WE; gł. 30-50 cm; w rowie przykuhanowym; 61-2-E	21,8	kremowo-beżowa	dość silny	dorosły	?	trzony kości długich (ściany kanałów jam szpikowych średniej grubości, dość duże rozmiary); 1 kość płaska ze sklepienia czaszki (gracylna)	kości niezbyt diagnostyczne; fragmenty kości zwierzęcych i ceramiki
ćw. EW; gł. 40-60 cm; nasyp kurhanu	1,6	kremowo-beżowa	dość silny	dorosły (?)	?	2 fragmenty trzonów kości długich (ściany kanałów jam szpikowych średniej grubości, gracylne)	kości mało diagnostyczne
ćw. NE; gł. 20-30 cm; część nasypowa 61-2-E	4,7	kremowo-beżowa	dość silny	dorosły	?	1 kość płaska ze sklepienia czaszki (gracylna); fragment nasady kości długiej; trzony kości długich (ściany kanałów jam szpikowych średniej grubości)	kości mało diagnostyczne
bez metryczki	1,6	kremowo-beżowa	dość silny	dorosły	?	1 fragment trzonu kości długiej (kość udowa?) – ściana kanału jamy szpikowej średniej grubości, dość duże rozmiary	kość mało diagnostyczna

Obiekt	Masa (g)	Barwa	Stopień przepalenia	Wiek	Płeć	Wybrane kości diagnostyczne	Uwagi
ćw. NE; gl. 20-50 cm; 61-2-E	5,6	kremowo-beżowa	dość silny	dorosły	?	trzony kości długich (ściany kanałów jam szpikowych średniej grubości); fragment mostka (?)	kości mało diagnostyczne
ćw. NW; 0-20 cm; 61-2-E	1,5	popielato-szara	dość silny	dorosły	?	2 fragmenty trzonów kości długich (ściany kanałów jam szpikowych średniej grubości)	kości mało diagnostyczne
KURHAN 58							
ćw. NW; nasyt; gl. 40-50 cm	1,2	kremowo-beżowa	silny	?	?	drobne fragmenty kości, w tym 5 trzonów kości długich (gracylne), 1 fragment nasady kości długiej (zwarta istota gąbczasta)	kości mało diagnostyczne, ludzkie; fragmenty węgla
palenisko; odcinek E; 61-2-C	122,5	beżowo-kremowa	dość silny	adultus (25-35)	F	kości płaskie ze sklepienia czaszki (średniej grubości, gracylne); 2 fragmenty z okolicy wyrostków jarzmowych kości czołowej (kresy skroniowe słabe, brzęgi oczodołów ostre, gracylne); fragmenty nasad kości długich, w tym nasada dystalna kości promieniowej (zosiifikowana); trzony kości długich (ściany kanałów jam szpikowych średniej grubości, słabe urzeźbienie)	
ćw. SW; nasyt; gl. 20-30 cm; 61-2-C/3	10,9	kremowo-beżowa	silny	dorosły	?	trzony kości długich (dość masywne, grube ściany kanałów jam szpikowych), w tym kość udowa i piszczelowa	kości mało diagnostyczne
ćw. NE; gl. 30-40 cm; 61-2-C/3	5,9	kremowa	silny	-	-	-	kości zwierzęce (?); drobne węgle
ćw. NW; gl. 20-30 cm; 61-2-B/1	3,3	beżowo-kremowa	dość silny	adultus-maturus	F?	4 fragmenty kości, w tym 1 fragment kości płaskiej ze sklepienia czaszki (średniej grubości, gracylny), 1 fragment z okolicy górnej krawędzi prawego oczodołu (ostra, gracylna), 2 fragmenty trzonów kości udowych (kresa chropawa średnia, ściany kanałów jam szpikowych średniej grubości)	
ćw. SE; gl. 20-30 cm; nasyt; 61-2-C/3	36,4	beżowo-brązowa	słabo	-	-	-	zęby końskie
ćw. SE; nasyt kopca; gl. 20-30 cm; 61-2-C	15,2	beżowo-kremowa	dość silny	dorosły	?	2 kości płaskie ze sklepienia czaszki (gracylne, cienkie); fragmenty kręgów, nasad kości długich; trzony kości długich (ściany kanałów jam szpikowych średniej grubości)	kości mało diagnostyczne
nasyt kopca; 0-20 cm; 61-2-C	1,8	beżowo-kremowa	dość silny	dorosły (?)	?	5 fragmentów trzonów kości długich (dość gracylne)	kości mało diagnostyczne

Obiekt	Masa (g)	Barwa	Stopień przepalenia	Wiek	Płeć	Wybrane kości diagnostyczne	Uwagi
ćw.NE; gł. 30-60 cm; palenisko; 61-3-C	76,9	beżowo- szara	dość silny	adultus -wczesny maturus	?	fragmenty nasad kości długich (zwarta istota gąbczasta); fragment kości piętowej; trzony kości długich (ściany kanałów jam szpikowych średniej grubości); fragmenty paliczków, kręgów	fragmenty węgla i ceramiki
ćw. NE; gł. 30-40 cm; 61-3-C/3	9	beżowo- kremowa	silny	dorosły	?	fragmenty nasad kości długich (zwarta istota gąbczasta); fragmenty trzonów kości długich (ściany kanałów jam szpikowych średniej grubości)	kości mało diagnostyczne; fragmenty ceramiki, węgla
ćw. NW; gł. 0-20 cm; 61-2-A	7,8	beżowo- kremowa	dość silny	dorosły	?	2 fragmenty ze sklepienia czaszki (średniej grubości, gracylne); trzony kości długich (ściany kanałów jam szpikowych średniej grubości i urzeźbienia)	kości mało diagnostyczne
KURHAN 59							
Rów; gł. 0-30 cm; 61-2-B	1,6	beżowo- kremowa	dość silny	dorosły (?)	?	2 fragmenty trzonów kości długich (dość gracylne)	kości mało diagnostyczne
KURHAN 60							
ćw. SE; nasyp; 10 cm; grób jamowy?; 61-1-b/5	12	kremowo- brązowa	dość silny	?	?	fragment łuku kręgu; fragment końca mostkowego obojczyka (zosyfikowany); trzony kości długich (gracylne, ściany kanałów jam szpikowych średniej grubości)	kości mało diagnostyczne; drobne fragmenty węgla; 1 fragment kości zwierzęcej (?)
ćw. SW; 35 cm; 61-2-A/2	5,4	beżowo- kremowa	dość silny	dorosły	?	10 fragmentów trzonów kości długich (ściany kanałów jam szpikowych średniej grubości, dość gracylne)	kości mało diagnostyczne
ćw. NW; 0-20 cm; 61-3-B/6	4,2	kremowo- biała	silny	?	?	fragment łuku jarzmowego (gracylny); 8 fragmentów trzonów kości długich (ściany kanałów jam szpikowych średniej grubości)	kości mało diagnostyczne
ćw. NE; 0-20 cm; 61-3-B/6	2,9	kremowo- beżowa	dość silny	dorosły	?	5 fragmentów kości, w tym trzony kości długich (ściany kanałów jam szpikowych średniej grubości), fragment nasady kości długiej	kości mało diagnostyczne; fragment nasady kości długiej – kość zwierzęca (?)
ćw. SE; 40-50 cm; 61-1-5	3,9	kremowo- beżowa	dość silny	?	?	4 fragmenty kości, w tym 2 fragmenty ze sklepienia czaszki (gracylne), 2 fragmenty trzonów kości długich (ściany kanałów jam szpikowych średniej grubości)	kości mało diagnostyczne
ćw. SW; 40-50 cm; 61-1-B/5	11,2	kremowo- biała	silny	dorosły	?	6 fragmentów trzonów kości długich (ściany kanałów jam szpikowych średniej grubości)	kości mało diagnostyczne
ćw. SW; 0-20 cm; 61-3-e/7	2,6	beżowo- kremowa	silny	dorosły	?	3 fragmenty trzonów kości długich (ściany kanałów jam szpikowych średniej grubości)	kości mało diagnostyczne

Obiekt	Masa (g)	Barwa	Stopień przepalenia	Wiek	Płeć	Wybrane kości diagnostyczne	Uwagi
ćw. NW; 30-40 cm; rów przy kurhanie; 61-3-b/6	1,9	kremowo-beżowa	dość silny	dorosły	?	3 fragmenty kości, w tym trzon kości długiej (ściana kanału jamy szpikowej średniej grubości), 2 fragmenty kręgów (zosiifikowane)	kości mało diagnostyczne
ćw. SE; 20-30 cm; 61-3-E/7	10,8	beżowo-kremowa	silny	adultus-maturus	?	2 fragmenty kości płaskich ze sklepienia czaszki (gracylne); 3 fragmenty nasad kości długich (zosiifikowane, zwarta istota gąbczasta); 5 fragmentów trzonów kości długich (ściany kanałów jam szpikowych średniej grubości)	kości mało diagnostyczne
ćw. SW; 20-30 cm; 61-3-B/6	28,9	beżowo-kremowa	dość silny	dorosły	?	2 fragmenty kości nadgarstka (?); trzony kości długich (ściany kanałów jam szpikowych średniej grubości, dość masywne)	kości mało diagnostyczne
40-50 cm; poprzeczny rów na 5,5 cm profilu E-W; 61-2-A/2	76,1	beżowo-kremowa	dość silny	wczesny maturus	M?	fragmenty kręgów (trzony z odcinka lędźwiowego dość duże, nieznaczne osteofity na brzegach); fragmenty miednicy (duża panewka, zosiifikowana); fragmenty nasad kości długich (istota gąbczasta dość zwarta); trzony kości długich (ściany kanałów jam szpikowych średniej grubości); fragmenty kości płaskich ze sklepienia czaszki (szwy otwarte)	drobne fragmenty węgla
ćw. SW; 30-40 cm; nasyp; 61-1-b/5	16,6	beżowo-kremowa	dość silny	dorosły	?	2 kości płaskie ze sklepienia czaszki (gracylne); fragment nasady kości długiej (zosiifikowana); trzony kości długich (ściany kanałów jam szpikowych średniej grubości)	kości mało diagnostyczne
ćw. NE; 20-30 cm; 61-1-b/5	7,6	beżowo-kremowa	dość silny	dorosły	?	trzony kości długich (ściany kanałów jam szpikowych średniej grubości)	kości mało diagnostyczne; 2 drobne fragmenty węgla
ćw. SE; 30-40 cm; 61-2-a/2	4	kremowo-biała	silny	adultus-maturus	?	3 fragmenty kości, w tym 1 fragment nasady kości długiej (zwarta istota gąbczasta), 2 fragmenty trzonów kości długich, w tym kości udowej (ściany kanałów jam szpikowych dość grube)	kości mało diagnostyczne
KURHAN 61							
ćw. NW; gł. 10-20 cm; 61-2-E/10	1,3	beżowo-kremowa	dość silny	dorosły	?	2 fragmenty trzonów kości długich (ściany kanałów jam szpikowych średniej grubości, dość gracylne)	kości mało diagnostyczne
ćw. SW; gł. 20-30 cm; 61-2-D8	1,1	beżowo-kremowa	dość silny	dorosły	?	1 fragment kości płaskiej ze sklepienia czaszki (gracylny); 1 fragment trzonu kości udowej (kresa chropawa średnia)	kości mało diagnostyczne

Obiekt	Masa (g)	Barwa	Stopień przepalenia	Wiek	Płeć	Wybrane kości diagnostyczne	Uwagi
ćw. NE; gł. 20 cm; ? nasypu; 61-2-b/8	3,7	biało-szara	dość silny	adultus -maturus	?	trzony kości długich (ściany kanałów jam szpikowych średniej grubości); fragment nasady kości długiej (zwarta istota gąbczasta)	kości mało diagnostyczne
ćw. NE; 30-40 cm; przy skupisku	2,6	biało-szara	dość silny	dorosły	?	7 fragmentów trzonów kości długich (ściany kanałów jam szpikowych dość gracylne)	kości mało diagnostyczne
ćw. NE; 40 cm; rów zwiadowczy; 61-2-E/11	10,6	biało-szara	dość silny	adultus -wczesny maturus	?	4 fragmenty kości, w tym 2 trzony kości długich (ściany kanałów jam szpikowych średniej grubości), 2 fragmenty nasad kości długich (zosityfikowane, zwarta istota gąbczasta)	kości mało diagnostyczne
ćw. NE; 30 cm	3,9	kremowo-beżowa	dość silny	dorosły	?	3 fragmenty trzonów kości długich (ściany kanałów jam szpikowych średniej grubości, gracylne)	kości mało diagnostyczne
ćw. SW; 20-30 cm; 61-2-d/8	2,9	kremowo-beżowa	dość silny	dorosły	?	2 fragmenty trzonów kości długich (ściany kanałów jam szpikowych dość grube)	kości mało diagnostyczne
ćw. NE; 0-20 cm; 61-2-c/9	6,9	kremowo-beżowa	dość silny	dorosły	?	8 fragmentów kości, w tym: trzony kości długich (ściany kanałów jam szpikowych średniej grubości, gracylne); fragment trzonu żuchwy (łuk zębowy dość duży, zębodoły po uzębieniu stałym)	kości mało diagnostyczne, część kości bardziej brązowa/rdzawa
ćw. SE; gł. ok. 40 cm; nasyk kurhanu; 61-2-E/11	4,2	biało-szara	silny	dorosły	?	3 fragmenty trzonów kości długich (ściany kanałów jam szpikowych średniej grubości)	kości mało diagnostyczne
ćw. NW; gł. 0,25; 61-2-E/11	0,8	kremowo-szara	dość silny	dorosły	?	1 fragment trzonu kości długiej (ściana kanału jamy szpikowej średniej grubości)	kości mało diagnostyczne
ćw. SE; 20-30 cm; 61-2-E/11	5,8	kremowo-szara	dość silny	dorosły (?)	?	fragmenty trzonów kości długich (ściany kanałów jam szpikowych średniej grubości, dość gracylne)	kości mało diagnostyczne; 1 fragment kości zwierzęcej
KURHAN 62							
ćw. NW; nasyk; gł. 20-25 cm; 61-2-B	12,8	beżowo-kremowa	dość silny	dorosły	?	trzony kości długich (ściany kanałów jam szpikowych średniej grubości); fragment wyrostka ramiennego kości łokciowej (zosityfikowany)	kości mało diagnostyczne
ćw. SW; gł. 20-30 cm; stok kurhanu; 61-2-C	2,9	biało-szara	dość silny	dorosły (?)	?	2 fragmenty trzonów kości długich (dość gracylne); 1 fragment nasady kości długiej (głowa kości śródreżca?)	kości mało diagnostyczne
ćw. NW; nasyk kurhanu; gł. 25-30 cm; 61-2-C	6,5	biało-szara	dość silny	dorosły	?	7 fragmentów trzonów kości długich (ściany kanałów jam szpikowych średniej grubości, dość gracylne)	kości mało diagnostyczne; 1 fragment węgla

Obiekt	Masa (g)	Barwa	Stopień przepalenia	Wiek	Płeć	Wybrane kości diagnostyczne	Uwagi
ćw. NE; gl. 20-25 cm; nasyp; 61-2-C	4,8	beżowo-kremowa	dość silny	dorosły	?	2 fragmenty trzonów kości długich (ściany kanałów jam szpikowych średniej grubości); 2 fragmenty nasad kości długich	kości mało diagnostyczne
ćw. SE; 0-20 cm; nasyp (duże skorupy wokół); 61-2-C/3	4,4	beżowo-kremowa	dość silny	dorosły	?	2 fragmenty kości płaskich ze sklepienia czaszki (gracylne); 6 fragmentów trzonów kości długich (ściany kanałów jam szpikowych średniej grubości)	kości mało diagnostyczne
ćw. NW; gl. 0-20 cm; 61-2-C	7,1	kremowo-beżowa	dość silny	adultus-maturus	?	6 fragmentów trzonów kości długich (ściany kanałów jam szpikowych średniej grubości); 2 fragmenty nasad kości długich (zwarta istota gąbczasta)	kości mało diagnostyczne
ćw. NW; gl. 25 cm; 61-2-A	25,6	beżowo-kremowa	dość silny	dorosły	?	trzony kości długich, w tym kość piszczelowa (ściany kanałów jam szpikowych średniej grubości); drobne fragmenty nasad kości długich	kości mało diagnostyczne; fragmenty ceramiki, węgla
ćw. NE; gl. 19-20 cm; 61-2-C	6,4	kremowo-szara	silny	dorosły	?	trzony kości długich (ściany kanałów jam szpikowych średniej grubości)	kości mało diagnostyczne
ćw. SE; palenisko; 61-2-C	4,7	beżowo-szara	silny	dorosły (?)	?	trzony kości długich (ściany kanałów jam szpikowych średniej grubości, dość gracylne)	kości mało diagnostyczne; drobne fragmenty węgla
KURHAN 63							
ćw. NE; gl. 20 cm; 61-2-B	3,9	kremowo-brązowa	słaby	-	-	-	zęby zwierzęce
KURHAN 64							
ćw. SW; gl. 30-40 cm; nasyp; 61-2-B/2	0,4	kremowo-biała	silny	dorosły (?)	?	1 fragment ze sklepienia czaszki (gracylny)	kość mało diagnostyczna
KURHAN 65							
Ćw. NE; gl. 50-60 cm; 61-2-C/3	1,9	beżowo-kremowa	silny	?	?	5 fragmentów trzonów kości długich (dość gracylne)	kości mało diagnostyczne, ludzkie; 1 fragment kości zwierzęcej (?)
ćw. NE; nasyp; gl. 40-50 cm; 1-2-C/4	7,3	beżowo-kremowa	silny	dorosły	?	1 fragment kości płaskiej ze sklepienia czaszki (dość gracylny); 1 fragment obojczyka; trzony kości długich (ściany kanałów jam szpikowych średniej grubości)	kości mało diagnostyczne; 1 fragment ceramiki; węgle drzewne
ćw. NO; 61-2-C/4	0,6	beżowo-kremowa	dość silny	?	?	4 drobne fragmenty trzonów kości długich (dość gracylne)	kości mało diagnostyczne, ludzkie; 2 fragmenty ceramiki; kości zwierzęce (?)
ćw. SE; gl. 20-30 cm; 61-2-b/6	1,3	beżowo-kremowa	silny	dorosły	?	4 fragmenty trzonów kości długich (ściany kanałów jam szpikowych średniej grubości)	kości mało diagnostyczne

Obiekt	Masa (g)	Barwa	Stopień przepalenia	Wiek	Płeć	Wybrane kości diagnostyczne	Uwagi
ćw. NE; gł. 50-60 cm; nasyb; 61-2-C/4	7,3	kremowo- biała	silny	dorosły	?	trzone kości długich (ściany kanałów jam szpikowych średniej grubości, gracylne); 1 fragment nasady kości długiej	kości mało diagnostyczne; 2 fragmenty ceramiki
KURHAN 66							
ćw. NE; gł. 20-30 cm; 61-2-C/6	2	beżowo- kremowa	silny	-	-	-	kości zwierzęce (?)
ćw. SE; gł. 20-30 cm; 61-2-C/6	0,3	beżowo- kremowa	dość silny	?	?	4 drobne fragmenty trzonów kości długich (gracylne)	kości mało diagnostyczne, ludzkie
KURHAN 67							
ćw. SW; gł. 0-20 cm; nasyb; 61-2-B/5	3,5	kremowo- biała	silny	dorosły	?	3 fragmenty trzonów kości długich (ściany kanałów jam szpikowych średniej grubości, dość masywne urzeźbienie), w tym kość udowa	kości mało diagnostyczne
ćw. NE; gł. 30-40 cm; 61-2-B/5	5,9	beżowo- kremowa	dość silny	dorosły	?	3 fragmenty kości płaskich ze sklepienia czaszki (średniej grubości, dość gracylne); 5 fragmentów trzonów kości długich (ściany kanałów jam szpikowych średniej grubości)	kości mało diagnostyczne
ćw. NW; gł. 20-25 cm; 61-2-B/8	13,5	beżowo- kremowa	dość silny	dorosły	?	trzone kości długich (duże rozmiary kości, ściany kanałów jam szpikowych średniej grubości, dość masywne)	kości mało diagnostyczne
ćw. NE; gł. 20-30 cm; 61-2-B/8	1,9	kremowo- szara	dość silny	dorosły (?)	?	4 fragmenty trzonów kości długich (gracylne, ściany kanałów jam szpikowych średniej grubości); 2 fragmenty nasad kości długich (zwarła istota gąbczasta)	kości mało diagnostyczne
ćw. SW; nasyb; gł. 20-30 cm; 61-2-b/4	17,4	?	?	dorosły	?	kości płaskie ze sklepienia czaszki (średniej grubości, gracylne); fragment części skalistej kości skroniowej (średniej wielkości); fragment rzepki (?) – dość duża; trzone kości długich (ściany kanałów jam szpikowych średniej grubości)	kości niezbyt diagnostyczne
ćw. SW; nasyb; gł. 20-30 cm; 61-2-b/4; metry 0-2	0,8	kremowo- popielata	dość silny	?	?	drobne fragmenty trzonów kości długich (gracylne)	kości mało diagnostyczne, ludzkie
ćw. NE; gł. 20-30 cm; obwód kurhanu; 61-2-B/4	2,2	kremowo- szara	dość silny	dorosły	?	2 fragmenty trzonów kości długich (ściany kanałów jam szpikowych średniej grubości)	kości mało diagnostyczne
ćw. NE; nasyb; gł. 60 cm; 61-2-B/8	1,2	beżowo- biała	dość silny	?	?	2 fragmenty trzonów kości ludzkich (dość gracylne)	kości mało diagnostyczne, prawdopodobnie ludzkie

Obiekt	Masa (g)	Barwa	Stopień przepalenia	Wiek	Płeć	Wybrane kości diagnostyczne	Uwagi
KURHAN 68							
ćw. SE (III) nasymp; gł. 20-50 cm; 61-2-B/7	2,4	kremowo-beżowa	dość silny	adultus-wczesny maturus	?	1 fragment nasady kości długiej (zwarta istota gąbczasta); 1 fragment trzonu kości długiej (ściana kanału jamy szpikowej średniej grubości)	kości mało diagnostyczne
ćw. SW (II); gł. 20-40 cm; 61-2-E/9	1,3	beżowo-kremowa	dość silny	dorosły (?)	?	2 fragmenty trzonów kości długich (ściany kanałów jam szpikowych średniej grubości)	kości mało diagnostyczne
ćw. SW (I), gł. 20-50 cm; 61-2-E/9	0,9	beżowo-kremowa	dość silny	dorosły	?	1 fragment trzonu kości długiej (ściana kanału jamy szpikowej średniej grubości)	kość mało diagnostyczna

Jak można zauważyć we wcześniejszym zestawieniu (Tab. 1), kości z poszczególnych kurhanów zostały podzielone na liczne próbki i skupiska. Wyniki analizy antropologicznej pozwoliły na uproszczenie i hipotetyczne ujednoczenie wszystkich oznaczeń. W tabeli

zamieszczonej poniżej znajdują się podstawowe oznaczenia wieku i płci osób zidentyfikowanych w poszczególnych kurhanach, bez uwzględnienia skupisk kości (Tab. 2).

Tab. 2. Lipsko-Polesie, gm. Zamość. Zestawienie zbiorcze osobników w poszczególnych kurhanach.

Tab. 2. Lipsko-Polesie, commune Zamość. Summary list of individuals in individual barrows.

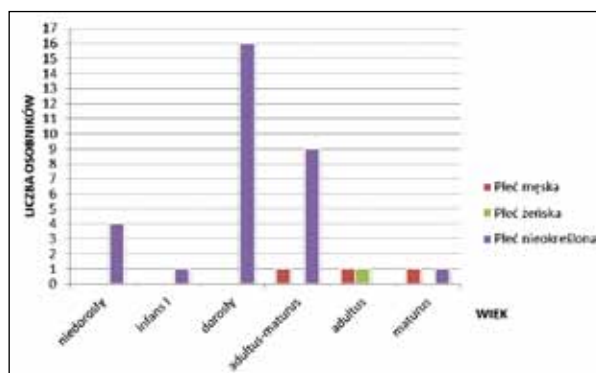
L.p.	Obiekt	Wiek	Płeć	Uwagi
1	KURHAN 1	dorosły niedorosły (?)	? ?	kości zwierzęce; niedorosły – być może domieszka wtórna (?)
2	KURHAN 7	<i>adultus-wczesny maturus</i>	?	kości zwierzęce
3	KURHAN 8	dorosły niedorosły (?)	? ?	dziecko – domieszka kości wtórna (?)
4	KURHAN 9	<i>adultus-maturus</i>	M?	zęby zwierzęce (koń?); szczątkowy <i>suturametopica</i>
5	KURHAN 12	<i>adultus-wczesny maturus</i>	?	-
6	KURHAN 20	-	-	wszystkie kości prawdopodobnie zwierzęce
7	KURHAN 24	wczesny <i>maturus</i> (35–40)	?	kości zwierzęce; zmiany przeciążeniowe kręgosłupa (nieznacznie spłaszczone trzony kręgow)
8	KURHAN 25	dorosły	?	kości zwierzęce
9	KURHAN 27	dorosły (?)	?	-
10	KURHAN 29	<i>adultus-wczesny maturus</i>	?	kości zwierzęce
11	KURHAN 31	dorosły niedorosły (?)	? ?	niedorosły – być może domieszka wtórna (?)
12	KURHAN 32	<i>adultus-maturus</i>	?	-
13	KURHAN 34	dorosły	?	kość zwierzęca (?)
14	KURHAN 35	<i>późnyadultus</i>	M?	kości zwierzęce wysokość ciała: 171–175 cm
15	KURHAN 37	dorosły	?	-
16	KURHAN 38	dorosły	?	-
17	KURHAN 40	dorosły	?	nieprzepalona kość zwierzęca
18	KURHAN 41	niedorosły (?)	?	-
19	KURHAN 42	dorosły <i>infans I</i> (?)	? ?	kości zwierzęce
20	KURHAN 46	?	?	kość prawdopodobnie ludzka

L.p.	Obiekt	Wiek	Płeć	Uwagi
21	Grób jamowy przy kurhanie 46 (lateński?)	<i>adultus-maturus</i>	?	-
22	KURHAN 47	dorośli	?	kości zwierzęce
23	KURHAN 52	dorośli	?	-
24	KURHAN 56	<i>adultus-wczesny maturus</i>	?	kości zwierzęce
25	KURHAN 58	<i>adultus(25-35)</i>	F	kości i zęby zwierzęce
26	KURHAN 59	dorośli (?)	?	-
27	KURHAN 60	<i>wczesny maturus</i>	M?	kości zwierzęce; nieznaczne osteofity na brzegach trzonów kręgów lędźwiowych
28	KURHAN 61	<i>adultus-wczesny maturus</i>	?	kość zwierzęca
29	KURHAN 62	<i>adultus-maturus</i>	?	-
30	KURHAN 63	-	-	zęby zwierzęce
31	KURHAN 64	dorośli (?)	?	-
32	KURHAN 65	dorośli	?	kości zwierzęce
33	KURHAN 66	?	?	kości zwierzęce (?)
34	KURHAN 67	dorośli	?	-
35	KURHAN 68	<i>adultus-wczesny maturus</i>	?	-

W sumie udało się oznaczyć pod względem wieku lub/i płci szczątki 35 osobników pochodzących z 33 kurhanów (por. Ryc. 1). W kurhanach 46 i 66 niewielka diagnostyczność i mała liczba kości nie pozwoliły na oznaczenia przybliżonego wieku i płci pochowanych tam osób. Ze względu na słaby stan zachowania materiału część oznaczeń jest niepewna (znaki zapytania). Szczególnie dotyczy to pochówków podwójnych (kurhany 1, 8, 31 i 42), które mogą być pozorne. Szczątki dzieci mogą tam być zarówno domieszkami wtórnymi (np. z obszaru ustryny), jak też mogą być błędnie sklasyfikowane ze względu na małą diagnostyczność i niewielką ich liczbę.

Jak można zauważyć (Ryc. 1), na cmentarzysku kurhanowym w Lipsku-Polesiu zdecydowanie dominują osoby dorosłe, zmarłe raczej w sile wieku (*adultus-maturus*), niż na starość (*senilis*). Przy założeniu wspomnianych wcześniej błędnych oznaczeń osobników niedorośli z kurhanów 1, 8, 31 i 42, stanowiliby oni zdecydowaną większość. Niewielka liczba oznaczeń płciowych nie pozwala na wnioski o charakterze statystycznym. Można jedynie odnotować wystąpienie pośród pochowanych trzech dorosłych mężczyzn i jednej kobiety.

Zmiany chorobowe pozostawiające ślady na kościach zaobserwowano na szczątkach dwóch osób z kurhanu 24 i 60. W obydwu przypadkach dotyczyły one kręgosłupa, przy czym u osobnika z kurhanu 24 miały one charakter przeciążeniowy (spłaszcze-

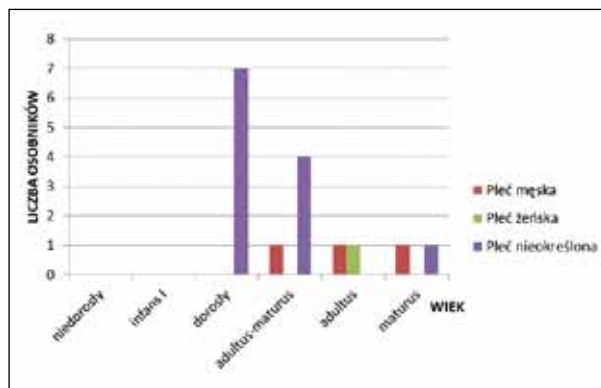


Ryc. 1. Lipsko-Polesie, gm. Zamość. Struktura wieku i płci osobników.
Fig. 1 Lipsko-Polesie, commune Zamość. Age and sex structure of individuals.

nie trzonów kręgów), zaś u dojrzałego mężczyzny z kurhanu 60 zaobserwowano osteofity na brzegach trzonów kręgów lędźwiowych. Schorzenia te miały związek z postępującym z wiekiem procesem zwyrodnieniowym, niezbyt korzystnymi warunkami bytowania oraz ciężką pracą fizyczną. Ponadto na czaszce dorosłego mężczyzny z kurhanu 9 odnotowano dodatkowy szew czołowy (*suturametopica*), mający charakter osobniczy. W jednym wypadku (kurhan 35) udało się też odtworzyć wysokość ciała zmarłego mężczyzny, która wynosiła 171–175 cm.

Aż w 19 kurhanach (1, 7, 9, 20, 24, 25, 29, 34, 35, 40, 42, 47, 56, 58, 60, 61, 63, 65, 66) odnotowano kości i zęby zwierzęce. Towarzystwo kościom

ludzkiem z wyjątkiem kurhanów 20 i 63, gdzie, jak już wspomniano, wystąpiły wyłącznie kości zwierzęce. Ponadto z analizy wyłączono kości zwierzęce z kurhanu 66, gdzie nie możliwe było oznaczenie wieku lub/i płci współtowarzyszącego im osobnika. W sumie zatem analizą objęto kości zwierzęce z 16 kurhanów (por. Ryc. 2).



Ryc. 2. Lipsko-Polesie, gm. Zamość. Osoby, przy których znaleziono kości zwierzęce.

Fig. 2 Lipsko-Polesie, commune Zamość. People next to whom animal bones were found.

Jak można zauważyć (Ryc. 2), na cmentarzystwo w Lipsku-Polesiu kości zwierzęce towarzyszyły w szczególności osobom dorosłym, zmarłym w sile wieku (*adultus-maturus*). Można też odnotować, że wystąpiły one w trzech grobach męskich (kurhan 9, 35, 60) i jednym kobiecym (kurhan 58).

Analiza statystyczna stopnia przepalenia szczątków okazała się bezzasadna, gdyż już pobieżny rzut oka na tabelę zbiorczą materiałów kostnych (por. Tab. 1) pokazuje, że kości były przepalone wyłącznie silnie lub dość silnie. Wskazuje nam to pośrednio na sposób dokonania samego procesu kremacji, będący odbiciem wysokiej temperatury stosu i długotrwałych rytuałów pogrzebowych (J. Strzałko, J. Piontek, A. Malinowski 1973, s. 180–183; J. Szydlowski 1974). W Lipsku-Polesiu nie zaobserwowano zróżnicowania stopnia przepalenia szczątków ze względu na wiek czy płć, co wskazuje, że po śmierci obchodzono się raczej podobnie ze zwłokami kobiet, mężczyzn oraz dzieci.

Uzyskane wyniki analizy antropologicznej pozwoliły w bardzo ograniczonym stopniu zrekonstruować biostrukturę ludności użytkującej cmentarzystwo kurhanowe w Lipsku-Polesiu. Przede

wszystkim jest to spowodowane obrządkiem ciałopalenia, znacznie zmniejszającym możliwości odtworzenia procesów biologiczno-demograficznych. Niekompletność i słaby stan zachowania materiału kostnego sprawia, iż nie można wykluczyć przypadkowości niektórych przedstawionych tu ustaleń.

Bibliografia

- Bass W. M.
1995 *Human osteology: a laboratory and field manual*, Missouri Archeological Society, Springfield.
- Buikstra J. E., Ubelaker D. H.
1994 *Standards for Data Collection from Human Skeletal Remains. Proceedings of a Seminar at The Field Museum of Natural History*, Arkansas Archeological Survey, Research Series 44, Fayetteville Ark.
- Dzierżykraj-Rogalski T.
1960 *Szczątki kostne z grobów ciałopalnych jako przedmiot badań antropologicznych*, „Człowiek w czasie i przestrzeni”, 3, z. 1 (9), s. 49–51.
- 1968 *Uwagi metodologiczne o badaniu szczątków kostnych z grobów ciałopalnych*, [w:] K. Jażdżewski (red.), *Liber Iosepho Kostrzewski octogenario a veneratoribusdicatus*, Wrocław-Warszawa-Kraków, s. 627–635.
- Gładkowska-Rzeczycka J.
1972 *Historia, rozwój i wyniki badań materiałów kostnych z cmentarzystwa ciałopalnych ze szczególnym uwzględnieniem Polski*, „Pomorania Antiqua” 4, s. 21–67.
- 1974 *O metodach stosowanych w badaniach materiałów kostnych z ciałopalnych cmentarzystwa*, [w:] H. Giżyńska (red.), *Metody, wyniki i konsekwencje badań kości z grobów ciałopalnych. Materiały z sesji naukowej w dniu 25 III 1972 roku*, Seria Antropologia 2, UAM, Poznań, s. 85–92.
- 1976 *Zmiany w układzie kostnym ludności ze średniowiecznych cmentarzystwa*, [w:] *Badania populacji ludzkich na materiałach współczesnych i historycznych*, Seria Antropologia 4, UAM, Poznań, s. 85–102.
- Lovejoy C. O.
1985 *Dental wear in the Libben population: Its functional pattern and role in the determination of adult skeletal age at death*, „American Journal of Physical Anthropology” 68, s. 47–56.
- Malinowski A.
1974 *Historia i perspektywy antropologicznych badań grobów ciałopalnych*, [w:] H. Giżyńska (red.), *Metody, wyniki i konsekwencje badań kości z grobów ciałopalnych. Materiały z sesji naukowej w dniu 25 III 1972 roku*, Seria Antropologia 2, UAM, Poznań, s. 7–15.
- Ortner D. J.
2003 *Identification of Pathological Conditions in Human Skeletal Remains*, San Diego & London: Academic Press.
- Piontek J.
1996 *Biologia populacji pradziejowych. Zarys metodyczny*, Poznań.

Pyżuk M.

2004 *Antropologiczna interpretacja szczątków kostnych populacji kultur przeworskiej i wielbarskiej z Kolożebia, pow. Płońsk*, „Archeologia Polski” XLIX, z. 1-2, s. 33–48.

Stanaszek Ł. M.

2008 *Analiza antropologiczna materiału kostnego z cmentarzyska w Dziecinowie, pow. otwocki*, „Wiadomości Archeologiczne” LX, s. 321–334.

2017 *Analiza antropologiczna materiału kostnego z cmentarzyska kultury przeworskiej w Legionowie*, [w:] W. Nowakowski, W. Orliński, M. Woińska (red.), *Relacje kultury przeworskiej i lateńskiej na Mazowszu. Wnioski z badań cmentarzyska przeworskiego w Legionowie CSP*, Legionowo-Warszawa, s. 161–206.

Strzałko J., Henneberg M.

1975 *Określanie płci na podstawie morfologii szkieletu*, „Przegląd Antropologiczny” 41, z. 1, s. 105–126.

Strzałko J., Piontek J., Malinowski A.

1972 *Problem rekonstrukcji wzrostu na podstawie kości zachowanych we fragmentach lub spalonych*, „Przegląd Antropologiczny” 38, z. 2, s. 277–287.

1973 *Teoretyczno-metodyczne podstawy badań kości z grobów ciałopalnych*, „Materiały i Prace Antropologiczne” 85, s. 179–201.

1974 *Możliwości identyfikacji szczątków ludzkich z grobów ciałopalnych w świetle wyników badań eksperymentalnych*, [w:] H. Giżyńska, *Metody, wyniki i konsekwencje badań kości z grobów ciałopalnych. Materiały z sesji naukowej w dniu 25 III 1972 roku*, Seria Antropologia 2, UAM, Poznań, s. 31–42.

Szydłowski J.

1974 *Z badań kremacji w pradziejach*, [w:] H. Giżyńska (red.), *Metody, wyniki i konsekwencje badań kości z grobów ciałopalnych. Materiały z sesji naukowej w dniu 25 III 1972 roku*, Seria Antropologia 2, UAM, Poznań, s. 71–76.

Trotter M., Gleser G. C.

1952 *Estimation of stature from long bones of American Whites and Negroes*, „American Journal of Physical Anthropology” 10, s. 463–514.

Ubelaker D. H.

1978 *Human skeletal remains. Excavation, analysis, interpretation*, Chicago.

ANTHROPOLOGICAL ANALYSIS OF BONE MATERIAL FROM THE BARROW CEMETERY IN LIPSKO-POLESIE

The human bones being the subject of anthropological analysis come from archaeological research carried out in the barrow cemetery in Lipsko-Polesie, municipality Zamość. The main task of the analysis was to estimate the number, age and sex of individuals, as well as to register all pathological changes (anomalies), leaving visible marks on bones. In addition, all additional information (i.e. weight, state of preservation, colour and charring degree of the bone or lack thereof, or the coexistence of animal bones) that could be helpful in reconstructing the prevailing burial habits was noted.

The fragmented and incomplete bone material came from 33 barrows, divided into numerous clusters (Tab. 1). The results of the anthropological analysis allowed for simplification and hypothetical unification of all determinations (Tab. 2). In total, it was possible to determine the remains of 35 individuals in terms of age and/or sex (see Fig. 1). Due to the poor condition of the material, some of the determinations are uncertain (question marks). This is especially true of double burials (barrows Nos. 1, 8, 31 and 42), which may be deceptive. Children's remains can be there both

secondary admixtures (e.g. from the area of ustrina), and can be incorrectly classified due to their low diagnostic usefulness and small number.

As can be seen (Fig. 1), adults, who died in their prime (*adultus-maturus*) rather than old age (*senilis*), definitely dominate in the barrow cemetery in Lipsko-Polesie. The small number of sex determinations does not allow for statistical conclusions. Among the dead buried there can only be noted the occurrence of three adult men and one woman.

Degenerative changes leaving traces on bones were observed on the remains of two individuals from barrows 24 and 60. In both cases, they concerned the spine, while in the individual from the barrow No. 24 they were of overloading nature (flattening of vertebral bodies), and in a mature man from the barrow No. 60, osteophytes were observed on the edges of the bodies of the *lumbar vertebrae*. These diseases were related to the degenerative process progressing with age, not very favorable living conditions and hard physical work. Moreover, an additional frontal suture (*suturametopica*) of an individual character was noted on the skull of an adult man from the barrow No. 9.

In one case (barrow No. 35), it was also possible to reconstruct the height of the deceased man, which was 171-175 cm.

As can be seen (Fig. 2), in the cemetery in Lipsko-Polesie, animal bones were accompanying, in particular, adults who died in their prime of life (*adultus-maturus*). It can also be noted that they occurred in three male graves (barrows Nos. 9, 35, 60) and one female (barrow No. 58).

The statistical analysis of the degree of cauterisation of the remains turned out to be unjustified, as already a cursory glance at the summary table of bone materials (see Tab. 1) shows that the bones were burned solely strongly or quite strongly. This indirectly indicates how the cremation process itself was carried out,

being a reflection of the high temperature of the pyre and lengthy funeral rituals. There was no difference in the degree of cauterisation of the remains by age or sex, which indicates that after death, the bodies of women, men and children were handled rather similarly.

The obtained results of anthropological analysis made it possible, to a very limited extent, to reconstruct the biostructure of the population using the barrow cemetery in Lipsko-Polesie. First of all, it is associated with the cremation ritual, which significantly reduces the possibility of restoring biological and demographic processes. Due to the incompleteness and poor condition of the bone material, the randomness of some of the findings presented here cannot be ruled out.

Zwierzęce szczątki kostne z wczesnośredniowiecznych kurhanów na cmentarzysku w Lipsku-Polesiu

Joanna Piątkowska-Matecka

W 1921 r. w miejscowości Lipsko-Polesie odkryto wczesnośredniowieczne cmentarzysko kurhanowe. W kolejnych latach 1922–1923 i 1952–1956 pracownicy Państwowego Muzeum Archeologicznego w Warszawie przeprowadzili tam badania wykopaliskowe, którymi kierował odkrywca stanowiska M. Drewko. W latach 20. XX w. zidentyfikowano ok. 70 mogił o wysokości nasypów ok. 1 m. Współcześnie w krajobrazie widocznych jest 28 kopców o mniejszej wysokości, tj. ok. 20–50 cm, i zróżnicowanym stanie zachowania, które objęto ochroną konserwatorską w 1968 r. Podczas prac archeologicznych zbadano co najmniej 38 kopców. Kurhany zlokalizowane były w dwóch grupach: południowej (co najmniej 52), którą datowano na VII–VIII w. i północnej (co najmniej 12) z X w. Zawierały one pochówki ciałopalne popielnicowe (M. Drewko 1921; 1923; 1953; 1954; 1956; 1957; E. Prusicka-Kolcon 2008). W niektórych z nich odnaleziono zwierzęce szczątki kostne, które poddano analizie archeozoologicznej. Celem niniejszej pracy jest prezentacja wyników tych badań oraz próba odtworzenia znaczenia zwierząt we wczesnośredniowiecznym obrządku pogrzebowym.

Materiał i metody jego opracowania

Materiał źródłowy stanowiły zwierzęce szczątki kostne pozyskane podczas sześciu sezonów prac wykopaliskowych przeprowadzonych na cmentarzysku w Lipsku-Polesiu. Zostały one wyselekcjonowane przez antropologa podczas oznaczania szczątków ludzkich. Wszystkie wyróżniały się bardzo złym sta-

nem zachowania, niewielkimi rozmiarami – większość nie przekraczała kilku milimetrów – oraz wybarwieniem na kolor szary i biały. Wybarwienie stanowi efekt przepalenia kości w wysokiej temperaturze rzędu 900–1000 stopni Celsjusza (J. Wahl 1981). Miało to istotny wpływ na fragmentację szczątków, ich odkształcenie i spękanie powierzchni. Zły stan zachowania kości znacząco ograniczył możliwości identyfikacji gatunkowej i anatomicznej. Poza szczątkami przepalonymi, w trzech obiektach (kurhany nr 9, 40 i 50) znaleziono nieprzebrane fragmenty kostne. Ze względu na stan zachowanej dokumentacji nie jest możliwa weryfikacja, czy można je wiązać z okresem wczesnego średniowiecza. Bardzo prawdopodobne jest, że pochodzą one z wtórnego złoża. W jednym z kurhanów odkryto sztyko wykonane z surowca kościanego.

Podczas analizy zastosowano standardową procedurę analityczną (E. J. Reitz, E. S. Wing 1999; A. Lasota-Moskalewska 2008). Materiał zidentyfikowano pod względem gatunkowym i anatomicznym, często jedynie w przybliżeniu. Spowodowane było to złym stanem zachowania szczątków, często pozbawionych cech dystynktywnych, umożliwiających ich kwalifikację. Podczas oznaczania materiału wspierano się kolekcją referencyjną znajdującą się w pracowni Katedry Bioarcheologii Wydziału Archeologii Uniwersytetu Warszawskiego. Dokonano obserwacji makro- i mikroskopowych. Ocenę ilościową szczątków przeprowadzono przy zastosowaniu metody globalnej liczby szczątków (NISP–Number of Identified Specimens per Species). W sytuacji, gdy dany fragment

rozpadł się wtórnie na kilka, liczonego go jako jeden. Ze względu na znaczący stopień zniszczenia kości nie pozyskano danych dotyczących wieku, płci i morfologii zwierząt. W przypadku kości małych przeżuwaczy nie zaobserwowano cech umożliwiających ich jednoznaczny identyfikację gatunkową, w związku z tym zaliczono je do wspólnej grupy „owca/koza”. Nie było możliwe wykonanie analizy rozmieszczenia szczątków w obrębie kurhanów (Ł. Miechowicz, w tym tomie). Informacje na temat szczątków zwierzęcych zestawiono z danymi antropologicznymi dotyczącymi liczby osobników pochowanych w poszczególnych obiektach, ich wieku i płci¹.

Charakterystyka szczątków kostnych

Do badań archeozoologicznych przekazano łącznie prawie 800 fragmentów kostnych wyselekcjonowanych podczas badań antropologicznych. Wydobyto je z 14 kurhanów spośród 41 uwzględnionych w katalogu grobów². Wyjątek stanowił kurhan nr 20, który nie został opisany w katalogu, gdzie znaleziono pojedyncze szczątki zwierząt, jednakże bez fragmentów kości ludzkich³. Nie wiadomo więc, czy był to pochówek ludzki z domieszką kości zwierzęcych. W zbiorze osteologicznym przekazanym do analizy, pod względem gatunkowym i anatomicznym z dużym prawdopodobieństwem zidentyfikowano 156 fragmentów, co stanowi 19,6% całego zbioru. Niski odsetek oznaczonych kości wskazuje na zły stan zachowania materiałów. Charakterystyka szczątków znalezionych w poszczególnych obiektach przedstawia się następująco:

1. Kurhan nr 1

W kurhanie nr 1 wyeksplorowanym w 1952 r., z pochówkiem typu nakurhanowego, datowanym na VIII–IX w., znaleziono łącznie siedem fragmentów kostnych, z czego pod względem gatunkowym i anatomicznym oznaczono cztery. Pochodziły one od owcy lub kozy i reprezentowały fragment żebra oraz trzy części kości piszczelowej. Nie można wykluczyć, że te ostatnie pierwotnie stanowiły jeden element anatomiczny. W obiekcie tym znajdowały się szczątki dwóch osobników o niestalonej płci – jeden był do-

rosły, drugi niedorosły. Sugeruje się, że pozostałości należące do niedorosłego osobnika mogły stanowić wtórną domieszkę⁴.

2. Kurhan nr 7

Kurhan nr 7, badany w 1955 r., z pochówkiem podkurhanowym, datowanym na VIII–IX w., zawierał dwa fragmenty kostne zwierząt, które z dużym prawdopodobieństwem pochodziły od konia. Były to trzon kości odcinka metapodialnego i fragment krąwędzi nasady bliższej członu palcowego. Pozostałości te towarzyszyły jednemu osobnikowi, którego wiek oznaczono jako *adultus*–wczesny *maturus*.

3. Kurhan nr 9

Kurhan nr 9, przebadany w 1952 r., reprezentował nakurhanowy typ pochówku, którego chronologię ustalono na VIII–IX w. Zawierał on liczne fragmenty pochodzące z jednego niespalonego zęba trzonowego bydła. Brak przepalenia sugeruje pochodzenie z wtórnego złoża. W obiekcie tym znaleziono również przedmiot kościany w typie szydła (nr. inw. V/7029, SW 30–40 cm). Wykonano go z doczaszkowej strony trzonu kości śródrezcza owcy lub kozy. Przedmiot ma kształt wydłużonego trójkąta o podstawie o szerokości 1,4 cm, umieszczonej pod nasadą bliższą, gdzie znajduje się niewielki otwór o średnicy 0,2 mm. Przeciwny koniec zaostrowany i uformowany w szpic. Przedmiot o długości 10 cm rozpadł się wtórnie na dwie części wzdłuż zrostu kości śródrezcza III i IV, a następnie został sklejonny. Ślady obróbki i ewentualnej pracy są niewidoczne z powodu stanu zachowania i zwietrzenia powierzchni kości⁵. W kurhanie tym znajdowały się szczątki jednego osobnika, najprawdopodobniej płci męskiej w wieku *adultus*–*maturus*.

4. Kurhan nr 20

W kurhanie nr 20 znaleziono 10 fragmentów kostnych, spośród których oznaczono trzy. Wszystkie pochodziły od konia i reprezentowały część trzonu kości promieniowej, odcinka metapodialnego i niezidentyfikowanej kości długiej. W obiekcie tym nie znaleziono szczątków ludzkich⁶. Obiekt ten nie został uwzględniony w spisie grobów.

¹ Zob. Ł.M. Stanaszek, w niniejszym tomie.

² Zob. Ł. Miechowicz, w niniejszym tomie.

³ Zob. Ł.M. Stanaszek, w niniejszym tomie.

⁴ Zob. Ł.M. Stanaszek w niniejszym tomie.

⁵ Zob. Ł. Miechowicz w niniejszym tomie.

⁶ Zob. Ł.M. Stanaszek w niniejszym tomie.

5. Kurhan nr 24

Kurhan nr 24 został wyeksplorowany w 1952 r., zawierał pochówek typu nakurhanowego lub nasypowego, a jego chronologię ustalono na VIII–X w. Znalezione tam dwa zwierzęce fragmenty kostne, z czego oznaczono część kości stępu świni. W obiekcie tym znajdowały się pozostałości jednego osobnika nieznaney płci w wieku wczesny *maturus* (30–40 lat).

6. Kurhan nr 25

W kurhanie nr 25 przebadanym w 1955 r., z pochówkiem nakurhanowym lub nasypowym datowanym na VIII–X w., odkryto ponad 730 silnie rozdrobnionych fragmentów kostnych. Zdecydowana większość z nich (ok. 600 fragmentów) nie miała cech diagnostycznych umożliwiających identyfikację gatunkową i anatomiczną. Pozostałe 131 sztuk, czyli ok. 18% całego zbioru, zakwalifikowano do konia oraz owcy lub kozy. Wśród kości konia wyróżniono następujące elementy: fragmenty żuchwy, żeber, łopatki, kości ramiennej, promieniowej, piszczelowej, odcinka metapodialnego, stępu, trzyczkę, fragmenty członów palcowych oraz trzonów bliżej nieoznaczonych kości długich. Kości należące do owcy lub kozy reprezentowały następujące elementy anatomiczne: czaszkę, kręgi, żebra, kości: ramienną, promieniową, łokciową, piszczelową i bliżej nieoznaczone kości długie. Skład anatomiczny szczątków sugeruje, że w kurhanie znajdowały się pojedyncze osobniki tych zwierząt. Współwystępowały one z pozostałościami jednego osobnika nieokreślonej płci w wieku dorosłym.

7. Kurhan nr 29

Kurhan nr 29, zbadany w 1956 r., zawierał pochówek nakurhanowy, którego chronologię ustalono na VIII–IX w. W obiekcie tym znaleziono siedem fragmentów kostnych zwierząt, z czego oznaczono dwa. Były to część nasady bliższej kości piszczelowej i członu palcowego świni. Towarzyszyły one szczątkom jednego osobnika nieokreślonej płci w wieku *adultus*–wczesny *maturus*.

8. Kurhan nr 35

Kurhan nr 35 został wyeksplorowany w 1953 r., zawierał pochówek nakurhanowy, którego chronologię ustalono na połowę VII–VIII w. Wśród szczątków kostnych znaleziono 10 fragmentów pochodzących

od zwierząt, z czego przynależność gatunkową i anatomiczną oznaczono w połowie przypadków. Należały one do owcy lub kozy i reprezentowały część czaszki, fragment trzonu kości piszczelowej oraz elementy stępu, w tym kość piętową i skokową. Szczątki ludzkie pochodziły od jednego osobnika, najprawdopodobniej mężczyzny w wieku późny *adultus*.

9. Kurhan nr 40

Kurhan nr 40 zbadano w 1955 r., zawierał on pochówek nakurhanowy, datowany na VIII–IX w. Znalezione tam nieprzepalony fragment kości ptaka niezidentyfikowanego gatunku. Istnieje duże prawdopodobieństwo, że pochodził on z wtórnego złoża. W obiekcie tym znajdowały się szczątki jednego dorosłego osobnika nieokreślonej płci.

10. Kurhan nr 42

W kurhanie nr 42, wyeksplorowanym w 1955 r., znajdował się pochówek podkurhanowy oraz nakurhanowy lub nasypowy z VIII–IX w. Znalezione tam 14 bardzo drobnych fragmentów kostnych, których nie udało się oznaczyć. Pochowano tam dwa osobniki o nieustalonej płci – dorosłego i w wieku *infans* I.

11. Kurhan nr 47

Kurhan nr 47 został wyeksplorowany w 1952 r., zawierał pochówek o nieokreślonej formie pochodzący z VIII–IX w. Odkryto tam cztery szczątki zwierzęce, z czego oznaczono jeden fragment kości stępu konia. W obiekcie tym pochowano dorosłego osobnika nieokreślonej płci.

12. Kurhan nr 56

W kurhanie nr 56, zbadanym w 1955 r., znajdował się pochówek podkurhanowy datowany na VIII–IX w. Znalezione w nim cztery fragmenty kostne, wśród których jeden stanowił część kości stępu konia. Pozostałości te współwystępowały ze szczątkami jednego osobnika nieokreślonej płci w wieku *adultus*–wczesny *maturus*.

13. Kurhan nr 58

Kurhan nr 58, wyeksplorowany w 1955 r. zawierał pochówek podkurhanowy, datowany na VIII–IX w. Znalezione tam dwa fragmenty żeber i część kości piszczelowej owcy lub kozy oraz dwa zęby przedtrzonowe lub trzonowe konia. Te ostatnie nie były

przepalone, w związku z tym niema pewności, czy pochodzą z wczesnego średniowiecza. W obiekcie tym odkryto pozostałości jednego osobnika w wieku *adultus* (25–35 lat).

14. Kurhan nr 63

Kurhan nr 63, zbadany w 1956 r., najprawdopodobniej zawierał pochówek nasypowy datowany na VIII–IX w. Znalaziono w nim pokruszone fragmenty jednego, zniszczonego, nieprzealonego zęba przedtrzonowego lub trzonowego bydła. Nie ma pewności, czy elementy te można wiązać z okresem wczesnego średniowiecza, tym bardziej, że w obiekcie nie odnotowano szczątków ludzkich.

Podsumowanie analizy

Przealone szczątki zwierząt znalezione w różnego typu pochówkach kurhanowych na wczesnośredniowiecznym cmentarzysku w Lipsku-Polesiu odzwierciedlają część rytuałów pogrzebowych stosowanych przez użytkowników tej nekropolii. Fragmenty kostne w przeważającej większości stanowiły resztki pokonsumpcyjne, wyjątkowo odkrywano pozostałości całych lub prawie całych zwierząt. Z analizy składu gatunkowego wynika, że należały one prawie wyłącznie do ssaków udomowionych. Tylko w jednym przypadku oznaczono kość ptaka (kurhan 40). Był to nieprzealony fragment kości długiej. Nie wiadomo jednak, czy można wiązać go z wczesnym średniowieczem. Pozostałe elementy pochodziły od ssaków. Dominowały wśród nich kości konia i małych przeżuwaczy – owcy lub kozy. Rzadziej występowały resztki kostne świni i bydła. Ostatni gatunek reprezentowany był przez pojedyncze fragmenty rozkruszonych zębów, które znalaziono w dwóch obiektach nr 9 i 63. Brak przepalania sugeruje, że mogą one pochodzić ze złoża wtórnego i wówczas nie należy wiązać ich z wczesnym średniowieczem. Dodatkowo w obiekcie nr 63 nie twierdzono kości ludzkich. W grobie nr 9 wystąpiły szczątki najprawdopodobniej mężczyzny w wieku *adultus*. Nieliczne pozostałości kostne świni odkryto w dwóch obiektach nr 24 i 29. W kurhanie nr 24 znalaziono fragment kości stępu, a w 29 – fragment trzonu kości piszczelowej i członu palcowego. Pochówki te zawierały szczątki pojedynczych osobników o nieustalonej płci w wieku *adultus*–wczesny *maturus*.

Najliczniejsze fragmenty kostne konia oraz owcy i kozy na ogół występowały w niewielkiej liczbie. Wyjątkiem był kurhan nr 25, gdzie odnotowano ich znacząco więcej (ponad 650 sztuk) i należały one do dwóch gatunków zarówno konia, jak i owcy lub kozy. Najprawdopodobniej pochodziły od pojedynczych osobników tych gatunków, co potwierdzają obserwacje składu anatomicznego. Oznaczono wśród nich fragmenty pochodzące z różnych części szkieletu – czaszki, tułowia i kończyn wraz z członami palcowymi. Szczątki te znajdowały się w obiekcie wraz z pochówkiem jednego osobnika o nieustalonej płci w dorosłym wieku. Współwystępujące kości dwóch gatunków konia i owcy lub kozy znalaziono również w kurhanie nr 58, gdzie pochowano osobnika o nieustalonej płci w wieku *adultus*. W tym przypadku zęby konia nie były przepalone, co sugeruje wtórną domieszkę.

W pozostałych obiektach odnotowano szczątki tylko jednego gatunku. Pojedyncze kości konia znalaziono w pięciu obiektach (nr 7, 20, 47, 56 i 58). Były to głównie małowartościowe elementy anatomiczne reprezentujące fragmenty z dystalnych odcinków kończyn (kości stępu, odcinka metapodialnego i człony palcowe). Wyjątek stanowił obiekt nr 20, w którym znalaziono wartościowy pod względem konsumpcyjnym fragment trzonu kości promieniowej. Szczątki konia występowały w kurhanach, gdzie najczęściej znajdowano pochówki pojedynczych osobnikowo nieokreślonej płci w wieku *adultus*, ewentualnie *adultus* – wczesny *maturus*. Wyjątkowy był obiekt 20, gdzie nie odnotowano szczątków ludzkich.

Fragmenty kostne owcy lub kozy odkryto w czterech obiektach (nr 1, 35, 58 oraz wspomnianym powyżej kurhanie 25). W pierwszym znalaziono fragment żebra i kości piszczelowej, w kolejnym elementy czaszki, kości piszczelowej i trzy kości stępu, w ostatnim część żebra i kości piszczelowej. Wydaje się, że w przypadku małych przeżuwaczy do grobów częściej wkładano elementy wartościowe pod względem konsumpcyjnym. Szczątki tych gatunków towarzyszyły pochówkom pojedynczych osób w zróżnicowanym wieku – *adultus*, późny *adultus* i dorosły. Płeć męską z pewnym prawdopodobieństwem oznaczono tylko w przypadku materiałów z obiektu nr 35.

Ze względu na ogólnie małą liczbę szczątków poszczególnych gatunków zwierząt trudno jest stwierdzić występowanie prawidłowości w zakresie wyboru

określonych partii tuszy składanych do grobów. Skład anatomiczny sugeruje, że zwierzęta były porcjowane przed spaleniem na stosie i złożeniem do grobów. Wyjątkiem jest kurhan nr 25, gdzie należy liczyć się z możliwością złożenia całych, pojedynczych osobników konia i owcy lub kozy.

Nie uzyskano danych na temat wieku i płci zwierząt. Ocena stopnia skostnienia szczątków sugeruje jednak, że pochodziły one od zwierząt o ukończonym wzroście, czyli dorosłych pod względem morfologicznym.

Szczątki zwierząt odnotowano zarówno w kurhanach zawierających pochówki nakurhanowe, jak i podkurhanowe, ewentualnie nasypowe, przy czym nie zaobserwowano żadnych preferencji w tym zakresie. Zdecydowana większość obiektów, w których znajdowały się kości zwierząt datowana była na VIII–IX w. Wyjątkiem był kurhan nr 35, którego chronologię ustalono na połowę VII–VIII w.

Omówienie wyników

Zwierzęce szczątki kostne znalezione w niektórych kurhanach na wczesnośredniowiecznej nekropolii w Lipsku-Polesiu są pozostałością praktyk rytualnych związanych z obrzędkiem pogrzebowym Słowian. Najczęściej stanowiły one domieszkę do pochówków ludzkich i trafiały na stos pogrzebowy, a następnie do grobów jako część ofiary składanej podczas chowania zmarłych. Zjawisko to notuje się również na innych cmentarzyskach z tego okresu (Ł. Miechowicz 2021). Ocena różnych elementów związanych z rekonstrukcją znaczenia zwierząt w obrzędku pogrzebowym jest utrudniona z powodu stanu badań zarówno archeologicznych, jak i archeozoologicznych, a głównie wynika z braku szczegółowych opracowań specjalistycznych. W wielu publikacjach powtarza się jedynie ogólna informacja o obecności kości zwierzęcych w niektórych grobach. Przykładem są dane m.in. ze stanowiska w Batorzu (M. Florek 2011, s. 61), Wielkopoli (H. Wróbel 1990, s. 11, 12) czy Kornatkach (H. Zoll-Adamikowa 1975, s. 120) i wielu innych. Z danych zebranych w pracy Ł. Miechowicza (2021) wynika, że kości zwierząt odkryto dotychczas w 116 pochówkach znajdujących się na 37 cmentarzyskach zlokalizowanych na terenie ziem polskich. Oznaczenia osteologiczne znane są jedynie dla 34 pochówków z 25 nekropolii. Stan badań uniemożliwia więc precy-

zyjną ocenę zjawiska związanego ze składaniem ofiar zwierzęcych wśród Słowian. Wydaje się, że pod tym względem cmentarzysko w Lipsku-Polesiu wyróżnia się dość dużą liczbą obiektów, w których odkryto szczątki kostne zwierząt. Odnotowano je w 14 spośród 41 opisanych obiektów, co stanowi prawie 35%. Dane uzyskane dla stanowiska w Lipsku-Polesiu wpisują się w ogólną tendencję odnotowaną na ziemiach polskich, gdzie zjawisko występowania szczątków zwierzęcych w pochówkach ludzkich datowane jest od przełomu VII/VIII w. do XIII w., przy czym najwięcej tego typu grobów pochodzi z okresu od VIII do X w. (Ł. Miechowicz 2021). Szczątki zwierzęce na cmentarzyskach zlokalizowanych na terenie ziem polskich występowały nie tylko w pochówkach pod- i nakurhanowych oraz nasypowych, ale również w pochówkach płaskich jamowych (m.in. Daniłowo Małe – H. Olczak, D. Krasnodębski, K. Bieńkowska 2019 oraz Grzebsk – B. Zawadzka-Antosik 1973), warstwowych (np. Wolin, stan. 8 – H. Zoll-Adamikowa 1975), typu Alt-Käblich (np. Chodlik, grób B5 – Ł. Miechowicz 2020), a czasem w grobach popielnicowych (Wolin, stan. 8 – H. Zoll-Adamikowa 1975).

Na cmentarzysku w Lipsku-Polesiu do grobów najczęściej składano pozostałości ssaków udomowionych – głównie konia oraz owcy lub kozy, znacznie rzadziej świnii i być może także bydła. Sytuacja ta wydaje się nieco odmienna w porównaniu z odnotowaną na innych stanowiskach z terenu ziem polskich, gdzie poza dominującymi pozostałościami konia, w dalszej kolejności występowały kości bydła, następnie świnii, owcy lub kozy, psa oraz ptaków (Ł. Miechowicz 2021). Ze względu na stan badań, brak precyzyjnych oznaczeń taksonomicznych oraz danych liczbowych trudno jest zweryfikować dotychczasowe ustalenia dotyczące składu gatunkowego szczątków i ewentualnych reguł związanych z wyborem określonych gatunków zwierząt składanych do grobów. Wątpliwości nie budzi jedynie znacząca rola konia, którego szczątki odnotowano w wielu pochówkach na licznych cmentarzyskach nie tylko na terenie ziem polskich, ale również obszarach ościennych (m.in. S. P. Vicaz 2008; L. A. Gołubeva 1992). Najczęściej odkrywane są nieliczne fragmenty kostne tego gatunku, ale znane są również pochówki, gdzie zmarłym towarzyszyły pozostałości całych lub prawie całych zwierząt. Sytuację taką stwierdzono również na cmentarzysku w Lipsku-Polesiu w kurhanie nr 25, w którym odnaleziono

fragmenty kostne należące najprawdopodobniej do pojedynczych osobników konia oraz owcy lub kozy. Tym samym obiekt ten wyróżnia się spośród pozostałych. Podobną sytuację odnotowano na nekropolii w Chodliku, gdzie w kurhanie nr 1, w pochówku nakurhanowym znaleziono szczątki konia pochodzące zapewne od jednego osobnika, którego wiek oznaczono na ok. 3,5 roku (Ł. Miechowicz 2018; 2020). W obu przypadkach przepalane pozostałości zwierzęce były przemieszane z kośćmi ludzkimi, co wskazuje, że wspólnie spłonęły na stosie i zostały złożone w grobie.

Nieliczne fragmenty kostne konia znaleziono także w grobach na innych cmentarzyskach, m.in. w Guciowie (R. Abłamowicz 2018), Horodyszczu (J. Kalaga 2006) i Brzeźnicy (B. A. Szpunar 1998). Pozostałe gatunki ssaków domowych pojawiały się rzadziej i w pojedynczych fragmentach. Na cmentarzysku w Lipsku-Polesiu szczątki owcy lub kozy najczęściej występowały samodzielnie, za wyjątkiem wspomnianego już kurhanu nr 25, gdzie współwystępowały z kośćmi konia. Na innych stanowiskach pozostałości małych przeżuwaczy odnotowano w obiektach, gdzie odnotowano też kości konia i psa (Chodlik, kurhan nr 20, badania własne), a także bydła (Brzeźnica – B. A. Szpunar 1998) oraz bydła i świni (Guciów – R. Abłamowicz 2018). Szczątki świni stwierdza się dość rzadko, najczęściej występują one samodzielnie, czasem w formie nieprzealonej, jak np. w Zalesiu (J. Kalaga 2006). Kości bydła także występują rzadko i na ogół w towarzystwie szczątków innych gatunków. Znaleziono je w Brzeźnicy (B. A. Szpunar 1998) i Guciowie (R. Abłamowicz 2018). Sporadycznie odkrywane są także pozostałości bliżej niezidentyfikowanych pod względem taksonomicznym ptaków. Na cmentarzysku w Lipsku-Polesiu pojedynczy, nieprzealony fragment pochodzi z kurhanu nr 40. Brak przepalania może wskazywać na pochodzenie ze złoza wtórnego. Fragmenty kostne ptaków znaleziono też w pojedynczych pochówkach na stanowiskach w Izdebkach-Wąsach (J. Kalaga 2006), Rogowie, stan. 6 i 8 (J. Kalaga 2006) oraz Bilczewie (K. Gorczyca, K. Schellner 2012). W ostatnim przypadku najprawdopodobniej pochodziły one od kuropatwy.

Ludność użytkująca nekropole w Lipsku-Polesiu najczęściej składała ofiary ze zwierząt do grobów, w których znajdowały się pojedyncze pochówki osób zmarłych w wieku *adultus*, ewentualnie *adultus*–wczesny

maturus, czyli osobników dorosłych. Nieznane pozostają dane dotyczące płci, tylko w dwóch przypadkach z pewnym prawdopodobieństwem oznaczono ją jako męską. W przypadku połowy innych wczesnośredniowiecznych cmentarzysk zlokalizowanych na terenie ziem polskich szczątki zwierząt również znajdowały się w grobach osób dorosłych, a czasem także dzieci w wieku *infans* I/II (Ł. Miechowicz 2021). Wydaje się więc, że zwyczaj składania części zwierząt w pochówkach ludzkich dotyczył osobników zmarłych w dorosłym wieku, ewentualnie dorosłych chowanych wraz z dziećmi. Zwierzęce pozostałości kostne najczęściej znajdowano razem z przemieszanymi szczątkami ludzkimi w obrębie jednego obiektu. W Lipsku-Polesiu, ze względu na stan zachowanej dokumentacji, nie była możliwa rekonstrukcja kontekstu zalegania szczątków w obrębie poszczególnych kurhanów. W przypadku kilku szczątków, które nie miały cech przepalania, nie wiadomo, czy można je wiązać z okresem wczesnego średniowiecza; istnieje duże prawdopodobieństwo, że pochodzą one z warstw przemieszanych lub wtórnych. Z drugiej jednak strony, w literaturze opisywane są znaleziska szczątków nieprzealonych zdeponowanych albo w jamie grobowej albo poza nią, najczęściej na powierzchni grobów (Ł. Miechowicz 2021).

Z powodu ogólnie małej liczby szczątków trudno jest wnioskować na temat ewentualnych preferencji stosowanych przy wyborze określonych partii tuszy. Na cmentarzysku w Lipsku-Polesiu do grobów składano zarówno wartościowe, jak i małowartościowe pod względem konsumpcyjnym części tuszy zwierząt. Wydaje się, że w przypadku kości małych przeżuwaczy częściej wykorzystywano elementy wartościowe konsumpcyjne, zaś w przypadku szczątków konia – elementy małowartościowe. Zjawisko to trudno jest jednoznacznie wyjaśnić; być może miało to związek z użytecznością i wartością tych zwierząt. Konie niewątpliwie należały do zwierząt wysoko cenionych, głównie ze względu na ich walory przyżyciowe. Owce i kozy stanowiły gatunki hodowlane wykorzystywane zarówno jako źródło mięsa do konsumpcji, jak też użytkowane przyżyciowo w zakresie pozyskiwania mleka i – w przypadku owiec – wełny. Z drugiej jednak strony wiadomo, że zwierzęta te nie odgrywały pierwszoplanowej roli w zajęciach gospodarczych, a w hodowli większe znaczenie miały bydło i świnia (U. Iwaszczuk 2014).

Tab. 1. Zestawienie szczątków kostnych znalezionych na cmentarzysku w Lipsku-Polesiu.

Table 1. Animal bone remains found in the cemetery in Lipsko-Polesie.

Kurhan nr	1	7	9?	20	24	25	25	29	35	40?	42	47	56	58	58	63?
Identyfikacja zoologiczna i anatomiczna	Owca/koza	Koń	Bydło	Koń	Świnia	Koń	Owca/koza	Świnia	Owca/koza	Ptaka	NO	Koń	Koń	Owca/koza	Koń	Bydło
Czaszka							7		1							
Żuchwa						1										
Zęby			1 (1)													1 (1)
Kręgi							4									
Żebra	1					5	33							1		
Łopaska						2										
K. ramienna						1	4									
K. promieniowa				1		13	2									
K. łokciowa							2									
K. nadgarstka																
K. śródstopia																
K. miednicy																
K. udowa																
K. piszczelowa	3					4	11	1	1					1		
K. skokowa									1							
K. piętowa									1							
K. stępu					1	2			1			1	1			
K. śródstopia																
Trzeszczka						1										
Metapodium		1		1		5										
K. długa				1		29	1									
Człon palcowy		1				4		1								
Nieoznaczone	3			7	1	600		5	5		14	3	3			
Razem	7	2	0	10	2	667	64	7	10	1	14	4	4	2	2	1

Ze względu na ogólnie niewielką liczbę szczątków kostnych odkrywanych w grobach oraz stan ich zachowania trudno jest też ustalić kryteria wyboru zwierząt składanych jako ofiary pod względem ich wieku i płci. Wydaje się, że najczęściej dotyczyły one zwierząt dojrzałych pod względem morfologicznym.

Szczątki zwierząt znajdowane w pochówkach ludzkich interpretowane są na wiele sposobów. W literaturze podkreśla się, że mogły one stanowić ślady po rytualnych uctach, odbywających się podczas ceremonii pogrzebowych, być wyposażeniem zmarłych w pożywienie w drodze w zaświaty lub mieć jakiś związek ze składaniem ofiar (T. Węgrzynowicz 1982). W odniesieniu do znalezisk z cmentarzyska w Lipsku-Polesiu najbardziej prawdopodobne wydaje się, że części ciał zwierząt stanowiły wyposażenie zmarłych

w pożywienie w drodze w zaświaty lub ślady po rytualnych uctach. Dotyczy to szczątków stanowiących domieszkę, i ewentualnie dodatek, do pochówków ludzkich. Szczątki zwierzęce występujące wraz z ludzkimi w obrębie jednej jamy grobowej sugerują, że wspólnie spłonęli na jednym stosie pogrzebowym. Nieprzeżalone fragmenty kostne zostały zapewne włożone do grobu podczas rytuału pogrzebowego. Szczątki o cechach pokonsumpcyjnych, pochodzące z wybranych części tusz zwierzęcych wskazują, że najprawdopodobniej były to elementy pożywienia dla zmarłych. Całe lub prawie całe zwierzęta mogły pełnić rolę ofiarną, na przykład być darem grobowym złożonym osobie zmarłej. Wyjątkowość tego typu znalezisk sugeruje, że zwierzęta podkreślały prestiż pochowanych osób lub ich pozycję społeczną.

Podsumowując stwierdzić można, że pozostałości kostne zwierząt znalezione w niektórych pochówkach pod- i nakurhanowych odkrytych na terenie wczesnośredniowiecznej nekropolii w Lipsku-Polesiu odzwierciedlają zwyczaje pogrzebowe Słowian, których częścią było składanie ofiar z całych lub wybranych części zwierząt. W grobach najczęściej znajdowano zarówno wartościowe, jak i mało wartościowe pod względem konsumpcyjnym fragmenty kostne należące głównie do konia, a w dalszej kolejności zwierząt hodowlanych: owcy lub kozy, bydła i świni, pochodzące od osobników zabijanych w dorosłym wieku.

Bibliografia

- Ablamowicz R.**
2018 *Analiza archeozoologiczna kości z kurhanów w Gucio-
wie, stan. 6, pow. zamojski*, [w]: J. Górski, A. Tyniec
(red.), *Fenomen miejsca. Nekropola kurhanowa z neolitu,
epoki brązu i wczesnego średniowiecza w Gucio-
wie, pow. zamojski*, Kraków, s. 291–292.
- Drewko M.**
1921 *Sprawozdanie z działalności Państwowego Urzędu Kon-
serwatorskiego na Okręg Lubelski*, „Wiadomości Arche-
ologiczne” VI, s. 183.
1923 *Sprawozdanie z działalności Państwowego Konserwatora
Zabytków Przedhistorycznych na Okręg Lubelski za rok
1922*, „Wiadomości Archeologiczne” VIII, s. 100–101.
1953 *Wczesnośredniowieczne kurhany ciałopalne we wsi Lip-
sko, pow. Zamość*, „Sprawozdania Państwowego Mu-
zeum Archeologicznego” 5, z. 3–4, s. 36–41.
1954 *Wielki kurhan z wczesnośredniowiecznego cmentarzyska
we wsi Lipsko, pow. Zamość*, „Wiadomości Archeolo-
giczne” XX, s. 307–308.
1956 *Prace wykopaliskowe na wczesnośredniowiecznym cmen-
tarzysku kurhanowym we wsi Lipsko, pow. Zamość*,
„Sprawozdania Państwowego Muzeum Archeologicz-
nego” 2, s. 82–84.
1957 *Sprawozdanie z badań przeprowadzonych w 1955 r. na
wczesnośredniowiecznym cmentarzysku kurhanowym we
wsi Lipsko, pow. zamojski*, „Sprawozdania Archeolo-
giczne” 3, s. 165–168.
- Florek M.**
2011 *Uwagi o różnicowaniu słowiańskiego obrządku pogrzebo-
wego w Małopolsce w okresie plemiennym (do końca X w.)*,
[w]: S. Cygan, M. Glinianowicz, P. N. Kotowicz (red.), *In
silvis, campis...et urbe. Średniowieczny obrządek pogrzebowy
na pograniczu polsko-ruskim*, Rzeszów-Sanok, s. 59–78.
- Golubeva L. A.**
1981 *Konske pogrebena w kurganah severo-vostocnoj Rusi
VIII-XI w.*, „Sovetskaya Arkheologiya” 4, s. 87–98.
- Gorczyca K., Scheller K.**
2012 *Cmentarzysko wczesnośredniowieczne w Bilczewie, pow.
Konin. Archeologiczne badania ratownicze na terenie od-
krytki „Drzewce”, Konin.*
- Iwaszczuk U.**
2014 *Animal husbandry on the Polish territory in the Early
Middle Ages*, „Quaternary International”, 346, s. 69–
101, <http://dx.doi.org/10.1016/j.quait.2014.03.012>.
- Kalaga J.**
2006 *Ciałopalny obrządek pogrzebowy w międzyrzeczu Liwca,
Bugu i Krzyny we wczesnym średniowieczu*, Warszawa.
- Lasota-Moskalewska A.**
2008 *Archeozoologia. Ssaki*, Warszawa.
- Miechowicz Ł.**
2018 *Wczesnośredniowieczne grody w Kotlinie Chodelskiej*,
[w]: E. Banasiewicz-Szykuła (red.), *Grody z okresu ple-
miennego na Lubelszczyźnie*, Lublin, s. 25–70.
2020 *Wczesnośredniowieczny obrządek pogrzebowy w Kotlin-
ie Chodelskiej na tle Małopolski okresu plemiennego
(VIII–X w.)*, [w]: G. Mączka (red.), *Kurhany na Wyży-
nie Lubelskiej*, Lublin, s. 13–38.
2021 *Zwierzęta w ciałopalnym obrządku pogrzebowym Sło-
wian z obszaru dzisiejszej Polski*, „Archeologia Polski”,
t. LXVI (w druku).
- Olczak H., Krasnodębski D., Bienkowska K.**
2019 *Daniłowo Małe i Suraz: dwa cmentarzyska płaskie nad
górną Narwią – nowe spojrzenie na wyniki badań*, [w]:
A. Buko (red.), *Początki chrześcijaństwa na pograniczu
mazowiecko-ruskim w świetle wyników badań wybra-
nych cmentarzysk*, Warszawa, s. 77–90.
- Prusicka-Kolcon E.**
2008 *Wczesnośredniowieczne cmentarzysko kurhanowe w Lip-
sku Polesiu i Mokrem*, „Zamojski Kwartalnik Kultural-
ny” 3, s. 14–18.
- Reitz E. J., Wings E. S.**
1999 *Zooarchaeology*, Cambridge.
- Szpunar B. A.**
1998 *Wczesnośredniowieczne cmentarzysko w Brzeźnicy, ba-
dania 1997 roku*, „Materiały i Sprawozdania Rzeszow-
skiego Ośrodka Archeologicznego” 19, s. 211–216.
- Vicaz S. P.**
2008 *Pahavanii z Kanem na terytorii Belarusi*, „Materiały pa
Archeologii Belarusi” 15, s. 108–125.
- Wahl J.**
1981 *Beobachtungenzur Verrennungsmenschlicher Leichname*,
„Archäologisches Korrespondenzblatt” 11, s. 271–279.
- Węgrzynowicz T.**
1982 *Szczątki zwierzęce jako wyraz wierzeń w czasach ciałopa-
lenia zwłok*, Warszawa.
- Wróbel H.**
1990 *Cmentarzysko kurhanowe w Wielkopoli na stan. 5, gm.
Urszulin*, [w]: S. Golub (red.), *Informator o badaniach
archeologicznych w województwie chełmskim w 1989 r.*,
Chełm, s. 11–13.
- Zawadzka-Antosik B.**
1973 *Wczesnośredniowieczne cmentarzysko w obudowie ka-
miennej w Grzebsku, pow. Mława*, „Wiadomości Arche-
ologiczne” XXXVIII, z. 3–4, s. 461, 462.
- Zoll-Adamikowa H.**
1975 *Wczesnośredniowieczne cmentarzyska ciałopalne Sło-
wian na terenie Polski*, Cz. 1. Zródła, Wrocław.

ANIMAL BONE REMAINS FROM EARLY MEDIEVAL BARROWS AT THE CEMETERY IN LIPSKO-POLESIE

Animal bone remains have been found in the early medieval barrow cemetery in Lipsko-Polesie, in some of the burials of the on top of the mound or sub-barrow type, possibly on-mound type, dated to from the 8th to the 9th century AD. These remains were distinguished by poor condition – they were small and charred at high temperatures. Most often they were post-consumer fragments, less often whole or almost whole animals. The latter were recorded in one feature (barrow No. 25), where bones from various parts of the carcass – skull, trunk and limbs – of a horse, sheep or goats were found. Post-consumer material being an admixture of human burials belonged almost exclusively to domesticated mammals; only one fragment was from the shaft of the bird's long bone. Among the bones of mammals, horse and sheep or goat fragments were the most numerous, followed by pig and cattle.

In individual features, the remains of one species were most often found, and they were represented by both low-value (mainly horse) and valuable (mainly sheep and goat) parts of the carcass. Due to the state of preservation of the materials, no data on the age and sex of animals deposited in the graves were obtained. It seems that most of them were adult specimens, with completed growth. The remains of the animals were an admixture to human burials, in which single deceased people of the age of *adultus*, possibly *adultus* – early *maturus*, i.e. adults, alternatively adults with children, were buried. Bone remains found in human graves were most likely traces of ritual feasts held during funeral ceremonies, they could be food supplies for the dead on their way to the afterlife or be related to the sacrifice, perhaps they also emphasised the prestige of the buried people or their social position.

Wyniki oznaczeń taksonomicznych szczątków drewna z cmentarzyska kurhanowego w Lipsku-Polesiu

Grzegorz Skrzyński

Jednym ze świadectw obrządku ciała palnego są pozostałości drewna używanego do budowy stosów kremacyjnych. Surowiec ten był pozyskiwany najprawdopodobniej lokalnie, a analizy taksonomiczne pozyskanych szczątków mogą przynieść odpowiedź na pytanie czy podczas prowadzonych praktyk pogrzebowych dokonywano selekcji materiału opałowego związanej z wierzeniami lub tradycją (por. A. Kreuz 1992, W. A. Out 2010, G. B. Thompson 1999) czy powodowanej pragmatycznym wyborem surowca o lepszych właściwościach palnych (takich jak np. łatwopalność albo wysoka temperatura spalania). Możliwe jest także, że jako budulca stosu używano wszystkich dostępnych lokalnie rodzajów drewna. W takim wypadku, przy spełnieniu określonych warunków możliwe jest dokonanie rekonstrukcji eksploatowanego drzewostanu.

Material i metoda

W ramach opracowywania materiałów pozyskanych w czasie prac wykopaliskowych do badań taksonomicznych skierowano próby szczątków drewna pobrane podczas eksploracji archeologicznej cmentarzyska. Do analiz wytypowano materiały pochodzące z 15 kurhanów, których chronologię ustalono na okres wczesnego średniowiecza. Wyboru tego dokonano w oparciu o kwerendę archiwalnej dokumentacji, która wskazywała, że badany materiał organiczny pochodzi z nawarstwień o niezaburzonej stratygrafii oraz z homogenicznych wypełnień obiektów. Pozostałości drewna przekazane do analiz zostały zachowane

w postaci węgli drzewnych. Podczas badań posługiwano się mikroskopami: binokularowym Olympus SZ30, pracującym w zakresie powiększeń 9-80×, oraz metalograficznym Olympus BH-2 o powiększeniach 50-500×.

Przy oznaczeniach taksonomicznych korzystano z klucza anatomicznego (F. H. Schweingruber 1990) oraz własnej kolekcji porównawczej autora.

Część z oznaczeń pozostawiono w randze rodzaju, ponieważ określenie niektórych gatunków drzew w oparciu o budowę anatomiczną jest niemożliwe lub bardzo niepewne (M. Lityńska-Zajac, K. Wasylkowa 2005, s. 285).

Wyniki

Łącznie przebadano 1970 zwęglonych pozostałości drewna, z czego jedynie 6 pozostało nieoznaczonych. Ogółem oznaczono węgle drzewne należące do 14 taksonów drzew i krzewów. Najliczniej reprezentowane było drewno buka pospolitego *Fagus sylvatica*. Drugim taksonem pod względem liczebności jest dąb *Quercus* sp.¹ Kolejne, o zbliżonych liczbowo reprezentacjach są olsza *Alnus* sp., brzoza *Betula* sp., grab *Carpinus betulus*, so-

¹ Według danych z tabeli drugim taksonem powinna być sosna zwyczajna *Pinus sylvestris*, jednakże takson ten jest z pewnością nadreprezentowany. Zawyżenie liczby szczątków spowodowane zostało poprzez zawarcie w tabeli sumarycznej liczby szczątków, które według danych metrykalnych odnaleziono były jako pojedyncze, duże bierwiona.

sna zwyczajna *Pinus sylvestris* i topola *Populus sp.*² W dalszej kolejności znalazły się pozostałości klonu *Acer sp.*, leszczyny pospolitej *Corylus avellana* oraz jesionu wyniosłego *Fraxinus excelsior*. Najmniej liczne są pozostałości wiązu *Ulmus sp.*, lipy *Tilia*

sp., bliżej nieokreślonych roślin z rodziny różowatych *Rosaceae* oraz, reprezentowany przez jedno znalezisko, bez *Sambucus sp.*

Szczegółowe wyniki przedstawia poniższa tabela (Tab. 1).

Tab. 1. Wyniki oznaczeń taksonomicznych szczątków drewna odnalezionych w nasypach kurhanów.

Tab. 1. Lipsko-Polesie, Commune Zamość. Catalogue anthracology.

Nr kurhanu	Oznaczenie ćwiartki/części kurhanu	Głębokość	Takson																
			<i>Acer sp.</i>	<i>Alnus sp.</i>	<i>Betula sp.</i>	<i>Carpinus betulus</i>	<i>Corylus avellana</i>	<i>Fagus sylvatica</i>	<i>Fraxinus excelsior</i>	<i>Pinus sylvestris</i>	<i>Populus sp.</i>	<i>Quercus sp.</i>	<i>Rosaceae</i>	<i>Sambucus sp.</i>	<i>Tilia sp.</i>	<i>Ulmus sp.</i>	Indeterminate		
1	NW	30			1														
		40			5														
		40/45			5														
		40-50								1									
	SW	20			3														
		40							1			4							1
		60		4					17	7		13							
	S0	20								2									
		30																5	
72									19	1									
2	NW	?							20		2			1					
	S0	?	1										1						
6	część W	0-20								5									
	drugi rów	0-20								19								1	
	drugi rów	?								4									
7	NW	20-30								2									
		50-65										1							
	NE	20-30			1					1									
		30-40				2				3									
		40-50			4			4		2		1							
	SW	0-20							4										
	SE	20-30				5			3										
8	NW	0-20			1					3									
		40-50		8															
	NE	0-20								2									
		20-30								1									
		40-50										13							
	SW	0-20				1													
		30-40		3						1									
	SE	0-20			1					3									
		20-30			1					1									
		30-40			3			3				26							

² W przypadku szczątków topoli możliwe jest, że mamy do czynienia z analogicznym jak w przypadku sosny zjawiskiem nadreprezentacji, jednakże przypuszczenie to nie jest potwierdzone przez dane dokumentacyjne.

Nr kurhanu	Oznaczenie ćwiartki/części kurhanu	Głębokość	Takson													
			Acer sp.	Alnus sp.	Betula sp.	Carpinus betulus	Corylus avellana	Fagus sylvatica	Fraxinus excelsior	Pinus sylvestris	Populus sp.	Quercus sp	Rosaceae	Sambucus sp.	Tilia sp.	Ulmus sp.
9	NW	0-20			5						2					
		20-30			2						2					
		30-40		10								4			1	
		40-45(50)			6											
	NE	0-20		1					1		1					
		25-30		3	6	3			1		6					
		30-40			9				6			6				
		45							6							
		40-50			13				12			2				
	SW	20-30							1			4				
		30-40			1	2					1					
	SE	0-20							1			4				
		20-30		1					4							
		30-40			2	1			2							
		60-90									13					
	12	N0		74						16		2				19
SW											4			1		
24	NW	20-30			1				18		1					
		30-40			1									1		
	N0			1					38							
	NE			1					1							
	SW	0-20									1					1
		20-30				1			3			2				
	SE	0-20							1	2						
		20-30							12							
		30							6			1			1	
25	NW	20-30		1					15			2			1	
		20-25		32					1			4				
		30-40			1	3			1			13			1	
		40-50							3		3					
		40-35-40		6												
		35-40-70										4				
	NE	20				1								1		
		20-30			3				31	6		7				
		20-40			1	1			22		1	1				
		30-40			1				7			1				
		40-50		3	4				3		6	7	1			
	SW	?										172				
		20-30			26				1			31				
		30-40		1												
		40-50		2							18	16			1	
	SE	20-30							4			4				
20-25											5					
25-30										12						
30-40			1													

Nr kurhanu	Oznaczenie ćwiartki/części kurhanu	Głębokość	Takson															
			Acer sp.	Alnus sp.	Betula sp.	Carpinus betulus	Corylus avellana	Fagus sylvatica	Fraxinus excelsior	Pinus sylvestris	Populus sp.	Quercus sp	Rosaceae	Sambucus sp.	Tilia sp.	Ulmus sp.	Indeterminate	
27	NW	20-30						2										
	NE	20-30		2		12				2							1	
		długie bierwiono								30								
	SW	30-40							1	1	1							
		35-45								1								
		70-75									1							
	SE	bierwiono krótsze WE								66								
krótkie bierwiono nad bierwionem WE									86									
bierwiono dłuższe WE									62									
Bez metryki	?							42										
29	NW	20-30						6										
	SW	0-20				13												
		23-25		6	1	22				1	1							
	SE	20-30			1	6			1									
		25-30			12	5												
40-72				4														
31	NW	20-30					1											
	N0	0-20							5									
		20-30				35	25	16			12	1						
		30-40				20	26	30			14	11						
	NE	20-30						51		9								
	SW	0-20							1									
		20-30			1													
	S0	0-20				2		13							1			
		20-30		1														
	SE	0-20							1									
		20-22							7									
		20-25			2				34									
		25-30									12							
20-30			12		5		10							1				
20-35		1	46	1	12		4			5				6				
30								1										
30-40	3			23		51			14				5					
32	II	50-60		2	6				2	1							1	
34	N0	?						2	1	3								
	SW	?		5					5									

Nr kurhanu	Oznaczenie ćwiartki/części kurhanu	Głębokość	Takson															
			Acer sp.	Alnus sp.	Betula sp.	Carpinus betulus	Corylus avellana	Fagus sylvatica	Fraxinus excelsior	Pinus sylvestris	Populus sp.	Quercus sp	Rosaceae	Sambucus sp.	Tilia sp.	Ulmus sp.	Indeterminate	
40	NW	38-44									26		22					
	NE	0-20				5										6		
		23				17					1					6		
		30-35	3				6										5	
		55-65		2		1	5	4									8	
	SW	0-20													1			
	SE	20				5										2		
		20-23					5				28							
		20-30	3	18		1			1									

Wnioski

Wyniki przedstawiają dużą różnorodność taksonomiczną węgla drzewnych odnalezionych na stanowisku. Możliwe jest zatem przyjęcie założenia, że ludność użytkująca cmentarz nie prowadziła selekcji gatunkowej drewna w ramach praktyk sepulkralnych, a materiał do budowy stosów gromadzony był losowo.

Pomimo wyników badań wskazujących, że do odтворzenia obrazu dawnego środowiska najbardziej

odpowiednie są depozyty węgla drzewnych odkryte w długo użytkowanych obiektach np. paleniskach (E. Asouti, P. Austin 2005; L. Chabal i in. 1999) istnieją dowody, iż analizy dokonane w oparciu o liczne, zróżnicowane pod względem taksonomicznym materiały pochodzące ze stosów pogrzebowych (obiektów o niewątpliwie epizodycznym charakterze) stanowią również dobrą bazę do przeprowadzenia rekonstrukcji paleośrodowiskowych (K. Deforce, K. Haneca 2012; M. Moskal de Hoyo 2012). Dodatkowo, lista florystyczna uzyskana



Ryc. 1. Współczesny drzewostan okolic cmentarzyska według danych Lasów Państwowych (źródło: Bank danych o lasach, <https://www.bdl.lasy.gov.pl/portal/mapy>). Miejsce badań zaznaczone na czerwono. Objasnienia skrótów: BK – buk, BRZ – brzoza, DB – dąb, GB – grab, LP – lipa, OS – topola osika, SO – sosna.

Fig. 1. The present tree stand in the vicinity of the cemetery according to the data from the State Forests (source: Bank Danych o Lasach (Forest Data Bank), <https://www.bdl.lasy.gov.pl/portal/mapy>). The research place is marked in red. Explanations of abbreviations: BK – beech, BRZ – birch, DB – oak, GB – hornbeam, LP – linden, OS – aspen, SO – pine.

po przeprowadzonych analizach materiałów z badanego stanowiska, dzięki dużej liczbie oznaczonych szczątków spełnia wymagania, aby na jej podstawie przeprowadzić taką rekonstrukcję (I. Théry-Parisot, L. Chabal, J. Chrzavzez 2010). Możliwe jest również przyjęcie założenia, że uzyskane wyniki odzwierciedlają także proporcjonalny udział poszczególnych taksonów w drzewostanie (E. Asouti, P. Austin 2005; L. Chabal i in. 1999). Zatem, uzyskany skład taksonomiczny pozwala na stwierdzenie ze stosunkowo dużą dozą prawdopodobieństwa, iż pozostałości drewna odnalezione na stanowisku w Lipsku-Polesiu pochodzą ze zbiorowisk lasów liściastych z rzędu *Fagetalia sylvaticae* (W. Matuszkiewicz 2007). Co ciekawe, we współczesnych zbiorowiskach leśnych najbliższej okolicy cmentarzyska zbiorowisko to jest jednym z najczęściej występujących, a towarzyszą mu kompleksy lasów złożonych z drzew, których pozostałości odnaleziono w materiałach wczesnośredniowiecznych (Ryc. 1). Możliwe jest więc, że za obecny skład gatunkowy drzewostanów okolic Lipska-Polesia odpowiada antropopresja mająca swoje początki we wczesnym średniowieczu.

Bibliografia

Asouti E., Austin P.

2005 *Reconstructing woodland vegetation and its exploitation by past societies, based on the analysis and interpretation of archaeological wood charcoal macro-remains*, „Environmental Archaeology” 10, s. 1–18.

Chabal L., Fabre L., Terral J.-F., Thery-Parisot I.

1999 *Lanthracologie* [w:] C. Bourquin Mignot, J.-E. Brochier, L. Chabal, L.S. Crozat, L. Fabre, F. Guibal, P. Marnival, H. Richard, J.-F. Terral, I. Thery, (red.), *La Botanique*, Paryż, s. 43–104.

Deforce K., Haneca K.

2012 *Ashes to ashes. Fuelwood selection in Roman cremation rituals in northern Gaul*, „Journal of Archaeological Science” 39, s. 1338–1348.

Kreuz A.

1992 *Charcoal from ten early Neolithic settlements in Central Europe and its interpretation in terms of wildwood management and wildwood resources*, „Bulletin de la Société botanique de France” 139, s. 383–394.

Lityńska-Zajac M., Wasylkowa K.

2005 *Przewodnik do badań archeobotanicznych*, Poznań.

Matuszkiewicz W.

2007 *Przewodnik do oznaczania zbiorowisk roślinnych Polski*, Warszawa.

Moskal-del Hoyo M.

2012 *The use of wood in funerary pyres: random gathering or special selection of species? Case study of three necropolises from Poland*, „Journal of Archaeological Science” 39, s. 3386–3395.

Out W. A.

2010 *Firewood collection strategies at Dutch wetland sites in the process of Neolithisation*, „The Holocene” 20(2), s. 191–204.

Schweingruber F. H.

1990 *Anatomy of European woods*, Stuttgart.

Théry-Parisot I., Chabal L., Chrzavzez J.

2010 *Anthracology and taphonomy, from wood gathering to charcoal analysis. A review of the taphonomic processes modifying charcoal assemblages, in archaeological contexts*, „Palaeogeography, Palaeoclimatology, Palaeoecology” 291, s. 142–153.

Thompson G. B.

1999 *The analysis of wood charcoals from selected pits and funerary contexts* [w:] A. Barclay, C. Halpin, (red.) *Excavations at Barrow Hills, Radley, Oxfordshire, Volume 1: the Neolithic and Bronze Age Monument Complex, Thames Valley Landscape Volume 11*, Oxford Archaeological Unit, Oxford, s. 247–253.

THE RESULTS OF TAXONOMIC DETERMINATIONS OF WOOD REMAINS FROM THE LIPSKO-POLESIE SITE

The charcoals found during the exploration of the cremation barrows are undeniably a relic of burial practices. The basic conclusion that can be drawn after the anthracological analysis is whether the fuel used for the construction of funeral pyres was selected (e.g. due to the higher calorific value or beliefs related to a specific type of wood). In the case of materials from the early medieval cemetery in Lipsko, no particular preferences were found regarding the choice of wood,

so the selection of the pyreconstruction material did not play a role in sepulchral practices. On the other hand, the lack of selective acquiring allowed for the palaeo-environmental reconstruction of the surrounding tree stand. Based on the analysis of the remains of wood, it was found that the early medieval forest communities did not differ significantly in species composition from those present in the immediate vicinity of the cemetery.

Uwagi na temat wczesnośredniowiecznego obrządku pogrzebowego na cmentarzysku kurhanowym w Lipsku-Polesiu

Łukasz Miechowicz

Zagadnienie wczesnośredniowiecznego ciałopalnego obrządku pogrzebowego na obszarze dzisiejszego województwa lubelskiego ponad dekadę temu doczekało się podsumowania autorstwa P. N. Kotowicza (2005), stanowiąc tym samym uzupełnienie wiadomości zawartych we wcześniejszej o ponad ćwierć wieku monumentalnej pracy H. Zoll-Adamikowej (1975; 1979). Należy zaznaczyć, że poza sprawozdawczymi artykułami M. Drewki (1921; 1923; 1953; 1954; 1956; 1957), to właśnie praca H. Zoll-Adamikowej (1975, s. 156–160) stanowi do dziś najobszerniejsze omówienie wyników badań prowadzonych w Lipsku-Polesiu. W ostatnim czasie temat ten dla obszaru Małopolski poruszył M. Florek (2011, s. 65, 66), zwracając uwagę na wybrane aspekty obrzędowości pogrzebowej na omawianej nekropolii.

Cmentarzysko wczesnośredniowieczne w Lipsku-Polesiu jest jednym z lepiej przebadanych słowiańskich stanowisk sepulkralnych okresu plemiennego w Polsce. Niestety badania te w głównej mierze miały charakter ratowniczy, zaś znaczna część informacji została utracona poprzez niemal całkowite rozoranie nasypów kurhanów w wyniku prac ornych. Doprowadziło to do zniszczenia kontekstu zalegania znacznej części pochówków oraz artefaktów, zwłaszcza w przypadku grobów nakurhanowych. Mimo to możemy wysnuć szereg wniosków na temat formy obrządku

i zwyczajów pogrzebowych praktykowanych na danym cmentarzysku.

Położenie cmentarzyska względem pozostałych elementów zespołu osadniczego

Stanowisko położone jest na kulminacji wyniośłości, 200 m na wschód od osady i 500 m od grodziska na tzw. „Łysej Górze”. Zagadnienie lokowania wczesnośredniowiecznych cmentarzysk ciałopalnych względem osad i grodzisk było przedmiotem rozważań H. Zoll-Adamikowej (2000, s. 207–219) oraz M. Dzika (2015, s. 97–99). W zdecydowanej większości analizowanych przypadków, cmentarzyska lokowano na obrzeżach strefy osadniczej lub tuż poza nią (H. Zoll-Adamikowa 1979, s. 19, 20). Notowana jest także praktyka sytuowania wczesnośredniowiecznych kurhanów tuż poza wałami podłużnymi, pełniącymi równolegle funkcje graniczne i symboliczne, oddzielające światy żywych i umarłych (Ł. Miechowicz 2017, s. 271, 272). Podobną symboliczną, graniczną funkcję pełnić mogły cieki wodne, co także podnoszono w literaturze przedmiotu (por. P. N. Kotowicz 2007, tam dalsza literatura).

W przypadku cmentarzyska w Lipsku-Polesiu jest ono oddzielone ciekami wodnymi od grodziska zajmującego tzw. Górę Św. Romana. Jednakże, dwie domniemane osady wczesnośredniowieczne, odkryte w trakcie badań powierzchniowych prowadzonych w ramach Archeologicznego Zdjęcia Polski, położone są w bezpośrednim sąsiedztwie nekropolii, w odległości ok. 100 m od kurhanów¹. Stanowiska te nie były badane wykopaliskowo, zostały odkryte jedynie na podstawie zalegających na powierzchni gruntu fragmentów naczyń glinianych, stąd należy brać pod uwagę także ich inną funkcję niż osadniczą – np. miejsce różnorodnego typu obrzędów, spotkań, handlu itp.²

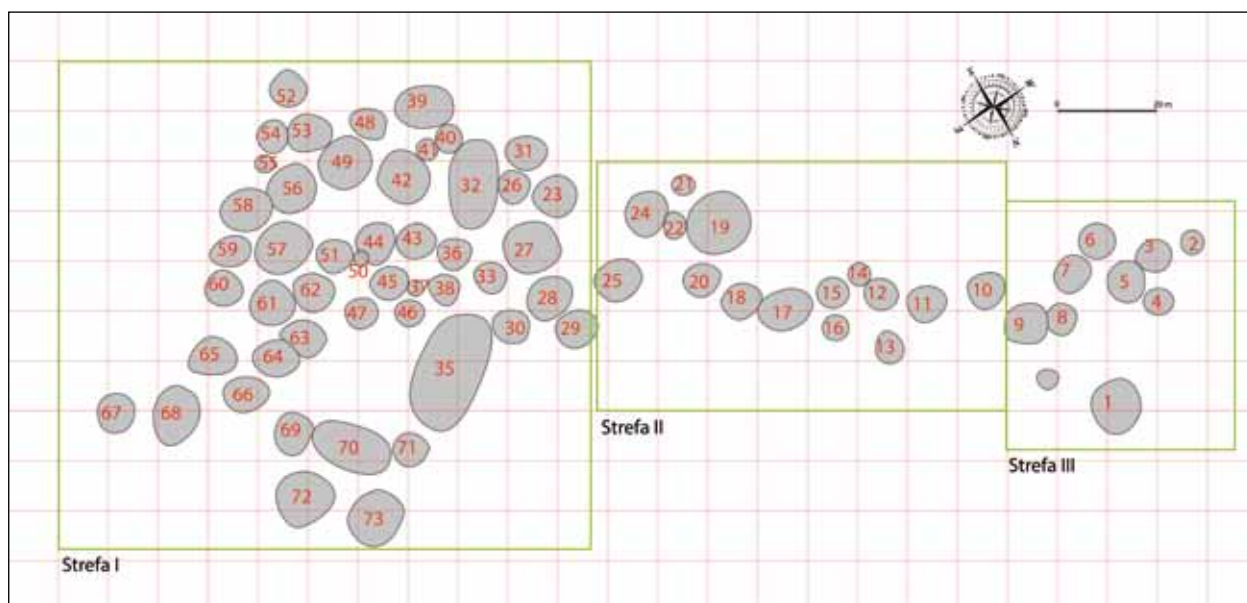
Układ grobów

Obszar nekropolii możemy podzielić na trzy strefy. Pierwsza z nich zajmuje południowo-wschodnią część kulminacji z największym zgrupowaniem kurhanów liczącym 47 nasypów, układających w kształt prostokąta (Ryc. 1). Otwartym pozostaje pytanie, czy była to intencjonalnie wydzielona przestrzeń pod cmentarz, otoczona np. pewnego rodzaju ogrodzeniem? Groby

zajmujące strefę pierwszą cechuje rzędowy układ nasypów. Możemy przyjąć, że przestrzeń grzebalna została celowo rozplanowana, zaś miejsca pod kolejne groby nie były wybierane przypadkowo. Kolejną strefę tworzy rząd kurhanów ciągnący się wzdłuż kulminacji w stronę północno-zachodnią, liczący 15 nasypów. Ostatnie zgrupowanie kopców (strefa III) zajmuje północno-zachodni kraniec wzgórza. Zestawienie chronologiczne zbadanych nasypów, choć dość szerokie, sugeruje, że wspomniana strefa pierwsza stanowi najstarszą część cmentarzyska. W następnych fazach rozrastało się ono w kierunku północno-zachodnim poprzez zakładanie kolejnych grobów. Niewykluczone, że groby sytuowano wzdłuż biegnącego w tym miejscu traktu komunikacyjnego³.

Forma nasypów, jamy i rowy przykurhanowe

Na cmentarzysku w Lipsku-Polesiu zanotowano duże zróżnicowanie wielkościowe nasypów kurhanowych. Najmniejsze z badanych kopców posiadają średnicę sięgającą 4–5 m (kurhany nr 8, 37, 40, 41,



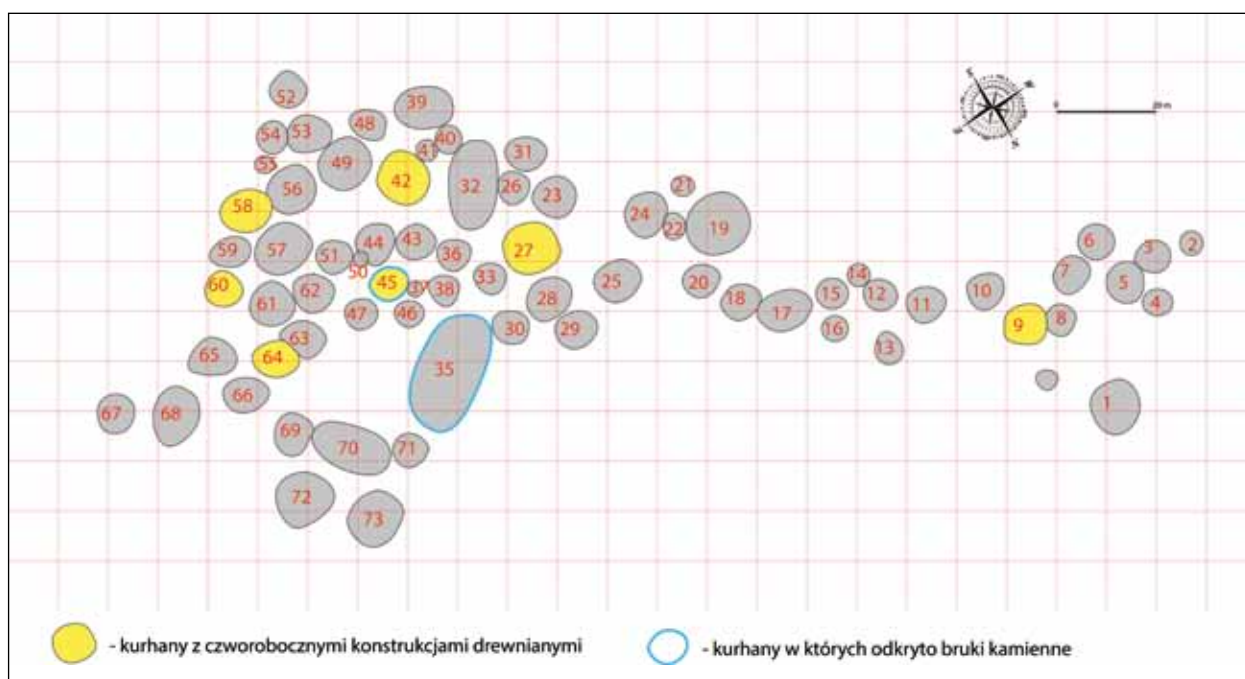
Ryc. 1. Plan cmentarzyska z podziałem na strefy (oprac. Ł. Miechowicz).

Fig. 1. Lipsko-Polesie, commune Zamość. Plan of the cemetery clustered into zones (prepared by Ł. Miechowicz).

¹ Stanowiska AZP 90-88/2 oraz 21.

² Należy mieć na uwadze, że literaturze archeologicznej za terminologią przyjętą w ramach realizacji projektu Archeologiczne Zdjęcie Polski utarło się traktowanie wszystkich skupisk fragmentów naczyń glinianych odkrywanych na powierzchni pól jako śladów po osadach. Funkcja takiego miejsca mogła być różnorodna.

³ Na temat sytuowania wczesnośredniowiecznych cmentarzysk wzdłuż szlaków komunikacyjnych (por. M. Dzik 2015, s. 108, 109; Ł. Miechowicz, 2020, s. 35, 36).



Ryc. 2. Lokalizacja kurhanów w których odkryto wewnętrzne konstrukcje drewniane oraz bruki kamienne (oprac. Ł. Miechowicz).

Fig. 2. Location of barrows in which internal wooden structures and stone pavements were discovered (prepared by Ł. Miechowicz).

46 oraz 52), kolejną – najliczniejszą – grupę stanowią kopce o średnicy pomiędzy 5 a 9 m (kurhany nr 2, 7, 12, 13, 38, 42, 43, 56, 58, 59, 60, 62, 63, 64, 66, 67), największe z kurhanów liczą pomiędzy 10 a 13 m średnicy (kurhany nr 1, 9, 24, 25, 27, 29, 31, 34, 44, 45, 47, 61, 68, 77). Pod względem wielkościowym wyraźnie wyróżnia się kurhan nr 35 o owalnej formie i wymiarach 22×10 m. Nie zauważono żadnych prawidłowości związanych z wymiarami nasypów oraz ich usytuowaniem na nekropolii.

Zdecydowana większość nasypów posiada okrągłą lub owalną formę u podstawy. Ze względu na fakt ich niemal całkowitego rozorania, ustalenie pierwotnego kształtu nasypów jest niemożliwe. W przypadku kurhanów posiadających wewnętrzne prostokątne konstrukcje drewniane niewykluczone jest, że warunkowały one także pierwotny kształt nasypu. Czworoboczny kształt nasypów kurhanowych znany jest z innych cmentarzysk z tego okresu⁴.

Przy większości kurhanów stwierdzono istnienie rowów przykurhanowych. W siedmiu przypadkach

był to pojedynczy rów okalający nasyp ze wszystkich stron. W pozostałych przypadkach liczba rowów przykurhanowych waha się od 1 do 4.

Dość interesujące jest spostrzeżenie M. Drewki (1953, s. 158), sugerujące, że przed usypaniem kurhanów na poziomie próchnicy usypywano grubą na 10–15 cm warstwę podsypki z czystego lessu. H. Zoll-Adamikowa (1975, s. 72–74) oraz J. Kalaga (2006, s. 100, 101) podają kolejne przykłady praktyk przygotowywania gruntu pod usypanie grobu – zanotowano je co najmniej na 16 cmentarzyskach, jednakże jedynie w Lipsku-Polesiu oraz Miodusach-Pokrzywnem wiązałoby się ono z podwyższaniem terenu poprzez przynoszenie ziemi z zewnątrz. Przy sypaniu kurhanów ziemię wybierano przeważnie od jednej strony, gdzie stok wyniosłości posiadał najłagodniejsze nachylenie (M. Drewko 1953, s. 38; H. Zoll-Adamikowa 1975, s. 158).

W 5 przypadkach zanotowano pod nasypem z pochówkiem nakurhanowym warstwę spalenizny oraz węgla drzewnych, stanowiącą najprawdopodobniej ślad po oczyszczeniu terenu przed usypaniem kopca ogniem. Praktykę tę zanotowano również na innych stanowiskach sepulkralnych z okresu wcześniejszego średniowiecza, m.in. w Chodliku oraz Lublinie-Dąbrowie (G. Mączka (red.) 2020, s. 26; 127). W kolejnych 4 przypadkach na cmentarzysku w Lipsku-Polesiu pod nasypem kopców uchwycono ślady palenia ognisk.

⁴ Przykładowo z Orzeszkowa (gm. Resko, pow. łobeski) (H. Zoll-Adamikowa 1975, s. 182–84), Puszczy Białowieskiej (H. Zoll-Adamikowa 1975, s. 201), Czekanowa (gm. Jabłonna Lacka) (J. Kalaga 2006, s. 278, 279, ryc. 6, 7). Na cmentarzysku kurhanowym w Chodliku ta zasada konstrukcyjna zauważalna jest w przypadku wszystkich kurhanów (Ł. Miechowicz 2020, s. 13, 26).

Konstrukcje wewnętrzne

W 7 kurhanach (nr 9, 27, 42, 45, 58, 60, 64) pod nasypem odkryto pozostałości spalonych *in situ* czworobocznych konstrukcji drewnianych w formie skrzyń (Ryc. 2). W dwóch przypadkach (kurhany 42 i 45) udało się stwierdzić, że zostały zbudowane w konstrukcji zrębowej. W kurhanie nr 42 rozmiary skrzyni wynosiły ok. 2,5×2,5 m, w pozostałych sięgały około 5 m, a w kurhanie nr 27 długość rozłupanych na pół bierwion, z których wykonano skrzynię sięgała 7 m. W 3 wymienionych powyżej przypadkach wewnątrz spalonej konstrukcji odkryto przepalone szczątki kostne. W 4 pozostałych przypadkach stwierdzono nakurhanowy typ pochówku. We wszystkich nasypach zanotowano również przepalenie podłoża, na którym posadowiona była skrzynia.

Istnienie wewnętrznych czworobocznych konstrukcji drewnianych jest cechą spotykaną w wielu obiektach tego typu (por. H. Zoll-Adamikowa 1968; 1979, s. 85–103; 1996, s. 86, 87; J. Kalaga 2006, s. 102, 103). Odkryto je jak dotąd w co najmniej 16 kurhanach na 10 stanowiskach (H. Zoll-Adamikowa 1979, s. 85; J. Kalaga 2006, s. 102, 103; Ł. Miechowicz 2020, s. 26). Trafna wydaje się ich interpretacja jako pozostałości swoistego „domu dla zmarłego”, palonego podobnie jak sam zmarły w trakcie rytuału pogrzebowego (por. H. Zoll-Adamikowa 1979, s. 98; W. Szymański 2004; M. Florek 2011, s. 65, 66; M. Dzik 2015, s. 97). H. Zoll-Adamikowa (1979, s. 98, 99) zasugerowała także możliwość pełnienia przez wspomniane konstrukcje funkcji ogrodzeń, zabezpieczających żywych przed ewentualnym zagrożeniem ze strony zmarłych, nie wykluczając, że pierwotnie zabezpieczały nasyp przed osuwaniem, a z czasem zyskały wymiar symboliczny. Przeciw temu faktowi przemawia jednak fakt spalenia wszystkich tego typu obiektów przed usypaniem na ich zgłiszczach kopca (por. M. Florek 2011, s. 66). Ideę rozumienia kurhanu jako „domu zmarłego” potwierdzają także konstrukcje i wymiary skrzyń, odpowiadające budynkom mieszkalnym z tego okresu. Szczególnie obrazowe w tym kontekście jest odkrycie w narożniku drewnianej konstrukcji, zanotowanej pod nasypem kurhanu nr 45, wyłożonego kamiennym brukiem paleniska, analogicznego do znanych z wczesnosłowiańskich budynków mieszkalnych (por. W. Szymański 2004, s. 306)⁵.

⁵ Rozumienie grobu jako symbolicznego „domu zmarłych” u Słowian potwierdzają również odkrycia tzw. grobów typu Alt-Käbelich,

M. Drewko (1954, s. 318), przy okazji publikacji wyników badań kurhanu nr 35 (tzw. wielki kurhan), wskazał również na możliwość funkcjonowania na szczycie nasypów lekkich drewnianych konstrukcji w postaci domków, do których wkładano szczątki kostne kolejnych zmarłych. Jak dotąd nie udało się potwierdzić prawdziwości tej koncepcji, jednakże należy uznać ją za prawdopodobną (M. Florek 2011, s. 65).

Konstrukcje w postaci palenisk wyłożonych kamiennym (wapiennym) brukiem zanotowano w przypadku dwóch kurhanów. We wspomnianym już grobie nr 45, kamienne palenisko o wymiarach ok. 1,5×1,5 m, odkryto w narożniku drewnianej konstrukcji czworobocznej. Tworzące je kamienie nosiły ślady obecności ognia, zaś na ich powierzchni i pomiędzy nimi odkryto liczne fragmenty węgla drzewnych. Kolejny obiekt tego typu, składający się z 60 wapiennych odłupków odkryto w jamie wkopanej w centrum kurhanu nr 35. Na kamieniach oraz pod nimi zanotowano ślady palenia ognia. W palenisku odkryto liczne fragmenty węgla drzewnych oraz nieprzepalony krąg krowy. Nie wykluczone, że jamę z kamiennym paleniskiem z tzw. wielkiego kurhanu nr 35 także należy także traktować jako swojego rodzaju „dom zmarłych”.

Pochówek. Rodzaje i lokalizacja

Biorąc na warsztat naukowy zagadnienie wczesnośredniowiecznego ciałopalnego obrządku pogrzebowego, spotykamy się z dość zróżnicowaną formą pochówków (por. M. Florek 2011). Dokonując podziału typologicznego grobów z cmentarzyska w Lipsku-Polesiu oprzemy się na klasyfikacji zaproponowanej przez H. Zoll-Adamikową (1979, s. 115–118). Na omawianej nekropolii zanotowano pięć typów pochówków wczesnośredniowiecznych: nakurhanowe, nasypowe, podkurhanowe, jamowe urnowe, jamowe bezpopielnicowe.

Należy mieć na uwadze, że ze względu na praktycznie całkowite zniszczenie nasypów kopców głęboką orką, ustalenie pierwotnego miejsca zalegania szczątków kostnych jest w znacznej części przypadków niemożliwe. Dotyczy to zwłaszcza nakurhanowego i nasypowego typu pochówku, którego często nie jesteśmy w stanie ostatecznie oznaczyć.

posiadających prostokątne formy zbliżone do półziemianek (por. W. Łosiński 1998, s. 473–483; M. Florek 2011, s. 61–66).

Nakurhanowy typ pochówku zanotowano w 11 kurhanach, w kolejnych 8 istnieje trudność w określeniu, czy mamy do czynienia z nakurhanowym, czy z nasypowym typem pochówku. W 14 kurhanach stwierdzono podkurhanowy typ pochówku, w 3 nasypowy. W jednym kurhanie zanotowano pochówek jamowy bezpopielnicowy, także w jednym – jamowy urnowy.

Umieszczanie spalonych szczątków kostnych na kurhanie jest jedną z najczęstszych form pochówków charakterystyczną dla tzw. strefy C według H. Zoll-Adamikowej (1979, s. 126–131; 1996). Szczątki zmarłego składano na szczytowej partii kopca w popielnicy lub naczyniu organicznym, bądź rozsypywano na jego powierzchni (H. Zoll-Adamikowa 1979, s. 127; M. Florek 2011, s. 64, 65). Na cmentarzysku w Lipsku-Polesiu tę formę pochówku zanotowano prawie w połowie przebadanych grobów. Niestety praktycznie w każdym przypadku stwierdzenie pierwotnego miejsca złożenia szczątków kostnych było niemożliwe. Często były one odkrywane w części spływowej nasypów (kurhany nr 35, 38, 65, 68), w niektórych przypadkach zalegały tylko na jednej części stoku nasypu (kurhan nr 8, 24). W kilku przypadkach szczątki kostne zanotowano na poziomie rowów przykurhanowych (kurhany nr 25, 35, 41, 42).

Znacznie rzadziej notowany jest podkurhanowy typ pochówku, który na nekropolii w Lipsku-Polesiu został zanotowany w niemal 1/3 przebadanych grobów. W tym przypadku przepalone szczątki zmarłego, zazwyczaj z pozostałością stosu pogrzebowego, depnowano na powierzchni gruntu, następnie przykrywano nasypem kurhanu. W przypadku domniemanych pochówków nasypowych były one warstwowe lub rozproszone (H. Zoll-Adamikowa 1979, s. 125). Niestety zniszczenie nasypów grobów przez orkę nie pozwala na ustalenie szczegółowej formy tego pochówku w żadnym z przypadków.

Podwójne pochówki nasypowe i podkurhanowe zanotowano w przypadku kurhanów nr 38, 42 oraz 62. W kurhanie nr 38 pod jego nasypem zanotowano pochówek jamowy.

Pod nasypem kurhanu nr 44, w części południowej odkryto na poziomie humusu pierwotnego urnę ze szczątkami kostnymi. W kurhanie nr 41 w rowie przykurhanowym odkryto 10 fragmentów jednego naczynia oraz szczątki kostne. Niewykluczone, że w tym przypadku także mamy do czynienia z pochówkiem urnowym. Zarówno pochówki jamowe podkurha-

nowe, jak i urnowe należą do bardzo rzadko spotykanych (por. H. Zoll-Adamikowa 1979, s. 119, 120).

Szcątki kostne. Liczba osobników i pochówki zwierzęce

Dokładne omówienie analiz ludzkich i zwierzęcych szczątków kostnych zostało zamieszczone w tematycznych rozdziałach. W zdecydowanej liczbie były to pochówki pojedyncze, podwójne zanotowano jedynie w czterech przypadkach. W zdecydowanej większości w kurhanach zanotowano szczątki osobników dorosłych (*adultus* oraz *adultus-maturus*), jedynie w pięciu przypadkach w grobach odkryto szczątki osobników niedorosłych lub dzieci. Szczątki kostne odkryte w największym i najbogatszym pod względem wyposażenia grobowego kurhanie nr 35 należały prawdopodobnie do mężczyzny zmarłego w podeszłym wieku. Ponadto domniemane kości osobników płci męskiej zanotowano w kurhanach nr 9 oraz 27. Prawdopodobne szczątki kobiece zidentyfikowano jedynie w kurhanie nr 58.

To co wyróżnia pochówki odkryte na cmentarzysku w Lipsku-Polesiu, to stosunkowo duża liczba szczątków zwierzęcych stanowiących dodatek do pochówków ludzkich. W czterech kurhanach (1, 25, 35 oraz 58) zanotowano szczątki owcy lub kozy, w dwóch świni (24 i 29) oraz bydła (9 i 63), a kość ptasią zidentyfikowano w jednym kurhanie (40). Na tle gatunkowym wyróżnia się koń, którego szczątki odkryto w 5 kurhanach (20, 25, 47, 56, 58). Zwłaszcza w kurhanie nr 25 liczba szczątków konia (przeszło 100 fragmentów) była znacząca.

Pochówki zwierzęce (całkowite lub częściowe) występują powszechnie we wczesnośredniowiecznych grobach Bałtów, Germanów oraz ludów koczowniczych. Zwłaszcza szeroko notowane są pochówki z końmi (M. Müller-Wille 1970; 1985; C. Ambros, H. H. Müller 1980; J. Piątkowska-Małecka 2000; M. Hoffman 2006; I. Bede 2012; A. Łukaszyk 2012; A. Fijałkowska 2017 tam dalsza literatura). Z kolei u Słowian uważa się to zjawisko za wyjątkowe. Poza obszarem Polski znaleziska szczątków zwierzęcych w pochówkach ciałałalnych utożsamianych ze Słowianami znane są z terenów Łużyc, Czech, Słowacji, Białorusi oraz Rosji. Najczęściej notowane w literaturze są znaleziska szczątków koni. Tematyka ciałałalnych wczesnośredniowiecznych pochówków ze zwierzętami została podjęta przez badaczy białoruskich. Na obsza-

rze dzisiejszej Białorusi cząstkowe lub pełne pochówki koni z tego okresu zanotowano łącznie w 24 grobach, w tym w 9 ciałopalnych (L. A. Golubeva 1981; L. Dučyc 1997; S. P. Vicáz 2008) (Ryc. 2).

Temat ten rzadko poruszany był w przypadku omawiania wczesnośredniowiecznego obrządku pogrzebowego (por. J. Kalaga 2006, s. 136, 137; M. Dzik 2015, t. II, s. 156, 157; ostatnio Ł. Miechowicz 2021), choć został dobrze opracowany dla okresów wcześniejszych (T. Węgrzynowicz 1982). Problem, na jaki natrafiamy przy próbie scharakteryzowania omawianego zjawiska, stanowi brak analiz osteologicznych szczątków kostnych dla większości badanych wczesnośredniowiecznych pochówków ciałopalnych. Z reguły były one przez autorów opracowań z góry uznawane za pozostałości ludzkie (por. J. Kalaga 2006, s. 138). Poza cmentarzyskiem w Lipsku-Polesiu znaleziska szczątków zwierzęcych znane są z 120 wczesnośredniowiecznych pochówków ciałopalnych identyfikowanych ze Słowianami, odkrytych na 36 cmentarzyskach na obszarze dzisiejszej Polski. Wystąpiły one w 48 pochówkach kurhanowych i 72 jamowych (w tym tzw. grobach typu Alt-Käbelich), w jednym przypadku w rowie otaczającym budynek o nieznannej funkcji⁶.

Określenie chronologii większości omawianych grobów jest dość szerokie. Zjawisko to notowane jest w ciałopalnych pochówkach Słowian od VI/VII po XIII w., przy czym zdecydowana większość grobów ze szczątkami zwierząt pochodzi z okresu pomiędzy VIII a X w. W znaleziskach przeważają szczątki zwierząt hodowlanych, przeważnie bydła oraz koni. Poza tym odnotowano szczątki świni, oraz owcy lub kozy.

W przypadku 70% wszystkich znalezisk przepalone szczątki zwierzęce były przemieszane z ludzkimi, w pozostałych zdeponowano je osobno w grobie. Wyposażenie grobowe omawianych pochówków zwykle nie odbiega od pozostałych na danych nekropoliach. W znaleziskach archeologicznych widoczne są regionalne różnicowania. Większość z nich zanotowano na obszarze Polski Wschodniej, gdzie znajduje się nekropolia w Lipsku-Polesiu. Jedynie w tej części kraju stwierdzono w grobach resztki koni. Większość odkryć szczątków zwierzęcych w grobach ciałopalnych – także płaskich jamowych – wystąpiła w strefie występowania pochówków kurhanowych (H. Zoll-Adamikowa

1996). Domieszkę szczątków zwierzęcych odnotowano zarówno w pochówkach dziecięcych, jak i osobników dorosłych.

Nieliczne źródła pisane, poruszające temat zwyczajów pogrzebowych Słowian, jeszcze mniej mówią o udziale w nich zwierząt. Za najważniejszą dla naszych rozważań należy uznać relację arabskiego historyka al-Mas'ūdiego zawartą w dziele *Złote Łąki* (ok. 947 r.). Znalazł się tam opis praktyk sepulkralnych słowiańskiego ludu *S[a]rbīn*, którego lokalizację większość badaczy odnosi do Słowiańszczyzny Zachodniej (T. Lewicki 1956, s. 151). Stosunkowo często w przekazach pisanych dotyczących Słowian zachodnich pojawiają się wzmianki o koniach jako zwierzętach o wysokiej pozycji u Słowian (T. Lewicki 1954, s. 552, 553; U. Lewicka-Rajewska 2004, s. 64–79).

T. Węgrzynowicz (1982) zaproponowała szereg hipotez odnośnie możliwości interpretacji zjawiska występowania zwierzęcych szczątków kostnych w grobach oraz rozumienia ich jako: pozostałości złożonego w grobie lub na stosie pożywienia dla zmarłego; śladów styp pogrzebowych, podczas których resztki pożywienia były wrzucane do grobu lub na stos ciałopalny; ofiary rozumianej jako dar grobowy – zarówno dla zmarłego, jak i sił pozaziemskich; symbolicznego wyrażenia profesji, stanu majątkowego lub statusu społecznego zmarłego; rezultat różnego rodzaju zabiegów magicznych, np. karmienia zmarłych krwią itp. Konceptje te były z reguły powtarzane w późniejszej literaturze (por. J. Kalaga 2006, s. 137; K. Niemczak 2019, s. 176; K. Kajkowski, A. Kuczkowski 2011, s. 340, 341). Fragmenty nieprzepalonych szczątków zwierzęcych odkryte na cmentarzysku w Lipsku-Polesiu w kontekście funeralnym, lecz poza pochówkami, w zdecydowanej większości wystąpiły na powierzchni grobów. Dominują w nich szczątki świni oraz owcy lub kozy. Miejsce ich zalegania sugeruje, że mogły stanowić one zarówno symboliczne pożywienie dla zmarłych, jak i pozostałości pokonsumpcyjne pozostawione w trakcie stypy, czy też późniejszych obrzędów ku czci zmarłych.

W przypadku konia było to zwierzę o dużej wartości materialnej i użytkowej, a równocześnie o bogatej funkcji symbolicznej. Złożenie go wraz ze zmarłym do grobu stanowiło cenny dar grobowy (por. Ł. Miechowicz 2021). Możemy zaryzykować stwierdzenie, że obecność zwierząt w obrządku pogrzebowym Słowian nie była zjawiskiem wyjątkowym, lecz największa ich obecność w grobach notowana jest na obszarze dzisiejszej Polski Wschodniej.

⁶ Ł. Miechowicz, *Zwierzęta w ciałopalnym obrządku pogrzebowym Słowian na przykładzie znalezisk z obszaru dzisiejszej Polski*, tekst w druku w *Historia Slavorum Occidentis*.

Wyposażenie grobowe

Najliczniejszą kategorię znalezisk odkrytych w trakcie badań cmentarzyska w Lipsku-Polesiu stanowi ceramika naczyniowa, omówiona w odrębnym rozdziale. W wyniku badań prowadzonych na stanowisku pozyskano 15250 ułamków naczyń związanych z czasem użytkowania cmentarzyska. Po dokonaniu redukcji liczebnej o te, które pochodziły z tych samych naczyń, liczbę naczyń określono na ponad 40 000. Skłania to do przypuszczeń, iż w jamach grobowych znajdowały się często ułamki pojedynczych lub powyżej kilku naczyń.

Rozrzut fragmentów naczyń glinianych może sugerować ich znaczenie i funkcję w kontekście grobowym. H. Zoll-Adamikowa (1979, s. 127–131) przychyliła się do interpretacji fragmentów naczyń odkrywanych na powierzchni nasypów kurhanowych jako pozostałości popielnic stawianych na szczycie kopca, słupach wbitych na obrzeżach nasypu lub bezpośrednio przy nasypie, np. w rowie przykurhanowym. Nie możemy jednak wykluczyć ich innego znaczenia, zwłaszcza że analiza rozrzutu fragmentów naczyń glinianych oraz szczątków kostnych wskazuje, że często tworzą one odrębne skupiska (por. M. Florek 2011, s. 65). Należy mieć na uwadze, że znaczna część fragmentów ceramiki naczyniowej odkrywanych na powierzchni nasypów kurhanowych oraz u ich podstawy może być pozostałością obrzędów związanych z kultem zmarłych, np. stawianiu na grobach pożywienia w formie darów (por. W. Koman 1991, s. 165; M. Florek 2011, s. 65). Obrzędy takie mogły być praktykowane nawet wiele dekad po pochówku. Stąd opieranie chronologii grobów na podstawie fragmentów naczyń glinianych odkrytych u podstawy lub na kulminacji nasypów może być błędne.

Kolejny problem stanowi zagadnienie tzw. ceramiki grobowej, często wykonanej w sposób dość niestaranny i słabo wypalanej. Tego typu naczynia spotykane są w kontekstach grobowych i prawdopodobnie były wykonywane specjalnie w celach sepulkralnych, stąd ich bardziej prymitywne wykonanie niż ceramiki użytkowej (por. K. Musianowicz 1982, s. 122)⁷.

⁷ Przy czym zdaniem H. Zoll-Adamikowej (1979, s. 148) nie istnieją podstawy do dokonywania podziału ceramiki odkrywanej we wczesnośredniowiecznych pochówkach ciałopalnych na naczynia grobowe oraz użytkowe.

Militaria, na które składają się grot strzały i ostroga żelazna z zaczepami haczykowatymi, odkryto jedynie w kurhanie 35, podobnie jak elementy stroju w postaci żelaznych sprzączek trapezowatych. Żeleźce wczesnośredniowiecznego topora oraz ciosło są znaleziskami luźnymi.

Do kategorii ozdób zaliczyć trzeba kabłączek skroniowy z kurhanu nr 10 oraz paciorki szklane omówione w osobnych rozdziałach.

Chronologia kurhanów

Podstawą określenia chronologii kurhanów w Lipsku-Polesiu była ceramika naczyniowa, jednakże – jak wskazaliśmy powyżej – jest to kategoria zabytków bardzo trudna do precyzyjnego datowania. Rzecz utrudnia dodatkowo przemieszczenie i znaczne rozdrobnienie zabytków poprzez prace orne, kwestia istnienia tzw. ceramiki grobowej o recesywnych cechach produkcyjnych w stosunku do ceramiki użytkowej oraz możliwość przynoszenia i ustawiania naczyń grobowych na nasypach kurhanów przez dziesiątki, a może nawet setki lat od momentu złożenia pochówku. Nie podjęto niestety próby określenia dat bezwzględnych szczątków botanicznych odkrytych w kurhanach.

Do bardziej precyzyjnych datowników należą zabytki metalowe odkryte w nasypie kurhanu nr 35, zwłaszcza ostroga żelazna i grot strzały, których chronologię możemy określić na VIII w.⁸ Jest to najprawdopodobniej jeden z najstarszych kurhanów (być może pierwszy?) na cmentarzysku, wyróżniający się dodatkowo wielkością i budową, m.in. w postaci prawdopodobnej konstrukcji typu półziemiankowego z brukiem kamiennym, uchwyconym w centrum nasypu.

Na VIII/IX w. możemy datować także naczynie odkryte w nasypie kurhanu nr 44, bardzo zbliżone pod względem cech technologicznych oraz stylistycznych do naczynia z kurhanu nr 35. Podobne cechy wykazuje część materiału ceramicznego z kurhanów zgrupowanych w pierwszej strefie nekropolii, którą należy uznać za najstarszą część cmentarzyska.

Biorąc pod uwagę powyższe informacje, do czasu podjęcia prób datowania bezwzględnego materiałów zabytkowych z cmentarzyska w Lipsku-Polesiu zdecydowaną większość grobów możemy datować dość szeroko na VIII–IX/X w.

⁸ M. DREWKO (1954, s. 307, 308) określił chronologię kurhanu na VII/VIII w., jednakże nie mamy przesłanek do datowania grobu na VII w.

Bibliografia

Ambros C., Müller H. H.

1980 *Frühgeschichtliche Pferdeskelettfunde aus dem Gebiet der Tschechoslowakei*, Bratislava.

Bede I.

2012 *The Status of Horses in Late Avar-period Society in the Carpathian Basin*, [w:] R. Annaert, K. De Groote, Y. Hollevoet, F. Theuvs, D. Tys, L. Verslype (red.), *The very Beginning of Europe? Cultural and Social Dimensions of Early-Medieval Migration and Colonisation (5th-8th Century)*, Bruksela, s. 41–50.

Drewko M.

1921 *Sprawozdanie z działalności Państwowego Urzędu Konserwatorskiego na Okręg Lubelski*, „Wiadomości Archeologiczne” VI, s. 183.

1923 *Sprawozdanie z działalności Państwowego Konserwatora Zabytków Przedhistorycznych na Okręg Lubelski*, „Wiadomości Archeologiczne” VIII, s. 100, 101.

1953 *Wczesnośredniowieczne kurhany ciałopalne we wsi Lipsko, pow. Zamość*, „Sprawozdania Państwowego Muzeum Archeologicznego” V, z. 4, s. 36–41.

1954 *Wielki kurhan z wczesnośredniowiecznego cmentarzyska we wsi Lipsko, pow. Zamość*, „Wiadomości Archeologiczne” XX, s. 307–308.

1956 *Prace wykopaliskowe na wczesnośredniowiecznym cmentarzysku kurhanowym we wsi Lipski, pow. Zamość*, „Sprawozdania Państwowego Muzeum Archeologicznego” II, s. 82–84.

1957 *Sprawozdanie z badań przeprowadzonych w 1955 r. na wczesnośredniowiecznym cmentarzysku kurhanowym we wsi Lipsko, pow. Zamojski*, „Sprawozdania Archeologiczne” 3, s. 36–41.

Dučyc L.

1997 *Žyvėly i ptuški ū pahavalnym abraze kurhanou Belarusi*, „Gistarična-arheagicy Sbornik” 11, s. 147–150.

Dzik M.

2015 *Przemiany zwyczajów pogrzebowych w międzyrzeczu Bugu i górnej Narwii (XI-XV w.)*, t. I, Rzeszów.

Fijałkowska A.

2017 *Pochówki końskie w kulturze zachodnich Baltów – próba wyjaśnienia genezy oraz związków z wierzeniami w okresie od II do XII w. n.e.*, „Argumenta Historica. Czasopismo Naukowo-Dydaktyczne” 4, s. 40–49.

Florek M.

2011 *Uwagi o zróżnicowaniu słowiańskiego obrządku pogrzebowego w Małopolsce w okresie plemiennym (do końca X w.)*, [w:] S. Cygan, M. Glinianowicz, P. Kotowicz (red.), *In silvis, campis... et urbe. Średniowieczny obrządek pogrzebowy na pograniczu polsko-ruskim*, Rzeszów-Sanok, s. 59–78.

Golubeva L. A.

1981 *Konske pogrebena w kurganah severo-vostočnoj Rusi VIII–XI ww.*, „Sovetskaâ Archeologia” 4, s. 87, 88.

Hoffmann M.

2006 *Koń w obrzędowości zachodnich Baltów i Prusów w świetle wybranych źródeł archeologicznych i historycznych*,

[w:] L. Kostuch, K. Ryszewska (red.), *Zwierzę jako sacrum w pradziejach i starożytności*, Kielce, s. 61–68.

Kajkowski K., Kuczkowski A.

2011 *Pokarm dla duszy – pokarm dla ciała. Szczątki zwierzęce we wczesnośredniowiecznej przestrzeni grzebalnej Pomorza*, „Materiały Zachodniopomorskie”, Nowa seria, VI/VII, 1, Archeologia, s. 327–473.

Kalaga J.

2006 *Ciałopalny obrządek pogrzebowy w międzyrzeczu Liwca, Bugu i Krzyny we wczesnym średniowieczu*, Warszawa.

Koman W.

1991 *Badania ratownicze na wczesnośredniowiecznym cmentarzysku kurhanowym w Mokrem, stan. 1, gm. Zamość w latach 1981-87*, „Prace i Materiały Zamojskie” III, s. 144–179.

Kotowicz P. N.

2005 *Stan i potrzeby badań nad wczesnośredniowiecznym ciałopalnym obrządkiem pogrzebowym na terenie województwa lubelskiego*, „Archeologia Polski Środkowoschodniej” 7, s. 156–172.

2007 *Woda w słowiańskich wyobrażeniach o zaświatach – mit a rzeczywistość*, [w:] W. Dzieduszycki, J. Wrzesiński (red.), *Środowisko pośmiertne człowieka*, Funeralia Lednickie. Spotkanie 9, t. 1, s. 109–142.

Lewicka-Rajewska U.

2004 *Arabskie opisanie Słowian*, Wrocław.

Lewicki T.

1954 *Średniowieczne źródła arabskie i perskie o hodowli zwierząt domowych u Słowian*, „Kwartalnik Historii Kultury Materialnej” 3, s. 444–469.

1956 *Ze studiów nad źródłami arabskimi*, „Slavia Antiqua” V, s. 158–183.

Łosiński W.

1998 *Z dziejów obrzędowości pogrzebowej u północnego odłamu Słowian zachodnich w świetle nowszych badań*, [w:] red. H. Kóčka-Krenz, W. Łosiński (red.) *Kraje słowiańskie w wiekach średnich. Sacrum i profanum*, Poznań, s. 473–483.

Łukaszyk A.

2012 *Wierzchowce Bogów. Motyw konia w wierzeniach i sztuce Słowian i Skandynawów*, Szczecin.

Mączka G. (red.)

2020 *Kurhany na Wyżynie Lubelskiej*, Lublin.

Miechowicz Ł.

2017 *Nieznaný wól podlužný w Kotlinie Chodelskiej. Przyczynek do studiów nad obronnością oraz granicami we wczesnym średniowieczu*, [w:] M. Dzik, G. Śnieżko, M. Starcki (red.), *Finestis temporum. Studia ofiarowane Profesor Elżbiecie Kowalczyk-Heyman w pięćdziesięciolecie pracy naukowej*, Rzeszów, s. 265–278.

2020 *Wczesnośredniowieczny obrządek pogrzebowy w Kotlinie Chodelskiej na tle Małopolski okresu plemiennego (VIII–X w.)*, [w:] G. Mączka (red.), *Kurhany na Wyżynie Lubelskiej*, Lublin, s. 13–38.

- 2021 *Pałą siebie w ogniu gdy umrze im król lub wódz i pałą również jego wierzchowce. Wczesnośredniowieczny pochówek ciałopalny ze szczątkami konia z Chodlika, pow. opolski, woj. lubelskie*, „Slavia Antiqua” LXII, s. 147–169.
- Musianowicz K.**
- 1982 *Ciałopalny grób ze Starej Wsi-Ludwinowa, woj. siedleckie, na tle wczesnośredniowiecznych pochówków z VI-IX w.*, „Światowit” 35, s. 117–128.
- Müller-Wille M.**
- 1970 *Pferdegrab und Pferdeopfen in frühen Mittelalter*, „Berichten van de Rijksdienst voor Oudheidkunde Bodemonderzoek” 20-21, s. 119–248.
- Niemczak K.**
- 2019 *Analiza szczątków zwierzęcych z wczesnośredniowiecznych pochówków ze stanowiska Niewiarowo-Sochy*, [w:] A. Buko (red.), *Początki chrześcijaństwa na pograniczu mazowiecko-ruskim w świetle wyników badań wybranych cmentarzysk*, Warszawa, s. 175–177.
- Piątkowska-Malecka J.**
- 2000 *Pochówki końskie na obszarze Polski północno – wschodniej w I tysiącleciu n.e.*, „Światowit” 2 (43)/B, s. 186–201.
- Szymański W.**
- 2004 *Dom żywych – dom umarłych w kulturze Słowian wczesnego średniowiecza*, [w:] Libera J., Zakościelna A. (red.), *Przez pradzieje i wczesne średniowiecze. Księga jubileuszowa na siedemdziesiąte piąte urodziny docenta doktora Jana Gurby*, Lublin, s. 301–308.
- Vicâz S. P.**
- 2008 *Pahavanii z Kanem na terytorii Belarusi*, „Materiały pa Archeologii Belarusi” 15, s. 108–125.
- Węgrzynowicz T.**
- 1982 *Szcątki zwierzęce jako wyraz wierzeń w czasach ciałopalenia zwłok*, Warszawa.
- Zoll-Adamikowa H.**
- 1968 *Badania nad rytuałem ciałopalnym z pierwszych faz wczesnego średniowiecza w Małopolsce*, „Archeologia Polski” 13, s. 407–428.
- 1975 *Wczesnośredniowieczne cmentarzyska ciałopalne Słowian na terenie Polski. Cz. 1. Źródła*, Wrocław.
- 1979 *Wczesnośredniowieczne cmentarzyska ciałopalne Słowian na terenie Polski. Cz. 2. Analiza. Wnioski*, Wrocław.
- 1996 *Wczesnośredniowieczny obrządek pogrzebowy a zróżnicowanie etniczne na pograniczu polsko-ruskim*, [w:] M. Parczewski, S. Czopek (red.), *Początki sąsiedztwa. Pogranicze polsko-rusko-słowackie w średniowieczu*, Rzeszów, s. 81–96.
- 2000 *Usytuowanie cmentarzy Słowian w środowisku (doba pogańska I pierwsze wieki po przyjęciu chrześcijaństwa)*, [w:] S. Moździoch (red.), *Człowiek, Sacrum, Środowisko. Miejsce kultu we wczesnym średniowieczu*, „Spotkania Bytomskie” 4, s. 207–219.

REMARKS ON THE EARLY MEDIEVAL FUNERAL RITE ON THE BARROW CEMETERY IN LIPSKO-POLESIE

The early medieval cemetery in Lipsko-Polesie is one of the most studied Slavic tribal sites of the tribal period in Poland. Unfortunately, these studies were mainly of a rescue nature, and a significant part of the information was lost due to the almost complete plowing up of the barrow mounds as a result of performed agricultural works. This led to the destruction of the context of a significant part of the burials and artefacts, especially in the case of the graves on-barrows. Nevertheless, we can draw a number of conclusions about the form of the rite and funeral customs practiced on the discussed cemetery.

The site occupies the top of an eminency, it is located 200 m east of the settlement and 500 m from an early medieval stronghold located on the so called “Łysa Góra”. It is possible that the space occupied by the necropolis was ordered and differentiated in advance. In terms of the spatial arrangement of barrows, they can be clustered into three

zones. The first of them occupies the south-eastern top of the hill, composing the largest cluster of 47 mounds, forming a rectangular shape. The graves are characterised by linear distribution. It is most likely the oldest part of the cemetery. Another zone of 15 barrows occupies the central part of the top. The last cluster of mounds occupies the north-western end of the hill. It is possible that the graves were adjacent to the communication routeway that was running once here.

Five types of early medieval cremation burials have been noted in the necropolis under discussion: on top of the mound, in-mound, sub-barrow, pit urn-burials and pit burials without urn. The type on top of the mound was recorded in 11 barrows, in the next 8 it is difficult to determine the on top of the mound or on-mound type of the burial. In 14 barrows, a sub-barrow burial type was found, in 3 others the on-mound one. In one barrow a pit burial without urn and one pit

burial with urn was noted. In large part of barrows the remains of adults (*adultus* and *adultus-maturus*) were recorded, only in five cases the remains of adolescents or children were found in the graves. What distinguishes the burials discovered in the cemetery in Lipsko-Polesie is the relatively large number of animal remains that constitute an addition to human burials.

As to the size distribution of the graves, the most numerous group are mounds with a diameter of between 5 and 9 m. The smallest mounds are only up to 4 m in diameter and the largest burial mound No. 35 had an oval shape and dimensions of 22×10 m. The existence of adjacent ditches was found at most of the barrows. In 5 cases, under the mound with burial on top of the mound, a burnt layer and charcoal were noted, providing most likely an evidence of clearing the area with using fire before making the mound. In 7 barrows remains of four-sided wooden structures in the form of boxes, burnt in situ, were discovered under mounds. It seems to be correct to interpret them as the remains of a peculiar "house for the deceased", burned in the same way as the deceased himself during the funeral ritual. Structures in the form of hearths lined with stone (limestone) pavement were noted in the case of two barrows.

The most numerous category of finds discovered in course of the research on the cemetery in Lipsko-Polesie is vessel pottery. Military consisting of an arrowhead, an iron spur with hooks were discovered only in the burial mound No. 35. Similarly as elements of clothing in the form of iron trapezoidal buckles. The iron blade of an early medieval shaft-hole axe and an adze are stray finds. The category of ornaments includes the alleged temple ring from the burial mound No. 10 and the glass beads.

Based on the analysis of vessel ceramics, the vast majority of graves can be dated quite broadly to the 8th-9th/10th-11th century AD. To more precise dating objects belong metal artefacts discovered in the mound of the barrow No. 35, especially an iron spur and an arrowhead, the chronology of which can be referred to the 8th century AD. To the 9th century AD, we can also date the vessel discovered in the mound of the barrow No. 44, very similar in terms of technological and stylistic features to the vessel from the barrow No. 35. Similar features exhibit some specimens of the ceramic material from the burial mounds that make up zone I of the necropolis, which should be considered the oldest part of the cemetery.

Zabytki z epoki brązu i okresu lateńskiego ze stanowiska 1 w Lipsku-Polesiu

Jerzy Trzebiński

Cmentarzisko kurhanowe w Lipsku-Polesiu jest sepulkralnym stanowiskiem archeologicznym z okresu wczesnego średniowiecza. Jednak w czasie badań wykopaliskowych, prowadzonych tam w latach 50. XX w. przez Michała Drewkę, natrafiono również na zabytki datowane na starsze epoki, przede wszystkim na epokę brązu. Należy je łączyć z kulturą trzciniecką (dalej KT) oraz łużyckimi polami popielnicowymi (dalej ŁPP)¹. Jest to głównie materiał ceramiczny, który w sposób wtórny został przeniesiony razem z ziemią w czasie sypania kopców grobowych. Został on przez to pozbawiony swojego pierwotnego kontekstu i należy go właściwie traktować jako materiał przemieszany. Na epokę brązu można również datować kilkadziesiąt zabytków z krzemienia i kamienia. Pod nasypami kurhanów odkryto także 5 grobów jamowych z okresu lateńskiego i 5 obiektów datowanych na epokę brązu.

Roztocze Środkowe i Kotlina Zamojska od środkowej epoki brązu do okresu lateńskiego

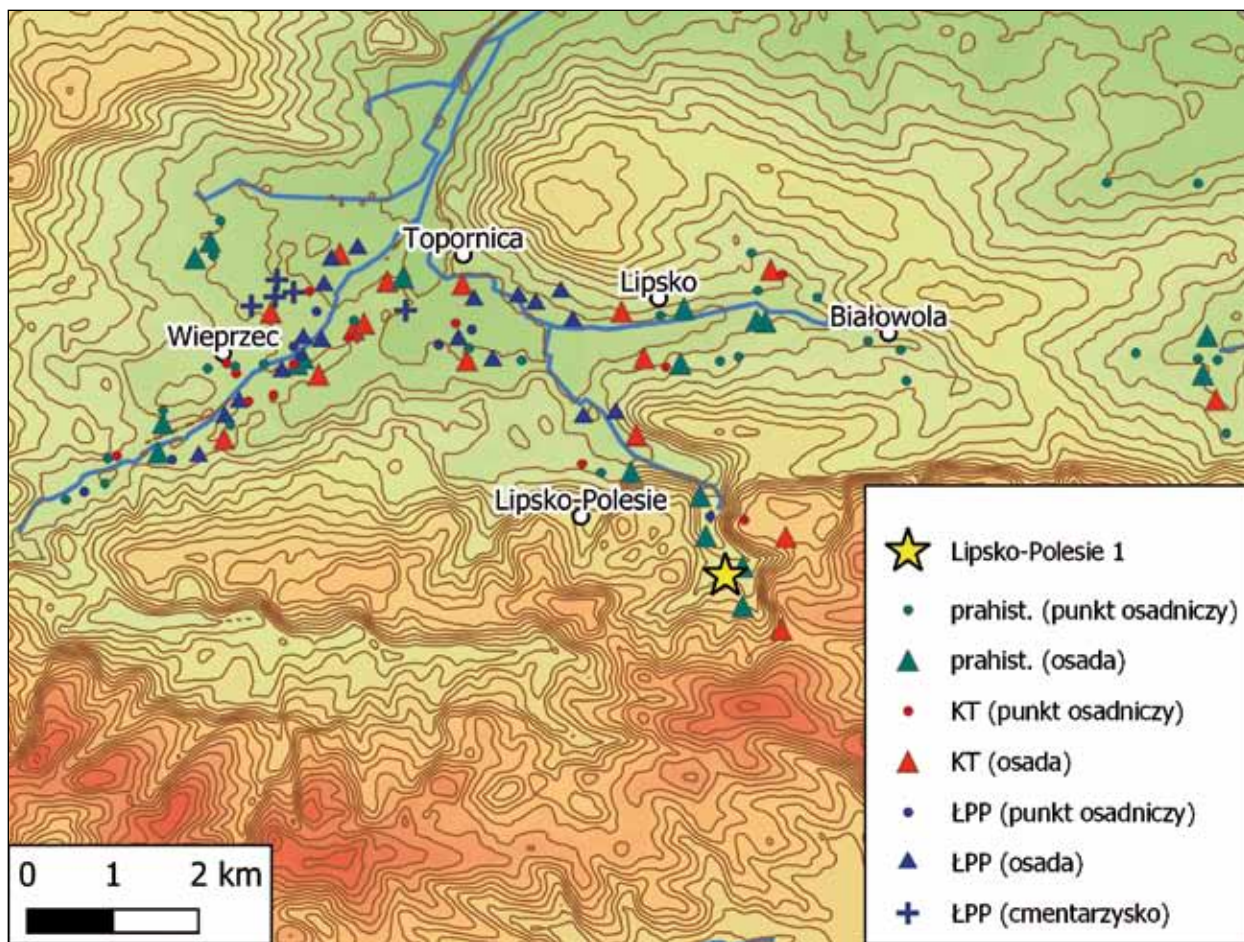
Obszar Zamojszczyzny we wczesnej epoce brązu zamieszkiwały społeczności kultur mierzanowickiej i strzyżowskiej. Technologicznie były to jeszcze ugrupowania o charakterze eneolitycznym, kontynuujące

tradycje kultur z ceramiką sznurową (J. Górski 2017, s. 91). Kultura trzciniecka pojawiła się na omawianym terenie w XVIII w. p.n.e. Wśród badaczy trwa dyskusja, na ile ekspansja nowej kultury odbywała się na drodze migracji i podboju, a w jakim stopniu w procesie akulturacji (np. J. Górski 2017, s. 92–101; J. Niedźwiedź 2018a, s. 164–175).

Rozwój KT na Rztoczu Środkowym i w Kotlinie Zamojskiej trwał do XII w. p.n.e., kiedy na obszarze Lubelszczyzny rozpoczął się proces przemian kulturowych, skutkujący pojawieniem się ŁPP. Można przypuszczać, że był to dość długi proces, trwający w przybliżeniu ok. 100 lat (J. Niedźwiedź, H. Taras 2006, s. 105). W tym czasie można zaobserwować koegzystencję osadnictwa KT i ŁPP i postępujący proces akulturacji. Rozprzestrzenienie się ŁPP było związane z poważnymi przemianami kulturowymi i religijnymi. Na omawianym obszarze następuje większa stabilizacja osadnictwa, pojawiają się długo użytkowane cmentarzyska w typie pól popielnicowych, upowszechnia się ciałopalny obrządek pogrzebowy, widoczne są zmiany w sferze symbolicznej i duchowej, co przejawia się np. występowaniem plastyki figuralnej, najczęściej w postaci figurek ornitomorficznycy. Wydaje się, że mniejsze zmiany zaszły na polu technologicznym. Na Lubelszczyźnie stwierdzono stosunkowo małe nasycenie przedmiotami z brązu, za to w powszechnym użyciu były ciągle narzędzia i broń wykonane z krzemienia lub kamienia (J. Dąbrowski 1982, s. 266; E. Kłosińska 2019, s. 233).

Obszar Lubelszczyzny przez długi czas był słabo poznany na tle innych rejonów zajętych przez osad-

¹ W rozdziale używany jest termin „łużyckie pola popielnicowe”, a nie „kultura łużycka”. Kwestia terminologii jest dyskutowana w literaturze naukowej i autor uważa za potrzebne pokreślenie przynależności ugrupowania tradycyjnie nazywanego „kulturą łużycką” do dużego kręgu kultur pól popielnicowych (M. Kaczmarek 2017, s. 286, 287)



Ryc. 1. Mapa osadnictwa KT i ŁPP w mikroregionie Lipska-Polesia. Poziomice co 5 m.

Fig. 1. Map of the settlement of KT and ŁPP in the Lipsko-Polesie microregion. Contour lines every 5 m.

nictwo ŁPP. Różni badacze łączyli go z rozległą terytorialnie grupą wschodnią lub grupą/podgrupą ulwówecką (np. M. Gedl 1975, s. 150; J. Dąbrowski 2009, s. 110). Pojawiła się także ciekawa koncepcja wydzielenia dużej „mazowieckiej kultury łużyckiej”, oparta głównie na analizie ceramiki, z wydzieloną grupą ulwówecką (J. Dąbrowski 1980, s. 45). W ciągu ostatnich dekad nastąpił duży przyrost bazy źródłowej dla ŁPP na Lubelszczyźnie (M. Kłosińska 2015, s. 64). Poddano również krytyce termin „grupa ulwówecka” (S. Czopek 1997, s. 221; M. Kłosińska 2015, s. 69). Obecnie chyba najbardziej poprawnie będzie określenie „lubelski wariant łużyckich pól popielnicowych”.

Osadnictwo ludności ŁPP trwało do wczesnej epoki żelaza. W okresie halsztackim widoczny jest kryzys osadnictwa. Nałożyła się na niego ekspansja nowego ugrupowania – kultury pomorskiej. Przybysze, reprezentujący nowe wzorce kulturowe, najpewniej przybyli na Zamojszczyznę w drugiej połowie okresu HaD (około połowy V w. p.n.e.). Roztocze Środ-

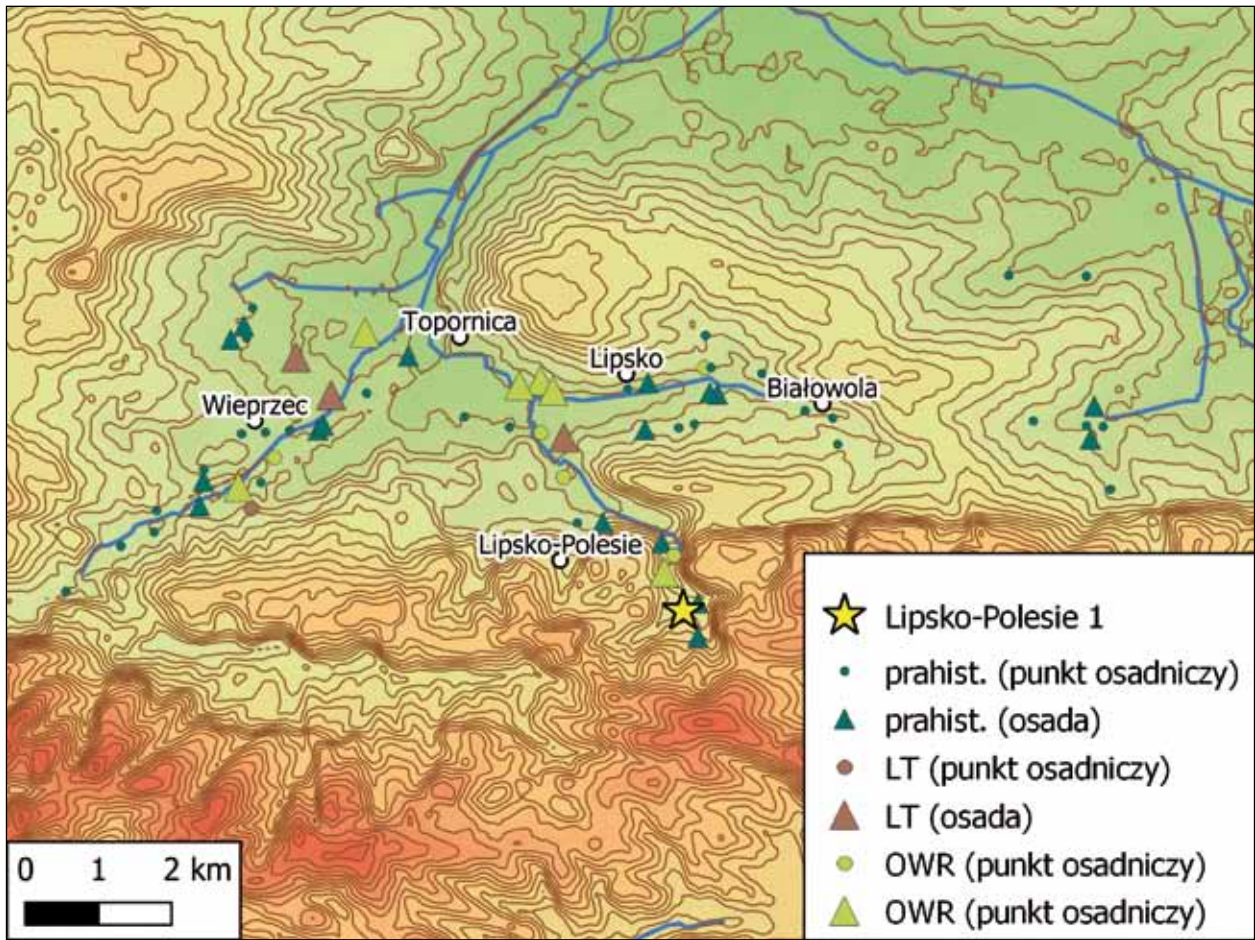
kowe w tym czasie uległo wyludnieniu (J. Niedźwiedź 2018a, s. 371).

Kultura pomorska rozwijała się na omawianym obszarze do środkowego okresu lateńskiego, gdy została zastąpiona osadnictwem kultury jastorfskiej, a nieco później lub równoległe – wczesnym osadnictwem kultury przeworskiej (J. Niedźwiedź 2018a, s. 444). Proces ten miał prawdopodobnie miejsce na przestrzeni III i II w. p.n.e. (J. Niedźwiedź 2018a, s. 449)².

Rozwój osadnictwa od środkowej epoki brązu do okresu lateńskiego w mikroregionie wokół Lipska-Polesia

Stanowisko 1 w Lipsku-Polesiu jest najlepiej przebadanym stanowiskiem archeologicznym w promieniu wielu kilometrów. Wykopaliskowo były również badane

² Pragnę serdecznie podziękować dr Józefowi Niedźwiedziowi za udostępnienie testu swojej rozprawy doktorskiej.



Ryc. 2. Mapa osadnictwa w okresie lateńskim i okresie wpływów rzymskich w mikroregionie Lipska-Polesia. Poziomice co 5 m.

Fig. 2. Map of settlement in the La Tène period and in the Roman influences period in the Lipsko-Polesie microregion. Contour lines every 5 m.

cmentarzyska w Topornicy stan. 1/16 i Wieprzcu stan. 1/3, a także wielokulturowa osada na stanowisku 17/46 w Wieprzcu. W oparciu o dane z Archeologicznego Zdjęcia Polski (AZP) możliwa jest próba rekonstrukcji sieci osadniczej w mikroregionie Lipska-Polesia. Obszar poddany analizie obejmuje dolinę rzeki Wieprzec i jej dopływów oraz pasma sąsiadujących wzniesień.

Badany mikroregion osadniczy znajduje się na styku dwóch mezoregionów fizycznogeograficznych: Kotliny Zamojskiej i Roztocza Środkowego. Są to obszary o odmiennym charakterze. Kotlina Zamojska jest rozległym obniżeniem, o lekko pofałdowanej rzeźbie terenu i korzystnych stosunkach wodnych. Roztocze Środkowe to obszar wyżynny, o zróżnicowanej topografii, dość stromych stokach, a także stosunkowo słabo zaopatrzonej w wodę. Roztocze oferuje również zdecydowanie mniej urodzajne gleby niż Kotlina Zamojska (J. Niedźwiedź 2018a, s. 28).

Powyższe uwarunkowania miały silny wpływ na kształtowanie się pradziejowej sieci osadniczej.

Stanowiska archeologiczne na omawianym terenie w zdecydowanej większości rozmieszczone są w obrębie dolin i dość rzadko pojawiają się na wyżej położonych terenach. Pewne odstępstwa od tej reguły widać w osadnictwie kultury trzcinieckiej. Samo stanowisko 1 w Lipsku-Polesiu zajmowało raczej peryferyjną pozycję w swoim mikroregionie osadniczym w omawianej części pradziejów.

Największe skupisko osadnictwa kultury trzcinieckiej znajdowało się między obecnymi wsiami Wieprzec i Topornica. Warto odnotować położenie dwóch osiedli KT w obrębie wierzchołkowych partii w paśmie wzgórz na wschód od Lipska-Polesia. Są to też najbliższe rozpoznane stanowiska z epoki brązu o ustalonej przynależności kulturowej i chronologii. Jedno z tych stanowisk znajduje się na wzgórzu „Zjawienie”, gdzie obecne są również relikty wczesnośredniowiecznego grodu. W wykopie sondażowym, przecinającym pozostałości wału, odkryto nieliczne fragmenty naczyń KT (M. Drewko 1957, s. 167).

Osadnictwo ŁPP jest mocniej skoncentrowane w dolinie, między dzisiejszymi wsiami Wieprzec i Lipsko. W tym rejonie, poza osadami udało się również rozpoznać dwa cmentarzyska ŁPP, położone w niewielkiej odległości od siebie. Na północny-wschód od Wieprzca zlokalizowane jest prawdopodobnie dość duże cmentarzysko ciałopalne. W ramach badań AZP zlokalizowano na tym obszarze parę stanowisk o charakterze sepulkralnym, wydaje się jednak, że raczej mamy do czynienia z jednym, ale niestety częściowo zniszczonym stanowiskiem. Jego fragment (stan. 1/3 w Wieprzcu) został objęty badaniami wykopaliskowymi, w czasie których okryto 92 groby ciałopalne, w tym 86 popielnicowych, 3 jamowe i 3 obsypane resztkami stosu (J. Niedźwiedź 2018b, s. 238).

Drugie cmentarzysko znajduje się na południowy zachód od Topornicy (stan. 1/16 w Topornicy). Wykopaliska na jego terenie przeprowadził w 1935 r. Wiktor Ber (J. Głosik 1958, s. 155). W ich trakcie okryto 134 groby popielnicowe i 31 jamowych (J. Niedźwiedź 2018b, s. 13). Spośród zabytków z cmentarzyska w Topornicy uwagę zwraca dość liczna ceramika figuralna (głównie figurki ornitomorficzne) i pewna liczba przedmiotów z brązu (ozdoby i elementy stroju).

W pobliżu omawianych cmentarzysk rozpoznano wykopaliskowo osadę ŁPP o powierzchni ok. 15 ha (stan. 17/46 w Wieprzcu). Zajmuje ona teren piaszczystej wydmy na zachód od wsi Topornica. W czasie badań wykopaliskowych, prowadzonych w latach 2011–2012, odkryto m.in. ślady domostwa, paleniska, jamy, liczny materiał ceramiczny i narzędzia krzemienne (J. Niedźwiedź 2018b, s. 252, 253).

Oba cmentarzyska są bliskie sobie pod względem chronologicznym i przestrzennym. Ich wielkość, ale też liczba pobliskich osiedli, wskazują na funkcjonowanie w tym rejonie dość licznej społeczności ŁPP. Skupisko to wyróżnia się nie tylko w mikroregionie, ale też na obszarze całego Roztocza Środkowego i Kotliny Zamojskiej (J. Niedźwiedź 2018a, s. 369). W czasie analizy osadnictwa ŁPP zwraca uwagę brak rozpoznanych stanowisk w promieniu ponad 2 km od Lipska-Polesia stan. 1. Z ciekawych znalezisk warto jeszcze wspomnieć o datowanym na epokę brązu sztylcie z Topornicy. Niestety dokłada lokalizacja miejsca odnalezienia tego artefaktu jest nieznaną.

Na podstawie analizy danych AZP można stwierdzić, że sieć osadnictwa w okresie lateńskim uległa znacznemu rozrzedzeniu. Dzięki badaniom wyko-

paliskowym udało się jednak potwierdzić obecność osady kultury pomorskiej na stan. 17/46 w Wieprzcu (J. Niedźwiedź 2018a, s. 426). Sytuacja podobnie prezentuje się także w okresie wpływów rzymskich (dalej: OWR). Na ten czas datuje się jednak małe skupisko stanowisk między Topornicą a Lipskiem. Trudno stwierdzić, z którą osadą należy łączyć groby z okresu lateńskiego w Lipsku-Polesiu. W pobliżu rozpoznane jest tylko jedno stanowisko datowane na OWR i 3 stanowiska pradziejowe o nieznaną chronologię.

Ceramika kultury trzcinieckiej

W czasie badań wykopaliskowych w Lipsku-Polesiu natrafiono na jedno naczynie KT. Odnaleziono je w warstwie czarnej, gliniastej ziemi w pobliżu kurhanu nr 35. Warstwa ta nie była pochodzenia antropogenicznego i prawdopodobnie utworzyła się w zagłębieniu terenu na skutek osiadania mułu na dnie niewielkiego zbiornika wodnego (M. Drewko 1956, s. 83). Można przypuszczać, że odnalezione naczynie zostało w nim zatopione.

Naczynie *in situ* zachowało się w całości, jednak po wydobyciu uległo rozpadowi (obecnie 83 fragmenty). Jest to garnek esowaty, z ornamentem rytym w postaci 8 żłobków dookólnych ok. 2 cm poniżej krawędzi wylewu. Między dwoma najniższymi żłobkami widoczna jest mało wydatna, wąska listwa plastyczna. Poniżej znajduje się ornament w postaci serii równoległych, skośnych żłobków, o zmiennym kierunku. Krawędź wylewu została pogrubiona i ścięta w kierunku zewnętrznym. Dno naczynia było płaskie i niewyodrębnione. Powierzchnia garnka jest wygładzona, barwy brunatnej po stronie zewnętrznej i brunatno-pomarańczowej po stronie wewnętrznej. Głina naczynia zawiera średnioziarnistą domieszkę mineralną z białego tłucznia.

Poza powyższym garnkiem na terenie cmentarzyska w Lipsku-Polesiu odnaleziono zaledwie 2 fragmenty ceramiki, które można z pewnością wiązać z KT. Są to pogrubione i ścięte fragmenty wylewu. Pochodzą z kurhanów nr 10/11 i 25.

Łużyckie pola popielnicowe

Inwentarz zabytków ŁPP składa się głównie z fragmentów ceramiki naczyniowej. Poza tym zawiera artefakty z krzemienia i kamienia. Zdecydowana więk-

szość zabytków ŁPP została odnaleziona w nasypach kurhanów lub w rowach je okalających, a więc na złożu wtórnym. Jedynie niewielką część materiału ceramicznego odkryto w kontekście nienaruszonych obiektów, które można łączyć z okresem funkcjonowania osady ŁPP.

Obiekty nieruchome

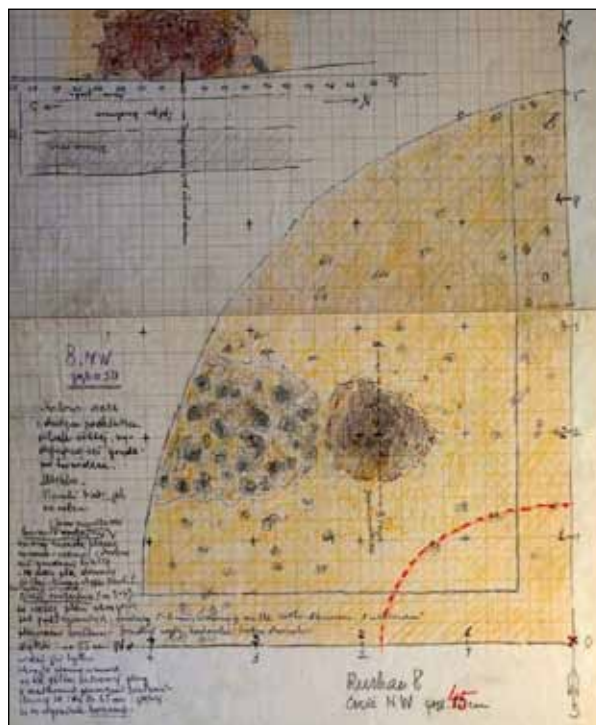
Kurhan 8

Pod północną częścią nasypu odkryto 4 obiekty datowane na epokę brązu. Na głębokości 45 cm widoczne były w postaci owalnych plam, położonych w jednej linii. Jeden obiekt (ob. 1) znajdował się w ćwiartce NW, a trzy pozostałe (ob. 2–4) w ćwiartce NE. Ich głębokość wynosiła od 20 do 40 cm. W rzucie poziomym na głębokości 45 cm ich wielkość wahała się od ok. 65 do 130 cm. Wypełnisko ob. 2–4 tworzyła ciemnobrunatna ziemia, a ob. 1 – ziemia brunatna. Profil ob. 1 był nieregularny (wykrot?), a przekroje ob. 2–4 – nieckowate. Wszystkie obiekty zawierały ceramikę ŁPP. W ob. 2 odnaleziono 27 fragmentów ceramiki i małe grudki polepy, w ob. 4: 3 fragmenty, a w ob. 1 i 3: tylko pojedyncze fragmenty drobnych skorup.

Kurhan 65

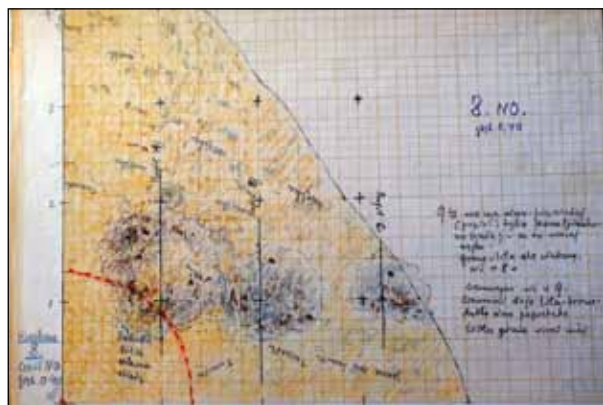
Przy krawędzi kurhanu w ćwiartce SW zlokalizowano płytką jamę. Jej wymiary wynosiły ok. 120×110 cm. Jej głębokość dochodziła do zaledwie 20 cm. Profil jamy był nieckowaty z nieregularnym dnem. Wypełnisko tworzyła ciemnobrunatna i czarna ziemia. W jamie odnaleziono 73 fragmenty ceramiki, tworzące 5 skupisk, być może odpowiadających poszczegól-

nym naczyniom. Była to głównie grubościenna ceramika zasobowa. Odnaleziono jeden fragment wylewu z 2 niewielkimi otworkami poniżej krawędzi. Poza tym obiekt zawierał grudki polepy, w tym jeden większy fragment, być może pochodzący z narożnika jakiejś konstrukcji (2 boki przedmiotu tworzą kąt prosty, widoczne są negatywy cienkich elementów drewnianych).



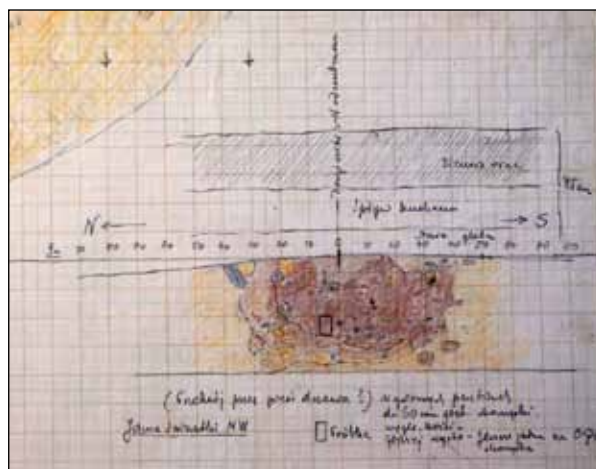
Ryc. 3. Obiekt 1 na rzucie poziomym części NW kurhanu 8.

Fig. 3. Feature 1 on the plan view of the NW part of the burial mound No. 8.



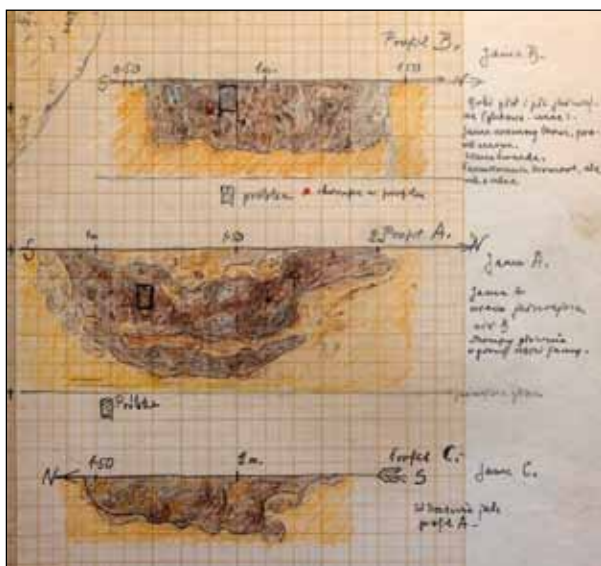
Ryc. 5. Od lewej obiekty 2–4 na rzucie poziomym części NE kurhanu 8.

Fig. 5. From the left, features 2–4 on the plan view of the NE part of the burial mound No. 8.



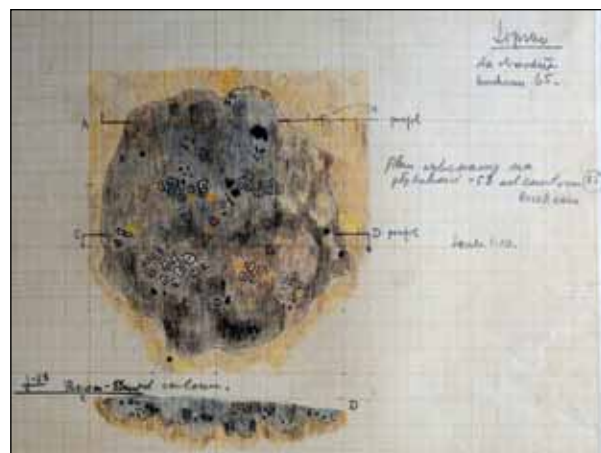
Ryc. 4. Obiekt 1 – profil.

Fig. 4. Feature 1 – cross-section.



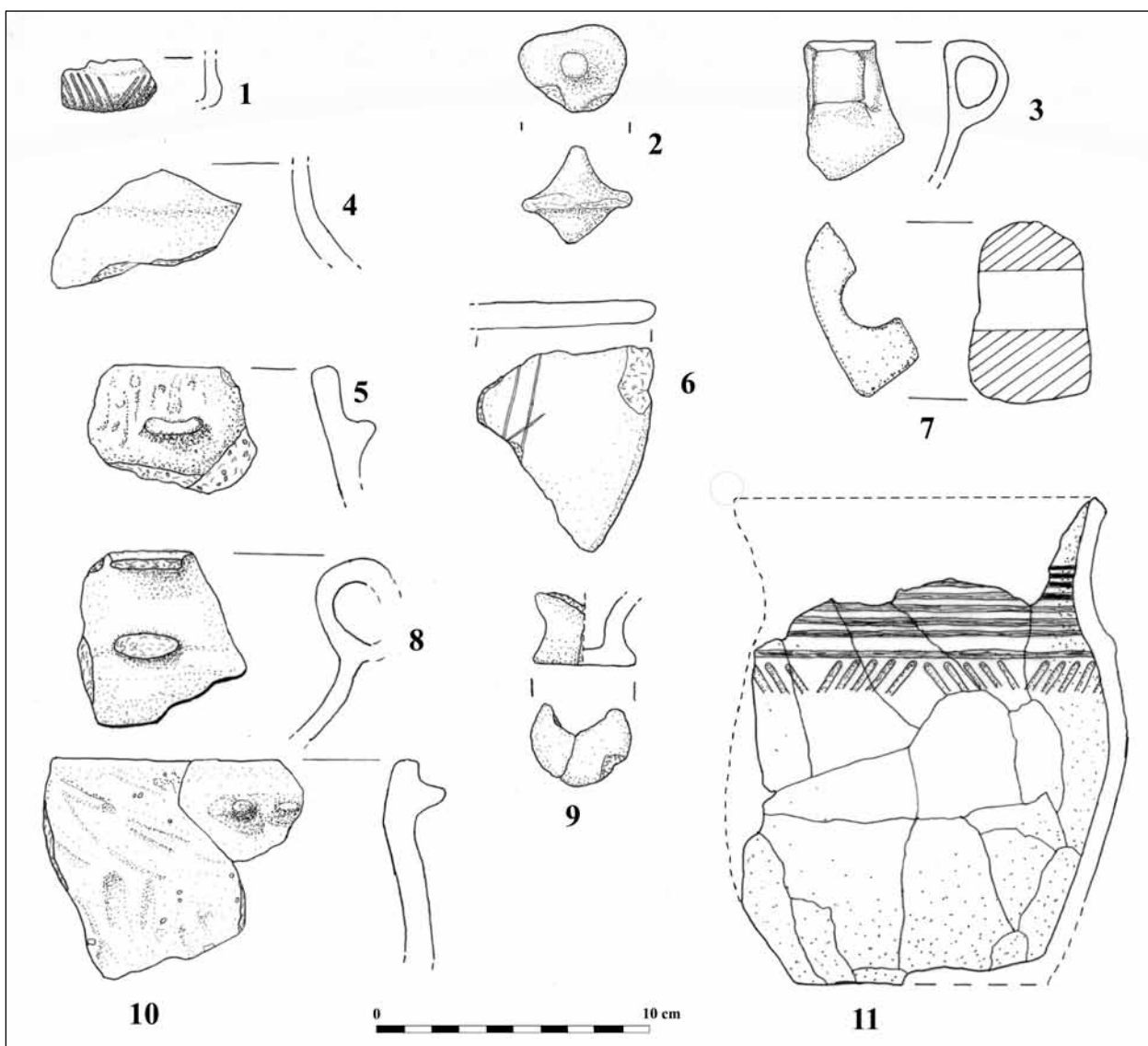
Ryc. 6. Profile obiektów (od góry): 3, 2 i 4.

Fig. 6. Cross-section of features (from the top): Nos. 3, 2 and 4.



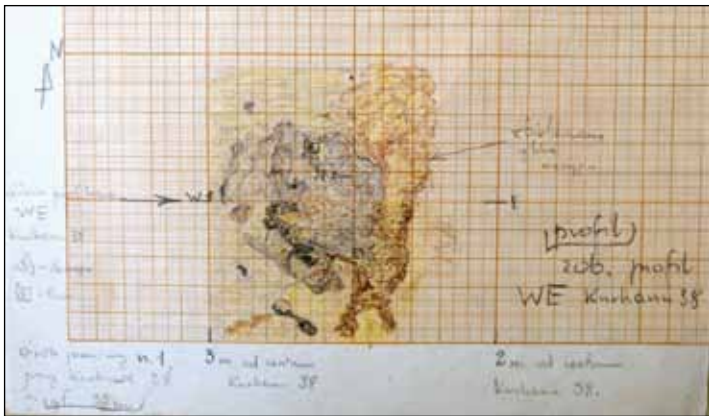
Ryc. 7. Obiekt 5 przy kurhanie 65. Rzut poziomy i profil C-D.

Fig. 7. Feature 5 at the burial mound No. 65. Horizontal projection and C-D cross-section.



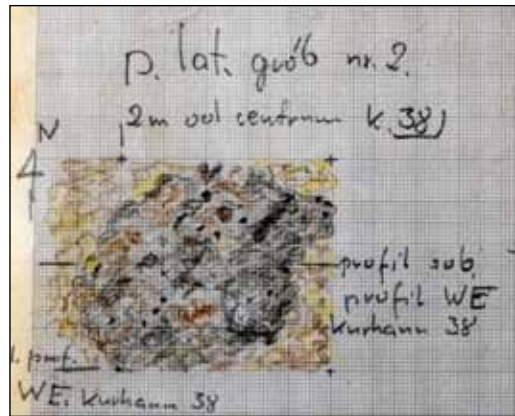
Ryc. 8. Lipsko-Polesie, stan 1. Ceramika ŁPP (1-6, 8-10), toporek kamienny (7), ceramika KT (11).

Fig. 8. Lipsko-Polesie, site 1. Ceramics of the Lusatian Urnfields (1-6, 8-10), shaft-hole axe of stone (7), KT ceramics (11).



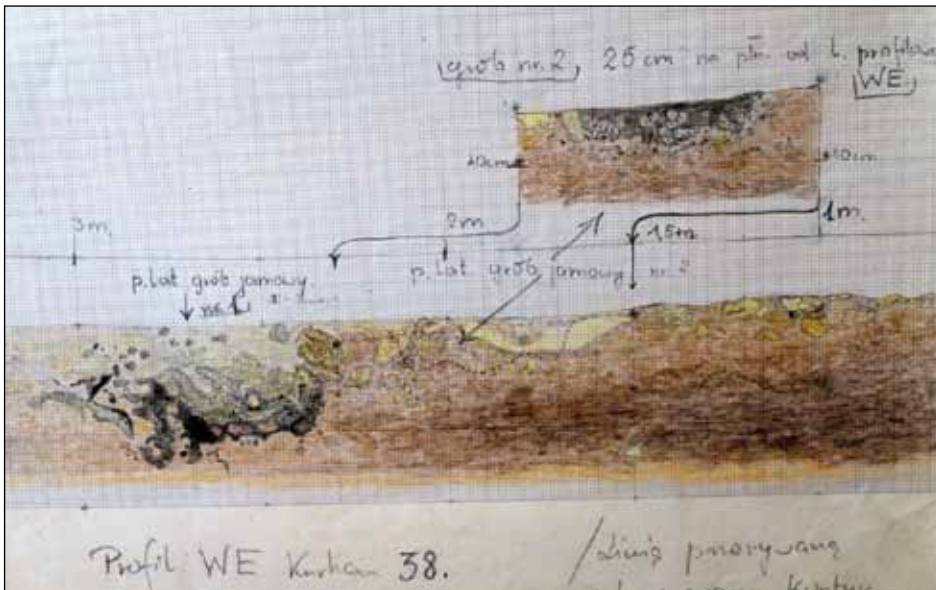
Ryc. 9. Grób 1, rzut poziomy.

Fig. 9. Grave 1, plan view.



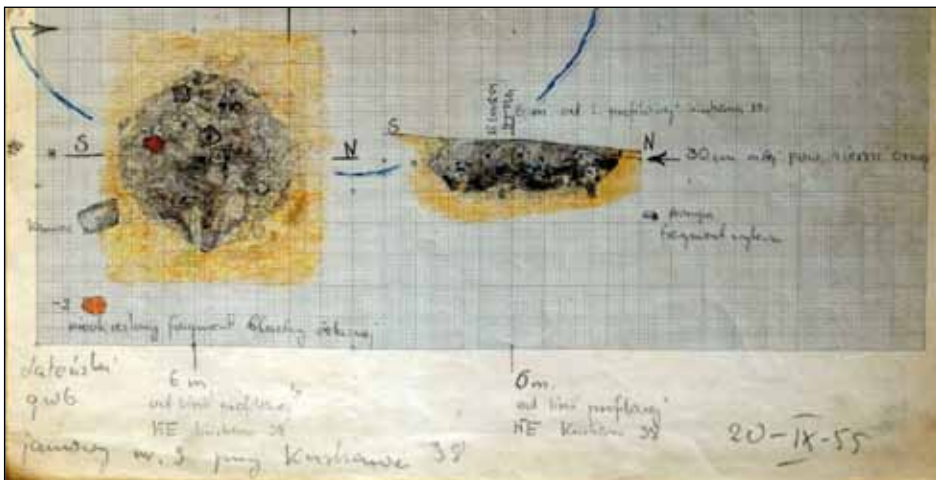
Ryc. 10. Grób 2 – rzut poziomy.

Fig. 10. Grave 2 – plan view.



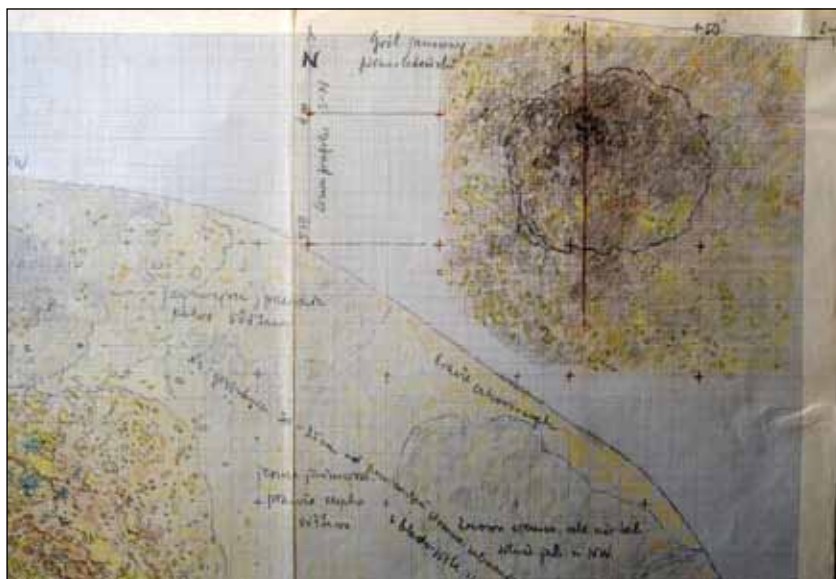
Ryc. 11. Grób 1, 2 – profil.

Fig. 11. Grave 1, 2 – cross-section.



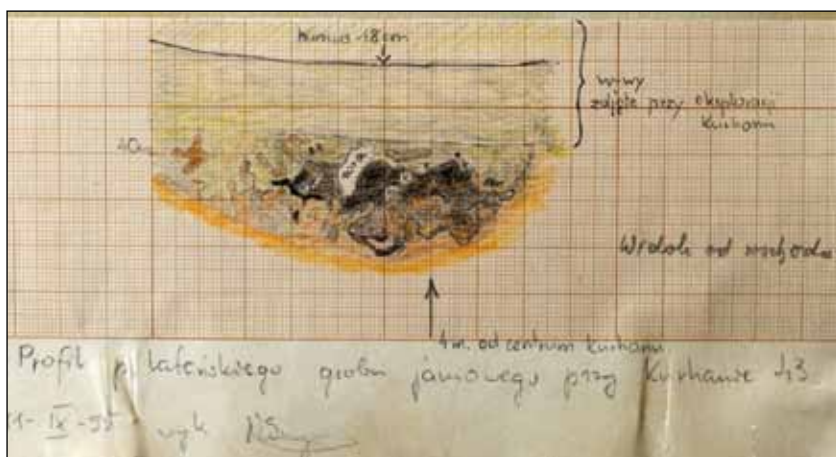
Ryc. 12. Grób 3 – poziom i profil.

Fig. 12. Grave 3 – plan and cross-section.



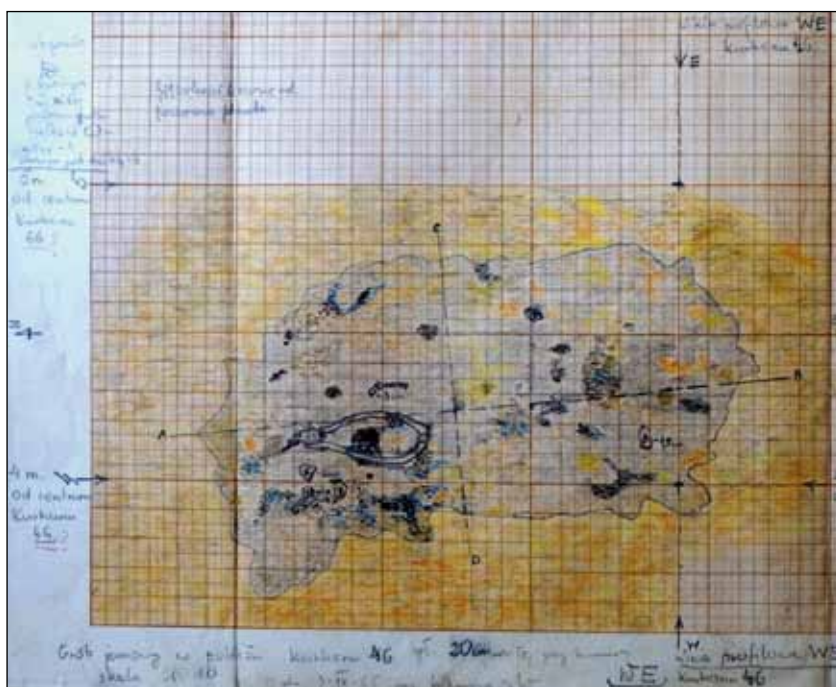
Ryc. 13. Grób 4 – rzut poziomy.

Fig. 13. Grave 4 – plan view.



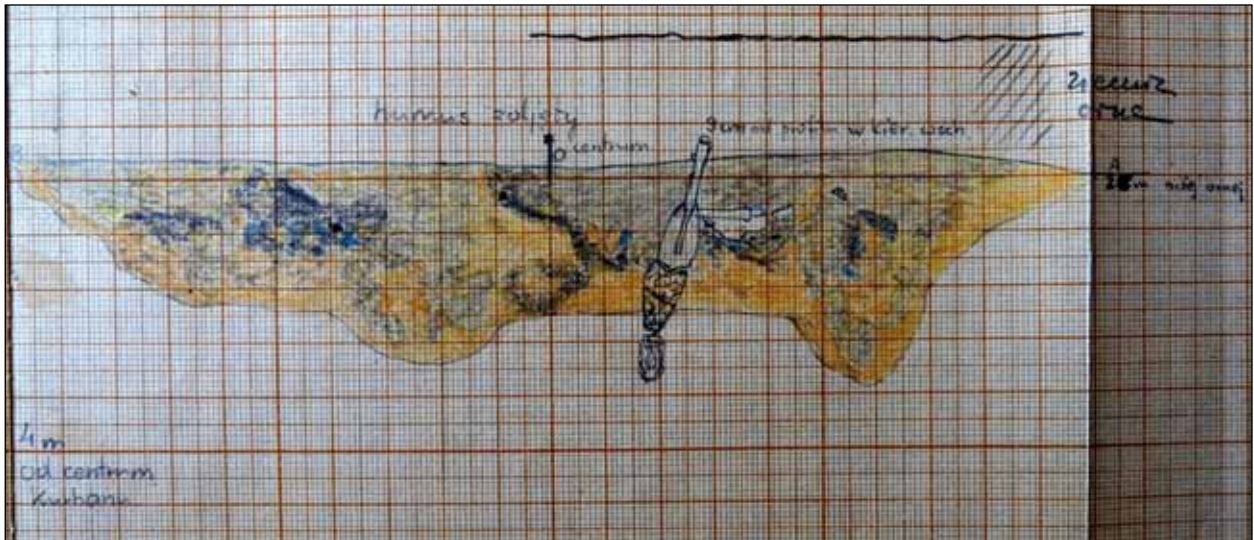
Ryc. 14. Grób 4 – profil.

Fig. 14. Grave 4 – cross-section.



Ryc. 15. Grób 5 – rzut poziomy.

Fig. 15. Grave 5 – plan view.



Ryc. 16. Grób 5 – profil AB.

Fig. 16. Grave 5 – cross-section A-B.



Ryc. 17. Grób 5 – profil CD.

Fig. 17. Grave 5 – cross-section C-D.



Ryc. 18. Grot włóczni z grobu 5.

Fig. 18. The spearhead from the grave No. 5.

Ceramika naczyniowa

Analiza „łużyckiej” ceramiki z cmentarzyska w Lipsku-Polesiu jest utrudniona ze względu na znaczny stopień rozdrobnienia materiału i stosunkowo małą liczbę cech diagnostycznych, które umożliwiłby przynajmniej określenie typu naczynia. Do wytworów ŁPP zaklasyfikowano 416 fragmentów ceramiki, jednak należy zaznaczyć, że jest to tylko liczba przybliżona. Wynika to z przemieszania materiału zabytkowego o różnej chronologii, wspomnianej małej liczby cech diagnostycznych i znacznego stopnia zniszczenia dużej części materiału ceramicznego. Ze względu na to w analizie uwzględniono jedynie te fragmenty naczyń, których przynależność kulturowa nie budzi wątpliwości. Stan zachowania ceramiki wyklucza oszacowanie choćby przybliżonego rozmiaru naczyń. Powyższe trudności często redukują wyniki analizy do sformułowań natury ogólnej.

Ilościowo zdecydowanie najwięcej ceramiki ŁPP pochodzi z kurhanu nr 27 (123 fr.). Znaczną liczbę odnaleziono również w kontekście kurhanów nr 38 (94 fr.), nr 9 (67 fr.), a także nr 65 (74 fr., w tym 73 z nieckowatej jamy na obrzeżu kurhanu). Poza tym ceramika ŁPP wystąpiła w nasypach kurhanów nr 27 (30 fr.), 8 (29 fr., większość z obiektów), 7 (26 fr.), 25 (21 fr.), 35 (11 fr.). Pojedyncze skorupy pochodzą z kurhanów nr: 6, 10/11, 12, 31, 32/34, 45, 56, 61, 65 i 67.

W rozdziale fragmenty naczyń poddano charakterystyce według czterech cech: formy, zdobnictwa, mikromorfologii oraz technologii wyrobu i wypału.

Formy naczyń

Wydzielono 7 typów naczyń: garnki, wazy/amfory, misy, kubki/czerpaki, pucharki, placki/talercze i czarki. Klasyfikację formalną naczyń przeprowadza się zwykle na podstawie pomiarów relacji między poszczególnymi parametrami, na które składają się: średnica wylewu, średnica największej wydętości brzuśca, ukształtowania strefy przydennej i dna oraz wysokości całego naczynia. Przy analizie formalnej przydatne są także takie cechy, jak: kształt profilu, obecność uch, załomów i nóżek.

Niestety w przypadku ceramiki naczyniowej z Lipska-Polesia mamy do czynienia tylko ze stosunkowo małymi fragmentami naczyń. Ani jedno naczynie, związane z ŁPP, nie zachowało się w większej części.

Ze względu na powyższe trudności analiza formalna w wielu przypadkach jest obciążona ryzykiem błędów, ponieważ nie opiera się na dokładnych pomiarach relacji poszczególnych cech naczynia, a przede wszystkim na analizie kształtu profilu, wylewu oraz cech zaliczanych raczej do mikromorfologicznych (jak np. forma ucha), które mogą być również pomocne również przy analizie formalnej.

Garnki

Garnki stanowią zazwyczaj najliczniej reprezentowaną grupę w inwentarzu ceramiki naczyniowej ŁPP z terenu osiedli. Obszar Zamojszczyzny nie jest w tym przypadku wyjątkowy (J. Niedźwiedź 2018b, s. 186). Są to naczynia beczułkowate, o średnicy wylewu mniejszej od wysokości naczynia. Zazwyczaj garnki posiadają prostą formę, w większości przypadków są pozbawione zdobień lub zdobione chropowacaniem, które można również uznać za cechę użytkową, ponieważ pomagało ono utrzymać ciężkie naczynie w rękach.

W materiale ceramicznym z Lipska-Polesia fragmenty garnków zdecydowanie dominują. Ze względu na ukształtowanie profilu naczynia udało się wyróżnić podtyp beczułkowaty i znacznie rzadszy podtyp esowaty. Bardzo częstą cechą jest zdobienie w postaci chropowacenia. Rzadziej wstępują guzy i sporadycznie otworki. Są one zlokalizowane blisko wylewu.

Wazy/amfory

Naczynia te są też określane w literaturze jako formy dwustożkowate, co wynika z ich kształtu. Są one zbliżone do dwóch ściętych stożków, połączonych podstawą na brzuścu (J. Niedźwiedź 2018b, s. 187). Amfory różnią się od waz jedynie obecnością uch. W Lipsku-Polesiu odnaleziono tylko 2 fragmenty wazy, w tym jeden niepewny. Pierwszy to część szyjki naczynia, przechodzącej w wydęty brzusiec. Powierzchnia naczynia jest lekko wygładzona, matowa i pozbawiona zdobień. Drugi, domniemany, to fragment wyświecanego wylewu i szyjki.

Misy

Misy są typem naczyń o średnicy wylewu dużo większej od wysokości. W materiale ceramicznym z Lipska-Polesia wyróżniono tylko jeden fragment misy. Jest to podtyp o brzegu zagiętym do środka. Jej powierzchnia jest wygładzona i matowa, pozbawiona zdobień.

Kubki/czerpaki

Jest to typ nieco mniejszych naczyń. Średnica ich wylewu jest większa od wysokości. Są one wyposażone w jedno, zwykle taśmowate ucho, którego górna część łączy się z krawędzią wylewu, a dolna część z górną partią wypukłego brzuśca. Czerpaki różnią się od kubków uchem wystającym ponad krawędź wylewu (J. Niedźwiedź 2018b, s. 188). W Lipsku-Polesiu odnaleziono 3 pewne fragmenty kubków, zawierających całe lub część ucha. Są one pozbawione zdobień. Poza nimi odnaleziono jeden fragment wylewu pozbawiony ucha, który z dozą prawdopodobieństwa można uznać za fragment kubka profilowanego lub czerpaka. Ze względu na bardzo fragmentaryczny stan zachowania należy wziąć też pod uwagę możliwość, że dwa omawiane zabytki należą do kolejnego typu. Pewny jest jeden fragment kubka profilowanego.

Pucharki

Są to stosunkowo małe naczynia, których wysokość jest większa od średnicy wylewu. Wyróżniają się one wyraźnie wydzieloną nóżką, która jednak dość płynnie przechodzi w brzusiec. W Lipsku-Polesiu odnaleziono zaledwie jeden fragment pucharka. Jest to część nóżki małego naczynia. Był to prawdopodobnie pucharzek typu ulwóweckiego, charakterystyczny dla lubelskiego wariantu ŁPP, jednak ze względu na bardzo fragmentaryczny stan zachowania powyższe ustalenie jest obarczone ryzykiem błędu. Do naczyń typu ulwóweckiego zalicza się pucharki, których dolna część składa się z dwóch ściętych stożków, połączonych węższymi podstawami (T. Purowski 2010, s. 213). Profil nóżki z Lipska-Polesia wydaje się pasować do tego schematu, należy jednak podkreślić, że było to naczynie niewielkich rozmiarów, prawdopodobnie nieprzekraczające 10 cm wysokości. Znamy naczynia podobnych rozmiarów, np. z Topornicy i Strzyżowa (T. Purowski 2010, s. 212).

Placki/talerze

Są to płaskie, okrągłe formy ceramiczne. W literaturze określa się je też czasem jako krążki lub podkładki. W Lipsku-Polesiu odnaleziono fragmentów 5 placków. Wszystkie charakteryzują się prostymi brzegami. Razem z pojedynczym fragmentem czarki są to jedyne formy ceramiczne ŁPP z Lipska-Polesia zdobione ornamentem rytym. Placki, łączone z ŁPP, są dość rzadkim znaleziskiem na terenie Zamojszczyzny i pochodzą wyłącznie z terenu osad (J. Niedźwiedź 2018b, s. 189).

Czarki

Czarki to małe naczynia cienkościenne. Swoją formą przypominają kubki, ale są one bezuche. W materiale ceramicznym z Lipska-Polesia wyróżniono tylko jeden fragment czarki. Jest to część lekko wydętego brzuśca, z przylegającą partią szyjki. Naczynie to zostało poddane gładzeniu i grafitowaniu. Brzusiec omawianej czarki posiada zdobienie w postaci ornamentu rytego. Jest to jedyne naczynie ŁPP z Lipska-Polesia, które można zaliczyć do luksusowej ceramiki stołowej.

Zdobnictwo

Zdecydowana większość ceramiki ŁPP z Lipska-Polesia jest pozbawiona zdobień, a w przypadku naczyń, na których się pojawiają, są to proste motywy. Prawdopodobnie ta dobrze wpisuje się w charakter materiałów ŁPP z terenu Zamojszczyzny (J. Niedźwiedź 2018b, s. 198). Brak jest zupełnie przedstawień figuralnych.

Duża część fragmentów garnków z Lipska-Polesia jest chropowata przez obmazywanie i obrzucanie (łącznie 41 fragmentów). Obmazywanie wykonywano z pomocą palców. Powstałe w ten sposób płytkie żłobki najczęściej biegną pionowo lub lekko ukośnie. Ślady tego typu zabiegu zaobserwowano na 11 fragmentach naczyń. Część garnków była obrzucana rozwodnioną masą ceramiczną i niekiedy dodatkowo omiatana miotełką. Ślady tej techniki są widoczne na 30 fragmentach ceramiki. Można sądzić, że zabiegi te miały charakter bardziej użytkowy niż estetyczny. Garnki były ceramiką kuchenną, często pełniącą funkcje zasobowe. W czasie przenoszenia ciężkiego naczynia chropowacenie zapewniało pewniejszy chwyt i zapobiegało wysuwaniu się garnka.

Część garnków była zdobiona plastycznymi guzami, nalepianymi blisko wylewu naczynia. Występowały one pojedynczo lub parami. Kilka z nich jest spłaszczonych i rozszerzonych, a ich dłuższa oś jest położona równoległe do brzegu naczynia. Kolejnym rodzajem zdobienia plastycznego jest listwa, biegnąca poniżej wylewu. Była ona karbowana za pomocą odcisków palców. Ten typ zdobienia rozpoznano na 2 fragmentach naczyń z Lipska-Polesia. Ornament paznokciowy, występujący bezpośrednio na powierzchni naczynia bez elementu plastycznego stwierdzono tylko na jednym fragmencie ceramiki.

Ornament ryty występuje tylko na plackach (3 fragmenty), czarce i małym fragmencie niezidentyfikowanego naczynia. Wielkość zachowanych fragmentów placków nie pozwala na dokładniejszą charakterystykę ornamentu. Można tylko stwierdzić, że linie ryte w dwóch przypadkach biegną w przybliżeniu równoległe do krawędzi talerza. W przypadku części czarki mamy do czynienia z ornamentem rytym, grupującym się na brzuścu w dwa rzędy równoległych względem siebie, skośnych żłobków. Rzędy te w miejscu spotkania tworzą trójkąt.

Otwory są niekiedy zaliczane do elementów zdobniczych. W przypadku naczyń z Lipska-Polesia mamy do czynienia z dwoma fragmentami wylewu garnka z zachowanym częściowo małym otworkiem.

Mikromorfologia

W analizie cech morfologicznych uwzględniono sposób ukształtowania wylewów, den i uch. Większość wylewów była prosta. Z 38 zidentyfikowanych fragmentów wylewów naczyń ŁPP 10 było uformowanych prosto, 23 były lekko wywinięte na zewnątrz, a 3 były zawinięte do środka. Prawdopodobnie zdecydowana większość wylewów pochodzi z garnków, jeden prosty przypuszczalnie pochodzi z wazy, a jedyny zawinięty do środka jest częścią misy. Dwa są w typie ściętym, pogrubionym. Zazwyczaj uważa się to za cechę diagnostyczną ceramiki kultury trzcinieckiej, choć może jeszcze występować w starszej fazie rozwojowej ŁPP (J. Niedźwiedź 2018b, s. 45).

Fragmentów partii dennych zidentyfikowano zaledwie 9. Jedno pochodzi z dna niewyodrębnionego, o ściankach zaokrąglonych i nachylonych stromo, 6 den jest niewyodrębnionych ze ściankami prostymi. Tylko jedno dno jest wyraźnie wyodrębnione, z prostą stopką i zaokrąglonymi ściankami. Czwarte dno to fragment domniemanego pucharka ulwóweckiego i jest częścią pustej nóżki.

Z Lipska-Polesia pochodzi tylko 5 uch. Wszystkie należą do typu taśmowatego.

Technologia

Na podstawowe zagadnienia technologii wyrobu ceramiki składają się takie zagadnienia, jak wykorzystany surowiec i domieszka schudzająca, sposób formowania naczynia oraz przebieg wypału, który wpływał na takie cechy jak: barwa, twardość czy wygląd przełomu.

Przy produkcji ceramiki ŁPP z Lipska-Polesia stosowana była mineralna domieszka schudzająca w postaci tłuczni kamiennego. Jego granulacja waha się od drobnoziarnistej (do 2 mm) do średnioziarnistej (2–4 mm), przy dość wyraźnej dominacji frakcji drobnoziarnistej.

W kwestii wykończenia ścianek naczyń zwraca uwagę udział ceramiki chropowatej (powyżej 10% fragmentów). Duża część naczyń chropowatych posiada wygładzone powierzchnie wewnętrzne. Powierzchnia reszty naczyń była pozostawiona szorstka lub lekko wygładzona. Wyświecanie i grafitowanie zastosowano w przypadku zewnętrznej powierzchni jednego naczynia, prawdopodobnie wazy (zachowany tylko fragment wylewu). Grafitowanie zaobserwowano jeszcze tylko w przypadku pojedynczego fragmentu czarki.

Na podstawie cech technologicznych, takich jak grubość ścianek, domieszka, sposób wykończenia powierzchni, ale również zdobienia i znaczenia funkcjonalnego wyróżnia się ceramikę kuchenną i stołową (luksusową). W przypadku fragmentów naczyń z Lipska-Polesia z całą pewnością do grupy ceramiki stołowej możemy zaliczyć jedynie czarke, domniemany pucharek ulwówecki i kubki. Całą resztę materiału ceramicznego należy zaklasyfikować jako fragmenty naczyń kuchennych.

Ceramika nienaczyniowa

Spośród materiału ceramicznego ŁPP z Lipska-Polesia wyróżnia się nietypowy przedmiot, odnaleziony w kurhanie 27. Posiada on kształt zbliżony do zabawkowego bączka. Wyglądem przypomina dwa stożki połączone podstawami. Jego krawędzie i jeden z wierzchołków są uszkodzone. Wymiary przedmiotu wynoszą 41 mm szerokości (podstawa „stożków”) i 35 mm wysokości. Nie udało się odnaleźć żadnych bliższych analogii z obszaru Lubelszczyzny, jak i całego obszaru zajmowanego przez ŁPP. Interpretacja tego znaleziska budzi wątpliwości. Być może była to forma zatyczki, zabawki lub koło, będące częścią modelu wozu.

Chronologia materiału ceramicznego ŁPP

Ceramikę zaklasyfikowaną do materiałów ŁPP można datować od horyzontu 1b wczesnej fazy do fazy 2 (środkowej) rozwoju ŁPP na obszarze Kotliny

Zamojskiej i Roztocza Środkowego. Czas trwania horyzontu 1b przyjmuje się od końca okresu HaA1 lub przełomu HaA1 i HaA2 do końca HaB1, a fazy 2 – na HaB2–HaB3 (J. Niedźwiedź 2018a, s. 373, 380). Dla horyzontu 1b powszechne są garnki esowate, chropowate przez obmazywanie (kontynuacja form z horyzontu 1a) oraz nowe formy w postaci pucharów ulwóweckich i czarek zdobionych ornamentem skośnych żłobków. Z cech charakterystycznych dla fazy 2 w materiale ceramicznym z Lipska-Polesia liczne są fragmenty zdobione pojedynczymi lub podwójnymi guzami, nalepianymi pod krawędzią wylewu oraz pojedyncze fragmenty wylewów z otworkami tuż poniżej krawędzi.

Zabytki krzemienne i kamienne

W Lipsku-Polesiu odnaleziono łącznie 68 zabytków krzemienych. Są to głównie odłupki (55, w tym tylko 2 retuszowane). Wiórów odnaleziono 8, w tym 4 retuszowane. Zdecydowana większość odłupków i wiórów to przedmioty drobne, ich wielkość nie przekracza 20 mm. Wyróżniającym się zabytkiem jest sercowaty grocik strzały, odkryty w nasypie kurhanu nr 35. Posiada on bifacjalny retusz powierzchniowy. Długość artefaktu wynosi 19 mm. Zabytki tego typu występują od neolitu po wczesne fazy pól popielnicowych (W. Borkowski, M. Kowalewski 2013, s. 68). W inwentarzach ŁPP najczęściej pojawiają się na terenie wschodniej i południowo-wschodniej Polski (J. Fogel 1979, s. 124).

Wyróżniono też charakterystyczny, trójkątny odłupek. Jego dwie dłuższe krawędzie posiadają ślady retuszowania. Można przypuszczać, że jest to niewykończony narzędzie lub grocik strzały. Zestaw zabytków krzemienych zawiera również mały fragment ostrza gładzonej siekiery i przypuszczalnie niewielki odłamek z ostrza drugiej. W nasypie kurhanu nr 25 odnaleziono niewielki przedmiot z krzemienia, który może być szczątkowym rdzeniem mikrolitycznym.

W Lipsku-Polesiu odnaleziono dwa zabytki kamienne, które można łączyć z epoką brązu. Są to rozcieracz oraz fragment toporka. Szerokość toporka wynosi 61 mm, a jego wysokość 44 mm. Posiada on wywiercony otwór na trzonek o średnicy 22 mm. Otwór jest położony centralnie. Na krawędzi ostrza widoczne są ślady powstałe na skutek uderzeń. Całość przedmiotu została starannie wygładzona. Za względu

na fragmentaryczny stan zachowania trudno bliżej określić jego pierwotny kształt (przypuszczalnie pięciokątny?). Wyroby tego typu były w użyciu od neolitu do epoki brązu. Zdarzało się również, że ludność KT użytkowała odnalezione toporki z czasów neolitu (J. Niedźwiedź 2018a, s. 80). Pięciokątne toporki są zaś dość częstym znaleziskiem w inwentarzach ŁPP (A. Gardawski 1979, s. 270).

Ustalenie bliższej chronologii zabytków krzemienych i kamiennych nie jest możliwe. Wszystkie artefakty z tej grupy należy uznać za materiał przemieszany, odnaleziony na złożu wtórnym. W czasach KT i ŁPP technologia obróbki krzemienia nie ulegała znaczącym zmianom, a odnalezione zabytki są w zdecydowanej większości mało charakterystyczne. Wobec zdecydowanej przewagi ceramiki ŁPP na stanowisku w Lipsku-Polesiu można przypuszczać, że przedmioty krzemienne również były wytworami społeczności tej kultury.

Groby z okresu lateńskiego

W czasie badań wykopaliskowych w Lipsku-Polesiu pod nasypami kurhanów lub w ich sąsiedztwie natrafiono na 4 lub 5 ciepłych grobów jamowych datowanych na późny okres lateński. Były one zlokalizowane przy kurhanach nr 38 (groby nr 1–3), 43 (grób 4) i 46 (grób 5).

Grób nr 1

Odnaleziony od nasypem kurhanu nr 38, w jego SW części. Jego zarys był widoczny tuż pod powierzchnią ziemi. Grób w rzucie poziomym miał kształt nieregularnej, czarno-brunatnej plamy o rozmiarach 110×120 cm. Głębokość grobu wynosiła ok. 80 cm. Na jego wypełnisko składała się intensywnie zwęglona ziemia, fragmenty węgla drzewnych i niewielka ilość przepalonych kości

Inwentarz: Małe fragmenty ceramiki, prawdopodobnie późnolateńskiej.

Grób nr 2

Odnaleziony pod kurhanem nr 38 podczas eksploatacji świadka profilowego na osi WE. Widoczny był tuż po powierzchni ziemi. Grób w rzucie poziomym posiadał kształt nieregularnej, czarno-brunatnej plamy o rozmiarach 100×120 cm. Jego głębokość wynosiła ok. 35 cm. Wypełnisko grobu stanowiła czarna, przepalona ziemia z dużą ilością kości.

Inwentarz: Brak wyposażenia poza fragmentami nieokreślonego, mocno zużytego przedmiotu żelaznego.

Można przypuszczać, że grób nr 2 stanowi część grobu nr 1. Wynika to z małej ilości kości i znacznej liczby węgli drzewnych w grobie nr 1 i odwrotną sytuacją w grobie nr 2 oraz bezpośredniego sąsiedztwa obu obiektów.

Grób nr 3

Odnaleziony pod kurhanem nr 38 w odcinku SE. Odcinek ten został poszerzony w celu uchwycenia potencjalnego, sąsiedniego kurhanu, którego domniemany zarys okazał się tylko zbielicowaną gliną calcową. Widoczny był na głębokości 30 cm na tle żółtego calca. W rzucie poziomym grób posiadał owalny kształt o maksymalnej szerokości ok. 110 cm. Głębokość grobu wynosiła ok. 30 cm. Wypełnisko grobu stanowiła czarna, przepalona ziemia.

Inwentarz: W czasie eksploracji odnaleziono liczne bryły mocno utlenionego żelaza. W grobie odnaleziono fragmenty ceramiki z okresu lateńskiego, w tym 2 fragmenty wylewu naczynia. Ceramika barwy czarnej, przełom jednolitego koloru, domieszka mineralna, drobnziarnista.

Grób nr 4

Odnaleziony w sąsiedztwie kurhanu nr 43, w czasie eksploracji odcinka NW. Jego zarys pojawił się na głębokości ok. 50 cm. W rzucie poziomym posiadał owalny kształt, a jego wymiary wynosiły 120×130 cm. Głębokość grobu sięgała 50 cm. Jego wypełnisko było niejednorodne, brunatno-czarno-żółte.

Inwentarz: Zawierał kawałki przepalonych kości i około 6 małych fragmentów ceramiki z okresu lateńskiego.

Grób nr 5

Odnaleziony w sąsiedztwie kurhanu nr 46, na odcinku NE. Zarys grobu był czytelny na głębokości 20 cm w postaci nieregularnej, owalnej plamy na tle żółtej ziemi calcowej. Jego wymiary wynosiły w przybliżeniu 185×85 cm. Głębokość grobu sięgała ok. 40 cm. Wypełnisko posiadało niejednorodną, brunatno-czarno-żółtą barwę. Grób był naruszony na skutek podziemnej aktywności zwierząt.

Inwentarz: Na wyposażenie grobu składały się przedmioty żelazne: miecz, grot włóczni, zapinka oraz fragmenty naczyń ceramicznych i oselka (?) Grot włóczni został wbity prawie pionowo w centralnej części grobu. Miecz rytualnie zgięto i złożono razem z fibulą w północnej partii grobu.

Miecz niestety uległ zniszczeniu. Po wydobyciu jego długość wynosiła 100,7 cm. Określenie jego typu jest niemożliwe. Grot włóczni jest częściowo ułamany i zachował się do długości 22 cm. Można przypuszczać, że jego pierwotna długość wynosiła ok. 40 cm. Liść był stosunkowo wąski. Jego szerokość liczy 6 cm. Ostrze na całej długości było zaopatrzone w wydadne żeberko środkowe. Ten rodzaj uzbrojenie można datować na fazy A2–A3 młodszego okresu przedrzymskiego. Fibula jest zachowana w złym stanie. Dokładne określenie jej typu nie jest możliwe. Posiada ona konstrukcję późnolateńską.

Zakończenie

Na miejscu wczesnośredniowiecznego cmentarza kurhanowego na stan. 1 w Lipsku-Polesiu w epoce brązu najprawdopodobniej funkcjonowała osada zamieszkała przez ludność związaną z lubelskim wariantem łużyckich pól popielnicowych. Czas jej funkcjonowania można datować na HaA1–HaB3, co odpowiada drugiej połowie wczesnej fazy i fazie środkowej rozwoju ŁPP na obszarze Kotliny Zamojskiej i Roztocza Środkowego. Relikty osady zostały naruszone w czasie sypania kurhanów w okresie wczesnego średniowiecza. W czasie badań w Lipsku-Polesiu natrafiono także na zabytki KT. Należy je łączyć raczej z czasową aktywnością ludności tej kultury, niż ze stałym osadnictwem w tym miejscu. Można przypuszczać, że był to obszar strefy eksploatowanej przez mieszkańców osady lub osad KT w rejonie niedalekich wzgórz „Zjawienie” i „Łysa Góra”. Poza tym na stanowisku w Lipsku-Polesiu w późnym okresie lateńskim funkcjonował mały cmentarz, być może o charakterze rodzinnym. Wskazuje na to mała liczba grobów i brak wyraźnych śladów osadnictwa z tego okresu w najbliższym sąsiedztwie.

Bibliografia

Borkowski W., Kowalewski M.

2013 *Grotty strzał z Mazowsza i Podlasia w kontekście materiałów z epoki brązu*, [w:] R.F. Mazurowski D. Manasterski, K. Januszek (red.), *Studia i materiały do badań nad neolitem i wczesną epoką brązu na Mazowszu i Podlasiu*, t. 3, Warszawa, s. 205–213.

Czopek S.

1997 *Uwagi o kulturze łużyckiej na Lubelszczyźnie*, „Archeologia Polski Środkowoschodniej” 2, s. 210–226.

Dąbrowski J.

1980 *Przydatność ceramiki łużyckiej dla podziałów kulturowych*, [w:] Gedl M. (red.), *Zróżnicowanie wewnętrzne kultury łużyckiej*, Kraków, s. 35–55.

1982 *Kultura łużycka na Lubelszczyźnie*, [w:] Gedl M. (red.), *Południowa strefa kultury łużyckiej i powiązania tej kultury z południem*, Kraków-Przemyśl, s. 261–268.

2009 *Polska przed trzema tysiącami lat – czasy kultury łużyckiej*, Warszawa.

Drewko M.

1953 *Wczesnośredniowieczne kurhany ciałopalne we wsi Lipsko, pow. Zamość*, Sprawozdania PMA” 5, z. 3-4, s. 36–41.

1956 *Prace wykopaliskowe na wczesnośredniowiecznym cmentarzystku kurhanowym we wsi Lipsko, pow. Zamość*, „Sprawozdania PMA” 2, s. 82–84.

1957 *Sprawozdanie z badań przeprowadzonych w 1955 r. na wczesnośredniowiecznym cmentarzystku kurhanowym we wsi Lipsko, pow. zamojski*, „Sprawozdania Archeologiczne” 3, s. 165–168.

Fogel J.

1979 *Studia nad uzbrojeniem ludności kultury łużyckiej w dorzeczu Odry i Wisły*, Poznań.

Gardawski A.

1979 *Zagadnienia wytwórczości*, [w:] Hensel W. (red.), *Prahistoria ziem polskich*, t. 4, Warszawa, s. 257–278.

Gedl M.

1975 *Kultura łużycka*, Kraków.

Głosik J.

1958 *Cmentarzystko ciałopalne kultury łużyckiej z IV okresu epoki brązu w Topornicy, pow. Zamość*, „Materiały Starożytność” 3, s. 155–206.

Górski J.

2017 *The Trzciniec culture. On the periphery of bronze age civilization (1800–1100 BC)*, [w:] Urbańczyk P. (red.), *The past societies*, t. 3, Warszawa, s. 88–126.

Kaczmarek M.

2017 *The snares of ostensible homogeneity. Lusatian culture or Lusatian urnfields?*, [w:] Urbańczyk P. (red.), *The past societies*, t. 3, Warszawa, s. 264–293.

Kłosińska E.

2015 *Lusatian culture in the Lublin region – history and state of research*, „Materiały i Sprawozdania Rzeszowskiego Ośrodka Archeologicznego” XXXVI, s. 55–74.

2019 *Contribution to the research on the use of flint and stone by the Lusatian culture population during the Bronze age and Early Iron age in the Lublin region (remarks of a non-lithic expert)*, „Materiały i Sprawozdania Rzeszowskiego Ośrodka Archeologicznego” XL, s. 215–234.

Niedźwiedź J.

2018a *Przemiany kulturowe i osadnicze na Roztoczu Środkowym i w Kotlinie Zamojskiej od środkowej epoki brązu do wczesnej epoki żelaza: część pierwsza – analiza*, Rzeszów, tekst rozprawy doktorskiej udostępniony przez autora.

2018b *Przemiany kulturowe i osadnicze na Roztoczu Środkowym i w Kotlinie Zamojskiej od środkowej epoki brązu do wczesnej epoki żelaza: część druga – katalog*, Rzeszów, tekst rozprawy doktorskiej udostępniony przez autora.

Niedźwiedź J., Taras H.

2006 *Schylek kultury trzcinieckiej i początki kultury łużyckiej we wschodniej Lubelszczyźnie*, [w:] Taras H. (red.), *Zmierzech kompleksu trzciniecko-komarowskiego. Kształtowanie się nowej rzeczywistości kulturowej w środkowej i młodszej epoce brązu*, Lublin, s. 91–109.

Purowski T.

2010 *Kubek odkryty na cmentarzystku w Ożumiechu, gm. Krzynowłoga Mała, na tle naczyń typu „ulwóweckiego”*, „Światowit” 2 (43), s. 210–220.

THE BRONZE AGE AND LA TÈNE ARTEFACTS FROM LIPSKO-POLESIE SITE 1

During the excavations on the early medieval barrow cemetery in Lipsko, artefacts from the Bronze Age and the La Tène period were also discovered. It is mainly pottery, dating back to the Lusatian Urnfield culture. The stylistic features indicate that these artefacts can be dated to the time period from HaA1 to HaB3. Among the characteristic forms, there are fragments of an Ulwówek cup, of a bowl decorated with transverse engraved lines and roughened barrel-shaped pots with knobs stuck below the edge of the rim. In addition to the Urnfields ceramics, a small number of elder relics from the times of the Trzciniec culture have also been found. It is a pot with a S-shaped profile, decorated with an engraved ornament and two fragments of thickened and faceted rims. Apart from the ceramic material from the Bronze Age, 68 flint and 2 stone artefacts were also found. Most of them are flakes and unretouched blades.

A fragment of a stone shaft-hole axe stands out from this group of artefacts. 4 or 5 cremation graves from the late La Tène period were also discovered under the early medieval barrows. Their grave goods consisted, among others, of a sword, a spear point and an iron brooch in late La Tène execution.

At the site 1 in Lipsko-Polesie, a settlement of the Urnfields culture probably functioned. Its relics were disturbed during the building of burial mounds in the early Middle Ages, and the Bronze Age artefacts got into the graves secondarily. The settlement occupied a rather peripheral location in the settlement micro-region. Earlier, in the times of the Trzciniec culture, this area was most likely used economically by the inhabitants of the surrounding settlements. In the late La Tène period, a small cemetery, of family character functioned on the site in question.

